

SHRNUTÍ VLASTNOSTÍ HODNOCENÝCH KONSTRUKCÍ

Teplo 2017 EDU tepelná ochrana budov (ČSN 730540, EN ISO 6946, EN ISO 13788)

Název kce	Typ	R [m2K/W]	U [W/m2K]	Ma,max[kg/m2]	Odpaření	DeltaT10 [C]
Obvodová stěna WC 1NP+...	stěna	9.736	0.101	0.0026	ano	---

Vysvětlivky:

R	tepelný odpor konstrukce
U	součinitel prostupu tepla konstrukce
Ma,max	maximální množství zkond. vodní páry v konstrukci za rok
DeltaT10	pokles dotykové teploty podlahové konstrukce.

KOMPLEXNÍ POSOUZENÍ SKLADBY STAVEBNÍ KONSTRUKCE Z HLEDISKA ŠÍŘENÍ TEPLA A VODNÍ PÁRY

podle EN ISO 13788, EN ISO 6946, ČSN 730540 a STN 730540

Teplo 2017 EDU

Název úlohy : **Obvodová stěna WC 1NP+2NP**
Zpracovatel : TT 2017
Zakázka : Diplomová práce
Datum : 06.04.2021

ZADANÁ SKLADBA A OKRAJOVÉ PODMÍNKY :

Typ hodnocené konstrukce : Stěna vnější jednoplášťová
Korekce součinitele prostupu dU : 0.000 W/m2K

Skladba konstrukce (od interiéru) :

Číslo	Název	D [m]	Lambda [W/(m.K)]	c [J/(kg.K)]	Ro [kg/m3]	Mi [-]	Ma [kg/m2]
1	Rigips RB/RBI/	0,0180	0,2100	960,0	750,0	10,0	0.0000
2	Isover Uni	0,0500	0,0480*	936,8	68,8	1,0	0.0000
3	Egger OSB4 TOP	0,0220	0,1300	1700,0	620,0	200,0	0.0000
4	Isover Uni	0,2000	0,0510*	964,2	74,6	1,0	0.0000
5	Dřevovláknité	0,0130	0,1300	1630,0	600,0	12,5	0.0000
6	Isover Multima	0,1500	0,0340*	840,0	40,0	1,0	0.0000
7	Baumit openCon	0,0050	0,8000	920,0	1350,0	18,0	0.0000

Poznámka: D je tloušťka vrstvy, Lambda je návrhová hodnota tepelné vodivosti vrstvy, C je měrná tepelná kapacita vrstvy, Ro je objemová hmotnost vrstvy, Mi je faktor difúzního odporu vrstvy a Ma je počáteční zabudovaná vlhkost ve vrstvě.

* ekvival. tep. vodivost s vlivem tepelných mostů, stanovena interním výpočtem

Číslo	Kompletní název vrstvy	Interní výpočet tep. vodivosti
1	Rigips RB/RBI/RF/MA (sádrokartonové desky)	---
2	Isover Uni	vliv systematických tep. mostů dle EN ISO 6946 Tep. vodivost zákl. materiálu: 0.038 W/(m.K) Tep. vodivost tep. mostů: 0.180 W/(m.K) Šířka tepelných mostů: 0.0500 m Tloušťka tepelných mostů: 0.0500 m Os. vzdálenost tep. mostů: 0.6250 m
3	Egger OSB4 TOP	---
4	Isover Uni	vliv systematických tep. mostů dle EN ISO 6946 Tep. vodivost zákl. materiálu: 0.038 W/(m.K) Tep. vodivost tep. mostů: 0.180 W/(m.K) Šířka tepelných mostů: 0.0600 m

- 5 Dřevovláknité desky lisované 2
6 Isover Multimax 30

Tloušťka tepelných mostů: 0.2000 m
Os. vzdálenost tep. mostů: 0.6250 m

vliv bodových kotev dle EN ISO 6946

Tep. vodivost tep. izolace: 0.034 W/(m.K)
Tloušťka tepelné izolace: 0.1500 m
Tepelná vodivost kotvy: 0.250 W/(m.K)
Průřezová plocha kotvy: 31.2 mm²
Zapuštění kotvy pod povrch: 0.020 m
Počet kotev v 1 m²: 6.0

- 7 Baumit openContact

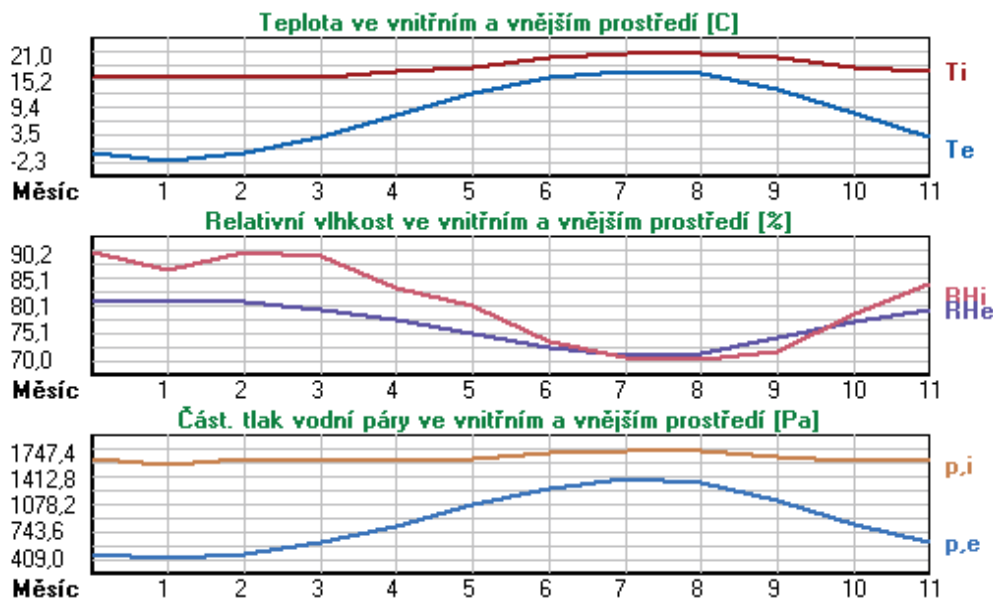
Okrajové podmínky výpočtu :

Tepelný odpor při přestupu tepla v interiéru Rsi : 0.13 m²K/W
dtto pro výpočet vnitřní povrchové teploty Rsi : 0.25 m²K/W
Tepelný odpor při přestupu tepla v exteriéru Rse : 0.04 m²K/W
dtto pro výpočet vnitřní povrchové teploty Rse : 0.04 m²K/W

Návrhová venkovní teplota Te : -15.0 C
Návrhová teplota vnitřního vzduchu Tai : 16.0 C
Návrhová relativní vlhkost venkovního vzduchu RHe : 84.0 %
Návrhová relativní vlhkost vnitřního vzduchu RH_i : 55.0 %

Měsíc	Délka [dny/hodiny]	Tai [C]	RHi [%]	Pi [Pa]	Te [C]	RHe [%]	Pe [Pa]
1	31 744	16.0	86.9	1579.2	-2.3	81.1	409.0
2	28 672	16.0	90.0	1635.6	-0.7	80.7	465.0
3	31 744	16.0	89.5	1626.5	3.0	79.5	602.1
4	30 720	17.0	83.3	1613.2	7.6	77.5	808.6
5	31 744	18.0	80.1	1652.3	12.5	74.7	1082.2
6	30 720	20.0	73.4	1715.3	15.7	72.2	1287.1
7	31 744	21.0	70.3	1747.4	17.2	70.7	1386.7
8	31 744	21.0	70.0	1739.9	16.7	71.2	1352.9
9	30 720	20.0	71.6	1673.3	13.1	74.2	1118.0
10	31 744	18.0	78.6	1621.4	8.2	77.2	839.1
11	30 720	17.0	84.3	1632.6	3.0	79.5	602.1
12	31 744	16.0	90.2	1639.2	-0.6	80.7	468.9

Poznámka: Tai, RH_i a Pi jsou prům. měsíční parametry vnitřního vzduchu (teplota, relativní vlhkost a částečný tlak vodní páry) a Te, RHe a Pe jsou prům. měsíční parametry v prostředí na vnější straně konstrukce (teplota, relativní vlhkost a částečný tlak vodní páry).



Pro vnitřní prostředí byla uplatněna přírážka k vnitřní relativní vlhkosti : 5.0 %

Výchozí měsíc výpočtu bilance se stanovuje výpočtem podle EN ISO 13788.

Počet hodnocených let : 1

VÝSLEDKY VÝPOČTU HODNOCENÉ KONSTRUKCE :

Tepelný odpor a součinitel prostupu tepla podle EN ISO 6946:

Tepelný odpor konstrukce R : 9.736 m²K/W

Součinitel prostupu tepla konstrukce U : **0.101 W/m²K**

Součinitel prostupu zabudované kce U_k : 0.12 / 0.15 / 0.20 / 0.30 W/m²K

Uvedené orientační hodnoty platí pro různou kvalitu řešení tep. mostů vyjádřenou přibližnou přírážkou podle poznámek k čl. B.9.2 v ČSN 730540-4.

Difúzní odpor a tepelně akumulční vlastnosti:

Difúzní odpor konstrukce Z_{pT} : 2.8E+0010 m/s

Teplotní útlum konstrukce Ny* podle EN ISO 13786 : 735.5

Fázový posun teplotního kmitu Psi* podle EN ISO 13786 : 13.4 h

Teplota vnitřního povrchu a teplotní faktor podle ČSN 730540 a EN ISO 13788:

Vnitřní povrchová teplota v návrhových podmínkách T_{si,p} : 15.23 C

Teplotní faktor v návrhových podmínkách f_{Rsi,p} : **0.975**

Obě hodnoty platí pro odpor při přestupu tepla na vnitřní straně R_{si}=0,25 m²K/W.

Číslo měsíce	Minimální požadované hodnoty při max. rel. vlhkosti na vnitřním povrchu:				Vypočtené hodnoty		
	----- 80% -----		----- 100% -----		T _{si} [C]	f _{Rsi}	RH _{si} [%]
	T _{si,m} [C]	f _{Rsi,m}	T _{si,m} [C]	f _{Rsi,m}	T _{si} [C]	f _{Rsi}	RH _{si} [%]
1	17.3	1.071	13.8	0.881	15.5	0.975	89.5
2	17.9	1.111	14.4	0.902	15.6	0.975	92.4
3	17.8	1.136	14.3	0.867	15.7	0.975	91.4
4	17.6	1.068	14.1	0.697	16.8	0.975	84.5
5	18.0	1.004	14.5	0.367	17.9	0.975	80.8
6	18.6	0.678	15.1	-----	19.9	0.975	73.9
7	18.9	0.451	15.4	-----	20.9	0.975	70.7
8	18.8	0.499	15.3	-----	20.9	0.975	70.5
9	18.2	0.742	14.7	0.234	19.8	0.975	72.4
10	17.7	0.971	14.2	0.615	17.8	0.975	79.8
11	17.8	1.059	14.3	0.810	16.7	0.975	86.2
12	17.9	1.114	14.4	0.903	15.6	0.975	92.6

Poznámka: RH_{si} je relativní vlhkost na vnitřním povrchu, T_{si} je vnitřní povrchová teplota a f_{Rsi} je teplotní faktor.

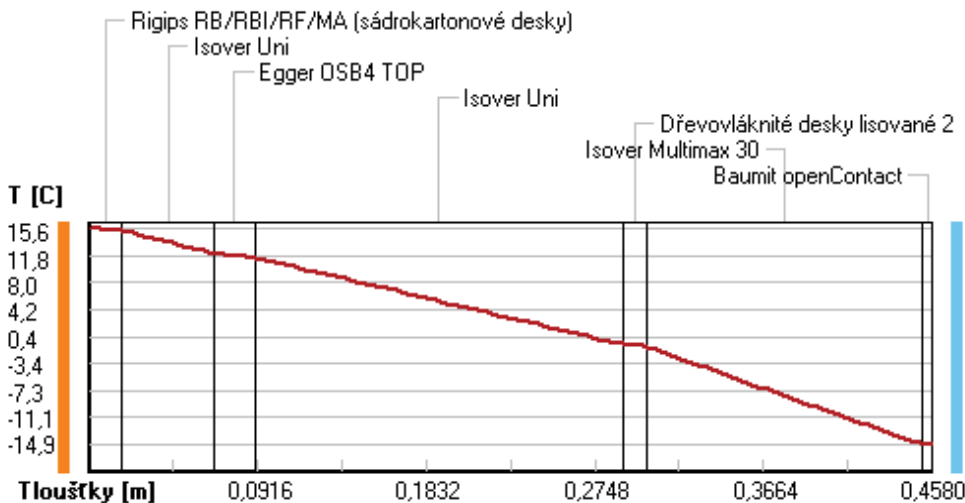
Difúze vodní páry v návrh. podmínkách a bilance vodní páry podle ČSN 730540: (bez vlivu zabudované vlhkosti a sluneční radiace)

Průběh teplot a částečných tlaků vodní páry v návrhových okrajových podmínkách:

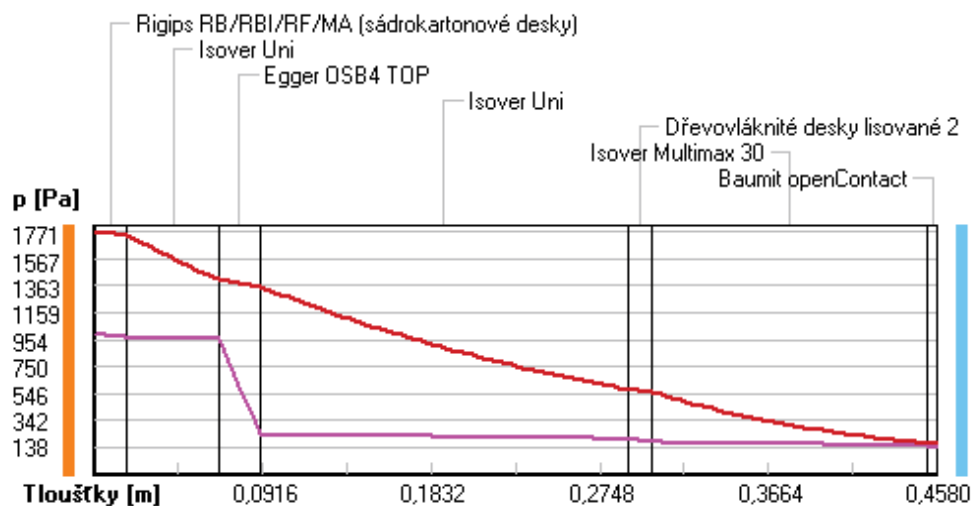
rozhraní:	i	1-2	2-3	3-4	4-5	5-6	6-7	e
theta [C]:	15.6	15.3	12.1	11.5	-0.7	-1.0	-14.9	-14.9
p [Pa]:	1000	970	962	238	205	178	153	138
p _{sat} [Pa]:	1771	1740	1408	1359	574	560	167	167

Poznámka: theta je teplota na rozhraní vrstev, p je předpokládaný částečný tlak vodní páry na rozhraní vrstev a p_{sat} je částečný tlak nasycené vodní páry na rozhraní vrstev.

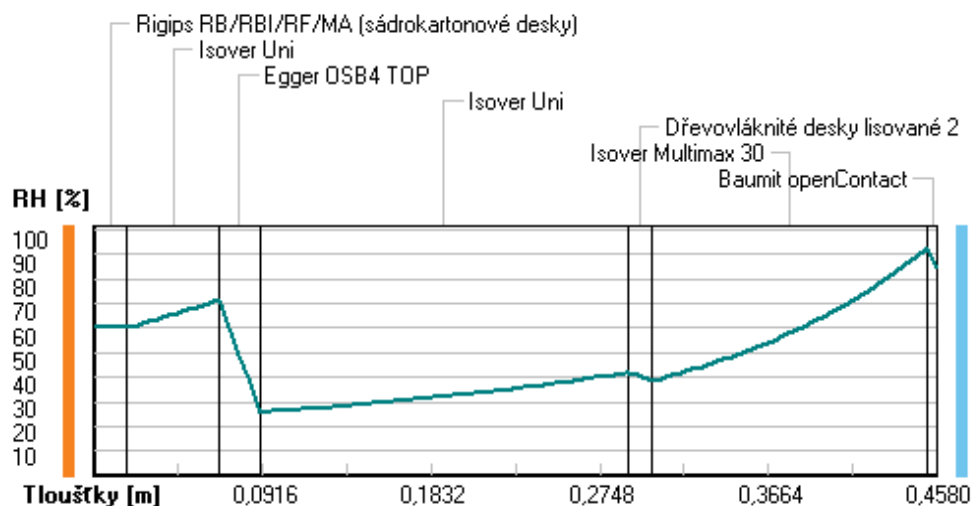
Teploty v typickém místě konstrukce v ustálených návrhových podmínkách



Část. tlaky vodní páry v typickém místě konstrukce v ustál. návrh. podmínkách



Rel. vlhkosti v typickém místě konstrukce v ustál. návrh. podmínkách



Při venkovní návrhové teplotě nedochází v konstrukci ke kondenzaci vodní páry.

Množství difundující vodní páry G_d : 3.291E-0008 kg/(m².s)

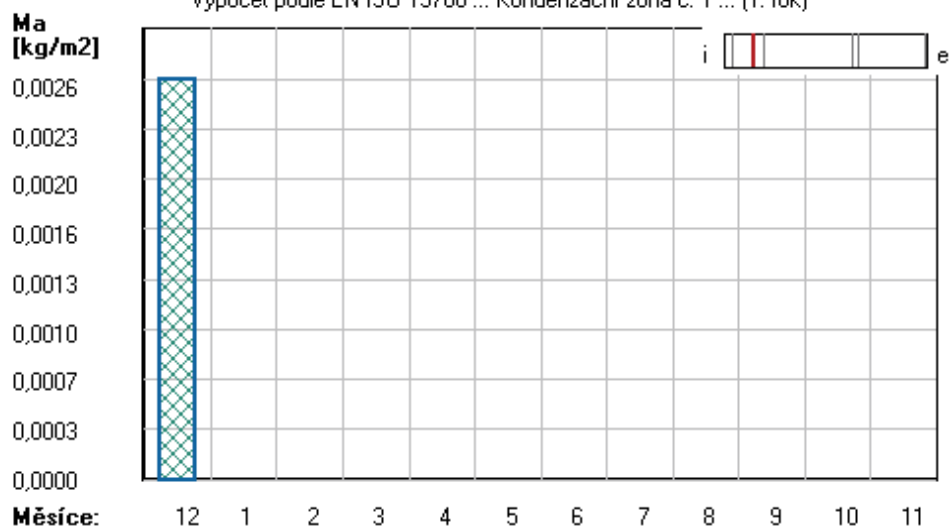
Bilance zkondenzované a vypařené vodní páry podle EN ISO 13788:

Roční cyklus č. 1

V konstrukci dochází během modelového roku ke kondenzaci.

Kondenzační zóna č. 1

Akumulované množství zkondenzované vlhkosti
Výpočet podle EN ISO 13788 ... Kondenzační zóna č. 1 ... (1. rok)



Měsíc	Hranice kond.zóny v m od interiéru		Dif.tok do/ze zóny v kg/m2 za měsíc		Kondenz./vypař. v kg/m2 za měsíc Mc/Mev	Akumul. vlhkost v kg/m2 za měsíc Ma
	levá	pravá	g,in	g,out		
12	0.0680	0.0680	0.1223	0.1197	0.0026	0.0026
1	---	---	0.0330	0.1198	-0.0867	0.0000
2	---	---	---	---	---	---
3	---	---	---	---	---	---
4	---	---	---	---	---	---
5	---	---	---	---	---	---
6	---	---	---	---	---	---
7	---	---	---	---	---	---
8	---	---	---	---	---	---
9	---	---	---	---	---	---
10	---	---	---	---	---	---
11	---	---	---	---	---	---

Max. množství zkondenzované vodní páry za rok $M_{c,a}$: **0.0026 kg/m²**
Množství vypařitelné vodní páry za rok $M_{ev,a}$ je min.: **0.0026 kg/m²**
z toho se odpaří do exteriéru: 0.0026 kg/m²
..... a do interiéru: 0.0000 kg/m²

Na konci modelového roku je zóna suchá (tj. $M_{c,a} < M_{ev,a}$).

Poznámka: Hodnocení difúze vodní páry bylo provedeno pro předpoklad 1D šíření vodní páry převažující skladbou konstrukce. Pro konstrukce s výraznými systematickými tepelnými mosty je výsledek výpočtu jen orientační. Přesnější výsledky lze získat s pomocí 2D analýzy.

Rozmezí relativních vlhkostí v jednotlivých materiálech (pro poslední roční cyklus):

Číslo	Název	Trvání příslušné relativní vlhkosti v materiálu ve dnech za rok				
		pod 60%	60-70%	70-80%	80-90%	nad 90%
1	Rigips RB/RBI/	---	---	153	122	90
2	Isover Uni	---	---	122	92	151
3	Egger OSB4 TOP	---	---	122	92	151

4	Isover Uni	151	214	---	---	---
5	Dřevovláknité	151	214	---	---	---
6	Isover Multima	---	---	214	151	---
7	Baumit openCon	---	---	214	151	---

Poznámka: S pomocí této tabulky lze zjednodušeně odhadnout, jaké je riziko dosažení nepřipustné hmotnostní vlhkosti materiálu či riziko jeho koroze.

Konkrétně pro dřevo předepisuje ČSN 730540-2/Z1 maximální přípustnou hmotnostní vlhkost 18 %. Ze sorpční křivky pro daný typ dřeva lze odvodit, při jaké relativní vlhkosti vzduchu dosahuje dřevo této kritické hmotnostní vlhkosti. Obvykle jde o cca 80 %.

Pokud je v tabulce výše pro dřevo uveden dlouhodobější výskyt relativní vlhkosti nad 80 %, lze předpokládat, že požadavek ČSN 730540-2 na maximální hmotnostní vlhkost dřeva nebude splněn.

SHRNUTÍ VLASTNOSTÍ HODNOCENÝCH KONSTRUKCÍ

Teplo 2017 EDU tepelná ochrana budov (ČSN 730540, EN ISO 6946, EN ISO 13788)

Název kce	Typ	R [m2K/W]	U [W/m2K]	Ma,max[kg/m2]	Odpaření	DeltaT10 [C]
Obvodová stěna sklep...	stěna	2.499	0.380	nedochází ke kondenzaci v.p.		---

Vysvětlivky:

R	tepelný odpor konstrukce
U	součinitel prostupu tepla konstrukce
Ma,max	maximální množství zkond. vodní páry v konstrukci za rok
DeltaT10	pokles dotykové teploty podlahové konstrukce.

KOMPLEXNÍ POSOUZENÍ SKLADBY STAVEBNÍ KONSTRUKCE Z HLEDISKA ŠÍŘENÍ TEPLA A VODNÍ PÁRY

podle EN ISO 13788, EN ISO 6946, ČSN 730540 a STN 730540

Teplo 2017 EDU

Název úlohy : **Obvodová stěna sklep**
Zpracovatel : TT 2017
Zakázka : Diplomová práce
Datum : 06.04.2021

ZADANÁ SKLADBA A OKRAJOVÉ PODMÍNKY :

Typ hodnocené konstrukce : Stěna suterénní
Korekce součinitele prostupu dU : 0.000 W/m2K

Skladba konstrukce (od interiéru) :

Číslo	Název	D [m]	Lambda [W/(m.K)]	c [J/(kg.K)]	Ro [kg/m3]	Mi [-]	Ma [kg/m2]
1	Železobeton 2	0,2000	1,5800	1020,0	2400,0	29,0	0.0000
2	Elastodek 40 S	0,0040	0,2100	1470,0	1200,0	30000,0	0.0000
3	Synthos XPS Pr	0,0800	0,0340*	1270,0	35,0	100,0	0.0000

Poznámka: D je tloušťka vrstvy, Lambda je návrhová hodnota tepelné vodivosti vrstvy, C je měrná tepelná kapacita vrstvy, Ro je objemová hmotnost vrstvy, Mi je faktor difúzního odporu vrstvy a Ma je počáteční zabudovaná vlhkost ve vrstvě.

* ekvival. tep. vodivost s vlivem tepelných mostů, stanovena interním výpočtem

Číslo	Kompletní název vrstvy	Interní výpočet tep. vodivosti
1	Železobeton 2	---
2	Elastodek 40 Standard Mineral	---
3	Synthos XPS Prime S 30 L	vliv bodových kotev dle EN ISO 6946 Tep. vodivost tep. izolace: 0.034 W/(m.K) Tloušťka tepelné izolace: 0.0800 m Tepelná vodivost kotvy: 0.250 W/(m.K) Průřezová plocha kotvy: 31.2 mm2 Zapuštění kotvy pod povrch: 0.010 m Počet kotev v 1 m2: 6.0

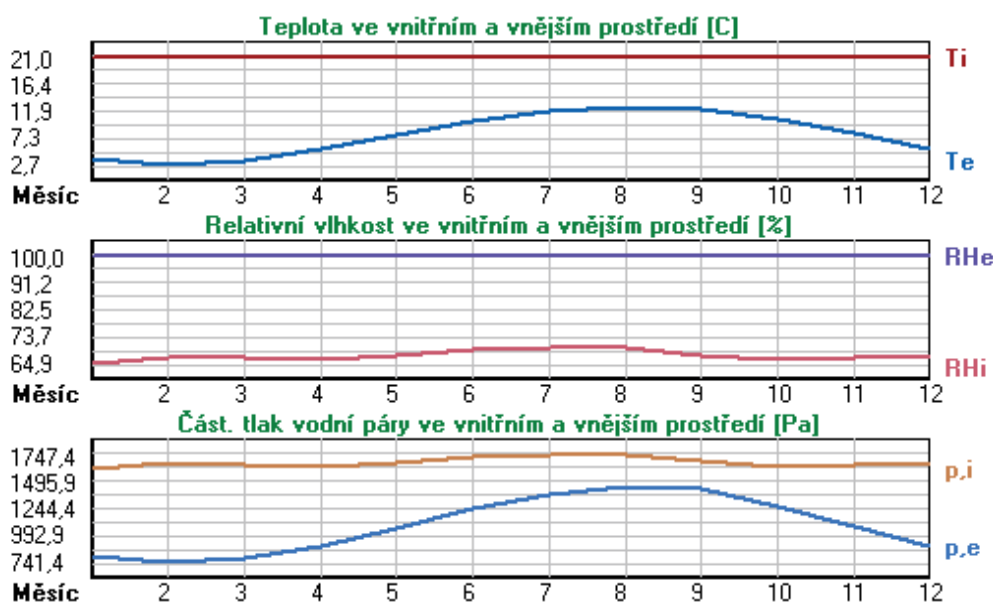
Okrajové podmínky výpočtu :

Tepelný odpor při přestupu tepla v interiéru Rsi : 0.13 m2K/W
dtto pro výpočet vnitřní povrchové teploty Rsi : 0.25 m2K/W
Tepelný odpor při přestupu tepla v exteriéru Rse : 0.00 m2K/W
dtto pro výpočet vnitřní povrchové teploty Rse : 0.00 m2K/W

Návrhová venkovní teplota T_e : 7.8 C
 Návrhová teplota vnitřního vzduchu T_{ai} : 21.0 C
 Návrhová relativní vlhkost venkovního vzduchu RHe : 100.0 %
 Návrhová relativní vlhkost vnitřního vzduchu RHi : 55.0 %

Měsíc	Délka [dny/hodiny]	T_{ai} [C]	RHi [%]	P_i [Pa]	T_e [C]	RHe [%]	P_e [Pa]	
1	31	744	21.0	64.9	1613.1	3.6	100.0	790.2
2	28	672	21.0	67.2	1670.3	2.7	100.0	741.4
3	31	744	21.0	66.8	1660.4	3.5	100.0	784.7
4	30	720	21.0	66.0	1640.5	5.4	100.0	896.5
5	31	744	21.0	67.3	1672.8	7.7	100.0	1050.5
6	30	720	21.0	69.3	1722.5	10.1	100.0	1235.6
7	31	744	21.0	70.3	1747.4	11.7	100.0	1374.3
8	31	744	21.0	70.0	1739.9	12.5	100.0	1448.7
9	30	720	21.0	67.6	1680.3	12.2	100.0	1420.4
10	31	744	21.0	66.0	1640.5	10.4	100.0	1260.6
11	30	720	21.0	66.8	1660.4	8.0	100.0	1072.2
12	31	744	21.0	67.3	1672.8	5.4	100.0	896.5

Poznámka: T_{ai} , RHi a P_i jsou prům. měsíční parametry vnitřního vzduchu (teplota, relativní vlhkost a částečný tlak vodní páry) a T_e , RHe a P_e jsou prům. měsíční parametry v prostředí na vnější straně konstrukce (teplota, relativní vlhkost a částečný tlak vodní páry).



Průměrná měsíční venkovní teplota T_e byla vypočtena podle čl. 4.2.3 v EN ISO 13788 (vliv tepelné setrvačnosti zeminy).

Pro vnitřní prostředí byla uplatněna přírážka k vnitřní relativní vlhkosti : 5.0 %

Výchozí měsíc výpočtu bilance se stanovuje výpočtem podle EN ISO 13788.

Počet hodnocených let : 1

VÝSLEDKY VÝPOČTU HODNOCENÉ KONSTRUKCE :

Tepelný odpor a součinitel prostupu tepla podle EN ISO 6946:

Tepelný odpor konstrukce R : 2.499 m²K/W
 Součinitel prostupu tepla konstrukce U : 0.380 W/m²K

Součinitel prostupu zabudované kce U_{kc} : 0.40 / 0.43 / 0.48 / 0.58 W/m²K

Uvedené orientační hodnoty platí pro různou kvalitu řešení tep. mostů vyjádřenou přírážkou podle poznámek k čl. B.9.2 v ČSN 730540-4.

Difúzní odpor a tepelně akumulční vlastnosti:

Difúzní odpor konstrukce Z_pT : 7.1E+0011 m/s

Teplotní útlum konstrukce N_y^* podle EN ISO 13786 : 129.5

Fázový posun teplotního kmitu Ψ_i^* podle EN ISO 13786 : 8.3 h

Teplota vnitřního povrchu a teplotní faktor podle ČSN 730540 a EN ISO 13788:

Vnitřní povrchová teplota v návrhových podmínkách $T_{si,p}$: 19.80 C
 Teplotní faktor v návrhových podmínkách $f_{Rsi,p}$: 0.909

Obě hodnoty platí pro odpor při přestupu tepla na vnitřní straně $R_{si}=0,25 \text{ m}^2\text{K/W}$.

Číslo měsíce	Minimální požadované hodnoty při max. rel. vlhkosti na vnitřním povrchu:				Vypočtené hodnoty		
	----- 80% -----		----- 100% -----		$T_{si}[C]$	f_{Rsi}	$RH_{si}[\%]$
	$T_{si,m}[C]$	$f_{Rsi,m}$	$T_{si,m}[C]$	$f_{Rsi,m}$			
1	17.6	0.807	14.1	0.606	19.4	0.909	71.6
2	18.2	0.847	14.7	0.655	19.3	0.909	74.5
3	18.1	0.834	14.6	0.634	19.4	0.909	73.7
4	17.9	0.802	14.4	0.577	19.6	0.909	72.0
5	18.2	0.791	14.7	0.527	19.8	0.909	72.5
6	18.7	0.787	15.2	0.465	20.0	0.909	73.7
7	18.9	0.776	15.4	0.396	20.2	0.909	74.1
8	18.8	0.746	15.3	0.332	20.2	0.909	73.4
9	18.3	0.692	14.8	0.293	20.2	0.909	71.0
10	17.9	0.708	14.4	0.378	20.0	0.909	70.0
11	18.1	0.777	14.6	0.507	19.8	0.909	71.9
12	18.2	0.822	14.7	0.597	19.6	0.909	73.5

Poznámka: RH_{si} je relativní vlhkost na vnitřním povrchu, T_{si} je vnitřní povrchová teplota a f_{Rsi} je teplotní faktor.

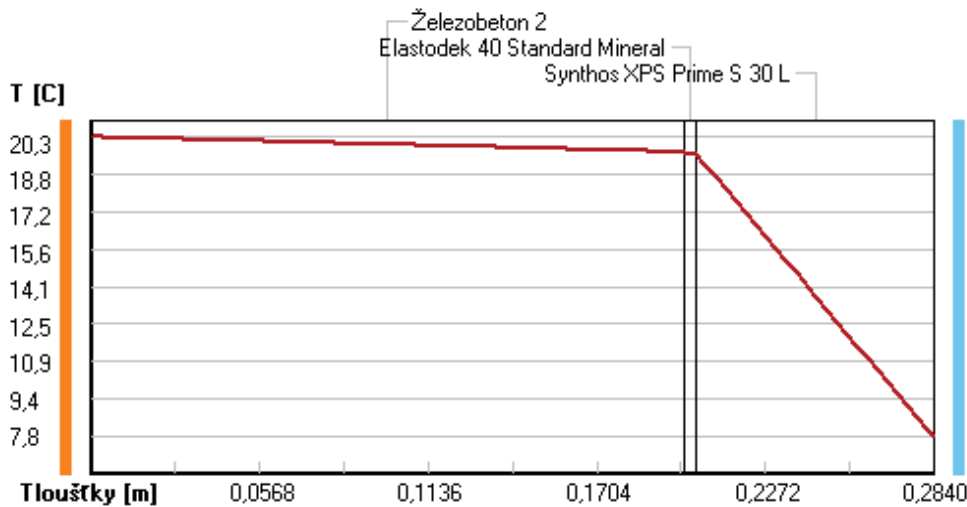
Difúze vodní páry v návrh. podmínkách a bilance vodní páry podle ČSN 730540: (bez vlivu zabudované vlhkosti a sluneční radiace)

Průběh teplot a částečných tlaků vodní páry v návrhových okrajových podmínkách:

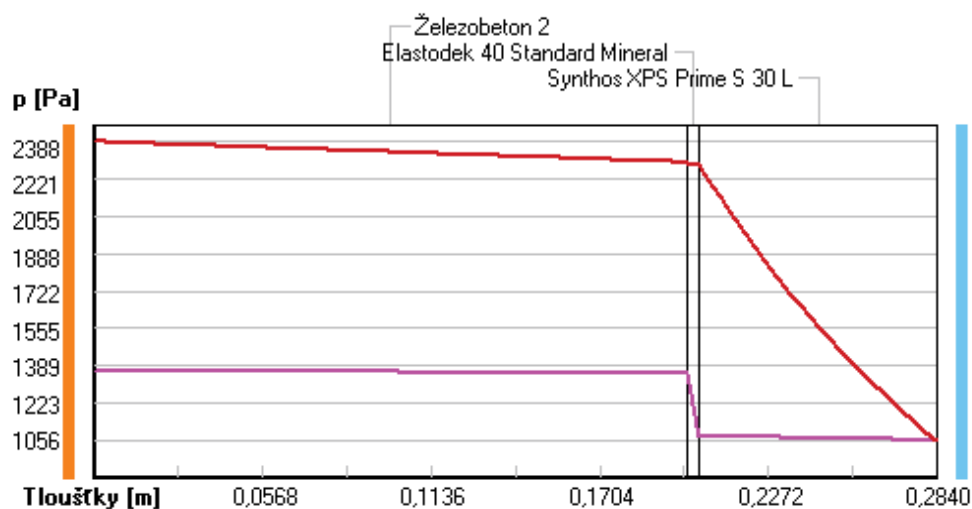
rozhraní:	i	1-2	2-3	e
theta [C]:	20.3	19.7	19.6	7.8
p [Pa]:	1367	1354	1075	1056
p,sat [Pa]:	2388	2295	2282	1056

Poznámka: theta je teplota na rozhraní vrstev, p je předpokládaný částečný tlak vodní páry na rozhraní vrstev a p,sat je částečný tlak nasycené vodní páry na rozhraní vrstev.

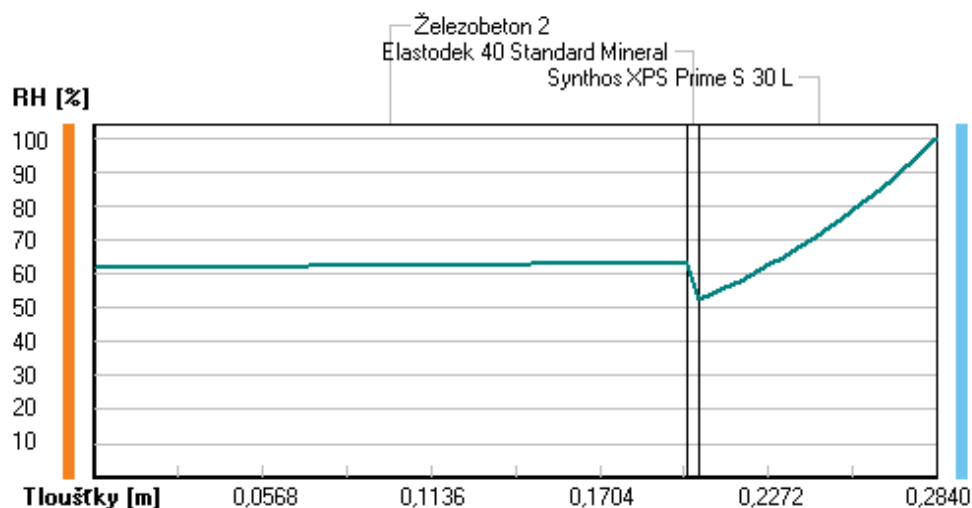
Teploty v typickém místě konstrukce v ustálených návrhových podmínkách



Část. tlaky vodní páry v typickém místě konstrukce v ustál. návrh. podmínkách



Rel. vlhkosti v typickém místě konstrukce v ustál. návrh. podmínkách



Při venkovní návrhové teplotě nedochází v konstrukci ke kondenzaci vodní páry.

Množství difundující vodní páry G_d : 4.646E-0010 kg/(m².s)

Bilance zkondenzované a vypařené vodní páry podle EN ISO 13788:

Roční cyklus č. 1

V konstrukci nedochází během modelového roku ke kondenzaci vodní páry.

Poznámka: Hodnocení difúze vodní páry bylo provedeno pro předpoklad 1D šíření vodní páry převažující skladbou konstrukce. Pro konstrukce s výraznými systematickými tepelnými mosty je výsledek výpočtu jen orientační. Přesnější výsledky lze získat s pomocí 2D analýzy.

Rozmezí relativních vlhkostí v jednotlivých materiálech (pro poslední roční cyklus):

Číslo	Název	Trvání příslušné relativní vlhkosti v materiálu ve dnech za rok				
		pod 60%	60-70%	70-80%	80-90%	nad 90%
1	Železobeton 2	---	31	334	---	---
2	Elastodek 40 S	---	31	334	---	---
3	Synthos XPS Pr	---	---	---	---	365

Poznámka: S pomocí této tabulky lze zjednodušeně odhadnout, jaké je riziko dosažení nepřipustné hmotnostní vlhkosti materiálu či riziko jeho koroze.

Konkrétně pro dřevo předepisuje ČSN 730540-2/Z1 maximální přípustnou hmotnostní vlhkost 18 %. Ze sorpční křivky pro daný typ dřeva lze odvodit, při jaké relativní vlhkosti vzduchu dosahuje dřevo této kritické hmotnostní vlhkosti. Obvykle jde o cca 80 %.

Pokud je v tabulce výše pro dřevo uveden dlouhodobější výskyt relativní vlhkosti nad 80 %, lze předpokládat, že požadavek ČSN 730540-2 na maximální hmotnostní vlhkost dřeva nebude splněn.

SHRNUTÍ VLASTNOSTÍ HODNOCENÝCH KONSTRUKCÍ

Teplo 2017 EDU tepelná ochrana budov (ČSN 730540, EN ISO 6946, EN ISO 13788)

Název kce	Typ	R [m2K/W]	U [W/m2K]	Ma,max[kg/m2]	Odpaření	DeltaT10 [C]
skladba střechy...	střecha	8.455	0.116	1.5891	ano	---

Vysvětlivky:

R	tepelný odpor konstrukce
U	součinitel prostupu tepla konstrukce
Ma,max	maximální množství zkond. vodní páry v konstrukci za rok
DeltaT10	pokles dotykové teploty podlahové konstrukce.

KOMPLEXNÍ POSOUZENÍ SKLADBY STAVEBNÍ KONSTRUKCE Z HLEDISKA ŠÍŘENÍ TEPLA A VODNÍ PÁRY

podle EN ISO 13788, EN ISO 6946, ČSN 730540 a STN 730540

Teplo 2017 EDU

Název úlohy : **skladba střechy**

Zpracovatel : TT 2017

Zakázka : Diplomová práce

Datum : 06.04.2021

ZADANÁ SKLADBA A OKRAJOVÉ PODMÍNKY :

Typ hodnocené konstrukce : Střecha jednoplášťová
Korekce součinitele prostupu dU : 0.000 W/m2K

Skladba konstrukce (od interiéru) :

Číslo	Název	D [m]	Lambda [W/(m.K)]	c [J/(kg.K)]	Ro [kg/m3]	Mi [-]	Ma [kg/m2]
1	Rigips RB/RBI/	0,0180	0,2100	960,0	750,0	10,0	0.0000
2	Isover Uni	0,0500	0,0380	800,0	40,0	1,0	0.0000
3	Egger OSB4 TOP	0,0220	0,1300	1700,0	620,0	200,0	0.0000
4	Isover Uni	0,1000	0,0480*	928,3	67,0	1,0	0.0000
5	Isover Uni	0,2400	0,0500*	949,6	71,5	1,0	0.0000
6	Tyvek Solid	0,0002	0,3500	1470,0	350,0	87,0	0.0000

Poznámka: D je tloušťka vrstvy, Lambda je návrhová hodnota tepelné vodivosti vrstvy, C je měrná tepelná kapacita vrstvy, Ro je objemová hmotnost vrstvy, Mi je faktor difúzního odporu vrstvy a Ma je počáteční zabudovaná vlhkost ve vrstvě.

* ekvival. tep. vodivost s vlivem tepelných mostů, stanovena interním výpočtem

Číslo	Kompletní název vrstvy	Interní výpočet tep. vodivosti
1	Rigips RB/RBI/RF/MA (sádkartonové desky)	---
2	Isover Uni	---
3	Egger OSB4 TOP	---
4	Isover Uni	vliv systematických tep. mostů dle EN ISO 6946 Tep. vodivost zákl. materiálu: 0.038 W/(m.K) Tep. vodivost tep. mostů: 0.180 W/(m.K) Šířka tepelných mostů: 0.0600 m Tloušťka tepelných mostů: 0.1000 m Os. vzdálenost tep. mostů: 0.8000 m
5	Isover Uni	vliv systematických tep. mostů dle EN ISO 6946 Tep. vodivost zákl. materiálu: 0.038 W/(m.K) Tep. vodivost tep. mostů: 0.180 W/(m.K) Šířka tepelných mostů: 0.0700 m

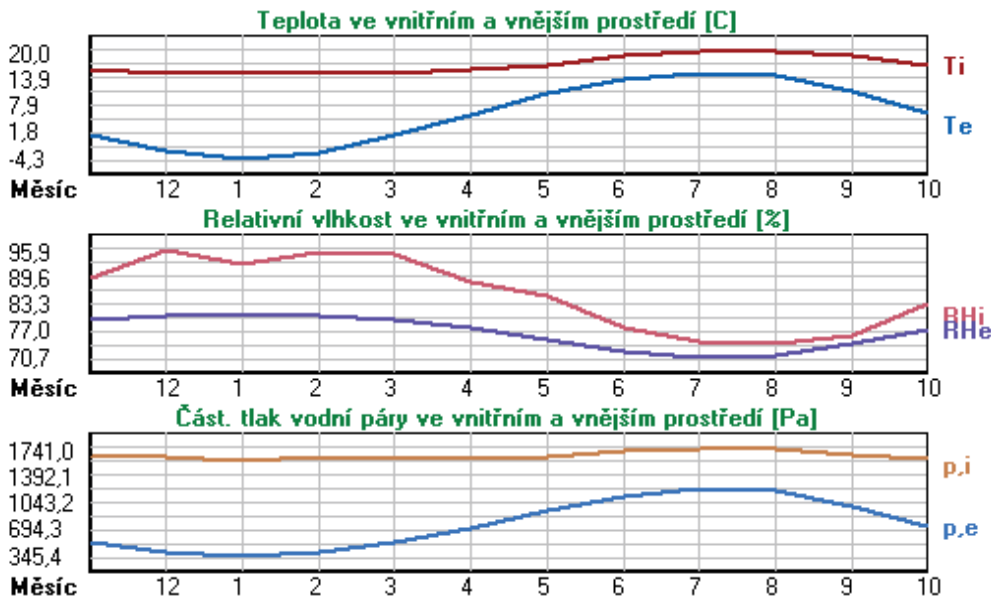
Okrajové podmínky výpočtu :

Tepelný odpor při přestupu tepla v interiéru R_{si} : 0.10 m²K/W
 dtto pro výpočet vnitřní povrchové teploty R_{si} : 0.25 m²K/W
 Tepelný odpor při přestupu tepla v exteriéru R_{se} : 0.04 m²K/W
 dtto pro výpočet vnitřní povrchové teploty R_{se} : 0.04 m²K/W

Návrhová venkovní teplota T_e : -15.0 C
 Návrhová teplota vnitřního vzduchu T_{ai} : 15.0 C
 Návrhová relativní vlhkost venkovního vzduchu R_{He} : 84.0 %
 Návrhová relativní vlhkost vnitřního vzduchu R_{Hi} : 55.0 %

Měsíc	Délka [dny/hodiny]	T_{ai} [C]	R_{Hi} [%]	P_i [Pa]	T_e [C]	R_{He} [%]	P_e [Pa]	
1	31	744	15.0	92.4	1574.9	-4.3	81.1	345.4
2	28	672	15.0	95.6	1629.4	-2.7	80.7	393.5
3	31	744	15.0	95.1	1620.9	1.0	79.5	521.8
4	30	720	16.0	88.4	1606.5	5.6	77.5	704.5
5	31	744	17.0	85.0	1646.2	10.5	74.7	948.0
6	30	720	19.0	77.8	1708.6	13.7	72.2	1131.3
7	31	744	20.0	74.5	1741.0	15.2	70.7	1220.6
8	31	744	20.0	74.1	1731.7	14.7	71.2	1190.3
9	30	720	19.0	75.9	1666.9	11.1	74.2	980.0
10	31	744	17.0	83.3	1613.2	6.2	77.2	731.6
11	30	720	16.0	89.5	1626.5	1.0	79.5	521.8
12	31	744	15.0	95.9	1634.5	-2.6	80.7	396.8

Poznámka: T_{ai} , R_{Hi} a P_i jsou prům. měsíční parametry vnitřního vzduchu (teplota, relativní vlhkost a částečný tlak vodní páry) a T_e , R_{He} a P_e jsou prům. měsíční parametry v prostředí na vnější straně konstrukce (teplota, relativní vlhkost a částečný tlak vodní páry).



Průměrná měsíční venkovní teplota T_e byla v souladu s EN ISO 13788 snížena o 2 C (orientační zohlednění výměny tepla sáláním mezi střešou a oblohou).

Pro vnitřní prostředí byla uplatněna přírážka k vnitřní relativní vlhkosti : 5.0 %

Výchozí měsíc výpočtu bilance se stanovuje výpočtem podle EN ISO 13788.

Počet hodnocených let : 1

VÝSLEDKY VÝPOČTU HODNOCENÉ KONSTRUKCE :**Tepelný odpor a součinitel prostupu tepla podle EN ISO 6946:**

Tepelný odpor konstrukce R : 8.455 m²K/W
 Součinitel prostupu tepla konstrukce U : 0.116 W/m²K

Součinitel prostupu zabudované kce U_{kc} : 0.14 / 0.17 / 0.22 / 0.32 W/m²K
 Uvedené orientační hodnoty platí pro různou kvalitu řešení tep. mostů vyjádřenou přibližnou přírážkou podle poznámek k čl. B.9.2 v ČSN 730540-4.

Difúzní odpor a tepelně akumulční vlastnosti:

Difuzní odpor konstrukce ZpT : 2.7E+0010 m/s
Teplotní útlum konstrukce Ny* podle EN ISO 13786 : 413.4
Fázový posun teplotního kmitu Psi* podle EN ISO 13786 : 11.3 h

Teplota vnitřního povrchu a teplotní faktor podle ČSN 730540 a EN ISO 13788:

Vnitřní povrchová teplota v návrhových podmínkách Tsi,p : 14.14 C
Teplotní faktor v návrhových podmínkách f,Rsi,p : 0.971

Obě hodnoty platí pro odpor při přestupu tepla na vnitřní straně Rsi=0,25 m2K/W.

Číslo měsíce	Minimální požadované hodnoty při max. rel. vlhkosti na vnitřním povrchu:				Vypočtené hodnoty		
	80%		100%		Tsi[C]	f,Rsi	RHsi[%]
	Tsi,m[C]	f,Rsi,m	Tsi,m[C]	f,Rsi,m	Tsi[C]	f,Rsi	RHsi[%]
1	17.3	1.117	13.8	0.937	14.4	0.971	95.7
2	17.8	1.158	14.3	0.961	14.5	0.971	98.8
3	17.7	1.194	14.2	0.944	14.6	0.971	97.6
4	17.6	1.151	14.1	0.816	15.7	0.971	90.1
5	18.0	1.148	14.5	0.609	16.8	0.971	86.0
6	18.6	0.916	15.0	0.252	18.8	0.971	78.5
7	18.9	0.761	15.3	0.027	19.9	0.971	75.1
8	18.8	0.768	15.2	0.103	19.8	0.971	74.8
9	18.2	0.894	14.7	0.450	18.8	0.971	77.0
10	17.6	1.059	14.1	0.736	16.7	0.971	84.9
11	17.8	1.118	14.3	0.885	15.6	0.971	92.0
12	17.8	1.162	14.4	0.963	14.5	0.971	99.1

Poznámka: RHsi je relativní vlhkost na vnitřním povrchu, Tsi je vnitřní povrchová teplota a f,Rsi je teplotní faktor.

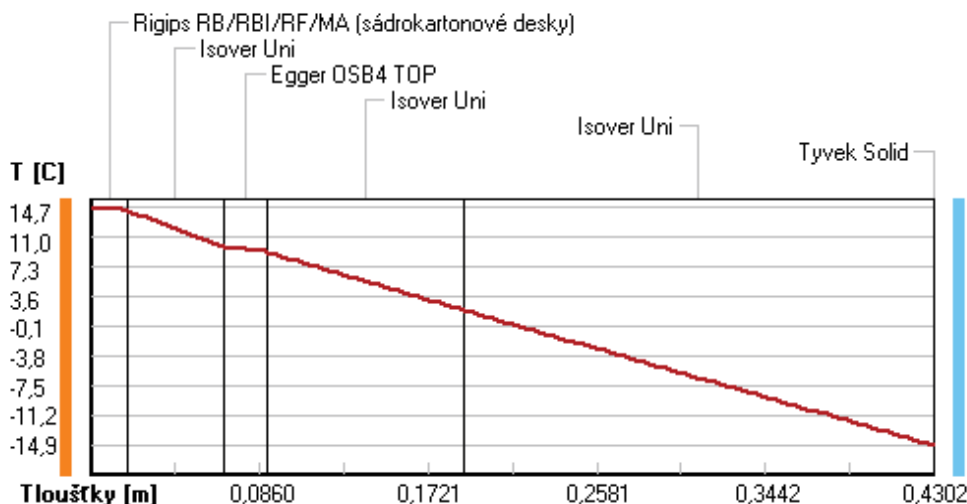
Difúze vodní páry v návrh. podmínkách a bilance vodní páry podle ČSN 730540: (bez vlivu zabudované vlhkosti a sluneční radiace)

Průběh teplot a částečných tlaků vodní páry v návrhových okrajových podmínkách:

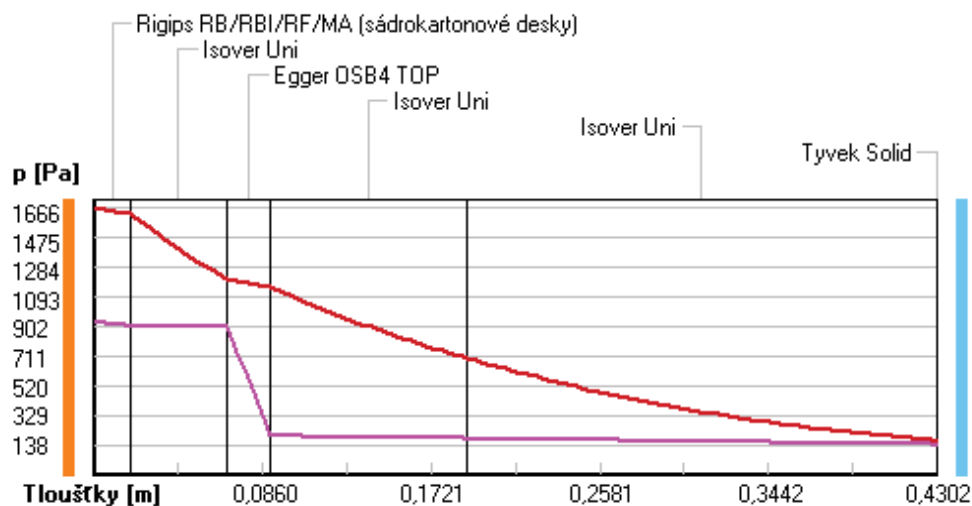
rozhraní:	i	1-2	2-3	3-4	4-5	5-6	e
theta [C]:	14.7	14.4	9.8	9.2	1.9	-14.9	-14.9
p [Pa]:	937	909	901	196	180	142	138
p,sat [Pa]:	1666	1635	1208	1161	700	167	167

Poznámka: theta je teplota na rozhraní vrstev, p je předpokládaný částečný tlak vodní páry na rozhraní vrstev a p,sat je částečný tlak nasycené vodní páry na rozhraní vrstev.

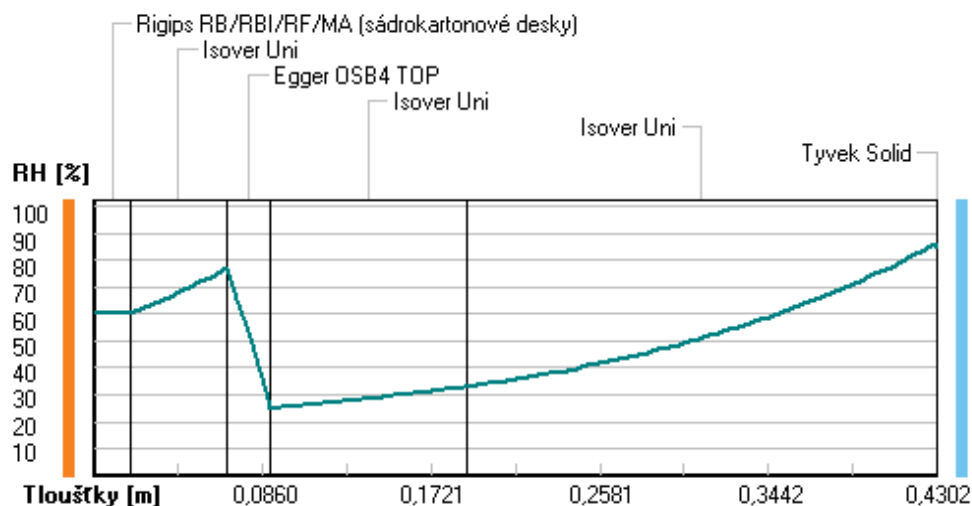
Teploty v typickém místě konstrukce v ustálených návrhových podmínkách



Část. tlaky vodní páry v typickém místě konstrukce v ustál. návrh. podmínkách



Rel. vlhkosti v typickém místě konstrukce v ustál. návrh. podmínkách



Při venkovní návrhové teplotě nedochází v konstrukci ke kondenzaci vodní páry.

Množství difundující vodní páry G_d : 3.203E-0008 kg/(m².s)

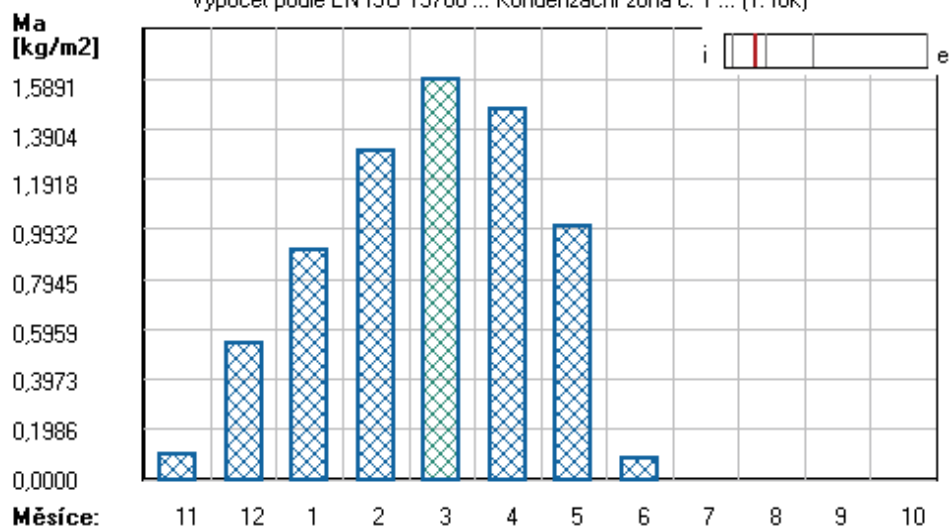
Bilance zkondenzované a vypařené vodní páry podle EN ISO 13788:

Roční cyklus č. 1

V konstrukci dochází během modelového roku ke kondenzaci.

Kondenzační zóna č. 1

Akumulované množství zkondenzované vlhkosti
Výpočet podle EN ISO 13788 ... Kondenzační zóna č. 1 ... (1. rok)



Měsíc	Hranice kond.zóny v m od interiéru		Dif.tok do/ze zóny v kg/m² za měsíc		Kondenz./vypař. v kg/m² za měsíc Mc/Mev	Akumul. vlhkost v kg/m² za měsíc Ma
	levá	pravá	g,in	g,out		
11	0.0680	0.0680	0.2072	0.1103	0.0969	0.0969
12	0.0680	0.0680	0.5581	0.1123	0.4457	0.5427
1	0.0680	0.0680	0.4667	0.1113	0.3553	0.9099
2	0.0680	0.0680	0.4967	0.1016	0.3951	1.3049
3	0.0680	0.0680	0.3890	0.1049	0.2841	1.5891
4	0.0680	0.0680	-0.0233	0.0994	-0.1227	1.4664
5	0.0680	0.0680	-0.3621	0.0961	-0.4581	1.0083
6	0.0680	0.0680	-0.8201	0.1025	-0.9226	0.0857
7	---	---	-1.1117	0.1123	-1.2240	0.0000
8	---	---	---	---	---	---
9	---	---	---	---	---	---
10	---	---	---	---	---	---

Max. množství zkondenzované vodní páry za rok $M_{c,a}$: **1.5891 kg/m²**
Množství vypařitelné vodní páry za rok $M_{ev,a}$ je min.: **1.5891 kg/m²**
z toho se odpaří do exteriéru: 0.2390 kg/m²
..... a do interiéru: 1.3501 kg/m²

Na konci modelového roku je zóna suchá (tj. $M_{c,a} < M_{ev,a}$).

Poznámka: Hodnocení difúze vodní páry bylo provedeno pro předpoklad 1D šíření vodní páry převažující skladbou konstrukce. Pro konstrukce s výraznými systematickými tepelnými mosty je výsledek výpočtu jen orientační. Přesnější výsledky lze získat s pomocí 2D analýzy.

Rozmezí relativních vlhkostí v jednotlivých materiálech (pro poslední roční cyklus):

Číslo	Název	Trvání příslušné relativní vlhkosti v materiálu ve dnech za rok				
		pod 60%	60-70%	70-80%	80-90%	nad 90%
1	Rigips RB/RBI/	---	---	92	31	242
2	Isover Uni	---	---	62	30	273
3	Egger OSB4 TOP	---	---	62	30	273

4	Isover Uni	242	123	---	---	---
5	Isover Uni	---	---	275	90	---
6	Tyvek Solid	---	---	275	90	---

Poznámka: S pomocí této tabulky lze zjednodušeně odhadnout, jaké je riziko dosažení nepřijatelné hmotnostní vlhkosti materiálu či riziko jeho koroze.

Konkrétně pro dřevo předepisuje ČSN 730540-2/Z1 maximální přípustnou hmotnostní vlhkost 18 %. Ze sorpční křivky pro daný typ dřeva lze odvodit, při jaké relativní vlhkosti vzduchu dosahuje dřevo této kritické hmotnostní vlhkosti. Obvykle jde o cca 80 %.

Pokud je v tabulce výše pro dřevo uveden dlouhodobější výskyt relativní vlhkosti nad 80 %, lze předpokládat, že požadavek ČSN 730540-2 na maximální hmotnostní vlhkost dřeva nebude splněn.

Teplo 2017 EDU, (c) 2017 Svoboda Software

SHRNUTÍ VLASTNOSTÍ HODNOCENÝCH KONSTRUKCÍ

Teplo 2017 EDU tepelná ochrana budov (ČSN 730540, EN ISO 6946, EN ISO 13788)

Název kce	Typ	R [m2K/W]	U [W/m2K]	Ma,max[kg/m2]	Odpaření	DeltaT10 [C]
Podlaha suterén...	podlaha	3.648	0.262	---	---	10.38

Vysvětlivky:

R	tepelný odpor konstrukce
U	součinitel prostupu tepla konstrukce
Ma,max	maximální množství zkond. vodní páry v konstrukci za rok
DeltaT10	pokles dotykové teploty podlahové konstrukce.

KOMPLEXNÍ POSOUZENÍ SKLADBY STAVEBNÍ KONSTRUKCE Z HLEDISKA ŠÍŘENÍ TEPLA A VODNÍ PÁRY

podle EN ISO 13788, EN ISO 6946, ČSN 730540 a STN 730540

Teplo 2017 EDU

Název úlohy : **Podlaha suterén**
Zpracovatel : TT 2017
Zakázka : Diplomová práce
Datum : 20.04.2021

ZADANÁ SKLADBA A OKRAJOVÉ PODMÍNKY :

Typ hodnocené konstrukce : Podlaha - výpočet poklesu dotykové teploty
Korekce součinitele prostupu dU : 0.000 W/m2K

Skladba konstrukce (od interiéru) :

Číslo	Název	D [m]	Lambda [W/(m.K)]	c [J/(kg.K)]	Ro [kg/m3]	Mi [-]	Ma [kg/m2]
1	Keramický obkl	0,0060	1,0100	840,0	2000,0	200,0	0.0000
2	Beton hutný 1	0,0500	1,2300	1020,0	2100,0	17,0	0.0000
3	Dow Floormate	0,1100	0,0320	2060,0	35,0	150,0	0.0000
4	Elastodek 50 S	0,0050	0,2100	1470,0	1200,0	30000,0	0.0000
5	Železobeton 1	0,2000	1,4300	1020,0	2300,0	23,0	0.0000

Poznámka: D je tloušťka vrstvy, Lambda je návrhová hodnota tepelné vodivosti vrstvy, C je měrná tepelná kapacita vrstvy, Ro je objemová hmotnost vrstvy, Mi je faktor difúzního odporu vrstvy a Ma je počáteční zabudovaná vlhkost ve vrstvě.

Číslo	Kompletní název vrstvy	Interní výpočet tep. vodivosti
1	Keramický obklad	---
2	Beton hutný 1	---
3	Dow Floormate 200	---
4	Elastodek 50 Special Mineral	---
5	Železobeton 1	---

Okrajové podmínky výpočtu :

Tepelný odpor při přestupu tepla v interiéru Rsi : 0.17 m2K/W
Tepelný odpor při přestupu tepla v exteriéru Rse : 0.00 m2K/W

Návrhová venkovní teplota Te : 0.0 C
Návrhová teplota vnitřního vzduchu Tai : 16.0 C
Návrhová relativní vlhkost venkovního vzduchu RHe : 10.0 %
Návrhová relativní vlhkost vnitřního vzduchu RH_i : 55.0 %

VÝSLEDKY VÝPOČTU HODNOCENÉ KONSTRUKCE :

Tepelný odpor a součinitel prostupu tepla podle EN ISO 6946:

Tepelný odpor konstrukce R : 3.648 m²K/W
Součinitel prostupu tepla konstrukce U : **0.262 W/m²K**

Součinitel prostupu zabudované kce U_{kc} : 0.28 / 0.31 / 0.36 / 0.46 W/m²K
Uvedené orientační hodnoty platí pro různou kvalitu řešení tep. mostů vyjádřenou přibližnou přírážkou podle poznámek k čl. B.9.2 v ČSN 730540-4.

Difúzní odpor a tepelně akumulční vlastnosti:

Difúzní odpor konstrukce Z_{pT} : 9.2E+0011 m/s

Teplota vnitřního povrchu a teplotní faktor podle ČSN 730540 a EN ISO 13788:

Vnitřní povrchová teplota v návrhových podmínkách T_{si,p} : 14.97 C
Teplotní faktor v návrhových podmínkách f, R_{si,p} : **0.936**

Obě hodnoty platí pro odpor při přestupu tepla na vnitřní straně R_{si}=0,25 m²K/W.

Pokles dotykové teploty podlahy podle ČSN 730540:

Tepelná jímavost podlahové konstrukce B : 1581.56 Ws/m²K

Pokles dotykové teploty podlahy DeltaT : 10.38 C

SHRNUTÍ VLASTNOSTÍ HODNOCENÝCH KONSTRUKCÍ

Teplo 2017 EDU tepelná ochrana budov (ČSN 730540, EN ISO 6946, EN ISO 13788)

Název kce	Typ	R [m2K/W]	U [W/m2K]	Ma,max[kg/m2]	Odpaření	DeltaT10 [C]
Podlaha knihovna...	podlaha	12.861	0.077	---	---	10.63

Vysvětlivky:

R	tepelný odpor konstrukce
U	součinitel prostupu tepla konstrukce
Ma,max	maximální množství zkond. vodní páry v konstrukci za rok
DeltaT10	pokles dotykové teploty podlahové konstrukce.

KOMPLEXNÍ POSOUZENÍ SKLADBY STAVEBNÍ KONSTRUKCE Z HLEDISKA ŠÍŘENÍ TEPLA A VODNÍ PÁRY

podle EN ISO 13788, EN ISO 6946, ČSN 730540 a STN 730540

Teplo 2017 EDU

Název úlohy : **Podlaha knihovna**
Zpracovatel : TT 2017
Zakázka : Diplomová práce
Datum : 20.04.2021

ZADANÁ SKLADBA A OKRAJOVÉ PODMÍNKY :

Typ hodnocené konstrukce : Podlaha - výpočet poklesu dotykové teploty
Korekce součinitele prostupu dU : 0.000 W/m2K

Skladba konstrukce (od interiéru) :

Číslo	Název	D [m]	Lambda [W/(m.K)]	c [J/(kg.K)]	Ro [kg/m3]	Mi [-]	Ma [kg/m2]
1	Keramický obkl	0,0060	1,0100	840,0	2000,0	200,0	0.0000
2	Beton hutný 1	0,0500	1,2300	1020,0	2100,0	17,0	0.0000
3	Dow Floormate	0,1000	0,0320	2060,0	35,0	150,0	0.0000
4	Elastodek 50 M	0,0050	0,2100	1470,0	1200,0	30000,0	0.0000
5	Železobeton 1	0,2000	1,4300	1020,0	2300,0	23,0	0.0000
6	Pěnové sklo 1	0,4000	0,0440	840,0	120,0	40000,0	0.0000
7	Půda písčítá v	1,0000	2,3000	920,0	2000,0	2,0	0.0000

Poznámka: D je tloušťka vrstvy, Lambda je návrhová hodnota tepelné vodivosti vrstvy, C je měrná tepelná kapacita vrstvy, Ro je objemová hmotnost vrstvy, Mi je faktor difúzního odporu vrstvy a Ma je počáteční zabudovaná vlhkost ve vrstvě.

Číslo	Kompletní název vrstvy	Interní výpočet tep. vodivosti
1	Keramický obklad	---
2	Beton hutný 1	---
3	Dow Floormate 200	---
4	Elastodek 50 Medium Mineral	---
5	Železobeton 1	---
6	Pěnové sklo 1 (po roce 2003)	---
7	Půda písčítá vlhká	---

Okrajové podmínky výpočtu :

Tepelný odpor při přestupu tepla v interiéru Rsi : 0.17 m2K/W
Tepelný odpor při přestupu tepla v exteriéru Rse : 0.00 m2K/W

Návrhová venkovní teplota T_e :	5.0 C
Návrhová teplota vnitřního vzduchu T_{ai} :	15.0 C
Návrhová relativní vlhkost venkovního vzduchu R_{He} :	100.0 %
Návrhová relativní vlhkost vnitřního vzduchu R_{Hi} :	55.0 %

VÝSLEDKY VÝPOČTU HODNOCENÉ KONSTRUKCE :

Tepelný odpor a součinitel prostupu tepla podle EN ISO 6946:

Tepelný odpor konstrukce R :	12.861 m ² K/W
Součinitel prostupu tepla konstrukce U :	0.077 W/m²K

Součinitel prostupu zabudované kce U_{kc} : 0.10 / 0.13 / 0.18 / 0.28 W/m²K
Uvedené orientační hodnoty platí pro různou kvalitu řešení tep. mostů vyjádřenou přibližnou přírážkou podle poznámek k čl. B.9.2 v ČSN 730540-4.

Difúzní odpor a tepelně akumulční vlastnosti:

Difúzní odpor konstrukce Z_{pT} :	8.6E+0013 m/s
-------------------------------------	---------------

Teplota vnitřního povrchu a teplotní faktor podle ČSN 730540 a EN ISO 13788:

Vnitřní povrchová teplota v návrhových podmínkách $T_{si,p}$:	14.81 C
Teplotní faktor v návrhových podmínkách $f_{Rsi,p}$:	0.981

Obě hodnoty platí pro odpor při přestupu tepla na vnitřní straně $R_{si}=0,25$ m²K/W.

Pokles dotykové teploty podlahy podle ČSN 730540:

Tepelná jímavost podlahové konstrukce B :	1581.56 Ws/m ² K
Pokles dotykové teploty podlahy ΔT :	10.63 C

SHRNUTÍ VLASTNOSTÍ HODNOCENÝCH KONSTRUKCÍ

Teplo 2017 EDU tepelná ochrana budov (ČSN 730540, EN ISO 6946, EN ISO 13788)

Název kce	Typ	R [m2K/W]	U [W/m2K]	Ma,max[kg/m2]	Odpaření	DeltaT10 [C]
Podlaha hasičská zbroj...	podlaha	9.755	0.101	---	---	10.98

Vysvětlivky:

R	tepelný odpor konstrukce
U	součinitel prostupu tepla konstrukce
Ma,max	maximální množství zkond. vodní páry v konstrukci za rok
DeltaT10	pokles dotykové teploty podlahové konstrukce.

KOMPLEXNÍ POSOUZENÍ SKLADBY STAVEBNÍ KONSTRUKCE Z HLEDISKA ŠÍŘENÍ TEPLA A VODNÍ PÁRY

podle EN ISO 13788, EN ISO 6946, ČSN 730540 a STN 730540

Teplo 2017 EDU

Název úlohy : **Podlaha hasičská zbrojnice**
Zpracovatel : TT 2017
Zakázka : Diplomová práce
Datum : 20.04.2021

ZADANÁ SKLADBA A OKRAJOVÉ PODMÍNKY :

Typ hodnocené konstrukce : Podlaha - výpočet poklesu dotykové teploty
Korekce součinitele prostupu dU : 0.000 W/m2K

Skladba konstrukce (od interiéru) :

Číslo	Název	D [m]	Lambda [W/(m.K)]	c [J/(kg.K)]	Ro [kg/m3]	Mi [-]	Ma [kg/m2]
1	Barva epoxiděh	0,0002	0,2100	1400,0	1400,0	55370,0	0.0000
2	Beton hutný 2	0,1300	1,3000	1020,0	2200,0	20,0	0.0000
3	Elastodek 50 S	0,0050	0,2100	1470,0	1200,0	30000,0	0.0000
4	Železobeton 1	0,1500	1,4300	1020,0	2300,0	23,0	0.0000
5	Pěnové sklo 1	0,4000	0,0440	840,0	120,0	40000,0	0.0000
6	Půda písčítá v	1,0000	2,3000	920,0	2000,0	2,0	0.0000

Poznámka: D je tloušťka vrstvy, Lambda je návrhová hodnota tepelné vodivosti vrstvy, C je měrná tepelná kapacita vrstvy, Ro je objemová hmotnost vrstvy, Mi je faktor difúzního odporu vrstvy a Ma je počáteční zabudovaná vlhkost ve vrstvě.

Číslo	Kompletní název vrstvy	Interní výpočet tep. vodivosti
1	Barva epoxidehtová 1x	---
2	Beton hutný 2	---
3	Elastodek 50 Special Mineral	---
4	Železobeton 1	---
5	Pěnové sklo 1 (po roce 2003)	---
6	Půda písčítá vlhká	---

Okrajové podmínky výpočtu :

Tepelný odpor při přestupu tepla v interiéru Rsi : 0.17 m2K/W
Tepelný odpor při přestupu tepla v exteriéru Rse : 0.00 m2K/W

Návrhová venkovní teplota Te : 5.0 C
Návrhová teplota vnitřního vzduchu Tai : 15.0 C

Návrhová relativní vlhkost venkovního vzduchu RHe : 100.0 %
Návrhová relativní vlhkost vnitřního vzduchu RH_i : 55.0 %

VÝSLEDKY VÝPOČTU HODNOCENÉ KONSTRUKCE :

Tepelný odpor a součinitel prostupu tepla podle EN ISO 6946:

Tepelný odpor konstrukce R : 9.755 m²K/W
Součinitel prostupu tepla konstrukce U : **0.101 W/m²K**

Součinitel prostupu zabudované kce U_{k,c} : 0.12 / 0.15 / 0.20 / 0.30 W/m²K
Uvedené orientační hodnoty platí pro různou kvalitu řešení tep. mostů vyjádřenou přibližnou přírážkou podle poznámek k čl. B.9.2 v ČSN 730540-4.

Difúzní odpor a tepelně akumulční vlastnosti:

Difúzní odpor konstrukce Z_{pT} : 8.6E+0013 m/s

Teplota vnitřního povrchu a teplotní faktor podle ČSN 730540 a EN ISO 13788:

Vnitřní povrchová teplota v návrhových podmínkách T_{si,p} : 14.75 C
Teplotní faktor v návrhových podmínkách f_{i,Rsi,p} : **0.975**

Obě hodnoty platí pro odpor při přestupu tepla na vnitřní straně R_{si}=0,25 m²K/W.

Pokles dotykové teploty podlahy podle ČSN 730540:

Tepelná jímavost podlahové konstrukce B : 1705.08 Ws/m²K
Pokles dotykové teploty podlahy DeltaT : 10.98 C

DVOUROZMĚRNÉ STACIONÁRNÍ POLE TEPLOT A ČÁSTEČNÝCH TLAKŮ VODNÍ PÁRY

podle EN ISO 10211 a ČSN 730540 - MKP/FEM model

Area 2017 EDU

Název úlohy : **Detail rohový spoj venkovních**

Varianta

Zpracovatel : TT 2017

Zakázka : Diplomová práce

Datum : 07.04.2021

KONTROLNÍ TISK VSTUPNÍCH DAT :

Parametry pro výpočet teplotního faktoru:

Teplota vzduchu v exteriéru: -15.0 C

Teplota vzduchu v interiéru: 21.0 C

Parametry charakterizující rozsah úlohy:

Počet svislých os: 48

Počet vodorovných os: 50

Počet prvků: 4606

Počet uzlových bodů: 2400

Souřadnice os sítě - osa x [m] :

0.00000	0.06363	0.12725	0.19088	0.25450	0.31813	0.38175	0.44538	0.50900	0.62315
0.73729	0.85144	0.90851	0.93704	0.95131	0.95845	0.96558	0.96800	0.97000	0.97375
0.97750	0.98500	1.00000	1.01800	1.03000	1.06800	1.09000	1.11779	1.13169	1.14558
1.15000	1.15875	1.16750	1.18500	1.22000	1.25500	1.29000	1.30300	1.34050	1.37800
1.41550	1.43425	1.44363	1.44831	1.45300	1.45550	1.45800	1.45900		

Souřadnice os sítě - osa y [m] :

0.00000	0.00079	0.00469	0.00859	0.01639	0.03199	0.06319	0.12559	0.25040	0.37520
0.50000	0.61725	0.73450	0.85175	0.96900	1.00000	1.00900	1.01350	1.01800	1.01900
1.02400	1.02900	1.04850	1.06800	1.07850	1.08375	1.08900	1.09000	1.09367	1.09734
1.10469	1.11937	1.14874	1.15874	1.19387	1.22900	1.25900	1.28900	1.29550	1.29875
1.30200	1.30279	1.30745	1.31212	1.32144	1.34009	1.37740	1.41470	1.45200	1.45800

Zadané materiály :

č.	Název	LambdaX	LambdaY	MiX	MiY	X1	X2	Y1	Y2
1	Rigips RB/RBI/R	0.210	0.210	10	10	1	24	16	19
2	Rigips RB/RBI/R	0.210	0.210	10	10	23	24	1	16
3	Isover Uni	0.038	0.038	1.000	1.000	24	26	1	15
4	Isover Uni	0.038	0.038	1.000	1.000	1	18	19	24
5	Egger OSB4 TOP	0.130	0.130	200	200	26	27	1	24
6	Egger OSB4 TOP	0.130	0.130	200	200	1	27	24	28
7	Isover Uni	0.038	0.038	1.000	1.000	27	37	1	15
8	Isover Uni	0.038	0.038	1.000	1.000	1	19	27	38
9	Dřevovláknité d	0.130	0.130	13	13	37	38	2	42
10	Dřevovláknité d	0.130	0.130	13	13	1	37	38	41
11	Isover Multimax	0.034	0.034	1.000	1.000	38	45	1	49
12	Isover Multimax	0.034	0.034	1.000	1.000	1	38	41	49
13	Omítka ETICS mi	0.800	0.800	20	20	45	48	1	50
14	Omítka ETICS mi	0.800	0.800	20	20	1	47	49	50
15	Dřevo měkké (to	0.180	0.180	157	157	27	37	36	38
16	Dřevo měkké (to	0.180	0.180	157	157	25	27	27	38
17	Dřevo měkké (to	0.180	0.180	157	157	27	31	22	36
18	Isover Uni	0.038	0.038	1.000	1.000	31	37	22	36
19	Dřevo měkké (to	0.180	0.180	157	157	27	37	15	22
20	Dřevo měkké (to	0.180	0.180	157	157	19	25	27	38
21	Dřevo měkké (to	0.180	0.180	157	157	18	24	19	24
22	Dřevo měkké (to	0.180	0.180	157	157	24	26	15	20
23	Isover Uni	0.038	0.038	1.000	1.000	24	26	19	24
24	Ocel korozivzd	17.0	17.0	1000000	1000000	17	30	33	34

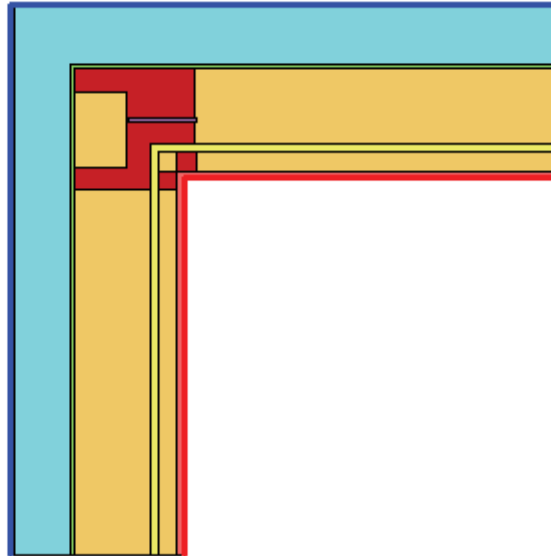
Poznámka: LambdaX a LambdaY jsou návrhové hodnoty tepelné vodivosti materiálu ve směru osy X a Y ve W/(m.K);

Mix a MiY jsou návrhové faktory difúzního odporu materiálu ve směru osy X a Y; X1 a X2 jsou čísla os ve směru osy X a Y1 a Y2 jsou čísla os ve směru osy Y vymezující zadanou oblast.

Geometrie detailu a zadané podmínky:

Počet vertík. os: 48
Počet horizont. os: 50
Počet prvků: 4808

Teplota	Odpor R_s
≤ 0	≤ 0,05
≤ 0	> 0,05
> 0	≤ 0,16
> 0	0,17-0,24
> 0	≥ 0,25



Zadané okrajové podmínky a jejich rozmístění :

číslo	1.uzel	2.uzel	Teplota [C]	R_s [m2K/W]	RH [%]	P [kPa]	h,p [s/m]
1	1101	1116	21.00	0.25	50.0	1.24	10.00
2	16	1116	21.00	0.25	50.0	1.24	10.00
3	2351	2400	-15.00	0.04	84.0	0.14	20.00
4	50	2400	-15.00	0.04	84.0	0.14	20.00

Poznámka: R_s je odpor při přestupu tepla na příslušném povrchu, RH je relativní vlhkost v prostředí působícím na příslušný povrch, P je částečný tlak vodní páry v prostředí působícím na daný povrch a h,p je součinitel přestupu vodní páry na příslušném povrchu.

VÝSLEDKY VÝPOČTU HODNOCENÉHO DETAILU :

TEPLOTY (ve stupních Celsia) :

	48	47	46	45	44	43	42	41	40	39
50	-15.00	-15.00	-15.00	-15.00	-14.99	-14.99	-14.99	-14.98	-14.96	-14.95
49	-15.00	-15.00	-15.00	-14.99	-14.99	-14.99	-14.99	-14.98	-14.96	-14.94
48	-14.98	-14.98	-14.98	-14.98	-14.91	-14.85	-14.72	-14.47	-13.96	-13.45
47	-14.96	-14.96	-14.96	-14.96	-14.83	-14.71	-14.46	-13.96	-12.96	-11.93
46	-14.95	-14.95	-14.94	-14.94	-14.76	-14.57	-14.21	-13.48	-11.97	-10.38
45	-14.94	-14.94	-14.93	-14.93	-14.72	-14.51	-14.09	-13.25	-11.51	-9.61
44	-14.94	-14.93	-14.93	-14.92	-14.70	-14.48	-14.04	-13.15	-11.29	-9.25
43	-14.93	-14.93	-14.93	-14.92	-14.70	-14.47	-14.01	-13.09	-11.19	-9.07
42	-14.93	-14.93	-14.93	-14.92	-14.69	-14.45	-13.99	-13.05	-11.09	-8.91
41	-14.93	-14.93	-14.93	-14.92	-14.69	-14.45	-13.98	-13.04	-11.07	-8.88
40	-14.93	-14.93	-14.92	-14.92	-14.68	-14.44	-13.97	-13.00	-11.01	-8.77
39	-14.93	-14.93	-14.92	-14.92	-14.68	-14.43	-13.95	-12.97	-10.94	-8.67
38	-14.93	-14.93	-14.92	-14.91	-14.67	-14.42	-13.92	-12.91	-10.81	-8.47
37	-14.92	-14.92	-14.91	-14.90	-14.62	-14.35	-13.78	-12.65	-10.33	-7.82
36	-14.91	-14.91	-14.90	-14.90	-14.59	-14.29	-13.68	-12.46	-9.97	-7.39
35	-14.91	-14.90	-14.89	-14.89	-14.56	-14.23	-13.58	-12.27	-9.63	-6.99
34	-14.90	-14.90	-14.89	-14.88	-14.53	-14.18	-13.48	-12.09	-9.30	-6.54
33	-14.90	-14.89	-14.89	-14.88	-14.52	-14.17	-13.46	-12.04	-9.21	-6.40
32	-14.89	-14.89	-14.88	-14.87	-14.50	-14.13	-13.38	-11.89	-8.91	-5.95
31	-14.89	-14.89	-14.88	-14.87	-14.49	-14.10	-13.34	-11.81	-8.75	-5.71
30	-14.89	-14.88	-14.88	-14.87	-14.48	-14.09	-13.32	-11.77	-8.67	-5.58
29	-14.89	-14.88	-14.87	-14.87	-14.48	-14.09	-13.31	-11.75	-8.63	-5.52
28	-14.89	-14.88	-14.87	-14.87	-14.47	-14.08	-13.30	-11.73	-8.59	-5.45
27	-14.89	-14.88	-14.87	-14.86	-14.47	-14.08	-13.30	-11.73	-8.58	-5.43
26	-14.89	-14.88	-14.87	-14.86	-14.47	-14.07	-13.28	-11.70	-8.52	-5.34
25	-14.88	-14.88	-14.87	-14.86	-14.46	-14.07	-13.27	-11.67	-8.47	-5.25
24	-14.88	-14.88	-14.87	-14.86	-14.46	-14.05	-13.24	-11.62	-8.36	-5.05
23	-14.88	-14.88	-14.87	-14.86	-14.44	-14.03	-13.19	-11.52	-8.15	-4.70
22	-14.88	-14.87	-14.86	-14.85	-14.43	-14.00	-13.15	-11.44	-7.98	-4.37
21	-14.88	-14.87	-14.86	-14.85	-14.43	-14.00	-13.14	-11.42	-7.94	-4.30
20	-14.88	-14.87	-14.86	-14.85	-14.42	-13.99	-13.13	-11.41	-7.90	-4.24

19	-14.88	-14.87	-14.86	-14.85	-14.42	-13.99	-13.13	-11.40	-7.90	-4.23
18	-14.88	-14.87	-14.86	-14.85	-14.42	-13.99	-13.12	-11.39	-7.87	-4.18
17	-14.87	-14.87	-14.86	-14.85	-14.42	-13.98	-13.12	-11.37	-7.84	-4.14
16	-14.87	-14.87	-14.86	-14.85	-14.41	-13.98	-13.10	-11.35	-7.79	-4.07
15	-14.87	-14.87	-14.86	-14.85	-14.40	-13.96	-13.08	-11.30	-7.70	-4.00
14	-14.88	-14.87	-14.86	-14.85	-14.42	-14.00	-13.14	-11.43	-8.01	-4.61
13	-14.88	-14.87	-14.86	-14.85	-14.43	-14.01	-13.16	-11.47	-8.09	-4.73
12	-14.88	-14.87	-14.86	-14.85	-14.43	-14.01	-13.16	-11.47	-8.09	-4.70
11	-14.88	-14.87	-14.86	-14.85	-14.43	-14.01	-13.16	-11.46	-8.07	-4.67
10	-14.88	-14.87	-14.86	-14.85	-14.43	-14.00	-13.15	-11.45	-8.05	-4.65
9	-14.88	-14.87	-14.86	-14.85	-14.43	-14.00	-13.15	-11.45	-8.04	-4.63
8	-14.88	-14.87	-14.86	-14.85	-14.43	-14.00	-13.15	-11.45	-8.04	-4.63
7	-14.88	-14.87	-14.86	-14.85	-14.43	-14.00	-13.15	-11.45	-8.04	-4.63
6	-14.88	-14.87	-14.86	-14.85	-14.43	-14.00	-13.15	-11.45	-8.04	-4.63
5	-14.88	-14.87	-14.86	-14.85	-14.43	-14.00	-13.15	-11.45	-8.04	-4.63
4	-14.88	-14.87	-14.86	-14.85	-14.43	-14.00	-13.15	-11.45	-8.04	-4.63
3	-14.88	-14.87	-14.86	-14.85	-14.43	-14.00	-13.15	-11.45	-8.04	-4.63
2	-14.88	-14.87	-14.86	-14.85	-14.43	-14.00	-13.15	-11.45	-8.04	-4.63
1	-14.88	-14.87	-14.86	-14.85	-14.43	-14.00	-13.15	-11.45	-8.04	-4.63

	38	37	36	35	34	33	32	31	30	29
50	-14.93	-14.92	-14.91	-14.90	-14.89	-14.89	-14.88	-14.88	-14.88	-14.88
49	-14.92	-14.91	-14.89	-14.88	-14.87	-14.86	-14.86	-14.86	-14.86	-14.86
48	-12.96	-12.81	-12.43	-12.11	-11.84	-11.72	-11.66	-11.61	-11.58	-11.51
47	-10.94	-10.64	-9.91	-9.30	-8.76	-8.52	-8.41	-8.30	-8.25	-8.10
46	-8.77	-8.30	-7.27	-6.39	-5.59	-5.23	-5.06	-4.89	-4.81	-4.58
45	-7.53	-6.98	-5.88	-4.90	-3.97	-3.54	-3.33	-3.13	-3.03	-2.75
44	-6.85	-6.27	-5.17	-4.16	-3.15	-2.68	-2.45	-2.23	-2.13	-1.81
43	-6.48	-5.89	-4.81	-3.78	-2.74	-2.24	-2.01	-1.78	-1.67	-1.34
42	-6.09	-5.51	-4.45	-3.41	-2.33	-1.81	-1.56	-1.32	-1.20	-0.86
41	-6.03	-5.44	-4.39	-3.35	-2.26	-1.74	-1.48	-1.24	-1.13	-0.78
40	-5.87	-5.36	-4.33	-3.28	-2.19	-1.66	-1.40	-1.16	-1.04	-0.69
39	-5.74	-5.28	-4.26	-3.21	-2.11	-1.57	-1.32	-1.07	-0.95	-0.60
38	-5.51	-5.11	-4.13	-3.08	-1.96	-1.41	-1.15	-0.89	-0.77	-0.41
37	-4.94	-4.62	-3.74	-2.65	-1.44	-0.81	-0.50	-0.20	-0.06	0.34
36	-4.69	-4.44	-3.49	-2.33	-0.97	-0.17	0.29	0.82	0.97	1.38
35	-4.39	-4.19	-2.61	-1.01	0.77	1.78	2.31	2.87	2.93	3.11
34	-3.86	-3.64	-1.75	0.13	2.18	3.37	4.06	4.83	4.95	4.96
33	-3.68	-3.45	-1.51	0.42	2.50	3.66	4.28	4.89	4.95	4.97
32	-3.09	-2.84	-0.79	1.21	3.28	4.35	4.88	5.41	5.47	5.61
31	-2.75	-2.50	-0.42	1.59	3.64	4.69	5.22	5.74	5.80	5.96
30	-2.57	-2.32	-0.23	1.78	3.81	4.86	5.38	5.91	5.96	6.14
29	-2.47	-2.22	-0.13	1.88	3.90	4.94	5.47	5.99	6.05	6.23
28	-2.38	-2.12	-0.03	1.97	3.99	5.03	5.55	6.08	6.14	6.32
27	-2.35	-2.10	-0.00	1.99	4.01	5.05	5.57	6.10	6.16	6.34
26	-2.21	-1.95	0.14	2.13	4.13	5.17	5.69	6.22	6.28	6.47
25	-2.06	-1.80	0.28	2.26	4.25	5.28	5.81	6.34	6.40	6.60
24	-1.75	-1.48	0.58	2.52	4.48	5.50	6.03	6.57	6.63	6.85
23	-1.11	-0.81	1.16	3.01	4.89	5.87	6.39	6.94	7.01	7.28
22	-0.41	0.09	1.78	3.49	5.26	6.15	6.60	7.07	7.19	7.62
21	-0.29	0.20	1.81	3.51	5.28	6.17	6.61	7.03	7.20	7.70
20	-0.19	0.29	1.84	3.54	5.30	6.18	6.62	7.03	7.22	7.77
19	-0.18	0.31	1.85	3.54	5.30	6.19	6.62	7.03	7.23	7.78
18	-0.11	0.37	1.87	3.56	5.32	6.20	6.64	7.05	7.25	7.85
17	-0.05	0.42	1.90	3.58	5.34	6.22	6.65	7.08	7.28	7.91
16	0.01	0.47	1.93	3.61	5.38	6.26	6.70	7.14	7.36	8.04
15	-0.15	0.21	1.93	3.68	5.49	6.42	6.89	7.38	7.63	8.43
14	-1.27	-0.97	1.61	4.16	6.72	8.02	8.68	9.35	9.69	10.77
13	-1.37	-1.07	1.70	4.47	7.25	8.65	9.35	10.06	10.41	11.54
12	-1.32	-1.02	1.81	4.63	7.47	8.89	9.60	10.31	10.68	11.81
11	-1.27	-0.97	1.87	4.72	7.56	8.99	9.70	10.41	10.78	11.91
10	-1.24	-0.93	1.91	4.76	7.61	9.03	9.74	10.46	10.82	11.95
9	-1.23	-0.92	1.93	4.78	7.62	9.05	9.76	10.47	10.83	11.97
8	-1.22	-0.91	1.94	4.78	7.63	9.06	9.77	10.48	10.84	11.97
7	-1.22	-0.91	1.94	4.79	7.63	9.06	9.77	10.48	10.84	11.97
6	-1.22	-0.91	1.94	4.79	7.63	9.06	9.77	10.48	10.84	11.97
5	-1.22	-0.91	1.94	4.79	7.64	9.06	9.77	10.48	10.84	11.97
4	-1.22	-0.90	1.94	4.79	7.64	9.06	9.77	10.48	10.84	11.97
3	-1.23	-0.90	1.94	4.79	7.64	9.06	9.77	10.48	10.84	11.97
2	-1.23	-0.90	1.94	4.79	7.64	9.06	9.77	10.48	10.84	11.97

1 -1.23 -0.89 1.94 4.79 7.64 9.06 9.77 10.48 10.84 11.97

	28	27	26	25	24	23	22	21	20	19
50	-14.88	-14.87	-14.87	-14.87	-14.87	-14.87	-14.87	-14.87	-14.87	-14.87
49	-14.85	-14.85	-14.85	-14.84	-14.84	-14.84	-14.84	-14.84	-14.84	-14.84
48	-11.44	-11.33	-11.26	-11.21	-11.21	-11.21	-11.23	-11.24	-11.25	-11.25
47	-7.96	-7.74	-7.62	-7.52	-7.51	-7.53	-7.57	-7.60	-7.61	-7.63
46	-4.36	-4.02	-3.83	-3.68	-3.68	-3.73	-3.82	-3.87	-3.90	-3.93
45	-2.49	-2.08	-1.86	-1.68	-1.68	-1.75	-1.86	-1.94	-1.99	-2.04
44	-1.54	-1.09	-0.85	-0.65	-0.65	-0.72	-0.85	-0.95	-1.00	-1.06
43	-1.05	-0.59	-0.34	-0.13	-0.13	-0.20	-0.33	-0.43	-0.50	-0.57
42	-0.56	-0.08	0.18	0.40	0.40	0.33	0.20	0.09	0.02	-0.06
41	-0.48	0.00	0.27	0.49	0.49	0.43	0.29	0.18	0.11	0.02
40	-0.39	0.10	0.36	0.58	0.59	0.52	0.39	0.28	0.21	0.12
39	-0.29	0.19	0.46	0.68	0.69	0.63	0.49	0.39	0.32	0.23
38	-0.10	0.39	0.66	0.89	0.90	0.84	0.72	0.63	0.57	0.50
37	0.67	1.17	1.44	1.69	1.72	1.73	1.69	1.67	1.66	1.65
36	1.70	2.15	2.40	2.65	2.69	2.73	2.74	2.75	2.75	2.75
35	3.28	3.54	3.70	3.89	3.93	3.98	4.02	4.04	4.05	4.06
34	4.99	5.05	5.10	5.20	5.22	5.26	5.28	5.29	5.29	5.29
33	4.99	5.05	5.11	5.20	5.23	5.26	5.29	5.29	5.30	5.30
32	5.73	5.97	6.19	6.70	6.87	7.14	7.34	7.44	7.48	7.53
31	6.11	6.41	6.69	7.43	7.70	8.10	8.40	8.55	8.61	8.67
30	6.30	6.63	6.93	7.78	8.11	8.58	8.94	9.13	9.21	9.29
29	6.40	6.73	7.04	7.95	8.32	8.83	9.21	9.42	9.53	9.63
28	6.50	6.84	7.15	8.12	8.53	9.08	9.48	9.71	9.85	10.02
27	6.52	6.86	7.18	8.16	8.59	9.15	9.55	9.79	9.93	10.15
26	6.66	7.03	7.38	8.49	9.02	9.64	10.07	10.31	10.45	10.63
25	6.80	7.20	7.57	8.79	9.47	10.15	10.59	10.80	10.92	11.04
24	7.08	7.56	7.90	9.32	10.47	11.21	11.62	11.75	11.79	11.81
23	7.60	8.29	8.93	11.41	12.42	12.87	13.21	13.35	13.41	13.45
22	8.09	9.10	10.18	13.22	14.11	14.56	14.98	15.18	15.27	15.35
21	8.21	9.31	10.60	13.70	14.49	14.98	15.43	15.67	15.80	15.91
20	8.33	9.51	11.07	14.19	14.84	15.39	15.89	16.17	16.33	16.52
19	8.35	9.55	11.17	14.29	14.90	15.47	15.98	16.27	16.44	16.64
18	8.45	9.73	11.37	14.40	15.09	15.79	16.32	16.62	16.80	17.01
17	8.55	9.89	11.55	14.53	15.29	16.11	16.65	16.96	17.13	17.31
16	8.73	10.21	11.85	14.83	15.72	16.79	17.30	17.57	17.71	17.87
15	9.29	11.29	12.31	15.94	17.42	18.28				
14	11.87	14.15	14.72	18.38	19.58	19.93				
13	12.68	14.97	15.52	18.82	19.87	20.15				
12	12.95	15.23	15.76	18.93	19.93	20.20				
11	13.04	15.32	15.84	18.96	19.95	20.22				
10	13.08	15.35	15.87	18.98	19.96	20.22				
9	13.10	15.36	15.88	18.98	19.96	20.23				
8	13.10	15.37	15.89	18.98	19.96	20.23				
7	13.10	15.37	15.89	18.98	19.96	20.23				
6	13.10	15.37	15.89	18.98	19.96	20.23				
5	13.10	15.37	15.89	18.98	19.96	20.23				
4	13.11	15.37	15.89	18.98	19.96	20.23				
3	13.11	15.37	15.89	18.98	19.96	20.23				
2	13.11	15.37	15.89	18.98	19.96	20.23				
1	13.11	15.37	15.89	18.98	19.96	20.23				

	18	17	16	15	14	13	12	11	10	9
50	-14.87	-14.87	-14.87	-14.87	-14.87	-14.87	-14.88	-14.88	-14.88	-14.88
49	-14.84	-14.84	-14.85	-14.85	-14.85	-14.85	-14.85	-14.86	-14.85	-14.85
48	-11.25	-11.26	-11.27	-11.29	-11.31	-11.37	-11.47	-11.51	-11.50	-11.48
47	-7.64	-7.65	-7.68	-7.71	-7.78	-7.91	-8.10	-8.18	-8.15	-8.11
46	-3.95	-3.97	-4.04	-4.11	-4.25	-4.49	-4.78	-4.86	-4.80	-4.74
45	-2.06	-2.10	-2.20	-2.30	-2.50	-2.83	-3.15	-3.20	-3.12	-3.06
44	-1.10	-1.14	-1.27	-1.41	-1.65	-2.01	-2.34	-2.37	-2.28	-2.21
43	-0.61	-0.66	-0.81	-0.96	-1.23	-1.61	-1.94	-1.96	-1.86	-1.79
42	-0.11	-0.17	-0.35	-0.52	-0.82	-1.21	-1.54	-1.55	-1.45	-1.37
41	-0.02	-0.08	-0.27	-0.45	-0.75	-1.14	-1.47	-1.48	-1.37	-1.30
40	0.07	0.01	-0.19	-0.37	-0.67	-1.07	-1.40	-1.40	-1.30	-1.22
39	0.17	0.10	-0.11	-0.30	-0.61	-1.00	-1.33	-1.33	-1.22	-1.14
38	0.40	0.29	0.03	-0.17	-0.48	-0.87	-1.19	-1.18	-1.07	-0.99
37	1.62	1.58	1.49	1.40	1.25	1.07	1.00	1.19	1.35	1.44

36	2.75	2.76	2.77	2.78	2.81	2.90	3.15	3.55	3.77	3.88
35	4.09	4.12	4.23	4.34	4.58	5.02	5.68	6.33	6.61	6.74
34	5.29	5.30	5.57	5.85	6.40	7.26	8.30	9.15	9.47	9.60
33	5.30	5.30	5.87	6.32	7.01	7.96	9.07	9.96	10.29	10.42
32	7.63	7.76	8.15	8.52	9.18	10.20	11.42	12.37	12.70	12.82
31	8.80	8.96	9.40	9.79	10.44	11.42	12.65	13.59	13.91	14.03
30	9.45	9.64	10.10	10.49	11.11	12.06	13.27	14.21	14.52	14.63
29	9.82	10.02	10.49	10.86	11.45	12.38	13.59	14.51	14.82	14.93
28	10.24	10.45	10.90	11.24	11.80	12.71	13.91	14.82	15.12	15.23
27	10.37	10.58	11.01	11.34	11.90	12.80	13.99	14.91	15.21	15.31
26	10.74	10.87	11.22	11.52	12.05	12.94	14.13	15.04	15.33	15.44
25	11.10	11.19	11.45	11.70	12.21	13.09	14.27	15.17	15.46	15.57
24	11.81	11.80	11.90	12.09	12.54	13.41	14.56	15.43	15.72	15.82
23	13.48	13.59	13.90	14.20	14.73	15.55	16.49	17.15	17.35	17.43
22	15.39	15.57	16.06	16.46	17.06	17.80	18.47	18.87	19.00	19.04
21	15.96	16.18	16.72	17.12	17.71	18.40	18.99	19.32	19.42	19.45
20	16.62	16.90	17.43	17.82	18.37	19.00	19.50	19.76	19.84	19.86
19	16.80	17.07	17.59	17.96	18.50	19.12	19.61	19.85	19.92	19.95
18	17.13	17.30	17.74	18.10	18.62	19.22	19.69	19.92	19.99	20.01
17	17.42	17.55	17.92	18.25	18.75	19.33	19.78	20.00	20.06	20.08
16	17.95	18.05	18.35	18.63	19.06	19.57	19.95	20.14	20.20	20.21

15
14
13
12
11
10
9
8
7
6
5
4
3
2
1

	8	7	6	5	4	3	2	1
50	-14.88	-14.88	-14.88	-14.88	-14.88	-14.88	-14.88	-14.88
49	-14.85	-14.85	-14.85	-14.85	-14.85	-14.85	-14.85	-14.85
48	-11.48	-11.47	-11.47	-11.46	-11.46	-11.46	-11.46	-11.46
47	-8.10	-8.09	-8.08	-8.08	-8.07	-8.07	-8.07	-8.07
46	-4.72	-4.70	-4.69	-4.69	-4.68	-4.68	-4.68	-4.68
45	-3.03	-3.01	-3.00	-2.99	-2.99	-2.98	-2.98	-2.98
44	-2.19	-2.17	-2.15	-2.14	-2.14	-2.13	-2.13	-2.13
43	-1.76	-1.74	-1.73	-1.72	-1.71	-1.71	-1.71	-1.71
42	-1.34	-1.32	-1.31	-1.30	-1.29	-1.29	-1.28	-1.28
41	-1.27	-1.25	-1.23	-1.22	-1.22	-1.21	-1.21	-1.21
40	-1.19	-1.17	-1.16	-1.15	-1.14	-1.14	-1.13	-1.13
39	-1.11	-1.09	-1.08	-1.07	-1.06	-1.06	-1.06	-1.06
38	-0.96	-0.94	-0.92	-0.91	-0.91	-0.90	-0.90	-0.90
37	1.48	1.50	1.52	1.53	1.53	1.54	1.54	1.54
36	3.92	3.94	3.96	3.97	3.98	3.98	3.98	3.98
35	6.78	6.80	6.82	6.83	6.84	6.84	6.84	6.84
34	9.64	9.67	9.68	9.69	9.70	9.70	9.70	9.71
33	10.46	10.48	10.50	10.51	10.51	10.52	10.52	10.52
32	12.86	12.88	12.89	12.90	12.91	12.91	12.91	12.91
31	14.06	14.08	14.09	14.10	14.10	14.11	14.11	14.11
30	14.66	14.68	14.69	14.70	14.70	14.70	14.71	14.71
29	14.96	14.98	14.99	15.00	15.00	15.00	15.01	15.01
28	15.26	15.28	15.29	15.30	15.30	15.30	15.30	15.30
27	15.34	15.36	15.37	15.38	15.38	15.38	15.39	15.39
26	15.47	15.49	15.50	15.50	15.51	15.51	15.51	15.51
25	15.59	15.61	15.62	15.63	15.63	15.63	15.64	15.64
24	15.85	15.86	15.87	15.88	15.88	15.88	15.89	15.89
23	17.45	17.46	17.47	17.47	17.47	17.47	17.47	17.48
22	19.05	19.05	19.06	19.06	19.06	19.06	19.06	19.06
21	19.46	19.46	19.47	19.47	19.47	19.47	19.47	19.47
20	19.87	19.87	19.88	19.88	19.88	19.88	19.88	19.88

19	19.95	19.96	19.96	19.96	19.96	19.96	19.96	19.96
18	20.02	20.02	20.02	20.03	20.03	20.03	20.03	20.03
17	20.09	20.09	20.09	20.09	20.09	20.09	20.09	20.09
16	20.22	20.22	20.22	20.22	20.23	20.23	20.23	20.23
15								
14								
13								
12								
11								
10								
9								
8								
7								
6								
5								
4								
3								
2								
1								

NEJNIŽŠÍ POVRCHOVÉ TEPLoty A HUSToty TEPELNÉHO TOKU:

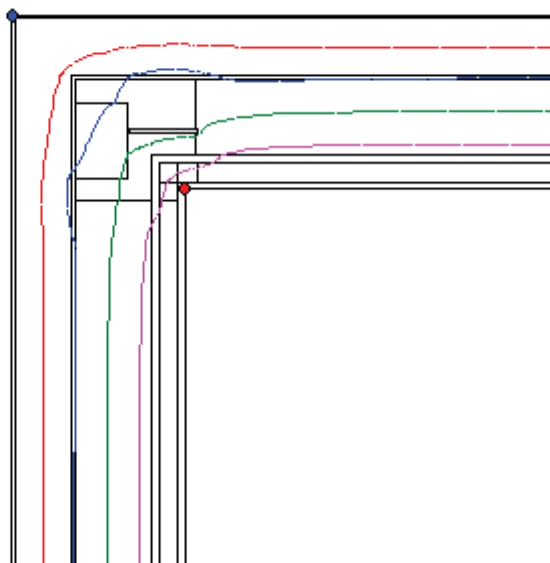
Prostředí	T [C]	Rs [m2K/W]	R.H. [%]	Ts,min [C]	Tep.tok Q [W/m]	Propust. L [W/mK]
1	21.0	0.25	50	16.79	8.07857	0.22440
2	-15.0	0.04	84	-15.00	-8.07861	0.22441

Vysvětlivky:

- T zadaná teplota v daném prostředí [C]
- Rs zadaný odpor při přestupu tepla v daném prostředí [m2K/W]
- R.H. zadaná relativní vlhkost v daném prostředí [%]
- Ts,min minimální povrchová teplota v daném prostředí [C]
- Tep.tok Q hustota tepelného toku z daného prostředí [W/m]
(hodnota je vztažena na 1m délky tepelného mostu, přičemž ztráta je kladná a zisk je záporný)
- Propust. L tepelná propustnost mezi daným prostředím a okolím [W/mK]
(lze určit jen pro maximálně 2 prostředí; pro určité charakteristické výseky lze získat průměrný součinitel prostupu tepla vydělením hodnoty L šířkou hodnoceného výseku konstrukce)

Izotermy:

- -8,00 C
- -1,00 C
- 6,00 C
- 13,00 C
- ◆ Tsi=16,79 C
- ◆ Tsi=-15,00 C



NEJNIŽŠÍ POVRCHOVÉ TEPLoty, TEPLotNÍ FAKTORY A RIZIKo KONDENZACE:

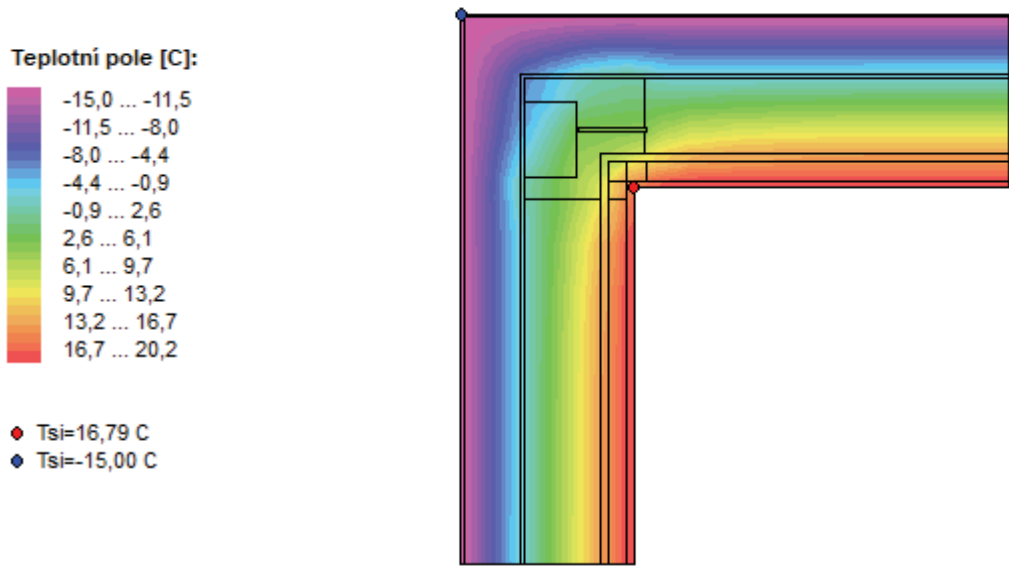
Prostředí	Tw [C]	Ts,min [C]	f,Rsi [-]	KOND.	RH,max [%]	T,min [C]
1	10.18	16.79	0.883	ne	---	---
2	-16.87	-15.00	1.000	ne	---	---

Vysvětlivky:

- Tw teplota rosného bodu v daném prostředí [C] - lze určit jen pro teploty do 100 C
- Ts,min minimální povrchová teplota v daném prostředí [C]
- f,Rsi teplotní faktor dle ČSN 730540, EN ISO 10211 a EN ISO 13788 [-]
[rozdíl minimální povrchové teploty a vnější teploty podělený rozdílem vnitřní (21.0 C) a vnější (-15.0 C) teploty - přesně lze určit jen pro max. 2 prostředí a pro rozdílnou vnitřní a vnější teplotu, program nicméně určuje orientační hodnoty i pro více prostředí, přičemž se uvažuje vnitřní teplota podle daného prostředí]

KOND. a konstantní vnější teplota $T_e = -15.0\text{ C}$
 označuje vznik povrchové kondenzace
 RH,max maximální možná relativní vlhkost při dané teplotě v daném prostředí, která zajistí odstranění povrchové kondenzace [%]
 T,min minimální potřebná teplota při dané absolutní vlhkosti v daném prostředí, která zajistí odstranění povrchové kondenzace [C] - platí jen pro případ dvou prostředí

Poznámka: Zde uvedené vyhodnocení rizika povrchové kondenzace neodpovídá hodnocení podle ČSN 730540-2. Program pouze porovnává teplotu povrchu s teplotou rosného bodu v okolním prostředí.



ODHAD CHYBY VÝPOČTU:

Součet tepelných toků: -0.0000 W/m
 Součet abs.hodnot tep.toků: 16.1572 W/m
 Podíl: -0.0000
 Podíl je menší než 0.001 - požadavek EN ISO 10211 je splněn.

DVOUROZMĚRNÉ STACIONÁRNÍ POLE TEPLOT A ČÁSTEČNÝCH TLAKŮ VODNÍ PÁRY

podle EN ISO 10211 a ČSN 730540 - MKP/FEM model

Area 2017 EDU

Název úlohy : **detail napojení těny na obvod**

Varianta

Zpracovatel : TT 2017

Zakázka : Diplomová práce

Datum : 20.04.2021

KONTROLNÍ TISK VSTUPNÍCH DAT :

Parametry pro výpočet teplotního faktoru:

Teplota vzduchu v exteriéru: -15.0 C

Teplota vzduchu v interiéru: 20.0 C

Parametry charakterizující rozsah úlohy:

Počet svislých os: 50

Počet vodorovných os: 50

Počet prvků: 4802

Počet uzlových bodů: 2500

Souřadnice os sítě - osa x [m] :

0.00000	0.07438	0.14875	0.22313	0.26031	0.27891	0.29750	0.30125	0.30500	0.30600
0.31025	0.31450	0.32300	0.37300	0.38400	0.38950	0.39500	0.39600	0.40222	0.40844
0.42088	0.44575	0.49550	0.54525	0.57013	0.58256	0.58878	0.59500	0.59600	0.60200
0.60800	0.60900	0.61306	0.61713	0.62525	0.64150	0.65775	0.66588	0.67400	0.67600
0.67900	0.68875	0.69850	0.71800	0.73750	0.74725	0.75213	0.75700	0.75800	0.76400

Souřadnice os sítě - osa y [m] :

0.00000	0.06500	0.09750	0.13000	0.14300	0.16175	0.18050	0.21800	0.23900	0.24950
0.25475	0.25738	0.26000	0.26100	0.26275	0.26450	0.26800	0.27500	0.29281	0.31063
0.34625	0.38188	0.41750	0.45313	0.48875	0.52438	0.54219	0.56000	0.56750	0.57500
0.58000	0.58750	0.59500	0.61000	0.62500	0.64000	0.65000	0.66000	0.68000	0.70000
0.71000	0.72875	0.74750	0.78500	0.82250	0.86000	0.89750	0.93500	0.97250	1.01000

Zadané materiály :

č.	Název	LambdaX	LambdaY	MiX	MiY	X1	X2	Y1	Y2
1	Železobeton 1	1.430	1.430	23	23	1	28	13	28
2	Železobeton 1	1.430	1.430	23	23	17	28	1	13
3	Dřevo měkké (to	0.180	0.180	157	157	18	29	28	31
4	Dřevo měkké (to	0.180	0.180	157	157	18	29	31	36
5	BASF Styrodur 3	0.034	0.034	100	100	29	40	1	30
6	Egger OSB4 TOP	0.130	0.130	200	200	14	17	34	50
7	STEICO therm	0.041	0.041	5.000	5.000	29	32	31	50
8	Isover Multimax	0.034	0.034	1.000	1.000	31	49	31	50
9	Polypropylen	0.220	0.220	50000	50000	28	48	30	31
10	weber.min - min	0.470	0.470	15	15	49	50	30	50
11	Stomix AlfaDEKO	0.700	0.700	75	75	39	41	18	30
12	Isover Uni	0.038	0.038	1.000	1.000	17	28	36	50
13	Isover Uni	0.038	0.038	1.000	1.000	13	14	34	50
14	Rigips RB/RBI/R	0.210	0.210	10	10	9	13	34	50
15	Isover EPS Rigi	0.039	0.039	30	30	9	18	28	34
16	Isover EPS Rigi	0.039	0.039	30	30	1	9	28	38
17	Beton hutný 1	1.230	1.230	17	17	1	10	37	40
18	Keramický obkla	1.010	1.010	200	200	1	9	40	41
19	Rigips RB/RBI/R	0.210	0.210	10	10	1	18	4	5
20	Isover Uni	0.038	0.038	1.000	1.000	1	18	5	8
21	Uzavřená vzduch	0.147	0.147	0.400	0.400	1	18	8	14

Poznámka: LambdaX a LambdaY jsou návrhové hodnoty tepelné vodivosti materiálu ve směru osy X a Y ve W/(m.K);
MiX a MiY jsou návrhové faktory difúzního odporu materiálu ve směru osy X a Y; X1 a X2 jsou čísla os
ve směru osy X a Y1 a Y2 jsou čísla os ve směru osy Y vymezující zadanou oblast.

21	-0.18
20	-1.05
19	-4.09
18	-14.68
17	
16	
15	
14	
13	
12	
11	
10	
9	
8	
7	
6	
5	
4	
3	
2	
1	

	40	39	38	37	36	35	34	33	32	31
50	-14.24	-14.23	-14.17	-14.13	-14.05	-13.99	-13.97	-13.96	-13.96	-13.95
49	-14.19	-14.18	-14.12	-14.07	-13.99	-13.93	-13.91	-13.90	-13.89	-13.89
48	-14.05	-14.03	-13.97	-13.91	-13.81	-13.74	-13.71	-13.70	-13.70	-13.69
47	-13.79	-13.77	-13.69	-13.61	-13.49	-13.39	-13.36	-13.35	-13.34	-13.34
46	-13.39	-13.37	-13.25	-13.15	-12.98	-12.85	-12.81	-12.79	-12.78	-12.78
45	-12.81	-12.77	-12.61	-12.47	-12.23	-12.05	-11.99	-11.96	-11.94	-11.94
44	-11.97	-11.92	-11.70	-11.49	-11.14	-10.87	-10.78	-10.74	-10.71	-10.71
43	-10.83	-10.74	-10.41	-10.11	-9.56	-9.15	-9.00	-8.94	-8.89	-8.88
42	-10.12	-10.02	-9.61	-9.22	-8.52	-7.98	-7.78	-7.70	-7.63	-7.62
41	-9.33	-9.20	-8.69	-8.19	-7.28	-6.54	-6.26	-6.15	-6.06	-6.04
40	-8.88	-8.74	-8.16	-7.59	-6.53	-5.64	-5.30	-5.16	-5.04	-5.02
39	-7.96	-7.78	-7.03	-6.29	-4.83	-3.51	-2.97	-2.74	-2.55	-2.51
38	-7.09	-6.86	-5.91	-4.93	-2.92	-0.88	0.07	0.50	0.89	0.98
37	-6.72	-6.47	-5.41	-4.30	-1.97	0.53	1.84	2.51	3.17	3.33
36	-6.43	-6.15	-4.97	-3.73	-1.08	1.87	3.59	4.56	5.64	5.93
35	-6.17	-5.84	-4.47	-3.03	0.02	3.42	5.36	6.41	7.51	7.79
34	-6.17	-5.78	-4.18	-2.54	0.83	4.44	6.40	7.43	8.48	8.75
33	-6.41	-5.92	-4.00	-2.15	1.43	5.10	7.04	8.05	9.08	9.33
32	-6.48	-5.92	-3.82	-1.89	1.70	5.34	7.25	8.24	9.26	9.51
31	-6.29	-5.64	-3.48	-1.57	1.96	5.53	7.40	8.35	9.32	9.56
30	-6.00	-5.43	-3.39	-1.51	1.98	5.53	7.40	8.36	9.32	9.56
29	-3.30	-3.10	-2.09	-0.78	2.18	5.44	7.28	8.28	9.35	9.63
28	-1.67	-1.58	-1.05	-0.14	2.33	5.24	6.97	7.96	9.07	9.37
27	-0.38	-0.36	0.07	0.67	2.27	4.14	5.09	5.55	5.98	6.08
26	-0.03	-0.03	0.38	0.84	1.89	2.99	3.46	3.66	3.83	3.87
25	0.03	0.03	0.27	0.50	0.98	1.40	1.57	1.63	1.68	1.69
24	0.01	0.01	0.09	0.18	0.33	0.46	0.51	0.53	0.54	0.55
23	-0.01	-0.01	-0.06	-0.11	-0.20	-0.26	-0.28	-0.29	-0.29	-0.29
22	-0.05	-0.05	-0.27	-0.48	-0.84	-1.10	-1.19	-1.23	-1.25	-1.26
21	-0.18	-0.17	-0.72	-1.21	-1.98	-2.49	-2.66	-2.72	-2.77	-2.78
20	-1.03	-0.98	-2.26	-3.22	-4.40	-5.01	-5.19	-5.25	-5.30	-5.31
19	-3.98	-3.79	-5.25	-6.03	-6.64	-6.88	-6.94	-6.96	-6.97	-6.98
18	-14.98	-13.83	-11.55	-10.34	-9.33	-8.92	-8.81	-8.77	-8.74	-8.73
17	-15.00	-14.45	-12.62	-11.41	-10.20	-9.64	-9.48	-9.43	-9.39	-9.38
16	-15.00	-14.57	-12.98	-11.84	-10.58	-9.98	-9.81	-9.74	-9.70	-9.69
15	-15.00	-14.61	-13.13	-12.03	-10.76	-10.14	-9.96	-9.90	-9.85	-9.84
14	-15.00	-14.64	-13.27	-12.20	-10.94	-10.30	-10.11	-10.05	-10.00	-9.99
13	-15.00	-14.66	-13.34	-12.29	-11.03	-10.39	-10.20	-10.13	-10.08	-10.07
12	-15.00	-14.70	-13.50	-12.52	-11.27	-10.62	-10.42	-10.35	-10.30	-10.28
11	-15.00	-14.73	-13.64	-12.72	-11.50	-10.83	-10.63	-10.56	-10.51	-10.49
10	-15.00	-14.77	-13.86	-13.06	-11.91	-11.24	-11.04	-10.96	-10.90	-10.89
9	-15.00	-14.83	-14.17	-13.55	-12.57	-11.95	-11.75	-11.68	-11.62	-11.61
8	-15.00	-14.90	-14.50	-14.12	-13.46	-12.99	-12.83	-12.77	-12.73	-12.72
7	-15.00	-14.95	-14.76	-14.58	-14.25	-14.01	-13.92	-13.89	-13.86	-13.86
6	-15.00	-14.97	-14.84	-14.71	-14.48	-14.31	-14.25	-14.23	-14.21	-14.21
5	-15.00	-14.98	-14.89	-14.80	-14.64	-14.52	-14.48	-14.47	-14.45	-14.45
4	-15.00	-14.98	-14.91	-14.85	-14.73	-14.63	-14.60	-14.59	-14.58	-14.58

3	-15.00	-14.99	-14.95	-14.92	-14.85	-14.80	-14.78	-14.78	-14.77	-14.77
2	-15.00	-15.00	-14.97	-14.96	-14.92	-14.89	-14.88	-14.88	-14.88	-14.88
1	-15.00	-15.00	-14.99	-14.98	-14.96	-14.94	-14.94	-14.93	-14.93	-14.93

	30	29	28	27	26	25	24	23	22	21
50	-13.95	-13.95	14.77	14.77	14.77	14.77	14.78	14.82	14.87	14.90
49	-13.89	-13.88	14.76	14.76	14.76	14.76	14.77	14.81	14.87	14.89
48	-13.69	-13.69	14.74	14.74	14.74	14.74	14.75	14.80	14.86	14.89
47	-13.33	-13.33	14.70	14.70	14.70	14.70	14.72	14.78	14.85	14.89
46	-12.77	-12.76	14.63	14.63	14.63	14.64	14.66	14.74	14.84	14.89
45	-11.92	-11.92	14.53	14.53	14.54	14.54	14.58	14.70	14.84	14.90
44	-10.68	-10.67	14.38	14.38	14.39	14.40	14.45	14.64	14.84	14.93
43	-8.85	-8.83	14.14	14.15	14.15	14.18	14.27	14.57	14.85	14.97
42	-7.57	-7.55	13.97	13.97	13.98	14.02	14.15	14.54	14.87	15.00
41	-5.97	-5.95	13.73	13.74	13.75	13.81	14.01	14.51	14.90	15.05
40	-4.93	-4.90	13.57	13.57	13.59	13.67	13.93	14.50	14.92	15.07
39	-2.36	-2.31	13.13	13.14	13.18	13.33	13.75	14.51	14.98	15.14
38	1.33	1.47	12.39	12.44	12.55	12.88	13.60	14.56	15.07	15.23
37	4.06	4.50	11.68	11.83	12.09	12.64	13.56	14.62	15.14	15.28
36	7.60	9.97	10.16	10.97	11.58	12.44	13.56	14.69	15.21	15.35
35	9.28	10.91	10.98	11.40	11.81	12.55	13.63	14.75	15.26	15.38
34	10.10	11.49	11.54	11.88	12.21	12.85	13.83	14.86	15.33	15.45
33	10.64	11.98	12.03	12.36	12.69	13.29	14.15	15.02	15.43	15.53
32	10.82	12.18	12.23	12.61	12.97	13.56	14.35	15.12	15.49	15.58
31	10.94	12.23	12.34	12.90	13.31	13.89	14.57	15.23	15.55	15.64
30	10.99	12.43	12.57	13.20	13.61	14.14	14.73	15.30	15.59	15.68
29	11.41	13.46	13.53	13.91	14.19	14.56	14.98	15.42	15.66	15.74
28	11.42	14.25	14.64	14.76	14.86	15.02	15.25	15.55	15.74	15.81
27	6.60	6.86	15.07	15.09	15.11	15.18	15.34	15.59	15.76	15.83
26	4.03	4.09	15.30	15.30	15.31	15.35	15.44	15.64	15.80	15.85
25	1.74	1.76	15.59	15.59	15.59	15.61	15.65	15.77	15.88	15.92
24	0.56	0.57	15.81	15.81	15.81	15.81	15.84	15.91	15.97	16.00
23	-0.30	-0.30	15.99	15.99	15.99	15.99	16.01	16.04	16.08	16.09
22	-1.28	-1.29	16.16	16.16	16.16	16.16	16.16	16.18	16.19	16.19
21	-2.82	-2.83	16.32	16.32	16.32	16.32	16.32	16.32	16.31	16.29
20	-5.35	-5.37	16.47	16.47	16.47	16.47	16.47	16.47	16.44	16.41
19	-6.99	-7.00	16.55	16.55	16.55	16.55	16.55	16.54	16.51	16.48
18	-8.71	-8.70	16.63	16.63	16.63	16.63	16.63	16.62	16.59	16.55
17	-9.34	-9.33	16.66	16.66	16.66	16.66	16.66	16.66	16.63	16.59
16	-9.65	-9.63	16.68	16.68	16.68	16.68	16.68	16.67	16.64	16.61
15	-9.80	-9.78	16.69	16.69	16.69	16.69	16.69	16.68	16.65	16.62
14	-9.94	-9.93	16.70	16.70	16.70	16.70	16.69	16.69	16.66	16.63
13	-10.03	-10.01	16.70	16.70	16.70	16.70	16.70	16.69	16.67	16.63
12	-10.24	-10.22	16.71	16.71	16.71	16.71	16.71	16.71	16.68	16.65
11	-10.45	-10.43	16.72	16.72	16.72	16.72	16.72	16.72	16.69	16.66
10	-10.84	-10.83	16.75	16.75	16.75	16.75	16.75	16.74	16.72	16.69
9	-11.56	-11.54	16.79	16.79	16.79	16.79	16.80	16.79	16.78	16.75
8	-12.68	-12.66	16.89	16.89	16.89	16.89	16.89	16.90	16.89	16.88
7	-13.83	-13.83	17.05	17.05	17.05	17.06	17.06	17.09	17.12	17.12
6	-14.19	-14.18	17.13	17.13	17.13	17.14	17.15	17.18	17.24	17.25
5	-14.44	-14.43	17.21	17.21	17.21	17.21	17.22	17.28	17.36	17.39
4	-14.57	-14.56	17.25	17.25	17.26	17.26	17.28	17.34	17.45	17.51
3	-14.77	-14.77	17.36	17.36	17.36	17.37	17.39	17.49	17.66	17.79
2	-14.87	-14.87	17.44	17.44	17.45	17.45	17.48	17.60	17.81	17.98
1	-14.93	-14.93	17.52	17.52	17.52	17.53	17.56	17.69	17.93	18.10

	20	19	18	17	16	15	14	13	12	11
50	14.91	14.92	14.92	14.92	14.93	14.93	14.93	14.98	14.99	14.99
49	14.91	14.92	14.92	14.93	14.93	14.93	14.93	14.98	14.99	14.99
48	14.91	14.92	14.93	14.93	14.93	14.93	14.93	14.99	14.99	14.99
47	14.91	14.92	14.93	14.93	14.93	14.94	14.94	14.99	14.99	14.99
46	14.92	14.93	14.94	14.94	14.95	14.95	14.95	15.00	15.00	15.00
45	14.94	14.95	14.96	14.97	14.97	14.97	14.98	15.02	15.02	15.02
44	14.97	14.99	15.01	15.01	15.01	15.02	15.02	15.07	15.06	15.06
43	15.02	15.05	15.08	15.08	15.09	15.09	15.10	15.18	15.17	15.16
42	15.06	15.09	15.12	15.13	15.13	15.14	15.15	15.28	15.28	15.27
41	15.11	15.15	15.18	15.18	15.19	15.20	15.21	15.43	15.45	15.46
40	15.14	15.18	15.21	15.21	15.22	15.23	15.24	15.48	15.50	15.51
39	15.21	15.24	15.27	15.28	15.28	15.29	15.31	15.53	15.54	15.54

38	15.29	15.32	15.34	15.35	15.35	15.36	15.37	15.56	15.56	15.56
37	15.33	15.36	15.38	15.38	15.39	15.39	15.41	15.57	15.57	15.57
36	15.39	15.40	15.41	15.42	15.42	15.43	15.44	15.59	15.59	15.60
35	15.42	15.43	15.43	15.47	15.48	15.48	15.49	15.63	15.63	15.63
34	15.48	15.49	15.50	15.50	15.51	15.52	15.55	15.67	15.67	15.67
33	15.57	15.58	15.58	15.59	15.61	15.62	15.65	15.76	15.77	15.77
32	15.62	15.63	15.63	15.64	15.66	15.68	15.71	15.81	15.82	15.82
31	15.67	15.68	15.69	15.69	15.71	15.73	15.76	15.85	15.86	15.87
30	15.71	15.72	15.73	15.73	15.75	15.77	15.80	15.89	15.90	15.90
29	15.77	15.79	15.79	15.80	15.82	15.83	15.86	15.94	15.95	15.95
28	15.84	15.85	15.87	15.87	15.89	15.90	15.92	15.99	16.00	16.00
27	15.86	15.87	15.89	15.89	15.90	15.91	15.93	15.99	16.00	16.00
26	15.88	15.89	15.91	15.91	15.92	15.93	15.94	16.00	16.01	16.01
25	15.94	15.95	15.96	15.96	15.97	15.97	15.99	16.03	16.03	16.04
24	16.01	16.02	16.02	16.03	16.03	16.03	16.04	16.07	16.07	16.07
23	16.10	16.10	16.10	16.10	16.10	16.10	16.11	16.11	16.11	16.11
22	16.19	16.19	16.18	16.18	16.18	16.18	16.18	16.15	16.15	16.15
21	16.28	16.28	16.27	16.27	16.27	16.26	16.25	16.20	16.19	16.19
20	16.39	16.38	16.37	16.37	16.36	16.35	16.33	16.24	16.23	16.22
19	16.45	16.44	16.42	16.42	16.41	16.39	16.36	16.26	16.24	16.24
18	16.52	16.50	16.48	16.48	16.46	16.43	16.39	16.27	16.25	16.25
17	16.56	16.54	16.51	16.50	16.48	16.45	16.40	16.27	16.26	16.25
16	16.58	16.56	16.53	16.52	16.48	16.45	16.41	16.27	16.26	16.25
15	16.59	16.57	16.54	16.53	16.49	16.46	16.41	16.27	16.26	16.25
14	16.60	16.58	16.55	16.53	16.49	16.46	16.41	16.27	16.26	16.25
13	16.60	16.59	16.56	16.55	16.50	16.47	16.41	16.28	16.26	16.25
12	16.62	16.60	16.59	16.58	16.53	16.49	16.43	16.28	16.26	16.25
11	16.64	16.62	16.61	16.60	16.55	16.51	16.45	16.28	16.26	16.25
10	16.67	16.66	16.65	16.64	16.59	16.55	16.47	16.29	16.26	16.25
9	16.74	16.73	16.72	16.71	16.66	16.61	16.52	16.29	16.27	16.26
8	16.87	16.87	16.86	16.85	16.77	16.70	16.58	16.29	16.26	16.25
7	17.12	17.11	17.11	17.09	16.97	16.86	16.64	16.13	16.08	16.06
6	17.25	17.25	17.24	17.21	17.02	16.84	16.52	15.97	15.92	15.90
5	17.40	17.39	17.37	17.32	16.98	16.67	16.19	15.74	15.71	15.70
4	17.53	17.55	17.56	17.56	16.89	16.48	16.02	15.70	15.68	15.67
3	17.88	17.94	18.00	18.01						
2	18.08	18.13	18.19	18.20						
1	18.20	18.25	18.31	18.31						

	10	9	8	7	6	5	4	3	2	1
50	14.99	14.99								
49	14.99	14.99								
48	14.99	14.99								
47	14.99	14.99								
46	15.00	15.00								
45	15.02	15.02								
44	15.06	15.06								
43	15.16	15.16								
42	15.26	15.26								
41	15.49	15.50	15.52	15.53	15.56	15.57	15.59	15.61	15.62	15.62
40	15.53	15.53	15.54	15.54	15.56	15.57	15.59	15.61	15.62	15.62
39	15.55	15.55	15.55	15.55	15.57	15.58	15.59	15.61	15.62	15.62
38	15.56	15.56	15.56	15.56	15.57	15.58	15.59	15.61	15.62	15.63
37	15.57	15.57	15.57	15.57	15.57	15.58	15.60	15.62	15.62	15.63
36	15.60	15.60	15.60	15.60	15.61	15.63	15.64	15.66	15.67	15.68
35	15.63	15.63	15.64	15.65	15.68	15.69	15.72	15.74	15.75	15.75
34	15.67	15.67	15.69	15.71	15.74	15.77	15.79	15.81	15.82	15.82
33	15.78	15.78	15.79	15.79	15.82	15.84	15.87	15.88	15.89	15.89
32	15.83	15.83	15.83	15.84	15.86	15.88	15.90	15.92	15.93	15.93
31	15.88	15.88	15.88	15.89	15.91	15.92	15.94	15.96	15.96	15.97
30	15.91	15.91	15.91	15.92	15.93	15.95	15.97	15.98	15.99	15.99
29	15.96	15.96	15.96	15.96	15.98	15.99	16.01	16.02	16.03	16.03
28	16.00	16.00	16.01	16.01	16.02	16.03	16.05	16.06	16.06	16.06
27	16.01	16.01	16.01	16.01	16.03	16.04	16.05	16.06	16.06	16.06
26	16.02	16.02	16.02	16.02	16.03	16.04	16.05	16.06	16.07	16.07
25	16.04	16.04	16.04	16.04	16.05	16.06	16.07	16.07	16.07	16.07
24	16.07	16.07	16.07	16.07	16.08	16.08	16.08	16.08	16.08	16.08
23	16.11	16.11	16.11	16.11	16.11	16.10	16.10	16.09	16.08	16.08
22	16.15	16.15	16.15	16.14	16.14	16.13	16.12	16.10	16.09	16.08

21	16.19	16.19	16.18	16.18	16.17	16.15	16.13	16.10	16.09	16.09
20	16.22	16.22	16.21	16.21	16.19	16.17	16.14	16.11	16.09	16.09
19	16.23	16.23	16.22	16.22	16.20	16.18	16.14	16.11	16.09	16.09
18	16.24	16.24	16.23	16.23	16.20	16.18	16.15	16.11	16.09	16.08
17	16.24	16.24	16.23	16.23	16.20	16.18	16.15	16.11	16.09	16.08
16	16.24	16.24	16.23	16.23	16.20	16.18	16.15	16.11	16.09	16.08
15	16.24	16.24	16.23	16.23	16.20	16.18	16.15	16.11	16.09	16.08
14	16.24	16.24	16.23	16.23	16.20	16.18	16.14	16.11	16.09	16.08
13	16.24	16.24	16.23	16.23	16.20	16.18	16.14	16.11	16.09	16.08
12	16.24	16.24	16.23	16.23	16.20	16.18	16.14	16.10	16.08	16.08
11	16.24	16.24	16.23	16.23	16.20	16.17	16.14	16.10	16.08	16.07
10	16.25	16.24	16.24	16.23	16.20	16.17	16.13	16.09	16.07	16.07
9	16.25	16.24	16.23	16.22	16.19	16.16	16.12	16.08	16.06	16.05
8	16.23	16.23	16.22	16.21	16.17	16.13	16.09	16.05	16.03	16.03
7	16.04	16.03	16.02	16.00	15.95	15.91	15.87	15.84	15.83	15.83
6	15.88	15.88	15.87	15.85	15.81	15.79	15.76	15.74	15.73	15.73
5	15.69	15.69	15.68	15.68	15.66	15.65	15.64	15.63	15.63	15.63
4	15.66	15.66	15.65	15.65	15.64	15.63	15.62	15.62	15.62	15.62
3										
2										
1										

NEJNIŽŠÍ POVRCHOVÉ TEPLoty A HUSTOTY TEPELNÉHO TOKU:

Prostředí	T [C]	Rs [m2K/W]	R.H. [%]	Ts,min [C]	Tep.tok Q [W/m]	Propust. L [W/mK]
1	-15.0	0.00	84	-15.00	-5.67519	---
2	0.0	0.04	84	-13.83	7.35862	---
3	-15.0	0.04	84	-14.96	-2.55303	---
4	-15.0	0.13	84	-14.96	-0.53160	---
5	20.0	0.13	50	17.56	1.90015	---
6	15.6	0.10	50	15.62	-0.45988	---
7	15.6	0.17	50	15.50	0.00229	---
8	15.0	0.35	50	14.99	-0.04406	---

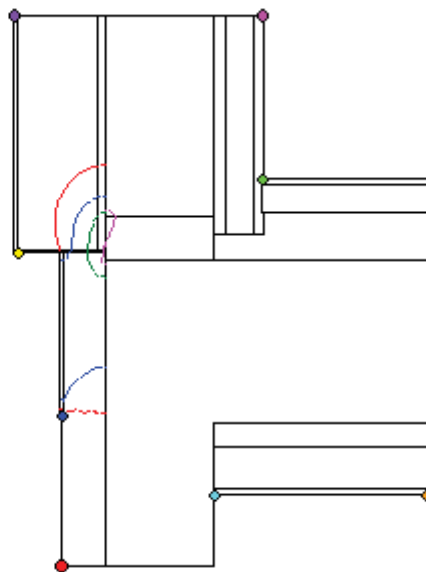
Vysvětlivky:

- T zadaná teplota v daném prostředí [C]
Rs zadaný odpor při přestupu tepla v daném prostředí [m2K/W]
R.H. zadaná relativní vlhkost v daném prostředí [%]
Ts,min minimální povrchová teplota v daném prostředí [C]
Tep.tok Q hustota tepelného toku z daného prostředí [W/m]
(hodnota je vztažena na 1m délky tepelného mostu, přičemž ztráta je kladná a zisk je záporný)
Propust. L tepelná propustnost mezi daným prostředím a okolím [W/mK]
(lze určit jen pro maximálně 2 prostředí; pro určité charakteristické výseky lze získat průměrný součinitel prostupu tepla vydělením hodnoty L šířkou hodnoceného výseku konstrukce)

Izotermy:

- -8,00 C
- -2,00 C
- 5,00 C
- 12,00 C

- Ts=-15,00 C
- Ts=-13,83 C
- Ts=-14,96 C
- Ts=-14,96 C
- Ts=17,56 C
- Ts=15,62 C
- Ts=15,50 C
- Ts=14,99 C



NEJNIŽŠÍ POVRCHOVÉ TEPLoty, TEPLotNÍ FAKTORY A RIZIKO KONDENZACE:

Prostředí	Tw [C]	Ts,min [C]	f,Rsi [-]	KOND.	RH,max [%]	T,min [C]
1	-16.87	-15.00	???	ne	---	---
2	-2.10	-13.83	0.078	ANO	30	150.9

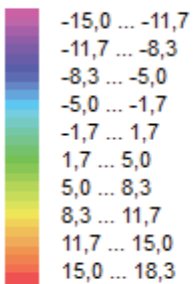
3	-16.87	-14.96	???	ne	---	---
4	-16.87	-14.96	???	ne	---	---
5	9.26	17.56	0.930	ne	---	---
6	5.22	15.62	1.001	ne	---	---
7	5.22	15.50	0.997	ne	---	---
8	4.67	14.99	1.000	ne	---	---

Vysvětlivky:

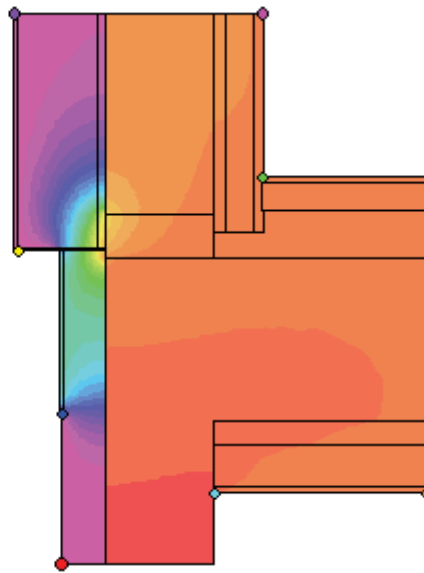
- Tw teplota rosného bodu v daném prostředí [C] - lze určit jen pro teploty do 100 C
- Ts,min minimální povrchová teplota v daném prostředí [C]
- f,Rsi teplotní faktor dle ČSN 730540, EN ISO 10211 a EN ISO 13788 [-]
[rozdíl minimální povrchové teploty a vnější teploty podělený rozdílem vnitřní (20.0 C) a vnější (-15.0 C) teploty - přesně lze určit jen pro max. 2 prostředí a pro rozdílnou vnitřní a vnější teplotu, program nicméně určuje orientační hodnoty i pro více prostředí, přičemž se uvažuje vnitřní teplota podle daného prostředí a konstantní vnější teplota Te = -15.0 C]
- KOND. označuje vznik povrchové kondenzace
- RH,max maximální možná relativní vlhkost při dané teplotě v daném prostředí, která zajistí odstranění povrchové kondenzace [%]
- T,min minimální potřebná teplota při dané absolutní vlhkosti v daném prostředí, která zajistí odstranění povrchové kondenzace [C] - platí jen pro případ dvou prostředí

Poznámka: Zde uvedené vyhodnocení rizika povrchové kondenzace neodpovídá hodnocení podle ČSN 730540-2. Program pouze porovnává teplotu povrchu s teplotou rosného bodu v okolním prostředí.

Teplotní pole [C]:



- ◆ Tsi=-15,00 C
- ◆ Tsi=-13,83 C
- ◆ Tsi=-14,96 C
- ◆ Tsi=-14,96 C
- ◆ Tsi=17,56 C
- ◆ Tsi=15,62 C



ODHAD CHYBY VÝPOČTU:

Součet tepelných toků: -0.0027 W/m
 Součet abs.hodnot tep.toků: 18.5248 W/m
 Podíl: -0.0001
 Podíl je menší než 0.001 - požadavek EN ISO 10211 je splněn.

ČÁSTEČNÉ TLAKY NASYČENÉ VODNÍ PÁRY (v kPa):

	50	49	48	47	46	45	44	43	42	41
50	0.17	0.17	0.17	0.17	0.17	0.17	0.17	0.17	0.18	0.18
49	0.17	0.17	0.17	0.17	0.17	0.17	0.17	0.17	0.18	0.18
48	0.17	0.17	0.17	0.17	0.17	0.17	0.17	0.18	0.18	0.18
47	0.17	0.17	0.17	0.17	0.17	0.17	0.18	0.18	0.18	0.18
46	0.17	0.17	0.17	0.17	0.17	0.17	0.18	0.19	0.19	0.19
45	0.17	0.17	0.17	0.17	0.17	0.18	0.18	0.19	0.20	0.20
44	0.17	0.17	0.17	0.17	0.17	0.18	0.19	0.20	0.21	0.22
43	0.17	0.17	0.17	0.17	0.18	0.19	0.20	0.22	0.23	0.24
42	0.17	0.17	0.17	0.17	0.18	0.19	0.21	0.23	0.24	0.25
41	0.17	0.17	0.17	0.18	0.18	0.19	0.22	0.24	0.26	0.27
40	0.17	0.17	0.17	0.18	0.18	0.19	0.22	0.25	0.26	0.28
39	0.17	0.17	0.17	0.18	0.18	0.20	0.23	0.26	0.28	0.30
38	0.17	0.17	0.17	0.18	0.18	0.20	0.23	0.27	0.30	0.33
37	0.17	0.17	0.17	0.18	0.18	0.20	0.23	0.27	0.30	0.33
36	0.17	0.17	0.17	0.18	0.18	0.20	0.23	0.28	0.31	0.34

35	0.17	0.17	0.17	0.18	0.18	0.19	0.22	0.27	0.31	0.35
34	0.17	0.17	0.17	0.17	0.18	0.19	0.21	0.26	0.30	0.35
33	0.17	0.17	0.17	0.17	0.17	0.18	0.20	0.23	0.27	0.33
32	0.17	0.17	0.17	0.17	0.17	0.17	0.18	0.21	0.25	0.33
31	0.17	0.17	0.17	0.17	0.17	0.17	0.17	0.18	0.21	0.33
30	0.17	0.17	0.17	0.17	0.17	0.17	0.17	0.18	0.20	0.34
29										0.46
28										0.53
27										0.59
26										0.61
25										0.61
24										0.61
23										0.61
22										0.61
21										0.60
20										0.56
19										0.43
18										0.17
17										
16										
15										
14										
13										
12										
11										
10										
9										
8										
7										
6										
5										
4										
3										
2										
1										

	40	39	38	37	36	35	34	33	32	31
50	0.18	0.18	0.18	0.18	0.18	0.18	0.18	0.18	0.18	0.18
49	0.18	0.18	0.18	0.18	0.18	0.18	0.18	0.18	0.18	0.18
48	0.18	0.18	0.18	0.18	0.18	0.19	0.19	0.19	0.19	0.19
47	0.18	0.18	0.19	0.19	0.19	0.19	0.19	0.19	0.19	0.19
46	0.19	0.19	0.19	0.20	0.20	0.20	0.20	0.20	0.20	0.20
45	0.20	0.20	0.21	0.21	0.21	0.22	0.22	0.22	0.22	0.22
44	0.22	0.22	0.22	0.23	0.23	0.24	0.24	0.24	0.24	0.24
43	0.24	0.24	0.25	0.26	0.27	0.28	0.28	0.29	0.29	0.29
42	0.26	0.26	0.27	0.28	0.30	0.31	0.32	0.32	0.32	0.32
41	0.28	0.28	0.29	0.30	0.33	0.35	0.36	0.36	0.37	0.37
40	0.29	0.29	0.31	0.32	0.35	0.38	0.39	0.40	0.40	0.40
39	0.31	0.32	0.34	0.36	0.41	0.46	0.48	0.49	0.49	0.50
38	0.34	0.34	0.37	0.40	0.48	0.57	0.61	0.63	0.65	0.66
37	0.35	0.35	0.39	0.43	0.52	0.63	0.70	0.73	0.77	0.78
36	0.35	0.36	0.40	0.45	0.56	0.70	0.79	0.85	0.91	0.93
35	0.36	0.37	0.42	0.47	0.61	0.78	0.89	0.96	1.04	1.06
34	0.36	0.38	0.43	0.49	0.65	0.84	0.96	1.03	1.11	1.13
33	0.36	0.37	0.44	0.51	0.68	0.88	1.00	1.08	1.15	1.17
32	0.35	0.37	0.44	0.52	0.69	0.89	1.02	1.09	1.17	1.19
31	0.36	0.38	0.46	0.54	0.70	0.90	1.03	1.10	1.17	1.19
30	0.37	0.39	0.46	0.54	0.70	0.91	1.03	1.10	1.17	1.19
29	0.46	0.47	0.51	0.57	0.71	0.90	1.02	1.09	1.18	1.20
28	0.53	0.54	0.56	0.60	0.72	0.89	1.00	1.07	1.15	1.18
27	0.59	0.59	0.61	0.64	0.72	0.82	0.88	0.91	0.93	0.94
26	0.61	0.61	0.63	0.65	0.70	0.76	0.78	0.79	0.80	0.81
25	0.61	0.61	0.62	0.63	0.66	0.68	0.68	0.69	0.69	0.69
24	0.61	0.61	0.61	0.62	0.63	0.63	0.63	0.63	0.64	0.64
23	0.61	0.61	0.61	0.61	0.60	0.60	0.60	0.60	0.60	0.60
22	0.61	0.61	0.60	0.59	0.57	0.56	0.55	0.55	0.55	0.55
21	0.60	0.60	0.58	0.55	0.52	0.50	0.49	0.49	0.49	0.48
20	0.56	0.56	0.51	0.47	0.42	0.40	0.40	0.39	0.39	0.39

19	0.44	0.45	0.39	0.37	0.35	0.34	0.34	0.34	0.34	0.34
18	0.17	0.18	0.23	0.25	0.28	0.29	0.29	0.29	0.29	0.29
17	0.17	0.17	0.21	0.23	0.26	0.27	0.27	0.27	0.27	0.27
16	0.17	0.17	0.20	0.22	0.25	0.26	0.26	0.27	0.27	0.27
15	0.17	0.17	0.20	0.22	0.24	0.26	0.26	0.26	0.26	0.26
14	0.17	0.17	0.19	0.21	0.24	0.25	0.26	0.26	0.26	0.26
13	0.17	0.17	0.19	0.21	0.24	0.25	0.26	0.26	0.26	0.26
12	0.17	0.17	0.19	0.21	0.23	0.25	0.25	0.25	0.25	0.25
11	0.17	0.17	0.19	0.20	0.23	0.24	0.25	0.25	0.25	0.25
10	0.17	0.17	0.18	0.20	0.22	0.23	0.24	0.24	0.24	0.24
9	0.17	0.17	0.18	0.19	0.21	0.22	0.22	0.22	0.22	0.22
8	0.17	0.17	0.17	0.18	0.19	0.20	0.20	0.20	0.20	0.20
7	0.17	0.17	0.17	0.17	0.18	0.18	0.18	0.18	0.18	0.18
6	0.17	0.17	0.17	0.17	0.17	0.18	0.18	0.18	0.18	0.18
5	0.17	0.17	0.17	0.17	0.17	0.17	0.17	0.17	0.17	0.17
4	0.17	0.17	0.17	0.17	0.17	0.17	0.17	0.17	0.17	0.17
3	0.17	0.17	0.17	0.17	0.17	0.17	0.17	0.17	0.17	0.17
2	0.17	0.17	0.17	0.17	0.17	0.17	0.17	0.17	0.17	0.17
1	0.17	0.17	0.17	0.17	0.17	0.17	0.17	0.17	0.17	0.17

	30	29	28	27	26	25	24	23	22	21
50	0.18	0.18	1.68	1.68	1.68	1.68	1.68	1.68	1.69	1.69
49	0.18	0.18	1.68	1.68	1.68	1.68	1.68	1.68	1.69	1.69
48	0.19	0.19	1.68	1.68	1.68	1.68	1.68	1.68	1.69	1.69
47	0.19	0.19	1.67	1.67	1.67	1.67	1.67	1.68	1.69	1.69
46	0.20	0.20	1.66	1.66	1.66	1.67	1.67	1.68	1.69	1.69
45	0.22	0.22	1.65	1.65	1.65	1.66	1.66	1.67	1.69	1.69
44	0.24	0.24	1.64	1.64	1.64	1.64	1.65	1.67	1.69	1.70
43	0.29	0.29	1.61	1.61	1.61	1.62	1.63	1.66	1.69	1.70
42	0.32	0.32	1.59	1.59	1.60	1.60	1.61	1.65	1.69	1.70
41	0.37	0.37	1.57	1.57	1.57	1.58	1.60	1.65	1.69	1.71
40	0.40	0.40	1.55	1.55	1.56	1.56	1.59	1.65	1.70	1.71
39	0.50	0.50	1.51	1.51	1.52	1.53	1.57	1.65	1.70	1.72
38	0.67	0.68	1.44	1.44	1.45	1.49	1.56	1.66	1.71	1.73
37	0.82	0.84	1.37	1.39	1.41	1.46	1.55	1.66	1.72	1.74
36	1.04	1.22	1.24	1.31	1.36	1.44	1.55	1.67	1.73	1.74
35	1.17	1.30	1.31	1.35	1.38	1.45	1.56	1.68	1.73	1.75
34	1.24	1.36	1.36	1.39	1.42	1.48	1.58	1.69	1.74	1.75
33	1.28	1.40	1.40	1.44	1.47	1.53	1.61	1.71	1.75	1.76
32	1.30	1.42	1.42	1.46	1.49	1.55	1.63	1.72	1.76	1.77
31	1.31	1.42	1.43	1.49	1.53	1.59	1.66	1.73	1.77	1.78
30	1.31	1.44	1.46	1.52	1.56	1.61	1.67	1.74	1.77	1.78
29	1.35	1.54	1.55	1.59	1.62	1.66	1.70	1.75	1.78	1.79
28	1.35	1.62	1.67	1.68	1.69	1.71	1.73	1.77	1.79	1.80
27	0.97	0.99	1.71	1.71	1.72	1.73	1.74	1.77	1.79	1.80
26	0.82	0.82	1.74	1.74	1.74	1.74	1.75	1.78	1.79	1.80
25	0.69	0.69	1.77	1.77	1.77	1.77	1.78	1.79	1.80	1.81
24	0.64	0.64	1.80	1.80	1.80	1.80	1.80	1.81	1.81	1.82
23	0.60	0.60	1.82	1.82	1.82	1.82	1.82	1.82	1.83	1.83
22	0.55	0.55	1.84	1.84	1.84	1.84	1.84	1.84	1.84	1.84
21	0.48	0.48	1.85	1.85	1.85	1.85	1.85	1.85	1.85	1.85
20	0.39	0.39	1.87	1.87	1.87	1.87	1.87	1.87	1.87	1.87
19	0.34	0.34	1.88	1.88	1.88	1.88	1.88	1.88	1.88	1.87
18	0.29	0.29	1.89	1.89	1.89	1.89	1.89	1.89	1.89	1.88
17	0.28	0.28	1.90	1.90	1.90	1.90	1.90	1.89	1.89	1.89
16	0.27	0.27	1.90	1.90	1.90	1.90	1.90	1.90	1.89	1.89
15	0.26	0.26	1.90	1.90	1.90	1.90	1.90	1.90	1.89	1.89
14	0.26	0.26	1.90	1.90	1.90	1.90	1.90	1.90	1.90	1.89
13	0.26	0.26	1.90	1.90	1.90	1.90	1.90	1.90	1.90	1.89
12	0.25	0.25	1.90	1.90	1.90	1.90	1.90	1.90	1.90	1.89
11	0.25	0.25	1.90	1.90	1.90	1.90	1.90	1.90	1.90	1.90
10	0.24	0.24	1.91	1.91	1.91	1.91	1.91	1.91	1.90	1.90
9	0.23	0.23	1.91	1.91	1.91	1.91	1.91	1.91	1.91	1.91
8	0.20	0.20	1.92	1.92	1.92	1.92	1.92	1.92	1.92	1.92
7	0.18	0.18	1.94	1.94	1.94	1.94	1.94	1.95	1.95	1.95
6	0.18	0.18	1.95	1.95	1.95	1.95	1.95	1.96	1.97	1.97
5	0.17	0.17	1.96	1.96	1.96	1.96	1.96	1.97	1.98	1.99
4	0.17	0.17	1.97	1.97	1.97	1.97	1.97	1.98	1.99	2.00

3	0.17	0.17	1.98	1.98	1.98	1.98	1.99	2.00	2.02	2.04
2	0.17	0.17	1.99	1.99	1.99	1.99	2.00	2.01	2.04	2.06
1	0.17	0.17	2.00	2.00	2.00	2.00	2.01	2.02	2.05	2.08

	20	19	18	17	16	15	14	13	12	11
50	1.69	1.70	1.70	1.70	1.70	1.70	1.70	1.70	1.70	1.70
49	1.69	1.70	1.70	1.70	1.70	1.70	1.70	1.70	1.70	1.70
48	1.69	1.70	1.70	1.70	1.70	1.70	1.70	1.70	1.70	1.70
47	1.70	1.70	1.70	1.70	1.70	1.70	1.70	1.70	1.70	1.70
46	1.70	1.70	1.70	1.70	1.70	1.70	1.70	1.70	1.70	1.70
45	1.70	1.70	1.70	1.70	1.70	1.70	1.70	1.71	1.71	1.71
44	1.70	1.70	1.71	1.71	1.71	1.71	1.71	1.71	1.71	1.71
43	1.71	1.71	1.71	1.71	1.71	1.71	1.72	1.72	1.72	1.72
42	1.71	1.72	1.72	1.72	1.72	1.72	1.72	1.74	1.74	1.73
41	1.72	1.72	1.72	1.72	1.73	1.73	1.73	1.75	1.75	1.76
40	1.72	1.72	1.73	1.73	1.73	1.73	1.73	1.76	1.76	1.76
39	1.73	1.73	1.73	1.74	1.74	1.74	1.74	1.76	1.76	1.77
38	1.74	1.74	1.74	1.74	1.74	1.74	1.75	1.77	1.77	1.77
37	1.74	1.74	1.75	1.75	1.75	1.75	1.75	1.77	1.77	1.77
36	1.75	1.75	1.75	1.75	1.75	1.75	1.75	1.77	1.77	1.77
35	1.75	1.75	1.75	1.76	1.76	1.76	1.76	1.77	1.78	1.78
34	1.76	1.76	1.76	1.76	1.76	1.76	1.77	1.78	1.78	1.78
33	1.77	1.77	1.77	1.77	1.77	1.77	1.78	1.79	1.79	1.79
32	1.77	1.77	1.78	1.78	1.78	1.78	1.78	1.79	1.80	1.80
31	1.78	1.78	1.78	1.78	1.78	1.79	1.79	1.80	1.80	1.80
30	1.78	1.79	1.79	1.79	1.79	1.79	1.79	1.80	1.81	1.81
29	1.79	1.79	1.79	1.79	1.80	1.80	1.80	1.81	1.81	1.81
28	1.80	1.80	1.80	1.80	1.80	1.81	1.81	1.82	1.82	1.82
27	1.80	1.80	1.80	1.80	1.81	1.81	1.81	1.82	1.82	1.82
26	1.80	1.81	1.81	1.81	1.81	1.81	1.81	1.82	1.82	1.82
25	1.81	1.81	1.81	1.81	1.81	1.81	1.82	1.82	1.82	1.82
24	1.82	1.82	1.82	1.82	1.82	1.82	1.82	1.83	1.83	1.83
23	1.83	1.83	1.83	1.83	1.83	1.83	1.83	1.83	1.83	1.83
22	1.84	1.84	1.84	1.84	1.84	1.84	1.84	1.84	1.84	1.83
21	1.85	1.85	1.85	1.85	1.85	1.85	1.85	1.84	1.84	1.84
20	1.86	1.86	1.86	1.86	1.86	1.86	1.86	1.85	1.84	1.84
19	1.87	1.87	1.87	1.87	1.87	1.86	1.86	1.85	1.85	1.85
18	1.88	1.88	1.87	1.87	1.87	1.87	1.86	1.85	1.85	1.85
17	1.88	1.88	1.88	1.88	1.87	1.87	1.86	1.85	1.85	1.85
16	1.89	1.88	1.88	1.88	1.87	1.87	1.87	1.85	1.85	1.85
15	1.89	1.88	1.88	1.88	1.87	1.87	1.87	1.85	1.85	1.85
14	1.89	1.89	1.88	1.88	1.88	1.87	1.87	1.85	1.85	1.85
13	1.89	1.89	1.88	1.88	1.88	1.87	1.87	1.85	1.85	1.85
12	1.89	1.89	1.89	1.89	1.88	1.88	1.87	1.85	1.85	1.85
11	1.89	1.89	1.89	1.89	1.88	1.88	1.87	1.85	1.85	1.85
10	1.90	1.90	1.89	1.89	1.89	1.88	1.87	1.85	1.85	1.85
9	1.90	1.90	1.90	1.90	1.90	1.89	1.88	1.85	1.85	1.85
8	1.92	1.92	1.92	1.92	1.91	1.90	1.89	1.85	1.85	1.85
7	1.95	1.95	1.95	1.95	1.93	1.92	1.89	1.83	1.83	1.82
6	1.97	1.97	1.97	1.96	1.94	1.92	1.88	1.81	1.81	1.81
5	1.99	1.99	1.98	1.98	1.93	1.90	1.84	1.79	1.78	1.78
4	2.00	2.00	2.01	2.01	1.92	1.87	1.82	1.78	1.78	1.78
3	2.05	2.05	2.06	2.06						
2	2.07	2.08	2.09	2.09						
1	2.09	2.10	2.10	2.10						

	10	9	8	7	6	5	4	3	2	1
50	1.70	1.70								
49	1.70	1.70								
48	1.70	1.70								
47	1.70	1.70								
46	1.70	1.70								
45	1.71	1.71								
44	1.71	1.71								
43	1.72	1.72								
42	1.73	1.73								
41	1.76	1.76	1.76	1.76	1.77	1.77	1.77	1.77	1.77	1.77

26	
25	0.51
24	0.51
23	0.51
22	0.51
21	0.51
20	0.51
19	0.43
18	0.16
17	
16	
15	
14	
13	
12	
11	
10	
9	
8	
7	
6	
5	
4	
3	
2	
1	

	40	39	38	37	36	35	34	33	32	31
50	0.14	0.14	0.14	0.14	0.14	0.14	0.14	0.14	0.14	0.14
49	0.14	0.14	0.14	0.14	0.14	0.14	0.14	0.14	0.14	0.14
48	0.14	0.14	0.14	0.14	0.14	0.14	0.14	0.14	0.14	0.14
47	0.14	0.14	0.14	0.14	0.14	0.14	0.14	0.14	0.14	0.14
46	0.14	0.14	0.14	0.14	0.14	0.15	0.15	0.15	0.15	0.15
45	0.15	0.15	0.15	0.15	0.15	0.15	0.15	0.15	0.15	0.15
44	0.15	0.15	0.15	0.15	0.15	0.15	0.15	0.15	0.15	0.15
43	0.15	0.15	0.15	0.15	0.15	0.15	0.15	0.15	0.15	0.15
42	0.15	0.15	0.15	0.15	0.15	0.15	0.15	0.15	0.15	0.15
41	0.15	0.15	0.15	0.15	0.15	0.15	0.16	0.16	0.16	0.16
40	0.15	0.15	0.15	0.15	0.16	0.16	0.16	0.16	0.16	0.16
39	0.15	0.15	0.16	0.16	0.16	0.16	0.16	0.16	0.16	0.16
38	0.16	0.16	0.16	0.16	0.16	0.16	0.16	0.17	0.17	0.17
37	0.16	0.16	0.16	0.16	0.16	0.17	0.17	0.17	0.17	0.17
36	0.16	0.16	0.16	0.16	0.16	0.17	0.17	0.17	0.17	0.17
35	0.16	0.16	0.16	0.16	0.16	0.17	0.17	0.17	0.17	0.17
34	0.16	0.16	0.16	0.16	0.16	0.17	0.17	0.17	0.17	0.17
33	0.16	0.16	0.16	0.16	0.16	0.17	0.17	0.17	0.17	0.17
32	0.16	0.16	0.16	0.16	0.16	0.17	0.17	0.17	0.17	0.17
31	0.16	0.16	0.16	0.16	0.16	0.17	0.17	0.17	0.17	0.17
30	0.18	0.39	0.46	0.49	0.51	0.53	0.54	0.54	0.54	0.54
29	0.44	0.47	0.48	0.50	0.52	0.53	0.54	0.55	0.55	0.55
28	0.51	0.51	0.50	0.50	0.52	0.53	0.54	0.55	0.56	0.56
27	0.51	0.51	0.51	0.51	0.52	0.53	0.54	0.54	0.54	0.54
26	0.51	0.51	0.51	0.52	0.52	0.53	0.53	0.53	0.53	0.53
25	0.51	0.51	0.51	0.51	0.52	0.52	0.52	0.52	0.52	0.52
24	0.51	0.51	0.51	0.51	0.51	0.51	0.51	0.51	0.51	0.51
23	0.51	0.51	0.51	0.51	0.50	0.50	0.50	0.50	0.50	0.50
22	0.51	0.51	0.51	0.50	0.49	0.48	0.48	0.48	0.48	0.48
21	0.51	0.51	0.50	0.49	0.47	0.45	0.45	0.45	0.44	0.44
20	0.51	0.51	0.47	0.44	0.41	0.39	0.38	0.38	0.38	0.38
19	0.44	0.45	0.39	0.37	0.35	0.34	0.34	0.34	0.34	0.34
18	0.15	0.18	0.23	0.25	0.28	0.29	0.29	0.29	0.29	0.29
17	0.14	0.16	0.20	0.23	0.26	0.27	0.27	0.27	0.27	0.27
16	0.14	0.15	0.19	0.22	0.25	0.26	0.26	0.27	0.27	0.27
15	0.14	0.15	0.19	0.21	0.24	0.26	0.26	0.26	0.26	0.26
14	0.14	0.15	0.18	0.21	0.24	0.25	0.26	0.26	0.26	0.26
13	0.14	0.15	0.18	0.20	0.23	0.25	0.25	0.26	0.26	0.26
12	0.14	0.15	0.18	0.20	0.23	0.24	0.25	0.25	0.25	0.25

11	0.14	0.15	0.17	0.19	0.22	0.24	0.24	0.25	0.25	0.25
10	0.14	0.14	0.17	0.19	0.21	0.23	0.23	0.24	0.24	0.24
9	0.14	0.14	0.16	0.17	0.20	0.21	0.22	0.22	0.22	0.22
8	0.14	0.14	0.15	0.16	0.18	0.19	0.19	0.19	0.19	0.19
7	0.14	0.14	0.14	0.15	0.16	0.16	0.16	0.17	0.17	0.17
6	0.14	0.14	0.14	0.15	0.15	0.16	0.16	0.16	0.16	0.16
5	0.14	0.14	0.14	0.14	0.15	0.15	0.15	0.15	0.15	0.15
4	0.14	0.14	0.14	0.14	0.15	0.15	0.15	0.15	0.15	0.15
3	0.14	0.14	0.14	0.14	0.14	0.14	0.14	0.14	0.14	0.14
2	0.14	0.14	0.14	0.14	0.14	0.14	0.14	0.14	0.14	0.14
1	0.14	0.14	0.14	0.14	0.14	0.14	0.14	0.14	0.14	0.14

	30	29	28	27	26	25	24	23	22	21
50	0.14	0.14	0.63	0.63	0.63	0.63	0.63	0.64	0.64	0.64
49	0.14	0.14	0.63	0.63	0.63	0.63	0.63	0.63	0.64	0.64
48	0.14	0.14	0.63	0.63	0.63	0.63	0.63	0.63	0.64	0.64
47	0.14	0.14	0.63	0.63	0.63	0.63	0.63	0.63	0.64	0.64
46	0.15	0.15	0.63	0.63	0.63	0.63	0.63	0.63	0.63	0.64
45	0.15	0.15	0.63	0.63	0.63	0.63	0.63	0.63	0.63	0.63
44	0.15	0.15	0.63	0.63	0.63	0.63	0.63	0.63	0.63	0.63
43	0.15	0.15	0.62	0.62	0.62	0.62	0.62	0.63	0.63	0.63
42	0.15	0.15	0.62	0.62	0.62	0.62	0.62	0.63	0.63	0.63
41	0.16	0.16	0.62	0.62	0.62	0.62	0.62	0.63	0.63	0.63
40	0.16	0.16	0.62	0.62	0.62	0.62	0.62	0.62	0.63	0.63
39	0.16	0.16	0.61	0.61	0.61	0.61	0.62	0.62	0.63	0.63
38	0.17	0.17	0.60	0.60	0.61	0.61	0.62	0.62	0.63	0.63
37	0.18	0.18	0.60	0.60	0.60	0.61	0.61	0.62	0.63	0.63
36	0.20	0.23	0.58	0.59	0.60	0.61	0.61	0.62	0.63	0.63
35	0.18	0.19	0.21	0.33	0.41	0.51	0.60	0.64	0.66	0.68
34	0.17	0.18	0.19	0.28	0.35	0.47	0.60	0.67	0.70	0.73
33	0.17	0.18	0.19	0.28	0.36	0.49	0.61	0.69	0.73	0.76
32	0.18	0.18	0.20	0.31	0.40	0.51	0.63	0.71	0.75	0.77
31	0.18	0.19	0.25	0.38	0.46	0.55	0.66	0.73	0.76	0.78
30	0.53	0.49	0.47	0.48	0.51	0.59	0.67	0.74	0.77	0.79
29	0.56	0.56	0.56	0.58	0.60	0.64	0.70	0.75	0.78	0.80
28	0.58	0.61	0.66	0.67	0.68	0.70	0.73	0.77	0.80	0.81
27	0.55	0.55	0.71	0.71	0.72	0.72	0.75	0.78	0.80	0.81
26	0.53	0.53	0.74	0.74	0.74	0.75	0.76	0.79	0.81	0.82
25	0.52	0.52	0.78	0.78	0.78	0.78	0.79	0.80	0.82	0.83
24	0.51	0.51	0.81	0.81	0.81	0.81	0.81	0.82	0.83	0.84
23	0.50	0.50	0.83	0.83	0.83	0.83	0.83	0.84	0.85	0.85
22	0.48	0.48	0.85	0.85	0.85	0.85	0.85	0.86	0.86	0.86
21	0.44	0.44	0.87	0.87	0.87	0.87	0.87	0.87	0.87	0.87
20	0.38	0.38	0.89	0.89	0.89	0.89	0.89	0.89	0.89	0.89
19	0.34	0.34	0.90	0.90	0.90	0.90	0.90	0.90	0.89	0.89
18	0.29	0.29	0.91	0.91	0.91	0.91	0.91	0.91	0.90	0.90
17	0.28	0.28	0.92	0.92	0.92	0.91	0.91	0.91	0.90	0.90
16	0.27	0.27	0.92	0.92	0.92	0.92	0.92	0.91	0.91	0.90
15	0.26	0.26	0.92	0.92	0.92	0.92	0.92	0.91	0.91	0.90
14	0.26	0.26	0.92	0.92	0.92	0.92	0.92	0.91	0.91	0.90
13	0.26	0.26	0.92	0.92	0.92	0.92	0.92	0.92	0.91	0.90
12	0.25	0.25	0.92	0.92	0.92	0.92	0.92	0.92	0.91	0.90
11	0.25	0.25	0.92	0.92	0.92	0.92	0.92	0.92	0.91	0.90
10	0.24	0.24	0.93	0.93	0.93	0.93	0.92	0.92	0.91	0.90
9	0.22	0.22	0.93	0.93	0.93	0.93	0.93	0.93	0.92	0.91
8	0.19	0.20	0.94	0.94	0.94	0.94	0.94	0.94	0.93	0.91
7	0.17	0.17	0.97	0.97	0.97	0.97	0.97	0.97	0.95	0.93
6	0.16	0.16	0.98	0.98	0.98	0.98	0.98	0.98	0.97	0.96
5	0.15	0.15	0.99	0.99	0.99	0.99	0.99	1.00	1.00	0.99
4	0.15	0.15	1.00	1.00	1.00	1.00	1.00	1.01	1.02	1.03
3	0.14	0.14	1.02	1.02	1.02	1.02	1.02	1.04	1.07	1.10
2	0.14	0.14	1.03	1.03	1.03	1.03	1.04	1.06	1.10	1.13
1	0.14	0.14	1.04	1.04	1.04	1.04	1.05	1.07	1.11	1.14

	20	19	18	17	16	15	14	13	12	11
50	0.64	0.64	0.64	0.64	0.69	0.74	0.84	0.84	0.85	0.85

49	0.64	0.64	0.64	0.64	0.69	0.74	0.84	0.84	0.85	0.85
48	0.64	0.64	0.64	0.64	0.69	0.74	0.84	0.84	0.85	0.85
47	0.64	0.64	0.64	0.64	0.69	0.74	0.84	0.84	0.85	0.85
46	0.64	0.64	0.64	0.64	0.69	0.74	0.84	0.84	0.85	0.85
45	0.63	0.63	0.64	0.64	0.69	0.74	0.84	0.84	0.85	0.85
44	0.63	0.63	0.63	0.63	0.69	0.74	0.84	0.84	0.85	0.85
43	0.63	0.63	0.63	0.63	0.68	0.74	0.84	0.84	0.85	0.85
42	0.63	0.63	0.63	0.63	0.68	0.74	0.84	0.84	0.85	0.85
41	0.63	0.63	0.63	0.63	0.68	0.73	0.84	0.84	0.85	0.85
40	0.63	0.63	0.63	0.63	0.68	0.73	0.84	0.84	0.84	0.85
39	0.63	0.63	0.63	0.63	0.68	0.73	0.84	0.84	0.84	0.84
38	0.63	0.63	0.63	0.63	0.68	0.74	0.84	0.84	0.84	0.84
37	0.63	0.63	0.63	0.63	0.69	0.74	0.84	0.84	0.84	0.84
36	0.63	0.63	0.63	0.63	0.70	0.75	0.84	0.84	0.84	0.84
35	0.69	0.70	0.70	0.77	0.78	0.80	0.84	0.84	0.84	0.84
34	0.75	0.77	0.80	0.80	0.81	0.82	0.84	0.84	0.84	0.84
33	0.78	0.80	0.81	0.81	0.82	0.82	0.83	0.84	0.84	0.84
32	0.79	0.80	0.82	0.82	0.82	0.82	0.83	0.84	0.84	0.84
31	0.80	0.81	0.82	0.82	0.82	0.82	0.83	0.84	0.84	0.84
30	0.81	0.81	0.82	0.82	0.82	0.83	0.83	0.84	0.84	0.84
29	0.81	0.82	0.82	0.82	0.82	0.83	0.83	0.84	0.84	0.84
28	0.82	0.82	0.82	0.82	0.83	0.83	0.83	0.84	0.84	0.85
27	0.82	0.82	0.82	0.83	0.83	0.83	0.83	0.84	0.85	0.85
26	0.82	0.83	0.83	0.83	0.83	0.83	0.83	0.85	0.85	0.85
25	0.83	0.83	0.84	0.84	0.84	0.84	0.84	0.85	0.85	0.85
24	0.84	0.84	0.84	0.84	0.85	0.85	0.85	0.86	0.86	0.86
23	0.85	0.85	0.85	0.85	0.86	0.86	0.86	0.86	0.86	0.86
22	0.86	0.86	0.86	0.86	0.87	0.87	0.87	0.87	0.87	0.87
21	0.88	0.88	0.88	0.88	0.88	0.88	0.88	0.88	0.88	0.88
20	0.89	0.89	0.89	0.89	0.89	0.89	0.89	0.89	0.89	0.89
19	0.89	0.89	0.89	0.89	0.89	0.89	0.89	0.89	0.89	0.89
18	0.90	0.90	0.89	0.89	0.89	0.89	0.89	0.89	0.89	0.89
17	0.90	0.90	0.90	0.90	0.90	0.90	0.90	0.89	0.89	0.89
16	0.90	0.90	0.90	0.90	0.90	0.90	0.90	0.89	0.89	0.89
15	0.90	0.90	0.90	0.90	0.90	0.90	0.90	0.90	0.89	0.89
14	0.90	0.90	0.90	0.90	0.90	0.90	0.90	0.90	0.90	0.89
13	0.90	0.90	0.90	0.90	0.90	0.90	0.90	0.90	0.90	0.89
12	0.90	0.90	0.90	0.90	0.90	0.90	0.90	0.90	0.90	0.89
11	0.90	0.90	0.90	0.90	0.90	0.90	0.90	0.90	0.90	0.89
10	0.90	0.90	0.90	0.90	0.90	0.90	0.90	0.90	0.90	0.89
9	0.90	0.90	0.90	0.90	0.90	0.90	0.90	0.90	0.90	0.89
8	0.91	0.90	0.90	0.90	0.90	0.90	0.90	0.90	0.90	0.89
7	0.92	0.91	0.90	0.90	0.90	0.90	0.90	0.90	0.90	0.90
6	0.94	0.92	0.91	0.91	0.91	0.90	0.90	0.90	0.90	0.89
5	0.97	0.95	0.92	0.92	0.91	0.91	0.90	0.89	0.89	0.89
4	1.04	1.06	1.08	1.09	0.93	0.90	0.89	0.89	0.89	0.89
3	1.13	1.14	1.16	1.17						
2	1.15	1.16	1.17	1.17						
1	1.15	1.16	1.17	1.17						

	10	9	8	7	6	5	4	3	2	1
50	0.85	0.85								
49	0.85	0.85								
48	0.85	0.85								
47	0.85	0.85								
46	0.85	0.85								
45	0.85	0.85								
44	0.85	0.85								
43	0.85	0.85								
42	0.85	0.85								
41	0.85	0.86	0.88	0.89	0.89	0.89	0.89	0.89	0.89	0.89
40	0.85	0.85	0.85	0.85	0.86	0.86	0.87	0.88	0.88	0.88
39	0.84	0.84	0.85	0.85	0.85	0.86	0.87	0.87	0.88	0.88
38	0.84	0.84	0.84	0.85	0.85	0.86	0.86	0.87	0.88	0.88
37	0.84	0.84	0.84	0.84	0.85	0.86	0.86	0.87	0.88	0.88
36	0.84	0.84	0.84	0.84	0.85	0.86	0.86	0.87	0.88	0.88

35	0.84	0.84	0.84	0.84	0.85	0.85	0.86	0.87	0.88	0.88
34	0.84	0.84	0.84	0.84	0.85	0.85	0.86	0.87	0.88	0.88
33	0.84	0.84	0.84	0.85	0.85	0.85	0.86	0.87	0.87	0.88
32	0.84	0.84	0.85	0.85	0.85	0.85	0.86	0.87	0.87	0.88
31	0.84	0.84	0.85	0.85	0.85	0.85	0.86	0.87	0.87	0.88
30	0.85	0.85	0.85	0.85	0.85	0.85	0.86	0.87	0.87	0.88
29	0.85	0.85	0.85	0.85	0.85	0.86	0.86	0.87	0.87	0.88
28	0.85	0.85	0.85	0.85	0.85	0.86	0.86	0.87	0.87	0.88
27	0.85	0.85	0.85	0.85	0.85	0.86	0.86	0.87	0.87	0.88
26	0.85	0.85	0.85	0.85	0.85	0.86	0.86	0.87	0.87	0.88
25	0.85	0.85	0.85	0.86	0.86	0.86	0.87	0.87	0.88	0.88
24	0.86	0.86	0.86	0.86	0.86	0.86	0.87	0.87	0.88	0.88
23	0.87	0.87	0.87	0.87	0.87	0.87	0.87	0.88	0.88	0.88
22	0.87	0.87	0.87	0.87	0.87	0.87	0.88	0.88	0.88	0.88
21	0.88	0.88	0.88	0.88	0.88	0.88	0.88	0.88	0.88	0.88
20	0.89	0.89	0.89	0.89	0.89	0.89	0.89	0.89	0.89	0.89
19	0.89	0.89	0.89	0.89	0.89	0.89	0.89	0.89	0.89	0.89
18	0.89	0.89	0.89	0.89	0.89	0.89	0.89	0.89	0.89	0.89
17	0.89	0.89	0.89	0.89	0.89	0.89	0.89	0.89	0.89	0.89
16	0.89	0.89	0.89	0.89	0.89	0.89	0.89	0.89	0.89	0.89
15	0.89	0.89	0.89	0.89	0.89	0.89	0.89	0.89	0.89	0.89
14	0.89	0.89	0.89	0.89	0.89	0.89	0.89	0.89	0.89	0.89
13	0.89	0.89	0.89	0.89	0.89	0.89	0.89	0.89	0.89	0.89
12	0.89	0.89	0.89	0.89	0.89	0.89	0.89	0.89	0.89	0.89
11	0.89	0.89	0.89	0.89	0.89	0.89	0.89	0.89	0.89	0.89
10	0.89	0.89	0.89	0.89	0.89	0.89	0.89	0.89	0.89	0.89
9	0.89	0.89	0.89	0.89	0.89	0.89	0.89	0.89	0.89	0.89
8	0.89	0.89	0.89	0.89	0.89	0.89	0.89	0.89	0.89	0.89
7	0.89	0.89	0.89	0.89	0.89	0.89	0.89	0.89	0.89	0.89
6	0.89	0.89	0.89	0.89	0.89	0.89	0.89	0.89	0.89	0.89
5	0.89	0.89	0.89	0.89	0.89	0.89	0.89	0.89	0.89	0.89
4	0.89	0.89	0.89	0.89	0.89	0.89	0.89	0.89	0.89	0.89
3										
2										
1										

TOKY DIFUNDUJÍCÍ VODNÍ PÁRY PŘI ZADANÝCH PODMÍNKÁCH:

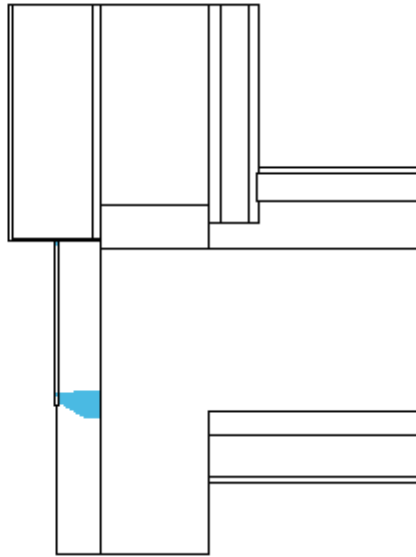
Množství vstupující do konstrukce: 4.6E-0009 kg/m,s.

Množství vystupující z konstrukce: 9.2E-0008 kg/m,s.

Množství kondenzující vodní páry: 9.7E-0008 kg/m,s.

Poznámka: Uvedená množství jsou vztažena k 1 m výšky detailu a platí pro zadané okrajové podmínky. Množství vodní páry vstupující do konstrukce bylo stanoveno pro povrchy se souč. přestupu vodní páry 10.e-9 s/m. Množství vystupující z konstrukce pak pro povrchy se souč. přestupu vodní páry 20.e-9 s/m. Ostatní povrchy se ve výpočtu neuplatnily.

Oblast kondenzace
vodní páry v detailu



DVOUROZMĚRNÉ STACIONÁRNÍ POLE TEPLIT A ČÁSTEČNÝCH TLAKŮ VODNÍ PÁRY

podle EN ISO 10211 a ČSN 730540 - MKP/FEM model

Area 2017 EDU

Název úlohy : **Detail napojení konstrukce str**

Varianta první

Zpracovatel : TT 2017

Zakázka : Diplomová práce

Datum : 20.04.2021

KONTROLNÍ TISK VSTUPNÍCH DAT :

Parametry pro výpočet teplotního faktoru:

Teplota vzduchu v exteriéru: -15.0 C

Teplota vzduchu v interiéru: 21.0 C

Parametry charakterizující rozsah úlohy:

Počet svislých os: 48

Počet vodorovných os: 48

Počet prvků: 4418

Počet uzlových bodů: 2304

Souřadnice os sítě - osa x [m] :

0.00000	0.09000	0.18000	0.24000	0.27000	0.28500	0.30000	0.30200	0.31100	0.32000
0.32100	0.33075	0.34050	0.36000	0.36600	0.36800	0.37000	0.37100	0.37622	0.38145
0.38667	0.38928	0.39058	0.39124	0.39189	0.39200	0.39300	0.40138	0.40975	0.42650
0.46000	0.52000	0.55000	0.56500	0.58000	0.58200	0.58400	0.59100	0.59189	0.59200
0.59300	0.59900	0.60500	0.64250	0.68000	0.71750	0.75500	0.76100		

Souřadnice os sítě - osa y [m] :

0.00000	0.17000	0.23700	0.30000	0.31200	0.31300	0.32500	0.33700	0.33800	0.33900
0.34000	0.34741	0.35481	0.36963	0.39925	0.45850	0.57700	0.58700	0.59700	0.59800
0.59900	0.60000	0.60950	0.61900	0.65000	0.66450	0.67175	0.67538	0.67719	0.67900
0.67920	0.68155	0.68390	0.68860	0.69800	0.69900	0.71125	0.72350	0.74800	0.75800
0.78000	0.84700	0.95050	1.00225	1.05400	1.05810	1.05900	1.05920		

Zadané materiály :

č.	Název	LambdaX	LambdaY	MiX	MiY	X1	X2	Y1	Y2
1	Isover Uni	0.038	0.038	1.000	1.000	1	14	8	17
2	Egger OSB4 TOP	0.130	0.130	200	200	1	31	17	21
3	Dřevo měkké (to	0.180	0.180	157	157	14	31	8	17
4	Dřevo měkké (to	0.180	0.180	157	157	31	35	8	21
5	Dřevo měkké (to	0.180	0.180	157	157	26	40	3	8
6	Egger OSB4 TOP	0.130	0.130	200	200	17	26	1	8
7	Isover Uni	0.038	0.038	1.000	1.000	10	17	1	8
8	Uzavřená vzduch	0.147	0.147	0.400	0.400	1	10	6	8
9	Isover Uni	0.038	0.038	1.000	1.000	26	40	1	3
10	STEICO protect	0.050	0.050	5.000	5.000	40	43	1	47
11	Uzavřená vzduch	0.147	0.147	0.400	0.400	35	40	8	21
12	Dřevo měkké (to	0.180	0.180	157	157	27	41	20	24
13	Dřevo měkké (to	0.180	0.180	157	157	27	41	24	30
14	Egger OSB4 TOP	0.130	0.130	200	200	18	27	25	47
15	Isover Uni	0.038	0.038	1.000	1.000	25	39	31	48
16	Isover EPS Rigi	0.039	0.039	30	30	8	27	21	25
17	Isover Uni	0.038	0.038	1.000	1.000	11	18	25	47
18	Rigips RB/RBI/R	0.210	0.210	10	10	8	10	1	5
19	Rigips RB/RBI/R	0.210	0.210	10	10	8	10	25	47
20	Isover EPS Rigi	0.039	0.039	30	30	1	8	21	36
21	Rigips RB/RBI/R	0.210	0.210	10	10	1	7	4	6
22	Beton hutný 1	1.230	1.230	17	17	1	8	35	39
23	Keramický obkla	1.010	1.010	200	200	1	8	39	40
24	Isover Multimax	0.034	0.034	1.000	1.000	43	47	1	47
25	weber.min - min	0.470	0.470	15	15	47	48	1	47
26	Tyvek Solid	0.350	0.350	87	87	16	17	2	11

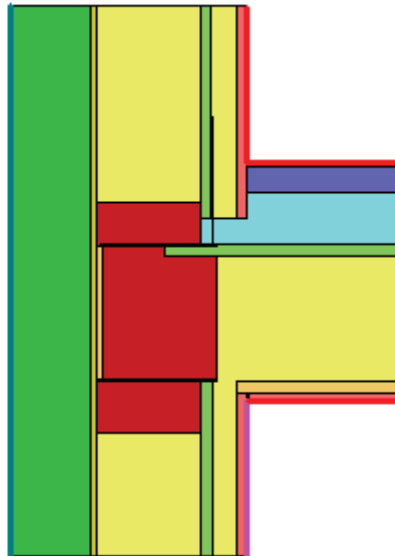
27	Tyvek Solid	0.350	0.350	87	87	15	38	8	10
28	Tyvek Solid	0.350	0.350	87	87	35	36	9	22
29	Tyvek Solid	0.350	0.350	87	87	14	37	19	21
30	Tyvek Solid	0.350	0.350	87	87	16	17	19	42

Poznámka: LambdaX a LambdaY jsou návrhové hodnoty tepelné vodivosti materiálu ve směru osy X a Y ve W/(m.K);
 Mix a MiY jsou návrhové faktory difúzního odporu materiálu ve směru osy X a Y; X1 a X2 jsou čísla os
 ve směru osy X a Y1 a Y2 jsou čísla os ve směru osy Y vymezující zadanou oblast.

**Geometrie detailu
a zadané podmínky:**

Počet vertik. os: 48
 Počet horizont. os: 48
 Počet prvků: 4418

Teplota	Odpor Rs
≤ 0	≤ 0,05
≤ 0	> 0,05
> 0	≤ 0,16
> 0	0,17-0,24
> 0	≥ 0,25



Zadané okrajové podmínky a jejich rozmístění :

číslo	1.uzel	2.uzel	Teplota [C]	Rs [m2K/W]	RH [%]	P [kPa]	h,p [s/m]
1	2257	2302	-15.00	0.13	84.0	0.14	20.00
2	337	340	21.00	0.13	50.0	1.24	10.00
3	376	381	21.00	0.35	50.0	1.24	10.00
4	4	292	21.00	0.25	50.0	1.24	10.00
5	40	376	21.00	0.35	50.0	1.24	10.00

Poznámka: Rs je odpor při přestupu tepla na příslušném povrchu, RH je relativní vlhkost v prostředí působícím na příslušný povrch, P je částečný tlak vodní páry v prostředí působícím na daný povrch a h,p je součinitel přestupu vodní páry na příslušném povrchu.

VÝSLEDKY VÝPOČTU HODNOCENÉHO DETAILU :

TEPLOTY (ve stupních Celsia) :

	48	47	46	45	44	43	42	41	40	39
48										8.60
47	-14.97									8.60
46	-14.97	-14.96								8.60
45	-14.97	-14.96	-14.69							8.60
44	-14.96	-14.96	-14.66	-14.46						8.60
43	-14.95	-14.95	-14.54	-14.19	-13.93					8.60
42	-14.90	-14.89	-14.04	-13.28	-12.71	-12.39				8.59
41	-14.82	-14.80	-13.33	-11.97	-10.86	-10.20	-10.18			8.58
40	-14.79	-14.77	-13.01	-11.36	-9.95	-9.04	-9.00	-8.98		8.58
39	-14.77	-14.75	-12.86	-11.06	-9.47	-8.40	-8.36	-8.34		8.57
38	-14.73	-14.71	-12.46	-10.24	-8.16	-6.54	-6.47	-6.44		8.57
37	-14.71	-14.68	-12.25	-9.82	-7.43	-5.36	-5.26	-5.22		8.57
36	-14.69	-14.66	-12.04	-9.38	-6.66	-3.97	-3.81	-3.73		8.57
35	-14.69	-14.66	-12.03	-9.35	-6.60	-3.85	-3.68	-3.59		8.57
34	-14.68	-14.64	-11.87	-9.02	-6.01	-2.63	-2.30	-2.09		8.57
33	-14.67	-14.63	-11.79	-8.87	-5.72	-2.01	-1.50	-1.05		8.57
32	-14.66	-14.63	-11.75	-8.79	-5.58	-1.71	-1.09	-0.37		8.57
31	-14.66	-14.63	-11.72	-8.71	-5.45	-1.43	-0.69	0.46		8.57
30	-14.66	-14.63	-11.71	-8.70	-5.43	-1.40	-0.65	0.54		0.79
29	-14.66	-14.62	-11.69	-8.65	-5.33	-1.19	-0.39	0.82		0.94
28	-14.65	-14.62	-11.66	-8.59	-5.23	-1.00	-0.17	0.99		1.07
27	-14.65	-14.61	-11.60	-8.47	-5.03	-0.64	0.18	1.20		1.26
26	-14.64	-14.60	-11.49	-8.25	-4.67	-0.08	0.67	1.50		1.54
25	-14.62	-14.58	-11.29	-7.85	-4.04	0.64	1.26	1.91		1.94

24	-14.58	-14.54	-10.93	-7.19	-3.15	1.39	1.92	2.45	2.48	2.48
23	-14.57	-14.53	-10.84	-7.02	-2.95	1.54	2.06	2.59	2.61	2.61
22	-14.56	-14.52	-10.75	-6.87	-2.77	1.67	2.17	2.70	2.72	2.73
21	-14.56	-14.52	-10.75	-6.86	-2.75	1.68	2.18	2.70	2.73	2.74
20	-14.56	-14.52	-10.74	-6.85	-2.73	1.70	2.19	2.70	2.74	2.75
19	-14.56	-14.51	-10.73	-6.83	-2.71	1.71	2.20	2.69	2.76	2.76
18	-14.55	-14.50	-10.65	-6.70	-2.56	1.82	2.30	2.78	2.86	2.87
17	-14.54	-14.50	-10.58	-6.57	-2.41	1.92	2.40	2.88	2.96	2.96
16	-14.50	-14.45	-10.23	-5.97	-1.67	2.69	3.16	3.64	3.72	3.72
15	-14.50	-14.45	-10.16	-5.85	-1.49	2.94	3.42	3.91	3.99	3.99
14	-14.50	-14.45	-10.16	-5.83	-1.45	3.01	3.50	3.99	4.08	4.08
13	-14.50	-14.45	-10.16	-5.84	-1.45	3.03	3.53	4.02	4.10	4.11
12	-14.50	-14.45	-10.17	-5.85	-1.46	3.04	3.54	4.04	4.12	4.12
11	-14.50	-14.45	-10.17	-5.86	-1.47	3.04	3.55	4.05	4.14	4.14
10	-14.50	-14.45	-10.17	-5.86	-1.47	3.04	3.55	4.06	4.14	4.15
9	-14.50	-14.45	-10.17	-5.86	-1.47	3.04	3.55	4.06	4.15	4.15
8	-14.50	-14.45	-10.18	-5.86	-1.47	3.04	3.55	4.06	4.15	4.15
7	-14.50	-14.45	-10.19	-5.89	-1.50	3.02	3.53	4.04	4.12	4.13
6	-14.50	-14.45	-10.21	-5.92	-1.54	2.99	3.49	4.00	4.09	4.09
5	-14.50	-14.45	-10.21	-5.92	-1.55	2.98	3.49	4.00	4.09	4.09
4	-14.50	-14.46	-10.23	-5.97	-1.60	2.92	3.43	3.95	4.03	4.03
3	-14.52	-14.48	-10.43	-6.35	-2.19	2.17	2.67	3.19	3.28	3.28
2	-14.56	-14.51	-10.76	-7.04	-3.40	0.07	0.42	0.77	0.83	0.83
1	-14.59	-14.54	-11.03	-7.55	-4.12	-0.75	-0.39	-0.03	0.02	0.03

	38	37	36	35	34	33	32	31	30	29
48	8.60	8.60	8.60	8.60	8.61	8.61	8.61	8.61	8.61	8.61
47	8.60	8.60	8.60	8.60	8.61	8.61	8.61	8.61	8.61	8.61
46	8.60	8.60	8.60	8.60	8.61	8.61	8.61	8.61	8.61	8.61
45	8.60	8.60	8.60	8.60	8.61	8.61	8.61	8.61	8.61	8.61
44	8.60	8.60	8.60	8.60	8.60	8.60	8.61	8.61	8.61	8.61
43	8.60	8.60	8.60	8.60	8.60	8.60	8.60	8.61	8.61	8.61
42	8.59	8.59	8.59	8.59	8.59	8.59	8.59	8.60	8.61	8.62
41	8.58	8.58	8.58	8.58	8.58	8.58	8.58	8.59	8.60	8.61
40	8.58	8.58	8.58	8.58	8.58	8.58	8.57	8.57	8.58	8.60
39	8.57	8.57	8.57	8.57	8.57	8.57	8.57	8.57	8.57	8.58
38	8.57	8.57	8.57	8.57	8.57	8.57	8.56	8.55	8.54	8.54
37	8.57	8.57	8.57	8.57	8.57	8.57	8.56	8.54	8.51	8.50
36	8.57	8.57	8.57	8.57	8.57	8.57	8.56	8.53	8.49	8.45
35	8.57	8.57	8.57	8.57	8.57	8.57	8.56	8.53	8.49	8.45
34	8.57	8.57	8.57	8.57	8.57	8.56	8.56	8.53	8.47	8.40
33	8.57	8.57	8.57	8.57	8.57	8.56	8.56	8.53	8.47	8.39
32	8.57	8.57	8.57	8.57	8.57	8.56	8.56	8.53	8.47	8.38
31	8.57	8.57	8.57	8.57	8.57	8.56	8.56	8.53	8.47	8.38
30	0.99	1.65	1.79	1.92	2.66	3.26	4.27	5.94	6.82	7.28
29	1.05	1.66	1.80	1.92	2.66	3.26	4.27	5.94	6.82	7.28
28	1.14	1.68	1.81	1.93	2.67	3.26	4.27	5.94	6.82	7.28
27	1.31	1.74	1.86	1.97	2.68	3.27	4.27	5.94	6.82	7.27
26	1.58	1.90	1.99	2.08	2.72	3.29	4.28	5.95	6.81	7.25
25	1.97	2.20	2.27	2.33	2.86	3.37	4.32	5.96	6.81	7.20
24	2.51	2.69	2.74	2.79	3.21	3.63	4.46	6.02	6.83	7.19
23	2.64	2.82	2.87	2.92	3.31	3.71	4.51	6.04	6.86	7.23
22	2.75	2.95	3.00	3.04	3.41	3.79	4.57	6.07	6.89	7.28
21	2.76	2.96	3.01	3.05	3.42	3.80	4.57	6.07	6.90	7.29
20	2.77	2.97	3.02	3.06	3.42	3.80	4.58	6.07	6.90	7.29
19	2.79	2.98	3.03	3.06	3.43	3.81	4.58	6.08	6.90	7.30
18	2.89	3.08	3.14	3.16	3.52	3.89	4.64	6.12	6.96	7.37
17	2.99	3.18	3.24	3.26	3.61	3.97	4.70	6.17	7.02	7.44
16	3.75	3.94	3.99	4.02	4.35	4.69	5.39	6.77	7.51	7.85
15	4.02	4.21	4.27	4.29	4.64	4.99	5.72	7.22	8.03	8.42
14	4.10	4.30	4.36	4.38	4.74	5.10	5.87	7.47	8.35	8.78
13	4.13	4.33	4.39	4.41	4.77	5.15	5.93	7.59	8.52	8.97
12	4.15	4.34	4.40	4.42	4.78	5.16	5.96	7.66	8.61	9.07
11	4.17	4.34	4.40	4.42	4.79	5.17	5.99	7.72	8.69	9.17
10	4.17	4.34	4.39	4.43	4.79	5.18	5.99	7.73	8.70	9.18
9	4.18	4.34	4.39	4.43	4.79	5.18	5.99	7.73	8.71	9.19
8	4.17	4.34	4.38	4.43	4.79	5.18	5.99	7.74	8.72	9.19
7	4.15	4.32	4.36	4.41	4.79	5.19	6.03	7.84	8.86	9.36
6	4.11	4.28	4.33	4.38	4.77	5.19	6.06	7.94	9.01	9.54

5	4.11	4.28	4.33	4.38	4.77	5.19	6.06	7.95	9.03	9.56
4	4.06	4.23	4.28	4.33	4.74	5.17	6.09	8.04	9.18	9.74
3	3.32	3.60	3.68	3.76	4.35	4.93	6.09	8.49	9.99	10.82
2	0.90	1.42	1.56	1.70	2.76	3.77	5.72	9.51	11.79	13.01
1	0.10	0.65	0.81	0.96	2.12	3.27	5.55	10.07	12.65	13.97

	28	27	26	25	24	23	22	21	20	19
48	8.61	8.61	8.61	8.61						
47	8.61	8.61	8.61	8.61	8.61	8.61	8.61	8.61	8.61	8.61
46	8.61	8.61	8.61	8.61	8.61	8.61	8.61	8.61	8.61	8.61
45	8.61	8.61	8.61	8.61	8.61	8.61	8.61	8.61	8.61	8.61
44	8.61	8.61	8.61	8.61	8.61	8.61	8.61	8.61	8.61	8.61
43	8.61	8.61	8.61	8.61	8.61	8.61	8.61	8.61	8.61	8.61
42	8.62	8.62	8.62	8.62	8.62	8.62	8.62	8.62	8.62	8.62
41	8.62	8.62	8.63	8.63	8.63	8.63	8.63	8.63	8.63	8.63
40	8.61	8.62	8.62	8.62	8.62	8.62	8.62	8.62	8.62	8.63
39	8.60	8.61	8.61	8.61	8.61	8.61	8.61	8.61	8.62	8.62
38	8.55	8.57	8.57	8.57	8.57	8.57	8.57	8.58	8.59	8.60
37	8.51	8.52	8.52	8.52	8.53	8.53	8.53	8.53	8.55	8.57
36	8.44	8.44	8.44	8.44	8.44	8.44	8.44	8.45	8.48	8.51
35	8.43	8.43	8.43	8.43	8.43	8.43	8.43	8.44	8.47	8.50
34	8.35	8.30	8.30	8.31	8.31	8.31	8.31	8.33	8.38	8.44
33	8.31	8.19	8.19	8.19	8.20	8.20	8.21	8.24	8.32	8.40
32	8.29	8.09	8.11	8.11	8.12	8.13	8.15	8.19	8.29	8.38
31	8.28	7.95	7.98	7.99	8.01	8.04	8.07	8.14	8.25	8.36
30	7.54	7.91	7.97	7.98	8.01	8.03	8.07	8.13	8.25	8.36
29	7.54	7.87	7.92	7.92	7.95	7.97	8.02	8.10	8.23	8.35
28	7.54	7.84	7.88	7.88	7.91	7.93	7.98	8.07	8.21	8.33
27	7.52	7.78	7.82	7.83	7.85	7.88	7.92	8.01	8.17	8.31
26	7.48	7.71	7.75	7.75	7.78	7.80	7.85	7.94	8.13	8.30
25	7.39	7.56	7.61	7.62	7.65	7.69	7.75	7.87	8.12	8.36
24	7.34	7.47	7.53	7.54	7.58	7.62	7.69	7.85	8.15	8.46
23	7.39	7.53	7.59	7.60	7.63	7.67	7.75	7.89	8.17	8.45
22	7.48	7.68	7.73	7.73	7.77	7.80	7.86	7.97	8.19	8.42
21	7.49	7.71	7.76	7.76	7.79	7.82	7.87	7.98	8.20	8.41
20	7.49	7.72	7.76	7.77	7.79	7.82	7.88	7.98	8.20	8.41
19	7.50	7.73	7.77	7.77	7.80	7.83	7.88	7.98	8.20	8.41
18	7.59	7.83	7.86	7.86	7.88	7.90	7.94	8.02	8.19	8.37
17	7.66	7.88	7.90	7.90	7.92	7.94	7.97	8.04	8.18	8.31
16	8.01	8.17	8.19	8.19	8.20	8.22	8.24	8.29	8.38	8.47
15	8.61	8.79	8.81	8.82	8.83	8.84	8.87	8.93	9.04	9.14
14	9.00	9.21	9.23	9.23	9.25	9.27	9.30	9.36	9.49	9.62
13	9.20	9.42	9.45	9.45	9.47	9.49	9.52	9.59	9.74	9.88
12	9.30	9.53	9.56	9.56	9.58	9.60	9.63	9.71	9.86	10.01
11	9.40	9.63	9.66	9.66	9.68	9.70	9.74	9.81	9.97	10.13
10	9.41	9.64	9.67	9.67	9.69	9.71	9.75	9.83	9.99	10.15
9	9.42	9.65	9.67	9.68	9.70	9.72	9.76	9.84	10.00	10.16
8	9.43	9.65	9.68	9.68	9.70	9.72	9.76	9.84	10.00	10.17
7	9.60	9.84	9.87	9.87	9.89	9.92	9.97	10.06	10.25	10.44
6	9.80	10.05	10.08	10.09	10.11	10.14	10.19	10.30	10.51	10.72
5	9.82	10.07	10.10	10.10	10.13	10.16	10.21	10.32	10.53	10.74
4	10.02	10.30	10.33	10.33	10.36	10.39	10.45	10.57	10.80	11.02
3	11.26	11.73	11.79	11.79	11.82	11.85	11.91	12.04	12.27	12.51
2	13.64	14.29	14.37	14.37	14.38	14.40	14.43	14.49	14.62	14.76
1	14.63	15.30	15.38	15.39	15.40	15.42	15.45	15.51	15.64	15.76

	18	17	16	15	14	13	12	11	10	9
48										
47	8.61	8.61	8.61	8.61	8.61	8.61	8.61	8.61	21.00	21.00
46	8.61	8.61	8.61	8.61	8.61	8.61	8.61	8.61	21.00	21.00
45	8.61	8.61	8.61	8.61	8.61	8.61	8.61	8.61	21.00	21.00
44	8.61	8.61	8.61	8.61	8.61	8.61	8.61	8.61	21.00	21.00
43	8.61	8.61	8.61	8.61	8.61	8.62	8.62	8.62	20.99	20.99
42	8.62	8.62	8.62	8.62	8.63	8.63	8.63	8.63	20.93	20.93
41	8.63	8.63	8.64	8.64	8.65	8.67	8.68	8.68	20.59	20.60
40	8.63	8.64	8.64	8.64	8.67	8.73	8.75	8.75	20.25	20.24
39	8.63	8.64	8.64	8.65	8.68	8.77	8.79	8.80	20.14	20.13
38	8.61	8.63	8.63	8.65	8.72	8.93	8.99	9.01	19.92	19.93

37	8.59	8.61	8.61	8.65	8.76	9.08	9.17	9.21	19.71	19.75
36	8.55	8.58	8.58	8.64	8.81	9.31	9.46	9.51	19.33	19.42
35	8.55	8.57	8.58	8.64	8.82	9.33	9.49	9.54	19.29	19.37
34	8.50	8.54	8.55	8.64	8.88	9.59	9.81	9.89	18.75	18.80
33	8.48	8.53	8.54	8.64	8.92	9.76	10.02	10.13	18.45	18.48
32	8.47	8.52	8.54	8.64	8.95	9.85	10.14	10.26	18.29	18.32
31	8.46	8.52	8.53	8.65	8.97	9.94	10.27	10.41	18.13	18.16
30	8.46	8.52	8.53	8.65	8.98	9.95	10.28	10.42	18.11	18.14
29	8.45	8.52	8.53	8.65	9.00	10.03	10.39	10.55	17.98	18.01
28	8.45	8.52	8.53	8.66	9.02	10.11	10.51	10.69	17.85	17.89
27	8.44	8.52	8.54	8.67	9.07	10.28	10.76	11.00	17.58	17.63
26	8.45	8.54	8.56	8.72	9.19	10.67	11.36	11.83	17.00	17.10
25	8.60	8.69	8.71	8.89	9.45	11.48	12.95	15.02	15.43	16.09
24	8.77	8.83	8.85	8.99	9.42	10.96	11.80	12.66	12.74	13.39
23	8.73	8.79	8.80	8.92	9.30	10.70	11.43	12.16	12.23	12.84
22	8.66	8.71	8.73	8.83	9.11	10.41	11.08	11.73	11.79	12.36
21	8.63	8.69	8.73	8.82	9.09	10.38	11.04	11.68	11.75	12.31
20	8.63	8.67	8.74	8.82	9.08	10.37	11.03	11.67	11.73	12.29
19	8.63	8.67	8.74	8.82	9.08	10.36	11.02	11.66	11.72	12.28
18	8.55	8.59	8.66	8.74	8.99	10.27	10.92	11.55	11.61	12.16
17	8.44	8.47	8.52	8.56	8.70	10.17	10.83	11.47	11.53	12.08
16	8.55	8.57	8.60	8.63	8.73	10.07	10.71	11.33	11.39	11.94
15	9.25	9.27	9.30	9.34	9.45	11.10	11.87	12.60	12.67	13.31
14	9.74	9.77	9.82	9.86	10.00	12.05	13.00	13.87	13.96	14.67
13	10.02	10.05	10.11	10.16	10.32	12.72	13.83	14.83	14.93	15.68
12	10.16	10.19	10.25	10.31	10.50	13.10	14.33	15.46	15.57	16.32
11	10.30	10.33	10.38	10.45	10.72	13.52	14.88	16.26	16.38	17.07
10	10.31	10.34	10.39	10.46	10.76	13.57	14.95	16.39	16.53	17.18
9	10.32	10.35	10.40	10.47	10.81	13.63	15.02	16.52	16.69	17.29
8	10.33	10.37	10.39	10.48	10.86	13.69	15.09	16.65	16.87	17.41
7	10.62	10.66	10.68	10.91	11.62	14.38	15.83	17.31	17.46	17.82
6	10.93	10.97	11.00	11.28	12.11	15.00	16.52	18.02	18.00	18.15
5	10.95	10.99	11.02	11.30	12.15	15.05	16.58	18.28	18.64	19.12
4	11.25	11.30	11.33	11.63	12.54	15.57	17.17	18.86	19.04	19.36
3	12.73	12.78	12.81	13.10	13.97	16.78	18.18	19.60	19.75	19.99
2	14.91	14.93	14.99	15.20	15.82	17.88	18.93	19.98	20.09	20.27
1	15.89	15.92	16.09	16.26	16.78	18.47	19.33	20.18	20.27	20.42

	8	7	6	5	4	3	2	1
48								
47	21.00							
46	21.00							
45	21.00							
44	21.00							
43	20.99							
42	20.93							
41	20.63							
40	20.20	20.18	20.14	20.15	20.20	20.31	20.44	20.48
39	20.12	20.11	20.11	20.12	20.17	20.30	20.43	20.47
38	19.98	19.98	20.01	20.05	20.12	20.26	20.40	20.45
37	19.88	19.89	19.95	20.01	20.10	20.25	20.39	20.44
36	19.74	19.77	19.90	19.98	20.08	20.23	20.38	20.43
35	19.70	19.77	19.90	19.98	20.08	20.23	20.38	20.43
34	18.90	18.96	19.22	19.38	19.61	19.92	20.19	20.27
33	18.55	18.60	18.89	19.09	19.38	19.77	20.10	20.20
32	18.38	18.43	18.73	18.94	19.26	19.69	20.05	20.16
31	18.21	18.26	18.57	18.80	19.14	19.61	20.00	20.12
30	18.20	18.24	18.55	18.79	19.13	19.61	20.00	20.12
29	18.07	18.12	18.43	18.68	19.04	19.55	19.96	20.09
28	17.94	17.99	18.31	18.57	18.96	19.49	19.93	20.06
27	17.68	17.74	18.08	18.35	18.78	19.37	19.86	20.00
26	17.19	17.25	17.61	17.92	18.43	19.14	19.72	19.89
25	16.34	16.37	16.72	17.09	17.75	18.69	19.44	19.67
24	13.94	14.05	14.77	15.38	16.39	17.80	18.91	19.23
23	13.38	13.49	14.26	14.92	16.02	17.56	18.76	19.11
22	12.89	13.00	13.79	14.49	15.67	17.33	18.62	19.00
21	12.84	12.95	13.74	14.45	15.64	17.31	18.61	18.99
20	12.82	12.93	13.73	14.44	15.63	17.30	18.60	18.99

19	12.81	12.92	13.71	14.42	15.62	17.29	18.60	18.98
18	12.69	12.80	13.60	14.32	15.53	17.24	18.57	18.96
17	12.61	12.72	13.52	14.24	15.47	17.20	18.54	18.94
16	12.47	12.58	13.40	14.15	15.45	17.30	18.73	19.14
15	13.90	14.02	14.89	15.66	16.88	18.42	19.48	19.77
14	15.30	15.43	16.29	17.00	18.04	19.22	19.98	20.18
13	16.31	16.43	17.23	17.85	18.73	19.67	20.25	20.40
12	16.91	17.03	17.76	18.32	19.09	19.91	20.39	20.52
11	17.59	17.69	18.33	18.82	19.48	20.15	20.53	20.63
10	17.68	17.78	18.41	18.88	19.53	20.18	20.55	20.65
9	17.78	17.87	18.49	18.95	19.58	20.22	20.57	20.66
8	17.87	17.97	18.57	19.02	19.64	20.25	20.59	20.68
7	18.24	18.33	18.87	19.27	19.82	20.36	20.66	20.73
6	18.65	18.83	19.26	19.58	20.03	20.48	20.72	20.78
5	19.33	18.89	19.28	19.60	20.04	20.49	20.73	20.79
4	19.70	19.40	19.61	19.85	20.21	20.58	20.78	20.82
3	20.24							
2	20.45							
1	20.56							

NEJNIŽŠÍ POVRCHOVÉ TEPLoty A HUSTOTY TEPELNÉHO TOKU:

Prostředí	T [C]	Rs [m2K/W]	R.H. [%]	Ts,min [C]	Tep.tok Q [W/m]	Propust. L [W/mK]
1	-15.0	0.13	84	-14.97	-2.76529	0.07681
2	21.0	0.13	50	19.70	1.48578	0.04127
3	21.0	0.35	50	20.14	0.66402	0.01844
4	21.0	0.25	50	19.40	0.61521	0.01709

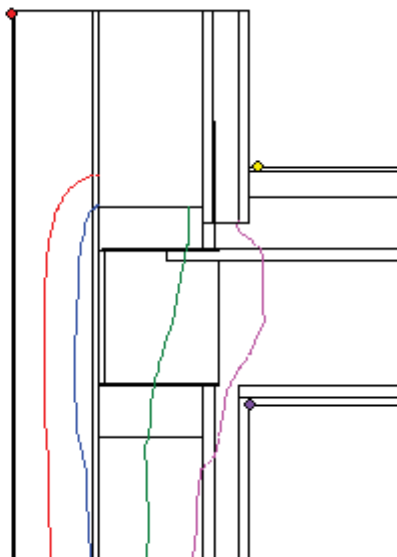
Vysvětlivky:

- T zadaná teplota v daném prostředí [C]
Rs zadaný odpor při přestupu tepla v daném prostředí [m2K/W]
R.H. zadaná relativní vlhkost v daném prostředí [%]
Ts,min minimální povrchová teplota v daném prostředí [C]
Tep.tok Q hustota tepelného toku z daného prostředí [W/m]
(hodnota je vztažena na 1m délky tepelného mostu, přičemž ztráta je kladná a zisk je záporný)
Propust. L tepelná propustnost mezi daným prostředím a okolím [W/mK]
(lze určit jen pro maximálně 2 prostředí; pro určité charakteristické výseky lze získat průměrný součinitel prostupu tepla vydělením hodnoty L šířkou hodnoceného výseku konstrukce)

Izotermy:

- -8,00 C
- -1,00 C
- 7,00 C
- 14,00 C

- ◆ Tsi=-14,97 C
- ◆ Tsi=19,70 C
- ◆ Tsi=20,14 C
- ◆ Tsi=19,40 C



NEJNIŽŠÍ POVRCHOVÉ TEPLoty, TEPLOTNÍ FAKTORY A RIZIKO KONDENZACE:

Prostředí	Tw [C]	Ts,min [C]	f,Rsi [-]	KOND.	RH,max [%]	T,min [C]
1	-16.87	-14.97	0.999	ne	---	---
2	10.18	19.70	0.964	ne	---	---
3	10.18	20.14	0.976	ne	---	---
4	10.18	19.40	0.955	ne	---	---

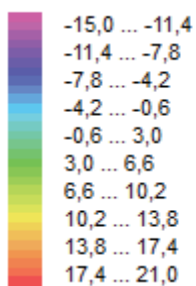
Vysvětlivky:

- Tw teplota rosného bodu v daném prostředí [C] - lze určit jen pro teploty do 100 C
Ts,min minimální povrchová teplota v daném prostředí [C]

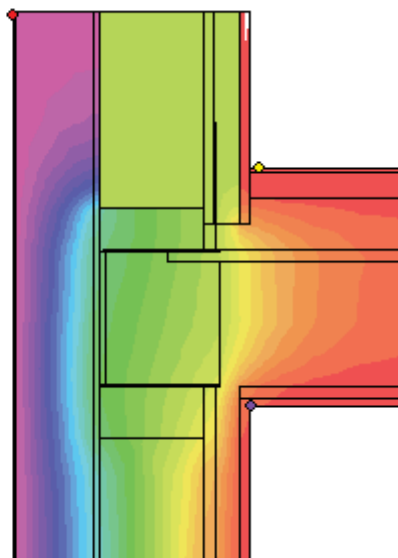
f,Rsi	teplotní faktor dle ČSN 730540, EN ISO 10211 a EN ISO 13788 [-] [rozdíl minimální povrchové teploty a vnější teploty podělený rozdílem vnitřní (21.0 C) a vnější (-15.0 C) teploty - přesně lze určit jen pro max. 2 prostředí a pro rozdílnou vnitřní a vnější teplotu, program nicméně určuje orientační hodnoty i pro více prostředí, přičemž se uvažuje vnitřní teplota podle daného prostředí a konstantní vnější teplota $T_e = -15.0$ C]
KOND.	označuje vznik povrchové kondenzace
RH,max	maximální možná relativní vlhkost při dané teplotě v daném prostředí, která zajistí odstranění povrchové kondenzace [%]
T,min	minimální potřebná teplota při dané absolutní vlhkosti v daném prostředí, která zajistí odstranění povrchové kondenzace [C] - platí jen pro případ dvou prostředí

Poznámka: Zde uvedené vyhodnocení rizika povrchové kondenzace neodpovídá hodnocení podle ČSN 730540-2. Program pouze porovnává teplotu povrchu s teplotou rosného bodu v okolním prostředí.

Teplotní pole [C]:



- ◆ Tsi=-14,97 C
- ◆ Tsi=19,70 C
- ◆ Tsi=20,14 C
- ◆ Tsi=19,40 C



ODHAD CHYBY VÝPOČTU:

Součet tepelných toků: -0.0003 W/m
 Součet abs.hodnot tep.toků: 5.5303 W/m
 Podíl: -0.0001
 Podíl je menší než 0.001 - požadavek EN ISO 10211 je splněn.



Projekt: Diplomová práce
Stropní nosník

Model: Diplomová Práce -KROV
Konstrukce Krovu

Datum: 17.04.2021

Statický výpočet

PROJEKT

Společenský dům s hasičskou zbrojnicí
Statický výpočet krovu

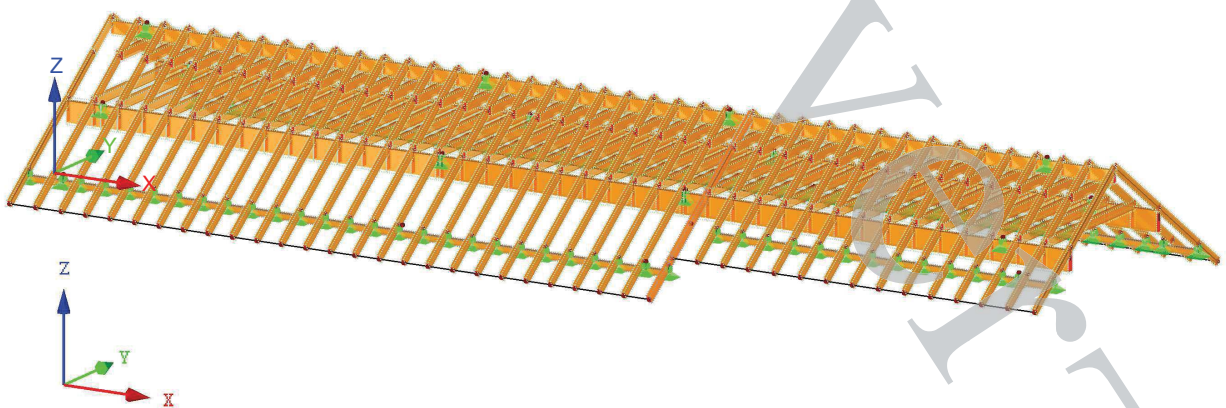
INVESTOR

Ceska Zemedelska univerzita
Fakulta lesnicka a drevarska, Drevarske
inzenyrstvi

ZHOTOVITEL

Jaroslav Prusa

Izometrie





Projekt: Diplomová práce

Model: Diplomová Práce -KROV

Datum: 17.04.2021

Stropní nosník

Konstrukce Krovu

■ OBSAH

2	Základní údaje o modelu	2	2.7	Kombinace výsledků	107
	Zatěžovací stavy a kombinace			RF-TIMBER Pro	
2.1	Zatěžovací stavy	2	1.1.1	Základní údaje	107
2.1.1	Zatěžovací stavy - parametry výpočtu	2	1.1.4	Použité normy	107
2.2	Účinky	3	1.2	Materiály	107
2.3	Kombinační pravidla	3	1.3.1	Průřezy	107
2.4	Kombinace účinků	4	1.4	Třída trvání zatížení a třída provozu	107
2.5	Kombinace zatížení	10	2.2	Posouzení po průřezech	118
2.5.2	Kombinace zatížení - parametry výpočtu	33			

■ ZÁKLADNÍ ÚDAJE O MODELU

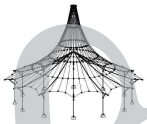
Obecné	Název modelu	: Diplomová Práce -KROV
	Označení modelu	: Konstrukce Krovu
	Název projektu	: Diplomová práce
	Označení projektu	: Stropní nosník
	Typ modelu	: 3D
	Kladný směr globální osy Z	: Nahoru
	Klasifikace zatěžovacích stavů a kombinací	: Podle normy: EN 1990 + EN 1995 (dřevo)
		: Národní příloha: ČSN - Česká Republika
	<input checked="" type="checkbox"/> Automaticky vytvořit kombinace	: <input checked="" type="checkbox"/> Kombinace zatížení

■ 2.1 ZATĚŽOVACÍ STAVY

Zatěž. stav	Označení zatěž. stavu	Kategorie účinků	Aktivní	Vlastní tíha - Součinitel ve směru			EN 1990 + 1995 ČSN Doba trvání zatížení
				X	Y	Z	
ZS1	Vlastní tíha	Stálé	<input checked="" type="checkbox"/>	0.000	0.000	-1.000	Stálé
ZS2	Stálé zatížení - Krytina+Podhled	Stálé/užitné	<input type="checkbox"/>				Stálé
ZS3	Užitné zatížení - střechy	Užitná zatížení - kategorie H: střechy nepřístupné s výjimkou běžné údržby a oprav	<input type="checkbox"/>				Krátkodobá
ZS4	Zatížení sněhem 1/1	Sníh (H ≤ 1000 m n.m.)	<input type="checkbox"/>				Krátkodobá
ZS5	Zatížení sněhem 1/2	Sníh (H ≤ 1000 m n.m.)	<input type="checkbox"/>				Krátkodobá
ZS7	Zatížení sněhem 2/1	Sníh (H ≤ 1000 m n.m.)	<input type="checkbox"/>				Krátkodobá
ZS8	Vítr - TLAK	Vítr	<input type="checkbox"/>				Krátkodobá
ZS9	Vítr - SÁNÍ	Vítr	<input type="checkbox"/>				Krátkodobá
ZS10	Vítr - SÁNÍ/TLAK	Vítr	<input type="checkbox"/>				Krátkodobá
ZS11	Vítr - TLAK/SÁNÍ	Vítr	<input type="checkbox"/>				Krátkodobá
ZS12	Užitné zatížení - Kleštiny	Užitná zatížení - kategorie A: obytné plochy a plochy pro domácí činnosti	<input type="checkbox"/>				Střednědobá

■ 2.1.1 ZATĚŽOVACÍ STAVY - PARAMETRY VÝPOČTU

Zatěž. stav	Označení zatěž. stavu	Parametry výpočtu
ZS1	Vlastní tíha	Způsob výpočtu : <input type="radio"/> Teorie I. řádu (geometricky lineární výpočet) Metoda pro řešení systému nelineárních algebraických rovnic : <input type="radio"/> Newton-Raphson Aktivovat součinitele tuhosti: <input checked="" type="checkbox"/> Průřezy (součinitel pro J, I _y , I _z , A, A _y , A _z) <input checked="" type="checkbox"/> Pruty (faktor pro G, E _I , E _I , EA, GA, GA ₂)
ZS2	Stálé zatížení - Krytina+Podhled	Způsob výpočtu : <input type="radio"/> Teorie I. řádu (geometricky lineární výpočet) Metoda pro řešení systému nelineárních algebraických rovnic : <input type="radio"/> Newton-Raphson Aktivovat součinitele tuhosti: <input checked="" type="checkbox"/> Průřezy (součinitel pro J, I _y , I _z , A, A _y , A _z) <input checked="" type="checkbox"/> Pruty (faktor pro G, E _I , E _I , EA, GA, GA ₂)
ZS3	Užitné zatížení - střechy	Způsob výpočtu : <input type="radio"/> Teorie I. řádu (geometricky lineární výpočet) Metoda pro řešení systému nelineárních algebraických rovnic : <input type="radio"/> Newton-Raphson Aktivovat součinitele tuhosti: <input checked="" type="checkbox"/> Průřezy (součinitel pro J, I _y , I _z , A, A _y , A _z) <input checked="" type="checkbox"/> Pruty (faktor pro G, E _I , E _I , EA, GA, GA ₂)
ZS4	Zatížení sněhem 1/1	Způsob výpočtu : <input type="radio"/> Teorie I. řádu (geometricky lineární výpočet) Metoda pro řešení systému nelineárních algebraických rovnic : <input type="radio"/> Newton-Raphson Aktivovat součinitele tuhosti: <input checked="" type="checkbox"/> Průřezy (součinitel pro J, I _y , I _z , A, A _y , A _z) <input checked="" type="checkbox"/> Pruty (faktor pro G, E _I , E _I , EA, GA, GA ₂)
ZS5	Zatížení sněhem 1/2	Způsob výpočtu : <input type="radio"/> Teorie I. řádu (geometricky lineární výpočet) Metoda pro řešení systému nelineárních algebraických rovnic : <input type="radio"/> Newton-Raphson Aktivovat součinitele tuhosti: <input checked="" type="checkbox"/> Průřezy (součinitel pro J, I _y , I _z , A, A _y , A _z) <input checked="" type="checkbox"/> Pruty (faktor pro G, E _I , E _I , EA, GA, GA ₂)
ZS7	Zatížení sněhem 2/1	Způsob výpočtu : <input type="radio"/> Teorie I. řádu (geometricky lineární výpočet) Metoda pro řešení systému nelineárních algebraických rovnic : <input type="radio"/> Newton-Raphson Aktivovat součinitele tuhosti: <input checked="" type="checkbox"/> Průřezy (součinitel pro J, I _y , I _z , A, A _y , A _z) <input checked="" type="checkbox"/> Pruty (faktor pro G, E _I , E _I , EA, GA, GA ₂)
ZS8	Vítr - TLAK	Způsob výpočtu : <input type="radio"/> Teorie I. řádu (geometricky lineární v



Projekt: Diplomová práce

Model: Diplomová Práce -KROV

Datum: 17.04.2021

Stropní nosník

Konstrukce Krovu

2.1.1 ZATĚŽOVACÍ STAVY - PARAMETRY VÝPOČTU

Zatěž. stav	Označení zatěž. stavu	Parametry výpočtu
		výpočet) Metoda pro řešení systému nelineárních algebraických rovnic : <input type="radio"/> Newton-Raphson Aktivovat součinitele tuhosti: : <input checked="" type="checkbox"/> Průřezy (součinitel pro J, I_y, I_z, A, A_y, A_z) : <input checked="" type="checkbox"/> Pruty (faktor pro $G, E, E_1, E_2, EA, GA, GA_2$)
ZS9	Vítr - SÁNÍ	Způsob výpočtu : <input type="radio"/> Teorie I. řádu (geometricky lineární výpočet) Metoda pro řešení systému nelineárních algebraických rovnic : <input type="radio"/> Newton-Raphson Aktivovat součinitele tuhosti: : <input checked="" type="checkbox"/> Průřezy (součinitel pro J, I_y, I_z, A, A_y, A_z) : <input checked="" type="checkbox"/> Pruty (faktor pro $G, E, E_1, E_2, EA, GA, GA_2$)
ZS10	Vítr - SÁNÍ/TLAK	Způsob výpočtu : <input type="radio"/> Teorie I. řádu (geometricky lineární výpočet) Metoda pro řešení systému nelineárních algebraických rovnic : <input type="radio"/> Newton-Raphson Aktivovat součinitele tuhosti: : <input checked="" type="checkbox"/> Průřezy (součinitel pro J, I_y, I_z, A, A_y, A_z) : <input checked="" type="checkbox"/> Pruty (faktor pro $G, E, E_1, E_2, EA, GA, GA_2$)
ZS11	Vítr - TLAK/SÁNÍ	Způsob výpočtu : <input type="radio"/> Teorie I. řádu (geometricky lineární výpočet) Metoda pro řešení systému nelineárních algebraických rovnic : <input type="radio"/> Newton-Raphson Aktivovat součinitele tuhosti: : <input checked="" type="checkbox"/> Průřezy (součinitel pro J, I_y, I_z, A, A_y, A_z) : <input checked="" type="checkbox"/> Pruty (faktor pro $G, E, E_1, E_2, EA, GA, GA_2$)
ZS12	Užitné zatížení - Kleštiny	Způsob výpočtu : <input type="radio"/> Teorie I. řádu (geometricky lineární výpočet) Metoda pro řešení systému nelineárních algebraických rovnic : <input type="radio"/> Newton-Raphson Aktivovat součinitele tuhosti: : <input checked="" type="checkbox"/> Průřezy (součinitel pro J, I_y, I_z, A, A_y, A_z) : <input checked="" type="checkbox"/> Pruty (faktor pro $G, E, E_1, E_2, EA, GA, GA_2$)

2.2 ÚČINKY

Účinek	Označení účinku	EN 1990 + 1995 ČSN Kategorie účinků	Působící	Působící zatěžovací stavy
Ú1	Stálé	Stálé		ZS1 Vlastní tíha
Ú2	Stálé/užitné	Stálé/užitné		ZS2 Stálé zatížení - Krytina+Podhled
Ú3	Užitná zatížení	Užitná zatížení - kategorie H: střechy nepřístupné s výjimkou běžné údržby a oprav		ZS3 Užitné zatížení - střechy
Ú4	Sníh	Sníh ($H \leq 1000$ m n.m.)	Alternativně	ZS4 Zatížení sněhem 1/1 ZS5 Zatížení sněhem 1/2 ZS7 Zatížení sněhem 2/1
Ú5	Vítr	Vítr	Alternativně	ZS8 Vítr - TLAK ZS9 Vítr - SÁNÍ ZS10 Vítr - SÁNÍ/TLAK ZS11 Vítr - TLAK/SÁNÍ
Ú6	Užitná zatížení	Užitná zatížení - kategorie A: obytné plochy a plochy pro domácí činnosti		ZS12 Užitné zatížení - Kleštiny

2.3 KOMBINAČNÍ PRAVIDLA

Kombin. pravidlo	Označení	EN 1990 + 1995 ČSN Návrhová situace	Nastavení
KP1	MSÚ	MSÚ (STR/GEO) - stálá / přechodná - rovn. 6.10	Číslování generovaných kombinací : První číslo generované: Možnosti : 1 - Kombinace zatížení 1 - Výsledné kombinace <input checked="" type="checkbox"/> Užitná a provozní zatížení uvažovat jako jeden nezávislý účinek Výsledné kombinace : <input checked="" type="checkbox"/> Dodatečně vytvořit kombinace výsledků Bud/Nebo (obálky výsledků) <input checked="" type="checkbox"/> Dodatečně vytvořit kombinaci výsledků Bud/Nebo pro každé kombinační pravidlo Generované kombinace zatížení : Analýza podle II. řádu (P-Delta) Způsob výpočtu : Analýza podle II. řádu (P-Delta) Způsob výpočtu :
KP2	MSP	MSP - charakteristická	Zohlednit : <input type="checkbox"/> Přiznivě stálé účinky Číslování generovaných kombinací : První číslo generované: Možnosti : 1 - Kombinace zatížení 1 - Výsledné kombinace <input checked="" type="checkbox"/> Užitná a provozní zatížení uvažovat jako jeden nezávislý účinek Výsledné kombinace : <input checked="" type="checkbox"/> Dodatečně vytvořit kombinace výsledků Bud/Nebo (obálky výsledků) <input checked="" type="checkbox"/> Dodatečně vytvořit kombinaci výsledků Bud/Nebo pro každé kombinační pravidlo Generované kombinace z



Projekt: Diplomová práce

Model: Diplomová Práce -KROV

Datum: 17.04.2021

Stropní nosník

Konstrukce Krovu

2.3 KOMBINAČNÍ PRAVIDLA

Kombin. pravidlo	Označení	EN 1990 + 1995 ČSN Návrhová situace	Nastavení
KP3	MSP	MSP - kvazistálá	zatížení Způsob výpočtu : Analýza podle II. řádu (P-Delta) Zohlednit : <input type="checkbox"/> Příznivé stálé účinky Číslování První číslo generované: generovaných kombinací Možnosti 1 - Kombinace zatížení 1 - Výsledné kombinace <input checked="" type="checkbox"/> Užité a provozní zatížení uvažovat jako jeden nezávislý účinek Výsledné kombinace <input checked="" type="checkbox"/> Dodatečně vytvořit kombinace výsledků Bud/Nebo (obálky výsledků) <input checked="" type="checkbox"/> Dodatečně vytvořit kombinaci výsledků Bud/Nebo pro každé kombinační pravidlo Generované kombinace zatížení Způsob výpočtu : Analýza podle II. řádu (P-Delta)

2.4 KOMBINACE ÚČINKŮ

Kombin. účinků	Kombinace účinků Označení	EN 1990 + 1995 ČSN Návrhová situace	č.	Součinitel	Účinek
KÚ1	1.35G	MSÚ (STR/GEO) - stálá / přechodná - rovn. 6.10	1	1.35	Ú1 Stálé
KÚ2	1.35G + 1.35Gq	MSÚ (STR/GEO) - stálá / přechodná - rovn. 6.10	1	1.35	Ú1 Stálé
KÚ3	1.35G + 1.50QiH	MSÚ (STR/GEO) - stálá / přechodná - rovn. 6.10	2	1.35	Ú2 Stálé/užité
			1	1.35	Ú1 Stálé
KÚ4	1.35G + 1.35Gq + 1.50QiH	MSÚ (STR/GEO) - stálá / přechodná - rovn. 6.10	2	1.50	Ú3 Užité zatížení
			1	1.35	Ú1 Stálé
KÚ5	1.35G + 1.35Gq + 1.50QiH + 0.90Qw	MSÚ (STR/GEO) - stálá / přechodná - rovn. 6.10	2	1.35	Ú2 Stálé/užité
			3	1.50	Ú3 Užité zatížení
			1	1.35	Ú1 Stálé
KÚ6	1.35G + 1.35Gq + 1.50QiH + 0.90Qw + 1.50QiA	MSÚ (STR/GEO) - stálá / přechodná - rovn. 6.10	2	1.35	Ú2 Stálé/užité
			3	1.50	Ú3 Užité zatížení
			4	0.90	Ú5 Vítr
			1	1.35	Ú1 Stálé
			2	1.35	Ú2 Stálé/užité
KÚ7	1.35G + 1.35Gq + 1.50QiH + 1.50QiA	MSÚ (STR/GEO) - stálá / přechodná - rovn. 6.10	3	1.50	Ú3 Užité zatížení
			4	1.50	Ú6 Užité zatížení
			1	1.35	Ú1 Stálé
			2	1.35	Ú2 Stálé/užité
			3	1.50	Ú3 Užité zatížení
KÚ8	1.35G + 1.50QiH + 0.90Qw	MSÚ (STR/GEO) - stálá / přechodná - rovn. 6.10	4	1.50	Ú6 Užité zatížení
			1	1.35	Ú1 Stálé
			2	1.50	Ú3 Užité zatížení
			3	0.90	Ú5 Vítr
KÚ9	1.35G + 1.50QiH + 0.90Qw + 1.50QiA	MSÚ (STR/GEO) - stálá / přechodná - rovn. 6.10	1	1.35	Ú1 Stálé
			2	1.50	Ú3 Užité zatížení
			3	0.90	Ú5 Vítr
			4	1.50	Ú6 Užité zatížení
KÚ10	1.35G + 1.50QiH + 1.50QiA	MSÚ (STR/GEO) - stálá / přechodná - rovn. 6.10	1	1.35	Ú1 Stálé
			2	1.50	Ú3 Užité zatížení
			3	1.50	Ú6 Užité zatížení
KÚ11	1.35G + 1.50Qs	MSÚ (STR/GEO) - stálá / přechodná - rovn. 6.10	1	1.35	Ú1 Stálé
			2	1.50	Ú4 Sníh
KÚ12	1.35G + 1.35Gq + 1.50Qs	MSÚ (STR/GEO) - stálá / přechodná - rovn. 6.10	1	1.35	Ú1 Stálé
			2	1.35	Ú2 Stálé/užité
KÚ13	1.35G + 1.35Gq + 1.50Qs + 0.90Qw	MSÚ (STR/GEO) - stálá / přechodná - rovn. 6.10	3	1.50	Ú4 Sníh
			1	1.35	Ú1 Stálé
			2	1.35	Ú2 Stálé/užité
			3	1.50	Ú4 Sníh
KÚ14	1.35G + 1.35Gq + 1.50Qs + 0.90Qw + 1.05QiA	MSÚ (STR/GEO) - stálá / přechodná - rovn. 6.10	4	0.90	Ú5 Vítr
			1	1.35	Ú1 Stálé
			2	1.35	Ú2 Stálé/užité
			3	1.50	Ú4 Sníh
			4	0.90	Ú5 Vítr
KÚ15	1.35G + 1.35Gq +	MSÚ (STR/GEO) - stálá / přechodná - r	5	1.05	Ú6 Užité zatížení
			1	1.35	Ú1 Stálé
			2	1.35	Ú2 Stálé/užité
			3	1.50	Ú4 Sníh
			4	0.90	Ú5 Vítr



Projekt: Diplomová práce

Model: Diplomová Práce -KROV

Datum: 17.04.2021

Stropní nosník

Konstrukce Krovu

2.4 KOMBINACE ÚČINKŮ

Kombin. účinků	Kombinace účinků Označení	EN 1990 + 1995 ČSN Návrhová situace	č.	Součinitel	Účinek	
					Účinek	Účinek
KÚ16	+ 1.50Qs + 1.05QiA 1.35G + 1.50Qs + 0.90Qw	rovn. 6.10 MSÚ (STR/GEO) - stálá / přechodná - rovn. 6.10	2	1.35	Ú2	Stálé/užitné
			3	1.50	Ú4	Sníh
			4	1.05	Ú6	Užitná zatížení
			1	1.35	Ú1	Stálé
KÚ17	1.35G + 1.50Qs + 0.90Qw + 1.05QiA	MSÚ (STR/GEO) - stálá / přechodná - rovn. 6.10	2	1.50	Ú4	Sníh
			3	0.90	Ú5	Vítr
			1	1.35	Ú1	Stálé
KÚ18	1.35G + 1.50Qs + 1.05QiA	MSÚ (STR/GEO) - stálá / přechodná - rovn. 6.10	2	1.50	Ú4	Sníh
			3	0.90	Ú5	Vítr
			4	1.05	Ú6	Užitná zatížení
			1	1.35	Ú1	Stálé
KÚ19	1.35G + 1.50Qw	MSÚ (STR/GEO) - stálá / přechodná - rovn. 6.10	2	1.50	Ú4	Sníh
			3	1.05	Ú6	Užitná zatížení
			1	1.35	Ú1	Stálé
KÚ20	1.35G + 1.35Gq + 1.50Qw	MSÚ (STR/GEO) - stálá / přechodná - rovn. 6.10	2	1.50	Ú5	Vítr
			1	1.35	Ú1	Stálé
KÚ21	1.35G + 1.35Gq + 0.00QiH + 1.50Qw	MSÚ (STR/GEO) - stálá / přechodná - rovn. 6.10	2	1.35	Ú2	Stálé/užitné
			3	1.50	Ú5	Vítr
			1	1.35	Ú1	Stálé
KÚ22	1.35G + 1.35Gq + 0.00QiH + 1.50Qw + 1.05QiA	MSÚ (STR/GEO) - stálá / přechodná - rovn. 6.10	2	1.35	Ú2	Stálé/užitné
			3	0.00	Ú3	Užitná zatížení
			4	1.50	Ú5	Vítr
			1	1.35	Ú1	Stálé
KÚ23	1.35G + 1.35Gq + 0.75Qs + 1.50Qw	MSÚ (STR/GEO) - stálá / přechodná - rovn. 6.10	2	1.35	Ú2	Stálé/užitné
			3	0.00	Ú3	Užitná zatížení
			4	1.50	Ú5	Vítr
			5	1.05	Ú6	Užitná zatížení
			1	1.35	Ú1	Stálé
KÚ24	1.35G + 1.35Gq + 0.75Qs + 1.50Qw + 1.05QiA	MSÚ (STR/GEO) - stálá / přechodná - rovn. 6.10	2	1.35	Ú2	Stálé/užitné
			3	0.75	Ú4	Sníh
			4	1.50	Ú5	Vítr
			1	1.35	Ú1	Stálé
KÚ25	1.35G + 1.35Gq + 1.50Qw + 1.05QiA	MSÚ (STR/GEO) - stálá / přechodná - rovn. 6.10	2	1.35	Ú2	Stálé/užitné
			3	0.75	Ú4	Sníh
			4	1.50	Ú5	Vítr
			5	1.05	Ú6	Užitná zatížení
			1	1.35	Ú1	Stálé
KÚ26	1.35G + 0.00QiH + 1.50Qw	MSÚ (STR/GEO) - stálá / přechodná - rovn. 6.10	2	1.35	Ú2	Stálé/užitné
			3	1.50	Ú5	Vítr
			4	1.05	Ú6	Užitná zatížení
			1	1.35	Ú1	Stálé
KÚ27	1.35G + 0.00QiH + 1.50Qw + 1.05QiA	MSÚ (STR/GEO) - stálá / přechodná - rovn. 6.10	2	0.00	Ú3	Užitná zatížení
			3	1.50	Ú5	Vítr
			1	1.35	Ú1	Stálé
KÚ28	1.35G + 0.75Qs + 1.50Qw	MSÚ (STR/GEO) - stálá / přechodná - rovn. 6.10	2	0.00	Ú3	Užitná zatížení
			3	1.50	Ú5	Vítr
			4	1.05	Ú6	Užitná zatížení
			1	1.35	Ú1	Stálé
KÚ29	1.35G + 0.75Qs + 1.50Qw + 1.05QiA	MSÚ (STR/GEO) - stálá / přechodná - rovn. 6.10	2	0.75	Ú4	Sníh
			3	1.50	Ú5	Vítr
			1	1.35	Ú1	Stálé
KÚ30	1.35G + 1.50Qw + 1.05QiA	MSÚ (STR/GEO) - stálá / přechodná - rovn. 6.10	2	0.75	Ú4	Sníh
			3	1.50	Ú5	Vítr
			4	1.05	Ú6	Užitná zatížení
			1	1.35	Ú1	Stálé
KÚ31	1.35G + 1.50QiA	MSÚ (STR/GEO) - stálá / přechodná - rovn. 6.10	2	1.50	Ú5	Vítr
			3	1.05	Ú6	Užitná zatížení
			1	1.35	Ú1	Stálé
KÚ32	1.35G + 1.35Gq + 1.50QiA	MSÚ (STR/GEO) - stálá / přechodná - rovn. 6.10	2	1.50	Ú6	Užitná zatížení
			1	1.35	Ú1	Stálé
KÚ33	1.35G + 1.35Gq + 0.75Qs + 1.50QiA	MSÚ (STR/GEO) - stálá / přechodná - rovn. 6.10	2	1.35	Ú2	Stálé/užitné
			3	1.50	Ú6	Užitná zatížení
			1	1.35	Ú1	Stálé



Projekt: Diplomová práce

Model: Diplomová Práce -KROV

Datum: 17.04.2021

Stropní nosník

Konstrukce Krovu

2.4 KOMBINACE ÚČINKŮ

Kombin. účinků	Kombinace účinků Označení	EN 1990 + 1995 ČSN Návrhová situace	č.	Součinitel	Účinek	
					Ú	Účinek
KÚ34	1.35G + 1.35Gq + 0.75Qs + 0.90Qw + 1.50QiA	MSÚ (STR/GEO) - stálá / přechodná - rovn. 6.10	2	1.35	Ú2	Stálé/užitné
			3	0.75	Ú4	Sníh
			4	1.50	Ú6	Užitná zatížení
			1	1.35	Ú1	Stálé
KÚ35	1.35G + 1.35Gq + 0.90Qw + 1.50QiA	MSÚ (STR/GEO) - stálá / přechodná - rovn. 6.10	2	1.35	Ú2	Stálé/užitné
			3	0.75	Ú4	Sníh
			4	0.90	Ú5	Vítr
			5	1.50	Ú6	Užitná zatížení
			1	1.35	Ú1	Stálé
KÚ36	1.35G + 0.75Qs + 1.50QiA	MSÚ (STR/GEO) - stálá / přechodná - rovn. 6.10	2	1.35	Ú2	Stálé/užitné
			3	0.90	Ú5	Vítr
			4	1.50	Ú6	Užitná zatížení
			1	1.35	Ú1	Stálé
KÚ37	1.35G + 0.75Qs + 0.90Qw + 1.50QiA	MSÚ (STR/GEO) - stálá / přechodná - rovn. 6.10	2	0.75	Ú4	Sníh
			3	1.50	Ú6	Užitná zatížení
			1	1.35	Ú1	Stálé
KÚ38	1.35G + 0.90Qw + 1.50QiA	MSÚ (STR/GEO) - stálá / přechodná - rovn. 6.10	2	0.75	Ú4	Sníh
			3	0.90	Ú5	Vítr
			4	1.50	Ú6	Užitná zatížení
			1	1.35	Ú1	Stálé
KÚ39	1.00G	MSP - charakteristická	2	0.90	Ú5	Vítr
			3	1.50	Ú6	Užitná zatížení
			1	1.00	Ú1	Stálé
KÚ40	1.00G + 1.00Gq	MSP - charakteristická	1	1.00	Ú1	Stálé
			2	1.00	Ú2	Stálé/užitné
KÚ41	1.00G + 1.00QiH	MSP - charakteristická	1	1.00	Ú1	Stálé
			2	1.00	Ú3	Užitná zatížení
KÚ42	1.00G + 1.00Gq + 1.00QiH	MSP - charakteristická	1	1.00	Ú1	Stálé
			2	1.00	Ú2	Stálé/užitné
KÚ43	1.00G + 1.00Gq + 1.00QiH + 0.60Qw	MSP - charakteristická	3	1.00	Ú3	Užitná zatížení
			1	1.00	Ú1	Stálé
			2	1.00	Ú2	Stálé/užitné
KÚ44	1.00G + 1.00Gq + 1.00QiH + 0.60Qw + 1.00QiA	MSP - charakteristická	3	1.00	Ú3	Užitná zatížení
			4	0.60	Ú5	Vítr
			1	1.00	Ú1	Stálé
			2	1.00	Ú2	Stálé/užitné
			3	1.00	Ú3	Užitná zatížení
KÚ45	1.00G + 1.00Gq + 1.00QiH + 1.00QiA	MSP - charakteristická	4	0.60	Ú5	Vítr
			5	1.00	Ú6	Užitná zatížení
			1	1.00	Ú1	Stálé
			2	1.00	Ú2	Stálé/užitné
			3	1.00	Ú3	Užitná zatížení
KÚ46	1.00G + 1.00QiH + 0.60Qw	MSP - charakteristická	4	1.00	Ú6	Užitná zatížení
			1	1.00	Ú1	Stálé
			2	1.00	Ú2	Stálé/užitné
			3	0.60	Ú5	Vítr
KÚ47	1.00G + 1.00QiH + 0.60Qw + 1.00QiA	MSP - charakteristická	1	1.00	Ú1	Stálé
			2	1.00	Ú3	Užitná zatížení
KÚ48	1.00G + 1.00QiH + 1.00QiA	MSP - charakteristická	3	0.60	Ú5	Vítr
			4	1.00	Ú6	Užitná zatížení
			1	1.00	Ú1	Stálé
			2	1.00	Ú3	Užitná zatížení
KÚ49	1.00G + 1.00Qs	MSP - charakteristická	3	1.00	Ú6	Užitná zatížení
			1	1.00	Ú1	Stálé
			2	1.00	Ú4	Sníh
KÚ50	1.00G + 1.00Gq + 1.00Qs	MSP - charakteristická	1	1.00	Ú1	Stálé
			2	1.00	Ú2	Stálé/užitné
KÚ51	1.00G + 1.00Gq + 1.00Qs + 0.60Qw	MSP - charakteristická	3	1.00	Ú4	Sníh
			1	1.00	Ú1	Stálé
			2	1.00	Ú2	Stálé/užitné
KÚ52	1.00G + 1.00Gq + 1.00Qs + 0.60Qw + 0.70QiA	MSP - charakteristická	3	1.00	Ú4	Sníh
			4	0.60	Ú5	Vítr
			1	1.00	Ú1	Stálé
			2	1.00	Ú2	Stálé/užitné
			3	1.00	Ú4	Sníh
			4	0.60	Ú5	Vítr
			5	0.70	Ú6	Užitná zatížení
			2	1.00	Ú2	Stálé/užitné
			3	1.00	Ú4	Sníh
			4	0.60	Ú5	Vítr



Projekt: Diplomová práce

Model: Diplomová Práce -KROV

Datum: 17.04.2021

Stropní nosník

Konstrukce Krovu

2.4 KOMBINACE ÚČINKŮ

Kombin. účinků	Kombinace účinků Označení	EN 1990 + 1995 ČSN Návrhová situace	č.	Součinitel	Účinek	
					Ú1	Stálé
KÚ53	1.00G + 1.00Gq + 1.00Qs + 0.70QiA	MSP - charakteristická	1	1.00	Ú1	Stálé
			2	1.00	Ú2	Stálé/užitné
			3	1.00	Ú4	Sníh
			4	0.70	Ú6	Užitná zatížení
KÚ54	1.00G + 1.00Qs + 0.60Qw	MSP - charakteristická	1	1.00	Ú1	Stálé
			2	1.00	Ú4	Sníh
			3	0.60	Ú5	Vítr
KÚ55	1.00G + 1.00Qs + 0.60Qw + 0.70QiA	MSP - charakteristická	1	1.00	Ú1	Stálé
			2	1.00	Ú4	Sníh
			3	0.60	Ú5	Vítr
			4	0.70	Ú6	Užitná zatížení
KÚ56	1.00G + 1.00Qs + 0.70QiA	MSP - charakteristická	1	1.00	Ú1	Stálé
			2	1.00	Ú4	Sníh
			3	0.70	Ú6	Užitná zatížení
KÚ57	1.00G + 1.00Qw	MSP - charakteristická	1	1.00	Ú1	Stálé
			2	1.00	Ú5	Vítr
KÚ58	1.00G + 1.00Gq + 1.00Qw	MSP - charakteristická	1	1.00	Ú1	Stálé
			2	1.00	Ú2	Stálé/užitné
			3	1.00	Ú5	Vítr
KÚ59	1.00G + 1.00Gq + 0.00QiH + 1.00Qw	MSP - charakteristická	1	1.00	Ú1	Stálé
			2	1.00	Ú2	Stálé/užitné
			3	0.00	Ú3	Užitná zatížení
			4	1.00	Ú5	Vítr
KÚ60	1.00G + 1.00Gq + 0.00QiH + 1.00Qw + 0.70QiA	MSP - charakteristická	1	1.00	Ú1	Stálé
			2	1.00	Ú2	Stálé/užitné
			3	0.00	Ú3	Užitná zatížení
			4	1.00	Ú5	Vítr
			5	0.70	Ú6	Užitná zatížení
KÚ61	1.00G + 1.00Gq + 0.50Qs + 1.00Qw	MSP - charakteristická	1	1.00	Ú1	Stálé
			2	1.00	Ú2	Stálé/užitné
			3	0.50	Ú4	Sníh
			4	1.00	Ú5	Vítr
KÚ62	1.00G + 1.00Gq + 0.50Qs + 1.00Qw + 0.70QiA	MSP - charakteristická	1	1.00	Ú1	Stálé
			2	1.00	Ú2	Stálé/užitné
			3	0.50	Ú4	Sníh
			4	1.00	Ú5	Vítr
			5	0.70	Ú6	Užitná zatížení
KÚ63	1.00G + 1.00Gq + 1.00Qw + 0.70QiA	MSP - charakteristická	1	1.00	Ú1	Stálé
			2	1.00	Ú2	Stálé/užitné
			3	1.00	Ú5	Vítr
			4	0.70	Ú6	Užitná zatížení
KÚ64	1.00G + 0.00QiH + 1.00Qw	MSP - charakteristická	1	1.00	Ú1	Stálé
			2	0.00	Ú3	Užitná zatížení
			3	1.00	Ú5	Vítr
KÚ65	1.00G + 0.00QiH + 1.00Qw + 0.70QiA	MSP - charakteristická	1	1.00	Ú1	Stálé
			2	0.00	Ú3	Užitná zatížení
			3	1.00	Ú5	Vítr
			4	0.70	Ú6	Užitná zatížení
KÚ66	1.00G + 0.50Qs + 1.00Qw	MSP - charakteristická	1	1.00	Ú1	Stálé
			2	0.50	Ú4	Sníh
			3	1.00	Ú5	Vítr
KÚ67	1.00G + 0.50Qs + 1.00Qw + 0.70QiA	MSP - charakteristická	1	1.00	Ú1	Stálé
			2	0.50	Ú4	Sníh
			3	1.00	Ú5	Vítr
			4	0.70	Ú6	Užitná zatížení
KÚ68	1.00G + 1.00Qw + 0.70QiA	MSP - charakteristická	1	1.00	Ú1	Stálé
			2	1.00	Ú5	Vítr
			3	0.70	Ú6	Užitná zatížení
KÚ69	1.00G + 1.00QiA	MSP - charakteristická	1	1.00	Ú1	Stálé
			2	1.00	Ú6	Užitná zatížení
KÚ70	1.00G + 1.00Gq + 1.00QiA	MSP - charakteristická	1	1.00	Ú1	Stálé
			2	1.00	Ú2	Stálé/užitné
			3	1.00	Ú6	Užitná zatížení
KÚ71	1.00G + 1.00Gq + 0.50Qs + 1.00QiA	MSP - charakteristická	1	1.00	Ú1	Stálé
			2	1.00	Ú2	Stálé/užitné



Projekt: Diplomová práce

Model: Diplomová Práce -KROV

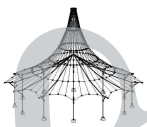
Datum: 17.04.2021

Stropní nosník

Konstrukce Krovu

2.4 KOMBINACE ÚČINKŮ

Kombin. účinků	Kombinace účinků Označení	EN 1990 + 1995 ČSN Návrhová situace	č.	Součinitel	Účinek	
					Ú4	Snih
KÚ72	1.00G + 1.00Gq + 0.50Qs + 0.60Qw + 1.00QiA	MSP - charakteristická	3	0.50	Ú4	Snih
			4	1.00	Ú6	Užitná zatížení
			1	1.00	Ú1	Stálé
KÚ73	1.00G + 1.00Gq + 0.60Qw + 1.00QiA	MSP - charakteristická	2	1.00	Ú2	Stálé/užitné
			3	0.50	Ú4	Snih
			4	0.60	Ú5	Vítr
			5	1.00	Ú6	Užitná zatížení
			1	1.00	Ú1	Stálé
KÚ74	1.00G + 0.50Qs + 1.00QiA	MSP - charakteristická	2	1.00	Ú2	Stálé/užitné
			3	0.60	Ú5	Vítr
			4	1.00	Ú6	Užitná zatížení
KÚ75	1.00G + 0.50Qs + 0.60Qw + 1.00QiA	MSP - charakteristická	1	1.00	Ú1	Stálé
			2	0.50	Ú4	Snih
KÚ76	1.00G + 0.60Qw + 1.00QiA	MSP - charakteristická	3	1.00	Ú6	Užitná zatížení
			1	1.00	Ú1	Stálé
			2	0.60	Ú5	Vítr
			3	1.00	Ú6	Užitná zatížení
KÚ77	1.80G	MSP - kvazistálá	1	1.80	Ú1	Stálé
			2	1.80	Ú2	Stálé/užitné
KÚ78	1.80G + 1.80Gq	MSP - kvazistálá	1	1.80	Ú1	Stálé
			2	1.80	Ú2	Stálé/užitné
KÚ79	1.80G + 1.00QiH	MSP - kvazistálá	1	1.80	Ú1	Stálé
			2	1.00	Ú3	Užitná zatížení
KÚ80	1.80G + 1.80Gq + 1.00QiH	MSP - kvazistálá	1	1.80	Ú1	Stálé
			2	1.80	Ú2	Stálé/užitné
KÚ81	1.80G + 1.80Gq + 1.00QiH + 0.60Qw	MSP - kvazistálá	3	1.00	Ú3	Užitná zatížení
			1	1.80	Ú1	Stálé
			2	1.80	Ú2	Stálé/užitné
			3	1.00	Ú3	Užitná zatížení
KÚ82	1.80G + 1.80Gq + 1.00QiH + 0.60Qw + 1.24QiA	MSP - kvazistálá	4	0.60	Ú5	Vítr
			1	1.80	Ú1	Stálé
			2	1.80	Ú2	Stálé/užitné
			3	1.00	Ú3	Užitná zatížení
			4	0.60	Ú5	Vítr
KÚ83	1.80G + 1.80Gq + 1.00QiH + 1.24QiA	MSP - kvazistálá	5	1.24	Ú6	Užitná zatížení
			1	1.80	Ú1	Stálé
			2	1.80	Ú2	Stálé/užitné
			3	1.00	Ú3	Užitná zatížení
			4	1.24	Ú6	Užitná zatížení
KÚ84	1.80G + 1.00QiH + 0.60Qw	MSP - kvazistálá	1	1.80	Ú1	Stálé
			2	1.00	Ú3	Užitná zatížení
			3	0.60	Ú5	Vítr
			1	1.80	Ú1	Stálé
KÚ85	1.80G + 1.00QiH + 0.60Qw + 1.24QiA	MSP - kvazistálá	3	0.60	Ú5	Vítr
			1	1.80	Ú1	Stálé
			2	1.00	Ú3	Užitná zatížení
KÚ86	1.80G + 1.00QiH + 1.24QiA	MSP - kvazistálá	3	0.60	Ú5	Vítr
			4	1.24	Ú6	Užitná zatížení
			1	1.80	Ú1	Stálé
			2	1.00	Ú3	Užitná zatížení
KÚ87	1.80G + 1.00Qs	MSP - kvazistálá	3	1.24	Ú6	Užitná zatížení
			1	1.80	Ú1	Stálé
KÚ88	1.80G + 1.80Gq + 1.00Qs	MSP - kvazistálá	2	1.00	Ú4	Snih
			1	1.80	Ú1	Stálé
KÚ89	1.80G + 1.80Gq + 1.00Qs + 0.60Qw	MSP - kvazistálá	2	1.80	Ú2	Stálé/užitné
			3	1.00	Ú4	Snih
			1	1.80	Ú1	Stálé
KÚ90	1.80G + 1.80Gq + 1.00Qs + 0.60Qw + 0.94QiA	MSP - kvazistálá	2	1.80	Ú2	Stálé/užitné
			3	1.00	Ú4	Snih
			4	0.60	Ú5	Vítr
			5	0.94	Ú6	Užitná zatížení
			1	1.80	Ú1	Stálé
KÚ91	1.80G + 1.80Gq +	MSP - kvazistálá	2	1.80	Ú2	Stálé/užitné
			3	1.00	Ú4	Snih
			4	0.60	Ú5	Vítr
			5	0.94	Ú6	Užitná zatížení
			1	1.80	Ú1	Stálé



Projekt: Diplomová práce

Model: Diplomová Práce -KROV

Datum: 17.04.2021

Stropní nosník

Konstrukce Krovu

2.4 KOMBINACE ÚČINKŮ

Kombin. účinků	Kombinace účinků Označení	EN 1990 + 1995 ČSN Návrhová situace	č.	Součinitel	Účinek	
					Účinek	Účinek
KÚ92	+ 1.00Qs + 0.94QiA 1.80G + 1.00Qs + 0.60Qw	MSP - kvazistálá	2	1.80	Ú2	Stálé/užitné
			3	1.00	Ú4	Sníh
			4	0.94	Ú6	Užitná zatížení
1	1.80	Ú1	Stálé			
KÚ93	1.80G + 1.00Qs + 0.60Qw + 0.94QiA	MSP - kvazistálá	2	1.00	Ú4	Sníh
			3	0.60	Ú5	Vítr
			1	1.80	Ú1	Stálé
KÚ94	1.80G + 1.00Qs + 0.94QiA	MSP - kvazistálá	2	1.00	Ú4	Sníh
			3	0.60	Ú5	Vítr
			4	0.94	Ú6	Užitná zatížení
			1	1.80	Ú1	Stálé
KÚ95	1.80G + 1.00Qw	MSP - kvazistálá	2	1.00	Ú4	Sníh
			3	0.94	Ú6	Užitná zatížení
			1	1.80	Ú1	Stálé
KÚ96	1.80G + 1.80Gq + 1.00Qw	MSP - kvazistálá	2	1.00	Ú5	Vítr
			1	1.80	Ú1	Stálé
KÚ97	1.80G + 1.80Gq + 0.00QiH + 1.00Qw	MSP - kvazistálá	2	1.80	Ú2	Stálé/užitné
			3	1.00	Ú5	Vítr
			1	1.80	Ú1	Stálé
KÚ98	1.80G + 1.80Gq + 0.00QiH + 1.00Qw + 0.94QiA	MSP - kvazistálá	2	1.80	Ú2	Stálé/užitné
			3	0.00	Ú3	Užitná zatížení
			4	1.00	Ú5	Vítr
			1	1.80	Ú1	Stálé
KÚ99	1.80G + 1.80Gq + 0.50Qs + 1.00Qw	MSP - kvazistálá	2	1.80	Ú2	Stálé/užitné
			3	0.00	Ú3	Užitná zatížení
			4	1.00	Ú5	Vítr
			5	0.94	Ú6	Užitná zatížení
			1	1.80	Ú1	Stálé
KÚ100	1.80G + 1.80Gq + 0.50Qs + 1.00Qw + 0.94QiA	MSP - kvazistálá	2	1.80	Ú2	Stálé/užitné
			3	0.50	Ú4	Sníh
			4	1.00	Ú5	Vítr
			1	1.80	Ú1	Stálé
KÚ101	1.80G + 1.80Gq + 1.00Qw + 0.94QiA	MSP - kvazistálá	2	1.80	Ú2	Stálé/užitné
			3	0.50	Ú4	Sníh
			4	1.00	Ú5	Vítr
			5	0.94	Ú6	Užitná zatížení
			1	1.80	Ú1	Stálé
KÚ102	1.80G + 0.00QiH + 1.00Qw	MSP - kvazistálá	2	1.80	Ú2	Stálé/užitné
			3	1.00	Ú5	Vítr
			4	0.94	Ú6	Užitná zatížení
			1	1.80	Ú1	Stálé
KÚ103	1.80G + 0.00QiH + 1.00Qw + 0.94QiA	MSP - kvazistálá	2	0.00	Ú3	Užitná zatížení
			3	1.00	Ú5	Vítr
			1	1.80	Ú1	Stálé
KÚ104	1.80G + 0.50Qs + 1.00Qw	MSP - kvazistálá	2	0.00	Ú3	Užitná zatížení
			3	1.00	Ú5	Vítr
			4	0.94	Ú6	Užitná zatížení
			1	1.80	Ú1	Stálé
KÚ105	1.80G + 0.50Qs + 1.00Qw + 0.94QiA	MSP - kvazistálá	2	0.50	Ú4	Sníh
			3	1.00	Ú5	Vítr
			1	1.80	Ú1	Stálé
KÚ106	1.80G + 1.00Qw + 0.94QiA	MSP - kvazistálá	2	0.50	Ú4	Sníh
			3	1.00	Ú5	Vítr
			4	0.94	Ú6	Užitná zatížení
			1	1.80	Ú1	Stálé
KÚ107	1.80G + 1.24QiA	MSP - kvazistálá	2	1.00	Ú5	Vítr
			3	0.94	Ú6	Užitná zatížení
			1	1.80	Ú1	Stálé
KÚ108	1.80G + 1.80Gq + 1.24QiA	MSP - kvazistálá	2	1.24	Ú6	Užitná zatížení
			1	1.80	Ú1	Stálé
KÚ109	1.80G + 1.80Gq + 0.50Qs + 1.24QiA	MSP - kvazistálá	2	1.80	Ú2	Stálé/užitné
			3	1.24	Ú6	Užitná zatížení
			1	1.80	Ú1	Stálé
			2	1.80	Ú2	Stálé/užitné
			3	0.50	Ú4	Sníh



Projekt: Diplomová práce

Model: Diplomová Práce -KROV

Datum: 17.04.2021

Stropní nosník

Konstrukce Krovu

2.4 KOMBINACE ÚČINKŮ

Kombin. účinků	Kombinace účinků Označení	EN 1990 + 1995 ČSN Návrhová situace	č.	Součinitel	Účinek	
					Ú6	Úžitná zatížení
KÚ110	1.80G + 1.80Gq + 0.50Qs + 0.60Qw + 1.24QiA	MSP - kvazistálá	1	1.24	Ú6	Úžitná zatížení
			1	1.80	Ú1	Stálé
			2	1.80	Ú2	Stálé/úžitné
			3	0.50	Ú4	Sníh
			4	0.60	Ú5	Vítr
KÚ111	1.80G + 1.80Gq + 0.60Qw + 1.24QiA	MSP - kvazistálá	1	1.24	Ú6	Úžitná zatížení
			1	1.80	Ú1	Stálé
			2	1.80	Ú2	Stálé/úžitné
			3	0.60	Ú5	Vítr
			4	1.24	Ú6	Úžitná zatížení
KÚ112	1.80G + 0.50Qs + 1.24QiA	MSP - kvazistálá	1	1.80	Ú1	Stálé
			2	0.50	Ú4	Sníh
			3	1.24	Ú6	Úžitná zatížení
KÚ113	1.80G + 0.50Qs + 0.60Qw + 1.24QiA	MSP - kvazistálá	1	1.80	Ú1	Stálé
			2	0.50	Ú4	Sníh
			3	1.24	Ú6	Úžitná zatížení
KÚ114	1.80G + 0.60Qw + 1.24QiA	MSP - kvazistálá	1	1.80	Ú1	Stálé
			2	0.60	Ú5	Vítr
			3	1.24	Ú6	Úžitná zatížení

2.5 KOMBINACE ZATÍŽENÍ

Kombin. zatížení	NS	Kombinace zatížení Označení	č.	Součinitel	Zatěžovací stav	
					ZS	Vlastní tíha
KZ1	STR	1.35*ZS1	1	1.35	ZS1	Vlastní tíha
			1	1.35	ZS1	Vlastní tíha
KZ2	STR	1.35*ZS1 + 1.35*ZS2	1	1.35	ZS1	Vlastní tíha
			2	1.35	ZS2	Stálé zatížení - Krytina+Podhled
KZ3	STR	1.35*ZS1 + 1.5*ZS3	1	1.35	ZS1	Vlastní tíha
			2	1.50	ZS3	Úžitné zatížení - střechy
KZ4	STR	1.35*ZS1 + 1.35*ZS2 + 1.5*ZS3	1	1.35	ZS1	Vlastní tíha
			2	1.35	ZS2	Stálé zatížení - Krytina+Podhled
			3	1.50	ZS3	Úžitné zatížení - střechy
KZ5	STR	1.35*ZS1 + 1.35*ZS2 + 1.5*ZS3 + 0.9*ZS8	1	1.35	ZS1	Vlastní tíha
			2	1.35	ZS2	Stálé zatížení - Krytina+Podhled
			3	1.50	ZS3	Úžitné zatížení - střechy
			4	0.90	ZS8	Vítr - TLAK
KZ6	STR	1.35*ZS1 + 1.35*ZS2 + 1.5*ZS3 + 0.9*ZS9	1	1.35	ZS1	Vlastní tíha
			2	1.35	ZS2	Stálé zatížení - Krytina+Podhled
			3	1.50	ZS3	Úžitné zatížení - střechy
			4	0.90	ZS9	Vítr - SÁNÍ
KZ7	STR	1.35*ZS1 + 1.35*ZS2 + 1.5*ZS3 + 0.9*ZS10	1	1.35	ZS1	Vlastní tíha
			2	1.35	ZS2	Stálé zatížení - Krytina+Podhled
			3	1.50	ZS3	Úžitné zatížení - střechy
			4	0.90	ZS10	Vítr - SÁNÍ/TLAK
KZ8	STR	1.35*ZS1 + 1.35*ZS2 + 1.5*ZS3 + 0.9*ZS11	1	1.35	ZS1	Vlastní tíha
			2	1.35	ZS2	Stálé zatížení - Krytina+Podhled
			3	1.50	ZS3	Úžitné zatížení - střechy
			4	0.90	ZS11	Vítr - TLAK/SÁNÍ
KZ9	STR	1.35*ZS1 + 1.35*ZS2 + 1.5*ZS3 + 0.9*ZS8 + 1.5*ZS12	1	1.35	ZS1	Vlastní tíha
			2	1.35	ZS2	Stálé zatížení - Krytina+Podhled
			3	1.50	ZS3	Úžitné zatížení - střechy
			4	0.90	ZS8	Vítr - TLAK
			5	1.50	ZS12	Úžitné zatížení - Kleštiny
KZ10	STR	1.35*ZS1 + 1.35*ZS2 + 1.5*ZS3 + 0.9*ZS9 + 1.5*ZS12	1	1.35	ZS1	Vlastní tíha
			2	1.35	ZS2	Stálé zatížení - Krytina+Podhled
			3	1.50	ZS3	Úžitné zatížení - střechy
			4	0.90	ZS9	Vítr - SÁNÍ
			5	1.50	ZS12	Úžitné zatížení - Kleštiny
KZ11	STR	1.35*ZS1 + 1.35*ZS2 + 1.5*ZS3 + 0.9*ZS10 + 1.5*ZS12	1	1.35	ZS1	Vlastní tíha
			2	1.35	ZS2	Stálé zatížení - Krytina+Podhled
			3	1.50	ZS3	Úžitné zatížení - střechy
			4	0.90	ZS10	Vítr - SÁNÍ/TLAK
			5	1.50	ZS12	Úžitné zatížení - Kleštiny
KZ12	STR	1.35*ZS1 + 1.35*ZS2 + 1.5*ZS3 + 0.9*ZS11 + 1.5*ZS12	1	1.35	ZS1	Vlastní tíha
			2	1.35	ZS2	Stálé zatížení - Krytina+Podhled
			3	1.50	ZS3	Úžitné zatížení - střechy
			4	0.90	ZS11	Vítr - TLAK/SÁNÍ
			5	1.50	ZS12	Úžitné zatížení - Kleštiny
KZ13	STR	1.35*ZS1 + 1.35*ZS2 + 1.5*ZS3 + 1.5*ZS12	1	1.35	ZS1	Vlastní tíha
			2	1.35	ZS2	Stálé zatížení - Krytina+Podhled
			3	1.50	ZS3	Úžitné zatížení - střechy
			4	1.50	ZS12	Úžitné zatížení - Kleštiny
			5	1.50	ZS12	Úžitné zatížení - Kleštiny
KZ14	STR	1.35*ZS1 + 1.5*ZS3 + 0.9*ZS8	1	1.35	ZS1	Vlastní tíha
			2	1.50	ZS3	Úžitné zatížení - střechy
			3	0.90	ZS8	Vítr - TLAK
			3	0.90	ZS8	Vítr - TLAK
KZ15	STR	1.35*ZS1 + 1.5*ZS3 + 0.9*ZS9	1	1.35	ZS1	Vlastní tíha
			2	1.50	ZS3	Úžitné zatížení - střechy
			3	0.90	ZS9	Vítr - SÁNÍ



Projekt: Diplomová práce

Model: Diplomová Práce -KROV

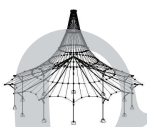
Datum: 17.04.2021

Stropní nosník

Konstrukce Krovu

2.5 KOMBINACE ZATÍŽENÍ

Kombin. zatížení	NS	Kombinace zatížení Označení	č.	Součinitel	Zatěžovací stav	
					ZS	Vlastní tíha
KZ16	STR	1.35*ZS1 + 1.5*ZS3 + 0.9*ZS10	1	1.35	ZS1	Vlastní tíha
			2	1.50	ZS3	Užitné zatížení - střechy
			3	0.90	ZS10	Vítr - SÁNÍ/TLAK
KZ17	STR	1.35*ZS1 + 1.5*ZS3 + 0.9*ZS11	1	1.35	ZS1	Vlastní tíha
			2	1.50	ZS3	Užitné zatížení - střechy
			3	0.90	ZS11	Vítr - TLAK/SÁNÍ
KZ18	STR	1.35*ZS1 + 1.5*ZS3 + 0.9*ZS8 + 1.5*ZS12	1	1.35	ZS1	Vlastní tíha
			2	1.50	ZS3	Užitné zatížení - střechy
			3	0.90	ZS8	Vítr - TLAK
			4	1.50	ZS12	Užitné zatížení - Kleštiny
KZ19	STR	1.35*ZS1 + 1.5*ZS3 + 0.9*ZS9 + 1.5*ZS12	1	1.35	ZS1	Vlastní tíha
			2	1.50	ZS3	Užitné zatížení - střechy
			3	0.90	ZS9	Vítr - SÁNÍ
			4	1.50	ZS12	Užitné zatížení - Kleštiny
KZ20	STR	1.35*ZS1 + 1.5*ZS3 + 0.9*ZS10 + 1.5*ZS12	1	1.35	ZS1	Vlastní tíha
			2	1.50	ZS3	Užitné zatížení - střechy
			3	0.90	ZS10	Vítr - SÁNÍ/TLAK
			4	1.50	ZS12	Užitné zatížení - Kleštiny
KZ21	STR	1.35*ZS1 + 1.5*ZS3 + 0.9*ZS11 + 1.5*ZS12	1	1.35	ZS1	Vlastní tíha
			2	1.50	ZS3	Užitné zatížení - střechy
			3	0.90	ZS11	Vítr - TLAK/SÁNÍ
			4	1.50	ZS12	Užitné zatížení - Kleštiny
KZ22	STR	1.35*ZS1 + 1.5*ZS3 + 1.5*ZS12	1	1.35	ZS1	Vlastní tíha
			2	1.50	ZS3	Užitné zatížení - střechy
			3	1.50	ZS12	Užitné zatížení - Kleštiny
KZ23	STR	1.35*ZS1 + 1.5*ZS4	1	1.35	ZS1	Vlastní tíha
KZ24	STR	1.35*ZS1 + 1.5*ZS5	1	1.35	ZS1	Vlastní tíha
KZ25	STR	1.35*ZS1 + 1.5*ZS7	1	1.35	ZS1	Vlastní tíha
			2	1.50	ZS5	Zatížení sněhem 1/2
KZ26	STR	1.35*ZS1 + 1.35*ZS2 + 1.5*ZS4	1	1.35	ZS1	Vlastní tíha
			2	1.35	ZS2	Stálé zatížení - Krytina+Podhled
			3	1.50	ZS4	Zatížení sněhem 1/1
KZ27	STR	1.35*ZS1 + 1.35*ZS2 + 1.5*ZS5	1	1.35	ZS1	Vlastní tíha
			2	1.35	ZS2	Stálé zatížení - Krytina+Podhled
			3	1.50	ZS5	Zatížení sněhem 1/2
KZ28	STR	1.35*ZS1 + 1.35*ZS2 + 1.5*ZS7	1	1.35	ZS1	Vlastní tíha
			2	1.35	ZS2	Stálé zatížení - Krytina+Podhled
			3	1.50	ZS7	Zatížení sněhem 2/1
KZ29	STR	1.35*ZS1 + 1.35*ZS2 + 1.5*ZS4 + 0.9*ZS8	1	1.35	ZS1	Vlastní tíha
			2	1.35	ZS2	Stálé zatížení - Krytina+Podhled
			3	1.50	ZS4	Zatížení sněhem 1/1
			4	0.90	ZS8	Vítr - TLAK
KZ30	STR	1.35*ZS1 + 1.35*ZS2 + 1.5*ZS4 + 0.9*ZS9	1	1.35	ZS1	Vlastní tíha
			2	1.35	ZS2	Stálé zatížení - Krytina+Podhled
			3	1.50	ZS4	Zatížení sněhem 1/1
			4	0.90	ZS9	Vítr - SÁNÍ
KZ31	STR	1.35*ZS1 + 1.35*ZS2 + 1.5*ZS4 + 0.9*ZS10	1	1.35	ZS1	Vlastní tíha
			2	1.35	ZS2	Stálé zatížení - Krytina+Podhled
			3	1.50	ZS4	Zatížení sněhem 1/1
			4	0.90	ZS10	Vítr - SÁNÍ/TLAK
KZ32	STR	1.35*ZS1 + 1.35*ZS2 + 1.5*ZS4 + 0.9*ZS11	1	1.35	ZS1	Vlastní tíha
			2	1.35	ZS2	Stálé zatížení - Krytina+Podhled
			3	1.50	ZS4	Zatížení sněhem 1/1
			4	0.90	ZS11	Vítr - TLAK/SÁNÍ
KZ33	STR	1.35*ZS1 + 1.35*ZS2 + 1.5*ZS5 + 0.9*ZS8	1	1.35	ZS1	Vlastní tíha
			2	1.35	ZS2	Stálé zatížení - Krytina+Podhled
			3	1.50	ZS5	Zatížení sněhem 1/2
			4	0.90	ZS8	Vítr - TLAK
KZ34	STR	1.35*ZS1 + 1.35*ZS2 + 1.5*ZS5 + 0.9*ZS9	1	1.35	ZS1	Vlastní tíha
			2	1.35	ZS2	Stálé zatížení - Krytina+Podhled
			3	1.50	ZS5	Zatížení sněhem 1/2
			4	0.90	ZS9	Vítr - SÁNÍ
KZ35	STR	1.35*ZS1 + 1.35*ZS2 + 1.5*ZS5 + 0.9*ZS10	1	1.35	ZS1	Vlastní tíha
			2	1.35	ZS2	Stálé zatížení - Krytina+Podhled
			3	1.50	ZS5	Zatížení sněhem 1/2
			4	0.90	ZS10	Vítr - SÁNÍ/TLAK
KZ36	STR	1.35*ZS1 + 1.35*ZS2 + 1.5*ZS5 + 0.9*ZS11	1	1.35	ZS1	Vlastní tíha
			2	1.35	ZS2	Stálé zatížení - Krytina+Podhled
			3	1.50	ZS5	Zatížení sněhem 1/2
			4	0.90	ZS11	Vítr - TLAK/SÁNÍ
KZ37	STR	1.35*ZS1 + 1.35*ZS2 + 1.5*ZS7 + 0.9*ZS8	1	1.35	ZS1	Vlastní tíha
			2	1.35	ZS2	Stálé zatížení - Krytina+Podhled
			3	1.50	ZS7	Zatížení sněhem 2/1
			4	0.90	ZS8	Vítr - TLAK
KZ38	STR	1.35*ZS1 + 1.35*ZS2 + 1.5*ZS7 + 0.9*ZS9	1	1.35	ZS1	Vlastní tíha
			2	1.35	ZS2	Stálé zatížení - Krytina+Podhled
			3	1.50	ZS7	Zatížení sněhem 2/1
			4	0.90	ZS9	Vítr - SÁNÍ
KZ39	STR	1.35*ZS1 + 1.35*ZS2 + 1.5*ZS7 + 0.9*ZS10	1	1.35	ZS1	Vlastní tíha
			2	1.35	ZS2	Stálé zatížení - Krytina+Podhled
			3	1.50	ZS7	Zatížení sněhem 2/1
			4	0.90	ZS10	Vítr - SÁNÍ/TLAK
KZ40	STR	1.35*ZS1 + 1.35*ZS2 + 1.5*ZS7 + 0.9*ZS11	1	1.35	ZS1	Vlastní tíha
			2	1.35	ZS2	Stálé zatížení - Krytina+Podhled
			3	1.50	ZS7	Zatížení sněhem 2/1
			4	0.90	ZS11	Vítr - TLAK/SÁNÍ
KZ41	STR	1.35*ZS1 + 1.35*ZS2 + 1.5*ZS4 + 0.9*ZS8 + 1.05*ZS12	1	1.35	ZS1	Vlastní tíha
			2	1.35	ZS2	Stálé zatížení - Krytina+Podhled
			3	1.50	ZS4	Zatížení sněhem 1/1
			4	0.90	ZS8	Vítr - TLAK
			5	1.05	ZS12	Užitné zatížení - Kleštiny



Projekt: Diplomová práce

Model: Diplomová Práce -KROV

Datum: 17.04.2021

Stropní nosník

Konstrukce Krovu

2.5 KOMBINACE ZATÍŽENÍ

Kombin. zatížení	NS	Kombinace zatížení Označení	č.	Zatěžovací stav		
				Součinitel		
KZ42	STR	1.35*ZS1 + 1.35*ZS2 + 1.5*ZS4 + 0.9*ZS9 + 1.05*ZS12	1	1.35	ZS1	Vlastní tíha
			2	1.35	ZS2	Stálé zatížení - Krytina+Podhled
			3	1.50	ZS4	Zatížení sněhem 1/1
			4	0.90	ZS9	Vítr - SÁNÍ
			5	1.05	ZS12	Užitné zatížení - Kleštiny
KZ43	STR	1.35*ZS1 + 1.35*ZS2 + 1.5*ZS4 + 0.9*ZS10 + 1.05*ZS12	1	1.35	ZS1	Vlastní tíha
			2	1.35	ZS2	Stálé zatížení - Krytina+Podhled
			3	1.50	ZS4	Zatížení sněhem 1/1
			4	0.90	ZS10	Vítr - SÁNÍ/TLAK
			5	1.05	ZS12	Užitné zatížení - Kleštiny
KZ44	STR	1.35*ZS1 + 1.35*ZS2 + 1.5*ZS4 + 0.9*ZS11 + 1.05*ZS12	1	1.35	ZS1	Vlastní tíha
			2	1.35	ZS2	Stálé zatížení - Krytina+Podhled
			3	1.50	ZS4	Zatížení sněhem 1/1
			4	0.90	ZS11	Vítr - TLAK/SÁNÍ
			5	1.05	ZS12	Užitné zatížení - Kleštiny
KZ45	STR	1.35*ZS1 + 1.35*ZS2 + 1.5*ZS5 + 0.9*ZS8 + 1.05*ZS12	1	1.35	ZS1	Vlastní tíha
			2	1.35	ZS2	Stálé zatížení - Krytina+Podhled
			3	1.50	ZS5	Zatížení sněhem 1/2
			4	0.90	ZS8	Vítr - TLAK
			5	1.05	ZS12	Užitné zatížení - Kleštiny
KZ46	STR	1.35*ZS1 + 1.35*ZS2 + 1.5*ZS5 + 0.9*ZS9 + 1.05*ZS12	1	1.35	ZS1	Vlastní tíha
			2	1.35	ZS2	Stálé zatížení - Krytina+Podhled
			3	1.50	ZS5	Zatížení sněhem 1/2
			4	0.90	ZS9	Vítr - SÁNÍ
			5	1.05	ZS12	Užitné zatížení - Kleštiny
KZ47	STR	1.35*ZS1 + 1.35*ZS2 + 1.5*ZS5 + 0.9*ZS10 + 1.05*ZS12	1	1.35	ZS1	Vlastní tíha
			2	1.35	ZS2	Stálé zatížení - Krytina+Podhled
			3	1.50	ZS5	Zatížení sněhem 1/2
			4	0.90	ZS10	Vítr - SÁNÍ/TLAK
			5	1.05	ZS12	Užitné zatížení - Kleštiny
KZ48	STR	1.35*ZS1 + 1.35*ZS2 + 1.5*ZS5 + 0.9*ZS11 + 1.05*ZS12	1	1.35	ZS1	Vlastní tíha
			2	1.35	ZS2	Stálé zatížení - Krytina+Podhled
			3	1.50	ZS5	Zatížení sněhem 1/2
			4	0.90	ZS11	Vítr - TLAK/SÁNÍ
			5	1.05	ZS12	Užitné zatížení - Kleštiny
KZ49	STR	1.35*ZS1 + 1.35*ZS2 + 1.5*ZS7 + 0.9*ZS8 + 1.05*ZS12	1	1.35	ZS1	Vlastní tíha
			2	1.35	ZS2	Stálé zatížení - Krytina+Podhled
			3	1.50	ZS7	Zatížení sněhem 2/1
			4	0.90	ZS8	Vítr - TLAK
			5	1.05	ZS12	Užitné zatížení - Kleštiny
KZ50	STR	1.35*ZS1 + 1.35*ZS2 + 1.5*ZS7 + 0.9*ZS9 + 1.05*ZS12	1	1.35	ZS1	Vlastní tíha
			2	1.35	ZS2	Stálé zatížení - Krytina+Podhled
			3	1.50	ZS7	Zatížení sněhem 2/1
			4	0.90	ZS9	Vítr - SÁNÍ
			5	1.05	ZS12	Užitné zatížení - Kleštiny
KZ51	STR	1.35*ZS1 + 1.35*ZS2 + 1.5*ZS7 + 0.9*ZS10 + 1.05*ZS12	1	1.35	ZS1	Vlastní tíha
			2	1.35	ZS2	Stálé zatížení - Krytina+Podhled
			3	1.50	ZS7	Zatížení sněhem 2/1
			4	0.90	ZS10	Vítr - SÁNÍ/TLAK
			5	1.05	ZS12	Užitné zatížení - Kleštiny
KZ52	STR	1.35*ZS1 + 1.35*ZS2 + 1.5*ZS7 + 0.9*ZS11 + 1.05*ZS12	1	1.35	ZS1	Vlastní tíha
			2	1.35	ZS2	Stálé zatížení - Krytina+Podhled
			3	1.50	ZS7	Zatížení sněhem 2/1
			4	0.90	ZS11	Vítr - TLAK/SÁNÍ
			5	1.05	ZS12	Užitné zatížení - Kleštiny
KZ53	STR	1.35*ZS1 + 1.35*ZS2 + 1.5*ZS4 + 1.05*ZS12	1	1.35	ZS1	Vlastní tíha
			2	1.35	ZS2	Stálé zatížení - Krytina+Podhled
			3	1.50	ZS4	Zatížení sněhem 1/1
			4	1.05	ZS12	Užitné zatížení - Kleštiny
KZ54	STR	1.35*ZS1 + 1.35*ZS2 + 1.5*ZS5 + 1.05*ZS12	1	1.35	ZS1	Vlastní tíha
			2	1.35	ZS2	Stálé zatížení - Krytina+Podhled
			3	1.50	ZS5	Zatížení sněhem 1/2
			4	1.05	ZS12	Užitné zatížení - Kleštiny
KZ55	STR	1.35*ZS1 + 1.35*ZS2 + 1.5*ZS7 + 1.05*ZS12	1	1.35	ZS1	Vlastní tíha
			2	1.35	ZS2	Stálé zatížení - Krytina+Podhled
			3	1.50	ZS7	Zatížení sněhem 2/1
			4	1.05	ZS12	Užitné zatížení - Kleštiny
KZ56	STR	1.35*ZS1 + 1.5*ZS4 + 0.9*ZS8	1	1.35	ZS1	Vlastní tíha
			2	1.50	ZS4	Zatížení sněhem 1/1
			3	0.90	ZS8	Vítr - TLAK
KZ57	STR	1.35*ZS1 + 1.5*ZS4 + 0.9*ZS9	1	1.35	ZS1	Vlastní tíha
			2	1.50	ZS4	Zatížení sněhem 1/1
			3	0.90	ZS9	Vítr - SÁNÍ
KZ58	STR	1.35*ZS1 + 1.5*ZS4 + 0.9*ZS10	1	1.35	ZS1	Vlastní tíha
			2	1.50	ZS4	Zatížení sněhem 1/1
			3	0.90	ZS10	Vítr - SÁNÍ/TLAK
KZ59	STR	1.35*ZS1 + 1.5*ZS4 + 0.9*ZS11	1	1.35	ZS1	Vlastní tíha
			2	1.50	ZS4	Zatížení sněhem 1/1
			3	0.90	ZS11	Vítr - TLAK/SÁNÍ
KZ60	STR	1.35*ZS1 + 1.5*ZS5 + 0.9*ZS8	1	1.35	ZS1	Vlastní tíha
			2	1.50	ZS5	Zatížení sněhem 1/2
			3	0.90	ZS8	Vítr - TLAK
KZ61	STR	1.35*ZS1 + 1.5*ZS5 + 0.9*ZS9	1	1.35	ZS1	Vlastní tíha
			2	1.50	ZS5	Zatížení sněhem 1/2



Projekt: Diplomová práce

Model: Diplomová Práce -KROV

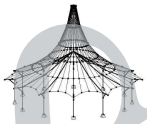
Datum: 17.04.2021

Stropní nosník

Konstrukce Krovu

2.5 KOMBINACE ZATÍŽENÍ

Kombin. zatížení	NS	Kombinace zatížení Označení	č.	Součinitel	Zatěžovací stav	
KZ62	STR	1.35*ZS1 + 1.5*ZS5 + 0.9*ZS10	2	1.50	ZS5	Zatížení sněhem 1/2
			3	0.90	ZS9	Vítr - SÁNÍ
			1	1.35	ZS1	Vlastní tíha
KZ63	STR	1.35*ZS1 + 1.5*ZS5 + 0.9*ZS11	2	1.50	ZS5	Zatížení sněhem 1/2
			3	0.90	ZS10	Vítr - SÁNÍ/TLAK
			1	1.35	ZS1	Vlastní tíha
KZ64	STR	1.35*ZS1 + 1.5*ZS7 + 0.9*ZS8	2	1.50	ZS5	Zatížení sněhem 1/2
			3	0.90	ZS11	Vítr - TLAK/SÁNÍ
			1	1.35	ZS1	Vlastní tíha
KZ65	STR	1.35*ZS1 + 1.5*ZS7 + 0.9*ZS9	2	1.50	ZS7	Zatížení sněhem 2/1
			3	0.90	ZS8	Vítr - TLAK
			1	1.35	ZS1	Vlastní tíha
KZ66	STR	1.35*ZS1 + 1.5*ZS7 + 0.9*ZS10	2	1.50	ZS7	Zatížení sněhem 2/1
			3	0.90	ZS9	Vítr - SÁNÍ
			1	1.35	ZS1	Vlastní tíha
KZ67	STR	1.35*ZS1 + 1.5*ZS7 + 0.9*ZS11	2	1.50	ZS7	Zatížení sněhem 2/1
			3	0.90	ZS10	Vítr - SÁNÍ/TLAK
			1	1.35	ZS1	Vlastní tíha
KZ68	STR	1.35*ZS1 + 1.5*ZS4 + 0.9*ZS8 + 1.05*ZS12	2	1.50	ZS4	Zatížení sněhem 1/1
			3	0.90	ZS8	Vítr - TLAK
			1	1.35	ZS1	Vlastní tíha
KZ69	STR	1.35*ZS1 + 1.5*ZS4 + 0.9*ZS9 + 1.05*ZS12	4	1.05	ZS12	Užitné zatížení - Kleštiny
			1	1.35	ZS1	Vlastní tíha
			2	1.50	ZS4	Zatížení sněhem 1/1
			3	0.90	ZS9	Vítr - SÁNÍ
KZ70	STR	1.35*ZS1 + 1.5*ZS4 + 0.9*ZS10 + 1.05*ZS12	4	1.05	ZS12	Užitné zatížení - Kleštiny
			1	1.35	ZS1	Vlastní tíha
			2	1.50	ZS4	Zatížení sněhem 1/1
			3	0.90	ZS10	Vítr - SÁNÍ/TLAK
KZ71	STR	1.35*ZS1 + 1.5*ZS4 + 0.9*ZS11 + 1.05*ZS12	4	1.05	ZS12	Užitné zatížení - Kleštiny
			1	1.35	ZS1	Vlastní tíha
			2	1.50	ZS4	Zatížení sněhem 1/1
			3	0.90	ZS11	Vítr - TLAK/SÁNÍ
KZ72	STR	1.35*ZS1 + 1.5*ZS5 + 0.9*ZS8 + 1.05*ZS12	4	1.05	ZS12	Užitné zatížení - Kleštiny
			1	1.35	ZS1	Vlastní tíha
			2	1.50	ZS5	Zatížení sněhem 1/2
			3	0.90	ZS8	Vítr - TLAK
KZ73	STR	1.35*ZS1 + 1.5*ZS5 + 0.9*ZS9 + 1.05*ZS12	4	1.05	ZS12	Užitné zatížení - Kleštiny
			1	1.35	ZS1	Vlastní tíha
			2	1.50	ZS5	Zatížení sněhem 1/2
			3	0.90	ZS9	Vítr - SÁNÍ
KZ74	STR	1.35*ZS1 + 1.5*ZS5 + 0.9*ZS10 + 1.05*ZS12	4	1.05	ZS12	Užitné zatížení - Kleštiny
			1	1.35	ZS1	Vlastní tíha
			2	1.50	ZS5	Zatížení sněhem 1/2
			3	0.90	ZS10	Vítr - SÁNÍ/TLAK
KZ75	STR	1.35*ZS1 + 1.5*ZS5 + 0.9*ZS11 + 1.05*ZS12	4	1.05	ZS12	Užitné zatížení - Kleštiny
			1	1.35	ZS1	Vlastní tíha
			2	1.50	ZS5	Zatížení sněhem 1/2
			3	0.90	ZS11	Vítr - TLAK/SÁNÍ
KZ76	STR	1.35*ZS1 + 1.5*ZS7 + 0.9*ZS8 + 1.05*ZS12	4	1.05	ZS12	Užitné zatížení - Kleštiny
			1	1.35	ZS1	Vlastní tíha
			2	1.50	ZS7	Zatížení sněhem 2/1
			3	0.90	ZS8	Vítr - TLAK
KZ77	STR	1.35*ZS1 + 1.5*ZS7 + 0.9*ZS9 + 1.05*ZS12	4	1.05	ZS12	Užitné zatížení - Kleštiny
			1	1.35	ZS1	Vlastní tíha
			2	1.50	ZS7	Zatížení sněhem 2/1
			3	0.90	ZS9	Vítr - SÁNÍ
KZ78	STR	1.35*ZS1 + 1.5*ZS7 + 0.9*ZS10 + 1.05*ZS12	4	1.05	ZS12	Užitné zatížení - Kleštiny
			1	1.35	ZS1	Vlastní tíha
			2	1.50	ZS7	Zatížení sněhem 2/1
			3	0.90	ZS10	Vítr - SÁNÍ/TLAK
KZ79	STR	1.35*ZS1 + 1.5*ZS7 + 0.9*ZS11 + 1.05*ZS12	4	1.05	ZS12	Užitné zatížení - Kleštiny
			1	1.35	ZS1	Vlastní tíha
			2	1.50	ZS7	Zatížení sněhem 2/1
			3	0.90	ZS11	Vítr - TLAK/SÁNÍ
KZ80	STR	1.35*ZS1 + 1.5*ZS4 + 1.05*ZS12	4	1.05	ZS12	Užitné zatížení - Kleštiny
			1	1.35	ZS1	Vlastní tíha
			2	1.50	ZS4	Zatížení sněhem 1/1
			3	1.05	ZS12	Užitné zatížení - Kleštiny
KZ81	STR	1.35*ZS1 + 1.5*ZS5 + 1.05*ZS12	1	1.35	ZS1	Vlastní tíha
			2	1.50	ZS5	Zatížení sněhem 1/2
			3	1.05	ZS12	Užitné zatížení - Kleštiny
KZ82	STR	1.35*ZS1 + 1.5*ZS7 + 1.05*ZS12	1	1.35	ZS1	Vlastní tíha
			2	1.50	ZS7	Zatížení sněhem 2/1
			3	1.05	ZS12	Užitné zatížení - Kleštiny
KZ83	STR	1.35*ZS1 + 1.5*ZS8	1	1.35	ZS1	Vlastní tíha
			2	1.50	ZS8	Vítr - TLAK
			1	1.35	ZS1	Vlastní tíha
KZ84	STR	1.35*ZS1 + 1.5*ZS9	2	1.50	ZS9	Vítr - SÁNÍ
			1	1.35	ZS1	Vlastní tíha
			2	1.50	ZS9	Vítr - SÁNÍ
KZ85	STR	1.35*ZS1 + 1.5*ZS10	1	1.35	ZS1	Vlastní tíha
			2	1.50	ZS10	Vítr - SÁNÍ/TLAK
			1	1.35	ZS1	Vlastní tíha
KZ86	STR	1.35*ZS1 + 1.5*ZS11	2	1.50	ZS11	Vítr - TLAK/SÁNÍ
			1	1.35	ZS1	Vlastní tíha
			2	1.50	ZS11	Vítr - TLAK/SÁNÍ
KZ87	STR	1.35*ZS1 + 1.35*ZS2 + 1.5*ZS8	1	1.35	ZS1	Vlastní tíha
			2	1.35	ZS2	Stálé zatížení - Krytina+Podhled
			3	1.50	ZS8	Vítr - TLAK
KZ88	STR	1.35*ZS1 + 1.35*ZS2 + 1.5*ZS9	1	1.35	ZS1	Vlastní tíha
			2	1.35	ZS2	Stálé zatížení - Krytina+Podhled
			3	1.50	ZS9	Vítr - SÁNÍ
KZ89	STR	1.35*ZS1 + 1.35*ZS2 + 1.5*ZS10	1	1.35	ZS1	Vlastní tíha
			2	1.35	ZS2	Stálé zatížení - Krytina+Podhled
			3	1.50	ZS10	Vítr - SÁNÍ/TLAK



Projekt: Diplomová práce

Model: Diplomová Práce -KROV

Datum: 17.04.2021

Stropní nosník

Konstrukce Krovu

2.5 KOMBINACE ZATÍŽENÍ

Kombin. zatížení	NS	Kombinace zatížení Označení	č.	Součinitel	Zatěžovací stav	
KZ90	STR	1.35*ZS1 + 1.35*ZS2 + 1.5*ZS11	1	1.35	ZS1	Vlastní tíha
			2	1.35	ZS2	Stálé zatížení - Krytina+Podhled
			3	1.50	ZS11	Vítr - TLAK/SÁNÍ
KZ91	STR	1.35*ZS1 + 1.35*ZS2 + 0.75*ZS4 + 1.5*ZS8	1	1.35	ZS1	Vlastní tíha
			2	1.35	ZS2	Stálé zatížení - Krytina+Podhled
			3	0.75	ZS4	Zatížení sněhem 1/1
			4	1.50	ZS8	Vítr - TLAK
KZ92	STR	1.35*ZS1 + 1.35*ZS2 + 0.75*ZS4 + 1.5*ZS9	1	1.35	ZS1	Vlastní tíha
			2	1.35	ZS2	Stálé zatížení - Krytina+Podhled
			3	0.75	ZS4	Zatížení sněhem 1/1
			4	1.50	ZS9	Vítr - SÁNÍ
KZ93	STR	1.35*ZS1 + 1.35*ZS2 + 0.75*ZS4 + 1.5*ZS10	1	1.35	ZS1	Vlastní tíha
			2	1.35	ZS2	Stálé zatížení - Krytina+Podhled
			3	0.75	ZS4	Zatížení sněhem 1/1
			4	1.50	ZS10	Vítr - SÁNÍ/TLAK
KZ94	STR	1.35*ZS1 + 1.35*ZS2 + 0.75*ZS4 + 1.5*ZS11	1	1.35	ZS1	Vlastní tíha
			2	1.35	ZS2	Stálé zatížení - Krytina+Podhled
			3	0.75	ZS4	Zatížení sněhem 1/1
			4	1.50	ZS11	Vítr - TLAK/SÁNÍ
KZ95	STR	1.35*ZS1 + 1.35*ZS2 + 0.75*ZS5 + 1.5*ZS8	1	1.35	ZS1	Vlastní tíha
			2	1.35	ZS2	Stálé zatížení - Krytina+Podhled
			3	0.75	ZS5	Zatížení sněhem 1/2
			4	1.50	ZS8	Vítr - TLAK
KZ96	STR	1.35*ZS1 + 1.35*ZS2 + 0.75*ZS5 + 1.5*ZS9	1	1.35	ZS1	Vlastní tíha
			2	1.35	ZS2	Stálé zatížení - Krytina+Podhled
			3	0.75	ZS5	Zatížení sněhem 1/2
			4	1.50	ZS9	Vítr - SÁNÍ
KZ97	STR	1.35*ZS1 + 1.35*ZS2 + 0.75*ZS5 + 1.5*ZS10	1	1.35	ZS1	Vlastní tíha
			2	1.35	ZS2	Stálé zatížení - Krytina+Podhled
			3	0.75	ZS5	Zatížení sněhem 1/2
			4	1.50	ZS10	Vítr - SÁNÍ/TLAK
KZ98	STR	1.35*ZS1 + 1.35*ZS2 + 0.75*ZS5 + 1.5*ZS11	1	1.35	ZS1	Vlastní tíha
			2	1.35	ZS2	Stálé zatížení - Krytina+Podhled
			3	0.75	ZS5	Zatížení sněhem 1/2
			4	1.50	ZS11	Vítr - TLAK/SÁNÍ
KZ99	STR	1.35*ZS1 + 1.35*ZS2 + 0.75*ZS7 + 1.5*ZS8	1	1.35	ZS1	Vlastní tíha
			2	1.35	ZS2	Stálé zatížení - Krytina+Podhled
			3	0.75	ZS7	Zatížení sněhem 2/1
			4	1.50	ZS8	Vítr - TLAK
KZ100	STR	1.35*ZS1 + 1.35*ZS2 + 0.75*ZS7 + 1.5*ZS9	1	1.35	ZS1	Vlastní tíha
			2	1.35	ZS2	Stálé zatížení - Krytina+Podhled
			3	0.75	ZS7	Zatížení sněhem 2/1
			4	1.50	ZS9	Vítr - SÁNÍ
KZ101	STR	1.35*ZS1 + 1.35*ZS2 + 0.75*ZS7 + 1.5*ZS10	1	1.35	ZS1	Vlastní tíha
			2	1.35	ZS2	Stálé zatížení - Krytina+Podhled
			3	0.75	ZS7	Zatížení sněhem 2/1
			4	1.50	ZS10	Vítr - SÁNÍ/TLAK
KZ102	STR	1.35*ZS1 + 1.35*ZS2 + 0.75*ZS7 + 1.5*ZS11	1	1.35	ZS1	Vlastní tíha
			2	1.35	ZS2	Stálé zatížení - Krytina+Podhled
			3	0.75	ZS7	Zatížení sněhem 2/1
			4	1.50	ZS11	Vítr - TLAK/SÁNÍ
KZ103	STR	1.35*ZS1 + 1.35*ZS2 + 0.75*ZS4 + 1.5*ZS8 + 1.05*ZS12	1	1.35	ZS1	Vlastní tíha
			2	1.35	ZS2	Stálé zatížení - Krytina+Podhled
			3	0.75	ZS4	Zatížení sněhem 1/1
			4	1.50	ZS8	Vítr - TLAK
			5	1.05	ZS12	Užitné zatížení - Kleštiny
KZ104	STR	1.35*ZS1 + 1.35*ZS2 + 0.75*ZS4 + 1.5*ZS9 + 1.05*ZS12	1	1.35	ZS1	Vlastní tíha
			2	1.35	ZS2	Stálé zatížení - Krytina+Podhled
			3	0.75	ZS4	Zatížení sněhem 1/1
			4	1.50	ZS9	Vítr - SÁNÍ
			5	1.05	ZS12	Užitné zatížení - Kleštiny
KZ105	STR	1.35*ZS1 + 1.35*ZS2 + 0.75*ZS4 + 1.5*ZS10 + 1.05*ZS12	1	1.35	ZS1	Vlastní tíha
			2	1.35	ZS2	Stálé zatížení - Krytina+Podhled
			3	0.75	ZS4	Zatížení sněhem 1/1
			4	1.50	ZS10	Vítr - SÁNÍ/TLAK
			5	1.05	ZS12	Užitné zatížení - Kleštiny
KZ106	STR	1.35*ZS1 + 1.35*ZS2 + 0.75*ZS4 + 1.5*ZS11 + 1.05*ZS12	1	1.35	ZS1	Vlastní tíha
			2	1.35	ZS2	Stálé zatížení - Krytina+Podhled
			3	0.75	ZS4	Zatížení sněhem 1/1
			4	1.50	ZS11	Vítr - TLAK/SÁNÍ
			5	1.05	ZS12	Užitné zatížení - Kleštiny
KZ107	STR	1.35*ZS1 + 1.35*ZS2 + 0.75*ZS5 + 1.5*ZS8 + 1.05*ZS12	1	1.35	ZS1	Vlastní tíha
			2	1.35	ZS2	Stálé zatížení - Krytina+Podhled
			3	0.75	ZS5	Zatížení sněhem 1/2
			4	1.50	ZS8	Vítr - TLAK
			5	1.05	ZS12	Užitné zatížení - Kleštiny
KZ108	STR	1.35*ZS1 + 1.35*ZS2 + 0.75*ZS5 + 1.5*ZS9 + 1.05*ZS12	1	1.35	ZS1	Vlastní tíha
			2	1.35	ZS2	Stálé zatížení - Krytina+Podhled
			3	0.75	ZS5	Zatížení sněhem 1/2
			4	1.50	ZS9	Vítr - SÁNÍ
			5	1.05	ZS12	Užitné zatížení - Kleštiny
KZ109	STR	1.35*ZS1 + 1.35*ZS2 + 0.75*ZS5 + 1.5*ZS10 + 1.05*ZS12	1	1.35	ZS1	Vlastní tíha
			2	1.35	ZS2	Stálé zatížení - Krytina+Podhled
			3	0.75	ZS5	Zatížení sněhem 1/2
			4	1.50	ZS10	Vítr - SÁNÍ/TLAK
			5	1.05	ZS12	Užitné zatížení - Kleštiny
KZ110	STR	1.35*ZS1 + 1.35*ZS2 + 0.75*ZS5 + 1.5*ZS11 + 1	1	1.35	ZS1	Vlastní tíha
			2	1.35	ZS2	Stálé zatížení - Krytina+Podhled
			3	0.75	ZS5	Zatížení sněhem 1/2
			4	1.50	ZS10	Vítr - SÁNÍ/TLAK
			5	1.05	ZS12	Užitné zatížení - Kleštiny



Projekt: Diplomová práce

Model: Diplomová Práce -KROV

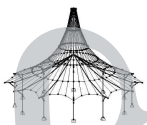
Datum: 17.04.2021

Stropní nosník

Konstrukce Krovu

2.5 KOMBINACE ZATÍŽENÍ

Kombin. zatížení	NS	Kombinace zatížení Označení	č.	Součinitel	Zatěžovací stav	
					ZS	Užitné zatížení - Kleštiny
KZ111	STR	1.05*ZS12	2	1.35	ZS2	Stálé zatížení - Krytina+Podhled
			3	0.75	ZS5	Zatížení sněhem 1/2
			4	1.50	ZS11	Vítr - TLAK/SÁNÍ
			5	1.05	ZS12	Užitné zatížení - Kleštiny
			1	1.35	ZS1	Vlastní tíha
KZ112	STR	1.35*ZS1 + 1.35*ZS2 + 0.75*ZS7 + 1.5*ZS8 + 1.05*ZS12	2	1.35	ZS2	Stálé zatížení - Krytina+Podhled
			3	0.75	ZS7	Zatížení sněhem 2/1
			4	1.50	ZS8	Vítr - TLAK
			5	1.05	ZS12	Užitné zatížení - Kleštiny
			1	1.35	ZS1	Vlastní tíha
KZ113	STR	1.35*ZS1 + 1.35*ZS2 + 0.75*ZS7 + 1.5*ZS10 + 1.05*ZS12	2	1.35	ZS2	Stálé zatížení - Krytina+Podhled
			3	0.75	ZS7	Zatížení sněhem 2/1
			4	1.50	ZS9	Vítr - SÁNÍ
			5	1.05	ZS12	Užitné zatížení - Kleštiny
			1	1.35	ZS1	Vlastní tíha
KZ114	STR	1.35*ZS1 + 1.35*ZS2 + 0.75*ZS7 + 1.5*ZS11 + 1.05*ZS12	2	1.35	ZS2	Stálé zatížení - Krytina+Podhled
			3	0.75	ZS7	Zatížení sněhem 2/1
			4	1.50	ZS10	Vítr - SÁNÍ/TLAK
			5	1.05	ZS12	Užitné zatížení - Kleštiny
			1	1.35	ZS1	Vlastní tíha
KZ115	STR	1.35*ZS1 + 1.35*ZS2 + 1.5*ZS8 + 1.05*ZS12	2	1.35	ZS2	Stálé zatížení - Krytina+Podhled
			3	0.75	ZS7	Zatížení sněhem 2/1
			4	1.50	ZS11	Vítr - TLAK/SÁNÍ
			5	1.05	ZS12	Užitné zatížení - Kleštiny
			1	1.35	ZS1	Vlastní tíha
KZ116	STR	1.35*ZS1 + 1.35*ZS2 + 1.5*ZS9 + 1.05*ZS12	2	1.35	ZS2	Stálé zatížení - Krytina+Podhled
			3	1.50	ZS8	Vítr - TLAK
			4	1.05	ZS12	Užitné zatížení - Kleštiny
			1	1.35	ZS1	Vlastní tíha
			2	1.35	ZS2	Stálé zatížení - Krytina+Podhled
KZ117	STR	1.35*ZS1 + 1.35*ZS2 + 1.5*ZS10 + 1.05*ZS12	3	1.50	ZS9	Vítr - SÁNÍ
			4	1.05	ZS12	Užitné zatížení - Kleštiny
			1	1.35	ZS1	Vlastní tíha
			2	1.35	ZS2	Stálé zatížení - Krytina+Podhled
			3	1.50	ZS10	Vítr - SÁNÍ/TLAK
KZ118	STR	1.35*ZS1 + 1.35*ZS2 + 1.5*ZS11 + 1.05*ZS12	4	1.05	ZS12	Užitné zatížení - Kleštiny
			1	1.35	ZS1	Vlastní tíha
			2	1.35	ZS2	Stálé zatížení - Krytina+Podhled
			3	1.50	ZS11	Vítr - TLAK/SÁNÍ
KZ119	STR	1.35*ZS1 + 0.75*ZS4 + 1.5*ZS8	4	1.05	ZS12	Užitné zatížení - Kleštiny
			1	1.35	ZS1	Vlastní tíha
			2	0.75	ZS4	Zatížení sněhem 1/1
			3	1.50	ZS8	Vítr - TLAK
KZ120	STR	1.35*ZS1 + 0.75*ZS4 + 1.5*ZS9	1	1.35	ZS1	Vlastní tíha
			2	0.75	ZS4	Zatížení sněhem 1/1
			3	1.50	ZS9	Vítr - SÁNÍ
KZ121	STR	1.35*ZS1 + 0.75*ZS4 + 1.5*ZS10	1	1.35	ZS1	Vlastní tíha
			2	0.75	ZS4	Zatížení sněhem 1/1
			3	1.50	ZS10	Vítr - SÁNÍ/TLAK
KZ122	STR	1.35*ZS1 + 0.75*ZS4 + 1.5*ZS11	1	1.35	ZS1	Vlastní tíha
			2	0.75	ZS4	Zatížení sněhem 1/1
			3	1.50	ZS11	Vítr - TLAK/SÁNÍ
KZ123	STR	1.35*ZS1 + 0.75*ZS5 + 1.5*ZS8	1	1.35	ZS1	Vlastní tíha
			2	0.75	ZS5	Zatížení sněhem 1/2
			3	1.50	ZS8	Vítr - TLAK
KZ124	STR	1.35*ZS1 + 0.75*ZS5 + 1.5*ZS9	1	1.35	ZS1	Vlastní tíha
			2	0.75	ZS5	Zatížení sněhem 1/2
			3	1.50	ZS9	Vítr - SÁNÍ
KZ125	STR	1.35*ZS1 + 0.75*ZS5 + 1.5*ZS10	1	1.35	ZS1	Vlastní tíha
			2	0.75	ZS5	Zatížení sněhem 1/2
			3	1.50	ZS10	Vítr - SÁNÍ/TLAK
KZ126	STR	1.35*ZS1 + 0.75*ZS5 + 1.5*ZS11	1	1.35	ZS1	Vlastní tíha
			2	0.75	ZS5	Zatížení sněhem 1/2
			3	1.50	ZS11	Vítr - TLAK/SÁNÍ
KZ127	STR	1.35*ZS1 + 0.75*ZS7 + 1.5*ZS8	1	1.35	ZS1	Vlastní tíha
			2	0.75	ZS7	Zatížení sněhem 2/1
			3	1.50	ZS8	Vítr - TLAK
KZ128	STR	1.35*ZS1 + 0.75*ZS7 + 1.5*ZS9	1	1.35	ZS1	Vlastní tíha
			2	0.75	ZS7	Zatížení sněhem 2/1
			3	1.50	ZS9	Vítr - SÁNÍ
KZ129	STR	1.35*ZS1 + 0.75*ZS7 + 1.5*ZS10	1	1.35	ZS1	Vlastní tíha
			2	0.75	ZS7	Zatížení sněhem 2/1
			3	1.50	ZS10	Vítr - SÁNÍ/TLAK
KZ130	STR	1.35*ZS1 + 0.75*ZS7 + 1.5*ZS11	1	1.35	ZS1	Vlastní tíha
			2	0.75	ZS7	Zatížení sněhem 2/1
			3	1.50	ZS11	Vítr - TLAK/SÁNÍ
KZ131	STR	1.35*ZS1 + 0.75*ZS4 + 1.5*ZS8 + 1.05*ZS12	1	1.35	ZS1	Vlastní tíha
			2	0.75	ZS4	Zatížení sněhem 1/1
			3	1.50	ZS8	Vítr - TLAK
			4	1.05	ZS12	Užitné zatížení - Kleštiny
KZ132	STR	1.35*ZS1 + 0.75*ZS4 + 1.5*ZS9 + 1.05*ZS12	1	1.35	ZS1	Vlastní tíha
			2	0.75	ZS4	Zatížení sněhem 1/1
			3	1.50	ZS9	Vítr - SÁNÍ
			4	1.05	ZS12	Užitné zatížení - Kleštiny
KZ133	STR	1.35*ZS1 + 0.75*ZS4 + 1.5*ZS10 + 1.05*ZS12	1	1.35	ZS1	Vlastní tíha
			2	0.75	ZS4	Zatížení sněhem 1/1
			3	1.50	ZS10	Vítr - SÁNÍ/TLAK
			4	1.05	ZS12	Užitné zatížení - Kleštiny
KZ134	STR	1.35*ZS1 + 0.75*ZS4 + 1.5*ZS11 + 1.05*ZS12	1	1.35	ZS1	Vlastní tíha
			1	1.35	ZS1	Vlastní tíha



Projekt: Diplomová práce

Model: Diplomová Práce -KROV

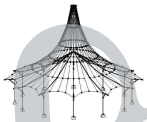
Datum: 17.04.2021

Stropní nosník

Konstrukce Krovu

2.5 KOMBINACE ZATÍŽENÍ

Kombin. zatížení	NS	Kombinace zatížení Označení	č.	Součinitel	Zatěžovací stav	
KZ135	STR	1.35*ZS1 + 0.75*ZS5 + 1.5*ZS8 + 1.05*ZS12	2	0.75	ZS4	Zatížení sněhem 1/1
			3	1.50	ZS11	Vítr - TLAK/SÁNÍ
			4	1.05	ZS12	Užitné zatížení - Kleštiny
			1	1.35	ZS1	Vlastní tíha
KZ136	STR	1.35*ZS1 + 0.75*ZS5 + 1.5*ZS9 + 1.05*ZS12	2	0.75	ZS5	Zatížení sněhem 1/2
			3	1.50	ZS9	Vítr - SÁNÍ
			4	1.05	ZS12	Užitné zatížení - Kleštiny
			1	1.35	ZS1	Vlastní tíha
KZ137	STR	1.35*ZS1 + 0.75*ZS5 + 1.5*ZS10 + 1.05*ZS12	2	0.75	ZS5	Zatížení sněhem 1/2
			3	1.50	ZS10	Vítr - SÁNÍ/TLAK
			4	1.05	ZS12	Užitné zatížení - Kleštiny
			1	1.35	ZS1	Vlastní tíha
KZ138	STR	1.35*ZS1 + 0.75*ZS5 + 1.5*ZS11 + 1.05*ZS12	2	0.75	ZS5	Zatížení sněhem 1/2
			3	1.50	ZS11	Vítr - TLAK/SÁNÍ
			4	1.05	ZS12	Užitné zatížení - Kleštiny
			1	1.35	ZS1	Vlastní tíha
KZ139	STR	1.35*ZS1 + 0.75*ZS7 + 1.5*ZS8 + 1.05*ZS12	2	0.75	ZS7	Zatížení sněhem 2/1
			3	1.50	ZS8	Vítr - TLAK
			4	1.05	ZS12	Užitné zatížení - Kleštiny
			1	1.35	ZS1	Vlastní tíha
KZ140	STR	1.35*ZS1 + 0.75*ZS7 + 1.5*ZS9 + 1.05*ZS12	2	0.75	ZS7	Zatížení sněhem 2/1
			3	1.50	ZS9	Vítr - SÁNÍ
			4	1.05	ZS12	Užitné zatížení - Kleštiny
			1	1.35	ZS1	Vlastní tíha
KZ141	STR	1.35*ZS1 + 0.75*ZS7 + 1.5*ZS10 + 1.05*ZS12	2	0.75	ZS7	Zatížení sněhem 2/1
			3	1.50	ZS10	Vítr - SÁNÍ/TLAK
			4	1.05	ZS12	Užitné zatížení - Kleštiny
			1	1.35	ZS1	Vlastní tíha
KZ142	STR	1.35*ZS1 + 0.75*ZS7 + 1.5*ZS11 + 1.05*ZS12	2	0.75	ZS7	Zatížení sněhem 2/1
			3	1.50	ZS11	Vítr - TLAK/SÁNÍ
			4	1.05	ZS12	Užitné zatížení - Kleštiny
			1	1.35	ZS1	Vlastní tíha
KZ143	STR	1.35*ZS1 + 1.5*ZS8 + 1.05*ZS12	2	1.50	ZS8	Vítr - TLAK
			3	1.05	ZS12	Užitné zatížení - Kleštiny
			1	1.35	ZS1	Vlastní tíha
			2	1.50	ZS8	Vítr - TLAK
KZ144	STR	1.35*ZS1 + 1.5*ZS9 + 1.05*ZS12	2	1.50	ZS9	Vítr - SÁNÍ
			3	1.05	ZS12	Užitné zatížení - Kleštiny
			1	1.35	ZS1	Vlastní tíha
			2	1.50	ZS9	Vítr - SÁNÍ
KZ145	STR	1.35*ZS1 + 1.5*ZS10 + 1.05*ZS12	2	1.50	ZS10	Vítr - SÁNÍ/TLAK
			3	1.05	ZS12	Užitné zatížení - Kleštiny
			1	1.35	ZS1	Vlastní tíha
			2	1.50	ZS10	Vítr - SÁNÍ/TLAK
KZ146	STR	1.35*ZS1 + 1.5*ZS11 + 1.05*ZS12	2	1.50	ZS11	Vítr - TLAK/SÁNÍ
			3	1.05	ZS12	Užitné zatížení - Kleštiny
			1	1.35	ZS1	Vlastní tíha
			2	1.50	ZS11	Vítr - TLAK/SÁNÍ
KZ147	STR	1.35*ZS1 + 1.5*ZS12	2	1.50	ZS12	Užitné zatížení - Kleštiny
			1	1.35	ZS1	Vlastní tíha
			2	1.50	ZS12	Užitné zatížení - Kleštiny
			1	1.35	ZS1	Vlastní tíha
KZ148	STR	1.35*ZS1 + 1.35*ZS2 + 1.5*ZS12	2	1.35	ZS2	Stálé zatížení - Krytina+Podhled
			3	1.50	ZS12	Užitné zatížení - Kleštiny
			1	1.35	ZS1	Vlastní tíha
			2	1.35	ZS2	Stálé zatížení - Krytina+Podhled
KZ149	STR	1.35*ZS1 + 1.35*ZS2 + 0.75*ZS4 + 1.5*ZS12	3	0.75	ZS4	Zatížení sněhem 1/1
			4	1.50	ZS12	Užitné zatížení - Kleštiny
			1	1.35	ZS1	Vlastní tíha
			2	1.35	ZS2	Stálé zatížení - Krytina+Podhled
KZ150	STR	1.35*ZS1 + 1.35*ZS2 + 0.75*ZS5 + 1.5*ZS12	3	0.75	ZS5	Zatížení sněhem 1/2
			4	1.50	ZS12	Užitné zatížení - Kleštiny
			1	1.35	ZS1	Vlastní tíha
			2	1.35	ZS2	Stálé zatížení - Krytina+Podhled
KZ151	STR	1.35*ZS1 + 1.35*ZS2 + 0.75*ZS7 + 1.5*ZS12	3	0.75	ZS7	Zatížení sněhem 1/2
			4	1.50	ZS12	Užitné zatížení - Kleštiny
			1	1.35	ZS1	Vlastní tíha
			2	1.35	ZS2	Stálé zatížení - Krytina+Podhled
KZ152	STR	1.35*ZS1 + 1.35*ZS2 + 0.75*ZS4 + 0.9*ZS8 + 1.5*ZS12	3	0.75	ZS4	Zatížení sněhem 1/1
			4	0.90	ZS8	Vítr - TLAK
			5	1.50	ZS12	Užitné zatížení - Kleštiny
			1	1.35	ZS1	Vlastní tíha
			2	1.35	ZS2	Stálé zatížení - Krytina+Podhled
KZ153	STR	1.35*ZS1 + 1.35*ZS2 + 0.75*ZS4 + 0.9*ZS9 + 1.5*ZS12	3	0.75	ZS4	Zatížení sněhem 1/1
			4	0.90	ZS9	Vítr - SÁNÍ
			5	1.50	ZS12	Užitné zatížení - Kleštiny
			1	1.35	ZS1	Vlastní tíha
			2	1.35	ZS2	Stálé zatížení - Krytina+Podhled
KZ154	STR	1.35*ZS1 + 1.35*ZS2 + 0.75*ZS4 + 0.9*ZS10 + 1.5*ZS12	3	0.75	ZS4	Zatížení sněhem 1/1
			4	0.90	ZS10	Vítr - SÁNÍ/TLAK
			5	1.50	ZS12	Užitné zatížení - Kleštiny
			1	1.35	ZS1	Vlastní tíha
			2	1.35	ZS2	Stálé zatížení - Krytina+Podhled
KZ155	STR	1.35*ZS1 + 1.35*ZS2 + 0.75*ZS4 + 0.9*ZS11 + 1.5*ZS12	3	0.75	ZS4	Zatížení sněhem 1/1
			4	0.90	ZS11	Vítr - TLAK/SÁNÍ
			5	1.50	ZS12	Užitné zatížení - Kleštiny
			1	1.35	ZS1	Vlastní tíha
			2	1.35	ZS2	Stálé zatížení - Krytina+Podhled
KZ156	STR	1.35*ZS1 + 1.35*ZS2 + 0.75*ZS5 + 0.9*ZS8 + 1.5*ZS12	3	0.75	ZS5	Zatížení sněhem 1/2
			4	0.90	ZS8	Vítr - TLAK
			5	1.50	ZS12	Užitné zatížení - Kleštiny
			1	1.35	ZS1	Vlastní tíha
			2	1.35	ZS2	Stálé zatížení - Krytina+Podhled



Projekt: Diplomová práce

Model: Diplomová Práce -KROV

Datum: 17.04.2021

Stropní nosník

Konstrukce Krovu

2.5 KOMBINACE ZATÍŽENÍ

Kombin. zatížení	NS	Kombinace zatížení Označení	č.	Zatěžovací stav		
				Součinitel		
KZ157	STR	1.35*ZS1 + 1.35*ZS2 + 0.75*ZS5 + 0.9*ZS9 + 1.5*ZS12	1	1.35	ZS1	Vlastní tíha
			2	1.35	ZS2	Stálé zatížení - Krytina+Podhled
			3	0.75	ZS5	Zatížení sněhem 1/2
			4	0.90	ZS9	Vítr - SÁNÍ
			5	1.50	ZS12	Užitné zatížení - Kleštiny
KZ158	STR	1.35*ZS1 + 1.35*ZS2 + 0.75*ZS5 + 0.9*ZS10 + 1.5*ZS12	1	1.35	ZS1	Vlastní tíha
			2	1.35	ZS2	Stálé zatížení - Krytina+Podhled
			3	0.75	ZS5	Zatížení sněhem 1/2
			4	0.90	ZS10	Vítr - SÁNÍ/TLAK
			5	1.50	ZS12	Užitné zatížení - Kleštiny
KZ159	STR	1.35*ZS1 + 1.35*ZS2 + 0.75*ZS5 + 0.9*ZS11 + 1.5*ZS12	1	1.35	ZS1	Vlastní tíha
			2	1.35	ZS2	Stálé zatížení - Krytina+Podhled
			3	0.75	ZS5	Zatížení sněhem 1/2
			4	0.90	ZS11	Vítr - TLAK/SÁNÍ
			5	1.50	ZS12	Užitné zatížení - Kleštiny
KZ160	STR	1.35*ZS1 + 1.35*ZS2 + 0.75*ZS7 + 0.9*ZS8 + 1.5*ZS12	1	1.35	ZS1	Vlastní tíha
			2	1.35	ZS2	Stálé zatížení - Krytina+Podhled
			3	0.75	ZS7	Zatížení sněhem 2/1
			4	0.90	ZS8	Vítr - TLAK
			5	1.50	ZS12	Užitné zatížení - Kleštiny
KZ161	STR	1.35*ZS1 + 1.35*ZS2 + 0.75*ZS7 + 0.9*ZS9 + 1.5*ZS12	1	1.35	ZS1	Vlastní tíha
			2	1.35	ZS2	Stálé zatížení - Krytina+Podhled
			3	0.75	ZS7	Zatížení sněhem 2/1
			4	0.90	ZS9	Vítr - SÁNÍ
			5	1.50	ZS12	Užitné zatížení - Kleštiny
KZ162	STR	1.35*ZS1 + 1.35*ZS2 + 0.75*ZS7 + 0.9*ZS10 + 1.5*ZS12	1	1.35	ZS1	Vlastní tíha
			2	1.35	ZS2	Stálé zatížení - Krytina+Podhled
			3	0.75	ZS7	Zatížení sněhem 2/1
			4	0.90	ZS10	Vítr - SÁNÍ/TLAK
			5	1.50	ZS12	Užitné zatížení - Kleštiny
KZ163	STR	1.35*ZS1 + 1.35*ZS2 + 0.75*ZS7 + 0.9*ZS11 + 1.5*ZS12	1	1.35	ZS1	Vlastní tíha
			2	1.35	ZS2	Stálé zatížení - Krytina+Podhled
			3	0.75	ZS7	Zatížení sněhem 2/1
			4	0.90	ZS11	Vítr - TLAK/SÁNÍ
			5	1.50	ZS12	Užitné zatížení - Kleštiny
KZ164	STR	1.35*ZS1 + 1.35*ZS2 + 0.9*ZS8 + 1.5*ZS12	1	1.35	ZS1	Vlastní tíha
			2	1.35	ZS2	Stálé zatížení - Krytina+Podhled
			3	0.90	ZS8	Vítr - TLAK
			4	1.50	ZS12	Užitné zatížení - Kleštiny
			5	1.50	ZS12	Užitné zatížení - Kleštiny
KZ165	STR	1.35*ZS1 + 1.35*ZS2 + 0.9*ZS9 + 1.5*ZS12	1	1.35	ZS1	Vlastní tíha
			2	1.35	ZS2	Stálé zatížení - Krytina+Podhled
			3	0.90	ZS9	Vítr - SÁNÍ
			4	1.50	ZS12	Užitné zatížení - Kleštiny
			5	1.50	ZS12	Užitné zatížení - Kleštiny
KZ166	STR	1.35*ZS1 + 1.35*ZS2 + 0.9*ZS10 + 1.5*ZS12	1	1.35	ZS1	Vlastní tíha
			2	1.35	ZS2	Stálé zatížení - Krytina+Podhled
			3	0.90	ZS10	Vítr - SÁNÍ/TLAK
			4	1.50	ZS12	Užitné zatížení - Kleštiny
			5	1.50	ZS12	Užitné zatížení - Kleštiny
KZ167	STR	1.35*ZS1 + 1.35*ZS2 + 0.9*ZS11 + 1.5*ZS12	1	1.35	ZS1	Vlastní tíha
			2	1.35	ZS2	Stálé zatížení - Krytina+Podhled
			3	0.90	ZS11	Vítr - TLAK/SÁNÍ
			4	1.50	ZS12	Užitné zatížení - Kleštiny
			5	1.50	ZS12	Užitné zatížení - Kleštiny
KZ168	STR	1.35*ZS1 + 0.75*ZS4 + 1.5*ZS12	1	1.35	ZS1	Vlastní tíha
			2	0.75	ZS4	Zatížení sněhem 1/1
			3	1.50	ZS12	Užitné zatížení - Kleštiny
			4	1.50	ZS12	Užitné zatížení - Kleštiny
KZ169	STR	1.35*ZS1 + 0.75*ZS5 + 1.5*ZS12	1	1.35	ZS1	Vlastní tíha
			2	0.75	ZS5	Zatížení sněhem 1/2
			3	1.50	ZS12	Užitné zatížení - Kleštiny
			4	1.50	ZS12	Užitné zatížení - Kleštiny
KZ170	STR	1.35*ZS1 + 0.75*ZS7 + 1.5*ZS12	1	1.35	ZS1	Vlastní tíha
			2	0.75	ZS7	Zatížení sněhem 2/1
			3	1.50	ZS12	Užitné zatížení - Kleštiny
			4	1.50	ZS12	Užitné zatížení - Kleštiny
KZ171	STR	1.35*ZS1 + 0.75*ZS4 + 0.9*ZS8 + 1.5*ZS12	1	1.35	ZS1	Vlastní tíha
			2	0.75	ZS4	Zatížení sněhem 1/1
			3	0.90	ZS8	Vítr - TLAK
			4	1.50	ZS12	Užitné zatížení - Kleštiny
KZ172	STR	1.35*ZS1 + 0.75*ZS4 + 0.9*ZS9 + 1.5*ZS12	1	1.35	ZS1	Vlastní tíha
			2	0.75	ZS4	Zatížení sněhem 1/1
			3	0.90	ZS9	Vítr - SÁNÍ
			4	1.50	ZS12	Užitné zatížení - Kleštiny
KZ173	STR	1.35*ZS1 + 0.75*ZS4 + 0.9*ZS10 + 1.5*ZS12	1	1.35	ZS1	Vlastní tíha
			2	0.75	ZS4	Zatížení sněhem 1/1
			3	0.90	ZS10	Vítr - SÁNÍ/TLAK
			4	1.50	ZS12	Užitné zatížení - Kleštiny
KZ174	STR	1.35*ZS1 + 0.75*ZS4 + 0.9*ZS11 + 1.5*ZS12	1	1.35	ZS1	Vlastní tíha
			2	0.75	ZS4	Zatížení sněhem 1/1
			3	0.90	ZS11	Vítr - TLAK/SÁNÍ
			4	1.50	ZS12	Užitné zatížení - Kleštiny
KZ175	STR	1.35*ZS1 + 0.75*ZS5 + 0.9*ZS8 + 1.5*ZS12	1	1.35	ZS1	Vlastní tíha
			2	0.75	ZS5	Zatížení sněhem 1/2
			3	0.90	ZS8	Vítr - TLAK
			4	1.50	ZS12	Užitné zatížení - Kleštiny
KZ176	STR	1.35*ZS1 + 0.75*ZS5 + 0.9*ZS9 + 1.5*ZS12	1	1.35	ZS1	Vlastní tíha
			2	0.75	ZS5	Zatížení sněhem 1/2
			3	0.90	ZS9	Vítr - SÁNÍ
			4	1.50	ZS12	Užitné zatížení - Kleštiny
KZ177	STR	1.35*ZS1 + 0.75*ZS5 + 0.9*ZS10 + 1.5*ZS12	1	1.35	ZS1	Vlastní tíha
			2	0.75	ZS5	Zatížení sněhem 1/2
			3	0.90	ZS10	Vítr - SÁNÍ/TLAK



Projekt: Diplomová práce

Model: Diplomová Práce -KROV

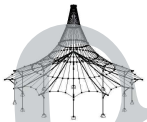
Datum: 17.04.2021

Stropní nosník

Konstrukce Krovu

2.5 KOMBINACE ZATÍŽENÍ

Kombin. zatížení	NS	Kombinace zatížení Označení	č.	Součinitel	Zatěžovací stav	
KZ178	STR	1.35*ZS1 + 0.75*ZS5 + 0.9*ZS11 + 1.5*ZS12	4	1.50	ZS12	Užitné zatížení - Kleštiny
			1	1.35	ZS1	Vlastní tíha
			2	0.75	ZS5	Zatížení sněhem 1/2
			3	0.90	ZS11	Vítr - TLAK/SÁNÍ
KZ179	STR	1.35*ZS1 + 0.75*ZS7 + 0.9*ZS8 + 1.5*ZS12	4	1.50	ZS12	Užitné zatížení - Kleštiny
			1	1.35	ZS1	Vlastní tíha
			2	0.75	ZS7	Zatížení sněhem 2/1
			3	0.90	ZS8	Vítr - TLAK
KZ180	STR	1.35*ZS1 + 0.75*ZS7 + 0.9*ZS9 + 1.5*ZS12	4	1.50	ZS12	Užitné zatížení - Kleštiny
			1	1.35	ZS1	Vlastní tíha
			2	0.75	ZS7	Zatížení sněhem 2/1
			3	0.90	ZS9	Vítr - SÁNÍ
KZ181	STR	1.35*ZS1 + 0.75*ZS7 + 0.9*ZS10 + 1.5*ZS12	4	1.50	ZS12	Užitné zatížení - Kleštiny
			1	1.35	ZS1	Vlastní tíha
			2	0.75	ZS7	Zatížení sněhem 2/1
			3	0.90	ZS10	Vítr - SÁNÍ/TLAK
KZ182	STR	1.35*ZS1 + 0.75*ZS7 + 0.9*ZS11 + 1.5*ZS12	4	1.50	ZS12	Užitné zatížení - Kleštiny
			1	1.35	ZS1	Vlastní tíha
			2	0.75	ZS7	Zatížení sněhem 2/1
			3	0.90	ZS11	Vítr - TLAK/SÁNÍ
KZ183	STR	1.35*ZS1 + 0.9*ZS8 + 1.5*ZS12	4	1.50	ZS12	Užitné zatížení - Kleštiny
			1	1.35	ZS1	Vlastní tíha
			2	0.90	ZS8	Vítr - TLAK
			3	1.50	ZS12	Užitné zatížení - Kleštiny
KZ184	STR	1.35*ZS1 + 0.9*ZS9 + 1.5*ZS12	1	1.35	ZS1	Vlastní tíha
			2	0.90	ZS9	Vítr - SÁNÍ
			3	1.50	ZS12	Užitné zatížení - Kleštiny
KZ185	STR	1.35*ZS1 + 0.9*ZS10 + 1.5*ZS12	1	1.35	ZS1	Vlastní tíha
			2	0.90	ZS10	Vítr - SÁNÍ/TLAK
			3	1.50	ZS12	Užitné zatížení - Kleštiny
KZ186	STR	1.35*ZS1 + 0.9*ZS11 + 1.5*ZS12	1	1.35	ZS1	Vlastní tíha
			2	0.90	ZS11	Vítr - TLAK/SÁNÍ
			3	1.50	ZS12	Užitné zatížení - Kleštiny
KZ187	S Ch	ZS1	1	1.00	ZS1	Vlastní tíha
KZ188	S Ch	ZS1 + ZS2	1	1.00	ZS1	Vlastní tíha
			2	1.00	ZS2	Stálé zatížení - Krytina+Podhled
KZ189	S Ch	ZS1 + ZS3	1	1.00	ZS1	Vlastní tíha
			2	1.00	ZS3	Užitné zatížení - střechy
KZ190	S Ch	ZS1 + ZS2 + ZS3	1	1.00	ZS1	Vlastní tíha
			2	1.00	ZS2	Stálé zatížení - Krytina+Podhled
			3	1.00	ZS3	Užitné zatížení - střechy
KZ191	S Ch	ZS1 + ZS2 + ZS3 + 0.6*ZS8	1	1.00	ZS1	Vlastní tíha
			2	1.00	ZS2	Stálé zatížení - Krytina+Podhled
			3	1.00	ZS3	Užitné zatížení - střechy
			4	0.60	ZS8	Vítr - TLAK
KZ192	S Ch	ZS1 + ZS2 + ZS3 + 0.6*ZS9	1	1.00	ZS1	Vlastní tíha
			2	1.00	ZS2	Stálé zatížení - Krytina+Podhled
			3	1.00	ZS3	Užitné zatížení - střechy
			4	0.60	ZS9	Vítr - SÁNÍ
KZ193	S Ch	ZS1 + ZS2 + ZS3 + 0.6*ZS10	1	1.00	ZS1	Vlastní tíha
			2	1.00	ZS2	Stálé zatížení - Krytina+Podhled
			3	1.00	ZS3	Užitné zatížení - střechy
			4	0.60	ZS10	Vítr - SÁNÍ/TLAK
KZ194	S Ch	ZS1 + ZS2 + ZS3 + 0.6*ZS11	1	1.00	ZS1	Vlastní tíha
			2	1.00	ZS2	Stálé zatížení - Krytina+Podhled
			3	1.00	ZS3	Užitné zatížení - střechy
			4	0.60	ZS11	Vítr - TLAK/SÁNÍ
KZ195	S Ch	ZS1 + ZS2 + ZS3 + 0.6*ZS8 + ZS12	1	1.00	ZS1	Vlastní tíha
			2	1.00	ZS2	Stálé zatížení - Krytina+Podhled
			3	1.00	ZS3	Užitné zatížení - střechy
			4	0.60	ZS8	Vítr - TLAK
			5	1.00	ZS12	Užitné zatížení - Kleštiny
KZ196	S Ch	ZS1 + ZS2 + ZS3 + 0.6*ZS9 + ZS12	1	1.00	ZS1	Vlastní tíha
			2	1.00	ZS2	Stálé zatížení - Krytina+Podhled
			3	1.00	ZS3	Užitné zatížení - střechy
			4	0.60	ZS9	Vítr - SÁNÍ
			5	1.00	ZS12	Užitné zatížení - Kleštiny
KZ197	S Ch	ZS1 + ZS2 + ZS3 + 0.6*ZS10 + ZS12	1	1.00	ZS1	Vlastní tíha
			2	1.00	ZS2	Stálé zatížení - Krytina+Podhled
			3	1.00	ZS3	Užitné zatížení - střechy
			4	0.60	ZS10	Vítr - SÁNÍ/TLAK
			5	1.00	ZS12	Užitné zatížení - Kleštiny
KZ198	S Ch	ZS1 + ZS2 + ZS3 + 0.6*ZS11 + ZS12	1	1.00	ZS1	Vlastní tíha
			2	1.00	ZS2	Stálé zatížení - Krytina+Podhled
			3	1.00	ZS3	Užitné zatížení - střechy
			4	0.60	ZS11	Vítr - TLAK/SÁNÍ
			5	1.00	ZS12	Užitné zatížení - Kleštiny
KZ199	S Ch	ZS1 + ZS2 + ZS3 + ZS12	1	1.00	ZS1	Vlastní tíha
			2	1.00	ZS2	Stálé zatížení - Krytina+Podhled
			3	1.00	ZS3	Užitné zatížení - střechy
			4	1.00	ZS12	Užitné zatížení - Kleštiny
KZ200	S Ch	ZS1 + ZS3 + 0.6*ZS8	1	1.00	ZS1	Vlastní tíha
			2	1.00	ZS3	Užitné zatížení - střechy
			3	0.60	ZS8	Vítr - TLAK
KZ201	S Ch	ZS1 + ZS3 + 0.6*ZS9	1	1.00	ZS1	Vlastní tíha
			2	1.00	ZS3	Užitné zatížení - střechy
			3	0.60	ZS9	Vítr - SÁNÍ
KZ202	S Ch	ZS1 + ZS3 + 0.6*ZS10	1	1.00	ZS1	Vlastní tíha
			2	1.00	ZS3	Užitné zatížení - střechy
			3	0.60	ZS10	Vítr - SÁNÍ/TLAK
KZ203	S Ch	ZS1 + ZS3 + 0.6*ZS11	1	1.00	ZS1	Vlastní tíha
			2	1.00	ZS3	Užitné zatížení - střechy
			3	0.60	ZS11	Vítr - TLAK/SÁNÍ
KZ204	S Ch	ZS1 + ZS3 + 0.6*ZS8 + ZS12	1	1.00	ZS1	Vlastní tíha



Projekt: Diplomová práce

Model: Diplomová Práce -KROV

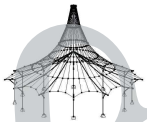
Datum: 17.04.2021

Stropní nosník

Konstrukce Krovu

2.5 KOMBINACE ZATÍŽENÍ

Kombin. zatížení	NS	Kombinace zatížení Označení	č.	Součinitel	Zatěžovací stav	
KZ205	S Ch	ZS1 + ZS3 + 0.6*ZS9 + ZS12	2	1.00	ZS3	Užitné zatížení - střechy
			3	0.60	ZS8	Vítr - TLAK
			4	1.00	ZS12	Užitné zatížení - Kleštiny
			1	1.00	ZS1	Vlastní tíha
KZ206	S Ch	ZS1 + ZS3 + 0.6*ZS10 + ZS12	2	1.00	ZS3	Užitné zatížení - střechy
			3	0.60	ZS10	Vítr - SÁNÍ/TLAK
			4	1.00	ZS12	Užitné zatížení - Kleštiny
			1	1.00	ZS1	Vlastní tíha
KZ207	S Ch	ZS1 + ZS3 + 0.6*ZS11 + ZS12	2	1.00	ZS3	Užitné zatížení - střechy
			3	0.60	ZS11	Vítr - TLAK/SÁNÍ
			4	1.00	ZS12	Užitné zatížení - Kleštiny
			1	1.00	ZS1	Vlastní tíha
KZ208	S Ch	ZS1 + ZS3 + ZS12	1	1.00	ZS1	Vlastní tíha
			2	1.00	ZS3	Užitné zatížení - střechy
			3	1.00	ZS12	Užitné zatížení - Kleštiny
KZ209	S Ch	ZS1 + ZS4	1	1.00	ZS1	Vlastní tíha
KZ210	S Ch	ZS1 + ZS5	2	1.00	ZS4	Zatížení sněhem 1/1
KZ211	S Ch	ZS1 + ZS7	1	1.00	ZS1	Vlastní tíha
KZ212	S Ch	ZS1 + ZS2 + ZS4	2	1.00	ZS7	Zatížení sněhem 2/1
			1	1.00	ZS1	Vlastní tíha
KZ213	S Ch	ZS1 + ZS2 + ZS5	2	1.00	ZS2	Stálé zatížení - Krytina+Podhled
			3	1.00	ZS4	Zatížení sněhem 1/1
			1	1.00	ZS1	Vlastní tíha
KZ214	S Ch	ZS1 + ZS2 + ZS7	2	1.00	ZS2	Stálé zatížení - Krytina+Podhled
			3	1.00	ZS5	Zatížení sněhem 1/2
			1	1.00	ZS1	Vlastní tíha
KZ215	S Ch	ZS1 + ZS2 + ZS4 + 0.6*ZS8	2	1.00	ZS2	Stálé zatížení - Krytina+Podhled
			3	1.00	ZS4	Zatížení sněhem 1/1
			4	0.60	ZS8	Vítr - TLAK
			1	1.00	ZS1	Vlastní tíha
KZ216	S Ch	ZS1 + ZS2 + ZS4 + 0.6*ZS9	2	1.00	ZS2	Stálé zatížení - Krytina+Podhled
			3	1.00	ZS4	Zatížení sněhem 1/1
			4	0.60	ZS9	Vítr - SÁNÍ
			1	1.00	ZS1	Vlastní tíha
KZ217	S Ch	ZS1 + ZS2 + ZS4 + 0.6*ZS10	2	1.00	ZS2	Stálé zatížení - Krytina+Podhled
			3	1.00	ZS4	Zatížení sněhem 1/1
			4	0.60	ZS10	Vítr - SÁNÍ/TLAK
			1	1.00	ZS1	Vlastní tíha
KZ218	S Ch	ZS1 + ZS2 + ZS4 + 0.6*ZS11	2	1.00	ZS2	Stálé zatížení - Krytina+Podhled
			3	1.00	ZS4	Zatížení sněhem 1/1
			4	0.60	ZS11	Vítr - TLAK/SÁNÍ
			1	1.00	ZS1	Vlastní tíha
KZ219	S Ch	ZS1 + ZS2 + ZS5 + 0.6*ZS8	2	1.00	ZS2	Stálé zatížení - Krytina+Podhled
			3	1.00	ZS5	Zatížení sněhem 1/2
			4	0.60	ZS8	Vítr - TLAK
			1	1.00	ZS1	Vlastní tíha
KZ220	S Ch	ZS1 + ZS2 + ZS5 + 0.6*ZS9	2	1.00	ZS2	Stálé zatížení - Krytina+Podhled
			3	1.00	ZS5	Zatížení sněhem 1/2
			4	0.60	ZS9	Vítr - SÁNÍ
			1	1.00	ZS1	Vlastní tíha
KZ221	S Ch	ZS1 + ZS2 + ZS5 + 0.6*ZS10	2	1.00	ZS2	Stálé zatížení - Krytina+Podhled
			3	1.00	ZS5	Zatížení sněhem 1/2
			4	0.60	ZS10	Vítr - SÁNÍ/TLAK
			1	1.00	ZS1	Vlastní tíha
KZ222	S Ch	ZS1 + ZS2 + ZS5 + 0.6*ZS11	2	1.00	ZS2	Stálé zatížení - Krytina+Podhled
			3	1.00	ZS5	Zatížení sněhem 1/2
			4	0.60	ZS11	Vítr - TLAK/SÁNÍ
			1	1.00	ZS1	Vlastní tíha
KZ223	S Ch	ZS1 + ZS2 + ZS7 + 0.6*ZS8	2	1.00	ZS2	Stálé zatížení - Krytina+Podhled
			3	1.00	ZS7	Zatížení sněhem 2/1
			4	0.60	ZS8	Vítr - TLAK
			1	1.00	ZS1	Vlastní tíha
KZ224	S Ch	ZS1 + ZS2 + ZS7 + 0.6*ZS9	2	1.00	ZS2	Stálé zatížení - Krytina+Podhled
			3	1.00	ZS7	Zatížení sněhem 2/1
			4	0.60	ZS9	Vítr - SÁNÍ
			1	1.00	ZS1	Vlastní tíha
KZ225	S Ch	ZS1 + ZS2 + ZS7 + 0.6*ZS10	2	1.00	ZS2	Stálé zatížení - Krytina+Podhled
			3	1.00	ZS7	Zatížení sněhem 2/1
			4	0.60	ZS10	Vítr - SÁNÍ/TLAK
			1	1.00	ZS1	Vlastní tíha
KZ226	S Ch	ZS1 + ZS2 + ZS7 + 0.6*ZS11	2	1.00	ZS2	Stálé zatížení - Krytina+Podhled
			3	1.00	ZS7	Zatížení sněhem 2/1
			4	0.60	ZS11	Vítr - TLAK/SÁNÍ
			1	1.00	ZS1	Vlastní tíha
KZ227	S Ch	ZS1 + ZS2 + ZS4 + 0.6*ZS8 + 0.7*ZS12	2	1.00	ZS2	Stálé zatížení - Krytina+Podhled
			3	1.00	ZS4	Zatížení sněhem 1/1
			4	0.60	ZS8	Vítr - TLAK
			5	0.70	ZS12	Užitné zatížení - Kleštiny
			1	1.00	ZS1	Vlastní tíha
KZ228	S Ch	ZS1 + ZS2 + ZS4 + 0.6*ZS9 + 0.7*ZS12	2	1.00	ZS2	Stálé zatížení - Krytina+Podhled
			3	1.00	ZS4	Zatížení sněhem 1/1
			4	0.60	ZS9	Vítr - SÁNÍ
			5	0.70	ZS12	Užitné zatížení - Kleštiny
			1	1.00	ZS1	Vlastní tíha
KZ229	S Ch	ZS1 + ZS2 + ZS4 + 0.6*ZS10 + 0.7*ZS12	2	1.00	ZS2	Stálé zatížení - Krytina+Podhled
			3	1.00	ZS4	Zatížení sněhem 1/1
			1	1.00	ZS1	Vlastní tíha



Projekt: Diplomová práce

Model: Diplomová Práce -KROV

Datum: 17.04.2021

Stropní nosník

Konstrukce Krovu

2.5 KOMBINACE ZATÍŽENÍ

Kombin. zatížení	NS	Kombinace zatížení Označení	č.	Součinitel	Zatěžovací stav	
KZ230	S Ch	ZS1 + ZS2 + ZS4 + 0.6*ZS11 + 0.7*ZS12	4	0.60	ZS10	Vítr - SÁNÍ/TLAK
			5	0.70	ZS12	Užitné zatížení - Kleštiny
			1	1.00	ZS1	Vlastní tíha
			2	1.00	ZS2	Stálé zatížení - Krytina+Podhled
			3	1.00	ZS4	Zatížení sněhem 1/1
KZ231	S Ch	ZS1 + ZS2 + ZS5 + 0.6*ZS8 + 0.7*ZS12	4	0.60	ZS11	Vítr - TLAK/SÁNÍ
			5	0.70	ZS12	Užitné zatížení - Kleštiny
			1	1.00	ZS1	Vlastní tíha
			2	1.00	ZS2	Stálé zatížení - Krytina+Podhled
			3	1.00	ZS5	Zatížení sněhem 1/2
KZ232	S Ch	ZS1 + ZS2 + ZS5 + 0.6*ZS9 + 0.7*ZS12	4	0.60	ZS8	Vítr - TLAK
			5	0.70	ZS12	Užitné zatížení - Kleštiny
			1	1.00	ZS1	Vlastní tíha
			2	1.00	ZS2	Stálé zatížení - Krytina+Podhled
			3	1.00	ZS5	Zatížení sněhem 1/2
KZ233	S Ch	ZS1 + ZS2 + ZS5 + 0.6*ZS10 + 0.7*ZS12	4	0.60	ZS9	Vítr - SÁNÍ
			5	0.70	ZS12	Užitné zatížení - Kleštiny
			1	1.00	ZS1	Vlastní tíha
			2	1.00	ZS2	Stálé zatížení - Krytina+Podhled
			3	1.00	ZS5	Zatížení sněhem 1/2
KZ234	S Ch	ZS1 + ZS2 + ZS5 + 0.6*ZS11 + 0.7*ZS12	4	0.60	ZS10	Vítr - SÁNÍ/TLAK
			5	0.70	ZS12	Užitné zatížení - Kleštiny
			1	1.00	ZS1	Vlastní tíha
			2	1.00	ZS2	Stálé zatížení - Krytina+Podhled
			3	1.00	ZS5	Zatížení sněhem 1/2
KZ235	S Ch	ZS1 + ZS2 + ZS7 + 0.6*ZS8 + 0.7*ZS12	4	0.60	ZS11	Vítr - TLAK/SÁNÍ
			5	0.70	ZS12	Užitné zatížení - Kleštiny
			1	1.00	ZS1	Vlastní tíha
			2	1.00	ZS2	Stálé zatížení - Krytina+Podhled
			3	1.00	ZS7	Zatížení sněhem 2/1
KZ236	S Ch	ZS1 + ZS2 + ZS7 + 0.6*ZS9 + 0.7*ZS12	4	0.60	ZS8	Vítr - TLAK
			5	0.70	ZS12	Užitné zatížení - Kleštiny
			1	1.00	ZS1	Vlastní tíha
			2	1.00	ZS2	Stálé zatížení - Krytina+Podhled
			3	1.00	ZS7	Zatížení sněhem 2/1
KZ237	S Ch	ZS1 + ZS2 + ZS7 + 0.6*ZS10 + 0.7*ZS12	4	0.60	ZS9	Vítr - SÁNÍ
			5	0.70	ZS12	Užitné zatížení - Kleštiny
			1	1.00	ZS1	Vlastní tíha
			2	1.00	ZS2	Stálé zatížení - Krytina+Podhled
			3	1.00	ZS7	Zatížení sněhem 2/1
KZ238	S Ch	ZS1 + ZS2 + ZS7 + 0.6*ZS11 + 0.7*ZS12	4	0.60	ZS10	Vítr - SÁNÍ/TLAK
			5	0.70	ZS12	Užitné zatížení - Kleštiny
			1	1.00	ZS1	Vlastní tíha
			2	1.00	ZS2	Stálé zatížení - Krytina+Podhled
			3	1.00	ZS7	Zatížení sněhem 2/1
KZ239	S Ch	ZS1 + ZS2 + ZS4 + 0.7*ZS12	4	0.60	ZS11	Vítr - TLAK/SÁNÍ
			5	0.70	ZS12	Užitné zatížení - Kleštiny
			1	1.00	ZS1	Vlastní tíha
			2	1.00	ZS2	Stálé zatížení - Krytina+Podhled
			3	1.00	ZS4	Zatížení sněhem 1/1
KZ240	S Ch	ZS1 + ZS2 + ZS5 + 0.7*ZS12	4	0.70	ZS12	Užitné zatížení - Kleštiny
			1	1.00	ZS1	Vlastní tíha
			2	1.00	ZS2	Stálé zatížení - Krytina+Podhled
			3	1.00	ZS5	Zatížení sněhem 1/2
KZ241	S Ch	ZS1 + ZS2 + ZS7 + 0.7*ZS12	4	0.70	ZS12	Užitné zatížení - Kleštiny
			1	1.00	ZS1	Vlastní tíha
			2	1.00	ZS2	Stálé zatížení - Krytina+Podhled
			3	1.00	ZS7	Zatížení sněhem 2/1
KZ242	S Ch	ZS1 + ZS4 + 0.6*ZS8	4	0.70	ZS12	Užitné zatížení - Kleštiny
			1	1.00	ZS1	Vlastní tíha
			2	1.00	ZS4	Zatížení sněhem 1/1
KZ243	S Ch	ZS1 + ZS4 + 0.6*ZS9	3	0.60	ZS8	Vítr - TLAK
			1	1.00	ZS1	Vlastní tíha
			2	1.00	ZS4	Zatížení sněhem 1/1
KZ244	S Ch	ZS1 + ZS4 + 0.6*ZS10	3	0.60	ZS9	Vítr - SÁNÍ
			1	1.00	ZS1	Vlastní tíha
			2	1.00	ZS4	Zatížení sněhem 1/1
KZ245	S Ch	ZS1 + ZS4 + 0.6*ZS11	3	0.60	ZS10	Vítr - SÁNÍ/TLAK
			1	1.00	ZS1	Vlastní tíha
			2	1.00	ZS4	Zatížení sněhem 1/1
KZ246	S Ch	ZS1 + ZS5 + 0.6*ZS8	3	0.60	ZS11	Vítr - TLAK/SÁNÍ
			1	1.00	ZS1	Vlastní tíha
			2	1.00	ZS5	Zatížení sněhem 1/2
KZ247	S Ch	ZS1 + ZS5 + 0.6*ZS9	3	0.60	ZS8	Vítr - TLAK
			1	1.00	ZS1	Vlastní tíha
			2	1.00	ZS5	Zatížení sněhem 1/2
KZ248	S Ch	ZS1 + ZS5 + 0.6*ZS10	3	0.60	ZS9	Vítr - SÁNÍ
			1	1.00	ZS1	Vlastní tíha
			2	1.00	ZS5	Zatížení sněhem 1/2
KZ249	S Ch	ZS1 + ZS5 + 0.6*ZS11	3	0.60	ZS10	Vítr - SÁNÍ/TLAK
			1	1.00	ZS1	Vlastní tíha
			2	1.00	ZS5	Zatížení sněhem 1/2
KZ250	S Ch	ZS1 + ZS7 + 0.6*ZS8	3	0.60	ZS11	Vítr - TLAK/SÁNÍ
			1	1.00	ZS1	Vlastní tíha
			2	1.00	ZS7	Zatížení sněhem 2/1
KZ251	S Ch	ZS1 + ZS7 + 0.6*ZS9	3	0.60	ZS8	Vítr - TLAK
			1	1.00	ZS1	Vlastní tíha
			2	1.00	ZS7	Zatížení sněhem 2/1
KZ252	S Ch	ZS1 + ZS7 + 0.6*ZS10	3	0.60	ZS9	Vítr - SÁNÍ
			1	1.00	ZS1	Vlastní tíha
			2	1.00	ZS7	Zatížení sněhem 2/1
KZ253	S Ch	ZS1 + ZS7 + 0.6*ZS11	3	0.60	ZS10	Vítr - SÁNÍ/TLAK
			1	1.00	ZS1	Vlastní tíha
			2	1.00	ZS7	Zatížení sněhem 2/1



Projekt: Diplomová práce

Model: Diplomová Práce -KROV

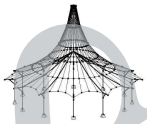
Datum: 17.04.2021

Stropní nosník

Konstrukce Krovu

2.5 KOMBINACE ZATÍŽENÍ

Kombin. zatížení	NS	Kombinace zatížení Označení	č.	Součinitel	Zatěžovací stav	
					Zatížení	Užití
KZ254	S Ch	ZS1 + ZS4 + 0.6*ZS8 + 0.7*ZS12	3	0.60	ZS11	Vítr - TLAK/SÁNÍ
			1	1.00	ZS1	Vlastní tíha
			2	1.00	ZS4	Zatížení sněhem 1/1
			3	0.60	ZS8	Vítr - TLAK
KZ255	S Ch	ZS1 + ZS4 + 0.6*ZS9 + 0.7*ZS12	4	0.70	ZS12	Užitné zatížení - Kleštiny
			1	1.00	ZS1	Vlastní tíha
			2	1.00	ZS4	Zatížení sněhem 1/1
			3	0.60	ZS9	Vítr - SÁNÍ
KZ256	S Ch	ZS1 + ZS4 + 0.6*ZS10 + 0.7*ZS12	4	0.70	ZS12	Užitné zatížení - Kleštiny
			1	1.00	ZS1	Vlastní tíha
			2	1.00	ZS4	Zatížení sněhem 1/1
			3	0.60	ZS10	Vítr - SÁNÍ/TLAK
KZ257	S Ch	ZS1 + ZS4 + 0.6*ZS11 + 0.7*ZS12	4	0.70	ZS12	Užitné zatížení - Kleštiny
			1	1.00	ZS1	Vlastní tíha
			2	1.00	ZS4	Zatížení sněhem 1/1
			3	0.60	ZS11	Vítr - TLAK/SÁNÍ
KZ258	S Ch	ZS1 + ZS5 + 0.6*ZS8 + 0.7*ZS12	4	0.70	ZS12	Užitné zatížení - Kleštiny
			1	1.00	ZS1	Vlastní tíha
			2	1.00	ZS5	Zatížení sněhem 1/2
			3	0.60	ZS8	Vítr - TLAK
KZ259	S Ch	ZS1 + ZS5 + 0.6*ZS9 + 0.7*ZS12	4	0.70	ZS12	Užitné zatížení - Kleštiny
			1	1.00	ZS1	Vlastní tíha
			2	1.00	ZS5	Zatížení sněhem 1/2
			3	0.60	ZS9	Vítr - SÁNÍ
KZ260	S Ch	ZS1 + ZS5 + 0.6*ZS10 + 0.7*ZS12	4	0.70	ZS12	Užitné zatížení - Kleštiny
			1	1.00	ZS1	Vlastní tíha
			2	1.00	ZS5	Zatížení sněhem 1/2
			3	0.60	ZS10	Vítr - SÁNÍ/TLAK
KZ261	S Ch	ZS1 + ZS5 + 0.6*ZS11 + 0.7*ZS12	4	0.70	ZS12	Užitné zatížení - Kleštiny
			1	1.00	ZS1	Vlastní tíha
			2	1.00	ZS5	Zatížení sněhem 1/2
			3	0.60	ZS11	Vítr - TLAK/SÁNÍ
KZ262	S Ch	ZS1 + ZS7 + 0.6*ZS8 + 0.7*ZS12	4	0.70	ZS12	Užitné zatížení - Kleštiny
			1	1.00	ZS1	Vlastní tíha
			2	1.00	ZS7	Zatížení sněhem 2/1
			3	0.60	ZS8	Vítr - TLAK
KZ263	S Ch	ZS1 + ZS7 + 0.6*ZS9 + 0.7*ZS12	4	0.70	ZS12	Užitné zatížení - Kleštiny
			1	1.00	ZS1	Vlastní tíha
			2	1.00	ZS7	Zatížení sněhem 2/1
			3	0.60	ZS9	Vítr - SÁNÍ
KZ264	S Ch	ZS1 + ZS7 + 0.6*ZS10 + 0.7*ZS12	4	0.70	ZS12	Užitné zatížení - Kleštiny
			1	1.00	ZS1	Vlastní tíha
			2	1.00	ZS7	Zatížení sněhem 2/1
			3	0.60	ZS10	Vítr - SÁNÍ/TLAK
KZ265	S Ch	ZS1 + ZS7 + 0.6*ZS11 + 0.7*ZS12	4	0.70	ZS12	Užitné zatížení - Kleštiny
			1	1.00	ZS1	Vlastní tíha
			2	1.00	ZS7	Zatížení sněhem 2/1
			3	0.60	ZS11	Vítr - TLAK/SÁNÍ
KZ266	S Ch	ZS1 + ZS4 + 0.7*ZS12	4	0.70	ZS12	Užitné zatížení - Kleštiny
			1	1.00	ZS1	Vlastní tíha
			2	1.00	ZS4	Zatížení sněhem 1/1
			3	0.70	ZS12	Užitné zatížení - Kleštiny
KZ267	S Ch	ZS1 + ZS5 + 0.7*ZS12	3	0.70	ZS12	Užitné zatížení - Kleštiny
			1	1.00	ZS1	Vlastní tíha
			2	1.00	ZS5	Zatížení sněhem 1/2
			3	0.70	ZS12	Užitné zatížení - Kleštiny
KZ268	S Ch	ZS1 + ZS7 + 0.7*ZS12	3	0.70	ZS12	Užitné zatížení - Kleštiny
			1	1.00	ZS1	Vlastní tíha
			2	1.00	ZS7	Zatížení sněhem 2/1
			3	0.70	ZS12	Užitné zatížení - Kleštiny
KZ269	S Ch	ZS1 + ZS8	3	0.70	ZS12	Užitné zatížení - Kleštiny
			1	1.00	ZS1	Vlastní tíha
			2	1.00	ZS8	Vítr - TLAK
			3	0.70	ZS12	Užitné zatížení - Kleštiny
KZ270	S Ch	ZS1 + ZS9	3	0.70	ZS12	Užitné zatížení - Kleštiny
			1	1.00	ZS1	Vlastní tíha
			2	1.00	ZS9	Vítr - SÁNÍ
			3	0.70	ZS12	Užitné zatížení - Kleštiny
KZ271	S Ch	ZS1 + ZS10	3	0.70	ZS12	Užitné zatížení - Kleštiny
			1	1.00	ZS1	Vlastní tíha
			2	1.00	ZS10	Vítr - SÁNÍ/TLAK
			3	0.70	ZS12	Užitné zatížení - Kleštiny
KZ272	S Ch	ZS1 + ZS11	3	0.70	ZS12	Užitné zatížení - Kleštiny
			1	1.00	ZS1	Vlastní tíha
			2	1.00	ZS11	Vítr - TLAK/SÁNÍ
			3	0.70	ZS12	Užitné zatížení - Kleštiny
KZ273	S Ch	ZS1 + ZS2 + ZS8	3	1.00	ZS8	Vítr - TLAK
			1	1.00	ZS1	Vlastní tíha
			2	1.00	ZS2	Stálé zatížení - Krytina+Podhled
			3	1.00	ZS8	Vítr - TLAK
KZ274	S Ch	ZS1 + ZS2 + ZS9	3	1.00	ZS9	Vítr - SÁNÍ
			1	1.00	ZS1	Vlastní tíha
			2	1.00	ZS2	Stálé zatížení - Krytina+Podhled
			3	1.00	ZS9	Vítr - SÁNÍ
KZ275	S Ch	ZS1 + ZS2 + ZS10	3	1.00	ZS10	Vítr - SÁNÍ/TLAK
			1	1.00	ZS1	Vlastní tíha
			2	1.00	ZS2	Stálé zatížení - Krytina+Podhled
			3	1.00	ZS10	Vítr - SÁNÍ/TLAK
KZ276	S Ch	ZS1 + ZS2 + ZS11	3	1.00	ZS11	Vítr - TLAK/SÁNÍ
			1	1.00	ZS1	Vlastní tíha
			2	1.00	ZS2	Stálé zatížení - Krytina+Podhled
			3	1.00	ZS11	Vítr - TLAK/SÁNÍ
KZ277	S Ch	ZS1 + ZS2 + 0.5*ZS4 + ZS8	3	1.00	ZS8	Vítr - TLAK
			1	1.00	ZS1	Vlastní tíha
			2	1.00	ZS2	Stálé zatížení - Krytina+Podhled
			3	0.50	ZS4	Zatížení sněhem 1/1
KZ278	S Ch	ZS1 + ZS2 + 0.5*ZS4 + ZS9	4	1.00	ZS9	Vítr - SÁNÍ
			1	1.00	ZS1	Vlastní tíha
			2	1.00	ZS2	Stálé zatížení - Krytina+Podhled
			3	0.50	ZS4	Zatížení sněhem 1/1
KZ279	S Ch	ZS1 + ZS2 + 0.5*ZS4 + ZS10	4	1.00	ZS10	Vítr - SÁNÍ/TLAK
			1	1.00	ZS1	Vlastní tíha
			2	1.00	ZS2	Stálé zatížení - Krytina+Podhled
			3	0.50	ZS4	Zatížení sněhem 1/1
KZ280	S Ch	ZS1 + ZS2 + 0.5*ZS4 + ZS11	4	1.00	ZS11	Vítr - TLAK/SÁNÍ
			1	1.00	ZS1	Vlastní tíha
			2	1.00	ZS2	Stálé zatížení - Krytina+Podhled
			3	0.50	ZS4	Zatížení sněhem 1/1



Projekt: Diplomová práce

Model: Diplomová Práce -KROV

Datum: 17.04.2021

Stropní nosník

Konstrukce Krovu

2.5 KOMBINACE ZATÍŽENÍ

Kombin. zatížení	NS	Kombinace zatížení Označení	č.	Součinitel	Zatěžovací stav	
					ZS	Vlastní tíha
KZ281	S Ch	ZS1 + ZS2 + 0.5*ZS5 + ZS8	1	1.00	ZS1	Vlastní tíha
			2	1.00	ZS2	Stálé zatížení - Krytina+Podhled
			3	0.50	ZS5	Zatížení sněhem 1/2
			4	1.00	ZS8	Vítr - TLAK
KZ282	S Ch	ZS1 + ZS2 + 0.5*ZS5 + ZS9	1	1.00	ZS1	Vlastní tíha
			2	1.00	ZS2	Stálé zatížení - Krytina+Podhled
			3	0.50	ZS5	Zatížení sněhem 1/2
			4	1.00	ZS9	Vítr - SÁNÍ
KZ283	S Ch	ZS1 + ZS2 + 0.5*ZS5 + ZS10	1	1.00	ZS1	Vlastní tíha
			2	1.00	ZS2	Stálé zatížení - Krytina+Podhled
			3	0.50	ZS5	Zatížení sněhem 1/2
			4	1.00	ZS10	Vítr - SÁNÍ/TLAK
KZ284	S Ch	ZS1 + ZS2 + 0.5*ZS5 + ZS11	1	1.00	ZS1	Vlastní tíha
			2	1.00	ZS2	Stálé zatížení - Krytina+Podhled
			3	0.50	ZS5	Zatížení sněhem 1/2
			4	1.00	ZS11	Vítr - TLAK/SÁNÍ
KZ285	S Ch	ZS1 + ZS2 + 0.5*ZS7 + ZS8	1	1.00	ZS1	Vlastní tíha
			2	1.00	ZS2	Stálé zatížení - Krytina+Podhled
			3	0.50	ZS7	Zatížení sněhem 2/1
			4	1.00	ZS8	Vítr - TLAK
KZ286	S Ch	ZS1 + ZS2 + 0.5*ZS7 + ZS9	1	1.00	ZS1	Vlastní tíha
			2	1.00	ZS2	Stálé zatížení - Krytina+Podhled
			3	0.50	ZS7	Zatížení sněhem 2/1
			4	1.00	ZS9	Vítr - SÁNÍ
KZ287	S Ch	ZS1 + ZS2 + 0.5*ZS7 + ZS10	1	1.00	ZS1	Vlastní tíha
			2	1.00	ZS2	Stálé zatížení - Krytina+Podhled
			3	0.50	ZS7	Zatížení sněhem 2/1
			4	1.00	ZS10	Vítr - SÁNÍ/TLAK
KZ288	S Ch	ZS1 + ZS2 + 0.5*ZS7 + ZS11	1	1.00	ZS1	Vlastní tíha
			2	1.00	ZS2	Stálé zatížení - Krytina+Podhled
			3	0.50	ZS7	Zatížení sněhem 2/1
			4	1.00	ZS11	Vítr - TLAK/SÁNÍ
KZ289	S Ch	ZS1 + ZS2 + 0.5*ZS4 + ZS8 + 0.7*ZS12	1	1.00	ZS1	Vlastní tíha
			2	1.00	ZS2	Stálé zatížení - Krytina+Podhled
			3	0.50	ZS4	Zatížení sněhem 1/1
			4	1.00	ZS8	Vítr - TLAK
			5	0.70	ZS12	Užitné zatížení - Kleštiny
KZ290	S Ch	ZS1 + ZS2 + 0.5*ZS4 + ZS9 + 0.7*ZS12	1	1.00	ZS1	Vlastní tíha
			2	1.00	ZS2	Stálé zatížení - Krytina+Podhled
			3	0.50	ZS4	Zatížení sněhem 1/1
			4	1.00	ZS9	Vítr - SÁNÍ
			5	0.70	ZS12	Užitné zatížení - Kleštiny
KZ291	S Ch	ZS1 + ZS2 + 0.5*ZS4 + ZS10 + 0.7*ZS12	1	1.00	ZS1	Vlastní tíha
			2	1.00	ZS2	Stálé zatížení - Krytina+Podhled
			3	0.50	ZS4	Zatížení sněhem 1/1
			4	1.00	ZS10	Vítr - SÁNÍ/TLAK
			5	0.70	ZS12	Užitné zatížení - Kleštiny
KZ292	S Ch	ZS1 + ZS2 + 0.5*ZS4 + ZS11 + 0.7*ZS12	1	1.00	ZS1	Vlastní tíha
			2	1.00	ZS2	Stálé zatížení - Krytina+Podhled
			3	0.50	ZS4	Zatížení sněhem 1/1
			4	1.00	ZS11	Vítr - TLAK/SÁNÍ
			5	0.70	ZS12	Užitné zatížení - Kleštiny
KZ293	S Ch	ZS1 + ZS2 + 0.5*ZS5 + ZS8 + 0.7*ZS12	1	1.00	ZS1	Vlastní tíha
			2	1.00	ZS2	Stálé zatížení - Krytina+Podhled
			3	0.50	ZS5	Zatížení sněhem 1/2
			4	1.00	ZS8	Vítr - TLAK
			5	0.70	ZS12	Užitné zatížení - Kleštiny
KZ294	S Ch	ZS1 + ZS2 + 0.5*ZS5 + ZS9 + 0.7*ZS12	1	1.00	ZS1	Vlastní tíha
			2	1.00	ZS2	Stálé zatížení - Krytina+Podhled
			3	0.50	ZS5	Zatížení sněhem 1/2
			4	1.00	ZS9	Vítr - SÁNÍ
			5	0.70	ZS12	Užitné zatížení - Kleštiny
KZ295	S Ch	ZS1 + ZS2 + 0.5*ZS5 + ZS10 + 0.7*ZS12	1	1.00	ZS1	Vlastní tíha
			2	1.00	ZS2	Stálé zatížení - Krytina+Podhled
			3	0.50	ZS5	Zatížení sněhem 1/2
			4	1.00	ZS10	Vítr - SÁNÍ/TLAK
			5	0.70	ZS12	Užitné zatížení - Kleštiny
KZ296	S Ch	ZS1 + ZS2 + 0.5*ZS5 + ZS11 + 0.7*ZS12	1	1.00	ZS1	Vlastní tíha
			2	1.00	ZS2	Stálé zatížení - Krytina+Podhled
			3	0.50	ZS5	Zatížení sněhem 1/2
			4	1.00	ZS11	Vítr - TLAK/SÁNÍ
			5	0.70	ZS12	Užitné zatížení - Kleštiny
KZ297	S Ch	ZS1 + ZS2 + 0.5*ZS7 + ZS8 + 0.7*ZS12	1	1.00	ZS1	Vlastní tíha
			2	1.00	ZS2	Stálé zatížení - Krytina+Podhled
			3	0.50	ZS7	Zatížení sněhem 2/1
			4	1.00	ZS8	Vítr - TLAK
			5	0.70	ZS12	Užitné zatížení - Kleštiny
KZ298	S Ch	ZS1 + ZS2 + 0.5*ZS7 + ZS9 + 0.7*ZS12	1	1.00	ZS1	Vlastní tíha
			2	1.00	ZS2	Stálé zatížení - Krytina+Podhled
			3	0.50	ZS7	Zatížení sněhem 2/1
			4	1.00	ZS9	Vítr - SÁNÍ
			5	0.70	ZS12	Užitné zatížení - Kleštiny
KZ299	S Ch	ZS1 + ZS2 + 0.5*ZS7 + ZS10 + 0.7*ZS12	1	1.00	ZS1	Vlastní tíha
			2	1.00	ZS2	Stálé zatížení - Krytina+Podhled
			3	0.50	ZS7	Zatížení sněhem 2/1
			4	1.00	ZS10	Vítr - SÁNÍ/TLAK
			5	0.70	ZS12	Užitné zatížení - Kleštiny
KZ300	S Ch	ZS1 + ZS2 + 0.5*ZS7 + ZS11 + 0.7*ZS12	1	1.00	ZS1	Vlastní tíha
			2	1.00	ZS2	Stálé zatížení - Krytina+Podhled
			3	0.50	ZS7	Zatížení sněhem 2/1
			4	1.00	ZS11	Vítr - TLAK/SÁNÍ
			5	0.70	ZS12	Užitné zatížení - Kleštiny
KZ301	S Ch	ZS1 + ZS2 + ZS8 + 0.7*ZS12	1	1.00	ZS1	Vlastní tíha
			2	1.00	ZS2	Stálé zatížení - Krytina+Podhled



Projekt: Diplomová práce

Model: Diplomová Práce -KROV

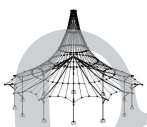
Datum: 17.04.2021

Stropní nosník

Konstrukce Krovu

2.5 KOMBINACE ZATÍŽENÍ

Kombin. zatížení	NS	Kombinace zatížení Označení	č.	Součinitel	Zatěžovací stav	
KZ302	S Ch	ZS1 + ZS2 + ZS9 + 0.7*ZS12	3	1.00	ZS8	Vítr - TLAK
			4	0.70	ZS12	Užitné zatížení - Kleštiny
			1	1.00	ZS1	Vlastní tíha
			2	1.00	ZS2	Stálé zatížení - Krytina+Podhled
KZ303	S Ch	ZS1 + ZS2 + ZS10 + 0.7*ZS12	3	1.00	ZS9	Vítr - SÁNÍ
			4	0.70	ZS12	Užitné zatížení - Kleštiny
			1	1.00	ZS1	Vlastní tíha
			2	1.00	ZS2	Stálé zatížení - Krytina+Podhled
KZ304	S Ch	ZS1 + ZS2 + ZS11 + 0.7*ZS12	3	1.00	ZS10	Vítr - SÁNÍ/TLAK
			4	0.70	ZS12	Užitné zatížení - Kleštiny
			1	1.00	ZS1	Vlastní tíha
			2	1.00	ZS2	Stálé zatížení - Krytina+Podhled
KZ305	S Ch	ZS1 + 0.5*ZS4 + ZS8	3	1.00	ZS11	Vítr - TLAK/SÁNÍ
			4	0.70	ZS12	Užitné zatížení - Kleštiny
			1	1.00	ZS1	Vlastní tíha
			2	0.50	ZS4	Zatížení sněhem 1/1
KZ306	S Ch	ZS1 + 0.5*ZS4 + ZS9	3	1.00	ZS8	Vítr - TLAK
			1	1.00	ZS1	Vlastní tíha
			2	0.50	ZS4	Zatížení sněhem 1/1
KZ307	S Ch	ZS1 + 0.5*ZS4 + ZS10	3	1.00	ZS9	Vítr - SÁNÍ
			1	1.00	ZS1	Vlastní tíha
			2	0.50	ZS4	Zatížení sněhem 1/1
KZ308	S Ch	ZS1 + 0.5*ZS4 + ZS11	3	1.00	ZS10	Vítr - SÁNÍ/TLAK
			1	1.00	ZS1	Vlastní tíha
			2	0.50	ZS4	Zatížení sněhem 1/1
KZ309	S Ch	ZS1 + 0.5*ZS5 + ZS8	3	1.00	ZS11	Vítr - TLAK/SÁNÍ
			1	1.00	ZS1	Vlastní tíha
			2	0.50	ZS5	Zatížení sněhem 1/2
KZ310	S Ch	ZS1 + 0.5*ZS5 + ZS9	3	1.00	ZS8	Vítr - TLAK
			1	1.00	ZS1	Vlastní tíha
			2	0.50	ZS5	Zatížení sněhem 1/2
KZ311	S Ch	ZS1 + 0.5*ZS5 + ZS10	3	1.00	ZS9	Vítr - SÁNÍ
			1	1.00	ZS1	Vlastní tíha
			2	0.50	ZS5	Zatížení sněhem 1/2
KZ312	S Ch	ZS1 + 0.5*ZS5 + ZS11	3	1.00	ZS10	Vítr - SÁNÍ/TLAK
			1	1.00	ZS1	Vlastní tíha
			2	0.50	ZS5	Zatížení sněhem 1/2
KZ313	S Ch	ZS1 + 0.5*ZS7 + ZS8	3	1.00	ZS11	Vítr - TLAK/SÁNÍ
			1	1.00	ZS1	Vlastní tíha
			2	0.50	ZS7	Zatížení sněhem 2/1
KZ314	S Ch	ZS1 + 0.5*ZS7 + ZS9	3	1.00	ZS8	Vítr - TLAK
			1	1.00	ZS1	Vlastní tíha
			2	0.50	ZS7	Zatížení sněhem 2/1
KZ315	S Ch	ZS1 + 0.5*ZS7 + ZS10	3	1.00	ZS9	Vítr - SÁNÍ
			1	1.00	ZS1	Vlastní tíha
			2	0.50	ZS7	Zatížení sněhem 2/1
KZ316	S Ch	ZS1 + 0.5*ZS7 + ZS11	3	1.00	ZS10	Vítr - SÁNÍ/TLAK
			1	1.00	ZS1	Vlastní tíha
			2	0.50	ZS7	Zatížení sněhem 2/1
KZ317	S Ch	ZS1 + 0.5*ZS4 + ZS8 + 0.7*ZS12	3	1.00	ZS11	Vítr - TLAK/SÁNÍ
			1	1.00	ZS1	Vlastní tíha
			2	0.50	ZS4	Zatížení sněhem 1/1
			3	1.00	ZS8	Vítr - TLAK
KZ318	S Ch	ZS1 + 0.5*ZS4 + ZS9 + 0.7*ZS12	4	0.70	ZS12	Užitné zatížení - Kleštiny
			1	1.00	ZS1	Vlastní tíha
			2	0.50	ZS4	Zatížení sněhem 1/1
			3	1.00	ZS9	Vítr - SÁNÍ
KZ319	S Ch	ZS1 + 0.5*ZS4 + ZS10 + 0.7*ZS12	4	0.70	ZS12	Užitné zatížení - Kleštiny
			1	1.00	ZS1	Vlastní tíha
			2	0.50	ZS4	Zatížení sněhem 1/1
			3	1.00	ZS10	Vítr - SÁNÍ/TLAK
KZ320	S Ch	ZS1 + 0.5*ZS4 + ZS11 + 0.7*ZS12	4	0.70	ZS12	Užitné zatížení - Kleštiny
			1	1.00	ZS1	Vlastní tíha
			2	0.50	ZS4	Zatížení sněhem 1/1
			3	1.00	ZS11	Vítr - TLAK/SÁNÍ
KZ321	S Ch	ZS1 + 0.5*ZS5 + ZS8 + 0.7*ZS12	4	0.70	ZS12	Užitné zatížení - Kleštiny
			1	1.00	ZS1	Vlastní tíha
			2	0.50	ZS5	Zatížení sněhem 1/2
			3	1.00	ZS8	Vítr - TLAK
KZ322	S Ch	ZS1 + 0.5*ZS5 + ZS9 + 0.7*ZS12	4	0.70	ZS12	Užitné zatížení - Kleštiny
			1	1.00	ZS1	Vlastní tíha
			2	0.50	ZS5	Zatížení sněhem 1/2
			3	1.00	ZS9	Vítr - SÁNÍ
KZ323	S Ch	ZS1 + 0.5*ZS5 + ZS10 + 0.7*ZS12	4	0.70	ZS12	Užitné zatížení - Kleštiny
			1	1.00	ZS1	Vlastní tíha
			2	0.50	ZS5	Zatížení sněhem 1/2
			3	1.00	ZS10	Vítr - SÁNÍ/TLAK
KZ324	S Ch	ZS1 + 0.5*ZS5 + ZS11 + 0.7*ZS12	4	0.70	ZS12	Užitné zatížení - Kleštiny
			1	1.00	ZS1	Vlastní tíha
			2	0.50	ZS5	Zatížení sněhem 1/2
			3	1.00	ZS11	Vítr - TLAK/SÁNÍ
KZ325	S Ch	ZS1 + 0.5*ZS7 + ZS8 + 0.7*ZS12	4	0.70	ZS12	Užitné zatížení - Kleštiny
			1	1.00	ZS1	Vlastní tíha
			2	0.50	ZS7	Zatížení sněhem 2/1
			3	1.00	ZS8	Vítr - TLAK
KZ326	S Ch	ZS1 + 0.5*ZS7 + ZS9 + 0.7*ZS12	4	0.70	ZS12	Užitné zatížení - Kleštiny
			1	1.00	ZS1	Vlastní tíha
			2	0.50	ZS7	Zatížení sněhem 2/1
			3	1.00	ZS9	Vítr - SÁNÍ
KZ327	S Ch	ZS1 + 0.5*ZS7 + ZS10 + 0.7*ZS12	4	0.70	ZS12	Užitné zatížení - Kleštiny
			1	1.00	ZS1	Vlastní tíha
			2	0.50	ZS7	Zatížení sněhem 2/1
			3	1.00	ZS10	Vítr - SÁNÍ/TLAK
			4	0.70	ZS12	Užitné zatížení - Kleštiny



Projekt: Diplomová práce

Model: Diplomová Práce -KROV

Datum: 17.04.2021

Stropní nosník

Konstrukce Krovu

2.5 KOMBINACE ZATÍŽENÍ

Kombin. zatížení	NS	Kombinace zatížení Označení	č.	Součinitel	Zatěžovací stav	
					ZS	Vlastní tíha
KZ328	S Ch	ZS1 + 0.5*ZS7 + ZS11 + 0.7*ZS12	1	1.00	ZS1	Vlastní tíha
			2	0.50	ZS7	Zatížení sněhem 2/1
			3	1.00	ZS11	Vítr - TLAK/SÁNÍ
			4	0.70	ZS12	Užitné zatížení - Kleštiny
KZ329	S Ch	ZS1 + ZS8 + 0.7*ZS12	1	1.00	ZS1	Vlastní tíha
			2	1.00	ZS8	Vítr - TLAK
			3	0.70	ZS12	Užitné zatížení - Kleštiny
KZ330	S Ch	ZS1 + ZS9 + 0.7*ZS12	1	1.00	ZS1	Vlastní tíha
			2	1.00	ZS9	Vítr - SÁNÍ
			3	0.70	ZS12	Užitné zatížení - Kleštiny
KZ331	S Ch	ZS1 + ZS10 + 0.7*ZS12	1	1.00	ZS1	Vlastní tíha
			2	1.00	ZS10	Vítr - SÁNÍ/TLAK
			3	0.70	ZS12	Užitné zatížení - Kleštiny
KZ332	S Ch	ZS1 + ZS11 + 0.7*ZS12	1	1.00	ZS1	Vlastní tíha
			2	1.00	ZS11	Vítr - TLAK/SÁNÍ
			3	0.70	ZS12	Užitné zatížení - Kleštiny
KZ333	S Ch	ZS1 + ZS12	1	1.00	ZS1	Vlastní tíha
			2	1.00	ZS12	Užitné zatížení - Kleštiny
KZ334	S Ch	ZS1 + ZS2 + ZS12	1	1.00	ZS1	Vlastní tíha
			2	1.00	ZS2	Stálé zatížení - Krytina+Podhled
			3	1.00	ZS12	Užitné zatížení - Kleštiny
KZ335	S Ch	ZS1 + ZS2 + 0.5*ZS4 + ZS12	1	1.00	ZS1	Vlastní tíha
			2	1.00	ZS2	Stálé zatížení - Krytina+Podhled
			3	0.50	ZS4	Zatížení sněhem 1/1
			4	1.00	ZS12	Užitné zatížení - Kleštiny
KZ336	S Ch	ZS1 + ZS2 + 0.5*ZS5 + ZS12	1	1.00	ZS1	Vlastní tíha
			2	1.00	ZS2	Stálé zatížení - Krytina+Podhled
			3	0.50	ZS5	Zatížení sněhem 1/2
			4	1.00	ZS12	Užitné zatížení - Kleštiny
KZ337	S Ch	ZS1 + ZS2 + 0.5*ZS7 + ZS12	1	1.00	ZS1	Vlastní tíha
			2	1.00	ZS2	Stálé zatížení - Krytina+Podhled
			3	0.50	ZS7	Zatížení sněhem 2/1
			4	1.00	ZS12	Užitné zatížení - Kleštiny
KZ338	S Ch	ZS1 + ZS2 + 0.5*ZS4 + 0.6*ZS8 + ZS12	1	1.00	ZS1	Vlastní tíha
			2	1.00	ZS2	Stálé zatížení - Krytina+Podhled
			3	0.50	ZS4	Zatížení sněhem 1/1
			4	0.60	ZS8	Vítr - TLAK
			5	1.00	ZS12	Užitné zatížení - Kleštiny
KZ339	S Ch	ZS1 + ZS2 + 0.5*ZS4 + 0.6*ZS9 + ZS12	1	1.00	ZS1	Vlastní tíha
			2	1.00	ZS2	Stálé zatížení - Krytina+Podhled
			3	0.50	ZS4	Zatížení sněhem 1/1
			4	0.60	ZS9	Vítr - SÁNÍ
			5	1.00	ZS12	Užitné zatížení - Kleštiny
KZ340	S Ch	ZS1 + ZS2 + 0.5*ZS4 + 0.6*ZS10 + ZS12	1	1.00	ZS1	Vlastní tíha
			2	1.00	ZS2	Stálé zatížení - Krytina+Podhled
			3	0.50	ZS4	Zatížení sněhem 1/1
			4	0.60	ZS10	Vítr - SÁNÍ/TLAK
			5	1.00	ZS12	Užitné zatížení - Kleštiny
KZ341	S Ch	ZS1 + ZS2 + 0.5*ZS4 + 0.6*ZS11 + ZS12	1	1.00	ZS1	Vlastní tíha
			2	1.00	ZS2	Stálé zatížení - Krytina+Podhled
			3	0.50	ZS4	Zatížení sněhem 1/1
			4	0.60	ZS11	Vítr - TLAK/SÁNÍ
			5	1.00	ZS12	Užitné zatížení - Kleštiny
KZ342	S Ch	ZS1 + ZS2 + 0.5*ZS5 + 0.6*ZS8 + ZS12	1	1.00	ZS1	Vlastní tíha
			2	1.00	ZS2	Stálé zatížení - Krytina+Podhled
			3	0.50	ZS5	Zatížení sněhem 1/2
			4	0.60	ZS8	Vítr - TLAK
			5	1.00	ZS12	Užitné zatížení - Kleštiny
KZ343	S Ch	ZS1 + ZS2 + 0.5*ZS5 + 0.6*ZS9 + ZS12	1	1.00	ZS1	Vlastní tíha
			2	1.00	ZS2	Stálé zatížení - Krytina+Podhled
			3	0.50	ZS5	Zatížení sněhem 1/2
			4	0.60	ZS9	Vítr - SÁNÍ
			5	1.00	ZS12	Užitné zatížení - Kleštiny
KZ344	S Ch	ZS1 + ZS2 + 0.5*ZS5 + 0.6*ZS10 + ZS12	1	1.00	ZS1	Vlastní tíha
			2	1.00	ZS2	Stálé zatížení - Krytina+Podhled
			3	0.50	ZS5	Zatížení sněhem 1/2
			4	0.60	ZS10	Vítr - SÁNÍ/TLAK
			5	1.00	ZS12	Užitné zatížení - Kleštiny
KZ345	S Ch	ZS1 + ZS2 + 0.5*ZS5 + 0.6*ZS11 + ZS12	1	1.00	ZS1	Vlastní tíha
			2	1.00	ZS2	Stálé zatížení - Krytina+Podhled
			3	0.50	ZS5	Zatížení sněhem 1/2
			4	0.60	ZS11	Vítr - TLAK/SÁNÍ
			5	1.00	ZS12	Užitné zatížení - Kleštiny
KZ346	S Ch	ZS1 + ZS2 + 0.5*ZS7 + 0.6*ZS8 + ZS12	1	1.00	ZS1	Vlastní tíha
			2	1.00	ZS2	Stálé zatížení - Krytina+Podhled
			3	0.50	ZS7	Zatížení sněhem 2/1
			4	0.60	ZS8	Vítr - TLAK
			5	1.00	ZS12	Užitné zatížení - Kleštiny
KZ347	S Ch	ZS1 + ZS2 + 0.5*ZS7 + 0.6*ZS9 + ZS12	1	1.00	ZS1	Vlastní tíha
			2	1.00	ZS2	Stálé zatížení - Krytina+Podhled
			3	0.50	ZS7	Zatížení sněhem 2/1
			4	0.60	ZS9	Vítr - SÁNÍ
			5	1.00	ZS12	Užitné zatížení - Kleštiny
KZ348	S Ch	ZS1 + ZS2 + 0.5*ZS7 + 0.6*ZS10 + ZS12	1	1.00	ZS1	Vlastní tíha
			2	1.00	ZS2	Stálé zatížení - Krytina+Podhled
			3	0.50	ZS7	Zatížení sněhem 2/1
			4	0.60	ZS10	Vítr - SÁNÍ/TLAK
			5	1.00	ZS12	Užitné zatížení - Kleštiny
KZ349	S Ch	ZS1 + ZS2 + 0.5*ZS7 + 0.6*ZS11 + ZS12	1	1.00	ZS1	Vlastní tíha
			2	1.00	ZS2	Stálé zatížení - Krytina+Podhled
			3	0.50	ZS7	Zatížení sněhem 2/1
			4	0.60	ZS11	Vítr - TLAK/SÁNÍ
			5	1.00	ZS12	Užitné zatížení - Kleštiny
KZ350	S Ch	ZS1 + ZS2 + 0.6*ZS8 + ZS12	1	1.00	ZS1	Vlastní tíha



Projekt: Diplomová práce

Model: Diplomová Práce -KROV

Datum: 17.04.2021

Stropní nosník

Konstrukce Krovu

2.5 KOMBINACE ZATÍŽENÍ

Kombin. zatížení	NS	Kombinace zatížení Označení	č.	Součinitel	Zatěžovací stav	
KZ351	S Ch	ZS1 + ZS2 + 0.6*ZS9 + ZS12	2	1.00	ZS2	Stálé zatížení - Krytina+Podhled
			3	0.60	ZS8	Vítr - TLAK
			4	1.00	ZS12	Užitné zatížení - Kleštiny
			1	1.00	ZS1	Vlastní tíha
KZ352	S Ch	ZS1 + ZS2 + 0.6*ZS10 + ZS12	2	1.00	ZS2	Stálé zatížení - Krytina+Podhled
			3	0.60	ZS10	Vítr - SÁNÍ/TLAK
			4	1.00	ZS12	Užitné zatížení - Kleštiny
			1	1.00	ZS1	Vlastní tíha
KZ353	S Ch	ZS1 + ZS2 + 0.6*ZS11 + ZS12	2	1.00	ZS2	Stálé zatížení - Krytina+Podhled
			3	0.60	ZS11	Vítr - TLAK/SÁNÍ
			4	1.00	ZS12	Užitné zatížení - Kleštiny
			1	1.00	ZS1	Vlastní tíha
KZ354	S Ch	ZS1 + 0.5*ZS4 + ZS12	1	1.00	ZS1	Vlastní tíha
			2	0.50	ZS4	Zatížení sněhem 1/1
			3	1.00	ZS12	Užitné zatížení - Kleštiny
KZ355	S Ch	ZS1 + 0.5*ZS5 + ZS12	1	1.00	ZS1	Vlastní tíha
			2	0.50	ZS5	Zatížení sněhem 1/2
			3	1.00	ZS12	Užitné zatížení - Kleštiny
KZ356	S Ch	ZS1 + 0.5*ZS7 + ZS12	1	1.00	ZS1	Vlastní tíha
			2	0.50	ZS7	Zatížení sněhem 2/1
			3	1.00	ZS12	Užitné zatížení - Kleštiny
KZ357	S Ch	ZS1 + 0.5*ZS4 + 0.6*ZS8 + ZS12	1	1.00	ZS1	Vlastní tíha
			2	0.50	ZS4	Zatížení sněhem 1/1
			3	0.60	ZS8	Vítr - TLAK
			4	1.00	ZS12	Užitné zatížení - Kleštiny
KZ358	S Ch	ZS1 + 0.5*ZS4 + 0.6*ZS9 + ZS12	1	1.00	ZS1	Vlastní tíha
			2	0.50	ZS4	Zatížení sněhem 1/1
			3	0.60	ZS9	Vítr - SÁNÍ
			4	1.00	ZS12	Užitné zatížení - Kleštiny
KZ359	S Ch	ZS1 + 0.5*ZS4 + 0.6*ZS10 + ZS12	1	1.00	ZS1	Vlastní tíha
			2	0.50	ZS4	Zatížení sněhem 1/1
			3	0.60	ZS10	Vítr - SÁNÍ/TLAK
			4	1.00	ZS12	Užitné zatížení - Kleštiny
KZ360	S Ch	ZS1 + 0.5*ZS4 + 0.6*ZS11 + ZS12	1	1.00	ZS1	Vlastní tíha
			2	0.50	ZS4	Zatížení sněhem 1/1
			3	0.60	ZS11	Vítr - TLAK/SÁNÍ
			4	1.00	ZS12	Užitné zatížení - Kleštiny
KZ361	S Ch	ZS1 + 0.5*ZS5 + 0.6*ZS8 + ZS12	1	1.00	ZS1	Vlastní tíha
			2	0.50	ZS5	Zatížení sněhem 1/2
			3	0.60	ZS8	Vítr - TLAK
			4	1.00	ZS12	Užitné zatížení - Kleštiny
KZ362	S Ch	ZS1 + 0.5*ZS5 + 0.6*ZS9 + ZS12	1	1.00	ZS1	Vlastní tíha
			2	0.50	ZS5	Zatížení sněhem 1/2
			3	0.60	ZS9	Vítr - SÁNÍ
			4	1.00	ZS12	Užitné zatížení - Kleštiny
KZ363	S Ch	ZS1 + 0.5*ZS5 + 0.6*ZS10 + ZS12	1	1.00	ZS1	Vlastní tíha
			2	0.50	ZS5	Zatížení sněhem 1/2
			3	0.60	ZS10	Vítr - SÁNÍ/TLAK
			4	1.00	ZS12	Užitné zatížení - Kleštiny
KZ364	S Ch	ZS1 + 0.5*ZS5 + 0.6*ZS11 + ZS12	1	1.00	ZS1	Vlastní tíha
			2	0.50	ZS5	Zatížení sněhem 1/2
			3	0.60	ZS11	Vítr - TLAK/SÁNÍ
			4	1.00	ZS12	Užitné zatížení - Kleštiny
KZ365	S Ch	ZS1 + 0.5*ZS7 + 0.6*ZS8 + ZS12	1	1.00	ZS1	Vlastní tíha
			2	0.50	ZS7	Zatížení sněhem 2/1
			3	0.60	ZS8	Vítr - TLAK
			4	1.00	ZS12	Užitné zatížení - Kleštiny
KZ366	S Ch	ZS1 + 0.5*ZS7 + 0.6*ZS9 + ZS12	1	1.00	ZS1	Vlastní tíha
			2	0.50	ZS7	Zatížení sněhem 2/1
			3	0.60	ZS9	Vítr - SÁNÍ
			4	1.00	ZS12	Užitné zatížení - Kleštiny
KZ367	S Ch	ZS1 + 0.5*ZS7 + 0.6*ZS10 + ZS12	1	1.00	ZS1	Vlastní tíha
			2	0.50	ZS7	Zatížení sněhem 2/1
			3	0.60	ZS10	Vítr - SÁNÍ/TLAK
			4	1.00	ZS12	Užitné zatížení - Kleštiny
KZ368	S Ch	ZS1 + 0.5*ZS7 + 0.6*ZS11 + ZS12	1	1.00	ZS1	Vlastní tíha
			2	0.50	ZS7	Zatížení sněhem 2/1
			3	0.60	ZS11	Vítr - TLAK/SÁNÍ
			4	1.00	ZS12	Užitné zatížení - Kleštiny
KZ369	S Ch	ZS1 + 0.6*ZS8 + ZS12	1	1.00	ZS1	Vlastní tíha
			2	0.60	ZS8	Vítr - TLAK
			3	1.00	ZS12	Užitné zatížení - Kleštiny
KZ370	S Ch	ZS1 + 0.6*ZS9 + ZS12	1	1.00	ZS1	Vlastní tíha
			2	0.60	ZS9	Vítr - SÁNÍ
			3	1.00	ZS12	Užitné zatížení - Kleštiny
KZ371	S Ch	ZS1 + 0.6*ZS10 + ZS12	1	1.00	ZS1	Vlastní tíha
			2	0.60	ZS10	Vítr - SÁNÍ/TLAK
			3	1.00	ZS12	Užitné zatížení - Kleštiny
KZ372	S Ch	ZS1 + 0.6*ZS11 + ZS12	1	1.00	ZS1	Vlastní tíha
			2	0.60	ZS11	Vítr - TLAK/SÁNÍ
			3	1.00	ZS12	Užitné zatížení - Kleštiny
KZ373	S Qp	1.8*ZS1	1	1.80	ZS1	Vlastní tíha
KZ374	S Qp	1.8*ZS1 + 1.8*ZS2	1	1.80	ZS1	Vlastní tíha
			2	1.80	ZS2	Stálé zatížení - Krytina+Podhled
KZ375	S Qp	1.8*ZS1 + ZS3	1	1.80	ZS1	Vlastní tíha
			2	1.00	ZS3	Užitné zatížení - střechy
KZ376	S Qp	1.8*ZS1 + 1.8*ZS2 + ZS3	1	1.80	ZS1	Vlastní tíha
			2	1.80	ZS2	Stálé zatížení - Krytina+Podhled
			3	1.00	ZS3	Užitné zatížení - střechy
KZ377	S Qp	1.8*ZS1 + 1.8*ZS2 + ZS3 + 0.6*ZS8	1	1.80	ZS1	Vlastní tíha
			2	1.80	ZS2	Stálé zatížení - Krytina+Podhled



Projekt: Diplomová práce

Model: Diplomová Práce -KROV

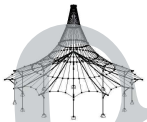
Datum: 17.04.2021

Stropní nosník

Konstrukce Krovu

2.5 KOMBINACE ZATÍŽENÍ

Kombin. zatížení	NS	Kombinace zatížení Označení	č.	Součinitel	Zatěžovací stav	
KZ378	S Qp	1.8*ZS1 + 1.8*ZS2 + ZS3 + 0.6*ZS9	3	1.00	ZS3	Užitné zatížení - střechy
			4	0.60	ZS8	Vítr - TLAK
			1	1.80	ZS1	Vlastní tíha
			2	1.80	ZS2	Stálé zatížení - Krytina+Podhled
KZ379	S Qp	1.8*ZS1 + 1.8*ZS2 + ZS3 + 0.6*ZS10	3	1.00	ZS3	Užitné zatížení - střechy
			4	0.60	ZS9	Vítr - SÁNÍ
			1	1.80	ZS1	Vlastní tíha
			2	1.80	ZS2	Stálé zatížení - Krytina+Podhled
KZ380	S Qp	1.8*ZS1 + 1.8*ZS2 + ZS3 + 0.6*ZS11	3	1.00	ZS3	Užitné zatížení - střechy
			4	0.60	ZS10	Vítr - SÁNÍ/TLAK
			1	1.80	ZS1	Vlastní tíha
			2	1.80	ZS2	Stálé zatížení - Krytina+Podhled
KZ381	S Qp	1.8*ZS1 + 1.8*ZS2 + ZS3 + 0.6*ZS8 + 1.24*ZS12	3	1.00	ZS3	Užitné zatížení - střechy
			4	0.60	ZS8	Vítr - TLAK
			1	1.80	ZS1	Vlastní tíha
			2	1.80	ZS2	Stálé zatížení - Krytina+Podhled
KZ382	S Qp	1.8*ZS1 + 1.8*ZS2 + ZS3 + 0.6*ZS9 + 1.24*ZS12	3	1.00	ZS3	Užitné zatížení - střechy
			4	0.60	ZS8	Vítr - TLAK
			5	1.24	ZS12	Užitné zatížení - Kleštiny
			1	1.80	ZS1	Vlastní tíha
			2	1.80	ZS2	Stálé zatížení - Krytina+Podhled
KZ383	S Qp	1.8*ZS1 + 1.8*ZS2 + ZS3 + 0.6*ZS10 + 1.24*ZS12	3	1.00	ZS3	Užitné zatížení - střechy
			4	0.60	ZS9	Vítr - SÁNÍ
			5	1.24	ZS12	Užitné zatížení - Kleštiny
			1	1.80	ZS1	Vlastní tíha
			2	1.80	ZS2	Stálé zatížení - Krytina+Podhled
KZ384	S Qp	1.8*ZS1 + 1.8*ZS2 + ZS3 + 0.6*ZS11 + 1.24*ZS12	3	1.00	ZS3	Užitné zatížení - střechy
			4	0.60	ZS10	Vítr - SÁNÍ/TLAK
			5	1.24	ZS12	Užitné zatížení - Kleštiny
			1	1.80	ZS1	Vlastní tíha
			2	1.80	ZS2	Stálé zatížení - Krytina+Podhled
KZ385	S Qp	1.8*ZS1 + 1.8*ZS2 + ZS3 + 1.24*ZS12	3	1.00	ZS3	Užitné zatížení - střechy
			4	0.60	ZS11	Vítr - TLAK/SÁNÍ
			5	1.24	ZS12	Užitné zatížení - Kleštiny
			1	1.80	ZS1	Vlastní tíha
			2	1.80	ZS2	Stálé zatížení - Krytina+Podhled
KZ386	S Qp	1.8*ZS1 + ZS3 + 0.6*ZS8	3	1.00	ZS3	Užitné zatížení - střechy
			4	1.24	ZS12	Užitné zatížení - Kleštiny
			1	1.80	ZS1	Vlastní tíha
			2	1.00	ZS3	Užitné zatížení - střechy
KZ387	S Qp	1.8*ZS1 + ZS3 + 0.6*ZS9	3	0.60	ZS8	Vítr - TLAK
			1	1.80	ZS1	Vlastní tíha
			2	1.00	ZS3	Užitné zatížení - střechy
			3	0.60	ZS9	Vítr - SÁNÍ
KZ388	S Qp	1.8*ZS1 + ZS3 + 0.6*ZS10	1	1.80	ZS1	Vlastní tíha
			2	1.00	ZS3	Užitné zatížení - střechy
			3	0.60	ZS10	Vítr - SÁNÍ/TLAK
			1	1.80	ZS1	Vlastní tíha
KZ389	S Qp	1.8*ZS1 + ZS3 + 0.6*ZS11	2	1.00	ZS3	Užitné zatížení - střechy
			3	0.60	ZS11	Vítr - TLAK/SÁNÍ
			1	1.80	ZS1	Vlastní tíha
			2	1.00	ZS3	Užitné zatížení - střechy
KZ390	S Qp	1.8*ZS1 + ZS3 + 0.6*ZS8 + 1.24*ZS12	3	0.60	ZS8	Vítr - TLAK
			1	1.80	ZS1	Vlastní tíha
			2	1.00	ZS3	Užitné zatížení - střechy
			3	0.60	ZS8	Vítr - TLAK
KZ391	S Qp	1.8*ZS1 + ZS3 + 0.6*ZS9 + 1.24*ZS12	4	1.24	ZS12	Užitné zatížení - Kleštiny
			1	1.80	ZS1	Vlastní tíha
			2	1.00	ZS3	Užitné zatížení - střechy
			3	0.60	ZS9	Vítr - SÁNÍ
KZ392	S Qp	1.8*ZS1 + ZS3 + 0.6*ZS10 + 1.24*ZS12	4	1.24	ZS12	Užitné zatížení - Kleštiny
			1	1.80	ZS1	Vlastní tíha
			2	1.00	ZS3	Užitné zatížení - střechy
			3	0.60	ZS10	Vítr - SÁNÍ/TLAK
KZ393	S Qp	1.8*ZS1 + ZS3 + 0.6*ZS11 + 1.24*ZS12	4	1.24	ZS12	Užitné zatížení - Kleštiny
			1	1.80	ZS1	Vlastní tíha
			2	1.00	ZS3	Užitné zatížení - střechy
			3	0.60	ZS11	Vítr - TLAK/SÁNÍ
KZ394	S Qp	1.8*ZS1 + ZS3 + 1.24*ZS12	4	1.24	ZS12	Užitné zatížení - Kleštiny
			1	1.80	ZS1	Vlastní tíha
			2	1.00	ZS3	Užitné zatížení - střechy
			3	1.24	ZS12	Užitné zatížení - Kleštiny
KZ395	S Qp	1.8*ZS1 + ZS4	1	1.80	ZS1	Vlastní tíha
			2	1.00	ZS4	Zatížení sněhem 1/1
KZ396	S Qp	1.8*ZS1 + ZS5	1	1.80	ZS1	Vlastní tíha
			2	1.00	ZS5	Zatížení sněhem 1/2
KZ397	S Qp	1.8*ZS1 + ZS7	1	1.80	ZS1	Vlastní tíha
			2	1.00	ZS7	Zatížení sněhem 2/1
KZ398	S Qp	1.8*ZS1 + 1.8*ZS2 + ZS4	1	1.80	ZS1	Vlastní tíha
			2	1.80	ZS2	Stálé zatížení - Krytina+Podhled
			3	1.00	ZS4	Zatížení sněhem 1/1
KZ399	S Qp	1.8*ZS1 + 1.8*ZS2 + ZS5	1	1.80	ZS1	Vlastní tíha
			2	1.80	ZS2	Stálé zatížení - Krytina+Podhled
			3	1.00	ZS5	Zatížení sněhem 1/2
			1	1.80	ZS1	Vlastní tíha
KZ400	S Qp	1.8*ZS1 + 1.8*ZS2 + ZS7	2	1.80	ZS2	Stálé zatížení - Krytina+Podhled
			3	1.00	ZS7	Zatížení sněhem 2/1
			1	1.80	ZS1	Vlastní tíha
KZ401	S Qp	1.8*ZS1 + 1.8*ZS2 + ZS4 + 0.6*ZS8	2	1.80	ZS2	Stálé zatížení - Krytina+Podhled
			3	1.00	ZS4	Zatížení sněhem 1/1
			4	0.60	ZS8	Vítr - TLAK
			1	1.80	ZS1	Vlastní tíha
KZ402	S Qp	1.8*ZS1 + 1.8*ZS2 + ZS4 + 0.6*ZS9	1	1.80	ZS1	Vlastní tíha
			2	1.80	ZS2	Stálé zatížení - Krytina+Podhled



Projekt: Diplomová práce

Model: Diplomová Práce -KROV

Datum: 17.04.2021

Stropní nosník

Konstrukce Krovu

2.5 KOMBINACE ZATÍŽENÍ

Kombin. zatížení	NS	Kombinace zatížení Označení	č.	Součinitel	Zatěžovací stav	
					ZS	Stav
KZ403	S Qp	1.8*ZS1 + 1.8*ZS2 + ZS4 + 0.6*ZS10	3	1.00	ZS4	Zatížení sněhem 1/1
			4	0.60	ZS9	Vítr - SÁNÍ
			1	1.80	ZS1	Vlastní tíha
			2	1.80	ZS2	Stálé zatížení - Krytina+Podhled
KZ404	S Qp	1.8*ZS1 + 1.8*ZS2 + ZS4 + 0.6*ZS11	3	1.00	ZS4	Zatížení sněhem 1/1
			4	0.60	ZS10	Vítr - SÁNÍ/TLAK
			1	1.80	ZS1	Vlastní tíha
			2	1.80	ZS2	Stálé zatížení - Krytina+Podhled
KZ405	S Qp	1.8*ZS1 + 1.8*ZS2 + ZS5 + 0.6*ZS8	3	1.00	ZS5	Zatížení sněhem 1/2
			4	0.60	ZS8	Vítr - TLAK
			1	1.80	ZS1	Vlastní tíha
			2	1.80	ZS2	Stálé zatížení - Krytina+Podhled
KZ406	S Qp	1.8*ZS1 + 1.8*ZS2 + ZS5 + 0.6*ZS9	3	1.00	ZS5	Zatížení sněhem 1/2
			4	0.60	ZS9	Vítr - SÁNÍ
			1	1.80	ZS1	Vlastní tíha
			2	1.80	ZS2	Stálé zatížení - Krytina+Podhled
KZ407	S Qp	1.8*ZS1 + 1.8*ZS2 + ZS5 + 0.6*ZS10	3	1.00	ZS5	Zatížení sněhem 1/2
			4	0.60	ZS10	Vítr - SÁNÍ/TLAK
			1	1.80	ZS1	Vlastní tíha
			2	1.80	ZS2	Stálé zatížení - Krytina+Podhled
KZ408	S Qp	1.8*ZS1 + 1.8*ZS2 + ZS5 + 0.6*ZS11	3	1.00	ZS5	Zatížení sněhem 1/2
			4	0.60	ZS11	Vítr - TLAK/SÁNÍ
			1	1.80	ZS1	Vlastní tíha
			2	1.80	ZS2	Stálé zatížení - Krytina+Podhled
KZ409	S Qp	1.8*ZS1 + 1.8*ZS2 + ZS7 + 0.6*ZS8	3	1.00	ZS7	Zatížení sněhem 2/1
			4	0.60	ZS8	Vítr - TLAK
			1	1.80	ZS1	Vlastní tíha
			2	1.80	ZS2	Stálé zatížení - Krytina+Podhled
KZ410	S Qp	1.8*ZS1 + 1.8*ZS2 + ZS7 + 0.6*ZS9	3	1.00	ZS7	Zatížení sněhem 2/1
			4	0.60	ZS9	Vítr - SÁNÍ
			1	1.80	ZS1	Vlastní tíha
			2	1.80	ZS2	Stálé zatížení - Krytina+Podhled
KZ411	S Qp	1.8*ZS1 + 1.8*ZS2 + ZS7 + 0.6*ZS10	3	1.00	ZS7	Zatížení sněhem 2/1
			4	0.60	ZS10	Vítr - SÁNÍ/TLAK
			1	1.80	ZS1	Vlastní tíha
			2	1.80	ZS2	Stálé zatížení - Krytina+Podhled
KZ412	S Qp	1.8*ZS1 + 1.8*ZS2 + ZS7 + 0.6*ZS11	3	1.00	ZS7	Zatížení sněhem 2/1
			4	0.60	ZS11	Vítr - TLAK/SÁNÍ
			1	1.80	ZS1	Vlastní tíha
			2	1.80	ZS2	Stálé zatížení - Krytina+Podhled
KZ413	S Qp	1.8*ZS1 + 1.8*ZS2 + ZS4 + 0.6*ZS8 + 0.94*ZS12	1	1.80	ZS1	Vlastní tíha
			2	1.80	ZS2	Stálé zatížení - Krytina+Podhled
			3	1.00	ZS4	Zatížení sněhem 1/1
			4	0.60	ZS8	Vítr - TLAK
			5	0.94	ZS12	Užitné zatížení - Kleštiny
KZ414	S Qp	1.8*ZS1 + 1.8*ZS2 + ZS4 + 0.6*ZS9 + 0.94*ZS12	1	1.80	ZS1	Vlastní tíha
			2	1.80	ZS2	Stálé zatížení - Krytina+Podhled
			3	1.00	ZS4	Zatížení sněhem 1/1
			4	0.60	ZS9	Vítr - SÁNÍ
			5	0.94	ZS12	Užitné zatížení - Kleštiny
KZ415	S Qp	1.8*ZS1 + 1.8*ZS2 + ZS4 + 0.6*ZS10 + 0.94*ZS12	1	1.80	ZS1	Vlastní tíha
			2	1.80	ZS2	Stálé zatížení - Krytina+Podhled
			3	1.00	ZS4	Zatížení sněhem 1/1
			4	0.60	ZS10	Vítr - SÁNÍ/TLAK
			5	0.94	ZS12	Užitné zatížení - Kleštiny
KZ416	S Qp	1.8*ZS1 + 1.8*ZS2 + ZS4 + 0.6*ZS11 + 0.94*ZS12	1	1.80	ZS1	Vlastní tíha
			2	1.80	ZS2	Stálé zatížení - Krytina+Podhled
			3	1.00	ZS4	Zatížení sněhem 1/1
			4	0.60	ZS11	Vítr - TLAK/SÁNÍ
			5	0.94	ZS12	Užitné zatížení - Kleštiny
KZ417	S Qp	1.8*ZS1 + 1.8*ZS2 + ZS5 + 0.6*ZS8 + 0.94*ZS12	1	1.80	ZS1	Vlastní tíha
			2	1.80	ZS2	Stálé zatížení - Krytina+Podhled
			3	1.00	ZS5	Zatížení sněhem 1/2
			4	0.60	ZS8	Vítr - TLAK
			5	0.94	ZS12	Užitné zatížení - Kleštiny
KZ418	S Qp	1.8*ZS1 + 1.8*ZS2 + ZS5 + 0.6*ZS9 + 0.94*ZS12	1	1.80	ZS1	Vlastní tíha
			2	1.80	ZS2	Stálé zatížení - Krytina+Podhled
			3	1.00	ZS5	Zatížení sněhem 1/2
			4	0.60	ZS9	Vítr - SÁNÍ
			5	0.94	ZS12	Užitné zatížení - Kleštiny
KZ419	S Qp	1.8*ZS1 + 1.8*ZS2 + ZS5 + 0.6*ZS10 + 0.94*ZS12	1	1.80	ZS1	Vlastní tíha
			2	1.80	ZS2	Stálé zatížení - Krytina+Podhled
			3	1.00	ZS5	Zatížení sněhem 1/2
			4	0.60	ZS10	Vítr - SÁNÍ/TLAK
			5	0.94	ZS12	Užitné zatížení - Kleštiny
KZ420	S Qp	1.8*ZS1 + 1.8*ZS2 + ZS5 + 0.6*ZS11 + 0.94*ZS12	1	1.80	ZS1	Vlastní tíha
			2	1.80	ZS2	Stálé zatížení - Krytina+Podhled
			3	1.00	ZS5	Zatížení sněhem 1/2
			4	0.60	ZS11	Vítr - TLAK/SÁNÍ
			5	0.94	ZS12	Užitné zatížení - Kleštiny
KZ421	S Qp	1.8*ZS1 + 1.8*ZS2 + ZS7 + 0.6*ZS8 + 0.94*ZS12	1	1.80	ZS1	Vlastní tíha
			2	1.80	ZS2	Stálé zatížení - Krytina+Podhled
			3	1.00	ZS7	Zatížení sněhem 2/1

ZATÍŽENÍ

Projekt: Diplomová práce

Model: Diplomová Práce -KROV

Datum: 17.04.2021

Stropní nosník

Konstrukce Krovu

2.5 KOMBINACE ZATÍŽENÍ

Kombin. zatížení	NS	Kombinace zatížení Označení	č.	Součinitel	Zatěžovací stav	
					ZS	Vitr
KZ422	S Qp	$1.8 \cdot ZS1 + 1.8 \cdot ZS2 + ZS7 + 0.6 \cdot ZS9 + 0.94 \cdot ZS12$	4	0.60	ZS8	Vitr - TLAK
			5	0.94	ZS12	Užitné zatížení - Kleštiny
			1	1.80	ZS1	Vlastní tíha
			2	1.80	ZS2	Stálé zatížení - Krytina+Podhled
			3	1.00	ZS7	Zatížení sněhem 2/1
KZ423	S Qp	$1.8 \cdot ZS1 + 1.8 \cdot ZS2 + ZS7 + 0.6 \cdot ZS10 + 0.94 \cdot ZS12$	4	0.60	ZS9	Vitr - SÁNÍ
			5	0.94	ZS12	Užitné zatížení - Kleštiny
			1	1.80	ZS1	Vlastní tíha
			2	1.80	ZS2	Stálé zatížení - Krytina+Podhled
			3	1.00	ZS7	Zatížení sněhem 2/1
KZ424	S Qp	$1.8 \cdot ZS1 + 1.8 \cdot ZS2 + ZS7 + 0.6 \cdot ZS11 + 0.94 \cdot ZS12$	4	0.60	ZS10	Vitr - SÁNÍ/TLAK
			5	0.94	ZS12	Užitné zatížení - Kleštiny
			1	1.80	ZS1	Vlastní tíha
			2	1.80	ZS2	Stálé zatížení - Krytina+Podhled
			3	1.00	ZS7	Zatížení sněhem 2/1
KZ425	S Qp	$1.8 \cdot ZS1 + 1.8 \cdot ZS2 + ZS4 + 0.94 \cdot ZS12$	4	0.60	ZS11	Vitr - TLAK/SÁNÍ
			5	0.94	ZS12	Užitné zatížení - Kleštiny
			1	1.80	ZS1	Vlastní tíha
			2	1.80	ZS2	Stálé zatížení - Krytina+Podhled
			3	1.00	ZS4	Zatížení sněhem 1/1
KZ426	S Qp	$1.8 \cdot ZS1 + 1.8 \cdot ZS2 + ZS5 + 0.94 \cdot ZS12$	4	0.94	ZS12	Užitné zatížení - Kleštiny
			1	1.80	ZS1	Vlastní tíha
			2	1.80	ZS2	Stálé zatížení - Krytina+Podhled
			3	1.00	ZS5	Zatížení sněhem 1/2
			4	0.94	ZS12	Užitné zatížení - Kleštiny
KZ427	S Qp	$1.8 \cdot ZS1 + 1.8 \cdot ZS2 + ZS7 + 0.94 \cdot ZS12$	1	1.80	ZS1	Vlastní tíha
			2	1.80	ZS2	Stálé zatížení - Krytina+Podhled
			3	1.00	ZS7	Zatížení sněhem 2/1
			4	0.94	ZS12	Užitné zatížení - Kleštiny
			1	1.80	ZS1	Vlastní tíha
KZ428	S Qp	$1.8 \cdot ZS1 + ZS4 + 0.6 \cdot ZS8$	1	1.80	ZS1	Vlastní tíha
			2	1.00	ZS4	Zatížení sněhem 1/1
			3	0.60	ZS8	Vitr - TLAK
KZ429	S Qp	$1.8 \cdot ZS1 + ZS4 + 0.6 \cdot ZS9$	1	1.80	ZS1	Vlastní tíha
			2	1.00	ZS4	Zatížení sněhem 1/1
			3	0.60	ZS9	Vitr - SÁNÍ
KZ430	S Qp	$1.8 \cdot ZS1 + ZS4 + 0.6 \cdot ZS10$	1	1.80	ZS1	Vlastní tíha
			2	1.00	ZS4	Zatížení sněhem 1/1
			3	0.60	ZS10	Vitr - SÁNÍ/TLAK
KZ431	S Qp	$1.8 \cdot ZS1 + ZS4 + 0.6 \cdot ZS11$	1	1.80	ZS1	Vlastní tíha
			2	1.00	ZS4	Zatížení sněhem 1/1
			3	0.60	ZS11	Vitr - TLAK/SÁNÍ
KZ432	S Qp	$1.8 \cdot ZS1 + ZS5 + 0.6 \cdot ZS8$	1	1.80	ZS1	Vlastní tíha
			2	1.00	ZS5	Zatížení sněhem 1/2
			3	0.60	ZS8	Vitr - TLAK
KZ433	S Qp	$1.8 \cdot ZS1 + ZS5 + 0.6 \cdot ZS9$	1	1.80	ZS1	Vlastní tíha
			2	1.00	ZS5	Zatížení sněhem 1/2
			3	0.60	ZS9	Vitr - SÁNÍ
KZ434	S Qp	$1.8 \cdot ZS1 + ZS5 + 0.6 \cdot ZS10$	1	1.80	ZS1	Vlastní tíha
			2	1.00	ZS5	Zatížení sněhem 1/2
			3	0.60	ZS10	Vitr - SÁNÍ/TLAK
KZ435	S Qp	$1.8 \cdot ZS1 + ZS5 + 0.6 \cdot ZS11$	1	1.80	ZS1	Vlastní tíha
			2	1.00	ZS5	Zatížení sněhem 1/2
			3	0.60	ZS11	Vitr - TLAK/SÁNÍ
KZ436	S Qp	$1.8 \cdot ZS1 + ZS7 + 0.6 \cdot ZS8$	1	1.80	ZS1	Vlastní tíha
			2	1.00	ZS7	Zatížení sněhem 2/1
			3	0.60	ZS8	Vitr - TLAK
KZ437	S Qp	$1.8 \cdot ZS1 + ZS7 + 0.6 \cdot ZS9$	1	1.80	ZS1	Vlastní tíha
			2	1.00	ZS7	Zatížení sněhem 2/1
			3	0.60	ZS9	Vitr - SÁNÍ
KZ438	S Qp	$1.8 \cdot ZS1 + ZS7 + 0.6 \cdot ZS10$	1	1.80	ZS1	Vlastní tíha
			2	1.00	ZS7	Zatížení sněhem 2/1
			3	0.60	ZS10	Vitr - SÁNÍ/TLAK
KZ439	S Qp	$1.8 \cdot ZS1 + ZS7 + 0.6 \cdot ZS11$	1	1.80	ZS1	Vlastní tíha
			2	1.00	ZS7	Zatížení sněhem 2/1
			3	0.60	ZS11	Vitr - TLAK/SÁNÍ
KZ440	S Qp	$1.8 \cdot ZS1 + ZS4 + 0.6 \cdot ZS8 + 0.94 \cdot ZS12$	1	1.80	ZS1	Vlastní tíha
			2	1.00	ZS4	Zatížení sněhem 1/1
			3	0.60	ZS8	Vitr - TLAK
			4	0.94	ZS12	Užitné zatížení - Kleštiny
KZ441	S Qp	$1.8 \cdot ZS1 + ZS4 + 0.6 \cdot ZS9 + 0.94 \cdot ZS12$	1	1.80	ZS1	Vlastní tíha
			2	1.00	ZS4	Zatížení sněhem 1/1
			3	0.60	ZS9	Vitr - SÁNÍ
			4	0.94	ZS12	Užitné zatížení - Kleštiny
KZ442	S Qp	$1.8 \cdot ZS1 + ZS4 + 0.6 \cdot ZS10 + 0.94 \cdot ZS12$	1	1.80	ZS1	Vlastní tíha
			2	1.00	ZS4	Zatížení sněhem 1/1
			3	0.60	ZS10	Vitr - SÁNÍ/TLAK
			4	0.94	ZS12	Užitné zatížení - Kleštiny
KZ443	S Qp	$1.8 \cdot ZS1 + ZS4 + 0.6 \cdot ZS11 + 0.94 \cdot ZS12$	1	1.80	ZS1	Vlastní tíha
			2	1.00	ZS4	Zatížení sněhem 1/1
			3	0.60	ZS11	Vitr - TLAK/SÁNÍ
			4	0.94	ZS12	Užitné zatížení - Kleštiny
KZ444	S Qp	$1.8 \cdot ZS1 + ZS5 + 0.6 \cdot ZS8 + 0.94 \cdot ZS12$	1	1.80	ZS1	Vlastní tíha
			2	1.00	ZS5	Zatížení sněhem 1/2
			3	0.60	ZS8	Vitr - TLAK
			4	0.94	ZS12	Užitné zatížení - Kleštiny
KZ445	S Qp	$1.8 \cdot ZS1 + ZS5 + 0.6 \cdot ZS9 + 0.94 \cdot ZS12$	1	1.80	ZS1	Vlastní tíha
			2	1.00	ZS5	Zatížení sněhem 1/2
			3	0.60	ZS9	Vitr - SÁNÍ
			4	0.94	ZS12	Užitné zatížení - Kleštiny
KZ446	S Qp	$1.8 \cdot ZS1 + ZS5 + 0.6 \cdot ZS10 + 0.94 \cdot ZS12$	1	1.80	ZS1	Vlastní tíha
			2	1.00	ZS5	Zatížení sněhem 1/2



Projekt: Diplomová práce

Model: Diplomová Práce -KROV

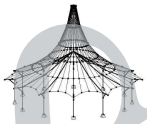
Datum: 17.04.2021

Stropní nosník

Konstrukce Krovu

2.5 KOMBINACE ZATÍŽENÍ

Kombin. zatížení	NS	Kombinace zatížení Označení	č.	Součinitel	Zatěžovací stav	
					ZS10	Vitr - SÁNÍ/TLAK
KZ447	S Qp	1.8*ZS1 + ZS5 + 0.6*ZS11 + 0.94*ZS12	3	0.60	ZS10	Vitr - SÁNÍ/TLAK
			4	0.94	ZS12	Užitné zatížení - Kleštiny
			1	1.80	ZS1	Vlastní tíha
			2	1.00	ZS5	Zatížení sněhem 1/2
KZ448	S Qp	1.8*ZS1 + ZS7 + 0.6*ZS8 + 0.94*ZS12	3	0.60	ZS11	Vitr - TLAK/SÁNÍ
			4	0.94	ZS12	Užitné zatížení - Kleštiny
			1	1.80	ZS1	Vlastní tíha
			2	1.00	ZS7	Zatížení sněhem 2/1
KZ449	S Qp	1.8*ZS1 + ZS7 + 0.6*ZS9 + 0.94*ZS12	3	0.60	ZS8	Vitr - TLAK
			4	0.94	ZS12	Užitné zatížení - Kleštiny
			1	1.80	ZS1	Vlastní tíha
			2	1.00	ZS7	Zatížení sněhem 2/1
KZ450	S Qp	1.8*ZS1 + ZS7 + 0.6*ZS10 + 0.94*ZS12	3	0.60	ZS9	Vitr - SÁNÍ
			4	0.94	ZS12	Užitné zatížení - Kleštiny
			1	1.80	ZS1	Vlastní tíha
			2	1.00	ZS7	Zatížení sněhem 2/1
KZ451	S Qp	1.8*ZS1 + ZS7 + 0.6*ZS11 + 0.94*ZS12	3	0.60	ZS10	Vitr - SÁNÍ/TLAK
			4	0.94	ZS12	Užitné zatížení - Kleštiny
			1	1.80	ZS1	Vlastní tíha
			2	1.00	ZS7	Zatížení sněhem 2/1
KZ452	S Qp	1.8*ZS1 + ZS4 + 0.94*ZS12	3	0.60	ZS11	Vitr - TLAK/SÁNÍ
			4	0.94	ZS12	Užitné zatížení - Kleštiny
			1	1.80	ZS1	Vlastní tíha
			2	1.00	ZS4	Zatížení sněhem 1/1
KZ453	S Qp	1.8*ZS1 + ZS5 + 0.94*ZS12	3	0.94	ZS12	Užitné zatížení - Kleštiny
			1	1.80	ZS1	Vlastní tíha
			2	1.00	ZS5	Zatížení sněhem 1/2
KZ454	S Qp	1.8*ZS1 + ZS7 + 0.94*ZS12	3	0.94	ZS12	Užitné zatížení - Kleštiny
			1	1.80	ZS1	Vlastní tíha
			2	1.00	ZS7	Zatížení sněhem 2/1
KZ455	S Qp	1.8*ZS1 + ZS8	3	0.94	ZS12	Užitné zatížení - Kleštiny
			1	1.80	ZS1	Vlastní tíha
			2	1.00	ZS8	Vitr - TLAK
KZ456	S Qp	1.8*ZS1 + ZS9	1	1.80	ZS1	Vlastní tíha
			2	1.00	ZS9	Vitr - SÁNÍ
KZ457	S Qp	1.8*ZS1 + ZS10	1	1.80	ZS1	Vlastní tíha
			2	1.00	ZS10	Vitr - SÁNÍ/TLAK
KZ458	S Qp	1.8*ZS1 + ZS11	1	1.80	ZS1	Vlastní tíha
			2	1.00	ZS11	Vitr - TLAK/SÁNÍ
KZ459	S Qp	1.8*ZS1 + 1.8*ZS2 + ZS8	1	1.80	ZS1	Vlastní tíha
			2	1.80	ZS2	Stálé zatížení - Krytina+Podhled
			3	1.00	ZS8	Vitr - TLAK
KZ460	S Qp	1.8*ZS1 + 1.8*ZS2 + ZS9	1	1.80	ZS1	Vlastní tíha
			2	1.80	ZS2	Stálé zatížení - Krytina+Podhled
			3	1.00	ZS9	Vitr - SÁNÍ
KZ461	S Qp	1.8*ZS1 + 1.8*ZS2 + ZS10	1	1.80	ZS1	Vlastní tíha
			2	1.80	ZS2	Stálé zatížení - Krytina+Podhled
			3	1.00	ZS10	Vitr - SÁNÍ/TLAK
KZ462	S Qp	1.8*ZS1 + 1.8*ZS2 + ZS11	1	1.80	ZS1	Vlastní tíha
			2	1.80	ZS2	Stálé zatížení - Krytina+Podhled
			3	1.00	ZS11	Vitr - TLAK/SÁNÍ
KZ463	S Qp	1.8*ZS1 + 1.8*ZS2 + 0.5*ZS4 + ZS8	1	1.80	ZS1	Vlastní tíha
			2	1.80	ZS2	Stálé zatížení - Krytina+Podhled
			3	0.50	ZS4	Zatížení sněhem 1/1
			4	1.00	ZS8	Vitr - TLAK
KZ464	S Qp	1.8*ZS1 + 1.8*ZS2 + 0.5*ZS4 + ZS9	1	1.80	ZS1	Vlastní tíha
			2	1.80	ZS2	Stálé zatížení - Krytina+Podhled
			3	0.50	ZS4	Zatížení sněhem 1/1
			4	1.00	ZS9	Vitr - SÁNÍ
KZ465	S Qp	1.8*ZS1 + 1.8*ZS2 + 0.5*ZS4 + ZS10	1	1.80	ZS1	Vlastní tíha
			2	1.80	ZS2	Stálé zatížení - Krytina+Podhled
			3	0.50	ZS4	Zatížení sněhem 1/1
			4	1.00	ZS10	Vitr - SÁNÍ/TLAK
KZ466	S Qp	1.8*ZS1 + 1.8*ZS2 + 0.5*ZS4 + ZS11	1	1.80	ZS1	Vlastní tíha
			2	1.80	ZS2	Stálé zatížení - Krytina+Podhled
			3	0.50	ZS4	Zatížení sněhem 1/1
			4	1.00	ZS11	Vitr - TLAK/SÁNÍ
KZ467	S Qp	1.8*ZS1 + 1.8*ZS2 + 0.5*ZS5 + ZS8	1	1.80	ZS1	Vlastní tíha
			2	1.80	ZS2	Stálé zatížení - Krytina+Podhled
			3	0.50	ZS5	Zatížení sněhem 1/2
			4	1.00	ZS8	Vitr - TLAK
KZ468	S Qp	1.8*ZS1 + 1.8*ZS2 + 0.5*ZS5 + ZS9	1	1.80	ZS1	Vlastní tíha
			2	1.80	ZS2	Stálé zatížení - Krytina+Podhled
			3	0.50	ZS5	Zatížení sněhem 1/2
			4	1.00	ZS9	Vitr - SÁNÍ
KZ469	S Qp	1.8*ZS1 + 1.8*ZS2 + 0.5*ZS5 + ZS10	1	1.80	ZS1	Vlastní tíha
			2	1.80	ZS2	Stálé zatížení - Krytina+Podhled
			3	0.50	ZS5	Zatížení sněhem 1/2
			4	1.00	ZS10	Vitr - SÁNÍ/TLAK
KZ470	S Qp	1.8*ZS1 + 1.8*ZS2 + 0.5*ZS5 + ZS11	1	1.80	ZS1	Vlastní tíha
			2	1.80	ZS2	Stálé zatížení - Krytina+Podhled
			3	0.50	ZS5	Zatížení sněhem 1/2
			4	1.00	ZS11	Vitr - TLAK/SÁNÍ
KZ471	S Qp	1.8*ZS1 + 1.8*ZS2 + 0.5*ZS7 + ZS8	1	1.80	ZS1	Vlastní tíha
			2	1.80	ZS2	Stálé zatížení - Krytina+Podhled
			3	0.50	ZS7	Zatížení sněhem 2/1
			4	1.00	ZS8	Vitr - TLAK
KZ472	S Qp	1.8*ZS1 + 1.8*ZS2 + 0.5*ZS7 + ZS9	1	1.80	ZS1	Vlastní tíha
			2	1.80	ZS2	Stálé zatížení - Krytina+Podhled
			3	0.50	ZS7	Zatížení sněhem 2/1
			4	1.00	ZS9	Vitr - SÁNÍ
KZ473	S Qp	1.8*ZS1 + 1.8*ZS2 + 0.5*ZS7 + ZS10	1	1.80	ZS1	Vlastní tíha
			2	1.80	ZS2	Stálé zatížení - Krytina+Podhled
			3	0.50	ZS7	Zatížení sněhem 2/1



Projekt: Diplomová práce

Model: Diplomová Práce -KROV

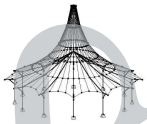
Datum: 17.04.2021

Stropní nosník

Konstrukce Krovu

2.5 KOMBINACE ZATÍŽENÍ

Kombin. zatížení	NS	Kombinace zatížení Označení	č.	Součinitel	Zatěžovací stav	
					ZS	Vl. t.
KZ474	S Qp	1.8*ZS1 + 1.8*ZS2 + 0.5*ZS7 + ZS11	4	1.00	ZS10	Vl. t. - SÁNÍ/TLAK
			1	1.80	ZS1	Vlastní tíha
			2	1.80	ZS2	Stálé zatížení - Krytina+Podhled
			3	0.50	ZS7	Zatížení sněhem 2/1
KZ475	S Qp	1.8*ZS1 + 1.8*ZS2 + 0.5*ZS4 + ZS8 + 0.94*ZS12	4	1.00	ZS11	Vl. t. - TLAK/SÁNÍ
			1	1.80	ZS1	Vlastní tíha
			2	1.80	ZS2	Stálé zatížení - Krytina+Podhled
			3	0.50	ZS4	Zatížení sněhem 1/1
			4	1.00	ZS8	Vl. t. - TLAK
KZ476	S Qp	1.8*ZS1 + 1.8*ZS2 + 0.5*ZS4 + ZS9 + 0.94*ZS12	5	0.94	ZS12	Užitné zatížení - Kleštiny
			1	1.80	ZS1	Vlastní tíha
			2	1.80	ZS2	Stálé zatížení - Krytina+Podhled
			3	0.50	ZS4	Zatížení sněhem 1/1
			4	1.00	ZS9	Vl. t. - SÁNÍ
KZ477	S Qp	1.8*ZS1 + 1.8*ZS2 + 0.5*ZS4 + ZS10 + 0.94*ZS12	5	0.94	ZS12	Užitné zatížení - Kleštiny
			1	1.80	ZS1	Vlastní tíha
			2	1.80	ZS2	Stálé zatížení - Krytina+Podhled
			3	0.50	ZS4	Zatížení sněhem 1/1
			4	1.00	ZS10	Vl. t. - SÁNÍ/TLAK
KZ478	S Qp	1.8*ZS1 + 1.8*ZS2 + 0.5*ZS4 + ZS11 + 0.94*ZS12	5	0.94	ZS12	Užitné zatížení - Kleštiny
			1	1.80	ZS1	Vlastní tíha
			2	1.80	ZS2	Stálé zatížení - Krytina+Podhled
			3	0.50	ZS4	Zatížení sněhem 1/1
			4	1.00	ZS11	Vl. t. - TLAK/SÁNÍ
KZ479	S Qp	1.8*ZS1 + 1.8*ZS2 + 0.5*ZS5 + ZS8 + 0.94*ZS12	5	0.94	ZS12	Užitné zatížení - Kleštiny
			1	1.80	ZS1	Vlastní tíha
			2	1.80	ZS2	Stálé zatížení - Krytina+Podhled
			3	0.50	ZS5	Zatížení sněhem 1/2
			4	1.00	ZS8	Vl. t. - TLAK
KZ480	S Qp	1.8*ZS1 + 1.8*ZS2 + 0.5*ZS5 + ZS9 + 0.94*ZS12	5	0.94	ZS12	Užitné zatížení - Kleštiny
			1	1.80	ZS1	Vlastní tíha
			2	1.80	ZS2	Stálé zatížení - Krytina+Podhled
			3	0.50	ZS5	Zatížení sněhem 1/2
			4	1.00	ZS9	Vl. t. - SÁNÍ
KZ481	S Qp	1.8*ZS1 + 1.8*ZS2 + 0.5*ZS5 + ZS10 + 0.94*ZS12	5	0.94	ZS12	Užitné zatížení - Kleštiny
			1	1.80	ZS1	Vlastní tíha
			2	1.80	ZS2	Stálé zatížení - Krytina+Podhled
			3	0.50	ZS5	Zatížení sněhem 1/2
			4	1.00	ZS10	Vl. t. - SÁNÍ/TLAK
KZ482	S Qp	1.8*ZS1 + 1.8*ZS2 + 0.5*ZS5 + ZS11 + 0.94*ZS12	5	0.94	ZS12	Užitné zatížení - Kleštiny
			1	1.80	ZS1	Vlastní tíha
			2	1.80	ZS2	Stálé zatížení - Krytina+Podhled
			3	0.50	ZS5	Zatížení sněhem 1/2
			4	1.00	ZS11	Vl. t. - TLAK/SÁNÍ
KZ483	S Qp	1.8*ZS1 + 1.8*ZS2 + 0.5*ZS7 + ZS8 + 0.94*ZS12	5	0.94	ZS12	Užitné zatížení - Kleštiny
			1	1.80	ZS1	Vlastní tíha
			2	1.80	ZS2	Stálé zatížení - Krytina+Podhled
			3	0.50	ZS7	Zatížení sněhem 2/1
			4	1.00	ZS8	Vl. t. - TLAK
KZ484	S Qp	1.8*ZS1 + 1.8*ZS2 + 0.5*ZS7 + ZS9 + 0.94*ZS12	5	0.94	ZS12	Užitné zatížení - Kleštiny
			1	1.80	ZS1	Vlastní tíha
			2	1.80	ZS2	Stálé zatížení - Krytina+Podhled
			3	0.50	ZS7	Zatížení sněhem 2/1
			4	1.00	ZS9	Vl. t. - SÁNÍ
KZ485	S Qp	1.8*ZS1 + 1.8*ZS2 + 0.5*ZS7 + ZS10 + 0.94*ZS12	5	0.94	ZS12	Užitné zatížení - Kleštiny
			1	1.80	ZS1	Vlastní tíha
			2	1.80	ZS2	Stálé zatížení - Krytina+Podhled
			3	0.50	ZS7	Zatížení sněhem 2/1
			4	1.00	ZS10	Vl. t. - SÁNÍ/TLAK
KZ486	S Qp	1.8*ZS1 + 1.8*ZS2 + 0.5*ZS7 + ZS11 + 0.94*ZS12	5	0.94	ZS12	Užitné zatížení - Kleštiny
			1	1.80	ZS1	Vlastní tíha
			2	1.80	ZS2	Stálé zatížení - Krytina+Podhled
			3	0.50	ZS7	Zatížení sněhem 2/1
			4	1.00	ZS11	Vl. t. - TLAK/SÁNÍ
KZ487	S Qp	1.8*ZS1 + 1.8*ZS2 + ZS8 + 0.94*ZS12	5	0.94	ZS12	Užitné zatížení - Kleštiny
			1	1.80	ZS1	Vlastní tíha
			2	1.80	ZS2	Stálé zatížení - Krytina+Podhled
			3	1.00	ZS8	Vl. t. - TLAK
			4	0.94	ZS12	Užitné zatížení - Kleštiny
KZ488	S Qp	1.8*ZS1 + 1.8*ZS2 + ZS9 + 0.94*ZS12	4	0.94	ZS12	Užitné zatížení - Kleštiny
			1	1.80	ZS1	Vlastní tíha
			2	1.80	ZS2	Stálé zatížení - Krytina+Podhled
			3	1.00	ZS9	Vl. t. - SÁNÍ
KZ489	S Qp	1.8*ZS1 + 1.8*ZS2 + ZS10 + 0.94*ZS12	4	0.94	ZS12	Užitné zatížení - Kleštiny
			1	1.80	ZS1	Vlastní tíha
			2	1.80	ZS2	Stálé zatížení - Krytina+Podhled
			3	1.00	ZS10	Vl. t. - SÁNÍ/TLAK
KZ490	S Qp	1.8*ZS1 + 1.8*ZS2 + ZS11 + 0.94*ZS12	4	0.94	ZS12	Užitné zatížení - Kleštiny
			1	1.80	ZS1	Vlastní tíha
			2	1.80	ZS2	Stálé zatížení - Krytina+Podhled
			3	1.00	ZS11	Vl. t. - TLAK/SÁNÍ
KZ491	S Qp	1.8*ZS1 + 0.5*ZS4 + ZS8	4	0.94	ZS12	Užitné zatížení - Kleštiny
			1	1.80	ZS1	Vlastní tíha



Projekt: Diplomová práce

Model: Diplomová Práce -KROV

Datum: 17.04.2021

Stropní nosník

Konstrukce Krovu

2.5 KOMBINACE ZATÍŽENÍ

Kombin. zatížení	NS	Kombinace zatížení Označení	č.	Součinitel	Zatěžovací stav	
					ZS	Vl
KZ492	S Qp	1.8*ZS1 + 0.5*ZS4 + ZS9	2	0.50	ZS4	Zatížení sněhem 1/1
			3	1.00	ZS8	Vl - TLAK
			1	1.80	ZS1	Vlastní tíha
KZ493	S Qp	1.8*ZS1 + 0.5*ZS4 + ZS10	2	0.50	ZS4	Zatížení sněhem 1/1
			3	1.00	ZS9	Vl - SÁNÍ
			1	1.80	ZS1	Vlastní tíha
KZ494	S Qp	1.8*ZS1 + 0.5*ZS4 + ZS11	2	0.50	ZS4	Zatížení sněhem 1/1
			3	1.00	ZS10	Vl - SÁNÍ/TLAK
			1	1.80	ZS1	Vlastní tíha
KZ495	S Qp	1.8*ZS1 + 0.5*ZS5 + ZS8	2	0.50	ZS4	Zatížení sněhem 1/1
			3	1.00	ZS11	Vl - TLAK/SÁNÍ
			1	1.80	ZS1	Vlastní tíha
KZ496	S Qp	1.8*ZS1 + 0.5*ZS5 + ZS9	2	0.50	ZS5	Zatížení sněhem 1/2
			3	1.00	ZS8	Vl - TLAK
			1	1.80	ZS1	Vlastní tíha
KZ497	S Qp	1.8*ZS1 + 0.5*ZS5 + ZS10	2	0.50	ZS5	Zatížení sněhem 1/2
			3	1.00	ZS9	Vl - SÁNÍ
			1	1.80	ZS1	Vlastní tíha
KZ498	S Qp	1.8*ZS1 + 0.5*ZS5 + ZS11	2	0.50	ZS5	Zatížení sněhem 1/2
			3	1.00	ZS10	Vl - SÁNÍ/TLAK
			1	1.80	ZS1	Vlastní tíha
KZ499	S Qp	1.8*ZS1 + 0.5*ZS7 + ZS8	2	0.50	ZS5	Zatížení sněhem 1/2
			3	1.00	ZS11	Vl - TLAK/SÁNÍ
			1	1.80	ZS1	Vlastní tíha
KZ500	S Qp	1.8*ZS1 + 0.5*ZS7 + ZS9	2	0.50	ZS7	Zatížení sněhem 2/1
			3	1.00	ZS8	Vl - TLAK
			1	1.80	ZS1	Vlastní tíha
KZ501	S Qp	1.8*ZS1 + 0.5*ZS7 + ZS10	2	0.50	ZS7	Zatížení sněhem 2/1
			3	1.00	ZS9	Vl - SÁNÍ
			1	1.80	ZS1	Vlastní tíha
KZ502	S Qp	1.8*ZS1 + 0.5*ZS7 + ZS11	2	0.50	ZS7	Zatížení sněhem 2/1
			3	1.00	ZS10	Vl - SÁNÍ/TLAK
			1	1.80	ZS1	Vlastní tíha
KZ503	S Qp	1.8*ZS1 + 0.5*ZS4 + ZS8 + 0.94*ZS12	2	0.50	ZS4	Zatížení sněhem 1/1
			3	1.00	ZS8	Vl - TLAK
			1	1.80	ZS1	Vlastní tíha
KZ504	S Qp	1.8*ZS1 + 0.5*ZS4 + ZS9 + 0.94*ZS12	4	0.94	ZS12	Užitné zatížení - Kleštiny
			1	1.80	ZS1	Vlastní tíha
			2	0.50	ZS4	Zatížení sněhem 1/1
KZ505	S Qp	1.8*ZS1 + 0.5*ZS4 + ZS10 + 0.94*ZS12	3	1.00	ZS9	Vl - SÁNÍ
			4	0.94	ZS12	Užitné zatížení - Kleštiny
			1	1.80	ZS1	Vlastní tíha
KZ506	S Qp	1.8*ZS1 + 0.5*ZS4 + ZS11 + 0.94*ZS12	2	0.50	ZS4	Zatížení sněhem 1/1
			3	1.00	ZS11	Vl - TLAK/SÁNÍ
			1	1.80	ZS1	Vlastní tíha
KZ507	S Qp	1.8*ZS1 + 0.5*ZS5 + ZS8 + 0.94*ZS12	4	0.94	ZS12	Užitné zatížení - Kleštiny
			1	1.80	ZS1	Vlastní tíha
			2	0.50	ZS5	Zatížení sněhem 1/2
KZ508	S Qp	1.8*ZS1 + 0.5*ZS5 + ZS9 + 0.94*ZS12	3	1.00	ZS9	Vl - SÁNÍ
			4	0.94	ZS12	Užitné zatížení - Kleštiny
			1	1.80	ZS1	Vlastní tíha
KZ509	S Qp	1.8*ZS1 + 0.5*ZS5 + ZS10 + 0.94*ZS12	2	0.50	ZS5	Zatížení sněhem 1/2
			3	1.00	ZS10	Vl - SÁNÍ/TLAK
			1	1.80	ZS1	Vlastní tíha
KZ510	S Qp	1.8*ZS1 + 0.5*ZS5 + ZS11 + 0.94*ZS12	4	0.94	ZS12	Užitné zatížení - Kleštiny
			1	1.80	ZS1	Vlastní tíha
			2	0.50	ZS5	Zatížení sněhem 1/2
KZ511	S Qp	1.8*ZS1 + 0.5*ZS7 + ZS8 + 0.94*ZS12	3	1.00	ZS11	Vl - TLAK/SÁNÍ
			4	0.94	ZS12	Užitné zatížení - Kleštiny
			1	1.80	ZS1	Vlastní tíha
KZ512	S Qp	1.8*ZS1 + 0.5*ZS7 + ZS9 + 0.94*ZS12	2	0.50	ZS7	Zatížení sněhem 2/1
			3	1.00	ZS9	Vl - SÁNÍ
			1	1.80	ZS1	Vlastní tíha
KZ513	S Qp	1.8*ZS1 + 0.5*ZS7 + ZS10 + 0.94*ZS12	4	0.94	ZS12	Užitné zatížení - Kleštiny
			1	1.80	ZS1	Vlastní tíha
			2	0.50	ZS7	Zatížení sněhem 2/1
KZ514	S Qp	1.8*ZS1 + 0.5*ZS7 + ZS11 + 0.94*ZS12	3	1.00	ZS10	Vl - SÁNÍ/TLAK
			4	0.94	ZS12	Užitné zatížení - Kleštiny
			1	1.80	ZS1	Vlastní tíha
KZ515	S Qp	1.8*ZS1 + ZS8 + 0.94*ZS12	2	0.50	ZS7	Zatížení sněhem 2/1
			3	1.00	ZS11	Vl - TLAK/SÁNÍ
			1	1.80	ZS1	Vlastní tíha
KZ516	S Qp	1.8*ZS1 + ZS9 + 0.94*ZS12	4	0.94	ZS12	Užitné zatížení - Kleštiny
			1	1.80	ZS1	Vlastní tíha
			2	1.00	ZS9	Vl - SÁNÍ
KZ517	S Qp	1.8*ZS1 + ZS10 + 0.94*ZS12	3	0.94	ZS12	Užitné zatížení - Kleštiny
			1	1.80	ZS1	Vlastní tíha
			2	1.00	ZS10	Vl - SÁNÍ/TLAK
KZ518	S Qp	1.8*ZS1 + ZS11 + 0.94*ZS12	3	0.94	ZS12	Užitné zatížení - Kleštiny
			1	1.80	ZS1	Vlastní tíha
			2	1.00	ZS11	Vl - TLAK/SÁNÍ



Projekt: Diplomová práce

Model: Diplomová Práce -KROV

Datum: 17.04.2021

Stropní nosník

Konstrukce Krovu

2.5 KOMBINACE ZATÍŽENÍ

Kombin. zatížení	NS	Kombinace zatížení Označení	č.	Součinitel	Zatěžovací stav	
					ZS12	Užitné zatížení - Kleštiny
KZ519	S Qp	1.8*ZS1 + 1.24*ZS12	3	0.94	ZS12	Užitné zatížení - Kleštiny
			1	1.80	ZS1	Vlastní tíha
KZ520	S Qp	1.8*ZS1 + 1.8*ZS2 + 1.24*ZS12	2	1.24	ZS12	Užitné zatížení - Kleštiny
			1	1.80	ZS1	Vlastní tíha
			2	1.80	ZS2	Stálé zatížení - Krytina+Podhled
KZ521	S Qp	1.8*ZS1 + 1.8*ZS2 + 0.5*ZS4 + 1.24*ZS12	3	1.24	ZS12	Užitné zatížení - Kleštiny
			1	1.80	ZS1	Vlastní tíha
			2	1.80	ZS2	Stálé zatížení - Krytina+Podhled
			3	0.50	ZS4	Zatížení sněhem 1/1
KZ522	S Qp	1.8*ZS1 + 1.8*ZS2 + 0.5*ZS5 + 1.24*ZS12	4	1.24	ZS12	Užitné zatížení - Kleštiny
			1	1.80	ZS1	Vlastní tíha
			2	1.80	ZS2	Stálé zatížení - Krytina+Podhled
			3	0.50	ZS5	Zatížení sněhem 1/2
KZ523	S Qp	1.8*ZS1 + 1.8*ZS2 + 0.5*ZS7 + 1.24*ZS12	4	1.24	ZS12	Užitné zatížení - Kleštiny
			1	1.80	ZS1	Vlastní tíha
			2	1.80	ZS2	Stálé zatížení - Krytina+Podhled
			3	0.50	ZS7	Zatížení sněhem 2/1
KZ524	S Qp	1.8*ZS1 + 1.8*ZS2 + 0.5*ZS4 + 0.6*ZS8 + 1.24*ZS12	4	1.24	ZS12	Užitné zatížení - Kleštiny
			1	1.80	ZS1	Vlastní tíha
			2	1.80	ZS2	Stálé zatížení - Krytina+Podhled
			3	0.50	ZS4	Zatížení sněhem 1/1
			4	0.60	ZS8	Vítr - TLAK
KZ525	S Qp	1.8*ZS1 + 1.8*ZS2 + 0.5*ZS4 + 0.6*ZS9 + 1.24*ZS12	5	1.24	ZS12	Užitné zatížení - Kleštiny
			1	1.80	ZS1	Vlastní tíha
			2	1.80	ZS2	Stálé zatížení - Krytina+Podhled
			3	0.50	ZS4	Zatížení sněhem 1/1
			4	0.60	ZS9	Vítr - SÁNÍ
KZ526	S Qp	1.8*ZS1 + 1.8*ZS2 + 0.5*ZS4 + 0.6*ZS10 + 1.24*ZS12	5	1.24	ZS12	Užitné zatížení - Kleštiny
			1	1.80	ZS1	Vlastní tíha
			2	1.80	ZS2	Stálé zatížení - Krytina+Podhled
			3	0.50	ZS4	Zatížení sněhem 1/1
			4	0.60	ZS10	Vítr - SÁNÍ/TLAK
KZ527	S Qp	1.8*ZS1 + 1.8*ZS2 + 0.5*ZS4 + 0.6*ZS11 + 1.24*ZS12	5	1.24	ZS12	Užitné zatížení - Kleštiny
			1	1.80	ZS1	Vlastní tíha
			2	1.80	ZS2	Stálé zatížení - Krytina+Podhled
			3	0.50	ZS4	Zatížení sněhem 1/1
			4	0.60	ZS11	Vítr - TLAK/SÁNÍ
KZ528	S Qp	1.8*ZS1 + 1.8*ZS2 + 0.5*ZS5 + 0.6*ZS8 + 1.24*ZS12	5	1.24	ZS12	Užitné zatížení - Kleštiny
			1	1.80	ZS1	Vlastní tíha
			2	1.80	ZS2	Stálé zatížení - Krytina+Podhled
			3	0.50	ZS5	Zatížení sněhem 1/2
			4	0.60	ZS8	Vítr - TLAK
KZ529	S Qp	1.8*ZS1 + 1.8*ZS2 + 0.5*ZS5 + 0.6*ZS9 + 1.24*ZS12	5	1.24	ZS12	Užitné zatížení - Kleštiny
			1	1.80	ZS1	Vlastní tíha
			2	1.80	ZS2	Stálé zatížení - Krytina+Podhled
			3	0.50	ZS5	Zatížení sněhem 1/2
			4	0.60	ZS9	Vítr - SÁNÍ
KZ530	S Qp	1.8*ZS1 + 1.8*ZS2 + 0.5*ZS5 + 0.6*ZS10 + 1.24*ZS12	5	1.24	ZS12	Užitné zatížení - Kleštiny
			1	1.80	ZS1	Vlastní tíha
			2	1.80	ZS2	Stálé zatížení - Krytina+Podhled
			3	0.50	ZS5	Zatížení sněhem 1/2
			4	0.60	ZS10	Vítr - SÁNÍ/TLAK
KZ531	S Qp	1.8*ZS1 + 1.8*ZS2 + 0.5*ZS5 + 0.6*ZS11 + 1.24*ZS12	5	1.24	ZS12	Užitné zatížení - Kleštiny
			1	1.80	ZS1	Vlastní tíha
			2	1.80	ZS2	Stálé zatížení - Krytina+Podhled
			3	0.50	ZS5	Zatížení sněhem 1/2
			4	0.60	ZS11	Vítr - TLAK/SÁNÍ
KZ532	S Qp	1.8*ZS1 + 1.8*ZS2 + 0.5*ZS7 + 0.6*ZS8 + 1.24*ZS12	5	1.24	ZS12	Užitné zatížení - Kleštiny
			1	1.80	ZS1	Vlastní tíha
			2	1.80	ZS2	Stálé zatížení - Krytina+Podhled
			3	0.50	ZS7	Zatížení sněhem 2/1
			4	0.60	ZS8	Vítr - TLAK
KZ533	S Qp	1.8*ZS1 + 1.8*ZS2 + 0.5*ZS7 + 0.6*ZS9 + 1.24*ZS12	5	1.24	ZS12	Užitné zatížení - Kleštiny
			1	1.80	ZS1	Vlastní tíha
			2	1.80	ZS2	Stálé zatížení - Krytina+Podhled
			3	0.50	ZS7	Zatížení sněhem 2/1
			4	0.60	ZS9	Vítr - SÁNÍ
KZ534	S Qp	1.8*ZS1 + 1.8*ZS2 + 0.5*ZS7 + 0.6*ZS10 + 1.24*ZS12	5	1.24	ZS12	Užitné zatížení - Kleštiny
			1	1.80	ZS1	Vlastní tíha
			2	1.80	ZS2	Stálé zatížení - Krytina+Podhled
			3	0.50	ZS7	Zatížení sněhem 2/1
			4	0.60	ZS10	Vítr - SÁNÍ/TLAK
KZ535	S Qp	1.8*ZS1 + 1.8*ZS2 + 0.5*ZS7 + 0.6*ZS11 + 1.24*ZS12	5	1.24	ZS12	Užitné zatížení - Kleštiny
			1	1.80	ZS1	Vlastní tíha
			2	1.80	ZS2	Stálé zatížení - Krytina+Podhled
			3	0.50	ZS7	Zatížení sněhem 2/1
			4	0.60	ZS11	Vítr - TLAK/SÁNÍ
KZ536	S Qp	1.8*ZS1 + 1.8*ZS2 + 0.6*ZS8 + 1.24*ZS12	5	1.24	ZS12	Užitné zatížení - Kleštiny
			1	1.80	ZS1	Vlastní tíha
			2	1.80	ZS2	Stálé zatížení - Krytina+Podhled
			3	0.60	ZS8	Vítr - TLAK
			4	1.24	ZS12	Užitné zatížení - Kleštiny



Projekt: Diplomová práce

Model: Diplomová Práce -KROV

Datum: 17.04.2021

Stropní nosník

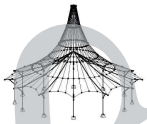
Konstrukce Krovu

2.5 KOMBINACE ZATÍŽENÍ

Kombin. zatížení	NS	Kombinace zatížení Označení	č.	Součinitel	Zatěžovací stav	
					ZS	Vlastní tíha
KZ537	S Qp	1.8*ZS1 + 1.8*ZS2 + 0.6*ZS9 + 1.24*ZS12	1	1.80	ZS1	Vlastní tíha
			2	1.80	ZS2	Stálé zatížení - Krytina+Podhled
			3	0.60	ZS9	Vítr - SÁNÍ
			4	1.24	ZS12	Užitné zatížení - Kleštiny
KZ538	S Qp	1.8*ZS1 + 1.8*ZS2 + 0.6*ZS10 + 1.24*ZS12	1	1.80	ZS1	Vlastní tíha
			2	1.80	ZS2	Stálé zatížení - Krytina+Podhled
			3	0.60	ZS10	Vítr - SÁNÍ/TLAK
			4	1.24	ZS12	Užitné zatížení - Kleštiny
KZ539	S Qp	1.8*ZS1 + 1.8*ZS2 + 0.6*ZS11 + 1.24*ZS12	1	1.80	ZS1	Vlastní tíha
			2	1.80	ZS2	Stálé zatížení - Krytina+Podhled
			3	0.60	ZS11	Vítr - TLAK/SÁNÍ
			4	1.24	ZS12	Užitné zatížení - Kleštiny
KZ540	S Qp	1.8*ZS1 + 0.5*ZS4 + 1.24*ZS12	1	1.80	ZS1	Vlastní tíha
			2	0.50	ZS4	Zatížení sněhem 1/1
			3	1.24	ZS12	Užitné zatížení - Kleštiny
KZ541	S Qp	1.8*ZS1 + 0.5*ZS5 + 1.24*ZS12	1	1.80	ZS1	Vlastní tíha
			2	0.50	ZS5	Zatížení sněhem 1/2
			3	1.24	ZS12	Užitné zatížení - Kleštiny
KZ542	S Qp	1.8*ZS1 + 0.5*ZS7 + 1.24*ZS12	1	1.80	ZS1	Vlastní tíha
			2	0.50	ZS7	Zatížení sněhem 2/1
			3	1.24	ZS12	Užitné zatížení - Kleštiny
KZ543	S Qp	1.8*ZS1 + 0.5*ZS4 + 0.6*ZS8 + 1.24*ZS12	1	1.80	ZS1	Vlastní tíha
			2	0.50	ZS4	Zatížení sněhem 1/1
			3	0.60	ZS8	Vítr - TLAK
			4	1.24	ZS12	Užitné zatížení - Kleštiny
KZ544	S Qp	1.8*ZS1 + 0.5*ZS4 + 0.6*ZS9 + 1.24*ZS12	1	1.80	ZS1	Vlastní tíha
			2	0.50	ZS4	Zatížení sněhem 1/1
			3	0.60	ZS9	Vítr - SÁNÍ
			4	1.24	ZS12	Užitné zatížení - Kleštiny
KZ545	S Qp	1.8*ZS1 + 0.5*ZS4 + 0.6*ZS10 + 1.24*ZS12	1	1.80	ZS1	Vlastní tíha
			2	0.50	ZS4	Zatížení sněhem 1/1
			3	0.60	ZS10	Vítr - SÁNÍ/TLAK
			4	1.24	ZS12	Užitné zatížení - Kleštiny
KZ546	S Qp	1.8*ZS1 + 0.5*ZS4 + 0.6*ZS11 + 1.24*ZS12	1	1.80	ZS1	Vlastní tíha
			2	0.50	ZS4	Zatížení sněhem 1/1
			3	0.60	ZS11	Vítr - TLAK/SÁNÍ
			4	1.24	ZS12	Užitné zatížení - Kleštiny
KZ547	S Qp	1.8*ZS1 + 0.5*ZS5 + 0.6*ZS8 + 1.24*ZS12	1	1.80	ZS1	Vlastní tíha
			2	0.50	ZS5	Zatížení sněhem 1/2
			3	0.60	ZS8	Vítr - TLAK
			4	1.24	ZS12	Užitné zatížení - Kleštiny
KZ548	S Qp	1.8*ZS1 + 0.5*ZS5 + 0.6*ZS9 + 1.24*ZS12	1	1.80	ZS1	Vlastní tíha
			2	0.50	ZS5	Zatížení sněhem 1/2
			3	0.60	ZS9	Vítr - SÁNÍ
			4	1.24	ZS12	Užitné zatížení - Kleštiny
KZ549	S Qp	1.8*ZS1 + 0.5*ZS5 + 0.6*ZS10 + 1.24*ZS12	1	1.80	ZS1	Vlastní tíha
			2	0.50	ZS5	Zatížení sněhem 1/2
			3	0.60	ZS10	Vítr - SÁNÍ/TLAK
			4	1.24	ZS12	Užitné zatížení - Kleštiny
KZ550	S Qp	1.8*ZS1 + 0.5*ZS5 + 0.6*ZS11 + 1.24*ZS12	1	1.80	ZS1	Vlastní tíha
			2	0.50	ZS5	Zatížení sněhem 1/2
			3	0.60	ZS11	Vítr - TLAK/SÁNÍ
			4	1.24	ZS12	Užitné zatížení - Kleštiny
KZ551	S Qp	1.8*ZS1 + 0.5*ZS7 + 0.6*ZS8 + 1.24*ZS12	1	1.80	ZS1	Vlastní tíha
			2	0.50	ZS7	Zatížení sněhem 2/1
			3	0.60	ZS8	Vítr - TLAK
			4	1.24	ZS12	Užitné zatížení - Kleštiny
KZ552	S Qp	1.8*ZS1 + 0.5*ZS7 + 0.6*ZS9 + 1.24*ZS12	1	1.80	ZS1	Vlastní tíha
			2	0.50	ZS7	Zatížení sněhem 2/1
			3	0.60	ZS9	Vítr - SÁNÍ
			4	1.24	ZS12	Užitné zatížení - Kleštiny
KZ553	S Qp	1.8*ZS1 + 0.5*ZS7 + 0.6*ZS10 + 1.24*ZS12	1	1.80	ZS1	Vlastní tíha
			2	0.50	ZS7	Zatížení sněhem 2/1
			3	0.60	ZS10	Vítr - SÁNÍ/TLAK
			4	1.24	ZS12	Užitné zatížení - Kleštiny
KZ554	S Qp	1.8*ZS1 + 0.5*ZS7 + 0.6*ZS11 + 1.24*ZS12	1	1.80	ZS1	Vlastní tíha
			2	0.50	ZS7	Zatížení sněhem 2/1
			3	0.60	ZS11	Vítr - TLAK/SÁNÍ
			4	1.24	ZS12	Užitné zatížení - Kleštiny
KZ555	S Qp	1.8*ZS1 + 0.6*ZS8 + 1.24*ZS12	1	1.80	ZS1	Vlastní tíha
			2	0.60	ZS8	Vítr - TLAK
			3	1.24	ZS12	Užitné zatížení - Kleštiny
KZ556	S Qp	1.8*ZS1 + 0.6*ZS9 + 1.24*ZS12	1	1.80	ZS1	Vlastní tíha
			2	0.60	ZS9	Vítr - SÁNÍ
			3	1.24	ZS12	Užitné zatížení - Kleštiny
KZ557	S Qp	1.8*ZS1 + 0.6*ZS10 + 1.24*ZS12	1	1.80	ZS1	Vlastní tíha
			2	0.60	ZS10	Vítr - SÁNÍ/TLAK
			3	1.24	ZS12	Užitné zatížení - Kleštiny
KZ558	S Qp	1.8*ZS1 + 0.6*ZS11 + 1.24*ZS12	1	1.80	ZS1	Vlastní tíha
			2	0.60	ZS11	Vítr - TLAK/SÁNÍ
			3	1.24	ZS12	Užitné zatížení - Kleštiny

2.5.2 KOMBINACE ZATÍŽENÍ - PARAMETRY VÝPOČTU

Kombin. zatížení	Označení	Parametry výpočtu
KZ1	1.35*ZS1	Způsob výpočtu : <input checked="" type="radio"/> Analýza podle II. řádu (P-Delta) Metoda pro řešení systému : <input checked="" type="radio"/> Picard nelineárních algebraických rovnic Možnosti : <input checked="" type="checkbox"/> Zohlednit příznivé tahové účinky <input checked="" type="checkbox"/> Vztáhnout vnitřní síly na přetožený systém pro:



Projekt: Diplomová práce

Model: Diplomová Práce -KROV

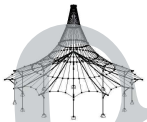
Datum: 17.04.2021

Stropní nosník

Konstrukce Krovu

2.5.2 KOMBINACE ZATÍŽENÍ - PARAMETRY VÝPOČTU

Kombin. zatížení	Označení	Parametry výpočtu
		<input checked="" type="checkbox"/> Normálové síly N <input checked="" type="checkbox"/> Smykové síly V_y a V_z <input checked="" type="checkbox"/> Momenty M_y , M_z a M_T Aktivovat součinitele tuhosti: <input checked="" type="checkbox"/> Materiály (dílčí souč. spolehlivosti γ_M) <input checked="" type="checkbox"/> Průřezy (součinitel pro J, I_y, I_z, A, A_y, A_z) <input checked="" type="checkbox"/> Pruty (faktor pro $GJ, EI_y, EI_z, EA, GA_y, GA_z$)
KZ2	1.35*ZS1 + 1.35*ZS2	Způsob výpočtu : <input checked="" type="radio"/> Analýza podle II. řádu (P-Delta) Metoda pro řešení systému nelineárních algebraických rovnic : <input checked="" type="radio"/> Picard Možnosti : <input checked="" type="checkbox"/> Zohlednit příznivé tahové účinky <input checked="" type="checkbox"/> Vztáhnout vnitřní síly na přetvořený systém pro: <input checked="" type="checkbox"/> Normálové síly N <input checked="" type="checkbox"/> Smykové síly V_y a V_z <input checked="" type="checkbox"/> Momenty M_y , M_z a M_T Aktivovat součinitele tuhosti: <input checked="" type="checkbox"/> Materiály (dílčí souč. spolehlivosti γ_M) <input checked="" type="checkbox"/> Průřezy (součinitel pro J, I_y, I_z, A, A_y, A_z) <input checked="" type="checkbox"/> Pruty (faktor pro $GJ, EI_y, EI_z, EA, GA_y, GA_z$)
KZ3	1.35*ZS1 + 1.5*ZS3	Způsob výpočtu : <input checked="" type="radio"/> Analýza podle II. řádu (P-Delta) Metoda pro řešení systému nelineárních algebraických rovnic : <input checked="" type="radio"/> Picard Možnosti : <input checked="" type="checkbox"/> Zohlednit příznivé tahové účinky <input checked="" type="checkbox"/> Vztáhnout vnitřní síly na přetvořený systém pro: <input checked="" type="checkbox"/> Normálové síly N <input checked="" type="checkbox"/> Smykové síly V_y a V_z <input checked="" type="checkbox"/> Momenty M_y , M_z a M_T Aktivovat součinitele tuhosti: <input checked="" type="checkbox"/> Materiály (dílčí souč. spolehlivosti γ_M) <input checked="" type="checkbox"/> Průřezy (součinitel pro J, I_y, I_z, A, A_y, A_z) <input checked="" type="checkbox"/> Pruty (faktor pro $GJ, EI_y, EI_z, EA, GA_y, GA_z$)
KZ4	1.35*ZS1 + 1.35*ZS2 + 1.5*ZS3	Způsob výpočtu : <input checked="" type="radio"/> Analýza podle II. řádu (P-Delta) Metoda pro řešení systému nelineárních algebraických rovnic : <input checked="" type="radio"/> Picard Možnosti : <input checked="" type="checkbox"/> Zohlednit příznivé tahové účinky <input checked="" type="checkbox"/> Vztáhnout vnitřní síly na přetvořený systém pro: <input checked="" type="checkbox"/> Normálové síly N <input checked="" type="checkbox"/> Smykové síly V_y a V_z <input checked="" type="checkbox"/> Momenty M_y , M_z a M_T Aktivovat součinitele tuhosti: <input checked="" type="checkbox"/> Materiály (dílčí souč. spolehlivosti γ_M) <input checked="" type="checkbox"/> Průřezy (součinitel pro J, I_y, I_z, A, A_y, A_z) <input checked="" type="checkbox"/> Pruty (faktor pro $GJ, EI_y, EI_z, EA, GA_y, GA_z$)
KZ5	1.35*ZS1 + 1.35*ZS2 + 1.5*ZS3 + 0.9*ZS8	Způsob výpočtu : <input checked="" type="radio"/> Analýza podle II. řádu (P-Delta) Metoda pro řešení systému nelineárních algebraických rovnic : <input checked="" type="radio"/> Picard Možnosti : <input checked="" type="checkbox"/> Zohlednit příznivé tahové účinky <input checked="" type="checkbox"/> Vztáhnout vnitřní síly na přetvořený systém pro: <input checked="" type="checkbox"/> Normálové síly N <input checked="" type="checkbox"/> Smykové síly V_y a V_z <input checked="" type="checkbox"/> Momenty M_y , M_z a M_T Aktivovat součinitele tuhosti: <input checked="" type="checkbox"/> Materiály (dílčí souč. spolehlivosti γ_M) <input checked="" type="checkbox"/> Průřezy (součinitel pro J, I_y, I_z, A, A_y, A_z) <input checked="" type="checkbox"/> Pruty (faktor pro $GJ, EI_y, EI_z, EA, GA_y, GA_z$)
KZ6	1.35*ZS1 + 1.35*ZS2 + 1.5*ZS3 + 0.9*ZS9	Způsob výpočtu : <input checked="" type="radio"/> Analýza podle II. řádu (P-Delta) Metoda pro řešení systému nelineárních algebraických rovnic : <input checked="" type="radio"/> Picard Možnosti : <input checked="" type="checkbox"/> Zohlednit příznivé tahové účinky <input checked="" type="checkbox"/> Vztáhnout vnitřní síly na přetvořený systém pro: <input checked="" type="checkbox"/> Normálové síly N <input checked="" type="checkbox"/> Smykové síly V_y a V_z <input checked="" type="checkbox"/> Momenty M_y , M_z a M_T Aktivovat součinitele tuhosti: <input checked="" type="checkbox"/> Materiály (dílčí souč. spolehlivosti γ_M) <input checked="" type="checkbox"/> Průřezy (součinitel pro J, I_y, I_z, A, A_y, A_z) <input checked="" type="checkbox"/> Pruty (faktor pro $GJ, EI_y, EI_z, EA, GA_y, GA_z$)
KZ7	1.35*ZS1 + 1.35*ZS2 + 1.5*ZS3 + 0.9*ZS10	Způsob výpočtu : <input checked="" type="radio"/> Analýza podle II. řádu (P-Delta) Metoda pro řešení systému nelineárních algebraických rovnic : <input checked="" type="radio"/> Picard Možnosti : <input checked="" type="checkbox"/> Zohlednit příznivé tahové účinky <input checked="" type="checkbox"/> Vztáhnout vnitřní síly na přetvořený systém pro: <input checked="" type="checkbox"/> Normálové síly N <input checked="" type="checkbox"/> Smykové síly V_y a V_z <input checked="" type="checkbox"/> Momenty M_y , M_z a M_T Aktivovat součinitele tuhosti: <input checked="" type="checkbox"/> Materiály (dílčí souč. spolehlivosti γ_M) <input checked="" type="checkbox"/> Průřezy (součinitel pro J, I_y, I_z, A, A_y, A_z) <input checked="" type="checkbox"/> Pruty (faktor pro $GJ, EI_y, EI_z, EA, GA_y, GA_z$)
KZ8	1.35*ZS1 + 1.35*ZS2 + 1.5*ZS3 + 0.9*ZS11	Způsob výpočtu : <input checked="" type="radio"/> Analýza podle II. řádu (P-Delta) Metoda pro řešení systému nelineárních algebraických rovnic : <input checked="" type="radio"/> Picard Možnosti : <input checked="" type="checkbox"/> Zohlednit příznivé tahové účinky <input checked="" type="checkbox"/> Vztáhnout vnitřní síly na přetvořený systém pro: <input checked="" type="checkbox"/> Normálové síly N <input checked="" type="checkbox"/> Smykové síly V_y a V_z <input checked="" type="checkbox"/> Momenty M_y , M_z a M_T



Projekt: Diplomová práce

Model: Diplomová Práce -KROV

Datum: 17.04.2021

Stropní nosník

Konstrukce Krovu

2.5.2 KOMBINACE ZATÍŽENÍ - PARAMETRY VÝPOČTU

Kombin. zatížení	Označení	Parametry výpočtu
KZ9	1.35*ZS1 + 1.35*ZS2 + 1.5*ZS3 + 0.9*ZS8 + 1.5*ZS12	Aktivovat součinitele tuhosti: <input checked="" type="checkbox"/> Materiály (dílčí souč. spolehlivosti γ_M) <input checked="" type="checkbox"/> Průřezy (součinitel pro J, I_y, I_z, A, A_y, A_z) <input checked="" type="checkbox"/> Pruty (faktor pro $GJ, EI_y, EI_z, EA, GA_y, GA_z$) <input checked="" type="checkbox"/> Analýza podle II. řádu (P-Delta) Způsob výpočtu: <input checked="" type="checkbox"/> Picard Metoda pro řešení systému nelineárních algebraických rovnic Možnosti: <input checked="" type="checkbox"/> Zohlednit příznivé tahové účinky <input checked="" type="checkbox"/> Vztáhnout vnitřní síly na přetvořený systém pro: <input checked="" type="checkbox"/> Normálové síly N <input checked="" type="checkbox"/> Smykové síly V_y a V_z <input checked="" type="checkbox"/> Momenty M_y, M_z a M_T Aktivovat součinitele tuhosti: <input checked="" type="checkbox"/> Materiály (dílčí souč. spolehlivosti γ_M) <input checked="" type="checkbox"/> Průřezy (součinitel pro J, I_y, I_z, A, A_y, A_z) <input checked="" type="checkbox"/> Pruty (faktor pro $GJ, EI_y, EI_z, EA, GA_y, GA_z$)
KZ10	1.35*ZS1 + 1.35*ZS2 + 1.5*ZS3 + 0.9*ZS9 + 1.5*ZS12	Způsob výpočtu: <input checked="" type="checkbox"/> Analýza podle II. řádu (P-Delta) Metoda pro řešení systému nelineárních algebraických rovnic Možnosti: <input checked="" type="checkbox"/> Zohlednit příznivé tahové účinky <input checked="" type="checkbox"/> Vztáhnout vnitřní síly na přetvořený systém pro: <input checked="" type="checkbox"/> Normálové síly N <input checked="" type="checkbox"/> Smykové síly V_y a V_z <input checked="" type="checkbox"/> Momenty M_y, M_z a M_T Aktivovat součinitele tuhosti: <input checked="" type="checkbox"/> Materiály (dílčí souč. spolehlivosti γ_M) <input checked="" type="checkbox"/> Průřezy (součinitel pro J, I_y, I_z, A, A_y, A_z) <input checked="" type="checkbox"/> Pruty (faktor pro $GJ, EI_y, EI_z, EA, GA_y, GA_z$)
KZ11	1.35*ZS1 + 1.35*ZS2 + 1.5*ZS3 + 0.9*ZS10 + 1.5*ZS12	Způsob výpočtu: <input checked="" type="checkbox"/> Analýza podle II. řádu (P-Delta) Metoda pro řešení systému nelineárních algebraických rovnic Možnosti: <input checked="" type="checkbox"/> Zohlednit příznivé tahové účinky <input checked="" type="checkbox"/> Vztáhnout vnitřní síly na přetvořený systém pro: <input checked="" type="checkbox"/> Normálové síly N <input checked="" type="checkbox"/> Smykové síly V_y a V_z <input checked="" type="checkbox"/> Momenty M_y, M_z a M_T Aktivovat součinitele tuhosti: <input checked="" type="checkbox"/> Materiály (dílčí souč. spolehlivosti γ_M) <input checked="" type="checkbox"/> Průřezy (součinitel pro J, I_y, I_z, A, A_y, A_z) <input checked="" type="checkbox"/> Pruty (faktor pro $GJ, EI_y, EI_z, EA, GA_y, GA_z$)
KZ12	1.35*ZS1 + 1.35*ZS2 + 1.5*ZS3 + 0.9*ZS11 + 1.5*ZS12	Způsob výpočtu: <input checked="" type="checkbox"/> Analýza podle II. řádu (P-Delta) Metoda pro řešení systému nelineárních algebraických rovnic Možnosti: <input checked="" type="checkbox"/> Zohlednit příznivé tahové účinky <input checked="" type="checkbox"/> Vztáhnout vnitřní síly na přetvořený systém pro: <input checked="" type="checkbox"/> Normálové síly N <input checked="" type="checkbox"/> Smykové síly V_y a V_z <input checked="" type="checkbox"/> Momenty M_y, M_z a M_T Aktivovat součinitele tuhosti: <input checked="" type="checkbox"/> Materiály (dílčí souč. spolehlivosti γ_M) <input checked="" type="checkbox"/> Průřezy (součinitel pro J, I_y, I_z, A, A_y, A_z) <input checked="" type="checkbox"/> Pruty (faktor pro $GJ, EI_y, EI_z, EA, GA_y, GA_z$)
KZ13	1.35*ZS1 + 1.35*ZS2 + 1.5*ZS3 + 1.5*ZS12	Způsob výpočtu: <input checked="" type="checkbox"/> Analýza podle II. řádu (P-Delta) Metoda pro řešení systému nelineárních algebraických rovnic Možnosti: <input checked="" type="checkbox"/> Zohlednit příznivé tahové účinky <input checked="" type="checkbox"/> Vztáhnout vnitřní síly na přetvořený systém pro: <input checked="" type="checkbox"/> Normálové síly N <input checked="" type="checkbox"/> Smykové síly V_y a V_z <input checked="" type="checkbox"/> Momenty M_y, M_z a M_T Aktivovat součinitele tuhosti: <input checked="" type="checkbox"/> Materiály (dílčí souč. spolehlivosti γ_M) <input checked="" type="checkbox"/> Průřezy (součinitel pro J, I_y, I_z, A, A_y, A_z) <input checked="" type="checkbox"/> Pruty (faktor pro $GJ, EI_y, EI_z, EA, GA_y, GA_z$)
KZ14	1.35*ZS1 + 1.5*ZS3 + 0.9*ZS8	Způsob výpočtu: <input checked="" type="checkbox"/> Analýza podle II. řádu (P-Delta) Metoda pro řešení systému nelineárních algebraických rovnic Možnosti: <input checked="" type="checkbox"/> Zohlednit příznivé tahové účinky <input checked="" type="checkbox"/> Vztáhnout vnitřní síly na přetvořený systém pro: <input checked="" type="checkbox"/> Normálové síly N <input checked="" type="checkbox"/> Smykové síly V_y a V_z <input checked="" type="checkbox"/> Momenty M_y, M_z a M_T Aktivovat součinitele tuhosti: <input checked="" type="checkbox"/> Materiály (dílčí souč. spolehlivosti γ_M) <input checked="" type="checkbox"/> Průřezy (součinitel pro J, I_y, I_z, A, A_y, A_z) <input checked="" type="checkbox"/> Pruty (faktor pro $GJ, EI_y, EI_z, EA, GA_y, GA_z$)
KZ15	1.35*ZS1 + 1.5*ZS3 + 0.9*ZS9	Způsob výpočtu: <input checked="" type="checkbox"/> Analýza podle II. řádu (P-Delta) Metoda pro řešení systému nelineárních algebraických rovnic Možnosti: <input checked="" type="checkbox"/> Zohlednit příznivé tahové účinky <input checked="" type="checkbox"/> Vztáhnout vnitřní síly na přetvořený systém pro: <input checked="" type="checkbox"/> Normálové síly N <input checked="" type="checkbox"/> Smykové síly V_y a V_z <input checked="" type="checkbox"/> Momenty M_y, M_z a M_T Aktivovat součinitele tuhosti: <input checked="" type="checkbox"/> Materiály (dílčí souč. spolehlivosti γ_M) <input checked="" type="checkbox"/> Průřezy (součinitel pro J, I_y, I_z, A, A_y, A_z)



Projekt: Diplomová práce

Model: Diplomová Práce -KROV

Datum: 17.04.2021

Stropní nosník

Konstrukce Krovu

2.5.2 KOMBINACE ZATÍŽENÍ - PARAMETRY VÝPOČTU

Kombin. zatížení	Označení	Parametry výpočtu
KZ16	1.35*ZS1 + 1.5*ZS3 + 0.9*ZS10	<input checked="" type="checkbox"/> Pruty (faktor pro GJ, EI _y , EI _z , EA, GA _y , GA _z)
		<input checked="" type="checkbox"/> Analýza podle II. řádu (P-Delta)
	Metoda pro řešení systému nelineárních algebraických rovnic	<input checked="" type="checkbox"/> Picard
	Možnosti	<input checked="" type="checkbox"/> Zohlednit příznivé tahové účinky
		<input checked="" type="checkbox"/> Vztáhnout vnitřní síly na přetožený systém pro: <input checked="" type="checkbox"/> Normálové síly N <input checked="" type="checkbox"/> Smykové síly V _y a V _z <input checked="" type="checkbox"/> Momenty M _y , M _z a M _T
	Aktivovat součinitele tuhosti:	<input checked="" type="checkbox"/> Materiály (dílcí souč. spolehlivosti γ _M)
		<input checked="" type="checkbox"/> Průřezy (součinitel pro J, I _y , I _z , A, A _y , A _z) <input checked="" type="checkbox"/> Pruty (faktor pro GJ, EI _y , EI _z , EA, GA _y , GA _z)
KZ17	1.35*ZS1 + 1.5*ZS3 + 0.9*ZS11	<input checked="" type="checkbox"/> Analýza podle II. řádu (P-Delta)
		<input checked="" type="checkbox"/> Picard
	Metoda pro řešení systému nelineárních algebraických rovnic	<input checked="" type="checkbox"/> Picard
	Možnosti	<input checked="" type="checkbox"/> Zohlednit příznivé tahové účinky
		<input checked="" type="checkbox"/> Vztáhnout vnitřní síly na přetožený systém pro: <input checked="" type="checkbox"/> Normálové síly N <input checked="" type="checkbox"/> Smykové síly V _y a V _z <input checked="" type="checkbox"/> Momenty M _y , M _z a M _T
	Aktivovat součinitele tuhosti:	<input checked="" type="checkbox"/> Materiály (dílcí souč. spolehlivosti γ _M)
		<input checked="" type="checkbox"/> Průřezy (součinitel pro J, I _y , I _z , A, A _y , A _z) <input checked="" type="checkbox"/> Pruty (faktor pro GJ, EI _y , EI _z , EA, GA _y , GA _z)
KZ18	1.35*ZS1 + 1.5*ZS3 + 0.9*ZS8 + 1.5*ZS12	<input checked="" type="checkbox"/> Analýza podle II. řádu (P-Delta)
		<input checked="" type="checkbox"/> Picard
	Metoda pro řešení systému nelineárních algebraických rovnic	<input checked="" type="checkbox"/> Picard
	Možnosti	<input checked="" type="checkbox"/> Zohlednit příznivé tahové účinky
		<input checked="" type="checkbox"/> Vztáhnout vnitřní síly na přetožený systém pro: <input checked="" type="checkbox"/> Normálové síly N <input checked="" type="checkbox"/> Smykové síly V _y a V _z <input checked="" type="checkbox"/> Momenty M _y , M _z a M _T
	Aktivovat součinitele tuhosti:	<input checked="" type="checkbox"/> Materiály (dílcí souč. spolehlivosti γ _M)
		<input checked="" type="checkbox"/> Průřezy (součinitel pro J, I _y , I _z , A, A _y , A _z) <input checked="" type="checkbox"/> Pruty (faktor pro GJ, EI _y , EI _z , EA, GA _y , GA _z)
KZ19	1.35*ZS1 + 1.5*ZS3 + 0.9*ZS9 + 1.5*ZS12	<input checked="" type="checkbox"/> Analýza podle II. řádu (P-Delta)
		<input checked="" type="checkbox"/> Picard
	Metoda pro řešení systému nelineárních algebraických rovnic	<input checked="" type="checkbox"/> Picard
	Možnosti	<input checked="" type="checkbox"/> Zohlednit příznivé tahové účinky
		<input checked="" type="checkbox"/> Vztáhnout vnitřní síly na přetožený systém pro: <input checked="" type="checkbox"/> Normálové síly N <input checked="" type="checkbox"/> Smykové síly V _y a V _z <input checked="" type="checkbox"/> Momenty M _y , M _z a M _T
	Aktivovat součinitele tuhosti:	<input checked="" type="checkbox"/> Materiály (dílcí souč. spolehlivosti γ _M)
		<input checked="" type="checkbox"/> Průřezy (součinitel pro J, I _y , I _z , A, A _y , A _z) <input checked="" type="checkbox"/> Pruty (faktor pro GJ, EI _y , EI _z , EA, GA _y , GA _z)
KZ20	1.35*ZS1 + 1.5*ZS3 + 0.9*ZS10 + 1.5*ZS12	<input checked="" type="checkbox"/> Analýza podle II. řádu (P-Delta)
		<input checked="" type="checkbox"/> Picard
	Metoda pro řešení systému nelineárních algebraických rovnic	<input checked="" type="checkbox"/> Picard
	Možnosti	<input checked="" type="checkbox"/> Zohlednit příznivé tahové účinky
		<input checked="" type="checkbox"/> Vztáhnout vnitřní síly na přetožený systém pro: <input checked="" type="checkbox"/> Normálové síly N <input checked="" type="checkbox"/> Smykové síly V _y a V _z <input checked="" type="checkbox"/> Momenty M _y , M _z a M _T
	Aktivovat součinitele tuhosti:	<input checked="" type="checkbox"/> Materiály (dílcí souč. spolehlivosti γ _M)
		<input checked="" type="checkbox"/> Průřezy (součinitel pro J, I _y , I _z , A, A _y , A _z) <input checked="" type="checkbox"/> Pruty (faktor pro GJ, EI _y , EI _z , EA, GA _y , GA _z)
KZ21	1.35*ZS1 + 1.5*ZS3 + 0.9*ZS11 + 1.5*ZS12	<input checked="" type="checkbox"/> Analýza podle II. řádu (P-Delta)
		<input checked="" type="checkbox"/> Picard
	Metoda pro řešení systému nelineárních algebraických rovnic	<input checked="" type="checkbox"/> Picard
	Možnosti	<input checked="" type="checkbox"/> Zohlednit příznivé tahové účinky
		<input checked="" type="checkbox"/> Vztáhnout vnitřní síly na přetožený systém pro: <input checked="" type="checkbox"/> Normálové síly N <input checked="" type="checkbox"/> Smykové síly V _y a V _z <input checked="" type="checkbox"/> Momenty M _y , M _z a M _T
	Aktivovat součinitele tuhosti:	<input checked="" type="checkbox"/> Materiály (dílcí souč. spolehlivosti γ _M)
		<input checked="" type="checkbox"/> Průřezy (součinitel pro J, I _y , I _z , A, A _y , A _z) <input checked="" type="checkbox"/> Pruty (faktor pro GJ, EI _y , EI _z , EA, GA _y , GA _z)
KZ22	1.35*ZS1 + 1.5*ZS3 + 1.5*ZS12	<input checked="" type="checkbox"/> Analýza podle II. řádu (P-Delta)
		<input checked="" type="checkbox"/> Picard
	Metoda pro řešení systému nelineárních algebraických rovnic	<input checked="" type="checkbox"/> Picard
	Možnosti	<input checked="" type="checkbox"/> Zohlednit příznivé tahové účinky
		<input checked="" type="checkbox"/> Vztáhnout vnitřní síly na přetožený systém pro: <input checked="" type="checkbox"/> Normálové síly N <input checked="" type="checkbox"/> Smykové síly V _y a V _z <input checked="" type="checkbox"/> Momenty M _y , M _z a M _T
	Aktivovat součinitele tuhosti:	<input checked="" type="checkbox"/> Materiály (dílcí souč. spolehlivosti γ _M)
		<input checked="" type="checkbox"/> Průřezy (součinitel pro J, I _y , I _z , A, A _y , A _z) <input checked="" type="checkbox"/> Pruty (faktor pro GJ, EI _y , EI _z , EA, GA _y , GA _z)
KZ23	1.35*ZS1 + 1.5*ZS4	<input checked="" type="checkbox"/> Analýza podle II. řádu (P-Delta)
		<input checked="" type="checkbox"/> Picard
	Metoda pro řešení systému n	<input checked="" type="checkbox"/> Picard



Projekt: Diplomová práce

Model: Diplomová Práce -KROV

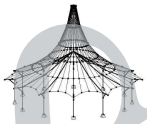
Datum: 17.04.2021

Stropní nosník

Konstrukce Krovu

2.5.2 KOMBINACE ZATÍŽENÍ - PARAMETRY VÝPOČTU

Kombin. zatížení	Označení	Parametry výpočtu
		nelineárních algebraických rovnic Možnosti : <input checked="" type="checkbox"/> Zohlednit příznivé tahové účinky : <input checked="" type="checkbox"/> Vztáhnout vnitřní síly na přetvořený systém pro: <input checked="" type="checkbox"/> Normálové síly N <input checked="" type="checkbox"/> Smykové síly V_y a V_z <input checked="" type="checkbox"/> Momenty M_y , M_z a M_T Aktivovat součinitele tuhosti: : <input checked="" type="checkbox"/> Materiály (díličí souč. spolehlivosti γ_M) : <input checked="" type="checkbox"/> Průřezy (součinitel pro J, I_y, I_z, A, A_y, A_z) : <input checked="" type="checkbox"/> Pruty (faktor pro $GJ, E I_y, E I_z, EA, GA_y, GA_z$)
KZ24	1.35*ZS1 + 1.5*ZS5	Způsob výpočtu : <input checked="" type="checkbox"/> Analýza podle II. řádu (P-Delta) Metoda pro řešení systému : <input checked="" type="checkbox"/> Picard nelineárních algebraických rovnic Možnosti : <input checked="" type="checkbox"/> Zohlednit příznivé tahové účinky : <input checked="" type="checkbox"/> Vztáhnout vnitřní síly na přetvořený systém pro: <input checked="" type="checkbox"/> Normálové síly N <input checked="" type="checkbox"/> Smykové síly V_y a V_z <input checked="" type="checkbox"/> Momenty M_y , M_z a M_T Aktivovat součinitele tuhosti: : <input checked="" type="checkbox"/> Materiály (díličí souč. spolehlivosti γ_M) : <input checked="" type="checkbox"/> Průřezy (součinitel pro J, I_y, I_z, A, A_y, A_z) : <input checked="" type="checkbox"/> Pruty (faktor pro $GJ, E I_y, E I_z, EA, GA_y, GA_z$)
KZ25	1.35*ZS1 + 1.5*ZS7	Způsob výpočtu : <input checked="" type="checkbox"/> Analýza podle II. řádu (P-Delta) Metoda pro řešení systému : <input checked="" type="checkbox"/> Picard nelineárních algebraických rovnic Možnosti : <input checked="" type="checkbox"/> Zohlednit příznivé tahové účinky : <input checked="" type="checkbox"/> Vztáhnout vnitřní síly na přetvořený systém pro: <input checked="" type="checkbox"/> Normálové síly N <input checked="" type="checkbox"/> Smykové síly V_y a V_z <input checked="" type="checkbox"/> Momenty M_y , M_z a M_T Aktivovat součinitele tuhosti: : <input checked="" type="checkbox"/> Materiály (díličí souč. spolehlivosti γ_M) : <input checked="" type="checkbox"/> Průřezy (součinitel pro J, I_y, I_z, A, A_y, A_z) : <input checked="" type="checkbox"/> Pruty (faktor pro $GJ, E I_y, E I_z, EA, GA_y, GA_z$)
KZ26	1.35*ZS1 + 1.35*ZS2 + 1.5*ZS4	Způsob výpočtu : <input checked="" type="checkbox"/> Analýza podle II. řádu (P-Delta) Metoda pro řešení systému : <input checked="" type="checkbox"/> Picard nelineárních algebraických rovnic Možnosti : <input checked="" type="checkbox"/> Zohlednit příznivé tahové účinky : <input checked="" type="checkbox"/> Vztáhnout vnitřní síly na přetvořený systém pro: <input checked="" type="checkbox"/> Normálové síly N <input checked="" type="checkbox"/> Smykové síly V_y a V_z <input checked="" type="checkbox"/> Momenty M_y , M_z a M_T Aktivovat součinitele tuhosti: : <input checked="" type="checkbox"/> Materiály (díličí souč. spolehlivosti γ_M) : <input checked="" type="checkbox"/> Průřezy (součinitel pro J, I_y, I_z, A, A_y, A_z) : <input checked="" type="checkbox"/> Pruty (faktor pro $GJ, E I_y, E I_z, EA, GA_y, GA_z$)
KZ27	1.35*ZS1 + 1.35*ZS2 + 1.5*ZS5	Způsob výpočtu : <input checked="" type="checkbox"/> Analýza podle II. řádu (P-Delta) Metoda pro řešení systému : <input checked="" type="checkbox"/> Picard nelineárních algebraických rovnic Možnosti : <input checked="" type="checkbox"/> Zohlednit příznivé tahové účinky : <input checked="" type="checkbox"/> Vztáhnout vnitřní síly na přetvořený systém pro: <input checked="" type="checkbox"/> Normálové síly N <input checked="" type="checkbox"/> Smykové síly V_y a V_z <input checked="" type="checkbox"/> Momenty M_y , M_z a M_T Aktivovat součinitele tuhosti: : <input checked="" type="checkbox"/> Materiály (díličí souč. spolehlivosti γ_M) : <input checked="" type="checkbox"/> Průřezy (součinitel pro J, I_y, I_z, A, A_y, A_z) : <input checked="" type="checkbox"/> Pruty (faktor pro $GJ, E I_y, E I_z, EA, GA_y, GA_z$)
KZ28	1.35*ZS1 + 1.35*ZS2 + 1.5*ZS7	Způsob výpočtu : <input checked="" type="checkbox"/> Analýza podle II. řádu (P-Delta) Metoda pro řešení systému : <input checked="" type="checkbox"/> Picard nelineárních algebraických rovnic Možnosti : <input checked="" type="checkbox"/> Zohlednit příznivé tahové účinky : <input checked="" type="checkbox"/> Vztáhnout vnitřní síly na přetvořený systém pro: <input checked="" type="checkbox"/> Normálové síly N <input checked="" type="checkbox"/> Smykové síly V_y a V_z <input checked="" type="checkbox"/> Momenty M_y , M_z a M_T Aktivovat součinitele tuhosti: : <input checked="" type="checkbox"/> Materiály (díličí souč. spolehlivosti γ_M) : <input checked="" type="checkbox"/> Průřezy (součinitel pro J, I_y, I_z, A, A_y, A_z) : <input checked="" type="checkbox"/> Pruty (faktor pro $GJ, E I_y, E I_z, EA, GA_y, GA_z$)
KZ29	1.35*ZS1 + 1.35*ZS2 + 1.5*ZS4 + 0.9*ZS8	Způsob výpočtu : <input checked="" type="checkbox"/> Analýza podle II. řádu (P-Delta) Metoda pro řešení systému : <input checked="" type="checkbox"/> Picard nelineárních algebraických rovnic Možnosti : <input checked="" type="checkbox"/> Zohlednit příznivé tahové účinky : <input checked="" type="checkbox"/> Vztáhnout vnitřní síly na přetvořený systém pro: <input checked="" type="checkbox"/> Normálové síly N <input checked="" type="checkbox"/> Smykové síly V_y a V_z <input checked="" type="checkbox"/> Momenty M_y , M_z a M_T Aktivovat součinitele tuhosti: : <input checked="" type="checkbox"/> Materiály (díličí souč. spolehlivosti γ_M) : <input checked="" type="checkbox"/> Průřezy (součinitel pro J, I_y, I_z, A, A_y, A_z) : <input checked="" type="checkbox"/> Pruty (faktor pro $GJ, E I_y, E I_z, EA, GA_y, GA_z$)
KZ30	1.35*ZS1 + 1.35*ZS2 + 1.5*ZS4 + 0.9*ZS9	Způsob výpočtu : <input checked="" type="checkbox"/> Analýza podle II. řádu (P-Delta) Metoda pro řešení systému : <input checked="" type="checkbox"/> Picard nelineárních algebraických rovnic Možnosti : <input checked="" type="checkbox"/> Zohlednit příznivé tahové účinky : <input checked="" type="checkbox"/> Vztáhnout vnitřní síly na přetvořený systém pro: <input checked="" type="checkbox"/> Normálové síly N



Projekt: Diplomová práce

Model: Diplomová Práce -KROV

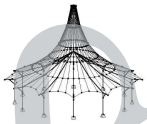
Datum: 17.04.2021

Stropní nosník

Konstrukce Krovu

2.5.2 KOMBINACE ZATÍŽENÍ - PARAMETRY VÝPOČTU

Kombin. zatížení	Označení	Parametry výpočtu
		<input checked="" type="checkbox"/> Smykové síly V_y a V_z <input checked="" type="checkbox"/> Momenty M_y , M_z a M_T Aktivovat součinitele tuhosti: <input checked="" type="checkbox"/> Materiály (dílní souč. spolehlivosti γ_M) <input checked="" type="checkbox"/> Průřezy (součinitel pro J_y , I_z , A , A_y , A_z) <input checked="" type="checkbox"/> Pruty (faktor pro GJ , EI_y , EI_z , EA , GA_y , GA_z)
KZ31	1.35*ZS1 + 1.35*ZS2 + 1.5*ZS4 + 0.9*ZS10	Způsob výpočtu: <input checked="" type="radio"/> Analýza podle II. řádu (P-Delta) Metoda pro řešení systému nelineárních algebraických rovnic: <input checked="" type="radio"/> Picard Možnosti: <input checked="" type="checkbox"/> Zohlednit příznivé tahové účinky <input checked="" type="checkbox"/> Vztáhnout vnitřní síly na přetvořený systém pro: <input checked="" type="checkbox"/> Normálové síly N <input checked="" type="checkbox"/> Smykové síly V_y a V_z <input checked="" type="checkbox"/> Momenty M_y , M_z a M_T Aktivovat součinitele tuhosti: <input checked="" type="checkbox"/> Materiály (dílní souč. spolehlivosti γ_M) <input checked="" type="checkbox"/> Průřezy (součinitel pro J_y , I_z , A , A_y , A_z) <input checked="" type="checkbox"/> Pruty (faktor pro GJ , EI_y , EI_z , EA , GA_y , GA_z)
KZ32	1.35*ZS1 + 1.35*ZS2 + 1.5*ZS4 + 0.9*ZS11	Způsob výpočtu: <input checked="" type="radio"/> Analýza podle II. řádu (P-Delta) Metoda pro řešení systému nelineárních algebraických rovnic: <input checked="" type="radio"/> Picard Možnosti: <input checked="" type="checkbox"/> Zohlednit příznivé tahové účinky <input checked="" type="checkbox"/> Vztáhnout vnitřní síly na přetvořený systém pro: <input checked="" type="checkbox"/> Normálové síly N <input checked="" type="checkbox"/> Smykové síly V_y a V_z <input checked="" type="checkbox"/> Momenty M_y , M_z a M_T Aktivovat součinitele tuhosti: <input checked="" type="checkbox"/> Materiály (dílní souč. spolehlivosti γ_M) <input checked="" type="checkbox"/> Průřezy (součinitel pro J_y , I_z , A , A_y , A_z) <input checked="" type="checkbox"/> Pruty (faktor pro GJ , EI_y , EI_z , EA , GA_y , GA_z)
KZ33	1.35*ZS1 + 1.35*ZS2 + 1.5*ZS5 + 0.9*ZS8	Způsob výpočtu: <input checked="" type="radio"/> Analýza podle II. řádu (P-Delta) Metoda pro řešení systému nelineárních algebraických rovnic: <input checked="" type="radio"/> Picard Možnosti: <input checked="" type="checkbox"/> Zohlednit příznivé tahové účinky <input checked="" type="checkbox"/> Vztáhnout vnitřní síly na přetvořený systém pro: <input checked="" type="checkbox"/> Normálové síly N <input checked="" type="checkbox"/> Smykové síly V_y a V_z <input checked="" type="checkbox"/> Momenty M_y , M_z a M_T Aktivovat součinitele tuhosti: <input checked="" type="checkbox"/> Materiály (dílní souč. spolehlivosti γ_M) <input checked="" type="checkbox"/> Průřezy (součinitel pro J_y , I_z , A , A_y , A_z) <input checked="" type="checkbox"/> Pruty (faktor pro GJ , EI_y , EI_z , EA , GA_y , GA_z)
KZ34	1.35*ZS1 + 1.35*ZS2 + 1.5*ZS5 + 0.9*ZS9	Způsob výpočtu: <input checked="" type="radio"/> Analýza podle II. řádu (P-Delta) Metoda pro řešení systému nelineárních algebraických rovnic: <input checked="" type="radio"/> Picard Možnosti: <input checked="" type="checkbox"/> Zohlednit příznivé tahové účinky <input checked="" type="checkbox"/> Vztáhnout vnitřní síly na přetvořený systém pro: <input checked="" type="checkbox"/> Normálové síly N <input checked="" type="checkbox"/> Smykové síly V_y a V_z <input checked="" type="checkbox"/> Momenty M_y , M_z a M_T Aktivovat součinitele tuhosti: <input checked="" type="checkbox"/> Materiály (dílní souč. spolehlivosti γ_M) <input checked="" type="checkbox"/> Průřezy (součinitel pro J_y , I_z , A , A_y , A_z) <input checked="" type="checkbox"/> Pruty (faktor pro GJ , EI_y , EI_z , EA , GA_y , GA_z)
KZ35	1.35*ZS1 + 1.35*ZS2 + 1.5*ZS5 + 0.9*ZS10	Způsob výpočtu: <input checked="" type="radio"/> Analýza podle II. řádu (P-Delta) Metoda pro řešení systému nelineárních algebraických rovnic: <input checked="" type="radio"/> Picard Možnosti: <input checked="" type="checkbox"/> Zohlednit příznivé tahové účinky <input checked="" type="checkbox"/> Vztáhnout vnitřní síly na přetvořený systém pro: <input checked="" type="checkbox"/> Normálové síly N <input checked="" type="checkbox"/> Smykové síly V_y a V_z <input checked="" type="checkbox"/> Momenty M_y , M_z a M_T Aktivovat součinitele tuhosti: <input checked="" type="checkbox"/> Materiály (dílní souč. spolehlivosti γ_M) <input checked="" type="checkbox"/> Průřezy (součinitel pro J_y , I_z , A , A_y , A_z) <input checked="" type="checkbox"/> Pruty (faktor pro GJ , EI_y , EI_z , EA , GA_y , GA_z)
KZ36	1.35*ZS1 + 1.35*ZS2 + 1.5*ZS5 + 0.9*ZS11	Způsob výpočtu: <input checked="" type="radio"/> Analýza podle II. řádu (P-Delta) Metoda pro řešení systému nelineárních algebraických rovnic: <input checked="" type="radio"/> Picard Možnosti: <input checked="" type="checkbox"/> Zohlednit příznivé tahové účinky <input checked="" type="checkbox"/> Vztáhnout vnitřní síly na přetvořený systém pro: <input checked="" type="checkbox"/> Normálové síly N <input checked="" type="checkbox"/> Smykové síly V_y a V_z <input checked="" type="checkbox"/> Momenty M_y , M_z a M_T Aktivovat součinitele tuhosti: <input checked="" type="checkbox"/> Materiály (dílní souč. spolehlivosti γ_M) <input checked="" type="checkbox"/> Průřezy (součinitel pro J_y , I_z , A , A_y , A_z) <input checked="" type="checkbox"/> Pruty (faktor pro GJ , EI_y , EI_z , EA , GA_y , GA_z)
KZ37	1.35*ZS1 + 1.35*ZS2 + 1.5*ZS7 + 0.9*ZS8	Způsob výpočtu: <input checked="" type="radio"/> Analýza podle II. řádu (P-Delta) Metoda pro řešení systému nelineárních algebraických rovnic: <input checked="" type="radio"/> Picard Možnosti: <input checked="" type="checkbox"/> Zohlednit příznivé tahové účinky <input checked="" type="checkbox"/> Vztáhnout vnitřní síly na přetvořený systém pro: <input checked="" type="checkbox"/> Normálové síly N



Projekt: Diplomová práce

Model: Diplomová Práce -KROV

Datum: 17.04.2021

Stropní nosník

Konstrukce Krovu

2.5.2 KOMBINACE ZATÍŽENÍ - PARAMETRY VÝPOČTU

Kombin. zatížení	Označení	Parametry výpočtu
		<input checked="" type="checkbox"/> Smykové síly V_y a V_z <input checked="" type="checkbox"/> Momenty M_y , M_z a M_T Aktivovat součinitele tuhosti: <ul style="list-style-type: none"> <input checked="" type="checkbox"/> Materiály (dílcí souč. spolehlivosti γ_M) <input checked="" type="checkbox"/> Průřezy (součinitel pro J_y, I_z, A, A_y, A_z) <input checked="" type="checkbox"/> Pruty (faktor pro GJ, EI_y, EI_z, EA, GA_y, GA_z)
KZ38	1.35*ZS1 + 1.35*ZS2 + 1.5*ZS7 + 0.9*ZS9	Způsob výpočtu: <input checked="" type="radio"/> Analýza podle II. řádu (P-Delta) Metoda pro řešení systému nelineárních algebraických rovnic: <input checked="" type="radio"/> Picard Možnosti: <ul style="list-style-type: none"> <input checked="" type="checkbox"/> Zohlednit příznivé tahové účinky <input checked="" type="checkbox"/> Vztáhnout vnitřní síly na přetvořený systém pro: <ul style="list-style-type: none"> <input checked="" type="checkbox"/> Normálové síly N <input checked="" type="checkbox"/> Smykové síly V_y a V_z <input checked="" type="checkbox"/> Momenty M_y, M_z a M_T Aktivovat součinitele tuhosti: <ul style="list-style-type: none"> <input checked="" type="checkbox"/> Materiály (dílcí souč. spolehlivosti γ_M) <input checked="" type="checkbox"/> Průřezy (součinitel pro J_y, I_z, A, A_y, A_z) <input checked="" type="checkbox"/> Pruty (faktor pro GJ, EI_y, EI_z, EA, GA_y, GA_z)
KZ39	1.35*ZS1 + 1.35*ZS2 + 1.5*ZS7 + 0.9*ZS10	Způsob výpočtu: <input checked="" type="radio"/> Analýza podle II. řádu (P-Delta) Metoda pro řešení systému nelineárních algebraických rovnic: <input checked="" type="radio"/> Picard Možnosti: <ul style="list-style-type: none"> <input checked="" type="checkbox"/> Zohlednit příznivé tahové účinky <input checked="" type="checkbox"/> Vztáhnout vnitřní síly na přetvořený systém pro: <ul style="list-style-type: none"> <input checked="" type="checkbox"/> Normálové síly N <input checked="" type="checkbox"/> Smykové síly V_y a V_z <input checked="" type="checkbox"/> Momenty M_y, M_z a M_T Aktivovat součinitele tuhosti: <ul style="list-style-type: none"> <input checked="" type="checkbox"/> Materiály (dílcí souč. spolehlivosti γ_M) <input checked="" type="checkbox"/> Průřezy (součinitel pro J_y, I_z, A, A_y, A_z) <input checked="" type="checkbox"/> Pruty (faktor pro GJ, EI_y, EI_z, EA, GA_y, GA_z)
KZ40	1.35*ZS1 + 1.35*ZS2 + 1.5*ZS7 + 0.9*ZS11	Způsob výpočtu: <input checked="" type="radio"/> Analýza podle II. řádu (P-Delta) Metoda pro řešení systému nelineárních algebraických rovnic: <input checked="" type="radio"/> Picard Možnosti: <ul style="list-style-type: none"> <input checked="" type="checkbox"/> Zohlednit příznivé tahové účinky <input checked="" type="checkbox"/> Vztáhnout vnitřní síly na přetvořený systém pro: <ul style="list-style-type: none"> <input checked="" type="checkbox"/> Normálové síly N <input checked="" type="checkbox"/> Smykové síly V_y a V_z <input checked="" type="checkbox"/> Momenty M_y, M_z a M_T Aktivovat součinitele tuhosti: <ul style="list-style-type: none"> <input checked="" type="checkbox"/> Materiály (dílcí souč. spolehlivosti γ_M) <input checked="" type="checkbox"/> Průřezy (součinitel pro J_y, I_z, A, A_y, A_z) <input checked="" type="checkbox"/> Pruty (faktor pro GJ, EI_y, EI_z, EA, GA_y, GA_z)
KZ41	1.35*ZS1 + 1.35*ZS2 + 1.5*ZS4 + 0.9*ZS8 + 1.05*ZS12	Způsob výpočtu: <input checked="" type="radio"/> Analýza podle II. řádu (P-Delta) Metoda pro řešení systému nelineárních algebraických rovnic: <input checked="" type="radio"/> Picard Možnosti: <ul style="list-style-type: none"> <input checked="" type="checkbox"/> Zohlednit příznivé tahové účinky <input checked="" type="checkbox"/> Vztáhnout vnitřní síly na přetvořený systém pro: <ul style="list-style-type: none"> <input checked="" type="checkbox"/> Normálové síly N <input checked="" type="checkbox"/> Smykové síly V_y a V_z <input checked="" type="checkbox"/> Momenty M_y, M_z a M_T Aktivovat součinitele tuhosti: <ul style="list-style-type: none"> <input checked="" type="checkbox"/> Materiály (dílcí souč. spolehlivosti γ_M) <input checked="" type="checkbox"/> Průřezy (součinitel pro J_y, I_z, A, A_y, A_z) <input checked="" type="checkbox"/> Pruty (faktor pro GJ, EI_y, EI_z, EA, GA_y, GA_z)
KZ42	1.35*ZS1 + 1.35*ZS2 + 1.5*ZS4 + 0.9*ZS9 + 1.05*ZS12	Způsob výpočtu: <input checked="" type="radio"/> Analýza podle II. řádu (P-Delta) Metoda pro řešení systému nelineárních algebraických rovnic: <input checked="" type="radio"/> Picard Možnosti: <ul style="list-style-type: none"> <input checked="" type="checkbox"/> Zohlednit příznivé tahové účinky <input checked="" type="checkbox"/> Vztáhnout vnitřní síly na přetvořený systém pro: <ul style="list-style-type: none"> <input checked="" type="checkbox"/> Normálové síly N <input checked="" type="checkbox"/> Smykové síly V_y a V_z <input checked="" type="checkbox"/> Momenty M_y, M_z a M_T Aktivovat součinitele tuhosti: <ul style="list-style-type: none"> <input checked="" type="checkbox"/> Materiály (dílcí souč. spolehlivosti γ_M) <input checked="" type="checkbox"/> Průřezy (součinitel pro J_y, I_z, A, A_y, A_z) <input checked="" type="checkbox"/> Pruty (faktor pro GJ, EI_y, EI_z, EA, GA_y, GA_z)
KZ43	1.35*ZS1 + 1.35*ZS2 + 1.5*ZS4 + 0.9*ZS10 + 1.05*ZS12	Způsob výpočtu: <input checked="" type="radio"/> Analýza podle II. řádu (P-Delta) Metoda pro řešení systému nelineárních algebraických rovnic: <input checked="" type="radio"/> Picard Možnosti: <ul style="list-style-type: none"> <input checked="" type="checkbox"/> Zohlednit příznivé tahové účinky <input checked="" type="checkbox"/> Vztáhnout vnitřní síly na přetvořený systém pro: <ul style="list-style-type: none"> <input checked="" type="checkbox"/> Normálové síly N <input checked="" type="checkbox"/> Smykové síly V_y a V_z <input checked="" type="checkbox"/> Momenty M_y, M_z a M_T Aktivovat součinitele tuhosti: <ul style="list-style-type: none"> <input checked="" type="checkbox"/> Materiály (dílcí souč. spolehlivosti γ_M) <input checked="" type="checkbox"/> Průřezy (součinitel pro J_y, I_z, A, A_y, A_z) <input checked="" type="checkbox"/> Pruty (faktor pro GJ, EI_y, EI_z, EA, GA_y, GA_z)
KZ44	1.35*ZS1 + 1.35*ZS2 + 1.5*ZS4 + 0.9*ZS11 + 1.05*ZS12	Způsob výpočtu: <input checked="" type="radio"/> Analýza podle II. řádu (P-Delta) Metoda pro řešení systému nelineárních algebraických rovnic: <input checked="" type="radio"/> Picard Možnosti: <ul style="list-style-type: none"> <input checked="" type="checkbox"/> Zohlednit příznivé tahové účinky <input checked="" type="checkbox"/> Vztáhnout vnitřní síly na přetvořený systém pro: <ul style="list-style-type: none"> <input checked="" type="checkbox"/> Normálové síly N



Projekt: Diplomová práce

Model: Diplomová Práce -KROV

Datum: 17.04.2021

Stropní nosník

Konstrukce Krovu

2.5.2 KOMBINACE ZATÍŽENÍ - PARAMETRY VÝPOČTU

Kombin. zatížení	Označení	Parametry výpočtu
		<input checked="" type="checkbox"/> Smykové síly V_y a V_z <input checked="" type="checkbox"/> Momenty M_y , M_z a M_T
		Aktivovat součinitele tuhosti: <input checked="" type="checkbox"/> Materiály (dílní souč. spolehlivosti γ_M) <input checked="" type="checkbox"/> Průřezy (součinitel pro J , I_y , I_z , A , A_y , A_z) <input checked="" type="checkbox"/> Pruty (faktor pro GJ , EI_y , EI_z , EA , GA_y , GA_z)
KZ45	1.35*ZS1 + 1.35*ZS2 + 1.5*ZS5 + 0.9*ZS8 + 1.05*ZS12	Způsob výpočtu: <input checked="" type="radio"/> Analýza podle II. řádu (P-Delta) Metoda pro řešení systému nelineárních algebraických rovnic: <input checked="" type="radio"/> Picard Možnosti: <input checked="" type="checkbox"/> Zohlednit příznivé tahové účinky <input checked="" type="checkbox"/> Vztáhnout vnitřní síly na přetvořený systém pro: <input checked="" type="checkbox"/> Normálové síly N <input checked="" type="checkbox"/> Smykové síly V_y a V_z <input checked="" type="checkbox"/> Momenty M_y , M_z a M_T Aktivovat součinitele tuhosti: <input checked="" type="checkbox"/> Materiály (dílní souč. spolehlivosti γ_M) <input checked="" type="checkbox"/> Průřezy (součinitel pro J , I_y , I_z , A , A_y , A_z) <input checked="" type="checkbox"/> Pruty (faktor pro GJ , EI_y , EI_z , EA , GA_y , GA_z)
KZ46	1.35*ZS1 + 1.35*ZS2 + 1.5*ZS5 + 0.9*ZS9 + 1.05*ZS12	Způsob výpočtu: <input checked="" type="radio"/> Analýza podle II. řádu (P-Delta) Metoda pro řešení systému nelineárních algebraických rovnic: <input checked="" type="radio"/> Picard Možnosti: <input checked="" type="checkbox"/> Zohlednit příznivé tahové účinky <input checked="" type="checkbox"/> Vztáhnout vnitřní síly na přetvořený systém pro: <input checked="" type="checkbox"/> Normálové síly N <input checked="" type="checkbox"/> Smykové síly V_y a V_z <input checked="" type="checkbox"/> Momenty M_y , M_z a M_T Aktivovat součinitele tuhosti: <input checked="" type="checkbox"/> Materiály (dílní souč. spolehlivosti γ_M) <input checked="" type="checkbox"/> Průřezy (součinitel pro J , I_y , I_z , A , A_y , A_z) <input checked="" type="checkbox"/> Pruty (faktor pro GJ , EI_y , EI_z , EA , GA_y , GA_z)
KZ47	1.35*ZS1 + 1.35*ZS2 + 1.5*ZS5 + 0.9*ZS10 + 1.05*ZS12	Způsob výpočtu: <input checked="" type="radio"/> Analýza podle II. řádu (P-Delta) Metoda pro řešení systému nelineárních algebraických rovnic: <input checked="" type="radio"/> Picard Možnosti: <input checked="" type="checkbox"/> Zohlednit příznivé tahové účinky <input checked="" type="checkbox"/> Vztáhnout vnitřní síly na přetvořený systém pro: <input checked="" type="checkbox"/> Normálové síly N <input checked="" type="checkbox"/> Smykové síly V_y a V_z <input checked="" type="checkbox"/> Momenty M_y , M_z a M_T Aktivovat součinitele tuhosti: <input checked="" type="checkbox"/> Materiály (dílní souč. spolehlivosti γ_M) <input checked="" type="checkbox"/> Průřezy (součinitel pro J , I_y , I_z , A , A_y , A_z) <input checked="" type="checkbox"/> Pruty (faktor pro GJ , EI_y , EI_z , EA , GA_y , GA_z)
KZ48	1.35*ZS1 + 1.35*ZS2 + 1.5*ZS5 + 0.9*ZS11 + 1.05*ZS12	Způsob výpočtu: <input checked="" type="radio"/> Analýza podle II. řádu (P-Delta) Metoda pro řešení systému nelineárních algebraických rovnic: <input checked="" type="radio"/> Picard Možnosti: <input checked="" type="checkbox"/> Zohlednit příznivé tahové účinky <input checked="" type="checkbox"/> Vztáhnout vnitřní síly na přetvořený systém pro: <input checked="" type="checkbox"/> Normálové síly N <input checked="" type="checkbox"/> Smykové síly V_y a V_z <input checked="" type="checkbox"/> Momenty M_y , M_z a M_T Aktivovat součinitele tuhosti: <input checked="" type="checkbox"/> Materiály (dílní souč. spolehlivosti γ_M) <input checked="" type="checkbox"/> Průřezy (součinitel pro J , I_y , I_z , A , A_y , A_z) <input checked="" type="checkbox"/> Pruty (faktor pro GJ , EI_y , EI_z , EA , GA_y , GA_z)
KZ49	1.35*ZS1 + 1.35*ZS2 + 1.5*ZS7 + 0.9*ZS8 + 1.05*ZS12	Způsob výpočtu: <input checked="" type="radio"/> Analýza podle II. řádu (P-Delta) Metoda pro řešení systému nelineárních algebraických rovnic: <input checked="" type="radio"/> Picard Možnosti: <input checked="" type="checkbox"/> Zohlednit příznivé tahové účinky <input checked="" type="checkbox"/> Vztáhnout vnitřní síly na přetvořený systém pro: <input checked="" type="checkbox"/> Normálové síly N <input checked="" type="checkbox"/> Smykové síly V_y a V_z <input checked="" type="checkbox"/> Momenty M_y , M_z a M_T Aktivovat součinitele tuhosti: <input checked="" type="checkbox"/> Materiály (dílní souč. spolehlivosti γ_M) <input checked="" type="checkbox"/> Průřezy (součinitel pro J , I_y , I_z , A , A_y , A_z) <input checked="" type="checkbox"/> Pruty (faktor pro GJ , EI_y , EI_z , EA , GA_y , GA_z)
KZ50	1.35*ZS1 + 1.35*ZS2 + 1.5*ZS7 + 0.9*ZS9 + 1.05*ZS12	Způsob výpočtu: <input checked="" type="radio"/> Analýza podle II. řádu (P-Delta) Metoda pro řešení systému nelineárních algebraických rovnic: <input checked="" type="radio"/> Picard Možnosti: <input checked="" type="checkbox"/> Zohlednit příznivé tahové účinky <input checked="" type="checkbox"/> Vztáhnout vnitřní síly na přetvořený systém pro: <input checked="" type="checkbox"/> Normálové síly N <input checked="" type="checkbox"/> Smykové síly V_y a V_z <input checked="" type="checkbox"/> Momenty M_y , M_z a M_T Aktivovat součinitele tuhosti: <input checked="" type="checkbox"/> Materiály (dílní souč. spolehlivosti γ_M) <input checked="" type="checkbox"/> Průřezy (součinitel pro J , I_y , I_z , A , A_y , A_z) <input checked="" type="checkbox"/> Pruty (faktor pro GJ , EI_y , EI_z , EA , GA_y , GA_z)
KZ51	1.35*ZS1 + 1.35*ZS2 + 1.5*ZS7 + 0.9*ZS10 + 1.05*ZS12	Způsob výpočtu: <input checked="" type="radio"/> Analýza podle II. řádu (P-Delta) Metoda pro řešení systému nelineárních algebraických rovnic: <input checked="" type="radio"/> Picard Možnosti: <input checked="" type="checkbox"/> Zohlednit příznivé tahové účinky <input checked="" type="checkbox"/> Vztáhnout vnitřní síly na přetvořený systém pro: <input checked="" type="checkbox"/> Normálové síly N



Projekt: Diplomová práce

Model: Diplomová Práce -KROV

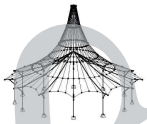
Datum: 17.04.2021

Stropní nosník

Konstrukce Krovu

2.5.2 KOMBINACE ZATÍŽENÍ - PARAMETRY VÝPOČTU

Kombin. zatížení	Označení	Parametry výpočtu
		<input checked="" type="checkbox"/> Smykové síly V_y a V_z <input checked="" type="checkbox"/> Momenty M_y , M_z a M_T
		Aktivovat součinitele tuhosti: <input checked="" type="checkbox"/> Materiály (dílní souč. spolehlivosti γ_M) <input checked="" type="checkbox"/> Průřezy (součinitel pro J , I_y , I_z , A , A_y , A_z) <input checked="" type="checkbox"/> Pruty (faktor pro GJ , EI_y , EI_z , EA , GA_y , GA_z)
KZ52	1.35*ZS1 + 1.35*ZS2 + 1.5*ZS7 + 0.9*ZS11 + 1.05*ZS12	Způsob výpočtu: <input checked="" type="radio"/> Analýza podle II. řádu (P-Delta) Metoda pro řešení systému nelineárních algebraických rovnic: <input checked="" type="radio"/> Picard Možnosti: <input checked="" type="checkbox"/> Zohlednit příznivé tahové účinky <input checked="" type="checkbox"/> Vztáhnout vnitřní síly na přetvořený systém pro: <input checked="" type="checkbox"/> Normálové síly N <input checked="" type="checkbox"/> Smykové síly V_y a V_z <input checked="" type="checkbox"/> Momenty M_y , M_z a M_T Aktivovat součinitele tuhosti: <input checked="" type="checkbox"/> Materiály (dílní souč. spolehlivosti γ_M) <input checked="" type="checkbox"/> Průřezy (součinitel pro J , I_y , I_z , A , A_y , A_z) <input checked="" type="checkbox"/> Pruty (faktor pro GJ , EI_y , EI_z , EA , GA_y , GA_z)
KZ53	1.35*ZS1 + 1.35*ZS2 + 1.5*ZS4 + 1.05*ZS12	Způsob výpočtu: <input checked="" type="radio"/> Analýza podle II. řádu (P-Delta) Metoda pro řešení systému nelineárních algebraických rovnic: <input checked="" type="radio"/> Picard Možnosti: <input checked="" type="checkbox"/> Zohlednit příznivé tahové účinky <input checked="" type="checkbox"/> Vztáhnout vnitřní síly na přetvořený systém pro: <input checked="" type="checkbox"/> Normálové síly N <input checked="" type="checkbox"/> Smykové síly V_y a V_z <input checked="" type="checkbox"/> Momenty M_y , M_z a M_T Aktivovat součinitele tuhosti: <input checked="" type="checkbox"/> Materiály (dílní souč. spolehlivosti γ_M) <input checked="" type="checkbox"/> Průřezy (součinitel pro J , I_y , I_z , A , A_y , A_z) <input checked="" type="checkbox"/> Pruty (faktor pro GJ , EI_y , EI_z , EA , GA_y , GA_z)
KZ54	1.35*ZS1 + 1.35*ZS2 + 1.5*ZS5 + 1.05*ZS12	Způsob výpočtu: <input checked="" type="radio"/> Analýza podle II. řádu (P-Delta) Metoda pro řešení systému nelineárních algebraických rovnic: <input checked="" type="radio"/> Picard Možnosti: <input checked="" type="checkbox"/> Zohlednit příznivé tahové účinky <input checked="" type="checkbox"/> Vztáhnout vnitřní síly na přetvořený systém pro: <input checked="" type="checkbox"/> Normálové síly N <input checked="" type="checkbox"/> Smykové síly V_y a V_z <input checked="" type="checkbox"/> Momenty M_y , M_z a M_T Aktivovat součinitele tuhosti: <input checked="" type="checkbox"/> Materiály (dílní souč. spolehlivosti γ_M) <input checked="" type="checkbox"/> Průřezy (součinitel pro J , I_y , I_z , A , A_y , A_z) <input checked="" type="checkbox"/> Pruty (faktor pro GJ , EI_y , EI_z , EA , GA_y , GA_z)
KZ55	1.35*ZS1 + 1.35*ZS2 + 1.5*ZS7 + 1.05*ZS12	Způsob výpočtu: <input checked="" type="radio"/> Analýza podle II. řádu (P-Delta) Metoda pro řešení systému nelineárních algebraických rovnic: <input checked="" type="radio"/> Picard Možnosti: <input checked="" type="checkbox"/> Zohlednit příznivé tahové účinky <input checked="" type="checkbox"/> Vztáhnout vnitřní síly na přetvořený systém pro: <input checked="" type="checkbox"/> Normálové síly N <input checked="" type="checkbox"/> Smykové síly V_y a V_z <input checked="" type="checkbox"/> Momenty M_y , M_z a M_T Aktivovat součinitele tuhosti: <input checked="" type="checkbox"/> Materiály (dílní souč. spolehlivosti γ_M) <input checked="" type="checkbox"/> Průřezy (součinitel pro J , I_y , I_z , A , A_y , A_z) <input checked="" type="checkbox"/> Pruty (faktor pro GJ , EI_y , EI_z , EA , GA_y , GA_z)
KZ56	1.35*ZS1 + 1.5*ZS4 + 0.9*ZS8	Způsob výpočtu: <input checked="" type="radio"/> Analýza podle II. řádu (P-Delta) Metoda pro řešení systému nelineárních algebraických rovnic: <input checked="" type="radio"/> Picard Možnosti: <input checked="" type="checkbox"/> Zohlednit příznivé tahové účinky <input checked="" type="checkbox"/> Vztáhnout vnitřní síly na přetvořený systém pro: <input checked="" type="checkbox"/> Normálové síly N <input checked="" type="checkbox"/> Smykové síly V_y a V_z <input checked="" type="checkbox"/> Momenty M_y , M_z a M_T Aktivovat součinitele tuhosti: <input checked="" type="checkbox"/> Materiály (dílní souč. spolehlivosti γ_M) <input checked="" type="checkbox"/> Průřezy (součinitel pro J , I_y , I_z , A , A_y , A_z) <input checked="" type="checkbox"/> Pruty (faktor pro GJ , EI_y , EI_z , EA , GA_y , GA_z)
KZ57	1.35*ZS1 + 1.5*ZS4 + 0.9*ZS9	Způsob výpočtu: <input checked="" type="radio"/> Analýza podle II. řádu (P-Delta) Metoda pro řešení systému nelineárních algebraických rovnic: <input checked="" type="radio"/> Picard Možnosti: <input checked="" type="checkbox"/> Zohlednit příznivé tahové účinky <input checked="" type="checkbox"/> Vztáhnout vnitřní síly na přetvořený systém pro: <input checked="" type="checkbox"/> Normálové síly N <input checked="" type="checkbox"/> Smykové síly V_y a V_z <input checked="" type="checkbox"/> Momenty M_y , M_z a M_T Aktivovat součinitele tuhosti: <input checked="" type="checkbox"/> Materiály (dílní souč. spolehlivosti γ_M) <input checked="" type="checkbox"/> Průřezy (součinitel pro J , I_y , I_z , A , A_y , A_z) <input checked="" type="checkbox"/> Pruty (faktor pro GJ , EI_y , EI_z , EA , GA_y , GA_z)
KZ58	1.35*ZS1 + 1.5*ZS4 + 0.9*ZS10	Způsob výpočtu: <input checked="" type="radio"/> Analýza podle II. řádu (P-Delta) Metoda pro řešení systému nelineárních algebraických rovnic: <input checked="" type="radio"/> Picard Možnosti: <input checked="" type="checkbox"/> Zohlednit příznivé tahové účinky <input checked="" type="checkbox"/> Vztáhnout vnitřní síly na přetvořený systém pro: <input checked="" type="checkbox"/> Normálové síly N <input checked="" type="checkbox"/> Smykové síly V_y a V_z <input checked="" type="checkbox"/> Momenty M_y , M_z a M_T Aktivovat součinitele tuhosti: <input checked="" type="checkbox"/> Materiály (dílní souč. spolehlivosti γ_M)



Projekt: Diplomová práce

Model: Diplomová Práce -KROV

Datum: 17.04.2021

Stropní nosník

Konstrukce Krovu

2.5.2 KOMBINACE ZATÍŽENÍ - PARAMETRY VÝPOČTU

Kombin. zatížení	Označení	Parametry výpočtu
KZ59	1.35*ZS1 + 1.5*ZS4 + 0.9*ZS11	<input checked="" type="checkbox"/> Průřezy (součinitel pro J, I _y , I _z , A, A _y , A _z)
		<input checked="" type="checkbox"/> Pruty (faktor pro GJ, E _{I_y} , E _{I_z} , EA, GA _y , GA _z)
	Způsob výpočtu	<input checked="" type="checkbox"/> Analýza podle II. řádu (P-Delta)
		<input checked="" type="checkbox"/> Picard
	Metoda pro řešení systému	
	Možnosti	<input checked="" type="checkbox"/> Zohlednit příznivé tahové účinky
		<input checked="" type="checkbox"/> Vztáhnout vnitřní síly na přetvořený systém pro:
	Aktivovat součinitele tuhosti:	<input checked="" type="checkbox"/> Normálové síly N
		<input checked="" type="checkbox"/> Smykové síly V _y a V _z
		<input checked="" type="checkbox"/> Momenty M _y , M _z a M _T
		<input checked="" type="checkbox"/> Materiály (dílčí souč. spolehlivosti γ _M)
		<input checked="" type="checkbox"/> Průřezy (součinitel pro J, I _y , I _z , A, A _y , A _z)
		<input checked="" type="checkbox"/> Pruty (faktor pro GJ, E _{I_y} , E _{I_z} , EA, GA _y , GA _z)
KZ60	1.35*ZS1 + 1.5*ZS5 + 0.9*ZS8	<input checked="" type="checkbox"/> Analýza podle II. řádu (P-Delta)
		<input checked="" type="checkbox"/> Picard
	Způsob výpočtu	
	Metoda pro řešení systému	
	Možnosti	<input checked="" type="checkbox"/> Zohlednit příznivé tahové účinky
		<input checked="" type="checkbox"/> Vztáhnout vnitřní síly na přetvořený systém pro:
	Aktivovat součinitele tuhosti:	<input checked="" type="checkbox"/> Normálové síly N
		<input checked="" type="checkbox"/> Smykové síly V _y a V _z
		<input checked="" type="checkbox"/> Momenty M _y , M _z a M _T
		<input checked="" type="checkbox"/> Materiály (dílčí souč. spolehlivosti γ _M)
		<input checked="" type="checkbox"/> Průřezy (součinitel pro J, I _y , I _z , A, A _y , A _z)
		<input checked="" type="checkbox"/> Pruty (faktor pro GJ, E _{I_y} , E _{I_z} , EA, GA _y , GA _z)
KZ61	1.35*ZS1 + 1.5*ZS5 + 0.9*ZS9	<input checked="" type="checkbox"/> Analýza podle II. řádu (P-Delta)
		<input checked="" type="checkbox"/> Picard
	Způsob výpočtu	
	Metoda pro řešení systému	
	Možnosti	<input checked="" type="checkbox"/> Zohlednit příznivé tahové účinky
		<input checked="" type="checkbox"/> Vztáhnout vnitřní síly na přetvořený systém pro:
	Aktivovat součinitele tuhosti:	<input checked="" type="checkbox"/> Normálové síly N
		<input checked="" type="checkbox"/> Smykové síly V _y a V _z
		<input checked="" type="checkbox"/> Momenty M _y , M _z a M _T
		<input checked="" type="checkbox"/> Materiály (dílčí souč. spolehlivosti γ _M)
		<input checked="" type="checkbox"/> Průřezy (součinitel pro J, I _y , I _z , A, A _y , A _z)
		<input checked="" type="checkbox"/> Pruty (faktor pro GJ, E _{I_y} , E _{I_z} , EA, GA _y , GA _z)
KZ62	1.35*ZS1 + 1.5*ZS5 + 0.9*ZS10	<input checked="" type="checkbox"/> Analýza podle II. řádu (P-Delta)
		<input checked="" type="checkbox"/> Picard
	Způsob výpočtu	
	Metoda pro řešení systému	
	Možnosti	<input checked="" type="checkbox"/> Zohlednit příznivé tahové účinky
		<input checked="" type="checkbox"/> Vztáhnout vnitřní síly na přetvořený systém pro:
	Aktivovat součinitele tuhosti:	<input checked="" type="checkbox"/> Normálové síly N
		<input checked="" type="checkbox"/> Smykové síly V _y a V _z
		<input checked="" type="checkbox"/> Momenty M _y , M _z a M _T
		<input checked="" type="checkbox"/> Materiály (dílčí souč. spolehlivosti γ _M)
		<input checked="" type="checkbox"/> Průřezy (součinitel pro J, I _y , I _z , A, A _y , A _z)
		<input checked="" type="checkbox"/> Pruty (faktor pro GJ, E _{I_y} , E _{I_z} , EA, GA _y , GA _z)
KZ63	1.35*ZS1 + 1.5*ZS5 + 0.9*ZS11	<input checked="" type="checkbox"/> Analýza podle II. řádu (P-Delta)
		<input checked="" type="checkbox"/> Picard
	Způsob výpočtu	
	Metoda pro řešení systému	
	Možnosti	<input checked="" type="checkbox"/> Zohlednit příznivé tahové účinky
		<input checked="" type="checkbox"/> Vztáhnout vnitřní síly na přetvořený systém pro:
	Aktivovat součinitele tuhosti:	<input checked="" type="checkbox"/> Normálové síly N
		<input checked="" type="checkbox"/> Smykové síly V _y a V _z
		<input checked="" type="checkbox"/> Momenty M _y , M _z a M _T
		<input checked="" type="checkbox"/> Materiály (dílčí souč. spolehlivosti γ _M)
		<input checked="" type="checkbox"/> Průřezy (součinitel pro J, I _y , I _z , A, A _y , A _z)
		<input checked="" type="checkbox"/> Pruty (faktor pro GJ, E _{I_y} , E _{I_z} , EA, GA _y , GA _z)
KZ64	1.35*ZS1 + 1.5*ZS7 + 0.9*ZS8	<input checked="" type="checkbox"/> Analýza podle II. řádu (P-Delta)
		<input checked="" type="checkbox"/> Picard
	Způsob výpočtu	
	Metoda pro řešení systému	
	Možnosti	<input checked="" type="checkbox"/> Zohlednit příznivé tahové účinky
		<input checked="" type="checkbox"/> Vztáhnout vnitřní síly na přetvořený systém pro:
	Aktivovat součinitele tuhosti:	<input checked="" type="checkbox"/> Normálové síly N
		<input checked="" type="checkbox"/> Smykové síly V _y a V _z
		<input checked="" type="checkbox"/> Momenty M _y , M _z a M _T
		<input checked="" type="checkbox"/> Materiály (dílčí souč. spolehlivosti γ _M)
		<input checked="" type="checkbox"/> Průřezy (součinitel pro J, I _y , I _z , A, A _y , A _z)
		<input checked="" type="checkbox"/> Pruty (faktor pro GJ, E _{I_y} , E _{I_z} , EA, GA _y , GA _z)
KZ65	1.35*ZS1 + 1.5*ZS7 + 0.9*ZS9	<input checked="" type="checkbox"/> Analýza podle II. řádu (P-Delta)
		<input checked="" type="checkbox"/> Picard
	Způsob výpočtu	
	Metoda pro řešení systému	
	Možnosti	<input checked="" type="checkbox"/> Zohlednit příznivé tahové účinky
		<input checked="" type="checkbox"/> Vztáhnout vnitřní síly na přetvořený systém pro:
	Aktivovat součinitele tuhosti:	<input checked="" type="checkbox"/> Normálové síly N
		<input checked="" type="checkbox"/> Smykové síly V _y a V _z
		<input checked="" type="checkbox"/> Momenty M _y , M _z a M _T
		<input checked="" type="checkbox"/> Materiály (dílčí souč. spolehlivosti γ _M)
		<input checked="" type="checkbox"/> Průřezy (součinitel pro J, I _y , I _z , A, A _y , A _z)
		<input checked="" type="checkbox"/> Pruty (faktor pro GJ, E _{I_y} , E _{I_z} , EA, GA _y , GA _z)
KZ66	1.35*ZS1 + 1.5*ZS7 + 0.9*ZS10	<input checked="" type="checkbox"/> Analýza podle II. řádu (P-Delta)
		<input checked="" type="checkbox"/> Picard
	Způsob výpočtu	
	Metoda pro řešení systému	
	Možnosti	<input checked="" type="checkbox"/> Zohlednit příznivé tahové účinky
		<input checked="" type="checkbox"/> Vztáhnout vnitřní síly na přetvořený s



Projekt: Diplomová práce

Model: Diplomová Práce -KROV

Datum: 17.04.2021

Stropní nosník

Konstrukce Krovu

2.5.2 KOMBINACE ZATÍŽENÍ - PARAMETRY VÝPOČTU

Kombin. zatížení	Označení	Parametry výpočtu
		systém pro: <input checked="" type="checkbox"/> Normálové síly N <input checked="" type="checkbox"/> Smykové síly V_y a V_z <input checked="" type="checkbox"/> Momenty M_y , M_z a M_T Aktivovat součinitele tuhosti: <ul style="list-style-type: none"> <input checked="" type="checkbox"/> Materiály (dílčí souč. spolehlivosti γ_M) <input checked="" type="checkbox"/> Průřezy (součinitel pro J, I_y, I_z, A, A_y, A_z) <input checked="" type="checkbox"/> Pruty (faktor pro GJ, EI_y, EI_z, EA, GA_y, GA_z)
KZ67	1.35*ZS1 + 1.5*ZS7 + 0.9*ZS11	Způsob výpočtu : <input checked="" type="radio"/> Analýza podle II. řádu (P-Delta) Metoda pro řešení systému : <input checked="" type="radio"/> Picard nelineárních algebraických rovnic Možnosti : <input checked="" type="checkbox"/> Zohlednit příznivé tahové účinky <input checked="" type="checkbox"/> Vztáhnout vnitřní síly na přetvořený systém pro: <input checked="" type="checkbox"/> Normálové síly N <input checked="" type="checkbox"/> Smykové síly V_y a V_z <input checked="" type="checkbox"/> Momenty M_y , M_z a M_T Aktivovat součinitele tuhosti: <ul style="list-style-type: none"> <input checked="" type="checkbox"/> Materiály (dílčí souč. spolehlivosti γ_M) <input checked="" type="checkbox"/> Průřezy (součinitel pro J, I_y, I_z, A, A_y, A_z) <input checked="" type="checkbox"/> Pruty (faktor pro GJ, EI_y, EI_z, EA, GA_y, GA_z)
KZ68	1.35*ZS1 + 1.5*ZS4 + 0.9*ZS8 + 1.05*ZS12	Způsob výpočtu : <input checked="" type="radio"/> Analýza podle II. řádu (P-Delta) Metoda pro řešení systému : <input checked="" type="radio"/> Picard nelineárních algebraických rovnic Možnosti : <input checked="" type="checkbox"/> Zohlednit příznivé tahové účinky <input checked="" type="checkbox"/> Vztáhnout vnitřní síly na přetvořený systém pro: <input checked="" type="checkbox"/> Normálové síly N <input checked="" type="checkbox"/> Smykové síly V_y a V_z <input checked="" type="checkbox"/> Momenty M_y , M_z a M_T Aktivovat součinitele tuhosti: <ul style="list-style-type: none"> <input checked="" type="checkbox"/> Materiály (dílčí souč. spolehlivosti γ_M) <input checked="" type="checkbox"/> Průřezy (součinitel pro J, I_y, I_z, A, A_y, A_z) <input checked="" type="checkbox"/> Pruty (faktor pro GJ, EI_y, EI_z, EA, GA_y, GA_z)
KZ69	1.35*ZS1 + 1.5*ZS4 + 0.9*ZS9 + 1.05*ZS12	Způsob výpočtu : <input checked="" type="radio"/> Analýza podle II. řádu (P-Delta) Metoda pro řešení systému : <input checked="" type="radio"/> Picard nelineárních algebraických rovnic Možnosti : <input checked="" type="checkbox"/> Zohlednit příznivé tahové účinky <input checked="" type="checkbox"/> Vztáhnout vnitřní síly na přetvořený systém pro: <input checked="" type="checkbox"/> Normálové síly N <input checked="" type="checkbox"/> Smykové síly V_y a V_z <input checked="" type="checkbox"/> Momenty M_y , M_z a M_T Aktivovat součinitele tuhosti: <ul style="list-style-type: none"> <input checked="" type="checkbox"/> Materiály (dílčí souč. spolehlivosti γ_M) <input checked="" type="checkbox"/> Průřezy (součinitel pro J, I_y, I_z, A, A_y, A_z) <input checked="" type="checkbox"/> Pruty (faktor pro GJ, EI_y, EI_z, EA, GA_y, GA_z)
KZ70	1.35*ZS1 + 1.5*ZS4 + 0.9*ZS10 + 1.05*ZS12	Způsob výpočtu : <input checked="" type="radio"/> Analýza podle II. řádu (P-Delta) Metoda pro řešení systému : <input checked="" type="radio"/> Picard nelineárních algebraických rovnic Možnosti : <input checked="" type="checkbox"/> Zohlednit příznivé tahové účinky <input checked="" type="checkbox"/> Vztáhnout vnitřní síly na přetvořený systém pro: <input checked="" type="checkbox"/> Normálové síly N <input checked="" type="checkbox"/> Smykové síly V_y a V_z <input checked="" type="checkbox"/> Momenty M_y , M_z a M_T Aktivovat součinitele tuhosti: <ul style="list-style-type: none"> <input checked="" type="checkbox"/> Materiály (dílčí souč. spolehlivosti γ_M) <input checked="" type="checkbox"/> Průřezy (součinitel pro J, I_y, I_z, A, A_y, A_z) <input checked="" type="checkbox"/> Pruty (faktor pro GJ, EI_y, EI_z, EA, GA_y, GA_z)
KZ71	1.35*ZS1 + 1.5*ZS4 + 0.9*ZS11 + 1.05*ZS12	Způsob výpočtu : <input checked="" type="radio"/> Analýza podle II. řádu (P-Delta) Metoda pro řešení systému : <input checked="" type="radio"/> Picard nelineárních algebraických rovnic Možnosti : <input checked="" type="checkbox"/> Zohlednit příznivé tahové účinky <input checked="" type="checkbox"/> Vztáhnout vnitřní síly na přetvořený systém pro: <input checked="" type="checkbox"/> Normálové síly N <input checked="" type="checkbox"/> Smykové síly V_y a V_z <input checked="" type="checkbox"/> Momenty M_y , M_z a M_T Aktivovat součinitele tuhosti: <ul style="list-style-type: none"> <input checked="" type="checkbox"/> Materiály (dílčí souč. spolehlivosti γ_M) <input checked="" type="checkbox"/> Průřezy (součinitel pro J, I_y, I_z, A, A_y, A_z) <input checked="" type="checkbox"/> Pruty (faktor pro GJ, EI_y, EI_z, EA, GA_y, GA_z)
KZ72	1.35*ZS1 + 1.5*ZS5 + 0.9*ZS8 + 1.05*ZS12	Způsob výpočtu : <input checked="" type="radio"/> Analýza podle II. řádu (P-Delta) Metoda pro řešení systému : <input checked="" type="radio"/> Picard nelineárních algebraických rovnic Možnosti : <input checked="" type="checkbox"/> Zohlednit příznivé tahové účinky <input checked="" type="checkbox"/> Vztáhnout vnitřní síly na přetvořený systém pro: <input checked="" type="checkbox"/> Normálové síly N <input checked="" type="checkbox"/> Smykové síly V_y a V_z <input checked="" type="checkbox"/> Momenty M_y , M_z a M_T Aktivovat součinitele tuhosti: <ul style="list-style-type: none"> <input checked="" type="checkbox"/> Materiály (dílčí souč. spolehlivosti γ_M) <input checked="" type="checkbox"/> Průřezy (součinitel pro J, I_y, I_z, A, A_y, A_z) <input checked="" type="checkbox"/> Pruty (faktor pro GJ, EI_y, EI_z, EA, GA_y, GA_z)
KZ73	1.35*ZS1 + 1.5*ZS5 + 0.9*ZS9 + 1.05*ZS12	Způsob výpočtu : <input checked="" type="radio"/> Analýza podle II. řádu (P-Delta) Metoda pro řešení systému : <input checked="" type="radio"/> Picard nelineárních algebraických rovnic Možnosti : <input checked="" type="checkbox"/> Zohlednit příznivé tahové účinky <input checked="" type="checkbox"/> Vztáhnout vnitřní síly na přetvořený systém pro: <input checked="" type="checkbox"/> Normálové síly N <input checked="" type="checkbox"/> Smykové síly V_y a V_z <input checked="" type="checkbox"/> Momenty M_y , M_z a M_T



Projekt: Diplomová práce

Model: Diplomová Práce -KROV

Datum: 17.04.2021

Stropní nosník

Konstrukce Krovu

2.5.2 KOMBINACE ZATÍŽENÍ - PARAMETRY VÝPOČTU

Kombin. zatížení	Označení	Parametry výpočtu
		<input checked="" type="checkbox"/> Normálové síly N <input checked="" type="checkbox"/> Smykové síly V_y a V_z <input checked="" type="checkbox"/> Momenty M_y , M_z a M_T Aktivovat součinitele tuhosti: <input checked="" type="checkbox"/> Materiály (dílcí souč. spolehlivosti γ_M) <input checked="" type="checkbox"/> Průřezy (součinitel pro J , I_y , I_z , A , A_y , A_z) <input checked="" type="checkbox"/> Pruty (faktor pro GJ , EI_y , EI_z , EA , GA_y , GA_z)
KZ74	1.35*ZS1 + 1.5*ZS5 + 0.9*ZS10 + 1.05*ZS12	Způsob výpočtu <input checked="" type="radio"/> Analýza podle II. řádu (P-Delta) Metoda pro řešení systému nelineárních algebraických rovnic <input checked="" type="radio"/> Picard Možnosti <input checked="" type="checkbox"/> Zohlednit příznivé tahové účinky <input checked="" type="checkbox"/> Vztáhnout vnitřní síly na přetvořený systém pro: <input checked="" type="checkbox"/> Normálové síly N <input checked="" type="checkbox"/> Smykové síly V_y a V_z <input checked="" type="checkbox"/> Momenty M_y , M_z a M_T Aktivovat součinitele tuhosti: <input checked="" type="checkbox"/> Materiály (dílcí souč. spolehlivosti γ_M) <input checked="" type="checkbox"/> Průřezy (součinitel pro J , I_y , I_z , A , A_y , A_z) <input checked="" type="checkbox"/> Pruty (faktor pro GJ , EI_y , EI_z , EA , GA_y , GA_z)
KZ75	1.35*ZS1 + 1.5*ZS5 + 0.9*ZS11 + 1.05*ZS12	Způsob výpočtu <input checked="" type="radio"/> Analýza podle II. řádu (P-Delta) Metoda pro řešení systému nelineárních algebraických rovnic <input checked="" type="radio"/> Picard Možnosti <input checked="" type="checkbox"/> Zohlednit příznivé tahové účinky <input checked="" type="checkbox"/> Vztáhnout vnitřní síly na přetvořený systém pro: <input checked="" type="checkbox"/> Normálové síly N <input checked="" type="checkbox"/> Smykové síly V_y a V_z <input checked="" type="checkbox"/> Momenty M_y , M_z a M_T Aktivovat součinitele tuhosti: <input checked="" type="checkbox"/> Materiály (dílcí souč. spolehlivosti γ_M) <input checked="" type="checkbox"/> Průřezy (součinitel pro J , I_y , I_z , A , A_y , A_z) <input checked="" type="checkbox"/> Pruty (faktor pro GJ , EI_y , EI_z , EA , GA_y , GA_z)
KZ76	1.35*ZS1 + 1.5*ZS7 + 0.9*ZS8 + 1.05*ZS12	Způsob výpočtu <input checked="" type="radio"/> Analýza podle II. řádu (P-Delta) Metoda pro řešení systému nelineárních algebraických rovnic <input checked="" type="radio"/> Picard Možnosti <input checked="" type="checkbox"/> Zohlednit příznivé tahové účinky <input checked="" type="checkbox"/> Vztáhnout vnitřní síly na přetvořený systém pro: <input checked="" type="checkbox"/> Normálové síly N <input checked="" type="checkbox"/> Smykové síly V_y a V_z <input checked="" type="checkbox"/> Momenty M_y , M_z a M_T Aktivovat součinitele tuhosti: <input checked="" type="checkbox"/> Materiály (dílcí souč. spolehlivosti γ_M) <input checked="" type="checkbox"/> Průřezy (součinitel pro J , I_y , I_z , A , A_y , A_z) <input checked="" type="checkbox"/> Pruty (faktor pro GJ , EI_y , EI_z , EA , GA_y , GA_z)
KZ77	1.35*ZS1 + 1.5*ZS7 + 0.9*ZS9 + 1.05*ZS12	Způsob výpočtu <input checked="" type="radio"/> Analýza podle II. řádu (P-Delta) Metoda pro řešení systému nelineárních algebraických rovnic <input checked="" type="radio"/> Picard Možnosti <input checked="" type="checkbox"/> Zohlednit příznivé tahové účinky <input checked="" type="checkbox"/> Vztáhnout vnitřní síly na přetvořený systém pro: <input checked="" type="checkbox"/> Normálové síly N <input checked="" type="checkbox"/> Smykové síly V_y a V_z <input checked="" type="checkbox"/> Momenty M_y , M_z a M_T Aktivovat součinitele tuhosti: <input checked="" type="checkbox"/> Materiály (dílcí souč. spolehlivosti γ_M) <input checked="" type="checkbox"/> Průřezy (součinitel pro J , I_y , I_z , A , A_y , A_z) <input checked="" type="checkbox"/> Pruty (faktor pro GJ , EI_y , EI_z , EA , GA_y , GA_z)
KZ78	1.35*ZS1 + 1.5*ZS7 + 0.9*ZS10 + 1.05*ZS12	Způsob výpočtu <input checked="" type="radio"/> Analýza podle II. řádu (P-Delta) Metoda pro řešení systému nelineárních algebraických rovnic <input checked="" type="radio"/> Picard Možnosti <input checked="" type="checkbox"/> Zohlednit příznivé tahové účinky <input checked="" type="checkbox"/> Vztáhnout vnitřní síly na přetvořený systém pro: <input checked="" type="checkbox"/> Normálové síly N <input checked="" type="checkbox"/> Smykové síly V_y a V_z <input checked="" type="checkbox"/> Momenty M_y , M_z a M_T Aktivovat součinitele tuhosti: <input checked="" type="checkbox"/> Materiály (dílcí souč. spolehlivosti γ_M) <input checked="" type="checkbox"/> Průřezy (součinitel pro J , I_y , I_z , A , A_y , A_z) <input checked="" type="checkbox"/> Pruty (faktor pro GJ , EI_y , EI_z , EA , GA_y , GA_z)
KZ79	1.35*ZS1 + 1.5*ZS7 + 0.9*ZS11 + 1.05*ZS12	Způsob výpočtu <input checked="" type="radio"/> Analýza podle II. řádu (P-Delta) Metoda pro řešení systému nelineárních algebraických rovnic <input checked="" type="radio"/> Picard Možnosti <input checked="" type="checkbox"/> Zohlednit příznivé tahové účinky <input checked="" type="checkbox"/> Vztáhnout vnitřní síly na přetvořený systém pro: <input checked="" type="checkbox"/> Normálové síly N <input checked="" type="checkbox"/> Smykové síly V_y a V_z <input checked="" type="checkbox"/> Momenty M_y , M_z a M_T Aktivovat součinitele tuhosti: <input checked="" type="checkbox"/> Materiály (dílcí souč. spolehlivosti γ_M) <input checked="" type="checkbox"/> Průřezy (součinitel pro J , I_y , I_z , A , A_y , A_z) <input checked="" type="checkbox"/> Pruty (faktor pro GJ , EI_y , EI_z , EA , GA_y , GA_z)
KZ80	1.35*ZS1 + 1.5*ZS4 + 1.05*ZS12	Způsob výpočtu <input checked="" type="radio"/> Analýza podle II. řádu (P-Delta) Metoda pro řešení systému nelineárních algebraických rovnic <input checked="" type="radio"/> Picard Možnosti <input checked="" type="checkbox"/> Zohlednit příznivé tahové účinky <input checked="" type="checkbox"/> Vztáhnout vnitřní síly na přetvořený systém pro: <input checked="" type="checkbox"/> Normálové síly N



Projekt: Diplomová práce

Model: Diplomová Práce -KROV

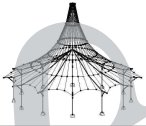
Datum: 17.04.2021

Stropní nosník

Konstrukce Krovu

2.5.2 KOMBINACE ZATÍŽENÍ - PARAMETRY VÝPOČTU

Kombin. zatížení	Označení	Parametry výpočtu
		<input checked="" type="checkbox"/> Smykové síly V_y a V_z <input checked="" type="checkbox"/> Momenty M_y , M_z a M_T Aktivovat součinitele tuhosti: <input checked="" type="checkbox"/> Materiály (dílicí souč. spolehlivosti γ_M) <input checked="" type="checkbox"/> Průřezy (součinitel pro J_y , J_z , A , A_y , A_z) <input checked="" type="checkbox"/> Pruty (faktor pro GJ , EI_y , EI_z , EA , GA_y , GA_z)
KZ81	1.35*ZS1 + 1.5*ZS5 + 1.05*ZS12	Způsob výpočtu : <input checked="" type="checkbox"/> Analýza podle II. řádu (P-Delta) Metoda pro řešení systému : <input checked="" type="checkbox"/> Picard nelineárních algebraických rovnic Možnosti : <input checked="" type="checkbox"/> Zohlednit příznivé tahové účinky <input checked="" type="checkbox"/> Vztáhnout vnitřní síly na přetvoření systém pro: <input checked="" type="checkbox"/> Normálové síly N <input checked="" type="checkbox"/> Smykové síly V_y a V_z <input checked="" type="checkbox"/> Momenty M_y , M_z a M_T Aktivovat součinitele tuhosti: <input checked="" type="checkbox"/> Materiály (dílicí souč. spolehlivosti γ_M) <input checked="" type="checkbox"/> Průřezy (součinitel pro J_y , J_z , A , A_y , A_z) <input checked="" type="checkbox"/> Pruty (faktor pro GJ , EI_y , EI_z , EA , GA_y , GA_z)
KZ82	1.35*ZS1 + 1.5*ZS7 + 1.05*ZS12	Způsob výpočtu : <input checked="" type="checkbox"/> Analýza podle II. řádu (P-Delta) Metoda pro řešení systému : <input checked="" type="checkbox"/> Picard nelineárních algebraických rovnic Možnosti : <input checked="" type="checkbox"/> Zohlednit příznivé tahové účinky <input checked="" type="checkbox"/> Vztáhnout vnitřní síly na přetvoření systém pro: <input checked="" type="checkbox"/> Normálové síly N <input checked="" type="checkbox"/> Smykové síly V_y a V_z <input checked="" type="checkbox"/> Momenty M_y , M_z a M_T Aktivovat součinitele tuhosti: <input checked="" type="checkbox"/> Materiály (dílicí souč. spolehlivosti γ_M) <input checked="" type="checkbox"/> Průřezy (součinitel pro J_y , J_z , A , A_y , A_z) <input checked="" type="checkbox"/> Pruty (faktor pro GJ , EI_y , EI_z , EA , GA_y , GA_z)
KZ83	1.35*ZS1 + 1.5*ZS8	Způsob výpočtu : <input checked="" type="checkbox"/> Analýza podle II. řádu (P-Delta) Metoda pro řešení systému : <input checked="" type="checkbox"/> Picard nelineárních algebraických rovnic Možnosti : <input checked="" type="checkbox"/> Zohlednit příznivé tahové účinky <input checked="" type="checkbox"/> Vztáhnout vnitřní síly na přetvoření systém pro: <input checked="" type="checkbox"/> Normálové síly N <input checked="" type="checkbox"/> Smykové síly V_y a V_z <input checked="" type="checkbox"/> Momenty M_y , M_z a M_T Aktivovat součinitele tuhosti: <input checked="" type="checkbox"/> Materiály (dílicí souč. spolehlivosti γ_M) <input checked="" type="checkbox"/> Průřezy (součinitel pro J_y , J_z , A , A_y , A_z) <input checked="" type="checkbox"/> Pruty (faktor pro GJ , EI_y , EI_z , EA , GA_y , GA_z)
KZ84	1.35*ZS1 + 1.5*ZS9	Způsob výpočtu : <input checked="" type="checkbox"/> Analýza podle II. řádu (P-Delta) Metoda pro řešení systému : <input checked="" type="checkbox"/> Picard nelineárních algebraických rovnic Možnosti : <input checked="" type="checkbox"/> Zohlednit příznivé tahové účinky <input checked="" type="checkbox"/> Vztáhnout vnitřní síly na přetvoření systém pro: <input checked="" type="checkbox"/> Normálové síly N <input checked="" type="checkbox"/> Smykové síly V_y a V_z <input checked="" type="checkbox"/> Momenty M_y , M_z a M_T Aktivovat součinitele tuhosti: <input checked="" type="checkbox"/> Materiály (dílicí souč. spolehlivosti γ_M) <input checked="" type="checkbox"/> Průřezy (součinitel pro J_y , J_z , A , A_y , A_z) <input checked="" type="checkbox"/> Pruty (faktor pro GJ , EI_y , EI_z , EA , GA_y , GA_z)
KZ85	1.35*ZS1 + 1.5*ZS10	Způsob výpočtu : <input checked="" type="checkbox"/> Analýza podle II. řádu (P-Delta) Metoda pro řešení systému : <input checked="" type="checkbox"/> Picard nelineárních algebraických rovnic Možnosti : <input checked="" type="checkbox"/> Zohlednit příznivé tahové účinky <input checked="" type="checkbox"/> Vztáhnout vnitřní síly na přetvoření systém pro: <input checked="" type="checkbox"/> Normálové síly N <input checked="" type="checkbox"/> Smykové síly V_y a V_z <input checked="" type="checkbox"/> Momenty M_y , M_z a M_T Aktivovat součinitele tuhosti: <input checked="" type="checkbox"/> Materiály (dílicí souč. spolehlivosti γ_M) <input checked="" type="checkbox"/> Průřezy (součinitel pro J_y , J_z , A , A_y , A_z) <input checked="" type="checkbox"/> Pruty (faktor pro GJ , EI_y , EI_z , EA , GA_y , GA_z)
KZ86	1.35*ZS1 + 1.5*ZS11	Způsob výpočtu : <input checked="" type="checkbox"/> Analýza podle II. řádu (P-Delta) Metoda pro řešení systému : <input checked="" type="checkbox"/> Picard nelineárních algebraických rovnic Možnosti : <input checked="" type="checkbox"/> Zohlednit příznivé tahové účinky <input checked="" type="checkbox"/> Vztáhnout vnitřní síly na přetvoření systém pro: <input checked="" type="checkbox"/> Normálové síly N <input checked="" type="checkbox"/> Smykové síly V_y a V_z <input checked="" type="checkbox"/> Momenty M_y , M_z a M_T Aktivovat součinitele tuhosti: <input checked="" type="checkbox"/> Materiály (dílicí souč. spolehlivosti γ_M) <input checked="" type="checkbox"/> Průřezy (součinitel pro J_y , J_z , A , A_y , A_z) <input checked="" type="checkbox"/> Pruty (faktor pro GJ , EI_y , EI_z , EA , GA_y , GA_z)
KZ87	1.35*ZS1 + 1.35*ZS2 + 1.5*ZS8	Způsob výpočtu : <input checked="" type="checkbox"/> Analýza podle II. řádu (P-Delta) Metoda pro řešení systému : <input checked="" type="checkbox"/> Picard nelineárních algebraických rovnic Možnosti : <input checked="" type="checkbox"/> Zohlednit příznivé tahové účinky <input checked="" type="checkbox"/> Vztáhnout vnitřní síly na přetvoření systém pro: <input checked="" type="checkbox"/> Normálové síly N <input checked="" type="checkbox"/> Smykové síly V_y a V_z <input checked="" type="checkbox"/> Momenty M_y , M_z a M_T Aktivovat součinitele tuhosti: <input checked="" type="checkbox"/> Materiály (dílicí souč. spolehlivosti γ_M) <input checked="" type="checkbox"/> Průřezy (součinitel pro J_y , J_z , A , A_y , A_z) <input checked="" type="checkbox"/> Pruty (faktor pro GJ , EI_y , EI_z , EA , GA_y , GA_z)
KZ88	1.35*ZS1 + 1.35*ZS2 + 1.5*ZS9	Způsob výpočtu : <input checked="" type="checkbox"/> Analýza podle II. řádu (P-Delta) Metoda pro řešení systému : <input checked="" type="checkbox"/> Picard nelineárních algebraických rovnic



Projekt: Diplomová práce

Model: Diplomová Práce -KROV

Datum: 17.04.2021

Stropní nosník

Konstrukce Krovu

2.5.2 KOMBINACE ZATÍŽENÍ - PARAMETRY VÝPOČTU

Kombin. zatížení	Označení	Parametry výpočtu
		nelineárních algebraických rovnic Možnosti : <input checked="" type="checkbox"/> Zohlednit příznivé tahové účinky <input checked="" type="checkbox"/> Vztáhnout vnitřní síly na přetvořený systém pro: <input checked="" type="checkbox"/> Normálové síly N <input checked="" type="checkbox"/> Smykové síly V_y a V_z <input checked="" type="checkbox"/> Momenty M_y , M_z a M_T Aktivovat součinitele tuhosti: : <input checked="" type="checkbox"/> Materiály (díličí souč. spolehlivosti γ_M) <input checked="" type="checkbox"/> Průřezy (součinitel pro J, I_y, I_z, A, A_y, A_z) <input checked="" type="checkbox"/> Pruty (faktor pro $GJ, EI_y, EI_z, EA, GA_y, GA_z$)
KZ89	1.35*ZS1 + 1.35*ZS2 + 1.5*ZS10	Způsob výpočtu : <input checked="" type="checkbox"/> Analýza podle II. řádu (P-Delta) Metoda pro řešení systému nelineárních algebraických rovnic : <input checked="" type="checkbox"/> Picard Možnosti : <input checked="" type="checkbox"/> Zohlednit příznivé tahové účinky <input checked="" type="checkbox"/> Vztáhnout vnitřní síly na přetvořený systém pro: <input checked="" type="checkbox"/> Normálové síly N <input checked="" type="checkbox"/> Smykové síly V_y a V_z <input checked="" type="checkbox"/> Momenty M_y , M_z a M_T Aktivovat součinitele tuhosti: : <input checked="" type="checkbox"/> Materiály (díličí souč. spolehlivosti γ_M) <input checked="" type="checkbox"/> Průřezy (součinitel pro J, I_y, I_z, A, A_y, A_z) <input checked="" type="checkbox"/> Pruty (faktor pro $GJ, EI_y, EI_z, EA, GA_y, GA_z$)
KZ90	1.35*ZS1 + 1.35*ZS2 + 1.5*ZS11	Způsob výpočtu : <input checked="" type="checkbox"/> Analýza podle II. řádu (P-Delta) Metoda pro řešení systému nelineárních algebraických rovnic : <input checked="" type="checkbox"/> Picard Možnosti : <input checked="" type="checkbox"/> Zohlednit příznivé tahové účinky <input checked="" type="checkbox"/> Vztáhnout vnitřní síly na přetvořený systém pro: <input checked="" type="checkbox"/> Normálové síly N <input checked="" type="checkbox"/> Smykové síly V_y a V_z <input checked="" type="checkbox"/> Momenty M_y , M_z a M_T Aktivovat součinitele tuhosti: : <input checked="" type="checkbox"/> Materiály (díličí souč. spolehlivosti γ_M) <input checked="" type="checkbox"/> Průřezy (součinitel pro J, I_y, I_z, A, A_y, A_z) <input checked="" type="checkbox"/> Pruty (faktor pro $GJ, EI_y, EI_z, EA, GA_y, GA_z$)
KZ91	1.35*ZS1 + 1.35*ZS2 + 0.75*ZS4 + 1.5*ZS8	Způsob výpočtu : <input checked="" type="checkbox"/> Analýza podle II. řádu (P-Delta) Metoda pro řešení systému nelineárních algebraických rovnic : <input checked="" type="checkbox"/> Picard Možnosti : <input checked="" type="checkbox"/> Zohlednit příznivé tahové účinky <input checked="" type="checkbox"/> Vztáhnout vnitřní síly na přetvořený systém pro: <input checked="" type="checkbox"/> Normálové síly N <input checked="" type="checkbox"/> Smykové síly V_y a V_z <input checked="" type="checkbox"/> Momenty M_y , M_z a M_T Aktivovat součinitele tuhosti: : <input checked="" type="checkbox"/> Materiály (díličí souč. spolehlivosti γ_M) <input checked="" type="checkbox"/> Průřezy (součinitel pro J, I_y, I_z, A, A_y, A_z) <input checked="" type="checkbox"/> Pruty (faktor pro $GJ, EI_y, EI_z, EA, GA_y, GA_z$)
KZ92	1.35*ZS1 + 1.35*ZS2 + 0.75*ZS4 + 1.5*ZS9	Způsob výpočtu : <input checked="" type="checkbox"/> Analýza podle II. řádu (P-Delta) Metoda pro řešení systému nelineárních algebraických rovnic : <input checked="" type="checkbox"/> Picard Možnosti : <input checked="" type="checkbox"/> Zohlednit příznivé tahové účinky <input checked="" type="checkbox"/> Vztáhnout vnitřní síly na přetvořený systém pro: <input checked="" type="checkbox"/> Normálové síly N <input checked="" type="checkbox"/> Smykové síly V_y a V_z <input checked="" type="checkbox"/> Momenty M_y , M_z a M_T Aktivovat součinitele tuhosti: : <input checked="" type="checkbox"/> Materiály (díličí souč. spolehlivosti γ_M) <input checked="" type="checkbox"/> Průřezy (součinitel pro J, I_y, I_z, A, A_y, A_z) <input checked="" type="checkbox"/> Pruty (faktor pro $GJ, EI_y, EI_z, EA, GA_y, GA_z$)
KZ93	1.35*ZS1 + 1.35*ZS2 + 0.75*ZS4 + 1.5*ZS10	Způsob výpočtu : <input checked="" type="checkbox"/> Analýza podle II. řádu (P-Delta) Metoda pro řešení systému nelineárních algebraických rovnic : <input checked="" type="checkbox"/> Picard Možnosti : <input checked="" type="checkbox"/> Zohlednit příznivé tahové účinky <input checked="" type="checkbox"/> Vztáhnout vnitřní síly na přetvořený systém pro: <input checked="" type="checkbox"/> Normálové síly N <input checked="" type="checkbox"/> Smykové síly V_y a V_z <input checked="" type="checkbox"/> Momenty M_y , M_z a M_T Aktivovat součinitele tuhosti: : <input checked="" type="checkbox"/> Materiály (díličí souč. spolehlivosti γ_M) <input checked="" type="checkbox"/> Průřezy (součinitel pro J, I_y, I_z, A, A_y, A_z) <input checked="" type="checkbox"/> Pruty (faktor pro $GJ, EI_y, EI_z, EA, GA_y, GA_z$)
KZ94	1.35*ZS1 + 1.35*ZS2 + 0.75*ZS4 + 1.5*ZS11	Způsob výpočtu : <input checked="" type="checkbox"/> Analýza podle II. řádu (P-Delta) Metoda pro řešení systému nelineárních algebraických rovnic : <input checked="" type="checkbox"/> Picard Možnosti : <input checked="" type="checkbox"/> Zohlednit příznivé tahové účinky <input checked="" type="checkbox"/> Vztáhnout vnitřní síly na přetvořený systém pro: <input checked="" type="checkbox"/> Normálové síly N <input checked="" type="checkbox"/> Smykové síly V_y a V_z <input checked="" type="checkbox"/> Momenty M_y , M_z a M_T Aktivovat součinitele tuhosti: : <input checked="" type="checkbox"/> Materiály (díličí souč. spolehlivosti γ_M) <input checked="" type="checkbox"/> Průřezy (součinitel pro J, I_y, I_z, A, A_y, A_z) <input checked="" type="checkbox"/> Pruty (faktor pro $GJ, EI_y, EI_z, EA, GA_y, GA_z$)
KZ95	1.35*ZS1 + 1.35*ZS2 + 0.75*ZS5 + 1.5*ZS8	Způsob výpočtu : <input checked="" type="checkbox"/> Analýza podle II. řádu (P-Delta) Metoda pro řešení systému nelineárních algebraických rovnic : <input checked="" type="checkbox"/> Picard Možnosti : <input checked="" type="checkbox"/> Zohlednit příznivé tahové účinky



Projekt: Diplomová práce

Model: Diplomová Práce -KROV

Datum: 17.04.2021

Stropní nosník

Konstrukce Krovu

2.5.2 KOMBINACE ZATÍŽENÍ - PARAMETRY VÝPOČTU

Kombin. zatížení	Označení	Parametry výpočtu
		<input checked="" type="checkbox"/> Vztáhnout vnitřní síly na přetvořený systém pro: <input checked="" type="checkbox"/> Normálové síly N <input checked="" type="checkbox"/> Smykové síly V_y a V_z <input checked="" type="checkbox"/> Momenty M_y , M_z a M_T Aktivovat součinitele tuhosti: <ul style="list-style-type: none"> <input checked="" type="checkbox"/> Materiály (dílní souč. spolehlivosti γ_M) <input checked="" type="checkbox"/> Průřezy (součinitel pro J, I_y, I_z, A, A_y, A_z) <input checked="" type="checkbox"/> Pruty (faktor pro GJ, EI_y, EI_z, EA, GA_y, GA_z)
KZ96	1.35*ZS1 + 1.35*ZS2 + 0.75*ZS5 + 1.5*ZS9	Způsob výpočtu: <input checked="" type="radio"/> Analýza podle II. řádu (P-Delta) Metoda pro řešení systému nelineárních algebraických rovnic: <input checked="" type="radio"/> Picard Možnosti: <ul style="list-style-type: none"> <input checked="" type="checkbox"/> Zohlednit příznivé tahové účinky <input checked="" type="checkbox"/> Vztáhnout vnitřní síly na přetvořený systém pro: <input checked="" type="checkbox"/> Normálové síly N <input checked="" type="checkbox"/> Smykové síly V_y a V_z <input checked="" type="checkbox"/> Momenty M_y, M_z a M_T Aktivovat součinitele tuhosti: <ul style="list-style-type: none"> <input checked="" type="checkbox"/> Materiály (dílní souč. spolehlivosti γ_M) <input checked="" type="checkbox"/> Průřezy (součinitel pro J, I_y, I_z, A, A_y, A_z) <input checked="" type="checkbox"/> Pruty (faktor pro GJ, EI_y, EI_z, EA, GA_y, GA_z)
KZ97	1.35*ZS1 + 1.35*ZS2 + 0.75*ZS5 + 1.5*ZS10	Způsob výpočtu: <input checked="" type="radio"/> Analýza podle II. řádu (P-Delta) Metoda pro řešení systému nelineárních algebraických rovnic: <input checked="" type="radio"/> Picard Možnosti: <ul style="list-style-type: none"> <input checked="" type="checkbox"/> Zohlednit příznivé tahové účinky <input checked="" type="checkbox"/> Vztáhnout vnitřní síly na přetvořený systém pro: <input checked="" type="checkbox"/> Normálové síly N <input checked="" type="checkbox"/> Smykové síly V_y a V_z <input checked="" type="checkbox"/> Momenty M_y, M_z a M_T Aktivovat součinitele tuhosti: <ul style="list-style-type: none"> <input checked="" type="checkbox"/> Materiály (dílní souč. spolehlivosti γ_M) <input checked="" type="checkbox"/> Průřezy (součinitel pro J, I_y, I_z, A, A_y, A_z) <input checked="" type="checkbox"/> Pruty (faktor pro GJ, EI_y, EI_z, EA, GA_y, GA_z)
KZ98	1.35*ZS1 + 1.35*ZS2 + 0.75*ZS5 + 1.5*ZS11	Způsob výpočtu: <input checked="" type="radio"/> Analýza podle II. řádu (P-Delta) Metoda pro řešení systému nelineárních algebraických rovnic: <input checked="" type="radio"/> Picard Možnosti: <ul style="list-style-type: none"> <input checked="" type="checkbox"/> Zohlednit příznivé tahové účinky <input checked="" type="checkbox"/> Vztáhnout vnitřní síly na přetvořený systém pro: <input checked="" type="checkbox"/> Normálové síly N <input checked="" type="checkbox"/> Smykové síly V_y a V_z <input checked="" type="checkbox"/> Momenty M_y, M_z a M_T Aktivovat součinitele tuhosti: <ul style="list-style-type: none"> <input checked="" type="checkbox"/> Materiály (dílní souč. spolehlivosti γ_M) <input checked="" type="checkbox"/> Průřezy (součinitel pro J, I_y, I_z, A, A_y, A_z) <input checked="" type="checkbox"/> Pruty (faktor pro GJ, EI_y, EI_z, EA, GA_y, GA_z)
KZ99	1.35*ZS1 + 1.35*ZS2 + 0.75*ZS7 + 1.5*ZS8	Způsob výpočtu: <input checked="" type="radio"/> Analýza podle II. řádu (P-Delta) Metoda pro řešení systému nelineárních algebraických rovnic: <input checked="" type="radio"/> Picard Možnosti: <ul style="list-style-type: none"> <input checked="" type="checkbox"/> Zohlednit příznivé tahové účinky <input checked="" type="checkbox"/> Vztáhnout vnitřní síly na přetvořený systém pro: <input checked="" type="checkbox"/> Normálové síly N <input checked="" type="checkbox"/> Smykové síly V_y a V_z <input checked="" type="checkbox"/> Momenty M_y, M_z a M_T Aktivovat součinitele tuhosti: <ul style="list-style-type: none"> <input checked="" type="checkbox"/> Materiály (dílní souč. spolehlivosti γ_M) <input checked="" type="checkbox"/> Průřezy (součinitel pro J, I_y, I_z, A, A_y, A_z) <input checked="" type="checkbox"/> Pruty (faktor pro GJ, EI_y, EI_z, EA, GA_y, GA_z)
KZ100	1.35*ZS1 + 1.35*ZS2 + 0.75*ZS7 + 1.5*ZS9	Způsob výpočtu: <input checked="" type="radio"/> Analýza podle II. řádu (P-Delta) Metoda pro řešení systému nelineárních algebraických rovnic: <input checked="" type="radio"/> Picard Možnosti: <ul style="list-style-type: none"> <input checked="" type="checkbox"/> Zohlednit příznivé tahové účinky <input checked="" type="checkbox"/> Vztáhnout vnitřní síly na přetvořený systém pro: <input checked="" type="checkbox"/> Normálové síly N <input checked="" type="checkbox"/> Smykové síly V_y a V_z <input checked="" type="checkbox"/> Momenty M_y, M_z a M_T Aktivovat součinitele tuhosti: <ul style="list-style-type: none"> <input checked="" type="checkbox"/> Materiály (dílní souč. spolehlivosti γ_M) <input checked="" type="checkbox"/> Průřezy (součinitel pro J, I_y, I_z, A, A_y, A_z) <input checked="" type="checkbox"/> Pruty (faktor pro GJ, EI_y, EI_z, EA, GA_y, GA_z)
KZ101	1.35*ZS1 + 1.35*ZS2 + 0.75*ZS7 + 1.5*ZS10	Způsob výpočtu: <input checked="" type="radio"/> Analýza podle II. řádu (P-Delta) Metoda pro řešení systému nelineárních algebraických rovnic: <input checked="" type="radio"/> Picard Možnosti: <ul style="list-style-type: none"> <input checked="" type="checkbox"/> Zohlednit příznivé tahové účinky <input checked="" type="checkbox"/> Vztáhnout vnitřní síly na přetvořený systém pro: <input checked="" type="checkbox"/> Normálové síly N <input checked="" type="checkbox"/> Smykové síly V_y a V_z <input checked="" type="checkbox"/> Momenty M_y, M_z a M_T Aktivovat součinitele tuhosti: <ul style="list-style-type: none"> <input checked="" type="checkbox"/> Materiály (dílní souč. spolehlivosti γ_M) <input checked="" type="checkbox"/> Průřezy (součinitel pro J, I_y, I_z, A, A_y, A_z) <input checked="" type="checkbox"/> Pruty (faktor pro GJ, EI_y, EI_z, EA, GA_y, GA_z)
KZ102	1.35*ZS1 + 1.35*ZS2 + 0.75*ZS7 + 1.5*ZS11	Způsob výpočtu: <input checked="" type="radio"/> Analýza podle II. řádu (P-Delta) Metoda pro řešení systému nelineárních algebraických rovnic: <input checked="" type="radio"/> Picard Možnosti: <ul style="list-style-type: none"> <input checked="" type="checkbox"/> Zohlednit příznivé tahové účinky



Projekt: Diplomová práce

Model: Diplomová Práce -KROV

Datum: 17.04.2021

Stropní nosník

Konstrukce Krovu

2.5.2 KOMBINACE ZATÍŽENÍ - PARAMETRY VÝPOČTU

Kombin. zatížení	Označení	Parametry výpočtu
		<input checked="" type="checkbox"/> Vztáhnout vnitřní síly na přetvořený systém pro: <input checked="" type="checkbox"/> Normálové síly N <input checked="" type="checkbox"/> Smykové síly V_y a V_z <input checked="" type="checkbox"/> Momenty M_y , M_z a M_T Aktivovat součinitele tuhosti: <input checked="" type="checkbox"/> Materiály (dílcí souč. spolehlivosti γ_M) <input checked="" type="checkbox"/> Průřezy (součinitel pro J , I_y , I_z , A , A_y , A_z) <input checked="" type="checkbox"/> Pruty (faktor pro GJ , EI_y , EI_z , EA , GA_y , GA_z)
KZ103	1.35*ZS1 + 1.35*ZS2 + 0.75*ZS4 + 1.5*ZS8 + 1.05*ZS12	Způsob výpočtu <input checked="" type="radio"/> Analýza podle II. řádu (P-Delta) Metoda pro řešení systému nelineárních algebraických rovnic <input checked="" type="radio"/> Picard Možnosti <input checked="" type="checkbox"/> Zohlednit příznivé tahové účinky <input checked="" type="checkbox"/> Vztáhnout vnitřní síly na přetvořený systém pro: <input checked="" type="checkbox"/> Normálové síly N <input checked="" type="checkbox"/> Smykové síly V_y a V_z <input checked="" type="checkbox"/> Momenty M_y , M_z a M_T Aktivovat součinitele tuhosti: <input checked="" type="checkbox"/> Materiály (dílcí souč. spolehlivosti γ_M) <input checked="" type="checkbox"/> Průřezy (součinitel pro J , I_y , I_z , A , A_y , A_z) <input checked="" type="checkbox"/> Pruty (faktor pro GJ , EI_y , EI_z , EA , GA_y , GA_z)
KZ104	1.35*ZS1 + 1.35*ZS2 + 0.75*ZS4 + 1.5*ZS9 + 1.05*ZS12	Způsob výpočtu <input checked="" type="radio"/> Analýza podle II. řádu (P-Delta) Metoda pro řešení systému nelineárních algebraických rovnic <input checked="" type="radio"/> Picard Možnosti <input checked="" type="checkbox"/> Zohlednit příznivé tahové účinky <input checked="" type="checkbox"/> Vztáhnout vnitřní síly na přetvořený systém pro: <input checked="" type="checkbox"/> Normálové síly N <input checked="" type="checkbox"/> Smykové síly V_y a V_z <input checked="" type="checkbox"/> Momenty M_y , M_z a M_T Aktivovat součinitele tuhosti: <input checked="" type="checkbox"/> Materiály (dílcí souč. spolehlivosti γ_M) <input checked="" type="checkbox"/> Průřezy (součinitel pro J , I_y , I_z , A , A_y , A_z) <input checked="" type="checkbox"/> Pruty (faktor pro GJ , EI_y , EI_z , EA , GA_y , GA_z)
KZ105	1.35*ZS1 + 1.35*ZS2 + 0.75*ZS4 + 1.5*ZS10 + 1.05*ZS12	Způsob výpočtu <input checked="" type="radio"/> Analýza podle II. řádu (P-Delta) Metoda pro řešení systému nelineárních algebraických rovnic <input checked="" type="radio"/> Picard Možnosti <input checked="" type="checkbox"/> Zohlednit příznivé tahové účinky <input checked="" type="checkbox"/> Vztáhnout vnitřní síly na přetvořený systém pro: <input checked="" type="checkbox"/> Normálové síly N <input checked="" type="checkbox"/> Smykové síly V_y a V_z <input checked="" type="checkbox"/> Momenty M_y , M_z a M_T Aktivovat součinitele tuhosti: <input checked="" type="checkbox"/> Materiály (dílcí souč. spolehlivosti γ_M) <input checked="" type="checkbox"/> Průřezy (součinitel pro J , I_y , I_z , A , A_y , A_z) <input checked="" type="checkbox"/> Pruty (faktor pro GJ , EI_y , EI_z , EA , GA_y , GA_z)
KZ106	1.35*ZS1 + 1.35*ZS2 + 0.75*ZS4 + 1.5*ZS11 + 1.05*ZS12	Způsob výpočtu <input checked="" type="radio"/> Analýza podle II. řádu (P-Delta) Metoda pro řešení systému nelineárních algebraických rovnic <input checked="" type="radio"/> Picard Možnosti <input checked="" type="checkbox"/> Zohlednit příznivé tahové účinky <input checked="" type="checkbox"/> Vztáhnout vnitřní síly na přetvořený systém pro: <input checked="" type="checkbox"/> Normálové síly N <input checked="" type="checkbox"/> Smykové síly V_y a V_z <input checked="" type="checkbox"/> Momenty M_y , M_z a M_T Aktivovat součinitele tuhosti: <input checked="" type="checkbox"/> Materiály (dílcí souč. spolehlivosti γ_M) <input checked="" type="checkbox"/> Průřezy (součinitel pro J , I_y , I_z , A , A_y , A_z) <input checked="" type="checkbox"/> Pruty (faktor pro GJ , EI_y , EI_z , EA , GA_y , GA_z)
KZ107	1.35*ZS1 + 1.35*ZS2 + 0.75*ZS5 + 1.5*ZS8 + 1.05*ZS12	Způsob výpočtu <input checked="" type="radio"/> Analýza podle II. řádu (P-Delta) Metoda pro řešení systému nelineárních algebraických rovnic <input checked="" type="radio"/> Picard Možnosti <input checked="" type="checkbox"/> Zohlednit příznivé tahové účinky <input checked="" type="checkbox"/> Vztáhnout vnitřní síly na přetvořený systém pro: <input checked="" type="checkbox"/> Normálové síly N <input checked="" type="checkbox"/> Smykové síly V_y a V_z <input checked="" type="checkbox"/> Momenty M_y , M_z a M_T Aktivovat součinitele tuhosti: <input checked="" type="checkbox"/> Materiály (dílcí souč. spolehlivosti γ_M) <input checked="" type="checkbox"/> Průřezy (součinitel pro J , I_y , I_z , A , A_y , A_z) <input checked="" type="checkbox"/> Pruty (faktor pro GJ , EI_y , EI_z , EA , GA_y , GA_z)
KZ108	1.35*ZS1 + 1.35*ZS2 + 0.75*ZS5 + 1.5*ZS9 + 1.05*ZS12	Způsob výpočtu <input checked="" type="radio"/> Analýza podle II. řádu (P-Delta) Metoda pro řešení systému nelineárních algebraických rovnic <input checked="" type="radio"/> Picard Možnosti <input checked="" type="checkbox"/> Zohlednit příznivé tahové účinky <input checked="" type="checkbox"/> Vztáhnout vnitřní síly na přetvořený systém pro: <input checked="" type="checkbox"/> Normálové síly N <input checked="" type="checkbox"/> Smykové síly V_y a V_z <input checked="" type="checkbox"/> Momenty M_y , M_z a M_T Aktivovat součinitele tuhosti: <input checked="" type="checkbox"/> Materiály (dílcí souč. spolehlivosti γ_M) <input checked="" type="checkbox"/> Průřezy (součinitel pro J , I_y , I_z , A , A_y , A_z) <input checked="" type="checkbox"/> Pruty (faktor pro GJ , EI_y , EI_z , EA , GA_y , GA_z)
KZ109	1.35*ZS1 + 1.35*ZS2 + 0.75*ZS5 + 1.5*ZS10 + 1.05*ZS12	Způsob výpočtu <input checked="" type="radio"/> Analýza podle II. řádu (P-Delta)



Projekt: Diplomová práce

Model: Diplomová Práce -KROV

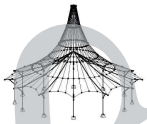
Datum: 17.04.2021

Stropní nosník

Konstrukce Krovu

2.5.2 KOMBINACE ZATÍŽENÍ - PARAMETRY VÝPOČTU

Kombin. zatížení	Označení	Parametry výpočtu
		Metoda pro řešení systému nelineárních algebraických rovnic Možnosti Aktivovat součinitele tuhosti:
		<input type="radio"/> Picard <input checked="" type="checkbox"/> Zohlednit příznivé tahové účinky <input checked="" type="checkbox"/> Vztáhnout vnitřní síly na přetvořený systém pro: <input checked="" type="checkbox"/> Normálové síly N <input checked="" type="checkbox"/> Smykové síly V_y a V_z <input checked="" type="checkbox"/> Momenty M_y , M_z a M_T <input checked="" type="checkbox"/> Materiály (dílcí souč. spolehlivosti γ_M) <input checked="" type="checkbox"/> Průřezy (součinitel pro J , I_y , I_z , A , A_y , A_z) <input checked="" type="checkbox"/> Pruty (faktor pro GJ , EI_y , EI_z , EA , GA_y , GA_z)
KZ110	$1.35 \cdot ZS1 + 1.35 \cdot ZS2 + 0.75 \cdot ZS5 + 1.5 \cdot ZS11 + 1.05 \cdot ZS12$	Způsob výpočtu Metoda pro řešení systému nelineárních algebraických rovnic Možnosti Aktivovat součinitele tuhosti:
		<input type="radio"/> Picard <input checked="" type="checkbox"/> Zohlednit příznivé tahové účinky <input checked="" type="checkbox"/> Vztáhnout vnitřní síly na přetvořený systém pro: <input checked="" type="checkbox"/> Normálové síly N <input checked="" type="checkbox"/> Smykové síly V_y a V_z <input checked="" type="checkbox"/> Momenty M_y , M_z a M_T <input checked="" type="checkbox"/> Materiály (dílcí souč. spolehlivosti γ_M) <input checked="" type="checkbox"/> Průřezy (součinitel pro J , I_y , I_z , A , A_y , A_z) <input checked="" type="checkbox"/> Pruty (faktor pro GJ , EI_y , EI_z , EA , GA_y , GA_z)
KZ111	$1.35 \cdot ZS1 + 1.35 \cdot ZS2 + 0.75 \cdot ZS7 + 1.5 \cdot ZS8 + 1.05 \cdot ZS12$	Způsob výpočtu Metoda pro řešení systému nelineárních algebraických rovnic Možnosti Aktivovat součinitele tuhosti:
		<input type="radio"/> Picard <input checked="" type="checkbox"/> Zohlednit příznivé tahové účinky <input checked="" type="checkbox"/> Vztáhnout vnitřní síly na přetvořený systém pro: <input checked="" type="checkbox"/> Normálové síly N <input checked="" type="checkbox"/> Smykové síly V_y a V_z <input checked="" type="checkbox"/> Momenty M_y , M_z a M_T <input checked="" type="checkbox"/> Materiály (dílcí souč. spolehlivosti γ_M) <input checked="" type="checkbox"/> Průřezy (součinitel pro J , I_y , I_z , A , A_y , A_z) <input checked="" type="checkbox"/> Pruty (faktor pro GJ , EI_y , EI_z , EA , GA_y , GA_z)
KZ112	$1.35 \cdot ZS1 + 1.35 \cdot ZS2 + 0.75 \cdot ZS7 + 1.5 \cdot ZS9 + 1.05 \cdot ZS12$	Způsob výpočtu Metoda pro řešení systému nelineárních algebraických rovnic Možnosti Aktivovat součinitele tuhosti:
		<input type="radio"/> Picard <input checked="" type="checkbox"/> Zohlednit příznivé tahové účinky <input checked="" type="checkbox"/> Vztáhnout vnitřní síly na přetvořený systém pro: <input checked="" type="checkbox"/> Normálové síly N <input checked="" type="checkbox"/> Smykové síly V_y a V_z <input checked="" type="checkbox"/> Momenty M_y , M_z a M_T <input checked="" type="checkbox"/> Materiály (dílcí souč. spolehlivosti γ_M) <input checked="" type="checkbox"/> Průřezy (součinitel pro J , I_y , I_z , A , A_y , A_z) <input checked="" type="checkbox"/> Pruty (faktor pro GJ , EI_y , EI_z , EA , GA_y , GA_z)
KZ113	$1.35 \cdot ZS1 + 1.35 \cdot ZS2 + 0.75 \cdot ZS7 + 1.5 \cdot ZS10 + 1.05 \cdot ZS12$	Způsob výpočtu Metoda pro řešení systému nelineárních algebraických rovnic Možnosti Aktivovat součinitele tuhosti:
		<input type="radio"/> Picard <input checked="" type="checkbox"/> Zohlednit příznivé tahové účinky <input checked="" type="checkbox"/> Vztáhnout vnitřní síly na přetvořený systém pro: <input checked="" type="checkbox"/> Normálové síly N <input checked="" type="checkbox"/> Smykové síly V_y a V_z <input checked="" type="checkbox"/> Momenty M_y , M_z a M_T <input checked="" type="checkbox"/> Materiály (dílcí souč. spolehlivosti γ_M) <input checked="" type="checkbox"/> Průřezy (součinitel pro J , I_y , I_z , A , A_y , A_z) <input checked="" type="checkbox"/> Pruty (faktor pro GJ , EI_y , EI_z , EA , GA_y , GA_z)
KZ114	$1.35 \cdot ZS1 + 1.35 \cdot ZS2 + 0.75 \cdot ZS7 + 1.5 \cdot ZS11 + 1.05 \cdot ZS12$	Způsob výpočtu Metoda pro řešení systému nelineárních algebraických rovnic Možnosti Aktivovat součinitele tuhosti:
		<input type="radio"/> Picard <input checked="" type="checkbox"/> Zohlednit příznivé tahové účinky <input checked="" type="checkbox"/> Vztáhnout vnitřní síly na přetvořený systém pro: <input checked="" type="checkbox"/> Normálové síly N <input checked="" type="checkbox"/> Smykové síly V_y a V_z <input checked="" type="checkbox"/> Momenty M_y , M_z a M_T <input checked="" type="checkbox"/> Materiály (dílcí souč. spolehlivosti γ_M) <input checked="" type="checkbox"/> Průřezy (součinitel pro J , I_y , I_z , A , A_y , A_z) <input checked="" type="checkbox"/> Pruty (faktor pro GJ , EI_y , EI_z , EA , GA_y , GA_z)
KZ115	$1.35 \cdot ZS1 + 1.35 \cdot ZS2 + 1.5 \cdot ZS8 + 1.05 \cdot ZS12$	Způsob výpočtu Metoda pro řešení systému nelineárních algebraických rovnic Možnosti Aktivovat součinitele tuhosti:
		<input type="radio"/> Picard <input checked="" type="checkbox"/> Zohlednit příznivé tahové účinky <input checked="" type="checkbox"/> Vztáhnout vnitřní síly na přetvořený systém pro: <input checked="" type="checkbox"/> Normálové síly N <input checked="" type="checkbox"/> Smykové síly V_y a V_z <input checked="" type="checkbox"/> Momenty M_y , M_z a M_T <input checked="" type="checkbox"/> Materiály (dílcí souč. spolehlivosti γ_M) <input checked="" type="checkbox"/> Průřezy (součinitel pro J , I_y , I_z , A , A_y , A_z)



Projekt: Diplomová práce

Model: Diplomová Práce -KROV

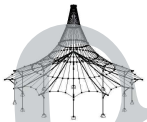
Datum: 17.04.2021

Stropní nosník

Konstrukce Krovu

2.5.2 KOMBINACE ZATÍŽENÍ - PARAMETRY VÝPOČTU

Kombin. zatížení	Označení	Parametry výpočtu
KZ116	1.35*ZS1 + 1.35*ZS2 + 1.5*ZS9 + 1.05*ZS12	Způsob výpočtu : <input checked="" type="checkbox"/> Pruty (faktor pro GJ, EI _y , EI _z , EA, GA _y , GA _z) : <input checked="" type="checkbox"/> Analýza podle II. řádu (P-Delta)
		Metoda pro řešení systému nelineárních algebraických rovnic : <input checked="" type="checkbox"/> Picard Možnosti : <input checked="" type="checkbox"/> Zohlednit příznivé tahové účinky : <input checked="" type="checkbox"/> Vztáhnout vnitřní síly na přetvořený systém pro: : <input checked="" type="checkbox"/> Normálové síly N : <input checked="" type="checkbox"/> Smykové síly V _y a V _z : <input checked="" type="checkbox"/> Momenty M _y , M _z a M _T Aktivovat součinitele tuhosti: : <input checked="" type="checkbox"/> Materiály (díličí souč. spolehlivosti γ _M) : <input checked="" type="checkbox"/> Průřezy (součinitel pro J, I _y , I _z , A, A _y , A _z) : <input checked="" type="checkbox"/> Pruty (faktor pro GJ, EI _y , EI _z , EA, GA _y , GA _z)
KZ117	1.35*ZS1 + 1.35*ZS2 + 1.5*ZS10 + 1.05*ZS12	Způsob výpočtu : <input checked="" type="checkbox"/> Analýza podle II. řádu (P-Delta)
		Metoda pro řešení systému nelineárních algebraických rovnic : <input checked="" type="checkbox"/> Picard Možnosti : <input checked="" type="checkbox"/> Zohlednit příznivé tahové účinky : <input checked="" type="checkbox"/> Vztáhnout vnitřní síly na přetvořený systém pro: : <input checked="" type="checkbox"/> Normálové síly N : <input checked="" type="checkbox"/> Smykové síly V _y a V _z : <input checked="" type="checkbox"/> Momenty M _y , M _z a M _T Aktivovat součinitele tuhosti: : <input checked="" type="checkbox"/> Materiály (díličí souč. spolehlivosti γ _M) : <input checked="" type="checkbox"/> Průřezy (součinitel pro J, I _y , I _z , A, A _y , A _z) : <input checked="" type="checkbox"/> Pruty (faktor pro GJ, EI _y , EI _z , EA, GA _y , GA _z)
KZ118	1.35*ZS1+ 1.35*ZS2 + 1.5*ZS11 + 1.05*ZS12	Způsob výpočtu : <input checked="" type="checkbox"/> Analýza podle II. řádu (P-Delta)
		Metoda pro řešení systému nelineárních algebraických rovnic : <input checked="" type="checkbox"/> Picard Možnosti : <input checked="" type="checkbox"/> Zohlednit příznivé tahové účinky : <input checked="" type="checkbox"/> Vztáhnout vnitřní síly na přetvořený systém pro: : <input checked="" type="checkbox"/> Normálové síly N : <input checked="" type="checkbox"/> Smykové síly V _y a V _z : <input checked="" type="checkbox"/> Momenty M _y , M _z a M _T Aktivovat součinitele tuhosti: : <input checked="" type="checkbox"/> Materiály (díličí souč. spolehlivosti γ _M) : <input checked="" type="checkbox"/> Průřezy (součinitel pro J, I _y , I _z , A, A _y , A _z) : <input checked="" type="checkbox"/> Pruty (faktor pro GJ, EI _y , EI _z , EA, GA _y , GA _z)
KZ119	1.35*ZS1 + 0.75*ZS4 + 1.5*ZS8	Způsob výpočtu : <input checked="" type="checkbox"/> Analýza podle II. řádu (P-Delta) : <input checked="" type="checkbox"/> Picard
		Metoda pro řešení systému nelineárních algebraických rovnic : <input checked="" type="checkbox"/> Zohlednit příznivé tahové účinky Možnosti : <input checked="" type="checkbox"/> Vztáhnout vnitřní síly na přetvořený systém pro: : <input checked="" type="checkbox"/> Normálové síly N : <input checked="" type="checkbox"/> Smykové síly V _y a V _z : <input checked="" type="checkbox"/> Momenty M _y , M _z a M _T Aktivovat součinitele tuhosti: : <input checked="" type="checkbox"/> Materiály (díličí souč. spolehlivosti γ _M) : <input checked="" type="checkbox"/> Průřezy (součinitel pro J, I _y , I _z , A, A _y , A _z) : <input checked="" type="checkbox"/> Pruty (faktor pro GJ, EI _y , EI _z , EA, GA _y , GA _z)
KZ120	1.35*ZS1 + 0.75*ZS4 + 1.5*ZS9	Způsob výpočtu : <input checked="" type="checkbox"/> Analýza podle II. řádu (P-Delta) : <input checked="" type="checkbox"/> Picard
		Metoda pro řešení systému nelineárních algebraických rovnic : <input checked="" type="checkbox"/> Zohlednit příznivé tahové účinky Možnosti : <input checked="" type="checkbox"/> Vztáhnout vnitřní síly na přetvořený systém pro: : <input checked="" type="checkbox"/> Normálové síly N : <input checked="" type="checkbox"/> Smykové síly V _y a V _z : <input checked="" type="checkbox"/> Momenty M _y , M _z a M _T Aktivovat součinitele tuhosti: : <input checked="" type="checkbox"/> Materiály (díličí souč. spolehlivosti γ _M) : <input checked="" type="checkbox"/> Průřezy (součinitel pro J, I _y , I _z , A, A _y , A _z) : <input checked="" type="checkbox"/> Pruty (faktor pro GJ, EI _y , EI _z , EA, GA _y , GA _z)
KZ121	1.35*ZS1 + 0.75*ZS4 + 1.5*ZS10	Způsob výpočtu : <input checked="" type="checkbox"/> Analýza podle II. řádu (P-Delta) : <input checked="" type="checkbox"/> Picard
		Metoda pro řešení systému nelineárních algebraických rovnic : <input checked="" type="checkbox"/> Zohlednit příznivé tahové účinky Možnosti : <input checked="" type="checkbox"/> Vztáhnout vnitřní síly na přetvořený systém pro: : <input checked="" type="checkbox"/> Normálové síly N : <input checked="" type="checkbox"/> Smykové síly V _y a V _z : <input checked="" type="checkbox"/> Momenty M _y , M _z a M _T Aktivovat součinitele tuhosti: : <input checked="" type="checkbox"/> Materiály (díličí souč. spolehlivosti γ _M) : <input checked="" type="checkbox"/> Průřezy (součinitel pro J, I _y , I _z , A, A _y , A _z) : <input checked="" type="checkbox"/> Pruty (faktor pro GJ, EI _y , EI _z , EA, GA _y , GA _z)
KZ122	1.35*ZS1 + 0.75*ZS4 + 1.5*ZS11	Způsob výpočtu : <input checked="" type="checkbox"/> Analýza podle II. řádu (P-Delta) : <input checked="" type="checkbox"/> Picard
		Metoda pro řešení systému nelineárních algebraických rovnic : <input checked="" type="checkbox"/> Zohlednit příznivé tahové účinky Možnosti : <input checked="" type="checkbox"/> Vztáhnout vnitřní síly na přetvořený systém pro: : <input checked="" type="checkbox"/> Normálové síly N : <input checked="" type="checkbox"/> Smykové síly V _y a V _z : <input checked="" type="checkbox"/> Momenty M _y , M _z a M _T Aktivovat součinitele tuhosti: : <input checked="" type="checkbox"/> Materiály (díličí souč. spolehlivosti γ _M) : <input checked="" type="checkbox"/> Průřezy (součinitel pro J, I _y , I _z , A, A _y , A _z) : <input checked="" type="checkbox"/> Pruty (faktor pro GJ, EI _y , EI _z , EA, GA _y , GA _z)
KZ123	1.35*ZS1 + 0.75*ZS5 + 1.5*ZS8	Způsob výpočtu : <input checked="" type="checkbox"/> Analýza podle II. řádu (P-Delta) : <input checked="" type="checkbox"/> Picard
		Metoda pro řešení systému nelineárních algebraických rovnic : <input checked="" type="checkbox"/> Zohlednit příznivé tahové účinky Možnosti : <input checked="" type="checkbox"/> Vztáhnout vnitřní síly na přetvořený systém pro: : <input checked="" type="checkbox"/> Normálové síly N : <input checked="" type="checkbox"/> Smykové síly V _y a V _z : <input checked="" type="checkbox"/> Momenty M _y , M _z a M _T Aktivovat součinitele tuhosti: : <input checked="" type="checkbox"/> Materiály (díličí souč. spolehlivosti γ _M) : <input checked="" type="checkbox"/> Průřezy (součinitel pro J, I _y , I _z , A, A _y , A _z) : <input checked="" type="checkbox"/> Pruty (faktor pro GJ, EI _y , EI _z , EA, GA _y , GA _z)



Projekt: Diplomová práce

Model: Diplomová Práce -KROV

Datum: 17.04.2021

Stropní nosník

Konstrukce Krovu

2.5.2 KOMBINACE ZATÍŽENÍ - PARAMETRY VÝPOČTU

Kombin. zatížení	Označení	Možnosti	Parametry výpočtu
		<p>Možnosti</p> <ul style="list-style-type: none"> <input checked="" type="checkbox"/> Zohlednit příznivé tahové účinky <input checked="" type="checkbox"/> Vztáhnout vnitřní síly na přetvořený systém pro: <ul style="list-style-type: none"> <input checked="" type="checkbox"/> Normálové síly N <input checked="" type="checkbox"/> Smykové síly V_y a V_z <input checked="" type="checkbox"/> Momenty M_y, M_z a M_T <p>Aktivovat součinitele tuhosti:</p> <ul style="list-style-type: none"> <input checked="" type="checkbox"/> Materiály (dílcí souč. spolehlivosti γ_M) <input checked="" type="checkbox"/> Průřezy (součinitel pro J, I_y, I_z, A, A_y, A_z) <input checked="" type="checkbox"/> Pruty (faktor pro $GJ, EI_y, EI_z, EA, GA_y, GA_z$) 	<ul style="list-style-type: none"> <input checked="" type="checkbox"/> Materiály (dílcí souč. spolehlivosti γ_M) <input checked="" type="checkbox"/> Průřezy (součinitel pro J, I_y, I_z, A, A_y, A_z) <input checked="" type="checkbox"/> Pruty (faktor pro $GJ, EI_y, EI_z, EA, GA_y, GA_z$)
KZ124	1.35*ZS1 + 0.75*ZS5 + 1.5*ZS9	<p>Způsob výpočtu</p> <ul style="list-style-type: none"> <input checked="" type="checkbox"/> Analýza podle II. řádu (P-Delta) <input checked="" type="checkbox"/> Picard <p>Metoda pro řešení systému nelineárních algebraických rovnic</p> <p>Možnosti</p> <ul style="list-style-type: none"> <input checked="" type="checkbox"/> Zohlednit příznivé tahové účinky <input checked="" type="checkbox"/> Vztáhnout vnitřní síly na přetvořený systém pro: <ul style="list-style-type: none"> <input checked="" type="checkbox"/> Normálové síly N <input checked="" type="checkbox"/> Smykové síly V_y a V_z <input checked="" type="checkbox"/> Momenty M_y, M_z a M_T <p>Aktivovat součinitele tuhosti:</p> <ul style="list-style-type: none"> <input checked="" type="checkbox"/> Materiály (dílcí souč. spolehlivosti γ_M) <input checked="" type="checkbox"/> Průřezy (součinitel pro J, I_y, I_z, A, A_y, A_z) <input checked="" type="checkbox"/> Pruty (faktor pro $GJ, EI_y, EI_z, EA, GA_y, GA_z$) 	<ul style="list-style-type: none"> <input checked="" type="checkbox"/> Materiály (dílcí souč. spolehlivosti γ_M) <input checked="" type="checkbox"/> Průřezy (součinitel pro J, I_y, I_z, A, A_y, A_z) <input checked="" type="checkbox"/> Pruty (faktor pro $GJ, EI_y, EI_z, EA, GA_y, GA_z$)
KZ125	1.35*ZS1 + 0.75*ZS5 + 1.5*ZS10	<p>Způsob výpočtu</p> <ul style="list-style-type: none"> <input checked="" type="checkbox"/> Analýza podle II. řádu (P-Delta) <input checked="" type="checkbox"/> Picard <p>Metoda pro řešení systému nelineárních algebraických rovnic</p> <p>Možnosti</p> <ul style="list-style-type: none"> <input checked="" type="checkbox"/> Zohlednit příznivé tahové účinky <input checked="" type="checkbox"/> Vztáhnout vnitřní síly na přetvořený systém pro: <ul style="list-style-type: none"> <input checked="" type="checkbox"/> Normálové síly N <input checked="" type="checkbox"/> Smykové síly V_y a V_z <input checked="" type="checkbox"/> Momenty M_y, M_z a M_T <p>Aktivovat součinitele tuhosti:</p> <ul style="list-style-type: none"> <input checked="" type="checkbox"/> Materiály (dílcí souč. spolehlivosti γ_M) <input checked="" type="checkbox"/> Průřezy (součinitel pro J, I_y, I_z, A, A_y, A_z) <input checked="" type="checkbox"/> Pruty (faktor pro $GJ, EI_y, EI_z, EA, GA_y, GA_z$) 	<ul style="list-style-type: none"> <input checked="" type="checkbox"/> Materiály (dílcí souč. spolehlivosti γ_M) <input checked="" type="checkbox"/> Průřezy (součinitel pro J, I_y, I_z, A, A_y, A_z) <input checked="" type="checkbox"/> Pruty (faktor pro $GJ, EI_y, EI_z, EA, GA_y, GA_z$)
KZ126	1.35*ZS1 + 0.75*ZS5 + 1.5*ZS11	<p>Způsob výpočtu</p> <ul style="list-style-type: none"> <input checked="" type="checkbox"/> Analýza podle II. řádu (P-Delta) <input checked="" type="checkbox"/> Picard <p>Metoda pro řešení systému nelineárních algebraických rovnic</p> <p>Možnosti</p> <ul style="list-style-type: none"> <input checked="" type="checkbox"/> Zohlednit příznivé tahové účinky <input checked="" type="checkbox"/> Vztáhnout vnitřní síly na přetvořený systém pro: <ul style="list-style-type: none"> <input checked="" type="checkbox"/> Normálové síly N <input checked="" type="checkbox"/> Smykové síly V_y a V_z <input checked="" type="checkbox"/> Momenty M_y, M_z a M_T <p>Aktivovat součinitele tuhosti:</p> <ul style="list-style-type: none"> <input checked="" type="checkbox"/> Materiály (dílcí souč. spolehlivosti γ_M) <input checked="" type="checkbox"/> Průřezy (součinitel pro J, I_y, I_z, A, A_y, A_z) <input checked="" type="checkbox"/> Pruty (faktor pro $GJ, EI_y, EI_z, EA, GA_y, GA_z$) 	<ul style="list-style-type: none"> <input checked="" type="checkbox"/> Materiály (dílcí souč. spolehlivosti γ_M) <input checked="" type="checkbox"/> Průřezy (součinitel pro J, I_y, I_z, A, A_y, A_z) <input checked="" type="checkbox"/> Pruty (faktor pro $GJ, EI_y, EI_z, EA, GA_y, GA_z$)
KZ127	1.35*ZS1 + 0.75*ZS7 + 1.5*ZS8	<p>Způsob výpočtu</p> <ul style="list-style-type: none"> <input checked="" type="checkbox"/> Analýza podle II. řádu (P-Delta) <input checked="" type="checkbox"/> Picard <p>Metoda pro řešení systému nelineárních algebraických rovnic</p> <p>Možnosti</p> <ul style="list-style-type: none"> <input checked="" type="checkbox"/> Zohlednit příznivé tahové účinky <input checked="" type="checkbox"/> Vztáhnout vnitřní síly na přetvořený systém pro: <ul style="list-style-type: none"> <input checked="" type="checkbox"/> Normálové síly N <input checked="" type="checkbox"/> Smykové síly V_y a V_z <input checked="" type="checkbox"/> Momenty M_y, M_z a M_T <p>Aktivovat součinitele tuhosti:</p> <ul style="list-style-type: none"> <input checked="" type="checkbox"/> Materiály (dílcí souč. spolehlivosti γ_M) <input checked="" type="checkbox"/> Průřezy (součinitel pro J, I_y, I_z, A, A_y, A_z) <input checked="" type="checkbox"/> Pruty (faktor pro $GJ, EI_y, EI_z, EA, GA_y, GA_z$) 	<ul style="list-style-type: none"> <input checked="" type="checkbox"/> Materiály (dílcí souč. spolehlivosti γ_M) <input checked="" type="checkbox"/> Průřezy (součinitel pro J, I_y, I_z, A, A_y, A_z) <input checked="" type="checkbox"/> Pruty (faktor pro $GJ, EI_y, EI_z, EA, GA_y, GA_z$)
KZ128	1.35*ZS1 + 0.75*ZS7 + 1.5*ZS9	<p>Způsob výpočtu</p> <ul style="list-style-type: none"> <input checked="" type="checkbox"/> Analýza podle II. řádu (P-Delta) <input checked="" type="checkbox"/> Picard <p>Metoda pro řešení systému nelineárních algebraických rovnic</p> <p>Možnosti</p> <ul style="list-style-type: none"> <input checked="" type="checkbox"/> Zohlednit příznivé tahové účinky <input checked="" type="checkbox"/> Vztáhnout vnitřní síly na přetvořený systém pro: <ul style="list-style-type: none"> <input checked="" type="checkbox"/> Normálové síly N <input checked="" type="checkbox"/> Smykové síly V_y a V_z <input checked="" type="checkbox"/> Momenty M_y, M_z a M_T <p>Aktivovat součinitele tuhosti:</p> <ul style="list-style-type: none"> <input checked="" type="checkbox"/> Materiály (dílcí souč. spolehlivosti γ_M) <input checked="" type="checkbox"/> Průřezy (součinitel pro J, I_y, I_z, A, A_y, A_z) <input checked="" type="checkbox"/> Pruty (faktor pro $GJ, EI_y, EI_z, EA, GA_y, GA_z$) 	<ul style="list-style-type: none"> <input checked="" type="checkbox"/> Materiály (dílcí souč. spolehlivosti γ_M) <input checked="" type="checkbox"/> Průřezy (součinitel pro J, I_y, I_z, A, A_y, A_z) <input checked="" type="checkbox"/> Pruty (faktor pro $GJ, EI_y, EI_z, EA, GA_y, GA_z$)
KZ129	1.35*ZS1 + 0.75*ZS7 + 1.5*ZS10	<p>Způsob výpočtu</p> <ul style="list-style-type: none"> <input checked="" type="checkbox"/> Analýza podle II. řádu (P-Delta) <input checked="" type="checkbox"/> Picard <p>Metoda pro řešení systému nelineárních algebraických rovnic</p> <p>Možnosti</p> <ul style="list-style-type: none"> <input checked="" type="checkbox"/> Zohlednit příznivé tahové účinky <input checked="" type="checkbox"/> Vztáhnout vnitřní síly na přetvořený systém pro: <ul style="list-style-type: none"> <input checked="" type="checkbox"/> Normálové síly N <input checked="" type="checkbox"/> Smykové síly V_y a V_z <input checked="" type="checkbox"/> Momenty M_y, M_z a M_T <p>Aktivovat součinitele tuhosti:</p> <ul style="list-style-type: none"> <input checked="" type="checkbox"/> Materiály (dílcí souč. spolehlivosti γ_M) <input checked="" type="checkbox"/> Průřezy (součinitel pro J, I_y, I_z, A, A_y, A_z) <input checked="" type="checkbox"/> Pruty (faktor pro $GJ, EI_y, EI_z, EA, GA_y, GA_z$) 	<ul style="list-style-type: none"> <input checked="" type="checkbox"/> Materiály (dílcí souč. spolehlivosti γ_M) <input checked="" type="checkbox"/> Průřezy (součinitel pro J, I_y, I_z, A, A_y, A_z) <input checked="" type="checkbox"/> Pruty (faktor pro $GJ, EI_y, EI_z, EA, GA_y, GA_z$)
KZ130	1.35*ZS1 + 0.75*ZS7 + 1.5*ZS11	<p>Způsob výpočtu</p> <ul style="list-style-type: none"> <input checked="" type="checkbox"/> Analýza podle II. řádu (P-Delta) <input checked="" type="checkbox"/> Picard <p>Metoda pro řešení systému nelineárních algebraických rovnic</p> <p>Možnosti</p> <ul style="list-style-type: none"> <input checked="" type="checkbox"/> Zohlednit příznivé tahové účinky <input checked="" type="checkbox"/> Vztáhnout vnitřní síly na přetvořený systém pro: <ul style="list-style-type: none"> <input checked="" type="checkbox"/> Normálové síly N <input checked="" type="checkbox"/> Smykové síly V_y a V_z <input checked="" type="checkbox"/> Momenty M_y, M_z a M_T <p>Aktivovat součinitele tuhosti:</p> <ul style="list-style-type: none"> <input checked="" type="checkbox"/> Materiály (dílcí souč. spolehlivosti γ_M) 	<ul style="list-style-type: none"> <input checked="" type="checkbox"/> Materiály (dílcí souč. spolehlivosti γ_M)



Projekt: Diplomová práce
Stropní nosník

Model: Diplomová Práce -KROV
Konstrukce Krovu

Datum: 17.04.2021

2.5.2 KOMBINACE ZATÍŽENÍ - PARAMETRY VÝPOČTU

Kombin. zatížení	Označení	Parametry výpočtu
KZ131	1.35*ZS1 + 0.75*ZS4 + 1.5*ZS8 + 1.05*ZS12	<input checked="" type="checkbox"/> Průřezy (součinitel pro J, I_y, I_z, A, A_y, A_z) <input checked="" type="checkbox"/> Pruty (faktor pro $GJ, EI_y, EI_z, EA, GA_y, GA_z$) <input checked="" type="checkbox"/> Analýza podle II. řádu (P-Delta)
		Způsob výpočtu: <input checked="" type="checkbox"/> Picard Metoda pro řešení systému nelineárních algebraických rovnic: <input checked="" type="checkbox"/> Picard Možnosti: <ul style="list-style-type: none"> <input checked="" type="checkbox"/> Zohlednit příznivé tahové účinky <input checked="" type="checkbox"/> Vztáhnout vnitřní síly na přetvořený systém pro: <ul style="list-style-type: none"> <input checked="" type="checkbox"/> Normálové síly N <input checked="" type="checkbox"/> Smykové síly V_y a V_z <input checked="" type="checkbox"/> Momenty M_y, M_z a M_T Aktivovat součinitele tuhosti: <ul style="list-style-type: none"> <input checked="" type="checkbox"/> Materiály (dílcí souč. spolehlivosti γ_M) <input checked="" type="checkbox"/> Průřezy (součinitel pro J, I_y, I_z, A, A_y, A_z) <input checked="" type="checkbox"/> Pruty (faktor pro $GJ, EI_y, EI_z, EA, GA_y, GA_z$)
KZ132	1.35*ZS1 + 0.75*ZS4 + 1.5*ZS9 + 1.05*ZS12	<input checked="" type="checkbox"/> Průřezy (součinitel pro J, I_y, I_z, A, A_y, A_z) <input checked="" type="checkbox"/> Pruty (faktor pro $GJ, EI_y, EI_z, EA, GA_y, GA_z$) <input checked="" type="checkbox"/> Analýza podle II. řádu (P-Delta)
		Způsob výpočtu: <input checked="" type="checkbox"/> Picard Metoda pro řešení systému nelineárních algebraických rovnic: <input checked="" type="checkbox"/> Picard Možnosti: <ul style="list-style-type: none"> <input checked="" type="checkbox"/> Zohlednit příznivé tahové účinky <input checked="" type="checkbox"/> Vztáhnout vnitřní síly na přetvořený systém pro: <ul style="list-style-type: none"> <input checked="" type="checkbox"/> Normálové síly N <input checked="" type="checkbox"/> Smykové síly V_y a V_z <input checked="" type="checkbox"/> Momenty M_y, M_z a M_T Aktivovat součinitele tuhosti: <ul style="list-style-type: none"> <input checked="" type="checkbox"/> Materiály (dílcí souč. spolehlivosti γ_M) <input checked="" type="checkbox"/> Průřezy (součinitel pro J, I_y, I_z, A, A_y, A_z) <input checked="" type="checkbox"/> Pruty (faktor pro $GJ, EI_y, EI_z, EA, GA_y, GA_z$)
KZ133	1.35*ZS1 + 0.75*ZS4 + 1.5*ZS10 + 1.05*ZS12	<input checked="" type="checkbox"/> Průřezy (součinitel pro J, I_y, I_z, A, A_y, A_z) <input checked="" type="checkbox"/> Pruty (faktor pro $GJ, EI_y, EI_z, EA, GA_y, GA_z$) <input checked="" type="checkbox"/> Analýza podle II. řádu (P-Delta)
		Způsob výpočtu: <input checked="" type="checkbox"/> Picard Metoda pro řešení systému nelineárních algebraických rovnic: <input checked="" type="checkbox"/> Picard Možnosti: <ul style="list-style-type: none"> <input checked="" type="checkbox"/> Zohlednit příznivé tahové účinky <input checked="" type="checkbox"/> Vztáhnout vnitřní síly na přetvořený systém pro: <ul style="list-style-type: none"> <input checked="" type="checkbox"/> Normálové síly N <input checked="" type="checkbox"/> Smykové síly V_y a V_z <input checked="" type="checkbox"/> Momenty M_y, M_z a M_T Aktivovat součinitele tuhosti: <ul style="list-style-type: none"> <input checked="" type="checkbox"/> Materiály (dílcí souč. spolehlivosti γ_M) <input checked="" type="checkbox"/> Průřezy (součinitel pro J, I_y, I_z, A, A_y, A_z) <input checked="" type="checkbox"/> Pruty (faktor pro $GJ, EI_y, EI_z, EA, GA_y, GA_z$)
KZ134	1.35*ZS1 + 0.75*ZS4 + 1.5*ZS11 + 1.05*ZS12	<input checked="" type="checkbox"/> Průřezy (součinitel pro J, I_y, I_z, A, A_y, A_z) <input checked="" type="checkbox"/> Pruty (faktor pro $GJ, EI_y, EI_z, EA, GA_y, GA_z$) <input checked="" type="checkbox"/> Analýza podle II. řádu (P-Delta)
		Způsob výpočtu: <input checked="" type="checkbox"/> Picard Metoda pro řešení systému nelineárních algebraických rovnic: <input checked="" type="checkbox"/> Picard Možnosti: <ul style="list-style-type: none"> <input checked="" type="checkbox"/> Zohlednit příznivé tahové účinky <input checked="" type="checkbox"/> Vztáhnout vnitřní síly na přetvořený systém pro: <ul style="list-style-type: none"> <input checked="" type="checkbox"/> Normálové síly N <input checked="" type="checkbox"/> Smykové síly V_y a V_z <input checked="" type="checkbox"/> Momenty M_y, M_z a M_T Aktivovat součinitele tuhosti: <ul style="list-style-type: none"> <input checked="" type="checkbox"/> Materiály (dílcí souč. spolehlivosti γ_M) <input checked="" type="checkbox"/> Průřezy (součinitel pro J, I_y, I_z, A, A_y, A_z) <input checked="" type="checkbox"/> Pruty (faktor pro $GJ, EI_y, EI_z, EA, GA_y, GA_z$)
KZ135	1.35*ZS1 + 0.75*ZS5 + 1.5*ZS8 + 1.05*ZS12	<input checked="" type="checkbox"/> Průřezy (součinitel pro J, I_y, I_z, A, A_y, A_z) <input checked="" type="checkbox"/> Pruty (faktor pro $GJ, EI_y, EI_z, EA, GA_y, GA_z$) <input checked="" type="checkbox"/> Analýza podle II. řádu (P-Delta)
		Způsob výpočtu: <input checked="" type="checkbox"/> Picard Metoda pro řešení systému nelineárních algebraických rovnic: <input checked="" type="checkbox"/> Picard Možnosti: <ul style="list-style-type: none"> <input checked="" type="checkbox"/> Zohlednit příznivé tahové účinky <input checked="" type="checkbox"/> Vztáhnout vnitřní síly na přetvořený systém pro: <ul style="list-style-type: none"> <input checked="" type="checkbox"/> Normálové síly N <input checked="" type="checkbox"/> Smykové síly V_y a V_z <input checked="" type="checkbox"/> Momenty M_y, M_z a M_T Aktivovat součinitele tuhosti: <ul style="list-style-type: none"> <input checked="" type="checkbox"/> Materiály (dílcí souč. spolehlivosti γ_M) <input checked="" type="checkbox"/> Průřezy (součinitel pro J, I_y, I_z, A, A_y, A_z) <input checked="" type="checkbox"/> Pruty (faktor pro $GJ, EI_y, EI_z, EA, GA_y, GA_z$)
KZ136	1.35*ZS1 + 0.75*ZS5 + 1.5*ZS9 + 1.05*ZS12	<input checked="" type="checkbox"/> Průřezy (součinitel pro J, I_y, I_z, A, A_y, A_z) <input checked="" type="checkbox"/> Pruty (faktor pro $GJ, EI_y, EI_z, EA, GA_y, GA_z$) <input checked="" type="checkbox"/> Analýza podle II. řádu (P-Delta)
		Způsob výpočtu: <input checked="" type="checkbox"/> Picard Metoda pro řešení systému nelineárních algebraických rovnic: <input checked="" type="checkbox"/> Picard Možnosti: <ul style="list-style-type: none"> <input checked="" type="checkbox"/> Zohlednit příznivé tahové účinky <input checked="" type="checkbox"/> Vztáhnout vnitřní síly na přetvořený systém pro: <ul style="list-style-type: none"> <input checked="" type="checkbox"/> Normálové síly N <input checked="" type="checkbox"/> Smykové síly V_y a V_z <input checked="" type="checkbox"/> Momenty M_y, M_z a M_T Aktivovat součinitele tuhosti: <ul style="list-style-type: none"> <input checked="" type="checkbox"/> Materiály (dílcí souč. spolehlivosti γ_M) <input checked="" type="checkbox"/> Průřezy (součinitel pro J, I_y, I_z, A, A_y, A_z) <input checked="" type="checkbox"/> Pruty (faktor pro $GJ, EI_y, EI_z, EA, GA_y, GA_z$)
KZ137	1.35*ZS1 + 0.75*ZS5 + 1.5*ZS10 + 1.05*ZS12	<input checked="" type="checkbox"/> Průřezy (součinitel pro J, I_y, I_z, A, A_y, A_z) <input checked="" type="checkbox"/> Pruty (faktor pro $GJ, EI_y, EI_z, EA, GA_y, GA_z$) <input checked="" type="checkbox"/> Analýza podle II. řádu (P-Delta)
		Způsob výpočtu: <input checked="" type="checkbox"/> Picard Metoda pro řešení systému nelineárních algebraických rovnic: <input checked="" type="checkbox"/> Picard Možnosti: <ul style="list-style-type: none"> <input checked="" type="checkbox"/> Zohlednit příznivé tahové účinky <input checked="" type="checkbox"/> Vztáhnout vnitřní síly na přetvořený systém pro: <ul style="list-style-type: none"> <input checked="" type="checkbox"/> Normálové síly N <input checked="" type="checkbox"/> Smykové síly V_y a V_z <input checked="" type="checkbox"/> Momenty M_y, M_z a M_T Aktivovat součinitele tuhosti: <ul style="list-style-type: none"> <input checked="" type="checkbox"/> Materiály (dílcí souč. spolehlivosti γ_M)



Projekt: Diplomová práce

Model: Diplomová Práce -KROV

Datum: 17.04.2021

Stropní nosník

Konstrukce Krovu

2.5.2 KOMBINACE ZATÍŽENÍ - PARAMETRY VÝPOČTU

Kombin. zatížení	Označení	Parametry výpočtu
KZ138	1.35*ZS1 + 0.75*ZS5 + 1.5*ZS11 + 1.05*ZS12	<input checked="" type="checkbox"/> Průřezy (součinitel pro J, I_y, I_z, A, A_y, A_z) <input checked="" type="checkbox"/> Pruty (faktor pro $GJ, EI_y, EI_z, EA, GA_y, GA_z$) <input checked="" type="checkbox"/> Analýza podle II. řádu (P-Delta)
		Způsob výpočtu <input checked="" type="checkbox"/> Picard Metoda pro řešení systému nelineárních algebraických rovnic Možnosti <input checked="" type="checkbox"/> Zohlednit příznivé tahové účinky <input checked="" type="checkbox"/> Vztáhnout vnitřní síly na přetvořený systém pro: <input checked="" type="checkbox"/> Normálové síly N <input checked="" type="checkbox"/> Smykové síly V_y a V_z <input checked="" type="checkbox"/> Momenty M_y, M_z a M_T Aktivovat součinitele tuhosti: <input checked="" type="checkbox"/> Materiály (dílcí souč. spolehlivosti γ_M) <input checked="" type="checkbox"/> Průřezy (součinitel pro J, I_y, I_z, A, A_y, A_z) <input checked="" type="checkbox"/> Pruty (faktor pro $GJ, EI_y, EI_z, EA, GA_y, GA_z$)
KZ139	1.35*ZS1 + 0.75*ZS7 + 1.5*ZS8 + 1.05*ZS12	<input checked="" type="checkbox"/> Průřezy (součinitel pro J, I_y, I_z, A, A_y, A_z) <input checked="" type="checkbox"/> Pruty (faktor pro $GJ, EI_y, EI_z, EA, GA_y, GA_z$) <input checked="" type="checkbox"/> Analýza podle II. řádu (P-Delta)
		Způsob výpočtu <input checked="" type="checkbox"/> Picard Metoda pro řešení systému nelineárních algebraických rovnic Možnosti <input checked="" type="checkbox"/> Zohlednit příznivé tahové účinky <input checked="" type="checkbox"/> Vztáhnout vnitřní síly na přetvořený systém pro: <input checked="" type="checkbox"/> Normálové síly N <input checked="" type="checkbox"/> Smykové síly V_y a V_z <input checked="" type="checkbox"/> Momenty M_y, M_z a M_T Aktivovat součinitele tuhosti: <input checked="" type="checkbox"/> Materiály (dílcí souč. spolehlivosti γ_M) <input checked="" type="checkbox"/> Průřezy (součinitel pro J, I_y, I_z, A, A_y, A_z) <input checked="" type="checkbox"/> Pruty (faktor pro $GJ, EI_y, EI_z, EA, GA_y, GA_z$)
KZ140	1.35*ZS1 + 0.75*ZS7 + 1.5*ZS9 + 1.05*ZS12	<input checked="" type="checkbox"/> Průřezy (součinitel pro J, I_y, I_z, A, A_y, A_z) <input checked="" type="checkbox"/> Pruty (faktor pro $GJ, EI_y, EI_z, EA, GA_y, GA_z$) <input checked="" type="checkbox"/> Analýza podle II. řádu (P-Delta)
		Způsob výpočtu <input checked="" type="checkbox"/> Picard Metoda pro řešení systému nelineárních algebraických rovnic Možnosti <input checked="" type="checkbox"/> Zohlednit příznivé tahové účinky <input checked="" type="checkbox"/> Vztáhnout vnitřní síly na přetvořený systém pro: <input checked="" type="checkbox"/> Normálové síly N <input checked="" type="checkbox"/> Smykové síly V_y a V_z <input checked="" type="checkbox"/> Momenty M_y, M_z a M_T Aktivovat součinitele tuhosti: <input checked="" type="checkbox"/> Materiály (dílcí souč. spolehlivosti γ_M) <input checked="" type="checkbox"/> Průřezy (součinitel pro J, I_y, I_z, A, A_y, A_z) <input checked="" type="checkbox"/> Pruty (faktor pro $GJ, EI_y, EI_z, EA, GA_y, GA_z$)
KZ141	1.35*ZS1 + 0.75*ZS7 + 1.5*ZS10 + 1.05*ZS12	<input checked="" type="checkbox"/> Průřezy (součinitel pro J, I_y, I_z, A, A_y, A_z) <input checked="" type="checkbox"/> Pruty (faktor pro $GJ, EI_y, EI_z, EA, GA_y, GA_z$) <input checked="" type="checkbox"/> Analýza podle II. řádu (P-Delta)
		Způsob výpočtu <input checked="" type="checkbox"/> Picard Metoda pro řešení systému nelineárních algebraických rovnic Možnosti <input checked="" type="checkbox"/> Zohlednit příznivé tahové účinky <input checked="" type="checkbox"/> Vztáhnout vnitřní síly na přetvořený systém pro: <input checked="" type="checkbox"/> Normálové síly N <input checked="" type="checkbox"/> Smykové síly V_y a V_z <input checked="" type="checkbox"/> Momenty M_y, M_z a M_T Aktivovat součinitele tuhosti: <input checked="" type="checkbox"/> Materiály (dílcí souč. spolehlivosti γ_M) <input checked="" type="checkbox"/> Průřezy (součinitel pro J, I_y, I_z, A, A_y, A_z) <input checked="" type="checkbox"/> Pruty (faktor pro $GJ, EI_y, EI_z, EA, GA_y, GA_z$)
KZ142	1.35*ZS1 + 0.75*ZS7 + 1.5*ZS11 + 1.05*ZS12	<input checked="" type="checkbox"/> Průřezy (součinitel pro J, I_y, I_z, A, A_y, A_z) <input checked="" type="checkbox"/> Pruty (faktor pro $GJ, EI_y, EI_z, EA, GA_y, GA_z$) <input checked="" type="checkbox"/> Analýza podle II. řádu (P-Delta)
		Způsob výpočtu <input checked="" type="checkbox"/> Picard Metoda pro řešení systému nelineárních algebraických rovnic Možnosti <input checked="" type="checkbox"/> Zohlednit příznivé tahové účinky <input checked="" type="checkbox"/> Vztáhnout vnitřní síly na přetvořený systém pro: <input checked="" type="checkbox"/> Normálové síly N <input checked="" type="checkbox"/> Smykové síly V_y a V_z <input checked="" type="checkbox"/> Momenty M_y, M_z a M_T Aktivovat součinitele tuhosti: <input checked="" type="checkbox"/> Materiály (dílcí souč. spolehlivosti γ_M) <input checked="" type="checkbox"/> Průřezy (součinitel pro J, I_y, I_z, A, A_y, A_z) <input checked="" type="checkbox"/> Pruty (faktor pro $GJ, EI_y, EI_z, EA, GA_y, GA_z$)
KZ143	1.35*ZS1 + 1.5*ZS8 + 1.05*ZS12	<input checked="" type="checkbox"/> Průřezy (součinitel pro J, I_y, I_z, A, A_y, A_z) <input checked="" type="checkbox"/> Pruty (faktor pro $GJ, EI_y, EI_z, EA, GA_y, GA_z$) <input checked="" type="checkbox"/> Analýza podle II. řádu (P-Delta)
		Způsob výpočtu <input checked="" type="checkbox"/> Picard Metoda pro řešení systému nelineárních algebraických rovnic Možnosti <input checked="" type="checkbox"/> Zohlednit příznivé tahové účinky <input checked="" type="checkbox"/> Vztáhnout vnitřní síly na přetvořený systém pro: <input checked="" type="checkbox"/> Normálové síly N <input checked="" type="checkbox"/> Smykové síly V_y a V_z <input checked="" type="checkbox"/> Momenty M_y, M_z a M_T Aktivovat součinitele tuhosti: <input checked="" type="checkbox"/> Materiály (dílcí souč. spolehlivosti γ_M) <input checked="" type="checkbox"/> Průřezy (součinitel pro J, I_y, I_z, A, A_y, A_z) <input checked="" type="checkbox"/> Pruty (faktor pro $GJ, EI_y, EI_z, EA, GA_y, GA_z$)
KZ144	1.35*ZS1 + 1.5*ZS9 + 1.05*ZS12	<input checked="" type="checkbox"/> Průřezy (součinitel pro J, I_y, I_z, A, A_y, A_z) <input checked="" type="checkbox"/> Pruty (faktor pro $GJ, EI_y, EI_z, EA, GA_y, GA_z$) <input checked="" type="checkbox"/> Analýza podle II. řádu (P-Delta)
		Způsob výpočtu <input checked="" type="checkbox"/> Picard Metoda pro řešení systému nelineárních algebraických rovnic Možnosti <input checked="" type="checkbox"/> Zohlednit příznivé tahové účinky <input checked="" type="checkbox"/> Vztáhnout vnitřní síly na přetvořený systém pro: <input checked="" type="checkbox"/> Normálové síly N <input checked="" type="checkbox"/> Smykové síly V_y a V_z <input checked="" type="checkbox"/> Momenty M_y, M_z a M_T Aktivovat součinitele tuhosti: <input checked="" type="checkbox"/> Materiály (dílcí souč. spolehlivosti γ_M) <input checked="" type="checkbox"/> Průřezy (součinitel pro J, I_y, I_z, A, A_y, A_z) <input checked="" type="checkbox"/> Pruty (faktor pro $GJ, EI_y, EI_z, EA, GA_y, GA_z$)



Projekt: Diplomová práce

Model: Diplomová Práce -KROV

Datum: 17.04.2021

Stropní nosník

Konstrukce Krovu

2.5.2 KOMBINACE ZATÍŽENÍ - PARAMETRY VÝPOČTU

Kombin. zatížení	Označení	Parametry výpočtu
KZ145	1.35*ZS1 + 1.5*ZS10 + 1.05*ZS12	<p>Způsob výpočtu : <input checked="" type="radio"/> Analýza podle II. řádu (P-Delta)</p> <p>Metoda pro řešení systému nelineárních algebraických rovnic : <input checked="" type="radio"/> Picard</p> <p>Možnosti : <input checked="" type="checkbox"/> Zohlednit příznivé tahové účinky <input checked="" type="checkbox"/> Vztáhnout vnitřní síly na přetvořený systém pro: <input checked="" type="checkbox"/> Normálové síly N <input checked="" type="checkbox"/> Smykové síly V_y a V_z <input checked="" type="checkbox"/> Momenty M_y, M_z a M_T</p> <p>Aktivovat součinitele tuhosti: : <input checked="" type="checkbox"/> Materiály (dílcí souč. spolehlivosti γ_M) <input checked="" type="checkbox"/> Průřezy (součinitel pro J, I_y, I_z, A, A_y, A_z) <input checked="" type="checkbox"/> Pruty (faktor pro GJ, EI_y, EI_z, EA, GA_y, GA_z)</p>
KZ146	1.35*ZS1 + 1.5*ZS11 + 1.05*ZS12	<p>Způsob výpočtu : <input checked="" type="radio"/> Analýza podle II. řádu (P-Delta)</p> <p>Metoda pro řešení systému nelineárních algebraických rovnic : <input checked="" type="radio"/> Picard</p> <p>Možnosti : <input checked="" type="checkbox"/> Zohlednit příznivé tahové účinky <input checked="" type="checkbox"/> Vztáhnout vnitřní síly na přetvořený systém pro: <input checked="" type="checkbox"/> Normálové síly N <input checked="" type="checkbox"/> Smykové síly V_y a V_z <input checked="" type="checkbox"/> Momenty M_y, M_z a M_T</p> <p>Aktivovat součinitele tuhosti: : <input checked="" type="checkbox"/> Materiály (dílcí souč. spolehlivosti γ_M) <input checked="" type="checkbox"/> Průřezy (součinitel pro J, I_y, I_z, A, A_y, A_z) <input checked="" type="checkbox"/> Pruty (faktor pro GJ, EI_y, EI_z, EA, GA_y, GA_z)</p>
KZ147	1.35*ZS1 + 1.5*ZS12	<p>Způsob výpočtu : <input checked="" type="radio"/> Analýza podle II. řádu (P-Delta)</p> <p>Metoda pro řešení systému nelineárních algebraických rovnic : <input checked="" type="radio"/> Picard</p> <p>Možnosti : <input checked="" type="checkbox"/> Zohlednit příznivé tahové účinky <input checked="" type="checkbox"/> Vztáhnout vnitřní síly na přetvořený systém pro: <input checked="" type="checkbox"/> Normálové síly N <input checked="" type="checkbox"/> Smykové síly V_y a V_z <input checked="" type="checkbox"/> Momenty M_y, M_z a M_T</p> <p>Aktivovat součinitele tuhosti: : <input checked="" type="checkbox"/> Materiály (dílcí souč. spolehlivosti γ_M) <input checked="" type="checkbox"/> Průřezy (součinitel pro J, I_y, I_z, A, A_y, A_z) <input checked="" type="checkbox"/> Pruty (faktor pro GJ, EI_y, EI_z, EA, GA_y, GA_z)</p>
KZ148	1.35*ZS1 + 1.35*ZS2 + 1.5*ZS12	<p>Způsob výpočtu : <input checked="" type="radio"/> Analýza podle II. řádu (P-Delta)</p> <p>Metoda pro řešení systému nelineárních algebraických rovnic : <input checked="" type="radio"/> Picard</p> <p>Možnosti : <input checked="" type="checkbox"/> Zohlednit příznivé tahové účinky <input checked="" type="checkbox"/> Vztáhnout vnitřní síly na přetvořený systém pro: <input checked="" type="checkbox"/> Normálové síly N <input checked="" type="checkbox"/> Smykové síly V_y a V_z <input checked="" type="checkbox"/> Momenty M_y, M_z a M_T</p> <p>Aktivovat součinitele tuhosti: : <input checked="" type="checkbox"/> Materiály (dílcí souč. spolehlivosti γ_M) <input checked="" type="checkbox"/> Průřezy (součinitel pro J, I_y, I_z, A, A_y, A_z) <input checked="" type="checkbox"/> Pruty (faktor pro GJ, EI_y, EI_z, EA, GA_y, GA_z)</p>
KZ149	1.35*ZS1 + 1.35*ZS2 + 0.75*ZS4 + 1.5*ZS12	<p>Způsob výpočtu : <input checked="" type="radio"/> Analýza podle II. řádu (P-Delta)</p> <p>Metoda pro řešení systému nelineárních algebraických rovnic : <input checked="" type="radio"/> Picard</p> <p>Možnosti : <input checked="" type="checkbox"/> Zohlednit příznivé tahové účinky <input checked="" type="checkbox"/> Vztáhnout vnitřní síly na přetvořený systém pro: <input checked="" type="checkbox"/> Normálové síly N <input checked="" type="checkbox"/> Smykové síly V_y a V_z <input checked="" type="checkbox"/> Momenty M_y, M_z a M_T</p> <p>Aktivovat součinitele tuhosti: : <input checked="" type="checkbox"/> Materiály (dílcí souč. spolehlivosti γ_M) <input checked="" type="checkbox"/> Průřezy (součinitel pro J, I_y, I_z, A, A_y, A_z) <input checked="" type="checkbox"/> Pruty (faktor pro GJ, EI_y, EI_z, EA, GA_y, GA_z)</p>
KZ150	1.35*ZS1 + 1.35*ZS2 + 0.75*ZS5 + 1.5*ZS12	<p>Způsob výpočtu : <input checked="" type="radio"/> Analýza podle II. řádu (P-Delta)</p> <p>Metoda pro řešení systému nelineárních algebraických rovnic : <input checked="" type="radio"/> Picard</p> <p>Možnosti : <input checked="" type="checkbox"/> Zohlednit příznivé tahové účinky <input checked="" type="checkbox"/> Vztáhnout vnitřní síly na přetvořený systém pro: <input checked="" type="checkbox"/> Normálové síly N <input checked="" type="checkbox"/> Smykové síly V_y a V_z <input checked="" type="checkbox"/> Momenty M_y, M_z a M_T</p> <p>Aktivovat součinitele tuhosti: : <input checked="" type="checkbox"/> Materiály (dílcí souč. spolehlivosti γ_M) <input checked="" type="checkbox"/> Průřezy (součinitel pro J, I_y, I_z, A, A_y, A_z) <input checked="" type="checkbox"/> Pruty (faktor pro GJ, EI_y, EI_z, EA, GA_y, GA_z)</p>
KZ151	1.35*ZS1 + 1.35*ZS2 + 0.75*ZS7 + 1.5*ZS12	<p>Způsob výpočtu : <input checked="" type="radio"/> Analýza podle II. řádu (P-Delta)</p> <p>Metoda pro řešení systému nelineárních algebraických rovnic : <input checked="" type="radio"/> Picard</p> <p>Možnosti : <input checked="" type="checkbox"/> Zohlednit příznivé tahové účinky <input checked="" type="checkbox"/> Vztáhnout vnitřní síly na přetvořený systém pro: <input checked="" type="checkbox"/> Normálové síly N <input checked="" type="checkbox"/> Smykové síly V_y a V_z <input checked="" type="checkbox"/> Momenty M_y, M_z a M_T</p> <p>Aktivovat součinitele tuhosti: : <input checked="" type="checkbox"/> Materiály (dílcí souč. spolehlivosti γ_M) <input checked="" type="checkbox"/> Průřezy (součinitel pro J, I_y, I_z, A, A_y, A_z) <input checked="" type="checkbox"/> Pruty (faktor pro GJ, EI_y, EI_z, EA, GA_y, GA_z)</p>
KZ152	1.35*ZS1 + 1.35*ZS2 + 0.75*ZS4 + 0.9*ZS8 + 1.5*ZS12	<p>Způsob výpočtu : <input checked="" type="radio"/> Analýza podle II. řádu (P-Delta)</p>



Projekt: Diplomová práce

Model: Diplomová Práce -KROV

Datum: 17.04.2021

Stropní nosník

Konstrukce Krovu

2.5.2 KOMBINACE ZATÍŽENÍ - PARAMETRY VÝPOČTU

Kombin. zatížení	Označení	Parametry výpočtu
		Metoda pro řešení systému nelineárních algebraických rovnic Možnosti : <input type="radio"/> Picard <input checked="" type="checkbox"/> Zohlednit příznivé tahové účinky <input checked="" type="checkbox"/> Vztáhnout vnitřní síly na přetvořený systém pro: <input checked="" type="checkbox"/> Normálové síly N <input checked="" type="checkbox"/> Smykové síly V_y a V_z <input checked="" type="checkbox"/> Momenty M_y , M_z a M_T Aktivovat součinitele tuhosti: <input checked="" type="checkbox"/> Materiály (dílcí souč. spolehlivosti γ_M) <input checked="" type="checkbox"/> Průřezy (součinitel pro J , I_y , I_z , A , A_y , A_z) <input checked="" type="checkbox"/> Pruty (faktor pro GJ , EI_y , EI_z , EA , GA_y , GA_z)
KZ153	$1.35 \cdot ZS1 + 1.35 \cdot ZS2 + 0.75 \cdot ZS4 + 0.9 \cdot ZS9 + 1.5 \cdot ZS12$	Způsob výpočtu : <input type="radio"/> Picard Análýza podle II. řádu (P-Delta) Metoda pro řešení systému nelineárních algebraických rovnic Možnosti : <input type="radio"/> Picard <input checked="" type="checkbox"/> Zohlednit příznivé tahové účinky <input checked="" type="checkbox"/> Vztáhnout vnitřní síly na přetvořený systém pro: <input checked="" type="checkbox"/> Normálové síly N <input checked="" type="checkbox"/> Smykové síly V_y a V_z <input checked="" type="checkbox"/> Momenty M_y , M_z a M_T Aktivovat součinitele tuhosti: <input checked="" type="checkbox"/> Materiály (dílcí souč. spolehlivosti γ_M) <input checked="" type="checkbox"/> Průřezy (součinitel pro J , I_y , I_z , A , A_y , A_z) <input checked="" type="checkbox"/> Pruty (faktor pro GJ , EI_y , EI_z , EA , GA_y , GA_z)
KZ154	$1.35 \cdot ZS1 + 1.35 \cdot ZS2 + 0.75 \cdot ZS4 + 0.9 \cdot ZS10 + 1.5 \cdot ZS12$	Způsob výpočtu : <input type="radio"/> Picard Análýza podle II. řádu (P-Delta) Metoda pro řešení systému nelineárních algebraických rovnic Možnosti : <input type="radio"/> Picard <input checked="" type="checkbox"/> Zohlednit příznivé tahové účinky <input checked="" type="checkbox"/> Vztáhnout vnitřní síly na přetvořený systém pro: <input checked="" type="checkbox"/> Normálové síly N <input checked="" type="checkbox"/> Smykové síly V_y a V_z <input checked="" type="checkbox"/> Momenty M_y , M_z a M_T Aktivovat součinitele tuhosti: <input checked="" type="checkbox"/> Materiály (dílcí souč. spolehlivosti γ_M) <input checked="" type="checkbox"/> Průřezy (součinitel pro J , I_y , I_z , A , A_y , A_z) <input checked="" type="checkbox"/> Pruty (faktor pro GJ , EI_y , EI_z , EA , GA_y , GA_z)
KZ155	$1.35 \cdot ZS1 + 1.35 \cdot ZS2 + 0.75 \cdot ZS4 + 0.9 \cdot ZS11 + 1.5 \cdot ZS12$	Způsob výpočtu : <input type="radio"/> Picard Análýza podle II. řádu (P-Delta) Metoda pro řešení systému nelineárních algebraických rovnic Možnosti : <input type="radio"/> Picard <input checked="" type="checkbox"/> Zohlednit příznivé tahové účinky <input checked="" type="checkbox"/> Vztáhnout vnitřní síly na přetvořený systém pro: <input checked="" type="checkbox"/> Normálové síly N <input checked="" type="checkbox"/> Smykové síly V_y a V_z <input checked="" type="checkbox"/> Momenty M_y , M_z a M_T Aktivovat součinitele tuhosti: <input checked="" type="checkbox"/> Materiály (dílcí souč. spolehlivosti γ_M) <input checked="" type="checkbox"/> Průřezy (součinitel pro J , I_y , I_z , A , A_y , A_z) <input checked="" type="checkbox"/> Pruty (faktor pro GJ , EI_y , EI_z , EA , GA_y , GA_z)
KZ156	$1.35 \cdot ZS1 + 1.35 \cdot ZS2 + 0.75 \cdot ZS5 + 0.9 \cdot ZS8 + 1.5 \cdot ZS12$	Způsob výpočtu : <input type="radio"/> Picard Análýza podle II. řádu (P-Delta) Metoda pro řešení systému nelineárních algebraických rovnic Možnosti : <input type="radio"/> Picard <input checked="" type="checkbox"/> Zohlednit příznivé tahové účinky <input checked="" type="checkbox"/> Vztáhnout vnitřní síly na přetvořený systém pro: <input checked="" type="checkbox"/> Normálové síly N <input checked="" type="checkbox"/> Smykové síly V_y a V_z <input checked="" type="checkbox"/> Momenty M_y , M_z a M_T Aktivovat součinitele tuhosti: <input checked="" type="checkbox"/> Materiály (dílcí souč. spolehlivosti γ_M) <input checked="" type="checkbox"/> Průřezy (součinitel pro J , I_y , I_z , A , A_y , A_z) <input checked="" type="checkbox"/> Pruty (faktor pro GJ , EI_y , EI_z , EA , GA_y , GA_z)
KZ157	$1.35 \cdot ZS1 + 1.35 \cdot ZS2 + 0.75 \cdot ZS5 + 0.9 \cdot ZS9 + 1.5 \cdot ZS12$	Způsob výpočtu : <input type="radio"/> Picard Análýza podle II. řádu (P-Delta) Metoda pro řešení systému nelineárních algebraických rovnic Možnosti : <input type="radio"/> Picard <input checked="" type="checkbox"/> Zohlednit příznivé tahové účinky <input checked="" type="checkbox"/> Vztáhnout vnitřní síly na přetvořený systém pro: <input checked="" type="checkbox"/> Normálové síly N <input checked="" type="checkbox"/> Smykové síly V_y a V_z <input checked="" type="checkbox"/> Momenty M_y , M_z a M_T Aktivovat součinitele tuhosti: <input checked="" type="checkbox"/> Materiály (dílcí souč. spolehlivosti γ_M) <input checked="" type="checkbox"/> Průřezy (součinitel pro J , I_y , I_z , A , A_y , A_z) <input checked="" type="checkbox"/> Pruty (faktor pro GJ , EI_y , EI_z , EA , GA_y , GA_z)
KZ158	$1.35 \cdot ZS1 + 1.35 \cdot ZS2 + 0.75 \cdot ZS5 + 0.9 \cdot ZS10 + 1.5 \cdot ZS12$	Způsob výpočtu : <input type="radio"/> Picard Análýza podle II. řádu (P-Delta) Metoda pro řešení systému nelineárních algebraických rovnic Možnosti : <input type="radio"/> Picard <input checked="" type="checkbox"/> Zohlednit příznivé tahové účinky <input checked="" type="checkbox"/> Vztáhnout vnitřní síly na přetvořený systém pro: <input checked="" type="checkbox"/> Normálové síly N <input checked="" type="checkbox"/> Smykové síly V_y a V_z <input checked="" type="checkbox"/> Momenty M_y , M_z a M_T Aktivovat součinitele tuhosti: <input checked="" type="checkbox"/> Materiály (dílcí souč. spolehlivosti γ_M) <input checked="" type="checkbox"/> Průřezy (součinitel pro J , I_y , I_z , A , A_y , A_z) <input checked="" type="checkbox"/> Pruty (faktor pro GJ , EI_y , EI_z , EA , GA_y , GA_z)
KZ159	$1.35 \cdot ZS1 + 1.35 \cdot ZS2 + 0.75 \cdot ZS5 + 0.9 \cdot ZS11 + 1.5 \cdot ZS12$	Způsob výpočtu : <input type="radio"/> Picard Análýza podle II. řádu (P-Delta) Metoda pro řešení systému nelineárních algebraických rovnic Možnosti : <input type="radio"/> Picard <input checked="" type="checkbox"/> Zohlednit příznivé tahové účinky <input checked="" type="checkbox"/> Vztáhnout vnitřní síly na přetvořený systém pro: <input checked="" type="checkbox"/> Normálové síly N <input checked="" type="checkbox"/> Smykové síly V_y a V_z <input checked="" type="checkbox"/> Momenty M_y , M_z a M_T Aktivovat součinitele tuhosti: <input checked="" type="checkbox"/> Materiály (dílcí souč. spolehlivosti γ_M) <input checked="" type="checkbox"/> Průřezy (součinitel pro J , I_y , I_z , A , A_y , A_z) <input checked="" type="checkbox"/> Pruty (faktor pro GJ , EI_y , EI_z , EA , GA_y , GA_z)



Projekt: Diplomová práce

Model: Diplomová Práce -KROV

Datum: 17.04.2021

Stropní nosník

Konstrukce Krovu

2.5.2 KOMBINACE ZATÍŽENÍ - PARAMETRY VÝPOČTU

Kombin. zatížení	Označení	Parametry výpočtu
		Metoda pro řešení systému nelineárních algebraických rovnic Možnosti : <input type="radio"/> Picard <input checked="" type="checkbox"/> Zohlednit příznivé tahové účinky <input checked="" type="checkbox"/> Vztáhnout vnitřní síly na přetvořený systém pro: <input checked="" type="checkbox"/> Normálové síly N <input checked="" type="checkbox"/> Smykové síly V_y a V_z <input checked="" type="checkbox"/> Momenty M_y , M_z a M_T Aktivovat součinitele tuhosti: <input checked="" type="checkbox"/> Materiály (dílcí souč. spolehlivosti γ_M) <input checked="" type="checkbox"/> Průřezy (součinitel pro J, I_y, I_z, A, A_y, A_z) <input checked="" type="checkbox"/> Pruty (faktor pro $GJ, EI_y, EI_z, EA, GA_y, GA_z$)
KZ160	$1.35 \cdot ZS1 + 1.35 \cdot ZS2 + 0.75 \cdot ZS7 + 0.9 \cdot ZS8 + 1.5 \cdot ZS12$	Způsob výpočtu : <input type="radio"/> Picard Metoda pro řešení systému nelineárních algebraických rovnic Možnosti : <input checked="" type="checkbox"/> Zohlednit příznivé tahové účinky <input checked="" type="checkbox"/> Vztáhnout vnitřní síly na přetvořený systém pro: <input checked="" type="checkbox"/> Normálové síly N <input checked="" type="checkbox"/> Smykové síly V_y a V_z <input checked="" type="checkbox"/> Momenty M_y , M_z a M_T Aktivovat součinitele tuhosti: <input checked="" type="checkbox"/> Materiály (dílcí souč. spolehlivosti γ_M) <input checked="" type="checkbox"/> Průřezy (součinitel pro J, I_y, I_z, A, A_y, A_z) <input checked="" type="checkbox"/> Pruty (faktor pro $GJ, EI_y, EI_z, EA, GA_y, GA_z$)
KZ161	$1.35 \cdot ZS1 + 1.35 \cdot ZS2 + 0.75 \cdot ZS7 + 0.9 \cdot ZS9 + 1.5 \cdot ZS12$	Způsob výpočtu : <input type="radio"/> Picard Metoda pro řešení systému nelineárních algebraických rovnic Možnosti : <input checked="" type="checkbox"/> Zohlednit příznivé tahové účinky <input checked="" type="checkbox"/> Vztáhnout vnitřní síly na přetvořený systém pro: <input checked="" type="checkbox"/> Normálové síly N <input checked="" type="checkbox"/> Smykové síly V_y a V_z <input checked="" type="checkbox"/> Momenty M_y , M_z a M_T Aktivovat součinitele tuhosti: <input checked="" type="checkbox"/> Materiály (dílcí souč. spolehlivosti γ_M) <input checked="" type="checkbox"/> Průřezy (součinitel pro J, I_y, I_z, A, A_y, A_z) <input checked="" type="checkbox"/> Pruty (faktor pro $GJ, EI_y, EI_z, EA, GA_y, GA_z$)
KZ162	$1.35 \cdot ZS1 + 1.35 \cdot ZS2 + 0.75 \cdot ZS7 + 0.9 \cdot ZS10 + 1.5 \cdot ZS12$	Způsob výpočtu : <input type="radio"/> Picard Metoda pro řešení systému nelineárních algebraických rovnic Možnosti : <input checked="" type="checkbox"/> Zohlednit příznivé tahové účinky <input checked="" type="checkbox"/> Vztáhnout vnitřní síly na přetvořený systém pro: <input checked="" type="checkbox"/> Normálové síly N <input checked="" type="checkbox"/> Smykové síly V_y a V_z <input checked="" type="checkbox"/> Momenty M_y , M_z a M_T Aktivovat součinitele tuhosti: <input checked="" type="checkbox"/> Materiály (dílcí souč. spolehlivosti γ_M) <input checked="" type="checkbox"/> Průřezy (součinitel pro J, I_y, I_z, A, A_y, A_z) <input checked="" type="checkbox"/> Pruty (faktor pro $GJ, EI_y, EI_z, EA, GA_y, GA_z$)
KZ163	$1.35 \cdot ZS1 + 1.35 \cdot ZS2 + 0.75 \cdot ZS7 + 0.9 \cdot ZS11 + 1.5 \cdot ZS12$	Způsob výpočtu : <input type="radio"/> Picard Metoda pro řešení systému nelineárních algebraických rovnic Možnosti : <input checked="" type="checkbox"/> Zohlednit příznivé tahové účinky <input checked="" type="checkbox"/> Vztáhnout vnitřní síly na přetvořený systém pro: <input checked="" type="checkbox"/> Normálové síly N <input checked="" type="checkbox"/> Smykové síly V_y a V_z <input checked="" type="checkbox"/> Momenty M_y , M_z a M_T Aktivovat součinitele tuhosti: <input checked="" type="checkbox"/> Materiály (dílcí souč. spolehlivosti γ_M) <input checked="" type="checkbox"/> Průřezy (součinitel pro J, I_y, I_z, A, A_y, A_z) <input checked="" type="checkbox"/> Pruty (faktor pro $GJ, EI_y, EI_z, EA, GA_y, GA_z$)
KZ164	$1.35 \cdot ZS1 + 1.35 \cdot ZS2 + 0.9 \cdot ZS8 + 1.5 \cdot ZS12$	Způsob výpočtu : <input type="radio"/> Picard Metoda pro řešení systému nelineárních algebraických rovnic Možnosti : <input checked="" type="checkbox"/> Zohlednit příznivé tahové účinky <input checked="" type="checkbox"/> Vztáhnout vnitřní síly na přetvořený systém pro: <input checked="" type="checkbox"/> Normálové síly N <input checked="" type="checkbox"/> Smykové síly V_y a V_z <input checked="" type="checkbox"/> Momenty M_y , M_z a M_T Aktivovat součinitele tuhosti: <input checked="" type="checkbox"/> Materiály (dílcí souč. spolehlivosti γ_M) <input checked="" type="checkbox"/> Průřezy (součinitel pro J, I_y, I_z, A, A_y, A_z) <input checked="" type="checkbox"/> Pruty (faktor pro $GJ, EI_y, EI_z, EA, GA_y, GA_z$)
KZ165	$1.35 \cdot ZS1 + 1.35 \cdot ZS2 + 0.9 \cdot ZS9 + 1.5 \cdot ZS12$	Způsob výpočtu : <input type="radio"/> Picard Metoda pro řešení systému nelineárních algebraických rovnic Možnosti : <input checked="" type="checkbox"/> Zohlednit příznivé tahové účinky <input checked="" type="checkbox"/> Vztáhnout vnitřní síly na přetvořený systém pro: <input checked="" type="checkbox"/> Normálové síly N <input checked="" type="checkbox"/> Smykové síly V_y a V_z <input checked="" type="checkbox"/> Momenty M_y , M_z a M_T Aktivovat součinitele tuhosti: <input checked="" type="checkbox"/> Materiály (dílcí souč. spolehlivosti γ_M) <input checked="" type="checkbox"/> Průřezy (součinitel pro J, I_y, I_z, A, A_y, A_z) <input checked="" type="checkbox"/> Pruty (faktor pro $GJ, EI_y, EI_z, EA, GA_y, GA_z$)
KZ166	$1.35 \cdot ZS1 + 1.35 \cdot ZS2 + 0.9 \cdot ZS10 + 1.5 \cdot ZS12$	Způsob výpočtu : <input type="radio"/> Picard Metoda pro řešení systému nelineárních algebraických rovnic Možnosti : <input checked="" type="checkbox"/> Zohlednit příznivé tahové účinky <input checked="" type="checkbox"/> Vztáhnout vnitřní síly na přetvořený systém pro: <input checked="" type="checkbox"/> Normálové síly N <input checked="" type="checkbox"/> Smykové síly V_y a V_z <input checked="" type="checkbox"/> Momenty M_y , M_z a M_T Aktivovat součinitele tuhosti: <input checked="" type="checkbox"/> Materiály (dílcí souč. spolehlivosti γ_M) <input checked="" type="checkbox"/> Průřezy (součinitel pro J, I_y, I_z, A, A_y, A_z) <input checked="" type="checkbox"/> Pruty (faktor pro $GJ, EI_y, EI_z, EA, GA_y, GA_z$)



Projekt: Diplomová práce

Model: Diplomová Práce -KROV

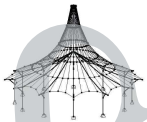
Datum: 17.04.2021

Stropní nosník

Konstrukce Krovu

2.5.2 KOMBINACE ZATÍŽENÍ - PARAMETRY VÝPOČTU

Kombin. zatížení	Označení	Parametry výpočtu
		Metoda pro řešení systému nelineárních algebraických rovnic Možnosti : <input type="radio"/> Picard <input checked="" type="checkbox"/> Zohlednit příznivé tahové účinky <input checked="" type="checkbox"/> Vztáhnout vnitřní síly na přetvořený systém pro: <input checked="" type="checkbox"/> Normálové síly N <input checked="" type="checkbox"/> Smykové síly V_y a V_z <input checked="" type="checkbox"/> Momenty M_y , M_z a M_T Aktivovat součinitele tuhosti: : <input checked="" type="checkbox"/> Materiály (dílcí souč. spolehlivosti γ_M) <input checked="" type="checkbox"/> Průřezy (součinitel pro J, I_y, I_z, A, A_y, A_z) <input checked="" type="checkbox"/> Pruty (faktor pro $GJ, E I_y, E I_z, EA, GA_y, GA_z$)
KZ167	1.35*ZS1 + 1.35*ZS2 + 0.9*ZS11 + 1.5*ZS12	Způsob výpočtu : <input type="radio"/> Analýza podle II. řádu (P-Delta) Metoda pro řešení systému nelineárních algebraických rovnic Možnosti : <input type="radio"/> Picard <input checked="" type="checkbox"/> Zohlednit příznivé tahové účinky <input checked="" type="checkbox"/> Vztáhnout vnitřní síly na přetvořený systém pro: <input checked="" type="checkbox"/> Normálové síly N <input checked="" type="checkbox"/> Smykové síly V_y a V_z <input checked="" type="checkbox"/> Momenty M_y , M_z a M_T Aktivovat součinitele tuhosti: : <input checked="" type="checkbox"/> Materiály (dílcí souč. spolehlivosti γ_M) <input checked="" type="checkbox"/> Průřezy (součinitel pro J, I_y, I_z, A, A_y, A_z) <input checked="" type="checkbox"/> Pruty (faktor pro $GJ, E I_y, E I_z, EA, GA_y, GA_z$)
KZ168	1.35*ZS1 + 0.75*ZS4 + 1.5*ZS12	Způsob výpočtu : <input type="radio"/> Analýza podle II. řádu (P-Delta) Metoda pro řešení systému nelineárních algebraických rovnic Možnosti : <input type="radio"/> Picard <input checked="" type="checkbox"/> Zohlednit příznivé tahové účinky <input checked="" type="checkbox"/> Vztáhnout vnitřní síly na přetvořený systém pro: <input checked="" type="checkbox"/> Normálové síly N <input checked="" type="checkbox"/> Smykové síly V_y a V_z <input checked="" type="checkbox"/> Momenty M_y , M_z a M_T Aktivovat součinitele tuhosti: : <input checked="" type="checkbox"/> Materiály (dílcí souč. spolehlivosti γ_M) <input checked="" type="checkbox"/> Průřezy (součinitel pro J, I_y, I_z, A, A_y, A_z) <input checked="" type="checkbox"/> Pruty (faktor pro $GJ, E I_y, E I_z, EA, GA_y, GA_z$)
KZ169	1.35*ZS1 + 0.75*ZS5 + 1.5*ZS12	Způsob výpočtu : <input type="radio"/> Analýza podle II. řádu (P-Delta) Metoda pro řešení systému nelineárních algebraických rovnic Možnosti : <input type="radio"/> Picard <input checked="" type="checkbox"/> Zohlednit příznivé tahové účinky <input checked="" type="checkbox"/> Vztáhnout vnitřní síly na přetvořený systém pro: <input checked="" type="checkbox"/> Normálové síly N <input checked="" type="checkbox"/> Smykové síly V_y a V_z <input checked="" type="checkbox"/> Momenty M_y , M_z a M_T Aktivovat součinitele tuhosti: : <input checked="" type="checkbox"/> Materiály (dílcí souč. spolehlivosti γ_M) <input checked="" type="checkbox"/> Průřezy (součinitel pro J, I_y, I_z, A, A_y, A_z) <input checked="" type="checkbox"/> Pruty (faktor pro $GJ, E I_y, E I_z, EA, GA_y, GA_z$)
KZ170	1.35*ZS1 + 0.75*ZS7 + 1.5*ZS12	Způsob výpočtu : <input type="radio"/> Analýza podle II. řádu (P-Delta) Metoda pro řešení systému nelineárních algebraických rovnic Možnosti : <input type="radio"/> Picard <input checked="" type="checkbox"/> Zohlednit příznivé tahové účinky <input checked="" type="checkbox"/> Vztáhnout vnitřní síly na přetvořený systém pro: <input checked="" type="checkbox"/> Normálové síly N <input checked="" type="checkbox"/> Smykové síly V_y a V_z <input checked="" type="checkbox"/> Momenty M_y , M_z a M_T Aktivovat součinitele tuhosti: : <input checked="" type="checkbox"/> Materiály (dílcí souč. spolehlivosti γ_M) <input checked="" type="checkbox"/> Průřezy (součinitel pro J, I_y, I_z, A, A_y, A_z) <input checked="" type="checkbox"/> Pruty (faktor pro $GJ, E I_y, E I_z, EA, GA_y, GA_z$)
KZ171	1.35*ZS1 + 0.75*ZS4 + 0.9*ZS8 + 1.5*ZS12	Způsob výpočtu : <input type="radio"/> Analýza podle II. řádu (P-Delta) Metoda pro řešení systému nelineárních algebraických rovnic Možnosti : <input type="radio"/> Picard <input checked="" type="checkbox"/> Zohlednit příznivé tahové účinky <input checked="" type="checkbox"/> Vztáhnout vnitřní síly na přetvořený systém pro: <input checked="" type="checkbox"/> Normálové síly N <input checked="" type="checkbox"/> Smykové síly V_y a V_z <input checked="" type="checkbox"/> Momenty M_y , M_z a M_T Aktivovat součinitele tuhosti: : <input checked="" type="checkbox"/> Materiály (dílcí souč. spolehlivosti γ_M) <input checked="" type="checkbox"/> Průřezy (součinitel pro J, I_y, I_z, A, A_y, A_z) <input checked="" type="checkbox"/> Pruty (faktor pro $GJ, E I_y, E I_z, EA, GA_y, GA_z$)
KZ172	1.35*ZS1 + 0.75*ZS4 + 0.9*ZS9 + 1.5*ZS12	Způsob výpočtu : <input type="radio"/> Analýza podle II. řádu (P-Delta) Metoda pro řešení systému nelineárních algebraických rovnic Možnosti : <input type="radio"/> Picard <input checked="" type="checkbox"/> Zohlednit příznivé tahové účinky <input checked="" type="checkbox"/> Vztáhnout vnitřní síly na přetvořený systém pro: <input checked="" type="checkbox"/> Normálové síly N <input checked="" type="checkbox"/> Smykové síly V_y a V_z <input checked="" type="checkbox"/> Momenty M_y , M_z a M_T Aktivovat součinitele tuhosti: : <input checked="" type="checkbox"/> Materiály (dílcí souč. spolehlivosti γ_M) <input checked="" type="checkbox"/> Průřezy (součinitel pro J, I_y, I_z, A, A_y, A_z) <input checked="" type="checkbox"/> Pruty (faktor pro $GJ, E I_y, E I_z, EA, GA_y, GA_z$)
KZ173	1.35*ZS1 + 0.75*ZS4 + 0.9*ZS10 + 1.5*ZS12	Způsob výpočtu : <input type="radio"/> Analýza podle II. řádu (P-Delta) Metoda pro řešení systému nelineárních algebraických rovnic Možnosti : <input type="radio"/> Picard <input checked="" type="checkbox"/> Zohlednit příznivé tahové účinky



Projekt: Diplomová práce

Model: Diplomová Práce -KROV

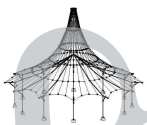
Datum: 17.04.2021

Stropní nosník

Konstrukce Krovu

2.5.2 KOMBINACE ZATÍŽENÍ - PARAMETRY VÝPOČTU

Kombin. zatížení	Označení	Parametry výpočtu
		<input checked="" type="checkbox"/> Vztáhnout vnitřní síly na přetvořený systém pro: <input checked="" type="checkbox"/> Normálové síly N <input checked="" type="checkbox"/> Smykové síly V_y a V_z <input checked="" type="checkbox"/> Momenty M_y , M_z a M_T Aktivovat součinitele tuhosti: <input checked="" type="checkbox"/> Materiály (dílcí souč. spolehlivosti γ_M) <input checked="" type="checkbox"/> Průřezy (součinitel pro J , I_y , I_z , A , A_y , A_z) <input checked="" type="checkbox"/> Pruty (faktor pro GJ , EI_y , EI_z , EA , GA_y , GA_z)
KZ174	1.35*ZS1 + 0.75*ZS4 + 0.9*ZS11 + 1.5*ZS12	Způsob výpočtu <input checked="" type="radio"/> Analýza podle II. řádu (P-Delta) Metoda pro řešení systému nelineárních algebraických rovnic <input checked="" type="radio"/> Picard Možnosti <input checked="" type="checkbox"/> Zohlednit příznivé tahové účinky <input checked="" type="checkbox"/> Vztáhnout vnitřní síly na přetvořený systém pro: <input checked="" type="checkbox"/> Normálové síly N <input checked="" type="checkbox"/> Smykové síly V_y a V_z <input checked="" type="checkbox"/> Momenty M_y , M_z a M_T Aktivovat součinitele tuhosti: <input checked="" type="checkbox"/> Materiály (dílcí souč. spolehlivosti γ_M) <input checked="" type="checkbox"/> Průřezy (součinitel pro J , I_y , I_z , A , A_y , A_z) <input checked="" type="checkbox"/> Pruty (faktor pro GJ , EI_y , EI_z , EA , GA_y , GA_z)
KZ175	1.35*ZS1 + 0.75*ZS5 + 0.9*ZS8 + 1.5*ZS12	Způsob výpočtu <input checked="" type="radio"/> Analýza podle II. řádu (P-Delta) Metoda pro řešení systému nelineárních algebraických rovnic <input checked="" type="radio"/> Picard Možnosti <input checked="" type="checkbox"/> Zohlednit příznivé tahové účinky <input checked="" type="checkbox"/> Vztáhnout vnitřní síly na přetvořený systém pro: <input checked="" type="checkbox"/> Normálové síly N <input checked="" type="checkbox"/> Smykové síly V_y a V_z <input checked="" type="checkbox"/> Momenty M_y , M_z a M_T Aktivovat součinitele tuhosti: <input checked="" type="checkbox"/> Materiály (dílcí souč. spolehlivosti γ_M) <input checked="" type="checkbox"/> Průřezy (součinitel pro J , I_y , I_z , A , A_y , A_z) <input checked="" type="checkbox"/> Pruty (faktor pro GJ , EI_y , EI_z , EA , GA_y , GA_z)
KZ176	1.35*ZS1 + 0.75*ZS5 + 0.9*ZS9 + 1.5*ZS12	Způsob výpočtu <input checked="" type="radio"/> Analýza podle II. řádu (P-Delta) Metoda pro řešení systému nelineárních algebraických rovnic <input checked="" type="radio"/> Picard Možnosti <input checked="" type="checkbox"/> Zohlednit příznivé tahové účinky <input checked="" type="checkbox"/> Vztáhnout vnitřní síly na přetvořený systém pro: <input checked="" type="checkbox"/> Normálové síly N <input checked="" type="checkbox"/> Smykové síly V_y a V_z <input checked="" type="checkbox"/> Momenty M_y , M_z a M_T Aktivovat součinitele tuhosti: <input checked="" type="checkbox"/> Materiály (dílcí souč. spolehlivosti γ_M) <input checked="" type="checkbox"/> Průřezy (součinitel pro J , I_y , I_z , A , A_y , A_z) <input checked="" type="checkbox"/> Pruty (faktor pro GJ , EI_y , EI_z , EA , GA_y , GA_z)
KZ177	1.35*ZS1 + 0.75*ZS5 + 0.9*ZS10 + 1.5*ZS12	Způsob výpočtu <input checked="" type="radio"/> Analýza podle II. řádu (P-Delta) Metoda pro řešení systému nelineárních algebraických rovnic <input checked="" type="radio"/> Picard Možnosti <input checked="" type="checkbox"/> Zohlednit příznivé tahové účinky <input checked="" type="checkbox"/> Vztáhnout vnitřní síly na přetvořený systém pro: <input checked="" type="checkbox"/> Normálové síly N <input checked="" type="checkbox"/> Smykové síly V_y a V_z <input checked="" type="checkbox"/> Momenty M_y , M_z a M_T Aktivovat součinitele tuhosti: <input checked="" type="checkbox"/> Materiály (dílcí souč. spolehlivosti γ_M) <input checked="" type="checkbox"/> Průřezy (součinitel pro J , I_y , I_z , A , A_y , A_z) <input checked="" type="checkbox"/> Pruty (faktor pro GJ , EI_y , EI_z , EA , GA_y , GA_z)
KZ178	1.35*ZS1 + 0.75*ZS5 + 0.9*ZS11 + 1.5*ZS12	Způsob výpočtu <input checked="" type="radio"/> Analýza podle II. řádu (P-Delta) Metoda pro řešení systému nelineárních algebraických rovnic <input checked="" type="radio"/> Picard Možnosti <input checked="" type="checkbox"/> Zohlednit příznivé tahové účinky <input checked="" type="checkbox"/> Vztáhnout vnitřní síly na přetvořený systém pro: <input checked="" type="checkbox"/> Normálové síly N <input checked="" type="checkbox"/> Smykové síly V_y a V_z <input checked="" type="checkbox"/> Momenty M_y , M_z a M_T Aktivovat součinitele tuhosti: <input checked="" type="checkbox"/> Materiály (dílcí souč. spolehlivosti γ_M) <input checked="" type="checkbox"/> Průřezy (součinitel pro J , I_y , I_z , A , A_y , A_z) <input checked="" type="checkbox"/> Pruty (faktor pro GJ , EI_y , EI_z , EA , GA_y , GA_z)
KZ179	1.35*ZS1 + 0.75*ZS7 + 0.9*ZS8 + 1.5*ZS12	Způsob výpočtu <input checked="" type="radio"/> Analýza podle II. řádu (P-Delta) Metoda pro řešení systému nelineárních algebraických rovnic <input checked="" type="radio"/> Picard Možnosti <input checked="" type="checkbox"/> Zohlednit příznivé tahové účinky <input checked="" type="checkbox"/> Vztáhnout vnitřní síly na přetvořený systém pro: <input checked="" type="checkbox"/> Normálové síly N <input checked="" type="checkbox"/> Smykové síly V_y a V_z <input checked="" type="checkbox"/> Momenty M_y , M_z a M_T Aktivovat součinitele tuhosti: <input checked="" type="checkbox"/> Materiály (dílcí souč. spolehlivosti γ_M) <input checked="" type="checkbox"/> Průřezy (součinitel pro J , I_y , I_z , A , A_y , A_z) <input checked="" type="checkbox"/> Pruty (faktor pro GJ , EI_y , EI_z , EA , GA_y , GA_z)
KZ180	1.35*ZS1 + 0.75*ZS7 + 0.9*ZS9 + 1.5*ZS12	Způsob výpočtu <input checked="" type="radio"/> Analýza podle II. řádu (P-Delta) Metoda pro řešení systému nelineárních algebraických rovnic <input checked="" type="radio"/> Picard Možnosti <input checked="" type="checkbox"/> Zohlednit příznivé tahové účinky



Projekt: Diplomová práce

Model: Diplomová Práce -KROV

Datum: 17.04.2021

Stropní nosník

Konstrukce Krovu

2.5.2 KOMBINACE ZATÍŽENÍ - PARAMETRY VÝPOČTU

Kombin. zatížení	Označení	Parametry výpočtu
		<input checked="" type="checkbox"/> Vztáhnout vnitřní síly na přetvořený systém pro: <input checked="" type="checkbox"/> Normálové síly N <input checked="" type="checkbox"/> Smykové síly V_y a V_z <input checked="" type="checkbox"/> Momenty M_y , M_z a M_T Aktivovat součinitele tuhosti: <input checked="" type="checkbox"/> Materiály (dílcí souč. spolehlivosti γ_M) <input checked="" type="checkbox"/> Průřezy (součinitel pro J , I_y , I_z , A , A_y , A_z) <input checked="" type="checkbox"/> Pruty (faktor pro GJ , EI_y , EI_z , EA , GA_y , GA_z)
KZ181	$1.35 \cdot ZS1 + 0.75 \cdot ZS7 + 0.9 \cdot ZS10 + 1.5 \cdot ZS12$	Způsob výpočtu: <input checked="" type="checkbox"/> Analýza podle II. řádu (P-Delta) Metoda pro řešení systému nelineárních algebraických rovnic: <input checked="" type="checkbox"/> Picard Možnosti: <input checked="" type="checkbox"/> Zohlednit příznivé tahové účinky <input checked="" type="checkbox"/> Vztáhnout vnitřní síly na přetvořený systém pro: <input checked="" type="checkbox"/> Normálové síly N <input checked="" type="checkbox"/> Smykové síly V_y a V_z <input checked="" type="checkbox"/> Momenty M_y , M_z a M_T Aktivovat součinitele tuhosti: <input checked="" type="checkbox"/> Materiály (dílcí souč. spolehlivosti γ_M) <input checked="" type="checkbox"/> Průřezy (součinitel pro J , I_y , I_z , A , A_y , A_z) <input checked="" type="checkbox"/> Pruty (faktor pro GJ , EI_y , EI_z , EA , GA_y , GA_z)
KZ182	$1.35 \cdot ZS1 + 0.75 \cdot ZS7 + 0.9 \cdot ZS11 + 1.5 \cdot ZS12$	Způsob výpočtu: <input checked="" type="checkbox"/> Analýza podle II. řádu (P-Delta) Metoda pro řešení systému nelineárních algebraických rovnic: <input checked="" type="checkbox"/> Picard Možnosti: <input checked="" type="checkbox"/> Zohlednit příznivé tahové účinky <input checked="" type="checkbox"/> Vztáhnout vnitřní síly na přetvořený systém pro: <input checked="" type="checkbox"/> Normálové síly N <input checked="" type="checkbox"/> Smykové síly V_y a V_z <input checked="" type="checkbox"/> Momenty M_y , M_z a M_T Aktivovat součinitele tuhosti: <input checked="" type="checkbox"/> Materiály (dílcí souč. spolehlivosti γ_M) <input checked="" type="checkbox"/> Průřezy (součinitel pro J , I_y , I_z , A , A_y , A_z) <input checked="" type="checkbox"/> Pruty (faktor pro GJ , EI_y , EI_z , EA , GA_y , GA_z)
KZ183	$1.35 \cdot ZS1 + 0.9 \cdot ZS8 + 1.5 \cdot ZS12$	Způsob výpočtu: <input checked="" type="checkbox"/> Analýza podle II. řádu (P-Delta) Metoda pro řešení systému nelineárních algebraických rovnic: <input checked="" type="checkbox"/> Picard Možnosti: <input checked="" type="checkbox"/> Zohlednit příznivé tahové účinky <input checked="" type="checkbox"/> Vztáhnout vnitřní síly na přetvořený systém pro: <input checked="" type="checkbox"/> Normálové síly N <input checked="" type="checkbox"/> Smykové síly V_y a V_z <input checked="" type="checkbox"/> Momenty M_y , M_z a M_T Aktivovat součinitele tuhosti: <input checked="" type="checkbox"/> Materiály (dílcí souč. spolehlivosti γ_M) <input checked="" type="checkbox"/> Průřezy (součinitel pro J , I_y , I_z , A , A_y , A_z) <input checked="" type="checkbox"/> Pruty (faktor pro GJ , EI_y , EI_z , EA , GA_y , GA_z)
KZ184	$1.35 \cdot ZS1 + 0.9 \cdot ZS9 + 1.5 \cdot ZS12$	Způsob výpočtu: <input checked="" type="checkbox"/> Analýza podle II. řádu (P-Delta) Metoda pro řešení systému nelineárních algebraických rovnic: <input checked="" type="checkbox"/> Picard Možnosti: <input checked="" type="checkbox"/> Zohlednit příznivé tahové účinky <input checked="" type="checkbox"/> Vztáhnout vnitřní síly na přetvořený systém pro: <input checked="" type="checkbox"/> Normálové síly N <input checked="" type="checkbox"/> Smykové síly V_y a V_z <input checked="" type="checkbox"/> Momenty M_y , M_z a M_T Aktivovat součinitele tuhosti: <input checked="" type="checkbox"/> Materiály (dílcí souč. spolehlivosti γ_M) <input checked="" type="checkbox"/> Průřezy (součinitel pro J , I_y , I_z , A , A_y , A_z) <input checked="" type="checkbox"/> Pruty (faktor pro GJ , EI_y , EI_z , EA , GA_y , GA_z)
KZ185	$1.35 \cdot ZS1 + 0.9 \cdot ZS10 + 1.5 \cdot ZS12$	Způsob výpočtu: <input checked="" type="checkbox"/> Analýza podle II. řádu (P-Delta) Metoda pro řešení systému nelineárních algebraických rovnic: <input checked="" type="checkbox"/> Picard Možnosti: <input checked="" type="checkbox"/> Zohlednit příznivé tahové účinky <input checked="" type="checkbox"/> Vztáhnout vnitřní síly na přetvořený systém pro: <input checked="" type="checkbox"/> Normálové síly N <input checked="" type="checkbox"/> Smykové síly V_y a V_z <input checked="" type="checkbox"/> Momenty M_y , M_z a M_T Aktivovat součinitele tuhosti: <input checked="" type="checkbox"/> Materiály (dílcí souč. spolehlivosti γ_M) <input checked="" type="checkbox"/> Průřezy (součinitel pro J , I_y , I_z , A , A_y , A_z) <input checked="" type="checkbox"/> Pruty (faktor pro GJ , EI_y , EI_z , EA , GA_y , GA_z)
KZ186	$1.35 \cdot ZS1 + 0.9 \cdot ZS11 + 1.5 \cdot ZS12$	Způsob výpočtu: <input checked="" type="checkbox"/> Analýza podle II. řádu (P-Delta) Metoda pro řešení systému nelineárních algebraických rovnic: <input checked="" type="checkbox"/> Picard Možnosti: <input checked="" type="checkbox"/> Zohlednit příznivé tahové účinky <input checked="" type="checkbox"/> Vztáhnout vnitřní síly na přetvořený systém pro: <input checked="" type="checkbox"/> Normálové síly N <input checked="" type="checkbox"/> Smykové síly V_y a V_z <input checked="" type="checkbox"/> Momenty M_y , M_z a M_T Aktivovat součinitele tuhosti: <input checked="" type="checkbox"/> Materiály (dílcí souč. spolehlivosti γ_M) <input checked="" type="checkbox"/> Průřezy (součinitel pro J , I_y , I_z , A , A_y , A_z) <input checked="" type="checkbox"/> Pruty (faktor pro GJ , EI_y , EI_z , EA , GA_y , GA_z)
KZ187	ZS1	Způsob výpočtu: <input checked="" type="checkbox"/> Analýza podle II. řádu (P-Delta) Metoda pro řešení systému nelineárních algebraických rovnic: <input checked="" type="checkbox"/> Picard Možnosti: <input checked="" type="checkbox"/> Zohlednit příznivé tahové účinky <input checked="" type="checkbox"/> Vztáhnout vnitřní síly na přetvořený systém pro: <input checked="" type="checkbox"/> Normálové síly N <input checked="" type="checkbox"/> Smykové síly V_y a V_z <input checked="" type="checkbox"/> Momenty M_y , M_z a M_T



Projekt: Diplomová práce

Model: Diplomová Práce -KROV

Datum: 17.04.2021

Stropní nosník

Konstrukce Krovu

2.5.2 KOMBINACE ZATÍŽENÍ - PARAMETRY VÝPOČTU

Kombin. zatížení	Označení	Parametry výpočtu
		Aktivovat součinitele tuhosti: <input checked="" type="checkbox"/> Průřezy (součinitel pro J, I_y, I_z, A, A_y, A_z) <input checked="" type="checkbox"/> Pruty (faktor pro $GJ, EI_y, EI_z, EA, GA_y, GA_z$)
KZ188	ZS1 + ZS2	Způsob výpočtu: <input checked="" type="checkbox"/> Analýza podle II. řádu (P-Delta) Metoda pro řešení systému: <input checked="" type="checkbox"/> Picard Možnosti: <input checked="" type="checkbox"/> Zohlednit příznivé tahové účinky <input checked="" type="checkbox"/> Vztáhnout vnitřní síly na přetvořený systém pro: <input checked="" type="checkbox"/> Normálové síly N <input checked="" type="checkbox"/> Smykové síly V_y a V_z <input checked="" type="checkbox"/> Momenty M_y, M_z a M_T Aktivovat součinitele tuhosti: <input checked="" type="checkbox"/> Průřezy (součinitel pro J, I_y, I_z, A, A_y, A_z) <input checked="" type="checkbox"/> Pruty (faktor pro $GJ, EI_y, EI_z, EA, GA_y, GA_z$)
KZ189	ZS1 + ZS3	Způsob výpočtu: <input checked="" type="checkbox"/> Analýza podle II. řádu (P-Delta) Metoda pro řešení systému: <input checked="" type="checkbox"/> Picard Možnosti: <input checked="" type="checkbox"/> Zohlednit příznivé tahové účinky <input checked="" type="checkbox"/> Vztáhnout vnitřní síly na přetvořený systém pro: <input checked="" type="checkbox"/> Normálové síly N <input checked="" type="checkbox"/> Smykové síly V_y a V_z <input checked="" type="checkbox"/> Momenty M_y, M_z a M_T Aktivovat součinitele tuhosti: <input checked="" type="checkbox"/> Průřezy (součinitel pro J, I_y, I_z, A, A_y, A_z) <input checked="" type="checkbox"/> Pruty (faktor pro $GJ, EI_y, EI_z, EA, GA_y, GA_z$)
KZ190	ZS1 + ZS2 + ZS3	Způsob výpočtu: <input checked="" type="checkbox"/> Analýza podle II. řádu (P-Delta) Metoda pro řešení systému: <input checked="" type="checkbox"/> Picard Možnosti: <input checked="" type="checkbox"/> Zohlednit příznivé tahové účinky <input checked="" type="checkbox"/> Vztáhnout vnitřní síly na přetvořený systém pro: <input checked="" type="checkbox"/> Normálové síly N <input checked="" type="checkbox"/> Smykové síly V_y a V_z <input checked="" type="checkbox"/> Momenty M_y, M_z a M_T Aktivovat součinitele tuhosti: <input checked="" type="checkbox"/> Průřezy (součinitel pro J, I_y, I_z, A, A_y, A_z) <input checked="" type="checkbox"/> Pruty (faktor pro $GJ, EI_y, EI_z, EA, GA_y, GA_z$)
KZ191	ZS1 + ZS2 + ZS3 + 0.6*ZS8	Způsob výpočtu: <input checked="" type="checkbox"/> Analýza podle II. řádu (P-Delta) Metoda pro řešení systému: <input checked="" type="checkbox"/> Picard Možnosti: <input checked="" type="checkbox"/> Zohlednit příznivé tahové účinky <input checked="" type="checkbox"/> Vztáhnout vnitřní síly na přetvořený systém pro: <input checked="" type="checkbox"/> Normálové síly N <input checked="" type="checkbox"/> Smykové síly V_y a V_z <input checked="" type="checkbox"/> Momenty M_y, M_z a M_T Aktivovat součinitele tuhosti: <input checked="" type="checkbox"/> Průřezy (součinitel pro J, I_y, I_z, A, A_y, A_z) <input checked="" type="checkbox"/> Pruty (faktor pro $GJ, EI_y, EI_z, EA, GA_y, GA_z$)
KZ192	ZS1 + ZS2 + ZS3 + 0.6*ZS9	Způsob výpočtu: <input checked="" type="checkbox"/> Analýza podle II. řádu (P-Delta) Metoda pro řešení systému: <input checked="" type="checkbox"/> Picard Možnosti: <input checked="" type="checkbox"/> Zohlednit příznivé tahové účinky <input checked="" type="checkbox"/> Vztáhnout vnitřní síly na přetvořený systém pro: <input checked="" type="checkbox"/> Normálové síly N <input checked="" type="checkbox"/> Smykové síly V_y a V_z <input checked="" type="checkbox"/> Momenty M_y, M_z a M_T Aktivovat součinitele tuhosti: <input checked="" type="checkbox"/> Průřezy (součinitel pro J, I_y, I_z, A, A_y, A_z) <input checked="" type="checkbox"/> Pruty (faktor pro $GJ, EI_y, EI_z, EA, GA_y, GA_z$)
KZ193	ZS1 + ZS2 + ZS3 + 0.6*ZS10	Způsob výpočtu: <input checked="" type="checkbox"/> Analýza podle II. řádu (P-Delta) Metoda pro řešení systému: <input checked="" type="checkbox"/> Picard Možnosti: <input checked="" type="checkbox"/> Zohlednit příznivé tahové účinky <input checked="" type="checkbox"/> Vztáhnout vnitřní síly na přetvořený systém pro: <input checked="" type="checkbox"/> Normálové síly N <input checked="" type="checkbox"/> Smykové síly V_y a V_z <input checked="" type="checkbox"/> Momenty M_y, M_z a M_T Aktivovat součinitele tuhosti: <input checked="" type="checkbox"/> Průřezy (součinitel pro J, I_y, I_z, A, A_y, A_z) <input checked="" type="checkbox"/> Pruty (faktor pro $GJ, EI_y, EI_z, EA, GA_y, GA_z$)
KZ194	ZS1 + ZS2 + ZS3 + 0.6*ZS11	Způsob výpočtu: <input checked="" type="checkbox"/> Analýza podle II. řádu (P-Delta) Metoda pro řešení systému: <input checked="" type="checkbox"/> Picard Možnosti: <input checked="" type="checkbox"/> Zohlednit příznivé tahové účinky <input checked="" type="checkbox"/> Vztáhnout vnitřní síly na přetvořený systém pro: <input checked="" type="checkbox"/> Normálové síly N <input checked="" type="checkbox"/> Smykové síly V_y a V_z <input checked="" type="checkbox"/> Momenty M_y, M_z a M_T Aktivovat součinitele tuhosti: <input checked="" type="checkbox"/> Průřezy (součinitel pro J, I_y, I_z, A, A_y, A_z) <input checked="" type="checkbox"/> Pruty (faktor pro $GJ, EI_y, EI_z, EA, GA_y, GA_z$)
KZ195	ZS1 + ZS2 + ZS3 + 0.6*ZS8 + ZS12	Způsob výpočtu: <input checked="" type="checkbox"/> Analýza podle II. řádu (P-Delta) Metoda pro řešení systému: <input checked="" type="checkbox"/> Picard Možnosti: <input checked="" type="checkbox"/> Zohlednit příznivé tahové účinky <input checked="" type="checkbox"/> Vztáhnout vnitřní síly na přetvořený systém pro: <input checked="" type="checkbox"/> Normálové síly N <input checked="" type="checkbox"/> Smykové síly V_y a V_z <input checked="" type="checkbox"/> Momenty M_y, M_z a M_T Aktivovat součinitele tuhosti: <input checked="" type="checkbox"/> Průřezy (součinitel pro J, I_y, I_z, A, A_y, A_z) <input checked="" type="checkbox"/> Pruty (faktor pro $GJ, EI_y, EI_z, EA, GA_y, GA_z$)



Projekt: Diplomová práce

Model: Diplomová Práce -KROV

Datum: 17.04.2021

Stropní nosník

Konstrukce Krovu

2.5.2 KOMBINACE ZATÍŽENÍ - PARAMETRY VÝPOČTU

Kombin. zatížení	Označení	Parametry výpočtu
KZ196	ZS1 + ZS2 + ZS3 + 0.6*ZS9 + ZS12	Způsob výpočtu : <input checked="" type="radio"/> Analýza podle II. řádu (P-Delta) Metoda pro řešení systému nelineárních algebraických rovnic : <input checked="" type="radio"/> Picard Možnosti : <input checked="" type="checkbox"/> Zohlednit příznivé tahové účinky : <input checked="" type="checkbox"/> Vztáhnout vnitřní síly na přetvořený systém pro: : <input checked="" type="checkbox"/> Normálové síly N : <input checked="" type="checkbox"/> Smykové síly V_y a V_z : <input checked="" type="checkbox"/> Momenty M_y , M_z a M_T Aktivovat součinitele tuhosti: : <input checked="" type="checkbox"/> Průřezy (součinitel pro J , I_y , I_z , A , A_y , A_z) : <input checked="" type="checkbox"/> Pruty (faktor pro GJ , EI_y , EI_z , EA , GA_y , GA_z)
KZ197	ZS1 + ZS2 + ZS3 + 0.6*ZS10 + ZS12	Způsob výpočtu : <input checked="" type="radio"/> Analýza podle II. řádu (P-Delta) Metoda pro řešení systému nelineárních algebraických rovnic : <input checked="" type="radio"/> Picard Možnosti : <input checked="" type="checkbox"/> Zohlednit příznivé tahové účinky : <input checked="" type="checkbox"/> Vztáhnout vnitřní síly na přetvořený systém pro: : <input checked="" type="checkbox"/> Normálové síly N : <input checked="" type="checkbox"/> Smykové síly V_y a V_z : <input checked="" type="checkbox"/> Momenty M_y , M_z a M_T Aktivovat součinitele tuhosti: : <input checked="" type="checkbox"/> Průřezy (součinitel pro J , I_y , I_z , A , A_y , A_z) : <input checked="" type="checkbox"/> Pruty (faktor pro GJ , EI_y , EI_z , EA , GA_y , GA_z)
KZ198	ZS1 + ZS2 + ZS3 + 0.6*ZS11 + ZS12	Způsob výpočtu : <input checked="" type="radio"/> Analýza podle II. řádu (P-Delta) Metoda pro řešení systému nelineárních algebraických rovnic : <input checked="" type="radio"/> Picard Možnosti : <input checked="" type="checkbox"/> Zohlednit příznivé tahové účinky : <input checked="" type="checkbox"/> Vztáhnout vnitřní síly na přetvořený systém pro: : <input checked="" type="checkbox"/> Normálové síly N : <input checked="" type="checkbox"/> Smykové síly V_y a V_z : <input checked="" type="checkbox"/> Momenty M_y , M_z a M_T Aktivovat součinitele tuhosti: : <input checked="" type="checkbox"/> Průřezy (součinitel pro J , I_y , I_z , A , A_y , A_z) : <input checked="" type="checkbox"/> Pruty (faktor pro GJ , EI_y , EI_z , EA , GA_y , GA_z)
KZ199	ZS1 + ZS2 + ZS3 + ZS12	Způsob výpočtu : <input checked="" type="radio"/> Analýza podle II. řádu (P-Delta) Metoda pro řešení systému nelineárních algebraických rovnic : <input checked="" type="radio"/> Picard Možnosti : <input checked="" type="checkbox"/> Zohlednit příznivé tahové účinky : <input checked="" type="checkbox"/> Vztáhnout vnitřní síly na přetvořený systém pro: : <input checked="" type="checkbox"/> Normálové síly N : <input checked="" type="checkbox"/> Smykové síly V_y a V_z : <input checked="" type="checkbox"/> Momenty M_y , M_z a M_T Aktivovat součinitele tuhosti: : <input checked="" type="checkbox"/> Průřezy (součinitel pro J , I_y , I_z , A , A_y , A_z) : <input checked="" type="checkbox"/> Pruty (faktor pro GJ , EI_y , EI_z , EA , GA_y , GA_z)
KZ200	ZS1 + ZS3 + 0.6*ZS8	Způsob výpočtu : <input checked="" type="radio"/> Analýza podle II. řádu (P-Delta) Metoda pro řešení systému nelineárních algebraických rovnic : <input checked="" type="radio"/> Picard Možnosti : <input checked="" type="checkbox"/> Zohlednit příznivé tahové účinky : <input checked="" type="checkbox"/> Vztáhnout vnitřní síly na přetvořený systém pro: : <input checked="" type="checkbox"/> Normálové síly N : <input checked="" type="checkbox"/> Smykové síly V_y a V_z : <input checked="" type="checkbox"/> Momenty M_y , M_z a M_T Aktivovat součinitele tuhosti: : <input checked="" type="checkbox"/> Průřezy (součinitel pro J , I_y , I_z , A , A_y , A_z) : <input checked="" type="checkbox"/> Pruty (faktor pro GJ , EI_y , EI_z , EA , GA_y , GA_z)
KZ201	ZS1 + ZS3 + 0.6*ZS9	Způsob výpočtu : <input checked="" type="radio"/> Analýza podle II. řádu (P-Delta) Metoda pro řešení systému nelineárních algebraických rovnic : <input checked="" type="radio"/> Picard Možnosti : <input checked="" type="checkbox"/> Zohlednit příznivé tahové účinky : <input checked="" type="checkbox"/> Vztáhnout vnitřní síly na přetvořený systém pro: : <input checked="" type="checkbox"/> Normálové síly N : <input checked="" type="checkbox"/> Smykové síly V_y a V_z : <input checked="" type="checkbox"/> Momenty M_y , M_z a M_T Aktivovat součinitele tuhosti: : <input checked="" type="checkbox"/> Průřezy (součinitel pro J , I_y , I_z , A , A_y , A_z) : <input checked="" type="checkbox"/> Pruty (faktor pro GJ , EI_y , EI_z , EA , GA_y , GA_z)
KZ202	ZS1 + ZS3 + 0.6*ZS10	Způsob výpočtu : <input checked="" type="radio"/> Analýza podle II. řádu (P-Delta) Metoda pro řešení systému nelineárních algebraických rovnic : <input checked="" type="radio"/> Picard Možnosti : <input checked="" type="checkbox"/> Zohlednit příznivé tahové účinky : <input checked="" type="checkbox"/> Vztáhnout vnitřní síly na přetvořený systém pro: : <input checked="" type="checkbox"/> Normálové síly N : <input checked="" type="checkbox"/> Smykové síly V_y a V_z : <input checked="" type="checkbox"/> Momenty M_y , M_z a M_T Aktivovat součinitele tuhosti: : <input checked="" type="checkbox"/> Průřezy (součinitel pro J , I_y , I_z , A , A_y , A_z) : <input checked="" type="checkbox"/> Pruty (faktor pro GJ , EI_y , EI_z , EA , GA_y , GA_z)
KZ203	ZS1 + ZS3 + 0.6*ZS11	Způsob výpočtu : <input checked="" type="radio"/> Analýza podle II. řádu (P-Delta) Metoda pro řešení systému nelineárních algebraických rovnic : <input checked="" type="radio"/> Picard Možnosti : <input checked="" type="checkbox"/> Zohlednit příznivé tahové účinky : <input checked="" type="checkbox"/> Vztáhnout vnitřní síly na přetvořený systém pro: : <input checked="" type="checkbox"/> Normálové síly N : <input checked="" type="checkbox"/> Smykové síly V_y a V_z : <input checked="" type="checkbox"/> Momenty M_y , M_z a M_T Aktivovat součinitele tuhosti: : <input checked="" type="checkbox"/> Průřezy (součinitel pro J , I_y , I_z , A , A_y , A_z) : <input checked="" type="checkbox"/> Pruty (faktor pro GJ , EI_y , EI_z , EA , GA_y , GA_z)



Projekt: Diplomová práce

Model: Diplomová Práce -KROV

Datum: 17.04.2021

Stropní nosník

Konstrukce Krovu

2.5.2 KOMBINACE ZATÍŽENÍ - PARAMETRY VÝPOČTU

Kombin. zatížení	Označení	Parametry výpočtu
KZ204	ZS1 + ZS3 + 0.6*ZS8 + ZS12	Způsob výpočtu : <input checked="" type="radio"/> Analýza podle II. řádu (P-Delta) Metoda pro řešení systému : <input checked="" type="radio"/> Picard nelineárních algebraických rovnic Možnosti : <input checked="" type="checkbox"/> Zohlednit příznivé tahové účinky : <input checked="" type="checkbox"/> Vztáhnout vnitřní síly na přetvořený systém pro: : <input checked="" type="checkbox"/> Normálové síly N : <input checked="" type="checkbox"/> Smykové síly V_y a V_z : <input checked="" type="checkbox"/> Momenty M_y , M_z a M_T Aktivovat součinitele tuhosti: : <input checked="" type="checkbox"/> Průřezy (součinitel pro J , I_y , I_z , A , A_y , A_z) : <input checked="" type="checkbox"/> Pruty (faktor pro GJ , EI_y , EI_z , EA , GA_y , GA_z)
KZ205	ZS1 + ZS3 + 0.6*ZS9 + ZS12	Způsob výpočtu : <input checked="" type="radio"/> Analýza podle II. řádu (P-Delta) Metoda pro řešení systému : <input checked="" type="radio"/> Picard nelineárních algebraických rovnic Možnosti : <input checked="" type="checkbox"/> Zohlednit příznivé tahové účinky : <input checked="" type="checkbox"/> Vztáhnout vnitřní síly na přetvořený systém pro: : <input checked="" type="checkbox"/> Normálové síly N : <input checked="" type="checkbox"/> Smykové síly V_y a V_z : <input checked="" type="checkbox"/> Momenty M_y , M_z a M_T Aktivovat součinitele tuhosti: : <input checked="" type="checkbox"/> Průřezy (součinitel pro J , I_y , I_z , A , A_y , A_z) : <input checked="" type="checkbox"/> Pruty (faktor pro GJ , EI_y , EI_z , EA , GA_y , GA_z)
KZ206	ZS1 + ZS3 + 0.6*ZS10 + ZS12	Způsob výpočtu : <input checked="" type="radio"/> Analýza podle II. řádu (P-Delta) Metoda pro řešení systému : <input checked="" type="radio"/> Picard nelineárních algebraických rovnic Možnosti : <input checked="" type="checkbox"/> Zohlednit příznivé tahové účinky : <input checked="" type="checkbox"/> Vztáhnout vnitřní síly na přetvořený systém pro: : <input checked="" type="checkbox"/> Normálové síly N : <input checked="" type="checkbox"/> Smykové síly V_y a V_z : <input checked="" type="checkbox"/> Momenty M_y , M_z a M_T Aktivovat součinitele tuhosti: : <input checked="" type="checkbox"/> Průřezy (součinitel pro J , I_y , I_z , A , A_y , A_z) : <input checked="" type="checkbox"/> Pruty (faktor pro GJ , EI_y , EI_z , EA , GA_y , GA_z)
KZ207	ZS1 + ZS3 + 0.6*ZS11 + ZS12	Způsob výpočtu : <input checked="" type="radio"/> Analýza podle II. řádu (P-Delta) Metoda pro řešení systému : <input checked="" type="radio"/> Picard nelineárních algebraických rovnic Možnosti : <input checked="" type="checkbox"/> Zohlednit příznivé tahové účinky : <input checked="" type="checkbox"/> Vztáhnout vnitřní síly na přetvořený systém pro: : <input checked="" type="checkbox"/> Normálové síly N : <input checked="" type="checkbox"/> Smykové síly V_y a V_z : <input checked="" type="checkbox"/> Momenty M_y , M_z a M_T Aktivovat součinitele tuhosti: : <input checked="" type="checkbox"/> Průřezy (součinitel pro J , I_y , I_z , A , A_y , A_z) : <input checked="" type="checkbox"/> Pruty (faktor pro GJ , EI_y , EI_z , EA , GA_y , GA_z)
KZ208	ZS1 + ZS3 + ZS12	Způsob výpočtu : <input checked="" type="radio"/> Analýza podle II. řádu (P-Delta) Metoda pro řešení systému : <input checked="" type="radio"/> Picard nelineárních algebraických rovnic Možnosti : <input checked="" type="checkbox"/> Zohlednit příznivé tahové účinky : <input checked="" type="checkbox"/> Vztáhnout vnitřní síly na přetvořený systém pro: : <input checked="" type="checkbox"/> Normálové síly N : <input checked="" type="checkbox"/> Smykové síly V_y a V_z : <input checked="" type="checkbox"/> Momenty M_y , M_z a M_T Aktivovat součinitele tuhosti: : <input checked="" type="checkbox"/> Průřezy (součinitel pro J , I_y , I_z , A , A_y , A_z) : <input checked="" type="checkbox"/> Pruty (faktor pro GJ , EI_y , EI_z , EA , GA_y , GA_z)
KZ209	ZS1 + ZS4	Způsob výpočtu : <input checked="" type="radio"/> Analýza podle II. řádu (P-Delta) Metoda pro řešení systému : <input checked="" type="radio"/> Picard nelineárních algebraických rovnic Možnosti : <input checked="" type="checkbox"/> Zohlednit příznivé tahové účinky : <input checked="" type="checkbox"/> Vztáhnout vnitřní síly na přetvořený systém pro: : <input checked="" type="checkbox"/> Normálové síly N : <input checked="" type="checkbox"/> Smykové síly V_y a V_z : <input checked="" type="checkbox"/> Momenty M_y , M_z a M_T Aktivovat součinitele tuhosti: : <input checked="" type="checkbox"/> Průřezy (součinitel pro J , I_y , I_z , A , A_y , A_z) : <input checked="" type="checkbox"/> Pruty (faktor pro GJ , EI_y , EI_z , EA , GA_y , GA_z)
KZ210	ZS1 + ZS5	Způsob výpočtu : <input checked="" type="radio"/> Analýza podle II. řádu (P-Delta) Metoda pro řešení systému : <input checked="" type="radio"/> Picard nelineárních algebraických rovnic Možnosti : <input checked="" type="checkbox"/> Zohlednit příznivé tahové účinky : <input checked="" type="checkbox"/> Vztáhnout vnitřní síly na přetvořený systém pro: : <input checked="" type="checkbox"/> Normálové síly N : <input checked="" type="checkbox"/> Smykové síly V_y a V_z : <input checked="" type="checkbox"/> Momenty M_y , M_z a M_T Aktivovat součinitele tuhosti: : <input checked="" type="checkbox"/> Průřezy (součinitel pro J , I_y , I_z , A , A_y , A_z) : <input checked="" type="checkbox"/> Pruty (faktor pro GJ , EI_y , EI_z , EA , GA_y , GA_z)
KZ211	ZS1 + ZS7	Způsob výpočtu : <input checked="" type="radio"/> Analýza podle II. řádu (P-Delta) Metoda pro řešení systému : <input checked="" type="radio"/> Picard nelineárních algebraických rovnic Možnosti : <input checked="" type="checkbox"/> Zohlednit příznivé tahové účinky : <input checked="" type="checkbox"/> Vztáhnout vnitřní síly na přetvořený systém pro: : <input checked="" type="checkbox"/> Normálové síly N : <input checked="" type="checkbox"/> Smykové síly V_y a V_z : <input checked="" type="checkbox"/> Momenty M_y , M_z a M_T Aktivovat součinitele tuhosti: : <input checked="" type="checkbox"/> Průřezy (součinitel pro J , I_y , I_z , A , A_y , A_z) : <input checked="" type="checkbox"/> Pruty (faktor pro GJ , EI_y , EI_z , EA , GA_y , GA_z)
KZ212	ZS1 + ZS2 + ZS4	Způsob výpočtu : <input checked="" type="radio"/> Analýza podle II. řádu (P-Delta) Metoda pro řešení systému : <input checked="" type="radio"/> Picard nelineárních algebraických rovnic



Projekt: Diplomová práce

Model: Diplomová Práce -KROV

Datum: 17.04.2021

Stropní nosník

Konstrukce Krovu

2.5.2 KOMBINACE ZATÍŽENÍ - PARAMETRY VÝPOČTU

Kombin. zatížení	Označení	Možnosti	Parametry výpočtu
		Možnosti	<input checked="" type="checkbox"/> Zohlednit příznivé tahové účinky <input checked="" type="checkbox"/> Vztáhnout vnitřní síly na přetvořený systém pro: <input checked="" type="checkbox"/> Normálové síly N <input checked="" type="checkbox"/> Smykové síly V_y a V_z <input checked="" type="checkbox"/> Momenty M_y , M_z a M_T
		Aktivovat součinitele tuhosti:	<input checked="" type="checkbox"/> Průřezy (součinitel pro J , I_y , I_z , A , A_y , A_z) <input checked="" type="checkbox"/> Pruty (faktor pro GJ , EI_y , EI_z , EA , GA_y , GA_z)
KZ213	ZS1 + ZS2 + ZS5	Způsob výpočtu	<input checked="" type="checkbox"/> Analýza podle II. řádu (P-Delta)
		Metoda pro řešení systému nelineárních algebraických rovnic	<input checked="" type="checkbox"/> Picard
		Možnosti	<input checked="" type="checkbox"/> Zohlednit příznivé tahové účinky <input checked="" type="checkbox"/> Vztáhnout vnitřní síly na přetvořený systém pro: <input checked="" type="checkbox"/> Normálové síly N <input checked="" type="checkbox"/> Smykové síly V_y a V_z <input checked="" type="checkbox"/> Momenty M_y , M_z a M_T
		Aktivovat součinitele tuhosti:	<input checked="" type="checkbox"/> Průřezy (součinitel pro J , I_y , I_z , A , A_y , A_z) <input checked="" type="checkbox"/> Pruty (faktor pro GJ , EI_y , EI_z , EA , GA_y , GA_z)
KZ214	ZS1 + ZS2 + ZS7	Způsob výpočtu	<input checked="" type="checkbox"/> Analýza podle II. řádu (P-Delta)
		Metoda pro řešení systému nelineárních algebraických rovnic	<input checked="" type="checkbox"/> Picard
		Možnosti	<input checked="" type="checkbox"/> Zohlednit příznivé tahové účinky <input checked="" type="checkbox"/> Vztáhnout vnitřní síly na přetvořený systém pro: <input checked="" type="checkbox"/> Normálové síly N <input checked="" type="checkbox"/> Smykové síly V_y a V_z <input checked="" type="checkbox"/> Momenty M_y , M_z a M_T
		Aktivovat součinitele tuhosti:	<input checked="" type="checkbox"/> Průřezy (součinitel pro J , I_y , I_z , A , A_y , A_z) <input checked="" type="checkbox"/> Pruty (faktor pro GJ , EI_y , EI_z , EA , GA_y , GA_z)
KZ215	ZS1 + ZS2 + ZS4 + 0.6*ZS8	Způsob výpočtu	<input checked="" type="checkbox"/> Analýza podle II. řádu (P-Delta)
		Metoda pro řešení systému nelineárních algebraických rovnic	<input checked="" type="checkbox"/> Picard
		Možnosti	<input checked="" type="checkbox"/> Zohlednit příznivé tahové účinky <input checked="" type="checkbox"/> Vztáhnout vnitřní síly na přetvořený systém pro: <input checked="" type="checkbox"/> Normálové síly N <input checked="" type="checkbox"/> Smykové síly V_y a V_z <input checked="" type="checkbox"/> Momenty M_y , M_z a M_T
		Aktivovat součinitele tuhosti:	<input checked="" type="checkbox"/> Průřezy (součinitel pro J , I_y , I_z , A , A_y , A_z) <input checked="" type="checkbox"/> Pruty (faktor pro GJ , EI_y , EI_z , EA , GA_y , GA_z)
KZ216	ZS1 + ZS2 + ZS4 + 0.6*ZS9	Způsob výpočtu	<input checked="" type="checkbox"/> Analýza podle II. řádu (P-Delta)
		Metoda pro řešení systému nelineárních algebraických rovnic	<input checked="" type="checkbox"/> Picard
		Možnosti	<input checked="" type="checkbox"/> Zohlednit příznivé tahové účinky <input checked="" type="checkbox"/> Vztáhnout vnitřní síly na přetvořený systém pro: <input checked="" type="checkbox"/> Normálové síly N <input checked="" type="checkbox"/> Smykové síly V_y a V_z <input checked="" type="checkbox"/> Momenty M_y , M_z a M_T
		Aktivovat součinitele tuhosti:	<input checked="" type="checkbox"/> Průřezy (součinitel pro J , I_y , I_z , A , A_y , A_z) <input checked="" type="checkbox"/> Pruty (faktor pro GJ , EI_y , EI_z , EA , GA_y , GA_z)
KZ217	ZS1 + ZS2 + ZS4 + 0.6*ZS10	Způsob výpočtu	<input checked="" type="checkbox"/> Analýza podle II. řádu (P-Delta)
		Metoda pro řešení systému nelineárních algebraických rovnic	<input checked="" type="checkbox"/> Picard
		Možnosti	<input checked="" type="checkbox"/> Zohlednit příznivé tahové účinky <input checked="" type="checkbox"/> Vztáhnout vnitřní síly na přetvořený systém pro: <input checked="" type="checkbox"/> Normálové síly N <input checked="" type="checkbox"/> Smykové síly V_y a V_z <input checked="" type="checkbox"/> Momenty M_y , M_z a M_T
		Aktivovat součinitele tuhosti:	<input checked="" type="checkbox"/> Průřezy (součinitel pro J , I_y , I_z , A , A_y , A_z) <input checked="" type="checkbox"/> Pruty (faktor pro GJ , EI_y , EI_z , EA , GA_y , GA_z)
KZ218	ZS1 + ZS2 + ZS4 + 0.6*ZS11	Způsob výpočtu	<input checked="" type="checkbox"/> Analýza podle II. řádu (P-Delta)
		Metoda pro řešení systému nelineárních algebraických rovnic	<input checked="" type="checkbox"/> Picard
		Možnosti	<input checked="" type="checkbox"/> Zohlednit příznivé tahové účinky <input checked="" type="checkbox"/> Vztáhnout vnitřní síly na přetvořený systém pro: <input checked="" type="checkbox"/> Normálové síly N <input checked="" type="checkbox"/> Smykové síly V_y a V_z <input checked="" type="checkbox"/> Momenty M_y , M_z a M_T
		Aktivovat součinitele tuhosti:	<input checked="" type="checkbox"/> Průřezy (součinitel pro J , I_y , I_z , A , A_y , A_z) <input checked="" type="checkbox"/> Pruty (faktor pro GJ , EI_y , EI_z , EA , GA_y , GA_z)
KZ219	ZS1 + ZS2 + ZS5 + 0.6*ZS8	Způsob výpočtu	<input checked="" type="checkbox"/> Analýza podle II. řádu (P-Delta)
		Metoda pro řešení systému nelineárních algebraických rovnic	<input checked="" type="checkbox"/> Picard
		Možnosti	<input checked="" type="checkbox"/> Zohlednit příznivé tahové účinky <input checked="" type="checkbox"/> Vztáhnout vnitřní síly na přetvořený systém pro: <input checked="" type="checkbox"/> Normálové síly N <input checked="" type="checkbox"/> Smykové síly V_y a V_z <input checked="" type="checkbox"/> Momenty M_y , M_z a M_T
		Aktivovat součinitele tuhosti:	<input checked="" type="checkbox"/> Průřezy (součinitel pro J , I_y , I_z , A , A_y , A_z) <input checked="" type="checkbox"/> Pruty (faktor pro GJ , EI_y , EI_z , EA , GA_y , GA_z)
KZ220	ZS1 + ZS2 + ZS5 + 0.6*ZS9	Způsob výpočtu	<input checked="" type="checkbox"/> Analýza podle II. řádu (P-Delta)
		Metoda pro řešení systému nelineárních algebraických rovnic	<input checked="" type="checkbox"/> Picard
		Možnosti	<input checked="" type="checkbox"/> Zohlednit příznivé tahové účinky <input checked="" type="checkbox"/> Vztáhnout vnitřní síly na přetvořený systém pro: <input checked="" type="checkbox"/> Normálové síly N <input checked="" type="checkbox"/> Smykové síly V_y a V_z <input checked="" type="checkbox"/> Momenty M_y , M_z a M_T



Projekt: Diplomová práce

Model: Diplomová Práce -KROV

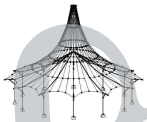
Datum: 17.04.2021

Stropní nosník

Konstrukce Krovu

2.5.2 KOMBINACE ZATÍŽENÍ - PARAMETRY VÝPOČTU

Kombin. zatížení	Označení	Parametry výpočtu
		<input checked="" type="checkbox"/> Normálové síly N <input checked="" type="checkbox"/> Smykové síly V_y a V_z <input checked="" type="checkbox"/> Momenty M_y , M_z a M_T Aktivovat součinitele tuhosti: <ul style="list-style-type: none"> <input checked="" type="checkbox"/> Průřezy (součinitel pro J, I_y, I_z, A, A_y, A_z) <input checked="" type="checkbox"/> Pruty (faktor pro $GJ, EI_y, EI_z, EA, GA_y, GA_z$)
KZ221	ZS1 + ZS2 + ZS5 + 0.6*ZS10	Způsob výpočtu : <input checked="" type="checkbox"/> Analýza podle II. řádu (P-Delta) Metoda pro řešení systému : <input checked="" type="checkbox"/> Picard nelineárních algebraických rovnic Možnosti : <input checked="" type="checkbox"/> Zohlednit příznivé tahové účinky <input checked="" type="checkbox"/> Vztáhnout vnitřní síly na přetvořený systém pro: <input checked="" type="checkbox"/> Normálové síly N <input checked="" type="checkbox"/> Smykové síly V_y a V_z <input checked="" type="checkbox"/> Momenty M_y , M_z a M_T Aktivovat součinitele tuhosti: <ul style="list-style-type: none"> <input checked="" type="checkbox"/> Průřezy (součinitel pro J, I_y, I_z, A, A_y, A_z) <input checked="" type="checkbox"/> Pruty (faktor pro $GJ, EI_y, EI_z, EA, GA_y, GA_z$)
KZ222	ZS1 + ZS2 + ZS5 + 0.6*ZS11	Způsob výpočtu : <input checked="" type="checkbox"/> Analýza podle II. řádu (P-Delta) Metoda pro řešení systému : <input checked="" type="checkbox"/> Picard nelineárních algebraických rovnic Možnosti : <input checked="" type="checkbox"/> Zohlednit příznivé tahové účinky <input checked="" type="checkbox"/> Vztáhnout vnitřní síly na přetvořený systém pro: <input checked="" type="checkbox"/> Normálové síly N <input checked="" type="checkbox"/> Smykové síly V_y a V_z <input checked="" type="checkbox"/> Momenty M_y , M_z a M_T Aktivovat součinitele tuhosti: <ul style="list-style-type: none"> <input checked="" type="checkbox"/> Průřezy (součinitel pro J, I_y, I_z, A, A_y, A_z) <input checked="" type="checkbox"/> Pruty (faktor pro $GJ, EI_y, EI_z, EA, GA_y, GA_z$)
KZ223	ZS1 + ZS2 + ZS7 + 0.6*ZS8	Způsob výpočtu : <input checked="" type="checkbox"/> Analýza podle II. řádu (P-Delta) Metoda pro řešení systému : <input checked="" type="checkbox"/> Picard nelineárních algebraických rovnic Možnosti : <input checked="" type="checkbox"/> Zohlednit příznivé tahové účinky <input checked="" type="checkbox"/> Vztáhnout vnitřní síly na přetvořený systém pro: <input checked="" type="checkbox"/> Normálové síly N <input checked="" type="checkbox"/> Smykové síly V_y a V_z <input checked="" type="checkbox"/> Momenty M_y , M_z a M_T Aktivovat součinitele tuhosti: <ul style="list-style-type: none"> <input checked="" type="checkbox"/> Průřezy (součinitel pro J, I_y, I_z, A, A_y, A_z) <input checked="" type="checkbox"/> Pruty (faktor pro $GJ, EI_y, EI_z, EA, GA_y, GA_z$)
KZ224	ZS1 + ZS2 + ZS7 + 0.6*ZS9	Způsob výpočtu : <input checked="" type="checkbox"/> Analýza podle II. řádu (P-Delta) Metoda pro řešení systému : <input checked="" type="checkbox"/> Picard nelineárních algebraických rovnic Možnosti : <input checked="" type="checkbox"/> Zohlednit příznivé tahové účinky <input checked="" type="checkbox"/> Vztáhnout vnitřní síly na přetvořený systém pro: <input checked="" type="checkbox"/> Normálové síly N <input checked="" type="checkbox"/> Smykové síly V_y a V_z <input checked="" type="checkbox"/> Momenty M_y , M_z a M_T Aktivovat součinitele tuhosti: <ul style="list-style-type: none"> <input checked="" type="checkbox"/> Průřezy (součinitel pro J, I_y, I_z, A, A_y, A_z) <input checked="" type="checkbox"/> Pruty (faktor pro $GJ, EI_y, EI_z, EA, GA_y, GA_z$)
KZ225	ZS1 + ZS2 + ZS7 + 0.6*ZS10	Způsob výpočtu : <input checked="" type="checkbox"/> Analýza podle II. řádu (P-Delta) Metoda pro řešení systému : <input checked="" type="checkbox"/> Picard nelineárních algebraických rovnic Možnosti : <input checked="" type="checkbox"/> Zohlednit příznivé tahové účinky <input checked="" type="checkbox"/> Vztáhnout vnitřní síly na přetvořený systém pro: <input checked="" type="checkbox"/> Normálové síly N <input checked="" type="checkbox"/> Smykové síly V_y a V_z <input checked="" type="checkbox"/> Momenty M_y , M_z a M_T Aktivovat součinitele tuhosti: <ul style="list-style-type: none"> <input checked="" type="checkbox"/> Průřezy (součinitel pro J, I_y, I_z, A, A_y, A_z) <input checked="" type="checkbox"/> Pruty (faktor pro $GJ, EI_y, EI_z, EA, GA_y, GA_z$)
KZ226	ZS1 + ZS2 + ZS7 + 0.6*ZS11	Způsob výpočtu : <input checked="" type="checkbox"/> Analýza podle II. řádu (P-Delta) Metoda pro řešení systému : <input checked="" type="checkbox"/> Picard nelineárních algebraických rovnic Možnosti : <input checked="" type="checkbox"/> Zohlednit příznivé tahové účinky <input checked="" type="checkbox"/> Vztáhnout vnitřní síly na přetvořený systém pro: <input checked="" type="checkbox"/> Normálové síly N <input checked="" type="checkbox"/> Smykové síly V_y a V_z <input checked="" type="checkbox"/> Momenty M_y , M_z a M_T Aktivovat součinitele tuhosti: <ul style="list-style-type: none"> <input checked="" type="checkbox"/> Průřezy (součinitel pro J, I_y, I_z, A, A_y, A_z) <input checked="" type="checkbox"/> Pruty (faktor pro $GJ, EI_y, EI_z, EA, GA_y, GA_z$)
KZ227	ZS1 + ZS2 + ZS4 + 0.6*ZS8 + 0.7*ZS12	Způsob výpočtu : <input checked="" type="checkbox"/> Analýza podle II. řádu (P-Delta) Metoda pro řešení systému : <input checked="" type="checkbox"/> Picard nelineárních algebraických rovnic Možnosti : <input checked="" type="checkbox"/> Zohlednit příznivé tahové účinky <input checked="" type="checkbox"/> Vztáhnout vnitřní síly na přetvořený systém pro: <input checked="" type="checkbox"/> Normálové síly N <input checked="" type="checkbox"/> Smykové síly V_y a V_z <input checked="" type="checkbox"/> Momenty M_y , M_z a M_T Aktivovat součinitele tuhosti: <ul style="list-style-type: none"> <input checked="" type="checkbox"/> Průřezy (součinitel pro J, I_y, I_z, A, A_y, A_z) <input checked="" type="checkbox"/> Pruty (faktor pro $GJ, EI_y, EI_z, EA, GA_y, GA_z$)
KZ228	ZS1 + ZS2 + ZS4 + 0.6*ZS9 + 0.7*ZS12	Způsob výpočtu : <input checked="" type="checkbox"/> Analýza podle II. řádu (P-Delta) Metoda pro řešení systému : <input checked="" type="checkbox"/> Picard nelineárních algebraických rovnic Možnosti : <input checked="" type="checkbox"/> Zohlednit příznivé tahové účinky <input checked="" type="checkbox"/> Vztáhnout vnitřní síly na přetvořený systém pro: <input checked="" type="checkbox"/> Normálové síly N



Projekt: Diplomová práce

Model: Diplomová Práce -KROV

Datum: 17.04.2021

Stropní nosník

Konstrukce Krovu

2.5.2 KOMBINACE ZATÍŽENÍ - PARAMETRY VÝPOČTU

Kombin. zatížení	Označení	Parametry výpočtu
		<input checked="" type="checkbox"/> Smykové síly V_y a V_z <input checked="" type="checkbox"/> Momenty M_y , M_z a M_T Aktivovat součinitele tuhosti: <input checked="" type="checkbox"/> Průřezy (součinitel pro J_y , I_z , A , A_y , A_z) <input checked="" type="checkbox"/> Pruty (faktor pro GJ , EI_y , EI_z , EA , GA_y , GA_z)
KZ229	$ZS1 + ZS2 + ZS4 + 0.6 \cdot ZS10 + 0.7 \cdot ZS12$	Způsob výpočtu: <input checked="" type="radio"/> Analýza podle II. řádu (P-Delta) Metoda pro řešení systému nelineárních algebraických rovnic: <input checked="" type="radio"/> Picard Možnosti: <input checked="" type="checkbox"/> Zohlednit příznivé tahové účinky <input checked="" type="checkbox"/> Vztáhnout vnitřní síly na přetvoření systému pro: <input checked="" type="checkbox"/> Normálové síly N <input checked="" type="checkbox"/> Smykové síly V_y a V_z <input checked="" type="checkbox"/> Momenty M_y , M_z a M_T Aktivovat součinitele tuhosti: <input checked="" type="checkbox"/> Průřezy (součinitel pro J_y , I_z , A , A_y , A_z) <input checked="" type="checkbox"/> Pruty (faktor pro GJ , EI_y , EI_z , EA , GA_y , GA_z)
KZ230	$ZS1 + ZS2 + ZS4 + 0.6 \cdot ZS11 + 0.7 \cdot ZS12$	Způsob výpočtu: <input checked="" type="radio"/> Analýza podle II. řádu (P-Delta) Metoda pro řešení systému nelineárních algebraických rovnic: <input checked="" type="radio"/> Picard Možnosti: <input checked="" type="checkbox"/> Zohlednit příznivé tahové účinky <input checked="" type="checkbox"/> Vztáhnout vnitřní síly na přetvoření systému pro: <input checked="" type="checkbox"/> Normálové síly N <input checked="" type="checkbox"/> Smykové síly V_y a V_z <input checked="" type="checkbox"/> Momenty M_y , M_z a M_T Aktivovat součinitele tuhosti: <input checked="" type="checkbox"/> Průřezy (součinitel pro J_y , I_z , A , A_y , A_z) <input checked="" type="checkbox"/> Pruty (faktor pro GJ , EI_y , EI_z , EA , GA_y , GA_z)
KZ231	$ZS1 + ZS2 + ZS5 + 0.6 \cdot ZS8 + 0.7 \cdot ZS12$	Způsob výpočtu: <input checked="" type="radio"/> Analýza podle II. řádu (P-Delta) Metoda pro řešení systému nelineárních algebraických rovnic: <input checked="" type="radio"/> Picard Možnosti: <input checked="" type="checkbox"/> Zohlednit příznivé tahové účinky <input checked="" type="checkbox"/> Vztáhnout vnitřní síly na přetvoření systému pro: <input checked="" type="checkbox"/> Normálové síly N <input checked="" type="checkbox"/> Smykové síly V_y a V_z <input checked="" type="checkbox"/> Momenty M_y , M_z a M_T Aktivovat součinitele tuhosti: <input checked="" type="checkbox"/> Průřezy (součinitel pro J_y , I_z , A , A_y , A_z) <input checked="" type="checkbox"/> Pruty (faktor pro GJ , EI_y , EI_z , EA , GA_y , GA_z)
KZ232	$ZS1 + ZS2 + ZS5 + 0.6 \cdot ZS9 + 0.7 \cdot ZS12$	Způsob výpočtu: <input checked="" type="radio"/> Analýza podle II. řádu (P-Delta) Metoda pro řešení systému nelineárních algebraických rovnic: <input checked="" type="radio"/> Picard Možnosti: <input checked="" type="checkbox"/> Zohlednit příznivé tahové účinky <input checked="" type="checkbox"/> Vztáhnout vnitřní síly na přetvoření systému pro: <input checked="" type="checkbox"/> Normálové síly N <input checked="" type="checkbox"/> Smykové síly V_y a V_z <input checked="" type="checkbox"/> Momenty M_y , M_z a M_T Aktivovat součinitele tuhosti: <input checked="" type="checkbox"/> Průřezy (součinitel pro J_y , I_z , A , A_y , A_z) <input checked="" type="checkbox"/> Pruty (faktor pro GJ , EI_y , EI_z , EA , GA_y , GA_z)
KZ233	$ZS1 + ZS2 + ZS5 + 0.6 \cdot ZS10 + 0.7 \cdot ZS12$	Způsob výpočtu: <input checked="" type="radio"/> Analýza podle II. řádu (P-Delta) Metoda pro řešení systému nelineárních algebraických rovnic: <input checked="" type="radio"/> Picard Možnosti: <input checked="" type="checkbox"/> Zohlednit příznivé tahové účinky <input checked="" type="checkbox"/> Vztáhnout vnitřní síly na přetvoření systému pro: <input checked="" type="checkbox"/> Normálové síly N <input checked="" type="checkbox"/> Smykové síly V_y a V_z <input checked="" type="checkbox"/> Momenty M_y , M_z a M_T Aktivovat součinitele tuhosti: <input checked="" type="checkbox"/> Průřezy (součinitel pro J_y , I_z , A , A_y , A_z) <input checked="" type="checkbox"/> Pruty (faktor pro GJ , EI_y , EI_z , EA , GA_y , GA_z)
KZ234	$ZS1 + ZS2 + ZS5 + 0.6 \cdot ZS11 + 0.7 \cdot ZS12$	Způsob výpočtu: <input checked="" type="radio"/> Analýza podle II. řádu (P-Delta) Metoda pro řešení systému nelineárních algebraických rovnic: <input checked="" type="radio"/> Picard Možnosti: <input checked="" type="checkbox"/> Zohlednit příznivé tahové účinky <input checked="" type="checkbox"/> Vztáhnout vnitřní síly na přetvoření systému pro: <input checked="" type="checkbox"/> Normálové síly N <input checked="" type="checkbox"/> Smykové síly V_y a V_z <input checked="" type="checkbox"/> Momenty M_y , M_z a M_T Aktivovat součinitele tuhosti: <input checked="" type="checkbox"/> Průřezy (součinitel pro J_y , I_z , A , A_y , A_z) <input checked="" type="checkbox"/> Pruty (faktor pro GJ , EI_y , EI_z , EA , GA_y , GA_z)
KZ235	$ZS1 + ZS2 + ZS7 + 0.6 \cdot ZS8 + 0.7 \cdot ZS12$	Způsob výpočtu: <input checked="" type="radio"/> Analýza podle II. řádu (P-Delta) Metoda pro řešení systému nelineárních algebraických rovnic: <input checked="" type="radio"/> Picard Možnosti: <input checked="" type="checkbox"/> Zohlednit příznivé tahové účinky <input checked="" type="checkbox"/> Vztáhnout vnitřní síly na přetvoření systému pro: <input checked="" type="checkbox"/> Normálové síly N <input checked="" type="checkbox"/> Smykové síly V_y a V_z <input checked="" type="checkbox"/> Momenty M_y , M_z a M_T Aktivovat součinitele tuhosti: <input checked="" type="checkbox"/> Průřezy (součinitel pro J_y , I_z , A , A_y , A_z) <input checked="" type="checkbox"/> Pruty (faktor pro GJ , EI_y , EI_z , EA , GA_y , GA_z)
KZ236	$ZS1 + ZS2 + ZS7 + 0.6 \cdot ZS9 + 0.7 \cdot ZS12$	Způsob výpočtu: <input checked="" type="radio"/> Analýza podle II. řádu (P-Delta) Metoda pro řešení systému n: <input checked="" type="radio"/> Picard



Projekt: Diplomová práce

Model: Diplomová Práce -KROV

Datum: 17.04.2021

Stropní nosník

Konstrukce Krovu

2.5.2 KOMBINACE ZATÍŽENÍ - PARAMETRY VÝPOČTU

Kombin. zatížení	Označení	Parametry výpočtu
		nelineárních algebraických rovnic Možnosti : <input checked="" type="checkbox"/> Zohlednit příznivé tahové účinky : <input checked="" type="checkbox"/> Vztáhnout vnitřní síly na přetvořený systém pro: <input checked="" type="checkbox"/> Normálové síly N <input checked="" type="checkbox"/> Smykové síly V_y a V_z <input checked="" type="checkbox"/> Momenty M_y , M_z a M_T Aktivovat součinitele tuhosti: : <input checked="" type="checkbox"/> Průřezy (součinitel pro J , I_y , I_z , A , A_y , A_z) : <input checked="" type="checkbox"/> Pruty (faktor pro GJ , EI_y , EI_z , EA , GA_y , GA_z)
KZ237	$ZS1 + ZS2 + ZS7 + 0.6 \cdot ZS10 + 0.7 \cdot ZS12$	Způsob výpočtu : <input checked="" type="checkbox"/> Analýza podle II. řádu (P-Delta) Metoda pro řešení systému nelineárních algebraických rovnic : <input checked="" type="checkbox"/> Picard Možnosti : <input checked="" type="checkbox"/> Zohlednit příznivé tahové účinky : <input checked="" type="checkbox"/> Vztáhnout vnitřní síly na přetvořený systém pro: <input checked="" type="checkbox"/> Normálové síly N <input checked="" type="checkbox"/> Smykové síly V_y a V_z <input checked="" type="checkbox"/> Momenty M_y , M_z a M_T Aktivovat součinitele tuhosti: : <input checked="" type="checkbox"/> Průřezy (součinitel pro J , I_y , I_z , A , A_y , A_z) : <input checked="" type="checkbox"/> Pruty (faktor pro GJ , EI_y , EI_z , EA , GA_y , GA_z)
KZ238	$ZS1 + ZS2 + ZS7 + 0.6 \cdot ZS11 + 0.7 \cdot ZS12$	Způsob výpočtu : <input checked="" type="checkbox"/> Analýza podle II. řádu (P-Delta) Metoda pro řešení systému nelineárních algebraických rovnic : <input checked="" type="checkbox"/> Picard Možnosti : <input checked="" type="checkbox"/> Zohlednit příznivé tahové účinky : <input checked="" type="checkbox"/> Vztáhnout vnitřní síly na přetvořený systém pro: <input checked="" type="checkbox"/> Normálové síly N <input checked="" type="checkbox"/> Smykové síly V_y a V_z <input checked="" type="checkbox"/> Momenty M_y , M_z a M_T Aktivovat součinitele tuhosti: : <input checked="" type="checkbox"/> Průřezy (součinitel pro J , I_y , I_z , A , A_y , A_z) : <input checked="" type="checkbox"/> Pruty (faktor pro GJ , EI_y , EI_z , EA , GA_y , GA_z)
KZ239	$ZS1 + ZS2 + ZS4 + 0.7 \cdot ZS12$	Způsob výpočtu : <input checked="" type="checkbox"/> Analýza podle II. řádu (P-Delta) Metoda pro řešení systému nelineárních algebraických rovnic : <input checked="" type="checkbox"/> Picard Možnosti : <input checked="" type="checkbox"/> Zohlednit příznivé tahové účinky : <input checked="" type="checkbox"/> Vztáhnout vnitřní síly na přetvořený systém pro: <input checked="" type="checkbox"/> Normálové síly N <input checked="" type="checkbox"/> Smykové síly V_y a V_z <input checked="" type="checkbox"/> Momenty M_y , M_z a M_T Aktivovat součinitele tuhosti: : <input checked="" type="checkbox"/> Průřezy (součinitel pro J , I_y , I_z , A , A_y , A_z) : <input checked="" type="checkbox"/> Pruty (faktor pro GJ , EI_y , EI_z , EA , GA_y , GA_z)
KZ240	$ZS1 + ZS2 + ZS5 + 0.7 \cdot ZS12$	Způsob výpočtu : <input checked="" type="checkbox"/> Analýza podle II. řádu (P-Delta) Metoda pro řešení systému nelineárních algebraických rovnic : <input checked="" type="checkbox"/> Picard Možnosti : <input checked="" type="checkbox"/> Zohlednit příznivé tahové účinky : <input checked="" type="checkbox"/> Vztáhnout vnitřní síly na přetvořený systém pro: <input checked="" type="checkbox"/> Normálové síly N <input checked="" type="checkbox"/> Smykové síly V_y a V_z <input checked="" type="checkbox"/> Momenty M_y , M_z a M_T Aktivovat součinitele tuhosti: : <input checked="" type="checkbox"/> Průřezy (součinitel pro J , I_y , I_z , A , A_y , A_z) : <input checked="" type="checkbox"/> Pruty (faktor pro GJ , EI_y , EI_z , EA , GA_y , GA_z)
KZ241	$ZS1 + ZS2 + ZS7 + 0.7 \cdot ZS12$	Způsob výpočtu : <input checked="" type="checkbox"/> Analýza podle II. řádu (P-Delta) Metoda pro řešení systému nelineárních algebraických rovnic : <input checked="" type="checkbox"/> Picard Možnosti : <input checked="" type="checkbox"/> Zohlednit příznivé tahové účinky : <input checked="" type="checkbox"/> Vztáhnout vnitřní síly na přetvořený systém pro: <input checked="" type="checkbox"/> Normálové síly N <input checked="" type="checkbox"/> Smykové síly V_y a V_z <input checked="" type="checkbox"/> Momenty M_y , M_z a M_T Aktivovat součinitele tuhosti: : <input checked="" type="checkbox"/> Průřezy (součinitel pro J , I_y , I_z , A , A_y , A_z) : <input checked="" type="checkbox"/> Pruty (faktor pro GJ , EI_y , EI_z , EA , GA_y , GA_z)
KZ242	$ZS1 + ZS4 + 0.6 \cdot ZS8$	Způsob výpočtu : <input checked="" type="checkbox"/> Analýza podle II. řádu (P-Delta) Metoda pro řešení systému nelineárních algebraických rovnic : <input checked="" type="checkbox"/> Picard Možnosti : <input checked="" type="checkbox"/> Zohlednit příznivé tahové účinky : <input checked="" type="checkbox"/> Vztáhnout vnitřní síly na přetvořený systém pro: <input checked="" type="checkbox"/> Normálové síly N <input checked="" type="checkbox"/> Smykové síly V_y a V_z <input checked="" type="checkbox"/> Momenty M_y , M_z a M_T Aktivovat součinitele tuhosti: : <input checked="" type="checkbox"/> Průřezy (součinitel pro J , I_y , I_z , A , A_y , A_z) : <input checked="" type="checkbox"/> Pruty (faktor pro GJ , EI_y , EI_z , EA , GA_y , GA_z)
KZ243	$ZS1 + ZS4 + 0.6 \cdot ZS9$	Způsob výpočtu : <input checked="" type="checkbox"/> Analýza podle II. řádu (P-Delta) Metoda pro řešení systému nelineárních algebraických rovnic : <input checked="" type="checkbox"/> Picard Možnosti : <input checked="" type="checkbox"/> Zohlednit příznivé tahové účinky : <input checked="" type="checkbox"/> Vztáhnout vnitřní síly na přetvořený systém pro: <input checked="" type="checkbox"/> Normálové síly N <input checked="" type="checkbox"/> Smykové síly V_y a V_z <input checked="" type="checkbox"/> Momenty M_y , M_z a M_T Aktivovat součinitele tuhosti: : <input checked="" type="checkbox"/> Průřezy (součinitel pro J , I_y , I_z , A , A_y , A_z) : <input checked="" type="checkbox"/> Pruty (faktor pro GJ , EI_y , EI_z , EA , GA_y , GA_z)
KZ244	$ZS1 + ZS4 + 0.6 \cdot ZS10$	Způsob výpočtu : <input checked="" type="checkbox"/> Analýza podle II. řádu (P-Delta) Metoda pro řešení systému nelineárních algebraických rovnic : <input checked="" type="checkbox"/> Picard



Projekt: Diplomová práce

Model: Diplomová Práce -KROV

Datum: 17.04.2021

Stropní nosník

Konstrukce Krovu

2.5.2 KOMBINACE ZATÍŽENÍ - PARAMETRY VÝPOČTU

Kombin. zatížení	Označení	Možnosti	Parametry výpočtu
KZ245	ZS1 + ZS4 + 0.6*ZS11	Možnosti	<input checked="" type="checkbox"/> Zohlednit příznivé tahové účinky <input checked="" type="checkbox"/> Vztáhnout vnitřní síly na přetvořený systém pro: <input checked="" type="checkbox"/> Normálové síly N <input checked="" type="checkbox"/> Smykové síly V_y a V_z <input checked="" type="checkbox"/> Momenty M_y , M_z a M_T
		Aktivovat součinitele tuhosti:	<input checked="" type="checkbox"/> Průřezy (součinitel pro J , I_y , I_z , A , A_y , A_z) <input checked="" type="checkbox"/> Pruty (faktor pro GJ , EI_y , EI_z , EA , GA_y , GA_z)
KZ246	ZS1 + ZS5 + 0.6*ZS8	Způsob výpočtu	<input checked="" type="checkbox"/> Analýza podle II. řádu (P-Delta)
		Metoda pro řešení systému nelineárních algebraických rovnic	<input checked="" type="checkbox"/> Picard
KZ247	ZS1 + ZS5 + 0.6*ZS9	Možnosti	<input checked="" type="checkbox"/> Zohlednit příznivé tahové účinky <input checked="" type="checkbox"/> Vztáhnout vnitřní síly na přetvořený systém pro: <input checked="" type="checkbox"/> Normálové síly N <input checked="" type="checkbox"/> Smykové síly V_y a V_z <input checked="" type="checkbox"/> Momenty M_y , M_z a M_T
		Aktivovat součinitele tuhosti:	<input checked="" type="checkbox"/> Průřezy (součinitel pro J , I_y , I_z , A , A_y , A_z) <input checked="" type="checkbox"/> Pruty (faktor pro GJ , EI_y , EI_z , EA , GA_y , GA_z)
KZ248	ZS1 + ZS5 + 0.6*ZS10	Způsob výpočtu	<input checked="" type="checkbox"/> Analýza podle II. řádu (P-Delta)
		Metoda pro řešení systému nelineárních algebraických rovnic	<input checked="" type="checkbox"/> Picard
KZ249	ZS1 + ZS5 + 0.6*ZS11	Možnosti	<input checked="" type="checkbox"/> Zohlednit příznivé tahové účinky <input checked="" type="checkbox"/> Vztáhnout vnitřní síly na přetvořený systém pro: <input checked="" type="checkbox"/> Normálové síly N <input checked="" type="checkbox"/> Smykové síly V_y a V_z <input checked="" type="checkbox"/> Momenty M_y , M_z a M_T
		Aktivovat součinitele tuhosti:	<input checked="" type="checkbox"/> Průřezy (součinitel pro J , I_y , I_z , A , A_y , A_z) <input checked="" type="checkbox"/> Pruty (faktor pro GJ , EI_y , EI_z , EA , GA_y , GA_z)
KZ250	ZS1 + ZS7 + 0.6*ZS8	Způsob výpočtu	<input checked="" type="checkbox"/> Analýza podle II. řádu (P-Delta)
		Metoda pro řešení systému nelineárních algebraických rovnic	<input checked="" type="checkbox"/> Picard
KZ251	ZS1 + ZS7 + 0.6*ZS9	Možnosti	<input checked="" type="checkbox"/> Zohlednit příznivé tahové účinky <input checked="" type="checkbox"/> Vztáhnout vnitřní síly na přetvořený systém pro: <input checked="" type="checkbox"/> Normálové síly N <input checked="" type="checkbox"/> Smykové síly V_y a V_z <input checked="" type="checkbox"/> Momenty M_y , M_z a M_T
		Aktivovat součinitele tuhosti:	<input checked="" type="checkbox"/> Průřezy (součinitel pro J , I_y , I_z , A , A_y , A_z) <input checked="" type="checkbox"/> Pruty (faktor pro GJ , EI_y , EI_z , EA , GA_y , GA_z)
KZ252	ZS1 + ZS7 + 0.6*ZS10	Způsob výpočtu	<input checked="" type="checkbox"/> Analýza podle II. řádu (P-Delta)
		Metoda pro řešení systému nelineárních algebraických rovnic	<input checked="" type="checkbox"/> Picard
		Možnosti	<input checked="" type="checkbox"/> Zohlednit příznivé tahové účinky <input checked="" type="checkbox"/> Vztáhnout vnitřní síly na přetvořený systém pro: <input checked="" type="checkbox"/> Normálové síly N <input checked="" type="checkbox"/> Smykové síly V_y a V_z <input checked="" type="checkbox"/> Momenty M_y , M_z a M_T
		Aktivovat součinitele tuhosti:	<input checked="" type="checkbox"/> Průřezy (součinitel pro J , I_y , I_z , A , A_y , A_z) <input checked="" type="checkbox"/> Pruty (faktor pro GJ , EI_y , EI_z , EA , GA_y , GA_z)



Projekt: Diplomová práce

Model: Diplomová Práce -KROV

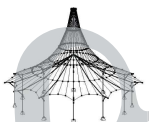
Datum: 17.04.2021

Stropní nosník

Konstrukce Krovu

2.5.2 KOMBINACE ZATÍŽENÍ - PARAMETRY VÝPOČTU

Kombin. zatížení	Označení	Parametry výpočtu
		<input checked="" type="checkbox"/> Normálové síly N <input checked="" type="checkbox"/> Smykové síly V_y a V_z <input checked="" type="checkbox"/> Momenty M_y , M_z a M_T Aktivovat součinitele tuhosti: <input checked="" type="checkbox"/> Průřezy (součinitel pro J, I_y, I_z, A, A_y, A_z) <input checked="" type="checkbox"/> Pruty (faktor pro $GJ, EI_y, EI_z, EA, GA_y, GA_z$) <input checked="" type="checkbox"/> Analýza podle II. řádu (P-Delta) <input checked="" type="checkbox"/> Picard
KZ253	ZS1 + ZS7 + 0.6*ZS11	Způsob výpočtu <input checked="" type="checkbox"/> Analýza podle II. řádu (P-Delta) Metoda pro řešení systému nelineárních algebraických rovnic <input checked="" type="checkbox"/> Picard Možnosti <input checked="" type="checkbox"/> Zohlednit příznivé tahové účinky <input checked="" type="checkbox"/> Vztáhnout vnitřní síly na přetvořený systém pro: <input checked="" type="checkbox"/> Normálové síly N <input checked="" type="checkbox"/> Smykové síly V_y a V_z <input checked="" type="checkbox"/> Momenty M_y , M_z a M_T Aktivovat součinitele tuhosti: <input checked="" type="checkbox"/> Průřezy (součinitel pro J, I_y, I_z, A, A_y, A_z) <input checked="" type="checkbox"/> Pruty (faktor pro $GJ, EI_y, EI_z, EA, GA_y, GA_z$)
KZ254	ZS1 + ZS4 + 0.6*ZS8 + 0.7*ZS12	Způsob výpočtu <input checked="" type="checkbox"/> Analýza podle II. řádu (P-Delta) Metoda pro řešení systému nelineárních algebraických rovnic <input checked="" type="checkbox"/> Picard Možnosti <input checked="" type="checkbox"/> Zohlednit příznivé tahové účinky <input checked="" type="checkbox"/> Vztáhnout vnitřní síly na přetvořený systém pro: <input checked="" type="checkbox"/> Normálové síly N <input checked="" type="checkbox"/> Smykové síly V_y a V_z <input checked="" type="checkbox"/> Momenty M_y , M_z a M_T Aktivovat součinitele tuhosti: <input checked="" type="checkbox"/> Průřezy (součinitel pro J, I_y, I_z, A, A_y, A_z) <input checked="" type="checkbox"/> Pruty (faktor pro $GJ, EI_y, EI_z, EA, GA_y, GA_z$)
KZ255	ZS1 + ZS4 + 0.6*ZS9 + 0.7*ZS12	Způsob výpočtu <input checked="" type="checkbox"/> Analýza podle II. řádu (P-Delta) Metoda pro řešení systému nelineárních algebraických rovnic <input checked="" type="checkbox"/> Picard Možnosti <input checked="" type="checkbox"/> Zohlednit příznivé tahové účinky <input checked="" type="checkbox"/> Vztáhnout vnitřní síly na přetvořený systém pro: <input checked="" type="checkbox"/> Normálové síly N <input checked="" type="checkbox"/> Smykové síly V_y a V_z <input checked="" type="checkbox"/> Momenty M_y , M_z a M_T Aktivovat součinitele tuhosti: <input checked="" type="checkbox"/> Průřezy (součinitel pro J, I_y, I_z, A, A_y, A_z) <input checked="" type="checkbox"/> Pruty (faktor pro $GJ, EI_y, EI_z, EA, GA_y, GA_z$)
KZ256	ZS1 + ZS4 + 0.6*ZS10 + 0.7*ZS12	Způsob výpočtu <input checked="" type="checkbox"/> Analýza podle II. řádu (P-Delta) Metoda pro řešení systému nelineárních algebraických rovnic <input checked="" type="checkbox"/> Picard Možnosti <input checked="" type="checkbox"/> Zohlednit příznivé tahové účinky <input checked="" type="checkbox"/> Vztáhnout vnitřní síly na přetvořený systém pro: <input checked="" type="checkbox"/> Normálové síly N <input checked="" type="checkbox"/> Smykové síly V_y a V_z <input checked="" type="checkbox"/> Momenty M_y , M_z a M_T Aktivovat součinitele tuhosti: <input checked="" type="checkbox"/> Průřezy (součinitel pro J, I_y, I_z, A, A_y, A_z) <input checked="" type="checkbox"/> Pruty (faktor pro $GJ, EI_y, EI_z, EA, GA_y, GA_z$)
KZ257	ZS1 + ZS4 + 0.6*ZS11 + 0.7*ZS12	Způsob výpočtu <input checked="" type="checkbox"/> Analýza podle II. řádu (P-Delta) Metoda pro řešení systému nelineárních algebraických rovnic <input checked="" type="checkbox"/> Picard Možnosti <input checked="" type="checkbox"/> Zohlednit příznivé tahové účinky <input checked="" type="checkbox"/> Vztáhnout vnitřní síly na přetvořený systém pro: <input checked="" type="checkbox"/> Normálové síly N <input checked="" type="checkbox"/> Smykové síly V_y a V_z <input checked="" type="checkbox"/> Momenty M_y , M_z a M_T Aktivovat součinitele tuhosti: <input checked="" type="checkbox"/> Průřezy (součinitel pro J, I_y, I_z, A, A_y, A_z) <input checked="" type="checkbox"/> Pruty (faktor pro $GJ, EI_y, EI_z, EA, GA_y, GA_z$)
KZ258	ZS1 + ZS5 + 0.6*ZS8 + 0.7*ZS12	Způsob výpočtu <input checked="" type="checkbox"/> Analýza podle II. řádu (P-Delta) Metoda pro řešení systému nelineárních algebraických rovnic <input checked="" type="checkbox"/> Picard Možnosti <input checked="" type="checkbox"/> Zohlednit příznivé tahové účinky <input checked="" type="checkbox"/> Vztáhnout vnitřní síly na přetvořený systém pro: <input checked="" type="checkbox"/> Normálové síly N <input checked="" type="checkbox"/> Smykové síly V_y a V_z <input checked="" type="checkbox"/> Momenty M_y , M_z a M_T Aktivovat součinitele tuhosti: <input checked="" type="checkbox"/> Průřezy (součinitel pro J, I_y, I_z, A, A_y, A_z) <input checked="" type="checkbox"/> Pruty (faktor pro $GJ, EI_y, EI_z, EA, GA_y, GA_z$)
KZ259	ZS1 + ZS5 + 0.6*ZS9 + 0.7*ZS12	Způsob výpočtu <input checked="" type="checkbox"/> Analýza podle II. řádu (P-Delta) Metoda pro řešení systému nelineárních algebraických rovnic <input checked="" type="checkbox"/> Picard Možnosti <input checked="" type="checkbox"/> Zohlednit příznivé tahové účinky <input checked="" type="checkbox"/> Vztáhnout vnitřní síly na přetvořený systém pro: <input checked="" type="checkbox"/> Normálové síly N <input checked="" type="checkbox"/> Smykové síly V_y a V_z <input checked="" type="checkbox"/> Momenty M_y , M_z a M_T Aktivovat součinitele tuhosti: <input checked="" type="checkbox"/> Průřezy (součinitel pro J, I_y, I_z, A, A_y, A_z) <input checked="" type="checkbox"/> Pruty (faktor pro $GJ, EI_y, EI_z, EA, GA_y, GA_z$)
KZ260	ZS1 + ZS5 + 0.6*ZS10 + 0.7*ZS12	Způsob výpočtu <input checked="" type="checkbox"/> Analýza podle II. řádu (P-Delta) Metoda pro řešení systému n <input checked="" type="checkbox"/> Picard



Projekt: Diplomová práce

Model: Diplomová Práce -KROV

Datum: 17.04.2021

Stropní nosník

Konstrukce Krovu

2.5.2 KOMBINACE ZATÍŽENÍ - PARAMETRY VÝPOČTU

Kombin. zatížení	Označení	Parametry výpočtu
		nelineárních algebraických rovnic Možnosti : <input checked="" type="checkbox"/> Zohlednit příznivé tahové účinky : <input checked="" type="checkbox"/> Vztáhnout vnitřní síly na přetvořený systém pro: <input checked="" type="checkbox"/> Normálové síly N <input checked="" type="checkbox"/> Smykové síly V_y a V_z <input checked="" type="checkbox"/> Momenty M_y , M_z a M_T Aktivovat součinitele tuhosti: : <input checked="" type="checkbox"/> Průřezy (součinitel pro J , I_y , I_z , A , A_y , A_z) : <input checked="" type="checkbox"/> Pruty (faktor pro GJ , EI_y , EI_z , EA , GA_y , GA_z)
KZ261	ZS1 + ZS5 + 0.6*ZS11 + 0.7*ZS12	Způsob výpočtu : <input checked="" type="radio"/> Analýza podle II. řádu (P-Delta) Metoda pro řešení systému nelineárních algebraických rovnic : <input checked="" type="radio"/> Picard Možnosti : <input checked="" type="checkbox"/> Zohlednit příznivé tahové účinky : <input checked="" type="checkbox"/> Vztáhnout vnitřní síly na přetvořený systém pro: <input checked="" type="checkbox"/> Normálové síly N <input checked="" type="checkbox"/> Smykové síly V_y a V_z <input checked="" type="checkbox"/> Momenty M_y , M_z a M_T Aktivovat součinitele tuhosti: : <input checked="" type="checkbox"/> Průřezy (součinitel pro J , I_y , I_z , A , A_y , A_z) : <input checked="" type="checkbox"/> Pruty (faktor pro GJ , EI_y , EI_z , EA , GA_y , GA_z)
KZ262	ZS1 + ZS7 + 0.6*ZS8 + 0.7*ZS12	Způsob výpočtu : <input checked="" type="radio"/> Analýza podle II. řádu (P-Delta) Metoda pro řešení systému nelineárních algebraických rovnic : <input checked="" type="radio"/> Picard Možnosti : <input checked="" type="checkbox"/> Zohlednit příznivé tahové účinky : <input checked="" type="checkbox"/> Vztáhnout vnitřní síly na přetvořený systém pro: <input checked="" type="checkbox"/> Normálové síly N <input checked="" type="checkbox"/> Smykové síly V_y a V_z <input checked="" type="checkbox"/> Momenty M_y , M_z a M_T Aktivovat součinitele tuhosti: : <input checked="" type="checkbox"/> Průřezy (součinitel pro J , I_y , I_z , A , A_y , A_z) : <input checked="" type="checkbox"/> Pruty (faktor pro GJ , EI_y , EI_z , EA , GA_y , GA_z)
KZ263	ZS1 + ZS7 + 0.6*ZS9 + 0.7*ZS12	Způsob výpočtu : <input checked="" type="radio"/> Analýza podle II. řádu (P-Delta) Metoda pro řešení systému nelineárních algebraických rovnic : <input checked="" type="radio"/> Picard Možnosti : <input checked="" type="checkbox"/> Zohlednit příznivé tahové účinky : <input checked="" type="checkbox"/> Vztáhnout vnitřní síly na přetvořený systém pro: <input checked="" type="checkbox"/> Normálové síly N <input checked="" type="checkbox"/> Smykové síly V_y a V_z <input checked="" type="checkbox"/> Momenty M_y , M_z a M_T Aktivovat součinitele tuhosti: : <input checked="" type="checkbox"/> Průřezy (součinitel pro J , I_y , I_z , A , A_y , A_z) : <input checked="" type="checkbox"/> Pruty (faktor pro GJ , EI_y , EI_z , EA , GA_y , GA_z)
KZ264	ZS1 + ZS7 + 0.6*ZS10 + 0.7*ZS12	Způsob výpočtu : <input checked="" type="radio"/> Analýza podle II. řádu (P-Delta) Metoda pro řešení systému nelineárních algebraických rovnic : <input checked="" type="radio"/> Picard Možnosti : <input checked="" type="checkbox"/> Zohlednit příznivé tahové účinky : <input checked="" type="checkbox"/> Vztáhnout vnitřní síly na přetvořený systém pro: <input checked="" type="checkbox"/> Normálové síly N <input checked="" type="checkbox"/> Smykové síly V_y a V_z <input checked="" type="checkbox"/> Momenty M_y , M_z a M_T Aktivovat součinitele tuhosti: : <input checked="" type="checkbox"/> Průřezy (součinitel pro J , I_y , I_z , A , A_y , A_z) : <input checked="" type="checkbox"/> Pruty (faktor pro GJ , EI_y , EI_z , EA , GA_y , GA_z)
KZ265	ZS1 + ZS7 + 0.6*ZS11 + 0.7*ZS12	Způsob výpočtu : <input checked="" type="radio"/> Analýza podle II. řádu (P-Delta) Metoda pro řešení systému nelineárních algebraických rovnic : <input checked="" type="radio"/> Picard Možnosti : <input checked="" type="checkbox"/> Zohlednit příznivé tahové účinky : <input checked="" type="checkbox"/> Vztáhnout vnitřní síly na přetvořený systém pro: <input checked="" type="checkbox"/> Normálové síly N <input checked="" type="checkbox"/> Smykové síly V_y a V_z <input checked="" type="checkbox"/> Momenty M_y , M_z a M_T Aktivovat součinitele tuhosti: : <input checked="" type="checkbox"/> Průřezy (součinitel pro J , I_y , I_z , A , A_y , A_z) : <input checked="" type="checkbox"/> Pruty (faktor pro GJ , EI_y , EI_z , EA , GA_y , GA_z)
KZ266	ZS1 + ZS4 + 0.7*ZS12	Způsob výpočtu : <input checked="" type="radio"/> Analýza podle II. řádu (P-Delta) Metoda pro řešení systému nelineárních algebraických rovnic : <input checked="" type="radio"/> Picard Možnosti : <input checked="" type="checkbox"/> Zohlednit příznivé tahové účinky : <input checked="" type="checkbox"/> Vztáhnout vnitřní síly na přetvořený systém pro: <input checked="" type="checkbox"/> Normálové síly N <input checked="" type="checkbox"/> Smykové síly V_y a V_z <input checked="" type="checkbox"/> Momenty M_y , M_z a M_T Aktivovat součinitele tuhosti: : <input checked="" type="checkbox"/> Průřezy (součinitel pro J , I_y , I_z , A , A_y , A_z) : <input checked="" type="checkbox"/> Pruty (faktor pro GJ , EI_y , EI_z , EA , GA_y , GA_z)
KZ267	ZS1 + ZS5 + 0.7*ZS12	Způsob výpočtu : <input checked="" type="radio"/> Analýza podle II. řádu (P-Delta) Metoda pro řešení systému nelineárních algebraických rovnic : <input checked="" type="radio"/> Picard Možnosti : <input checked="" type="checkbox"/> Zohlednit příznivé tahové účinky : <input checked="" type="checkbox"/> Vztáhnout vnitřní síly na přetvořený systém pro: <input checked="" type="checkbox"/> Normálové síly N <input checked="" type="checkbox"/> Smykové síly V_y a V_z <input checked="" type="checkbox"/> Momenty M_y , M_z a M_T Aktivovat součinitele tuhosti: : <input checked="" type="checkbox"/> Průřezy (součinitel pro J , I_y , I_z , A , A_y , A_z) : <input checked="" type="checkbox"/> Pruty (faktor pro GJ , EI_y , EI_z , EA , GA_y , GA_z)



Projekt: Diplomová práce

Model: Diplomová Práce -KROV

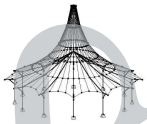
Datum: 17.04.2021

Stropní nosník

Konstrukce Krovu

2.5.2 KOMBINACE ZATÍŽENÍ - PARAMETRY VÝPOČTU

Kombin. zatížení	Označení	Parametry výpočtu
KZ268	ZS1 + ZS7 + 0.7*ZS12	Způsob výpočtu : <input type="radio"/> Analýza podle II. řádu (P-Delta) Metoda pro řešení systému : <input type="radio"/> Picard nelineárních algebraických rovnic Možnosti : <input checked="" type="checkbox"/> Zohlednit příznivé tahové účinky : <input checked="" type="checkbox"/> Vztáhnout vnitřní síly na přetvořený systém pro: : <input checked="" type="checkbox"/> Normálové síly N : <input checked="" type="checkbox"/> Smykové síly V_y a V_z : <input checked="" type="checkbox"/> Momenty M_y , M_z a M_T Aktivovat součinitele tuhosti: : <input checked="" type="checkbox"/> Průřezy (součinitel pro J , I_y , I_z , A , A_y , A_z) : <input checked="" type="checkbox"/> Pruty (faktor pro GJ , EI_y , EI_z , EA , GA_y , GA_z)
KZ269	ZS1 + ZS8	Způsob výpočtu : <input type="radio"/> Analýza podle II. řádu (P-Delta) Metoda pro řešení systému : <input type="radio"/> Picard nelineárních algebraických rovnic Možnosti : <input checked="" type="checkbox"/> Zohlednit příznivé tahové účinky : <input checked="" type="checkbox"/> Vztáhnout vnitřní síly na přetvořený systém pro: : <input checked="" type="checkbox"/> Normálové síly N : <input checked="" type="checkbox"/> Smykové síly V_y a V_z : <input checked="" type="checkbox"/> Momenty M_y , M_z a M_T Aktivovat součinitele tuhosti: : <input checked="" type="checkbox"/> Průřezy (součinitel pro J , I_y , I_z , A , A_y , A_z) : <input checked="" type="checkbox"/> Pruty (faktor pro GJ , EI_y , EI_z , EA , GA_y , GA_z)
KZ270	ZS1 + ZS9	Způsob výpočtu : <input type="radio"/> Analýza podle II. řádu (P-Delta) Metoda pro řešení systému : <input type="radio"/> Picard nelineárních algebraických rovnic Možnosti : <input checked="" type="checkbox"/> Zohlednit příznivé tahové účinky : <input checked="" type="checkbox"/> Vztáhnout vnitřní síly na přetvořený systém pro: : <input checked="" type="checkbox"/> Normálové síly N : <input checked="" type="checkbox"/> Smykové síly V_y a V_z : <input checked="" type="checkbox"/> Momenty M_y , M_z a M_T Aktivovat součinitele tuhosti: : <input checked="" type="checkbox"/> Průřezy (součinitel pro J , I_y , I_z , A , A_y , A_z) : <input checked="" type="checkbox"/> Pruty (faktor pro GJ , EI_y , EI_z , EA , GA_y , GA_z)
KZ271	ZS1 + ZS10	Způsob výpočtu : <input type="radio"/> Analýza podle II. řádu (P-Delta) Metoda pro řešení systému : <input type="radio"/> Picard nelineárních algebraických rovnic Možnosti : <input checked="" type="checkbox"/> Zohlednit příznivé tahové účinky : <input checked="" type="checkbox"/> Vztáhnout vnitřní síly na přetvořený systém pro: : <input checked="" type="checkbox"/> Normálové síly N : <input checked="" type="checkbox"/> Smykové síly V_y a V_z : <input checked="" type="checkbox"/> Momenty M_y , M_z a M_T Aktivovat součinitele tuhosti: : <input checked="" type="checkbox"/> Průřezy (součinitel pro J , I_y , I_z , A , A_y , A_z) : <input checked="" type="checkbox"/> Pruty (faktor pro GJ , EI_y , EI_z , EA , GA_y , GA_z)
KZ272	ZS1 + ZS11	Způsob výpočtu : <input type="radio"/> Analýza podle II. řádu (P-Delta) Metoda pro řešení systému : <input type="radio"/> Picard nelineárních algebraických rovnic Možnosti : <input checked="" type="checkbox"/> Zohlednit příznivé tahové účinky : <input checked="" type="checkbox"/> Vztáhnout vnitřní síly na přetvořený systém pro: : <input checked="" type="checkbox"/> Normálové síly N : <input checked="" type="checkbox"/> Smykové síly V_y a V_z : <input checked="" type="checkbox"/> Momenty M_y , M_z a M_T Aktivovat součinitele tuhosti: : <input checked="" type="checkbox"/> Průřezy (součinitel pro J , I_y , I_z , A , A_y , A_z) : <input checked="" type="checkbox"/> Pruty (faktor pro GJ , EI_y , EI_z , EA , GA_y , GA_z)
KZ273	ZS1 + ZS2 + ZS8	Způsob výpočtu : <input type="radio"/> Analýza podle II. řádu (P-Delta) Metoda pro řešení systému : <input type="radio"/> Picard nelineárních algebraických rovnic Možnosti : <input checked="" type="checkbox"/> Zohlednit příznivé tahové účinky : <input checked="" type="checkbox"/> Vztáhnout vnitřní síly na přetvořený systém pro: : <input checked="" type="checkbox"/> Normálové síly N : <input checked="" type="checkbox"/> Smykové síly V_y a V_z : <input checked="" type="checkbox"/> Momenty M_y , M_z a M_T Aktivovat součinitele tuhosti: : <input checked="" type="checkbox"/> Průřezy (součinitel pro J , I_y , I_z , A , A_y , A_z) : <input checked="" type="checkbox"/> Pruty (faktor pro GJ , EI_y , EI_z , EA , GA_y , GA_z)
KZ274	ZS1 + ZS2 + ZS9	Způsob výpočtu : <input type="radio"/> Analýza podle II. řádu (P-Delta) Metoda pro řešení systému : <input type="radio"/> Picard nelineárních algebraických rovnic Možnosti : <input checked="" type="checkbox"/> Zohlednit příznivé tahové účinky : <input checked="" type="checkbox"/> Vztáhnout vnitřní síly na přetvořený systém pro: : <input checked="" type="checkbox"/> Normálové síly N : <input checked="" type="checkbox"/> Smykové síly V_y a V_z : <input checked="" type="checkbox"/> Momenty M_y , M_z a M_T Aktivovat součinitele tuhosti: : <input checked="" type="checkbox"/> Průřezy (součinitel pro J , I_y , I_z , A , A_y , A_z) : <input checked="" type="checkbox"/> Pruty (faktor pro GJ , EI_y , EI_z , EA , GA_y , GA_z)
KZ275	ZS1 + ZS2 + ZS10	Způsob výpočtu : <input type="radio"/> Analýza podle II. řádu (P-Delta) Metoda pro řešení systému : <input type="radio"/> Picard nelineárních algebraických rovnic Možnosti : <input checked="" type="checkbox"/> Zohlednit příznivé tahové účinky : <input checked="" type="checkbox"/> Vztáhnout vnitřní síly na přetvořený systém pro: : <input checked="" type="checkbox"/> Normálové síly N : <input checked="" type="checkbox"/> Smykové síly V_y a V_z : <input checked="" type="checkbox"/> Momenty M_y , M_z a M_T Aktivovat součinitele tuhosti: : <input checked="" type="checkbox"/> Průřezy (součinitel pro J , I_y , I_z , A , A_y , A_z) : <input checked="" type="checkbox"/> Pruty (faktor pro GJ , EI_y , EI_z , EA , GA_y , GA_z)
KZ276	ZS1 + ZS2 + ZS11	Způsob výpočtu : <input type="radio"/> Analýza podle II. řádu (P-Delta) Metoda pro řešení systému : <input type="radio"/> Picard nelineárních algebraických rovnic



Projekt: Diplomová práce

Model: Diplomová Práce -KROV

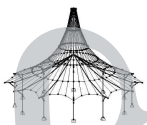
Datum: 17.04.2021

Stropní nosník

Konstrukce Krovu

2.5.2 KOMBINACE ZATÍŽENÍ - PARAMETRY VÝPOČTU

Kombin. zatížení	Označení	Možnosti	Parametry výpočtu
		Možnosti	<input checked="" type="checkbox"/> Zohlednit příznivé tahové účinky <input checked="" type="checkbox"/> Vztáhnout vnitřní síly na přetvořený systém pro: <input checked="" type="checkbox"/> Normálové síly N <input checked="" type="checkbox"/> Smykové síly V_y a V_z <input checked="" type="checkbox"/> Momenty M_y , M_z a M_T
		Aktivovat součinitele tuhosti:	<input checked="" type="checkbox"/> Průřezy (součinitel pro J , I_y , I_z , A , A_y , A_z) <input checked="" type="checkbox"/> Pruty (faktor pro GJ , EI_y , EI_z , EA , GA_y , GA_z)
KZ277	ZS1 + ZS2 + 0.5*ZS4 + ZS8	Způsob výpočtu	<input checked="" type="checkbox"/> Analýza podle II. řádu (P-Delta)
		Metoda pro řešení systému nelineárních algebraických rovnic	<input checked="" type="checkbox"/> Picard
		Možnosti	<input checked="" type="checkbox"/> Zohlednit příznivé tahové účinky <input checked="" type="checkbox"/> Vztáhnout vnitřní síly na přetvořený systém pro: <input checked="" type="checkbox"/> Normálové síly N <input checked="" type="checkbox"/> Smykové síly V_y a V_z <input checked="" type="checkbox"/> Momenty M_y , M_z a M_T
		Aktivovat součinitele tuhosti:	<input checked="" type="checkbox"/> Průřezy (součinitel pro J , I_y , I_z , A , A_y , A_z) <input checked="" type="checkbox"/> Pruty (faktor pro GJ , EI_y , EI_z , EA , GA_y , GA_z)
KZ278	ZS1 + ZS2 + 0.5*ZS4 + ZS9	Způsob výpočtu	<input checked="" type="checkbox"/> Analýza podle II. řádu (P-Delta)
		Metoda pro řešení systému nelineárních algebraických rovnic	<input checked="" type="checkbox"/> Picard
		Možnosti	<input checked="" type="checkbox"/> Zohlednit příznivé tahové účinky <input checked="" type="checkbox"/> Vztáhnout vnitřní síly na přetvořený systém pro: <input checked="" type="checkbox"/> Normálové síly N <input checked="" type="checkbox"/> Smykové síly V_y a V_z <input checked="" type="checkbox"/> Momenty M_y , M_z a M_T
		Aktivovat součinitele tuhosti:	<input checked="" type="checkbox"/> Průřezy (součinitel pro J , I_y , I_z , A , A_y , A_z) <input checked="" type="checkbox"/> Pruty (faktor pro GJ , EI_y , EI_z , EA , GA_y , GA_z)
KZ279	ZS1 + ZS2 + 0.5*ZS4 + ZS10	Způsob výpočtu	<input checked="" type="checkbox"/> Analýza podle II. řádu (P-Delta)
		Metoda pro řešení systému nelineárních algebraických rovnic	<input checked="" type="checkbox"/> Picard
		Možnosti	<input checked="" type="checkbox"/> Zohlednit příznivé tahové účinky <input checked="" type="checkbox"/> Vztáhnout vnitřní síly na přetvořený systém pro: <input checked="" type="checkbox"/> Normálové síly N <input checked="" type="checkbox"/> Smykové síly V_y a V_z <input checked="" type="checkbox"/> Momenty M_y , M_z a M_T
		Aktivovat součinitele tuhosti:	<input checked="" type="checkbox"/> Průřezy (součinitel pro J , I_y , I_z , A , A_y , A_z) <input checked="" type="checkbox"/> Pruty (faktor pro GJ , EI_y , EI_z , EA , GA_y , GA_z)
KZ280	ZS1 + ZS2 + 0.5*ZS4 + ZS11	Způsob výpočtu	<input checked="" type="checkbox"/> Analýza podle II. řádu (P-Delta)
		Metoda pro řešení systému nelineárních algebraických rovnic	<input checked="" type="checkbox"/> Picard
		Možnosti	<input checked="" type="checkbox"/> Zohlednit příznivé tahové účinky <input checked="" type="checkbox"/> Vztáhnout vnitřní síly na přetvořený systém pro: <input checked="" type="checkbox"/> Normálové síly N <input checked="" type="checkbox"/> Smykové síly V_y a V_z <input checked="" type="checkbox"/> Momenty M_y , M_z a M_T
		Aktivovat součinitele tuhosti:	<input checked="" type="checkbox"/> Průřezy (součinitel pro J , I_y , I_z , A , A_y , A_z) <input checked="" type="checkbox"/> Pruty (faktor pro GJ , EI_y , EI_z , EA , GA_y , GA_z)
KZ281	ZS1 + ZS2 + 0.5*ZS5 + ZS8	Způsob výpočtu	<input checked="" type="checkbox"/> Analýza podle II. řádu (P-Delta)
		Metoda pro řešení systému nelineárních algebraických rovnic	<input checked="" type="checkbox"/> Picard
		Možnosti	<input checked="" type="checkbox"/> Zohlednit příznivé tahové účinky <input checked="" type="checkbox"/> Vztáhnout vnitřní síly na přetvořený systém pro: <input checked="" type="checkbox"/> Normálové síly N <input checked="" type="checkbox"/> Smykové síly V_y a V_z <input checked="" type="checkbox"/> Momenty M_y , M_z a M_T
		Aktivovat součinitele tuhosti:	<input checked="" type="checkbox"/> Průřezy (součinitel pro J , I_y , I_z , A , A_y , A_z) <input checked="" type="checkbox"/> Pruty (faktor pro GJ , EI_y , EI_z , EA , GA_y , GA_z)
KZ282	ZS1 + ZS2 + 0.5*ZS5 + ZS9	Způsob výpočtu	<input checked="" type="checkbox"/> Analýza podle II. řádu (P-Delta)
		Metoda pro řešení systému nelineárních algebraických rovnic	<input checked="" type="checkbox"/> Picard
		Možnosti	<input checked="" type="checkbox"/> Zohlednit příznivé tahové účinky <input checked="" type="checkbox"/> Vztáhnout vnitřní síly na přetvořený systém pro: <input checked="" type="checkbox"/> Normálové síly N <input checked="" type="checkbox"/> Smykové síly V_y a V_z <input checked="" type="checkbox"/> Momenty M_y , M_z a M_T
		Aktivovat součinitele tuhosti:	<input checked="" type="checkbox"/> Průřezy (součinitel pro J , I_y , I_z , A , A_y , A_z) <input checked="" type="checkbox"/> Pruty (faktor pro GJ , EI_y , EI_z , EA , GA_y , GA_z)
KZ283	ZS1 + ZS2 + 0.5*ZS5 + ZS10	Způsob výpočtu	<input checked="" type="checkbox"/> Analýza podle II. řádu (P-Delta)
		Metoda pro řešení systému nelineárních algebraických rovnic	<input checked="" type="checkbox"/> Picard
		Možnosti	<input checked="" type="checkbox"/> Zohlednit příznivé tahové účinky <input checked="" type="checkbox"/> Vztáhnout vnitřní síly na přetvořený systém pro: <input checked="" type="checkbox"/> Normálové síly N <input checked="" type="checkbox"/> Smykové síly V_y a V_z <input checked="" type="checkbox"/> Momenty M_y , M_z a M_T
		Aktivovat součinitele tuhosti:	<input checked="" type="checkbox"/> Průřezy (součinitel pro J , I_y , I_z , A , A_y , A_z) <input checked="" type="checkbox"/> Pruty (faktor pro GJ , EI_y , EI_z , EA , GA_y , GA_z)
KZ284	ZS1 + ZS2 + 0.5*ZS5 + ZS11	Způsob výpočtu	<input checked="" type="checkbox"/> Analýza podle II. řádu (P-Delta)
		Metoda pro řešení systému nelineárních algebraických rovnic	<input checked="" type="checkbox"/> Picard
		Možnosti	<input checked="" type="checkbox"/> Zohlednit příznivé tahové účinky <input checked="" type="checkbox"/> Vztáhnout vnitřní síly na přetvořený systém pro: <input checked="" type="checkbox"/> Normálové síly N <input checked="" type="checkbox"/> Smykové síly V_y a V_z <input checked="" type="checkbox"/> Momenty M_y , M_z a M_T



Projekt: Diplomová práce

Model: Diplomová Práce -KROV

Datum: 17.04.2021

Stropní nosník

Konstrukce Krovu

2.5.2 KOMBINACE ZATÍŽENÍ - PARAMETRY VÝPOČTU

Kombin. zatížení	Označení	Parametry výpočtu
		<input checked="" type="checkbox"/> Normálové síly N <input checked="" type="checkbox"/> Smykové síly V_y a V_z <input checked="" type="checkbox"/> Momenty M_y , M_z a M_T Aktivovat součinitele tuhosti: <input checked="" type="checkbox"/> Průřezy (součinitel pro J, I_y, I_z, A, A_y, A_z) <input checked="" type="checkbox"/> Pruty (faktor pro $GJ, EI_y, EI_z, EA, GA_y, GA_z$)
KZ285	ZS1 + ZS2 + 0.5*ZS7 + ZS8	Způsob výpočtu <input checked="" type="checkbox"/> Analýza podle II. řádu (P-Delta) Metoda pro řešení systému nelineárních algebraických rovnic <input checked="" type="checkbox"/> Picard Možnosti <input checked="" type="checkbox"/> Zohlednit příznivé tahové účinky <input checked="" type="checkbox"/> Vztáhnout vnitřní síly na přetvořený systém pro: <input checked="" type="checkbox"/> Normálové síly N <input checked="" type="checkbox"/> Smykové síly V_y a V_z <input checked="" type="checkbox"/> Momenty M_y , M_z a M_T Aktivovat součinitele tuhosti: <input checked="" type="checkbox"/> Průřezy (součinitel pro J, I_y, I_z, A, A_y, A_z) <input checked="" type="checkbox"/> Pruty (faktor pro $GJ, EI_y, EI_z, EA, GA_y, GA_z$)
KZ286	ZS1 + ZS2 + 0.5*ZS7 + ZS9	Způsob výpočtu <input checked="" type="checkbox"/> Analýza podle II. řádu (P-Delta) Metoda pro řešení systému nelineárních algebraických rovnic <input checked="" type="checkbox"/> Picard Možnosti <input checked="" type="checkbox"/> Zohlednit příznivé tahové účinky <input checked="" type="checkbox"/> Vztáhnout vnitřní síly na přetvořený systém pro: <input checked="" type="checkbox"/> Normálové síly N <input checked="" type="checkbox"/> Smykové síly V_y a V_z <input checked="" type="checkbox"/> Momenty M_y , M_z a M_T Aktivovat součinitele tuhosti: <input checked="" type="checkbox"/> Průřezy (součinitel pro J, I_y, I_z, A, A_y, A_z) <input checked="" type="checkbox"/> Pruty (faktor pro $GJ, EI_y, EI_z, EA, GA_y, GA_z$)
KZ287	ZS1 + ZS2 + 0.5*ZS7 + ZS10	Způsob výpočtu <input checked="" type="checkbox"/> Analýza podle II. řádu (P-Delta) Metoda pro řešení systému nelineárních algebraických rovnic <input checked="" type="checkbox"/> Picard Možnosti <input checked="" type="checkbox"/> Zohlednit příznivé tahové účinky <input checked="" type="checkbox"/> Vztáhnout vnitřní síly na přetvořený systém pro: <input checked="" type="checkbox"/> Normálové síly N <input checked="" type="checkbox"/> Smykové síly V_y a V_z <input checked="" type="checkbox"/> Momenty M_y , M_z a M_T Aktivovat součinitele tuhosti: <input checked="" type="checkbox"/> Průřezy (součinitel pro J, I_y, I_z, A, A_y, A_z) <input checked="" type="checkbox"/> Pruty (faktor pro $GJ, EI_y, EI_z, EA, GA_y, GA_z$)
KZ288	ZS1 + ZS2 + 0.5*ZS7 + ZS11	Způsob výpočtu <input checked="" type="checkbox"/> Analýza podle II. řádu (P-Delta) Metoda pro řešení systému nelineárních algebraických rovnic <input checked="" type="checkbox"/> Picard Možnosti <input checked="" type="checkbox"/> Zohlednit příznivé tahové účinky <input checked="" type="checkbox"/> Vztáhnout vnitřní síly na přetvořený systém pro: <input checked="" type="checkbox"/> Normálové síly N <input checked="" type="checkbox"/> Smykové síly V_y a V_z <input checked="" type="checkbox"/> Momenty M_y , M_z a M_T Aktivovat součinitele tuhosti: <input checked="" type="checkbox"/> Průřezy (součinitel pro J, I_y, I_z, A, A_y, A_z) <input checked="" type="checkbox"/> Pruty (faktor pro $GJ, EI_y, EI_z, EA, GA_y, GA_z$)
KZ289	ZS1 + ZS2 + 0.5*ZS4 + ZS8 + 0.7*ZS12	Způsob výpočtu <input checked="" type="checkbox"/> Analýza podle II. řádu (P-Delta) Metoda pro řešení systému nelineárních algebraických rovnic <input checked="" type="checkbox"/> Picard Možnosti <input checked="" type="checkbox"/> Zohlednit příznivé tahové účinky <input checked="" type="checkbox"/> Vztáhnout vnitřní síly na přetvořený systém pro: <input checked="" type="checkbox"/> Normálové síly N <input checked="" type="checkbox"/> Smykové síly V_y a V_z <input checked="" type="checkbox"/> Momenty M_y , M_z a M_T Aktivovat součinitele tuhosti: <input checked="" type="checkbox"/> Průřezy (součinitel pro J, I_y, I_z, A, A_y, A_z) <input checked="" type="checkbox"/> Pruty (faktor pro $GJ, EI_y, EI_z, EA, GA_y, GA_z$)
KZ290	ZS1 + ZS2 + 0.5*ZS4 + ZS9 + 0.7*ZS12	Způsob výpočtu <input checked="" type="checkbox"/> Analýza podle II. řádu (P-Delta) Metoda pro řešení systému nelineárních algebraických rovnic <input checked="" type="checkbox"/> Picard Možnosti <input checked="" type="checkbox"/> Zohlednit příznivé tahové účinky <input checked="" type="checkbox"/> Vztáhnout vnitřní síly na přetvořený systém pro: <input checked="" type="checkbox"/> Normálové síly N <input checked="" type="checkbox"/> Smykové síly V_y a V_z <input checked="" type="checkbox"/> Momenty M_y , M_z a M_T Aktivovat součinitele tuhosti: <input checked="" type="checkbox"/> Průřezy (součinitel pro J, I_y, I_z, A, A_y, A_z) <input checked="" type="checkbox"/> Pruty (faktor pro $GJ, EI_y, EI_z, EA, GA_y, GA_z$)
KZ291	ZS1 + ZS2 + 0.5*ZS4 + ZS10 + 0.7*ZS12	Způsob výpočtu <input checked="" type="checkbox"/> Analýza podle II. řádu (P-Delta) Metoda pro řešení systému nelineárních algebraických rovnic <input checked="" type="checkbox"/> Picard Možnosti <input checked="" type="checkbox"/> Zohlednit příznivé tahové účinky <input checked="" type="checkbox"/> Vztáhnout vnitřní síly na přetvořený systém pro: <input checked="" type="checkbox"/> Normálové síly N <input checked="" type="checkbox"/> Smykové síly V_y a V_z <input checked="" type="checkbox"/> Momenty M_y , M_z a M_T Aktivovat součinitele tuhosti: <input checked="" type="checkbox"/> Průřezy (součinitel pro J, I_y, I_z, A, A_y, A_z) <input checked="" type="checkbox"/> Pruty (faktor pro $GJ, EI_y, EI_z, EA, GA_y, GA_z$)
KZ292	ZS1 + ZS2 + 0.5*ZS4 + ZS11 + 0.7*ZS12	Způsob výpočtu <input checked="" type="checkbox"/> Analýza podle II. řádu (P-Delta) Metoda pro řešení systému nelineárních algebraických rovnic <input checked="" type="checkbox"/> Picard Možnosti <input checked="" type="checkbox"/> Zohlednit příznivé tahové účinky <input checked="" type="checkbox"/> Vztáhnout vnitřní síly na přetvořený s



Projekt: Diplomová práce

Model: Diplomová Práce -KROV

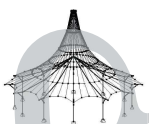
Datum: 17.04.2021

Stropní nosník

Konstrukce Krovu

2.5.2 KOMBINACE ZATÍŽENÍ - PARAMETRY VÝPOČTU

Kombin. zatížení	Označení	Parametry výpočtu
		systém pro: <input checked="" type="checkbox"/> Normálové síly N <input checked="" type="checkbox"/> Smykové síly V_y a V_z <input checked="" type="checkbox"/> Momenty M_y , M_z a M_T Aktivovat součinitele tuhosti: <input checked="" type="checkbox"/> Průřezy (součinitel pro J , I_y , I_z , A , A_y , A_z) <input checked="" type="checkbox"/> Pruty (faktor pro GJ , EI_y , EI_z , EA , GA_y , GA_z)
KZ293	$ZS1 + ZS2 + 0.5 \cdot ZS5 + ZS8 + 0.7 \cdot ZS12$	Způsob výpočtu <input checked="" type="radio"/> Analýza podle II. řádu (P-Delta) Metoda pro řešení systému nelineárních algebraických rovnic <input checked="" type="radio"/> Picard Možnosti <input checked="" type="checkbox"/> Zohlednit příznivé tahové účinky <input checked="" type="checkbox"/> Vztáhnout vnitřní síly na přetožený systém pro: <input checked="" type="checkbox"/> Normálové síly N <input checked="" type="checkbox"/> Smykové síly V_y a V_z <input checked="" type="checkbox"/> Momenty M_y , M_z a M_T Aktivovat součinitele tuhosti: <input checked="" type="checkbox"/> Průřezy (součinitel pro J , I_y , I_z , A , A_y , A_z) <input checked="" type="checkbox"/> Pruty (faktor pro GJ , EI_y , EI_z , EA , GA_y , GA_z)
KZ294	$ZS1 + ZS2 + 0.5 \cdot ZS5 + ZS9 + 0.7 \cdot ZS12$	Způsob výpočtu <input checked="" type="radio"/> Analýza podle II. řádu (P-Delta) Metoda pro řešení systému nelineárních algebraických rovnic <input checked="" type="radio"/> Picard Možnosti <input checked="" type="checkbox"/> Zohlednit příznivé tahové účinky <input checked="" type="checkbox"/> Vztáhnout vnitřní síly na přetožený systém pro: <input checked="" type="checkbox"/> Normálové síly N <input checked="" type="checkbox"/> Smykové síly V_y a V_z <input checked="" type="checkbox"/> Momenty M_y , M_z a M_T Aktivovat součinitele tuhosti: <input checked="" type="checkbox"/> Průřezy (součinitel pro J , I_y , I_z , A , A_y , A_z) <input checked="" type="checkbox"/> Pruty (faktor pro GJ , EI_y , EI_z , EA , GA_y , GA_z)
KZ295	$ZS1 + ZS2 + 0.5 \cdot ZS5 + ZS10 + 0.7 \cdot ZS12$	Způsob výpočtu <input checked="" type="radio"/> Analýza podle II. řádu (P-Delta) Metoda pro řešení systému nelineárních algebraických rovnic <input checked="" type="radio"/> Picard Možnosti <input checked="" type="checkbox"/> Zohlednit příznivé tahové účinky <input checked="" type="checkbox"/> Vztáhnout vnitřní síly na přetožený systém pro: <input checked="" type="checkbox"/> Normálové síly N <input checked="" type="checkbox"/> Smykové síly V_y a V_z <input checked="" type="checkbox"/> Momenty M_y , M_z a M_T Aktivovat součinitele tuhosti: <input checked="" type="checkbox"/> Průřezy (součinitel pro J , I_y , I_z , A , A_y , A_z) <input checked="" type="checkbox"/> Pruty (faktor pro GJ , EI_y , EI_z , EA , GA_y , GA_z)
KZ296	$ZS1 + ZS2 + 0.5 \cdot ZS5 + ZS11 + 0.7 \cdot ZS12$	Způsob výpočtu <input checked="" type="radio"/> Analýza podle II. řádu (P-Delta) Metoda pro řešení systému nelineárních algebraických rovnic <input checked="" type="radio"/> Picard Možnosti <input checked="" type="checkbox"/> Zohlednit příznivé tahové účinky <input checked="" type="checkbox"/> Vztáhnout vnitřní síly na přetožený systém pro: <input checked="" type="checkbox"/> Normálové síly N <input checked="" type="checkbox"/> Smykové síly V_y a V_z <input checked="" type="checkbox"/> Momenty M_y , M_z a M_T Aktivovat součinitele tuhosti: <input checked="" type="checkbox"/> Průřezy (součinitel pro J , I_y , I_z , A , A_y , A_z) <input checked="" type="checkbox"/> Pruty (faktor pro GJ , EI_y , EI_z , EA , GA_y , GA_z)
KZ297	$ZS1 + ZS2 + 0.5 \cdot ZS7 + ZS8 + 0.7 \cdot ZS12$	Způsob výpočtu <input checked="" type="radio"/> Analýza podle II. řádu (P-Delta) Metoda pro řešení systému nelineárních algebraických rovnic <input checked="" type="radio"/> Picard Možnosti <input checked="" type="checkbox"/> Zohlednit příznivé tahové účinky <input checked="" type="checkbox"/> Vztáhnout vnitřní síly na přetožený systém pro: <input checked="" type="checkbox"/> Normálové síly N <input checked="" type="checkbox"/> Smykové síly V_y a V_z <input checked="" type="checkbox"/> Momenty M_y , M_z a M_T Aktivovat součinitele tuhosti: <input checked="" type="checkbox"/> Průřezy (součinitel pro J , I_y , I_z , A , A_y , A_z) <input checked="" type="checkbox"/> Pruty (faktor pro GJ , EI_y , EI_z , EA , GA_y , GA_z)
KZ298	$ZS1 + ZS2 + 0.5 \cdot ZS7 + ZS9 + 0.7 \cdot ZS12$	Způsob výpočtu <input checked="" type="radio"/> Analýza podle II. řádu (P-Delta) Metoda pro řešení systému nelineárních algebraických rovnic <input checked="" type="radio"/> Picard Možnosti <input checked="" type="checkbox"/> Zohlednit příznivé tahové účinky <input checked="" type="checkbox"/> Vztáhnout vnitřní síly na přetožený systém pro: <input checked="" type="checkbox"/> Normálové síly N <input checked="" type="checkbox"/> Smykové síly V_y a V_z <input checked="" type="checkbox"/> Momenty M_y , M_z a M_T Aktivovat součinitele tuhosti: <input checked="" type="checkbox"/> Průřezy (součinitel pro J , I_y , I_z , A , A_y , A_z) <input checked="" type="checkbox"/> Pruty (faktor pro GJ , EI_y , EI_z , EA , GA_y , GA_z)
KZ299	$ZS1 + ZS2 + 0.5 \cdot ZS7 + ZS10 + 0.7 \cdot ZS12$	Způsob výpočtu <input checked="" type="radio"/> Analýza podle II. řádu (P-Delta) Metoda pro řešení systému nelineárních algebraických rovnic <input checked="" type="radio"/> Picard Možnosti <input checked="" type="checkbox"/> Zohlednit příznivé tahové účinky <input checked="" type="checkbox"/> Vztáhnout vnitřní síly na přetožený systém pro: <input checked="" type="checkbox"/> Normálové síly N <input checked="" type="checkbox"/> Smykové síly V_y a V_z <input checked="" type="checkbox"/> Momenty M_y , M_z a M_T Aktivovat součinitele tuhosti: <input checked="" type="checkbox"/> Průřezy (součinitel pro J , I_y , I_z , A , A_y , A_z) <input checked="" type="checkbox"/> Pruty (faktor pro GJ , EI_y , EI_z , EA , GA_y , GA_z)
KZ300	$ZS1 + ZS2 + 0.5 \cdot ZS7 + ZS11 +$	Způsob výpočtu <input checked="" type="radio"/> Analýza podle II. řádu (P-Delta)



Projekt: Diplomová práce

Model: Diplomová Práce -KROV

Datum: 17.04.2021

Stropní nosník

Konstrukce Krovu

2.5.2 KOMBINACE ZATÍŽENÍ - PARAMETRY VÝPOČTU

Kombin. zatížení	Označení	Parametry výpočtu
	+ 0.7*ZS12	<p>Metoda pro řešení systému nelineárních algebraických rovnic Možnosti</p> <ul style="list-style-type: none"> <input type="radio"/> Picard <input checked="" type="checkbox"/> Zohlednit příznivé tahové účinky <input checked="" type="checkbox"/> Vztáhnout vnitřní síly na přetvořený systém pro: <ul style="list-style-type: none"> <input checked="" type="checkbox"/> Normálové síly N <input checked="" type="checkbox"/> Smykové síly V_y a V_z <input checked="" type="checkbox"/> Momenty M_y, M_z a M_T <p>Aktivovat součinitele tuhosti:</p> <ul style="list-style-type: none"> <input checked="" type="checkbox"/> Průřezy (součinitel pro J, I_y, I_z, A, A_y, A_z) <input checked="" type="checkbox"/> Pruty (faktor pro $GJ, EI_y, EI_z, EA, GA_y, GA_z$)
KZ301	ZS1 + ZS2 + ZS8 + 0.7*ZS12	<p>Způsob výpočtu Metoda pro řešení systému nelineárních algebraických rovnic Možnosti</p> <ul style="list-style-type: none"> <input type="radio"/> Analýza podle II. řádu (P-Delta) <input type="radio"/> Picard <input checked="" type="checkbox"/> Zohlednit příznivé tahové účinky <input checked="" type="checkbox"/> Vztáhnout vnitřní síly na přetvořený systém pro: <ul style="list-style-type: none"> <input checked="" type="checkbox"/> Normálové síly N <input checked="" type="checkbox"/> Smykové síly V_y a V_z <input checked="" type="checkbox"/> Momenty M_y, M_z a M_T <p>Aktivovat součinitele tuhosti:</p> <ul style="list-style-type: none"> <input checked="" type="checkbox"/> Průřezy (součinitel pro J, I_y, I_z, A, A_y, A_z) <input checked="" type="checkbox"/> Pruty (faktor pro $GJ, EI_y, EI_z, EA, GA_y, GA_z$)
KZ302	ZS1 + ZS2 + ZS9 + 0.7*ZS12	<p>Způsob výpočtu Metoda pro řešení systému nelineárních algebraických rovnic Možnosti</p> <ul style="list-style-type: none"> <input type="radio"/> Analýza podle II. řádu (P-Delta) <input type="radio"/> Picard <input checked="" type="checkbox"/> Zohlednit příznivé tahové účinky <input checked="" type="checkbox"/> Vztáhnout vnitřní síly na přetvořený systém pro: <ul style="list-style-type: none"> <input checked="" type="checkbox"/> Normálové síly N <input checked="" type="checkbox"/> Smykové síly V_y a V_z <input checked="" type="checkbox"/> Momenty M_y, M_z a M_T <p>Aktivovat součinitele tuhosti:</p> <ul style="list-style-type: none"> <input checked="" type="checkbox"/> Průřezy (součinitel pro J, I_y, I_z, A, A_y, A_z) <input checked="" type="checkbox"/> Pruty (faktor pro $GJ, EI_y, EI_z, EA, GA_y, GA_z$)
KZ303	ZS1 + ZS2 + ZS10 + 0.7*ZS12	<p>Způsob výpočtu Metoda pro řešení systému nelineárních algebraických rovnic Možnosti</p> <ul style="list-style-type: none"> <input type="radio"/> Analýza podle II. řádu (P-Delta) <input type="radio"/> Picard <input checked="" type="checkbox"/> Zohlednit příznivé tahové účinky <input checked="" type="checkbox"/> Vztáhnout vnitřní síly na přetvořený systém pro: <ul style="list-style-type: none"> <input checked="" type="checkbox"/> Normálové síly N <input checked="" type="checkbox"/> Smykové síly V_y a V_z <input checked="" type="checkbox"/> Momenty M_y, M_z a M_T <p>Aktivovat součinitele tuhosti:</p> <ul style="list-style-type: none"> <input checked="" type="checkbox"/> Průřezy (součinitel pro J, I_y, I_z, A, A_y, A_z) <input checked="" type="checkbox"/> Pruty (faktor pro $GJ, EI_y, EI_z, EA, GA_y, GA_z$)
KZ304	ZS1 + ZS2 + ZS11 + 0.7*ZS12	<p>Způsob výpočtu Metoda pro řešení systému nelineárních algebraických rovnic Možnosti</p> <ul style="list-style-type: none"> <input type="radio"/> Analýza podle II. řádu (P-Delta) <input type="radio"/> Picard <input checked="" type="checkbox"/> Zohlednit příznivé tahové účinky <input checked="" type="checkbox"/> Vztáhnout vnitřní síly na přetvořený systém pro: <ul style="list-style-type: none"> <input checked="" type="checkbox"/> Normálové síly N <input checked="" type="checkbox"/> Smykové síly V_y a V_z <input checked="" type="checkbox"/> Momenty M_y, M_z a M_T <p>Aktivovat součinitele tuhosti:</p> <ul style="list-style-type: none"> <input checked="" type="checkbox"/> Průřezy (součinitel pro J, I_y, I_z, A, A_y, A_z) <input checked="" type="checkbox"/> Pruty (faktor pro $GJ, EI_y, EI_z, EA, GA_y, GA_z$)
KZ305	ZS1 + 0.5*ZS4 + ZS8	<p>Způsob výpočtu Metoda pro řešení systému nelineárních algebraických rovnic Možnosti</p> <ul style="list-style-type: none"> <input type="radio"/> Analýza podle II. řádu (P-Delta) <input type="radio"/> Picard <input checked="" type="checkbox"/> Zohlednit příznivé tahové účinky <input checked="" type="checkbox"/> Vztáhnout vnitřní síly na přetvořený systém pro: <ul style="list-style-type: none"> <input checked="" type="checkbox"/> Normálové síly N <input checked="" type="checkbox"/> Smykové síly V_y a V_z <input checked="" type="checkbox"/> Momenty M_y, M_z a M_T <p>Aktivovat součinitele tuhosti:</p> <ul style="list-style-type: none"> <input checked="" type="checkbox"/> Průřezy (součinitel pro J, I_y, I_z, A, A_y, A_z) <input checked="" type="checkbox"/> Pruty (faktor pro $GJ, EI_y, EI_z, EA, GA_y, GA_z$)
KZ306	ZS1 + 0.5*ZS4 + ZS9	<p>Způsob výpočtu Metoda pro řešení systému nelineárních algebraických rovnic Možnosti</p> <ul style="list-style-type: none"> <input type="radio"/> Analýza podle II. řádu (P-Delta) <input type="radio"/> Picard <input checked="" type="checkbox"/> Zohlednit příznivé tahové účinky <input checked="" type="checkbox"/> Vztáhnout vnitřní síly na přetvořený systém pro: <ul style="list-style-type: none"> <input checked="" type="checkbox"/> Normálové síly N <input checked="" type="checkbox"/> Smykové síly V_y a V_z <input checked="" type="checkbox"/> Momenty M_y, M_z a M_T <p>Aktivovat součinitele tuhosti:</p> <ul style="list-style-type: none"> <input checked="" type="checkbox"/> Průřezy (součinitel pro J, I_y, I_z, A, A_y, A_z) <input checked="" type="checkbox"/> Pruty (faktor pro $GJ, EI_y, EI_z, EA, GA_y, GA_z$)
KZ307	ZS1 + 0.5*ZS4 + ZS10	<p>Způsob výpočtu Metoda pro řešení systému nelineárních algebraických rovnic Možnosti</p> <ul style="list-style-type: none"> <input type="radio"/> Analýza podle II. řádu (P-Delta) <input type="radio"/> Picard <input checked="" type="checkbox"/> Zohlednit příznivé tahové účinky <input checked="" type="checkbox"/> Vztáhnout vnitřní síly na přetvořený systém pro: <ul style="list-style-type: none"> <input checked="" type="checkbox"/> Normálové síly N <input checked="" type="checkbox"/> Smykové síly V_y a V_z <input checked="" type="checkbox"/> Momenty M_y, M_z a M_T <p>Aktivovat součinitele tuhosti:</p> <ul style="list-style-type: none"> <input checked="" type="checkbox"/> Průřezy (součinitel pro J, I_y, I_z, A, A_y, A_z) <input checked="" type="checkbox"/> Pruty (faktor pro $GJ, EI_y, EI_z, EA, GA_y, GA_z$)
KZ308	ZS1 + 0.5*ZS4 + ZS11	<p>Způsob výpočtu Metoda pro řešení systému nelineárních algebraických rovnic</p> <ul style="list-style-type: none"> <input type="radio"/> Analýza podle II. řádu (P-Delta) <input type="radio"/> Picard



Projekt: Diplomová práce

Model: Diplomová Práce -KROV

Datum: 17.04.2021

Stropní nosník

Konstrukce Krovu

2.5.2 KOMBINACE ZATÍŽENÍ - PARAMETRY VÝPOČTU

Kombin. zatížení	Označení	Parametry výpočtu
		<p>Možnosti</p> <ul style="list-style-type: none"> <input checked="" type="checkbox"/> Zohlednit příznivé tahové účinky <input checked="" type="checkbox"/> Vztáhnout vnitřní síly na přetvořený systém pro: <ul style="list-style-type: none"> <input checked="" type="checkbox"/> Normálové síly N <input checked="" type="checkbox"/> Smykové síly V_y a V_z <input checked="" type="checkbox"/> Momenty M_y, M_z a M_T <p>Aktivovat součinitele tuhosti:</p> <ul style="list-style-type: none"> <input checked="" type="checkbox"/> Průřezy (součinitel pro J, I_y, I_z, A, A_y, A_z) <input checked="" type="checkbox"/> Pruty (faktor pro GJ, EI_y, EI_z, EA, GA_y, GA_z)
KZ309	ZS1 + 0.5*ZS5 + ZS8	<p>Způsob výpočtu</p> <ul style="list-style-type: none"> <input checked="" type="checkbox"/> Analýza podle II. řádu (P-Delta) <p>Metoda pro řešení systému nelineárních algebraických rovnic</p> <ul style="list-style-type: none"> <input checked="" type="checkbox"/> Picard <p>Možnosti</p> <ul style="list-style-type: none"> <input checked="" type="checkbox"/> Zohlednit příznivé tahové účinky <input checked="" type="checkbox"/> Vztáhnout vnitřní síly na přetvořený systém pro: <ul style="list-style-type: none"> <input checked="" type="checkbox"/> Normálové síly N <input checked="" type="checkbox"/> Smykové síly V_y a V_z <input checked="" type="checkbox"/> Momenty M_y, M_z a M_T <p>Aktivovat součinitele tuhosti:</p> <ul style="list-style-type: none"> <input checked="" type="checkbox"/> Průřezy (součinitel pro J, I_y, I_z, A, A_y, A_z) <input checked="" type="checkbox"/> Pruty (faktor pro GJ, EI_y, EI_z, EA, GA_y, GA_z)
KZ310	ZS1 + 0.5*ZS5 + ZS9	<p>Způsob výpočtu</p> <ul style="list-style-type: none"> <input checked="" type="checkbox"/> Analýza podle II. řádu (P-Delta) <p>Metoda pro řešení systému nelineárních algebraických rovnic</p> <ul style="list-style-type: none"> <input checked="" type="checkbox"/> Picard <p>Možnosti</p> <ul style="list-style-type: none"> <input checked="" type="checkbox"/> Zohlednit příznivé tahové účinky <input checked="" type="checkbox"/> Vztáhnout vnitřní síly na přetvořený systém pro: <ul style="list-style-type: none"> <input checked="" type="checkbox"/> Normálové síly N <input checked="" type="checkbox"/> Smykové síly V_y a V_z <input checked="" type="checkbox"/> Momenty M_y, M_z a M_T <p>Aktivovat součinitele tuhosti:</p> <ul style="list-style-type: none"> <input checked="" type="checkbox"/> Průřezy (součinitel pro J, I_y, I_z, A, A_y, A_z) <input checked="" type="checkbox"/> Pruty (faktor pro GJ, EI_y, EI_z, EA, GA_y, GA_z)
KZ311	ZS1 + 0.5*ZS5 + ZS10	<p>Způsob výpočtu</p> <ul style="list-style-type: none"> <input checked="" type="checkbox"/> Analýza podle II. řádu (P-Delta) <p>Metoda pro řešení systému nelineárních algebraických rovnic</p> <ul style="list-style-type: none"> <input checked="" type="checkbox"/> Picard <p>Možnosti</p> <ul style="list-style-type: none"> <input checked="" type="checkbox"/> Zohlednit příznivé tahové účinky <input checked="" type="checkbox"/> Vztáhnout vnitřní síly na přetvořený systém pro: <ul style="list-style-type: none"> <input checked="" type="checkbox"/> Normálové síly N <input checked="" type="checkbox"/> Smykové síly V_y a V_z <input checked="" type="checkbox"/> Momenty M_y, M_z a M_T <p>Aktivovat součinitele tuhosti:</p> <ul style="list-style-type: none"> <input checked="" type="checkbox"/> Průřezy (součinitel pro J, I_y, I_z, A, A_y, A_z) <input checked="" type="checkbox"/> Pruty (faktor pro GJ, EI_y, EI_z, EA, GA_y, GA_z)
KZ312	ZS1 + 0.5*ZS5 + ZS11	<p>Způsob výpočtu</p> <ul style="list-style-type: none"> <input checked="" type="checkbox"/> Analýza podle II. řádu (P-Delta) <p>Metoda pro řešení systému nelineárních algebraických rovnic</p> <ul style="list-style-type: none"> <input checked="" type="checkbox"/> Picard <p>Možnosti</p> <ul style="list-style-type: none"> <input checked="" type="checkbox"/> Zohlednit příznivé tahové účinky <input checked="" type="checkbox"/> Vztáhnout vnitřní síly na přetvořený systém pro: <ul style="list-style-type: none"> <input checked="" type="checkbox"/> Normálové síly N <input checked="" type="checkbox"/> Smykové síly V_y a V_z <input checked="" type="checkbox"/> Momenty M_y, M_z a M_T <p>Aktivovat součinitele tuhosti:</p> <ul style="list-style-type: none"> <input checked="" type="checkbox"/> Průřezy (součinitel pro J, I_y, I_z, A, A_y, A_z) <input checked="" type="checkbox"/> Pruty (faktor pro GJ, EI_y, EI_z, EA, GA_y, GA_z)
KZ313	ZS1 + 0.5*ZS7 + ZS8	<p>Způsob výpočtu</p> <ul style="list-style-type: none"> <input checked="" type="checkbox"/> Analýza podle II. řádu (P-Delta) <p>Metoda pro řešení systému nelineárních algebraických rovnic</p> <ul style="list-style-type: none"> <input checked="" type="checkbox"/> Picard <p>Možnosti</p> <ul style="list-style-type: none"> <input checked="" type="checkbox"/> Zohlednit příznivé tahové účinky <input checked="" type="checkbox"/> Vztáhnout vnitřní síly na přetvořený systém pro: <ul style="list-style-type: none"> <input checked="" type="checkbox"/> Normálové síly N <input checked="" type="checkbox"/> Smykové síly V_y a V_z <input checked="" type="checkbox"/> Momenty M_y, M_z a M_T <p>Aktivovat součinitele tuhosti:</p> <ul style="list-style-type: none"> <input checked="" type="checkbox"/> Průřezy (součinitel pro J, I_y, I_z, A, A_y, A_z) <input checked="" type="checkbox"/> Pruty (faktor pro GJ, EI_y, EI_z, EA, GA_y, GA_z)
KZ314	ZS1 + 0.5*ZS7 + ZS9	<p>Způsob výpočtu</p> <ul style="list-style-type: none"> <input checked="" type="checkbox"/> Analýza podle II. řádu (P-Delta) <p>Metoda pro řešení systému nelineárních algebraických rovnic</p> <ul style="list-style-type: none"> <input checked="" type="checkbox"/> Picard <p>Možnosti</p> <ul style="list-style-type: none"> <input checked="" type="checkbox"/> Zohlednit příznivé tahové účinky <input checked="" type="checkbox"/> Vztáhnout vnitřní síly na přetvořený systém pro: <ul style="list-style-type: none"> <input checked="" type="checkbox"/> Normálové síly N <input checked="" type="checkbox"/> Smykové síly V_y a V_z <input checked="" type="checkbox"/> Momenty M_y, M_z a M_T <p>Aktivovat součinitele tuhosti:</p> <ul style="list-style-type: none"> <input checked="" type="checkbox"/> Průřezy (součinitel pro J, I_y, I_z, A, A_y, A_z) <input checked="" type="checkbox"/> Pruty (faktor pro GJ, EI_y, EI_z, EA, GA_y, GA_z)
KZ315	ZS1 + 0.5*ZS7 + ZS10	<p>Způsob výpočtu</p> <ul style="list-style-type: none"> <input checked="" type="checkbox"/> Analýza podle II. řádu (P-Delta) <p>Metoda pro řešení systému nelineárních algebraických rovnic</p> <ul style="list-style-type: none"> <input checked="" type="checkbox"/> Picard <p>Možnosti</p> <ul style="list-style-type: none"> <input checked="" type="checkbox"/> Zohlednit příznivé tahové účinky <input checked="" type="checkbox"/> Vztáhnout vnitřní síly na přetvořený systém pro: <ul style="list-style-type: none"> <input checked="" type="checkbox"/> Normálové síly N <input checked="" type="checkbox"/> Smykové síly V_y a V_z <input checked="" type="checkbox"/> Momenty M_y, M_z a M_T <p>Aktivovat součinitele tuhosti:</p> <ul style="list-style-type: none"> <input checked="" type="checkbox"/> Průřezy (součinitel pro J, I_y, I_z, A, A_y, A_z) <input checked="" type="checkbox"/> Pruty (faktor pro GJ, EI_y, EI_z, EA, GA_y, GA_z)
KZ316	ZS1 + 0.5*ZS7 + ZS11	<p>Způsob výpočtu</p> <ul style="list-style-type: none"> <input checked="" type="checkbox"/> Analýza podle II. řádu (P-Delta) <p>Metoda pro řešení systému nelineárních algebraických rovnic</p> <ul style="list-style-type: none"> <input checked="" type="checkbox"/> Picard <p>Možnosti</p> <ul style="list-style-type: none"> <input checked="" type="checkbox"/> Zohlednit příznivé tahové účinky <input checked="" type="checkbox"/> Vztáhnout vnitřní síly na přetvořený systém pro: <ul style="list-style-type: none"> <input checked="" type="checkbox"/> Normálové síly N <input checked="" type="checkbox"/> Smykové síly V_y a V_z <input checked="" type="checkbox"/> Momenty M_y, M_z a M_T <p>Aktivovat součinitele tuhosti:</p> <ul style="list-style-type: none"> <input checked="" type="checkbox"/> Průřezy (součinitel pro J, I_y, I_z, A, A_y, A_z) <input checked="" type="checkbox"/> Pruty (faktor pro GJ, EI_y, EI_z, EA, GA_y, GA_z)



Projekt: Diplomová práce

Model: Diplomová Práce -KROV

Datum: 17.04.2021

Stropní nosník

Konstrukce Krovu

2.5.2 KOMBINACE ZATÍŽENÍ - PARAMETRY VÝPOČTU

Kombin. zatížení	Označení	Parametry výpočtu
		<input checked="" type="checkbox"/> Normálové síly N <input checked="" type="checkbox"/> Smykové síly V_y a V_z <input checked="" type="checkbox"/> Momenty M_y , M_z a M_T Aktivovat součinitele tuhosti: <ul style="list-style-type: none"> <input checked="" type="checkbox"/> Průřezy (součinitel pro J, I_y, I_z, A, A_y, A_z) <input checked="" type="checkbox"/> Pruty (faktor pro $GJ, EI_y, EI_z, EA, GA_y, GA_z$)
KZ317	ZS1 + 0.5*ZS4 + ZS8 + 0.7*ZS12	Způsob výpočtu: <input checked="" type="radio"/> Analýza podle II. řádu (P-Delta) Metoda pro řešení systému nelineárních algebraických rovnic Možnosti: <input checked="" type="radio"/> Picard <input checked="" type="checkbox"/> Zohlednit příznivé tahové účinky <input checked="" type="checkbox"/> Vztáhnout vnitřní síly na přetvořený systém pro: <ul style="list-style-type: none"> <input checked="" type="checkbox"/> Normálové síly N <input checked="" type="checkbox"/> Smykové síly V_y a V_z <input checked="" type="checkbox"/> Momenty M_y, M_z a M_T Aktivovat součinitele tuhosti: <ul style="list-style-type: none"> <input checked="" type="checkbox"/> Průřezy (součinitel pro J, I_y, I_z, A, A_y, A_z) <input checked="" type="checkbox"/> Pruty (faktor pro $GJ, EI_y, EI_z, EA, GA_y, GA_z$)
KZ318	ZS1 + 0.5*ZS4 + ZS9 + 0.7*ZS12	Způsob výpočtu: <input checked="" type="radio"/> Analýza podle II. řádu (P-Delta) Metoda pro řešení systému nelineárních algebraických rovnic Možnosti: <input checked="" type="radio"/> Picard <input checked="" type="checkbox"/> Zohlednit příznivé tahové účinky <input checked="" type="checkbox"/> Vztáhnout vnitřní síly na přetvořený systém pro: <ul style="list-style-type: none"> <input checked="" type="checkbox"/> Normálové síly N <input checked="" type="checkbox"/> Smykové síly V_y a V_z <input checked="" type="checkbox"/> Momenty M_y, M_z a M_T Aktivovat součinitele tuhosti: <ul style="list-style-type: none"> <input checked="" type="checkbox"/> Průřezy (součinitel pro J, I_y, I_z, A, A_y, A_z) <input checked="" type="checkbox"/> Pruty (faktor pro $GJ, EI_y, EI_z, EA, GA_y, GA_z$)
KZ319	ZS1 + 0.5*ZS4 + ZS10 + 0.7*ZS12	Způsob výpočtu: <input checked="" type="radio"/> Analýza podle II. řádu (P-Delta) Metoda pro řešení systému nelineárních algebraických rovnic Možnosti: <input checked="" type="radio"/> Picard <input checked="" type="checkbox"/> Zohlednit příznivé tahové účinky <input checked="" type="checkbox"/> Vztáhnout vnitřní síly na přetvořený systém pro: <ul style="list-style-type: none"> <input checked="" type="checkbox"/> Normálové síly N <input checked="" type="checkbox"/> Smykové síly V_y a V_z <input checked="" type="checkbox"/> Momenty M_y, M_z a M_T Aktivovat součinitele tuhosti: <ul style="list-style-type: none"> <input checked="" type="checkbox"/> Průřezy (součinitel pro J, I_y, I_z, A, A_y, A_z) <input checked="" type="checkbox"/> Pruty (faktor pro $GJ, EI_y, EI_z, EA, GA_y, GA_z$)
KZ320	ZS1 + 0.5*ZS4 + ZS11 + 0.7*ZS12	Způsob výpočtu: <input checked="" type="radio"/> Analýza podle II. řádu (P-Delta) Metoda pro řešení systému nelineárních algebraických rovnic Možnosti: <input checked="" type="radio"/> Picard <input checked="" type="checkbox"/> Zohlednit příznivé tahové účinky <input checked="" type="checkbox"/> Vztáhnout vnitřní síly na přetvořený systém pro: <ul style="list-style-type: none"> <input checked="" type="checkbox"/> Normálové síly N <input checked="" type="checkbox"/> Smykové síly V_y a V_z <input checked="" type="checkbox"/> Momenty M_y, M_z a M_T Aktivovat součinitele tuhosti: <ul style="list-style-type: none"> <input checked="" type="checkbox"/> Průřezy (součinitel pro J, I_y, I_z, A, A_y, A_z) <input checked="" type="checkbox"/> Pruty (faktor pro $GJ, EI_y, EI_z, EA, GA_y, GA_z$)
KZ321	ZS1 + 0.5*ZS5 + ZS8 + 0.7*ZS12	Způsob výpočtu: <input checked="" type="radio"/> Analýza podle II. řádu (P-Delta) Metoda pro řešení systému nelineárních algebraických rovnic Možnosti: <input checked="" type="radio"/> Picard <input checked="" type="checkbox"/> Zohlednit příznivé tahové účinky <input checked="" type="checkbox"/> Vztáhnout vnitřní síly na přetvořený systém pro: <ul style="list-style-type: none"> <input checked="" type="checkbox"/> Normálové síly N <input checked="" type="checkbox"/> Smykové síly V_y a V_z <input checked="" type="checkbox"/> Momenty M_y, M_z a M_T Aktivovat součinitele tuhosti: <ul style="list-style-type: none"> <input checked="" type="checkbox"/> Průřezy (součinitel pro J, I_y, I_z, A, A_y, A_z) <input checked="" type="checkbox"/> Pruty (faktor pro $GJ, EI_y, EI_z, EA, GA_y, GA_z$)
KZ322	ZS1 + 0.5*ZS5 + ZS9 + 0.7*ZS12	Způsob výpočtu: <input checked="" type="radio"/> Analýza podle II. řádu (P-Delta) Metoda pro řešení systému nelineárních algebraických rovnic Možnosti: <input checked="" type="radio"/> Picard <input checked="" type="checkbox"/> Zohlednit příznivé tahové účinky <input checked="" type="checkbox"/> Vztáhnout vnitřní síly na přetvořený systém pro: <ul style="list-style-type: none"> <input checked="" type="checkbox"/> Normálové síly N <input checked="" type="checkbox"/> Smykové síly V_y a V_z <input checked="" type="checkbox"/> Momenty M_y, M_z a M_T Aktivovat součinitele tuhosti: <ul style="list-style-type: none"> <input checked="" type="checkbox"/> Průřezy (součinitel pro J, I_y, I_z, A, A_y, A_z) <input checked="" type="checkbox"/> Pruty (faktor pro $GJ, EI_y, EI_z, EA, GA_y, GA_z$)
KZ323	ZS1 + 0.5*ZS5 + ZS10 + 0.7*ZS12	Způsob výpočtu: <input checked="" type="radio"/> Analýza podle II. řádu (P-Delta) Metoda pro řešení systému nelineárních algebraických rovnic Možnosti: <input checked="" type="radio"/> Picard <input checked="" type="checkbox"/> Zohlednit příznivé tahové účinky <input checked="" type="checkbox"/> Vztáhnout vnitřní síly na přetvořený systém pro: <ul style="list-style-type: none"> <input checked="" type="checkbox"/> Normálové síly N <input checked="" type="checkbox"/> Smykové síly V_y a V_z <input checked="" type="checkbox"/> Momenty M_y, M_z a M_T Aktivovat součinitele tuhosti: <ul style="list-style-type: none"> <input checked="" type="checkbox"/> Průřezy (součinitel pro J, I_y, I_z, A, A_y, A_z) <input checked="" type="checkbox"/> Pruty (faktor pro $GJ, EI_y, EI_z, EA, GA_y, GA_z$)
KZ324	ZS1 + 0.5*ZS5 + ZS11 + 0.7*ZS12	Způsob výpočtu: <input checked="" type="radio"/> Analýza podle II. řádu (P-Delta) Metoda pro řešení systému nelineárních algebraických rovnic Možnosti: <input checked="" type="radio"/> Picard <input checked="" type="checkbox"/> Zohlednit příznivé tahové účinky <input checked="" type="checkbox"/> Vztáhnout vnitřní síly na přetvořený systém pro: <ul style="list-style-type: none"> <input checked="" type="checkbox"/> Normálové síly N <input checked="" type="checkbox"/> Smykové síly V_y a V_z <input checked="" type="checkbox"/> Momenty M_y, M_z a M_T Aktivovat součinitele tuhosti: <ul style="list-style-type: none"> <input checked="" type="checkbox"/> Průřezy (součinitel pro J, I_y, I_z, A, A_y, A_z) <input checked="" type="checkbox"/> Pruty (faktor pro $GJ, EI_y, EI_z, EA, GA_y, GA_z$)



Projekt: Diplomová práce

Model: Diplomová Práce -KROV

Datum: 17.04.2021

Stropní nosník

Konstrukce Krovu

2.5.2 KOMBINACE ZATÍŽENÍ - PARAMETRY VÝPOČTU

Kombin. zatížení	Označení	Parametry výpočtu
		Metoda pro řešení systému nelineárních algebraických rovnic Možnosti : <input type="radio"/> Picard : <input checked="" type="checkbox"/> Zohlednit příznivé tahové účinky : <input checked="" type="checkbox"/> Vztáhnout vnitřní síly na přetvořený systém pro: : <input checked="" type="checkbox"/> Normálové síly N : <input checked="" type="checkbox"/> Smykové síly V_y a V_z : <input checked="" type="checkbox"/> Momenty M_y , M_z a M_T Aktivovat součinitele tuhosti: : <input checked="" type="checkbox"/> Průřezy (součinitel pro J , I_y , I_z , A , A_y , A_z) : <input checked="" type="checkbox"/> Pruty (faktor pro GJ , EI_y , EI_z , EA , GA_y , GA_z)
KZ325	ZS1 + 0.5*ZS7 + ZS8 + 0.7*ZS12	Způsob výpočtu : <input type="radio"/> Picard Metoda pro řešení systému nelineárních algebraických rovnic Možnosti : <input checked="" type="checkbox"/> Zohlednit příznivé tahové účinky : <input checked="" type="checkbox"/> Vztáhnout vnitřní síly na přetvořený systém pro: : <input checked="" type="checkbox"/> Normálové síly N : <input checked="" type="checkbox"/> Smykové síly V_y a V_z : <input checked="" type="checkbox"/> Momenty M_y , M_z a M_T Aktivovat součinitele tuhosti: : <input checked="" type="checkbox"/> Průřezy (součinitel pro J , I_y , I_z , A , A_y , A_z) : <input checked="" type="checkbox"/> Pruty (faktor pro GJ , EI_y , EI_z , EA , GA_y , GA_z)
KZ326	ZS1 + 0.5*ZS7 + ZS9 + 0.7*ZS12	Způsob výpočtu : <input type="radio"/> Picard Metoda pro řešení systému nelineárních algebraických rovnic Možnosti : <input checked="" type="checkbox"/> Zohlednit příznivé tahové účinky : <input checked="" type="checkbox"/> Vztáhnout vnitřní síly na přetvořený systém pro: : <input checked="" type="checkbox"/> Normálové síly N : <input checked="" type="checkbox"/> Smykové síly V_y a V_z : <input checked="" type="checkbox"/> Momenty M_y , M_z a M_T Aktivovat součinitele tuhosti: : <input checked="" type="checkbox"/> Průřezy (součinitel pro J , I_y , I_z , A , A_y , A_z) : <input checked="" type="checkbox"/> Pruty (faktor pro GJ , EI_y , EI_z , EA , GA_y , GA_z)
KZ327	ZS1 + 0.5*ZS7 + ZS10 + 0.7*ZS12	Způsob výpočtu : <input type="radio"/> Picard Metoda pro řešení systému nelineárních algebraických rovnic Možnosti : <input checked="" type="checkbox"/> Zohlednit příznivé tahové účinky : <input checked="" type="checkbox"/> Vztáhnout vnitřní síly na přetvořený systém pro: : <input checked="" type="checkbox"/> Normálové síly N : <input checked="" type="checkbox"/> Smykové síly V_y a V_z : <input checked="" type="checkbox"/> Momenty M_y , M_z a M_T Aktivovat součinitele tuhosti: : <input checked="" type="checkbox"/> Průřezy (součinitel pro J , I_y , I_z , A , A_y , A_z) : <input checked="" type="checkbox"/> Pruty (faktor pro GJ , EI_y , EI_z , EA , GA_y , GA_z)
KZ328	ZS1 + 0.5*ZS7 + ZS11 + 0.7*ZS12	Způsob výpočtu : <input type="radio"/> Picard Metoda pro řešení systému nelineárních algebraických rovnic Možnosti : <input checked="" type="checkbox"/> Zohlednit příznivé tahové účinky : <input checked="" type="checkbox"/> Vztáhnout vnitřní síly na přetvořený systém pro: : <input checked="" type="checkbox"/> Normálové síly N : <input checked="" type="checkbox"/> Smykové síly V_y a V_z : <input checked="" type="checkbox"/> Momenty M_y , M_z a M_T Aktivovat součinitele tuhosti: : <input checked="" type="checkbox"/> Průřezy (součinitel pro J , I_y , I_z , A , A_y , A_z) : <input checked="" type="checkbox"/> Pruty (faktor pro GJ , EI_y , EI_z , EA , GA_y , GA_z)
KZ329	ZS1 + ZS8 + 0.7*ZS12	Způsob výpočtu : <input type="radio"/> Picard Metoda pro řešení systému nelineárních algebraických rovnic Možnosti : <input checked="" type="checkbox"/> Zohlednit příznivé tahové účinky : <input checked="" type="checkbox"/> Vztáhnout vnitřní síly na přetvořený systém pro: : <input checked="" type="checkbox"/> Normálové síly N : <input checked="" type="checkbox"/> Smykové síly V_y a V_z : <input checked="" type="checkbox"/> Momenty M_y , M_z a M_T Aktivovat součinitele tuhosti: : <input checked="" type="checkbox"/> Průřezy (součinitel pro J , I_y , I_z , A , A_y , A_z) : <input checked="" type="checkbox"/> Pruty (faktor pro GJ , EI_y , EI_z , EA , GA_y , GA_z)
KZ330	ZS1 + ZS9 + 0.7*ZS12	Způsob výpočtu : <input type="radio"/> Picard Metoda pro řešení systému nelineárních algebraických rovnic Možnosti : <input checked="" type="checkbox"/> Zohlednit příznivé tahové účinky : <input checked="" type="checkbox"/> Vztáhnout vnitřní síly na přetvořený systém pro: : <input checked="" type="checkbox"/> Normálové síly N : <input checked="" type="checkbox"/> Smykové síly V_y a V_z : <input checked="" type="checkbox"/> Momenty M_y , M_z a M_T Aktivovat součinitele tuhosti: : <input checked="" type="checkbox"/> Průřezy (součinitel pro J , I_y , I_z , A , A_y , A_z) : <input checked="" type="checkbox"/> Pruty (faktor pro GJ , EI_y , EI_z , EA , GA_y , GA_z)
KZ331	ZS1 + ZS10 + 0.7*ZS12	Způsob výpočtu : <input type="radio"/> Picard Metoda pro řešení systému nelineárních algebraických rovnic Možnosti : <input checked="" type="checkbox"/> Zohlednit příznivé tahové účinky : <input checked="" type="checkbox"/> Vztáhnout vnitřní síly na přetvořený systém pro: : <input checked="" type="checkbox"/> Normálové síly N : <input checked="" type="checkbox"/> Smykové síly V_y a V_z : <input checked="" type="checkbox"/> Momenty M_y , M_z a M_T Aktivovat součinitele tuhosti: : <input checked="" type="checkbox"/> Průřezy (součinitel pro J , I_y , I_z , A , A_y , A_z) : <input checked="" type="checkbox"/> Pruty (faktor pro GJ , EI_y , EI_z , EA , GA_y , GA_z)



Projekt: Diplomová práce

Model: Diplomová Práce -KROV

Datum: 17.04.2021

Stropní nosník

Konstrukce Krovu

2.5.2 KOMBINACE ZATÍŽENÍ - PARAMETRY VÝPOČTU

Kombin. zatížení	Označení	Parametry výpočtu
KZ332	ZS1 + ZS11 + 0.7*ZS12	Způsob výpočtu : <input type="radio"/> Analýza podle II. řádu (P-Delta) Metoda pro řešení systému : <input type="radio"/> Picard nelineárních algebraických rovnic Možnosti : <input checked="" type="checkbox"/> Zohlednit příznivé tahové účinky <input checked="" type="checkbox"/> Vztáhnout vnitřní síly na přetvořený systém pro: <input checked="" type="checkbox"/> Normálové síly N <input checked="" type="checkbox"/> Smykové síly V_y a V_z <input checked="" type="checkbox"/> Momenty M_y , M_z a M_T Aktivovat součinitele tuhosti: : <input checked="" type="checkbox"/> Průřezy (součinitel pro J , I_y , I_z , A , A_y , A_z) <input checked="" type="checkbox"/> Pruty (faktor pro GJ , EI_y , EI_z , EA , GA_y , GA_z)
KZ333	ZS1 + ZS12	Způsob výpočtu : <input type="radio"/> Analýza podle II. řádu (P-Delta) Metoda pro řešení systému : <input type="radio"/> Picard nelineárních algebraických rovnic Možnosti : <input checked="" type="checkbox"/> Zohlednit příznivé tahové účinky <input checked="" type="checkbox"/> Vztáhnout vnitřní síly na přetvořený systém pro: <input checked="" type="checkbox"/> Normálové síly N <input checked="" type="checkbox"/> Smykové síly V_y a V_z <input checked="" type="checkbox"/> Momenty M_y , M_z a M_T Aktivovat součinitele tuhosti: : <input checked="" type="checkbox"/> Průřezy (součinitel pro J , I_y , I_z , A , A_y , A_z) <input checked="" type="checkbox"/> Pruty (faktor pro GJ , EI_y , EI_z , EA , GA_y , GA_z)
KZ334	ZS1 + ZS2 + ZS12	Způsob výpočtu : <input type="radio"/> Analýza podle II. řádu (P-Delta) Metoda pro řešení systému : <input type="radio"/> Picard nelineárních algebraických rovnic Možnosti : <input checked="" type="checkbox"/> Zohlednit příznivé tahové účinky <input checked="" type="checkbox"/> Vztáhnout vnitřní síly na přetvořený systém pro: <input checked="" type="checkbox"/> Normálové síly N <input checked="" type="checkbox"/> Smykové síly V_y a V_z <input checked="" type="checkbox"/> Momenty M_y , M_z a M_T Aktivovat součinitele tuhosti: : <input checked="" type="checkbox"/> Průřezy (součinitel pro J , I_y , I_z , A , A_y , A_z) <input checked="" type="checkbox"/> Pruty (faktor pro GJ , EI_y , EI_z , EA , GA_y , GA_z)
KZ335	ZS1 + ZS2 + 0.5*ZS4 + ZS12	Způsob výpočtu : <input type="radio"/> Analýza podle II. řádu (P-Delta) Metoda pro řešení systému : <input type="radio"/> Picard nelineárních algebraických rovnic Možnosti : <input checked="" type="checkbox"/> Zohlednit příznivé tahové účinky <input checked="" type="checkbox"/> Vztáhnout vnitřní síly na přetvořený systém pro: <input checked="" type="checkbox"/> Normálové síly N <input checked="" type="checkbox"/> Smykové síly V_y a V_z <input checked="" type="checkbox"/> Momenty M_y , M_z a M_T Aktivovat součinitele tuhosti: : <input checked="" type="checkbox"/> Průřezy (součinitel pro J , I_y , I_z , A , A_y , A_z) <input checked="" type="checkbox"/> Pruty (faktor pro GJ , EI_y , EI_z , EA , GA_y , GA_z)
KZ336	ZS1 + ZS2 + 0.5*ZS5 + ZS12	Způsob výpočtu : <input type="radio"/> Analýza podle II. řádu (P-Delta) Metoda pro řešení systému : <input type="radio"/> Picard nelineárních algebraických rovnic Možnosti : <input checked="" type="checkbox"/> Zohlednit příznivé tahové účinky <input checked="" type="checkbox"/> Vztáhnout vnitřní síly na přetvořený systém pro: <input checked="" type="checkbox"/> Normálové síly N <input checked="" type="checkbox"/> Smykové síly V_y a V_z <input checked="" type="checkbox"/> Momenty M_y , M_z a M_T Aktivovat součinitele tuhosti: : <input checked="" type="checkbox"/> Průřezy (součinitel pro J , I_y , I_z , A , A_y , A_z) <input checked="" type="checkbox"/> Pruty (faktor pro GJ , EI_y , EI_z , EA , GA_y , GA_z)
KZ337	ZS1 + ZS2 + 0.5*ZS7 + ZS12	Způsob výpočtu : <input type="radio"/> Analýza podle II. řádu (P-Delta) Metoda pro řešení systému : <input type="radio"/> Picard nelineárních algebraických rovnic Možnosti : <input checked="" type="checkbox"/> Zohlednit příznivé tahové účinky <input checked="" type="checkbox"/> Vztáhnout vnitřní síly na přetvořený systém pro: <input checked="" type="checkbox"/> Normálové síly N <input checked="" type="checkbox"/> Smykové síly V_y a V_z <input checked="" type="checkbox"/> Momenty M_y , M_z a M_T Aktivovat součinitele tuhosti: : <input checked="" type="checkbox"/> Průřezy (součinitel pro J , I_y , I_z , A , A_y , A_z) <input checked="" type="checkbox"/> Pruty (faktor pro GJ , EI_y , EI_z , EA , GA_y , GA_z)
KZ338	ZS1 + ZS2 + 0.5*ZS4 + 0.6*ZS8 + ZS12	Způsob výpočtu : <input type="radio"/> Analýza podle II. řádu (P-Delta) Metoda pro řešení systému : <input type="radio"/> Picard nelineárních algebraických rovnic Možnosti : <input checked="" type="checkbox"/> Zohlednit příznivé tahové účinky <input checked="" type="checkbox"/> Vztáhnout vnitřní síly na přetvořený systém pro: <input checked="" type="checkbox"/> Normálové síly N <input checked="" type="checkbox"/> Smykové síly V_y a V_z <input checked="" type="checkbox"/> Momenty M_y , M_z a M_T Aktivovat součinitele tuhosti: : <input checked="" type="checkbox"/> Průřezy (součinitel pro J , I_y , I_z , A , A_y , A_z) <input checked="" type="checkbox"/> Pruty (faktor pro GJ , EI_y , EI_z , EA , GA_y , GA_z)
KZ339	ZS1 + ZS2 + 0.5*ZS4 + 0.6*ZS9 + ZS12	Způsob výpočtu : <input type="radio"/> Analýza podle II. řádu (P-Delta) Metoda pro řešení systému : <input type="radio"/> Picard nelineárních algebraických rovnic Možnosti : <input checked="" type="checkbox"/> Zohlednit příznivé tahové účinky <input checked="" type="checkbox"/> Vztáhnout vnitřní síly na přetvořený systém pro: <input checked="" type="checkbox"/> Normálové síly N <input checked="" type="checkbox"/> Smykové síly V_y a V_z <input checked="" type="checkbox"/> Momenty M_y , M_z a M_T Aktivovat součinitele tuhosti: : <input checked="" type="checkbox"/> Průřezy (součinitel pro J , I_y , I_z , A , A_y , A_z) <input checked="" type="checkbox"/> Pruty (faktor pro GJ , EI_y , EI_z , EA , GA_y , GA_z)
KZ340	ZS1 + ZS2 + 0.5*ZS4 + 0	Způsob výpočtu : <input type="radio"/> Analýza podle II. řádu (P-Delta)



Projekt: Diplomová práce

Model: Diplomová Práce -KROV

Datum: 17.04.2021

Stropní nosník

Konstrukce Krovu

2.5.2 KOMBINACE ZATÍŽENÍ - PARAMETRY VÝPOČTU

Kombin. zatížení	Označení	Parametry výpočtu
	0.6*ZS10 + ZS12	Metoda pro řešení systému nelineárních algebraických rovnic Možnosti : <input checked="" type="radio"/> Picard : <input checked="" type="checkbox"/> Zohlednit příznivé tahové účinky : <input checked="" type="checkbox"/> Vztáhnout vnitřní síly na přetvoření systému pro: : <input checked="" type="checkbox"/> Normálové síly N : <input checked="" type="checkbox"/> Smykové síly V_y a V_z : <input checked="" type="checkbox"/> Momenty M_y , M_z a M_T Aktivovat součinitele tuhosti: : <input checked="" type="checkbox"/> Průřezy (součinitel pro J, I_y, I_z, A, A_y, A_z) : <input checked="" type="checkbox"/> Pruty (faktor pro $GJ, EI_y, EI_z, EA, GA_y, GA_z$)
KZ341	ZS1 + ZS2 + 0.5*ZS4 + 0.6*ZS11 + ZS12	Způsob výpočtu : <input checked="" type="radio"/> Analýza podle II. řádu (P-Delta) Metoda pro řešení systému nelineárních algebraických rovnic Možnosti : <input checked="" type="radio"/> Picard : <input checked="" type="checkbox"/> Zohlednit příznivé tahové účinky : <input checked="" type="checkbox"/> Vztáhnout vnitřní síly na přetvoření systému pro: : <input checked="" type="checkbox"/> Normálové síly N : <input checked="" type="checkbox"/> Smykové síly V_y a V_z : <input checked="" type="checkbox"/> Momenty M_y , M_z a M_T Aktivovat součinitele tuhosti: : <input checked="" type="checkbox"/> Průřezy (součinitel pro J, I_y, I_z, A, A_y, A_z) : <input checked="" type="checkbox"/> Pruty (faktor pro $GJ, EI_y, EI_z, EA, GA_y, GA_z$)
KZ342	ZS1 + ZS2 + 0.5*ZS5 + 0.6*ZS8 + ZS12	Způsob výpočtu : <input checked="" type="radio"/> Analýza podle II. řádu (P-Delta) Metoda pro řešení systému nelineárních algebraických rovnic Možnosti : <input checked="" type="radio"/> Picard : <input checked="" type="checkbox"/> Zohlednit příznivé tahové účinky : <input checked="" type="checkbox"/> Vztáhnout vnitřní síly na přetvoření systému pro: : <input checked="" type="checkbox"/> Normálové síly N : <input checked="" type="checkbox"/> Smykové síly V_y a V_z : <input checked="" type="checkbox"/> Momenty M_y , M_z a M_T Aktivovat součinitele tuhosti: : <input checked="" type="checkbox"/> Průřezy (součinitel pro J, I_y, I_z, A, A_y, A_z) : <input checked="" type="checkbox"/> Pruty (faktor pro $GJ, EI_y, EI_z, EA, GA_y, GA_z$)
KZ343	ZS1 + ZS2 + 0.5*ZS5 + 0.6*ZS9 + ZS12	Způsob výpočtu : <input checked="" type="radio"/> Analýza podle II. řádu (P-Delta) Metoda pro řešení systému nelineárních algebraických rovnic Možnosti : <input checked="" type="radio"/> Picard : <input checked="" type="checkbox"/> Zohlednit příznivé tahové účinky : <input checked="" type="checkbox"/> Vztáhnout vnitřní síly na přetvoření systému pro: : <input checked="" type="checkbox"/> Normálové síly N : <input checked="" type="checkbox"/> Smykové síly V_y a V_z : <input checked="" type="checkbox"/> Momenty M_y , M_z a M_T Aktivovat součinitele tuhosti: : <input checked="" type="checkbox"/> Průřezy (součinitel pro J, I_y, I_z, A, A_y, A_z) : <input checked="" type="checkbox"/> Pruty (faktor pro $GJ, EI_y, EI_z, EA, GA_y, GA_z$)
KZ344	ZS1 + ZS2 + 0.5*ZS5 + 0.6*ZS10 + ZS12	Způsob výpočtu : <input checked="" type="radio"/> Analýza podle II. řádu (P-Delta) Metoda pro řešení systému nelineárních algebraických rovnic Možnosti : <input checked="" type="radio"/> Picard : <input checked="" type="checkbox"/> Zohlednit příznivé tahové účinky : <input checked="" type="checkbox"/> Vztáhnout vnitřní síly na přetvoření systému pro: : <input checked="" type="checkbox"/> Normálové síly N : <input checked="" type="checkbox"/> Smykové síly V_y a V_z : <input checked="" type="checkbox"/> Momenty M_y , M_z a M_T Aktivovat součinitele tuhosti: : <input checked="" type="checkbox"/> Průřezy (součinitel pro J, I_y, I_z, A, A_y, A_z) : <input checked="" type="checkbox"/> Pruty (faktor pro $GJ, EI_y, EI_z, EA, GA_y, GA_z$)
KZ345	ZS1 + ZS2 + 0.5*ZS5 + 0.6*ZS11 + ZS12	Způsob výpočtu : <input checked="" type="radio"/> Analýza podle II. řádu (P-Delta) Metoda pro řešení systému nelineárních algebraických rovnic Možnosti : <input checked="" type="radio"/> Picard : <input checked="" type="checkbox"/> Zohlednit příznivé tahové účinky : <input checked="" type="checkbox"/> Vztáhnout vnitřní síly na přetvoření systému pro: : <input checked="" type="checkbox"/> Normálové síly N : <input checked="" type="checkbox"/> Smykové síly V_y a V_z : <input checked="" type="checkbox"/> Momenty M_y , M_z a M_T Aktivovat součinitele tuhosti: : <input checked="" type="checkbox"/> Průřezy (součinitel pro J, I_y, I_z, A, A_y, A_z) : <input checked="" type="checkbox"/> Pruty (faktor pro $GJ, EI_y, EI_z, EA, GA_y, GA_z$)
KZ346	ZS1 + ZS2 + 0.5*ZS7 + 0.6*ZS8 + ZS12	Způsob výpočtu : <input checked="" type="radio"/> Analýza podle II. řádu (P-Delta) Metoda pro řešení systému nelineárních algebraických rovnic Možnosti : <input checked="" type="radio"/> Picard : <input checked="" type="checkbox"/> Zohlednit příznivé tahové účinky : <input checked="" type="checkbox"/> Vztáhnout vnitřní síly na přetvoření systému pro: : <input checked="" type="checkbox"/> Normálové síly N : <input checked="" type="checkbox"/> Smykové síly V_y a V_z : <input checked="" type="checkbox"/> Momenty M_y , M_z a M_T Aktivovat součinitele tuhosti: : <input checked="" type="checkbox"/> Průřezy (součinitel pro J, I_y, I_z, A, A_y, A_z) : <input checked="" type="checkbox"/> Pruty (faktor pro $GJ, EI_y, EI_z, EA, GA_y, GA_z$)
KZ347	ZS1 + ZS2 + 0.5*ZS7 + 0.6*ZS9 + ZS12	Způsob výpočtu : <input checked="" type="radio"/> Analýza podle II. řádu (P-Delta) Metoda pro řešení systému nelineárních algebraických rovnic Možnosti : <input checked="" type="radio"/> Picard : <input checked="" type="checkbox"/> Zohlednit příznivé tahové účinky : <input checked="" type="checkbox"/> Vztáhnout vnitřní síly na přetvoření systému pro: : <input checked="" type="checkbox"/> Normálové síly N



Projekt: Diplomová práce

Model: Diplomová Práce -KROV

Datum: 17.04.2021

Stropní nosník

Konstrukce Krovu

2.5.2 KOMBINACE ZATÍŽENÍ - PARAMETRY VÝPOČTU

Kombin. zatížení	Označení	Parametry výpočtu
		<input checked="" type="checkbox"/> Smykové síly V_y a V_z <input checked="" type="checkbox"/> Momenty M_y , M_z a M_T
		Aktivovat součinitele tuhosti: <input checked="" type="checkbox"/> Průřezy (součinitel pro J , I_y , I_z , A , A_y , A_z) <input checked="" type="checkbox"/> Pruty (faktor pro GJ , EI_y , EI_z , EA , GA_y , GA_z)
KZ348	$ZS1 + ZS2 + 0.5 \cdot ZS7 + 0.6 \cdot ZS10 + ZS12$	Způsob výpočtu: <input checked="" type="radio"/> Analýza podle II. řádu (P-Delta) Metoda pro řešení systému nelineárních algebraických rovnic: <input checked="" type="radio"/> Picard Možnosti: <input checked="" type="checkbox"/> Zohlednit příznivé tahové účinky <input checked="" type="checkbox"/> Vztáhnout vnitřní síly na přetvořený systém pro: <input checked="" type="checkbox"/> Normálové síly N <input checked="" type="checkbox"/> Smykové síly V_y a V_z <input checked="" type="checkbox"/> Momenty M_y , M_z a M_T
KZ349	$ZS1 + ZS2 + 0.5 \cdot ZS7 + 0.6 \cdot ZS11 + ZS12$	Způsob výpočtu: <input checked="" type="radio"/> Analýza podle II. řádu (P-Delta) Metoda pro řešení systému nelineárních algebraických rovnic: <input checked="" type="radio"/> Picard Možnosti: <input checked="" type="checkbox"/> Zohlednit příznivé tahové účinky <input checked="" type="checkbox"/> Vztáhnout vnitřní síly na přetvořený systém pro: <input checked="" type="checkbox"/> Normálové síly N <input checked="" type="checkbox"/> Smykové síly V_y a V_z <input checked="" type="checkbox"/> Momenty M_y , M_z a M_T
KZ350	$ZS1 + ZS2 + 0.6 \cdot ZS8 + ZS12$	Způsob výpočtu: <input checked="" type="radio"/> Analýza podle II. řádu (P-Delta) Metoda pro řešení systému nelineárních algebraických rovnic: <input checked="" type="radio"/> Picard Možnosti: <input checked="" type="checkbox"/> Zohlednit příznivé tahové účinky <input checked="" type="checkbox"/> Vztáhnout vnitřní síly na přetvořený systém pro: <input checked="" type="checkbox"/> Normálové síly N <input checked="" type="checkbox"/> Smykové síly V_y a V_z <input checked="" type="checkbox"/> Momenty M_y , M_z a M_T
KZ351	$ZS1 + ZS2 + 0.6 \cdot ZS9 + ZS12$	Způsob výpočtu: <input checked="" type="radio"/> Analýza podle II. řádu (P-Delta) Metoda pro řešení systému nelineárních algebraických rovnic: <input checked="" type="radio"/> Picard Možnosti: <input checked="" type="checkbox"/> Zohlednit příznivé tahové účinky <input checked="" type="checkbox"/> Vztáhnout vnitřní síly na přetvořený systém pro: <input checked="" type="checkbox"/> Normálové síly N <input checked="" type="checkbox"/> Smykové síly V_y a V_z <input checked="" type="checkbox"/> Momenty M_y , M_z a M_T
KZ352	$ZS1 + ZS2 + 0.6 \cdot ZS10 + ZS12$	Způsob výpočtu: <input checked="" type="radio"/> Analýza podle II. řádu (P-Delta) Metoda pro řešení systému nelineárních algebraických rovnic: <input checked="" type="radio"/> Picard Možnosti: <input checked="" type="checkbox"/> Zohlednit příznivé tahové účinky <input checked="" type="checkbox"/> Vztáhnout vnitřní síly na přetvořený systém pro: <input checked="" type="checkbox"/> Normálové síly N <input checked="" type="checkbox"/> Smykové síly V_y a V_z <input checked="" type="checkbox"/> Momenty M_y , M_z a M_T
KZ353	$ZS1 + ZS2 + 0.6 \cdot ZS11 + ZS12$	Způsob výpočtu: <input checked="" type="radio"/> Analýza podle II. řádu (P-Delta) Metoda pro řešení systému nelineárních algebraických rovnic: <input checked="" type="radio"/> Picard Možnosti: <input checked="" type="checkbox"/> Zohlednit příznivé tahové účinky <input checked="" type="checkbox"/> Vztáhnout vnitřní síly na přetvořený systém pro: <input checked="" type="checkbox"/> Normálové síly N <input checked="" type="checkbox"/> Smykové síly V_y a V_z <input checked="" type="checkbox"/> Momenty M_y , M_z a M_T
KZ354	$ZS1 + 0.5 \cdot ZS4 + ZS12$	Způsob výpočtu: <input checked="" type="radio"/> Analýza podle II. řádu (P-Delta) Metoda pro řešení systému nelineárních algebraických rovnic: <input checked="" type="radio"/> Picard Možnosti: <input checked="" type="checkbox"/> Zohlednit příznivé tahové účinky <input checked="" type="checkbox"/> Vztáhnout vnitřní síly na přetvořený systém pro: <input checked="" type="checkbox"/> Normálové síly N <input checked="" type="checkbox"/> Smykové síly V_y a V_z <input checked="" type="checkbox"/> Momenty M_y , M_z a M_T
KZ355	$ZS1 + 0.5 \cdot ZS5 + ZS12$	Způsob výpočtu: <input checked="" type="radio"/> Analýza podle II. řádu (P-Delta) Metoda pro řešení systému nelineárních algebraických rovnic: <input checked="" type="radio"/> Picard Možnosti: <input checked="" type="checkbox"/> Zohlednit příznivé tahové účinky <input checked="" type="checkbox"/> Vztáhnout vnitřní síly na přetvořený systém pro: <input checked="" type="checkbox"/> Normálové síly N <input checked="" type="checkbox"/> Smykové síly V_y a V_z



Projekt: Diplomová práce

Model: Diplomová Práce -KROV

Datum: 17.04.2021

Stropní nosník

Konstrukce Krovu

2.5.2 KOMBINACE ZATÍŽENÍ - PARAMETRY VÝPOČTU

Kombin. zatížení	Označení	Parametry výpočtu
		Aktivovat součinitele tuhosti: <ul style="list-style-type: none"> <input checked="" type="checkbox"/> Momenty M_y, M_z a M_T <input checked="" type="checkbox"/> Průřezy (součinitel pro $J, I_{y1}, I_{z1}, A, A_y, A_z$) <input checked="" type="checkbox"/> Pruty (faktor pro $GJ, EI_y, EI_z, EA, GA_y, GA_z$)
KZ356	ZS1 + 0.5*ZS7 + ZS12	Způsob výpočtu <ul style="list-style-type: none"> <input checked="" type="checkbox"/> Analýza podle II. řádu (P-Delta) <input checked="" type="checkbox"/> Picard Metoda pro řešení systému nelineárních algebraických rovnic <ul style="list-style-type: none"> <input checked="" type="checkbox"/> Zohlednit příznivé tahové účinky <input checked="" type="checkbox"/> Vztáhnout vnitřní síly na přetvořený systém pro: <ul style="list-style-type: none"> <input checked="" type="checkbox"/> Normálové síly N <input checked="" type="checkbox"/> Smykové síly V_y a V_z <input checked="" type="checkbox"/> Momenty M_y, M_z a M_T Možnosti <ul style="list-style-type: none"> <input checked="" type="checkbox"/> Průřezy (součinitel pro $J, I_{y1}, I_{z1}, A, A_y, A_z$) <input checked="" type="checkbox"/> Pruty (faktor pro $GJ, EI_y, EI_z, EA, GA_y, GA_z$) Aktivovat součinitele tuhosti: <ul style="list-style-type: none"> <input checked="" type="checkbox"/> Průřezy (součinitel pro $J, I_{y1}, I_{z1}, A, A_y, A_z$) <input checked="" type="checkbox"/> Pruty (faktor pro $GJ, EI_y, EI_z, EA, GA_y, GA_z$)
KZ357	ZS1 + 0.5*ZS4 + 0.6*ZS8 + ZS12	Způsob výpočtu <ul style="list-style-type: none"> <input checked="" type="checkbox"/> Analýza podle II. řádu (P-Delta) <input checked="" type="checkbox"/> Picard Metoda pro řešení systému nelineárních algebraických rovnic <ul style="list-style-type: none"> <input checked="" type="checkbox"/> Zohlednit příznivé tahové účinky <input checked="" type="checkbox"/> Vztáhnout vnitřní síly na přetvořený systém pro: <ul style="list-style-type: none"> <input checked="" type="checkbox"/> Normálové síly N <input checked="" type="checkbox"/> Smykové síly V_y a V_z <input checked="" type="checkbox"/> Momenty M_y, M_z a M_T Možnosti <ul style="list-style-type: none"> <input checked="" type="checkbox"/> Průřezy (součinitel pro $J, I_{y1}, I_{z1}, A, A_y, A_z$) <input checked="" type="checkbox"/> Pruty (faktor pro $GJ, EI_y, EI_z, EA, GA_y, GA_z$) Aktivovat součinitele tuhosti: <ul style="list-style-type: none"> <input checked="" type="checkbox"/> Průřezy (součinitel pro $J, I_{y1}, I_{z1}, A, A_y, A_z$) <input checked="" type="checkbox"/> Pruty (faktor pro $GJ, EI_y, EI_z, EA, GA_y, GA_z$)
KZ358	ZS1 + 0.5*ZS4 + 0.6*ZS9 + ZS12	Způsob výpočtu <ul style="list-style-type: none"> <input checked="" type="checkbox"/> Analýza podle II. řádu (P-Delta) <input checked="" type="checkbox"/> Picard Metoda pro řešení systému nelineárních algebraických rovnic <ul style="list-style-type: none"> <input checked="" type="checkbox"/> Zohlednit příznivé tahové účinky <input checked="" type="checkbox"/> Vztáhnout vnitřní síly na přetvořený systém pro: <ul style="list-style-type: none"> <input checked="" type="checkbox"/> Normálové síly N <input checked="" type="checkbox"/> Smykové síly V_y a V_z <input checked="" type="checkbox"/> Momenty M_y, M_z a M_T Možnosti <ul style="list-style-type: none"> <input checked="" type="checkbox"/> Průřezy (součinitel pro $J, I_{y1}, I_{z1}, A, A_y, A_z$) <input checked="" type="checkbox"/> Pruty (faktor pro $GJ, EI_y, EI_z, EA, GA_y, GA_z$) Aktivovat součinitele tuhosti: <ul style="list-style-type: none"> <input checked="" type="checkbox"/> Průřezy (součinitel pro $J, I_{y1}, I_{z1}, A, A_y, A_z$) <input checked="" type="checkbox"/> Pruty (faktor pro $GJ, EI_y, EI_z, EA, GA_y, GA_z$)
KZ359	ZS1 + 0.5*ZS4 + 0.6*ZS10 + ZS12	Způsob výpočtu <ul style="list-style-type: none"> <input checked="" type="checkbox"/> Analýza podle II. řádu (P-Delta) <input checked="" type="checkbox"/> Picard Metoda pro řešení systému nelineárních algebraických rovnic <ul style="list-style-type: none"> <input checked="" type="checkbox"/> Zohlednit příznivé tahové účinky <input checked="" type="checkbox"/> Vztáhnout vnitřní síly na přetvořený systém pro: <ul style="list-style-type: none"> <input checked="" type="checkbox"/> Normálové síly N <input checked="" type="checkbox"/> Smykové síly V_y a V_z <input checked="" type="checkbox"/> Momenty M_y, M_z a M_T Možnosti <ul style="list-style-type: none"> <input checked="" type="checkbox"/> Průřezy (součinitel pro $J, I_{y1}, I_{z1}, A, A_y, A_z$) <input checked="" type="checkbox"/> Pruty (faktor pro $GJ, EI_y, EI_z, EA, GA_y, GA_z$) Aktivovat součinitele tuhosti: <ul style="list-style-type: none"> <input checked="" type="checkbox"/> Průřezy (součinitel pro $J, I_{y1}, I_{z1}, A, A_y, A_z$) <input checked="" type="checkbox"/> Pruty (faktor pro $GJ, EI_y, EI_z, EA, GA_y, GA_z$)
KZ360	ZS1 + 0.5*ZS4 + 0.6*ZS11 + ZS12	Způsob výpočtu <ul style="list-style-type: none"> <input checked="" type="checkbox"/> Analýza podle II. řádu (P-Delta) <input checked="" type="checkbox"/> Picard Metoda pro řešení systému nelineárních algebraických rovnic <ul style="list-style-type: none"> <input checked="" type="checkbox"/> Zohlednit příznivé tahové účinky <input checked="" type="checkbox"/> Vztáhnout vnitřní síly na přetvořený systém pro: <ul style="list-style-type: none"> <input checked="" type="checkbox"/> Normálové síly N <input checked="" type="checkbox"/> Smykové síly V_y a V_z <input checked="" type="checkbox"/> Momenty M_y, M_z a M_T Možnosti <ul style="list-style-type: none"> <input checked="" type="checkbox"/> Průřezy (součinitel pro $J, I_{y1}, I_{z1}, A, A_y, A_z$) <input checked="" type="checkbox"/> Pruty (faktor pro $GJ, EI_y, EI_z, EA, GA_y, GA_z$) Aktivovat součinitele tuhosti: <ul style="list-style-type: none"> <input checked="" type="checkbox"/> Průřezy (součinitel pro $J, I_{y1}, I_{z1}, A, A_y, A_z$) <input checked="" type="checkbox"/> Pruty (faktor pro $GJ, EI_y, EI_z, EA, GA_y, GA_z$)
KZ361	ZS1 + 0.5*ZS5 + 0.6*ZS8 + ZS12	Způsob výpočtu <ul style="list-style-type: none"> <input checked="" type="checkbox"/> Analýza podle II. řádu (P-Delta) <input checked="" type="checkbox"/> Picard Metoda pro řešení systému nelineárních algebraických rovnic <ul style="list-style-type: none"> <input checked="" type="checkbox"/> Zohlednit příznivé tahové účinky <input checked="" type="checkbox"/> Vztáhnout vnitřní síly na přetvořený systém pro: <ul style="list-style-type: none"> <input checked="" type="checkbox"/> Normálové síly N <input checked="" type="checkbox"/> Smykové síly V_y a V_z <input checked="" type="checkbox"/> Momenty M_y, M_z a M_T Možnosti <ul style="list-style-type: none"> <input checked="" type="checkbox"/> Průřezy (součinitel pro $J, I_{y1}, I_{z1}, A, A_y, A_z$) <input checked="" type="checkbox"/> Pruty (faktor pro $GJ, EI_y, EI_z, EA, GA_y, GA_z$) Aktivovat součinitele tuhosti: <ul style="list-style-type: none"> <input checked="" type="checkbox"/> Průřezy (součinitel pro $J, I_{y1}, I_{z1}, A, A_y, A_z$) <input checked="" type="checkbox"/> Pruty (faktor pro $GJ, EI_y, EI_z, EA, GA_y, GA_z$)
KZ362	ZS1 + 0.5*ZS5 + 0.6*ZS9 + ZS12	Způsob výpočtu <ul style="list-style-type: none"> <input checked="" type="checkbox"/> Analýza podle II. řádu (P-Delta) <input checked="" type="checkbox"/> Picard Metoda pro řešení systému nelineárních algebraických rovnic <ul style="list-style-type: none"> <input checked="" type="checkbox"/> Zohlednit příznivé tahové účinky <input checked="" type="checkbox"/> Vztáhnout vnitřní síly na přetvořený systém pro: <ul style="list-style-type: none"> <input checked="" type="checkbox"/> Normálové síly N <input checked="" type="checkbox"/> Smykové síly V_y a V_z <input checked="" type="checkbox"/> Momenty M_y, M_z a M_T Možnosti <ul style="list-style-type: none"> <input checked="" type="checkbox"/> Průřezy (součinitel pro $J, I_{y1}, I_{z1}, A, A_y, A_z$) <input checked="" type="checkbox"/> Pruty (faktor pro $GJ, EI_y, EI_z, EA, GA_y, GA_z$) Aktivovat součinitele tuhosti: <ul style="list-style-type: none"> <input checked="" type="checkbox"/> Průřezy (součinitel pro $J, I_{y1}, I_{z1}, A, A_y, A_z$) <input checked="" type="checkbox"/> Pruty (faktor pro $GJ, EI_y, EI_z, EA, GA_y, GA_z$)
KZ363	ZS1 + 0.5*ZS5 + 0.6*ZS10 + ZS12	Způsob výpočtu <ul style="list-style-type: none"> <input checked="" type="checkbox"/> Analýza podle II. řádu (P-Delta) <input checked="" type="checkbox"/> Picard Metoda pro řešení systému nelineárních algebraických rovnic <ul style="list-style-type: none"> <input checked="" type="checkbox"/> Zohlednit příznivé tahové účinky Možnosti <ul style="list-style-type: none"> <input checked="" type="checkbox"/> Průřezy (součinitel pro $J, I_{y1}, I_{z1}, A, A_y, A_z$) <input checked="" type="checkbox"/> Pruty (faktor pro $GJ, EI_y, EI_z, EA, GA_y, GA_z$)



Projekt: Diplomová práce

Model: Diplomová Práce -KROV

Datum: 17.04.2021

Stropní nosník

Konstrukce Krovu

2.5.2 KOMBINACE ZATÍŽENÍ - PARAMETRY VÝPOČTU

Kombin. zatížení	Označení	Parametry výpočtu
		<input checked="" type="checkbox"/> Vztáhnout vnitřní síly na přetvořený systém pro: <input checked="" type="checkbox"/> Normálové síly N <input checked="" type="checkbox"/> Smykové síly V_y a V_z <input checked="" type="checkbox"/> Momenty M_y , M_z a M_T Aktivovat součinitele tuhosti: <input checked="" type="checkbox"/> Průřezy (součinitel pro J, I_y, I_z, A, A_y, A_z) <input checked="" type="checkbox"/> Pruty (faktor pro $GJ, EI_y, EI_z, EA, GA_y, GA_z$)
KZ364	ZS1 + 0.5*ZS5 + 0.6*ZS11 + ZS12	Způsob výpočtu: <input checked="" type="radio"/> Analýza podle II. řádu (P-Delta) Metoda pro řešení systému nelineárních algebraických rovnic: <input checked="" type="radio"/> Picard Možnosti: <input checked="" type="checkbox"/> Zohlednit příznivé tahové účinky <input checked="" type="checkbox"/> Vztáhnout vnitřní síly na přetvořený systém pro: <input checked="" type="checkbox"/> Normálové síly N <input checked="" type="checkbox"/> Smykové síly V_y a V_z <input checked="" type="checkbox"/> Momenty M_y , M_z a M_T Aktivovat součinitele tuhosti: <input checked="" type="checkbox"/> Průřezy (součinitel pro J, I_y, I_z, A, A_y, A_z) <input checked="" type="checkbox"/> Pruty (faktor pro $GJ, EI_y, EI_z, EA, GA_y, GA_z$)
KZ365	ZS1 + 0.5*ZS7 + 0.6*ZS8 + ZS12	Způsob výpočtu: <input checked="" type="radio"/> Analýza podle II. řádu (P-Delta) Metoda pro řešení systému nelineárních algebraických rovnic: <input checked="" type="radio"/> Picard Možnosti: <input checked="" type="checkbox"/> Zohlednit příznivé tahové účinky <input checked="" type="checkbox"/> Vztáhnout vnitřní síly na přetvořený systém pro: <input checked="" type="checkbox"/> Normálové síly N <input checked="" type="checkbox"/> Smykové síly V_y a V_z <input checked="" type="checkbox"/> Momenty M_y , M_z a M_T Aktivovat součinitele tuhosti: <input checked="" type="checkbox"/> Průřezy (součinitel pro J, I_y, I_z, A, A_y, A_z) <input checked="" type="checkbox"/> Pruty (faktor pro $GJ, EI_y, EI_z, EA, GA_y, GA_z$)
KZ366	ZS1 + 0.5*ZS7 + 0.6*ZS9 + ZS12	Způsob výpočtu: <input checked="" type="radio"/> Analýza podle II. řádu (P-Delta) Metoda pro řešení systému nelineárních algebraických rovnic: <input checked="" type="radio"/> Picard Možnosti: <input checked="" type="checkbox"/> Zohlednit příznivé tahové účinky <input checked="" type="checkbox"/> Vztáhnout vnitřní síly na přetvořený systém pro: <input checked="" type="checkbox"/> Normálové síly N <input checked="" type="checkbox"/> Smykové síly V_y a V_z <input checked="" type="checkbox"/> Momenty M_y , M_z a M_T Aktivovat součinitele tuhosti: <input checked="" type="checkbox"/> Průřezy (součinitel pro J, I_y, I_z, A, A_y, A_z) <input checked="" type="checkbox"/> Pruty (faktor pro $GJ, EI_y, EI_z, EA, GA_y, GA_z$)
KZ367	ZS1 + 0.5*ZS7 + 0.6*ZS10 + ZS12	Způsob výpočtu: <input checked="" type="radio"/> Analýza podle II. řádu (P-Delta) Metoda pro řešení systému nelineárních algebraických rovnic: <input checked="" type="radio"/> Picard Možnosti: <input checked="" type="checkbox"/> Zohlednit příznivé tahové účinky <input checked="" type="checkbox"/> Vztáhnout vnitřní síly na přetvořený systém pro: <input checked="" type="checkbox"/> Normálové síly N <input checked="" type="checkbox"/> Smykové síly V_y a V_z <input checked="" type="checkbox"/> Momenty M_y , M_z a M_T Aktivovat součinitele tuhosti: <input checked="" type="checkbox"/> Průřezy (součinitel pro J, I_y, I_z, A, A_y, A_z) <input checked="" type="checkbox"/> Pruty (faktor pro $GJ, EI_y, EI_z, EA, GA_y, GA_z$)
KZ368	ZS1 + 0.5*ZS7 + 0.6*ZS11 + ZS12	Způsob výpočtu: <input checked="" type="radio"/> Analýza podle II. řádu (P-Delta) Metoda pro řešení systému nelineárních algebraických rovnic: <input checked="" type="radio"/> Picard Možnosti: <input checked="" type="checkbox"/> Zohlednit příznivé tahové účinky <input checked="" type="checkbox"/> Vztáhnout vnitřní síly na přetvořený systém pro: <input checked="" type="checkbox"/> Normálové síly N <input checked="" type="checkbox"/> Smykové síly V_y a V_z <input checked="" type="checkbox"/> Momenty M_y , M_z a M_T Aktivovat součinitele tuhosti: <input checked="" type="checkbox"/> Průřezy (součinitel pro J, I_y, I_z, A, A_y, A_z) <input checked="" type="checkbox"/> Pruty (faktor pro $GJ, EI_y, EI_z, EA, GA_y, GA_z$)
KZ369	ZS1 + 0.6*ZS8 + ZS12	Způsob výpočtu: <input checked="" type="radio"/> Analýza podle II. řádu (P-Delta) Metoda pro řešení systému nelineárních algebraických rovnic: <input checked="" type="radio"/> Picard Možnosti: <input checked="" type="checkbox"/> Zohlednit příznivé tahové účinky <input checked="" type="checkbox"/> Vztáhnout vnitřní síly na přetvořený systém pro: <input checked="" type="checkbox"/> Normálové síly N <input checked="" type="checkbox"/> Smykové síly V_y a V_z <input checked="" type="checkbox"/> Momenty M_y , M_z a M_T Aktivovat součinitele tuhosti: <input checked="" type="checkbox"/> Průřezy (součinitel pro J, I_y, I_z, A, A_y, A_z) <input checked="" type="checkbox"/> Pruty (faktor pro $GJ, EI_y, EI_z, EA, GA_y, GA_z$)
KZ370	ZS1 + 0.6*ZS9 + ZS12	Způsob výpočtu: <input checked="" type="radio"/> Analýza podle II. řádu (P-Delta) Metoda pro řešení systému nelineárních algebraických rovnic: <input checked="" type="radio"/> Picard Možnosti: <input checked="" type="checkbox"/> Zohlednit příznivé tahové účinky <input checked="" type="checkbox"/> Vztáhnout vnitřní síly na přetvořený systém pro: <input checked="" type="checkbox"/> Normálové síly N <input checked="" type="checkbox"/> Smykové síly V_y a V_z <input checked="" type="checkbox"/> Momenty M_y , M_z a M_T Aktivovat součinitele tuhosti: <input checked="" type="checkbox"/> Průřezy (součinitel pro J, I_y, I_z, A, A_y, A_z) <input checked="" type="checkbox"/> Pruty (faktor pro $GJ, EI_y, EI_z, EA, GA_y, GA_z$)
KZ371	ZS1 + 0.6*ZS10 + ZS12	Způsob výpočtu: <input checked="" type="radio"/> Analýza podle II. řádu (P-Delta) Metoda pro řešení systému n: <input checked="" type="radio"/> Picard



Projekt: Diplomová práce

Model: Diplomová Práce -KROV

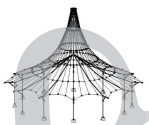
Datum: 17.04.2021

Stropní nosník

Konstrukce Krovu

2.5.2 KOMBINACE ZATÍŽENÍ - PARAMETRY VÝPOČTU

Kombin. zatížení	Označení	Parametry výpočtu
		nelineárních algebraických rovnic Možnosti : <input checked="" type="checkbox"/> Zohlednit příznivé tahové účinky : <input checked="" type="checkbox"/> Vztáhnout vnitřní síly na přetožený systém pro: : <input checked="" type="checkbox"/> Normálové síly N : <input checked="" type="checkbox"/> Smykové síly V_y a V_z : <input checked="" type="checkbox"/> Momenty M_y , M_z a M_T Aktivovat součinitele tuhosti: : <input checked="" type="checkbox"/> Průřezy (součinitel pro J , I_y , I_z , A , A_y , A_z) : <input checked="" type="checkbox"/> Pruty (faktor pro GJ , EI_y , EI_z , EA , GA_y , GA_z)
KZ372	ZS1 + 0.6°ZS11 + ZS12	Způsob výpočtu Metoda pro řešení systému nelineárních algebraických rovnic Možnosti : <input checked="" type="checkbox"/> Zohlednit příznivé tahové účinky : <input checked="" type="checkbox"/> Vztáhnout vnitřní síly na přetožený systém pro: : <input checked="" type="checkbox"/> Normálové síly N : <input checked="" type="checkbox"/> Smykové síly V_y a V_z : <input checked="" type="checkbox"/> Momenty M_y , M_z a M_T Aktivovat součinitele tuhosti: : <input checked="" type="checkbox"/> Průřezy (součinitel pro J , I_y , I_z , A , A_y , A_z) : <input checked="" type="checkbox"/> Pruty (faktor pro GJ , EI_y , EI_z , EA , GA_y , GA_z) : <input checked="" type="checkbox"/> Analýza podle II. řádu (P-Delta) : <input checked="" type="checkbox"/> Picard
KZ373	1.8°ZS1	Způsob výpočtu Metoda pro řešení systému nelineárních algebraických rovnic Možnosti : <input checked="" type="checkbox"/> Zohlednit příznivé tahové účinky : <input checked="" type="checkbox"/> Vztáhnout vnitřní síly na přetožený systém pro: : <input checked="" type="checkbox"/> Normálové síly N : <input checked="" type="checkbox"/> Smykové síly V_y a V_z : <input checked="" type="checkbox"/> Momenty M_y , M_z a M_T Aktivovat součinitele tuhosti: : <input checked="" type="checkbox"/> Průřezy (součinitel pro J , I_y , I_z , A , A_y , A_z) : <input checked="" type="checkbox"/> Pruty (faktor pro GJ , EI_y , EI_z , EA , GA_y , GA_z) : <input checked="" type="checkbox"/> Analýza podle II. řádu (P-Delta) : <input checked="" type="checkbox"/> Picard
KZ374	1.8°ZS1 + 1.8°ZS2	Způsob výpočtu Metoda pro řešení systému nelineárních algebraických rovnic Možnosti : <input checked="" type="checkbox"/> Zohlednit příznivé tahové účinky : <input checked="" type="checkbox"/> Vztáhnout vnitřní síly na přetožený systém pro: : <input checked="" type="checkbox"/> Normálové síly N : <input checked="" type="checkbox"/> Smykové síly V_y a V_z : <input checked="" type="checkbox"/> Momenty M_y , M_z a M_T Aktivovat součinitele tuhosti: : <input checked="" type="checkbox"/> Průřezy (součinitel pro J , I_y , I_z , A , A_y , A_z) : <input checked="" type="checkbox"/> Pruty (faktor pro GJ , EI_y , EI_z , EA , GA_y , GA_z) : <input checked="" type="checkbox"/> Analýza podle II. řádu (P-Delta) : <input checked="" type="checkbox"/> Picard
KZ375	1.8°ZS1 + ZS3	Způsob výpočtu Metoda pro řešení systému nelineárních algebraických rovnic Možnosti : <input checked="" type="checkbox"/> Zohlednit příznivé tahové účinky : <input checked="" type="checkbox"/> Vztáhnout vnitřní síly na přetožený systém pro: : <input checked="" type="checkbox"/> Normálové síly N : <input checked="" type="checkbox"/> Smykové síly V_y a V_z : <input checked="" type="checkbox"/> Momenty M_y , M_z a M_T Aktivovat součinitele tuhosti: : <input checked="" type="checkbox"/> Průřezy (součinitel pro J , I_y , I_z , A , A_y , A_z) : <input checked="" type="checkbox"/> Pruty (faktor pro GJ , EI_y , EI_z , EA , GA_y , GA_z) : <input checked="" type="checkbox"/> Analýza podle II. řádu (P-Delta) : <input checked="" type="checkbox"/> Picard
KZ376	1.8°ZS1 + 1.8°ZS2 + ZS3	Způsob výpočtu Metoda pro řešení systému nelineárních algebraických rovnic Možnosti : <input checked="" type="checkbox"/> Zohlednit příznivé tahové účinky : <input checked="" type="checkbox"/> Vztáhnout vnitřní síly na přetožený systém pro: : <input checked="" type="checkbox"/> Normálové síly N : <input checked="" type="checkbox"/> Smykové síly V_y a V_z : <input checked="" type="checkbox"/> Momenty M_y , M_z a M_T Aktivovat součinitele tuhosti: : <input checked="" type="checkbox"/> Průřezy (součinitel pro J , I_y , I_z , A , A_y , A_z) : <input checked="" type="checkbox"/> Pruty (faktor pro GJ , EI_y , EI_z , EA , GA_y , GA_z) : <input checked="" type="checkbox"/> Analýza podle II. řádu (P-Delta) : <input checked="" type="checkbox"/> Picard
KZ377	1.8°ZS1 + 1.8°ZS2 + ZS3 + 0.6°ZS8	Způsob výpočtu Metoda pro řešení systému nelineárních algebraických rovnic Možnosti : <input checked="" type="checkbox"/> Zohlednit příznivé tahové účinky : <input checked="" type="checkbox"/> Vztáhnout vnitřní síly na přetožený systém pro: : <input checked="" type="checkbox"/> Normálové síly N : <input checked="" type="checkbox"/> Smykové síly V_y a V_z : <input checked="" type="checkbox"/> Momenty M_y , M_z a M_T Aktivovat součinitele tuhosti: : <input checked="" type="checkbox"/> Průřezy (součinitel pro J , I_y , I_z , A , A_y , A_z) : <input checked="" type="checkbox"/> Pruty (faktor pro GJ , EI_y , EI_z , EA , GA_y , GA_z) : <input checked="" type="checkbox"/> Analýza podle II. řádu (P-Delta) : <input checked="" type="checkbox"/> Picard
KZ378	1.8°ZS1 + 1.8°ZS2 + ZS3 + 0.6°ZS9	Způsob výpočtu Metoda pro řešení systému nelineárních algebraických rovnic Možnosti : <input checked="" type="checkbox"/> Zohlednit příznivé tahové účinky : <input checked="" type="checkbox"/> Vztáhnout vnitřní síly na přetožený systém pro: : <input checked="" type="checkbox"/> Normálové síly N : <input checked="" type="checkbox"/> Smykové síly V_y a V_z : <input checked="" type="checkbox"/> Momenty M_y , M_z a M_T Aktivovat součinitele tuhosti: : <input checked="" type="checkbox"/> Průřezy (součinitel pro J , I_y , I_z , A , A_y , A_z) : <input checked="" type="checkbox"/> Pruty (faktor pro GJ , EI_y , EI_z , EA , GA_y , GA_z) : <input checked="" type="checkbox"/> Analýza podle II. řádu (P-Delta) : <input checked="" type="checkbox"/> Picard
KZ379	1.8°ZS1 + 1.8°ZS2 + ZS3 + 0.6°ZS10	Způsob výpočtu Metoda pro řešení systému n : <input checked="" type="checkbox"/> Analýza podle II. řádu (P-Delta) : <input checked="" type="checkbox"/> Picard



Projekt: Diplomová práce

Model: Diplomová Práce -KROV

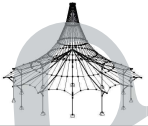
Datum: 17.04.2021

Stropní nosník

Konstrukce Krovu

2.5.2 KOMBINACE ZATÍŽENÍ - PARAMETRY VÝPOČTU

Kombin. zatížení	Označení	Parametry výpočtu
		nelineárních algebraických rovnic Možnosti <input checked="" type="checkbox"/> Zohlednit příznivé tahové účinky <input checked="" type="checkbox"/> Vztáhnout vnitřní síly na přetvořený systém pro: <input checked="" type="checkbox"/> Normálové síly N <input checked="" type="checkbox"/> Smykové síly V_y a V_z <input checked="" type="checkbox"/> Momenty M_y , M_z a M_T Aktivovat součinitele tuhosti: <input checked="" type="checkbox"/> Průřezy (součinitel pro J , I_y , I_z , A , A_y , A_z) <input checked="" type="checkbox"/> Pruty (faktor pro GJ , EI_y , EI_z , EA , GA_y , GA_z)
KZ380	$1.8^{\circ}ZS1 + 1.8^{\circ}ZS2 + ZS3 + 0.6^{\circ}ZS11$	Způsob výpočtu <input checked="" type="radio"/> Analýza podle II. řádu (P-Delta) Metoda pro řešení systému nelineárních algebraických rovnic Možnosti <input checked="" type="checkbox"/> Zohlednit příznivé tahové účinky <input checked="" type="checkbox"/> Vztáhnout vnitřní síly na přetvořený systém pro: <input checked="" type="checkbox"/> Normálové síly N <input checked="" type="checkbox"/> Smykové síly V_y a V_z <input checked="" type="checkbox"/> Momenty M_y , M_z a M_T Aktivovat součinitele tuhosti: <input checked="" type="checkbox"/> Průřezy (součinitel pro J , I_y , I_z , A , A_y , A_z) <input checked="" type="checkbox"/> Pruty (faktor pro GJ , EI_y , EI_z , EA , GA_y , GA_z)
KZ381	$1.8^{\circ}ZS1 + 1.8^{\circ}ZS2 + ZS3 + 0.6^{\circ}ZS8 + 1.24^{\circ}ZS12$	Způsob výpočtu <input checked="" type="radio"/> Analýza podle II. řádu (P-Delta) Metoda pro řešení systému nelineárních algebraických rovnic Možnosti <input checked="" type="checkbox"/> Zohlednit příznivé tahové účinky <input checked="" type="checkbox"/> Vztáhnout vnitřní síly na přetvořený systém pro: <input checked="" type="checkbox"/> Normálové síly N <input checked="" type="checkbox"/> Smykové síly V_y a V_z <input checked="" type="checkbox"/> Momenty M_y , M_z a M_T Aktivovat součinitele tuhosti: <input checked="" type="checkbox"/> Průřezy (součinitel pro J , I_y , I_z , A , A_y , A_z) <input checked="" type="checkbox"/> Pruty (faktor pro GJ , EI_y , EI_z , EA , GA_y , GA_z)
KZ382	$1.8^{\circ}ZS1 + 1.8^{\circ}ZS2 + ZS3 + 0.6^{\circ}ZS9 + 1.24^{\circ}ZS12$	Způsob výpočtu <input checked="" type="radio"/> Analýza podle II. řádu (P-Delta) Metoda pro řešení systému nelineárních algebraických rovnic Možnosti <input checked="" type="checkbox"/> Zohlednit příznivé tahové účinky <input checked="" type="checkbox"/> Vztáhnout vnitřní síly na přetvořený systém pro: <input checked="" type="checkbox"/> Normálové síly N <input checked="" type="checkbox"/> Smykové síly V_y a V_z <input checked="" type="checkbox"/> Momenty M_y , M_z a M_T Aktivovat součinitele tuhosti: <input checked="" type="checkbox"/> Průřezy (součinitel pro J , I_y , I_z , A , A_y , A_z) <input checked="" type="checkbox"/> Pruty (faktor pro GJ , EI_y , EI_z , EA , GA_y , GA_z)
KZ383	$1.8^{\circ}ZS1 + 1.8^{\circ}ZS2 + ZS3 + 0.6^{\circ}ZS10 + 1.24^{\circ}ZS12$	Způsob výpočtu <input checked="" type="radio"/> Analýza podle II. řádu (P-Delta) Metoda pro řešení systému nelineárních algebraických rovnic Možnosti <input checked="" type="checkbox"/> Zohlednit příznivé tahové účinky <input checked="" type="checkbox"/> Vztáhnout vnitřní síly na přetvořený systém pro: <input checked="" type="checkbox"/> Normálové síly N <input checked="" type="checkbox"/> Smykové síly V_y a V_z <input checked="" type="checkbox"/> Momenty M_y , M_z a M_T Aktivovat součinitele tuhosti: <input checked="" type="checkbox"/> Průřezy (součinitel pro J , I_y , I_z , A , A_y , A_z) <input checked="" type="checkbox"/> Pruty (faktor pro GJ , EI_y , EI_z , EA , GA_y , GA_z)
KZ384	$1.8^{\circ}ZS1 + 1.8^{\circ}ZS2 + ZS3 + 0.6^{\circ}ZS11 + 1.24^{\circ}ZS12$	Způsob výpočtu <input checked="" type="radio"/> Analýza podle II. řádu (P-Delta) Metoda pro řešení systému nelineárních algebraických rovnic Možnosti <input checked="" type="checkbox"/> Zohlednit příznivé tahové účinky <input checked="" type="checkbox"/> Vztáhnout vnitřní síly na přetvořený systém pro: <input checked="" type="checkbox"/> Normálové síly N <input checked="" type="checkbox"/> Smykové síly V_y a V_z <input checked="" type="checkbox"/> Momenty M_y , M_z a M_T Aktivovat součinitele tuhosti: <input checked="" type="checkbox"/> Průřezy (součinitel pro J , I_y , I_z , A , A_y , A_z) <input checked="" type="checkbox"/> Pruty (faktor pro GJ , EI_y , EI_z , EA , GA_y , GA_z)
KZ385	$1.8^{\circ}ZS1 + 1.8^{\circ}ZS2 + ZS3 + 1.24^{\circ}ZS12$	Způsob výpočtu <input checked="" type="radio"/> Analýza podle II. řádu (P-Delta) Metoda pro řešení systému nelineárních algebraických rovnic Možnosti <input checked="" type="checkbox"/> Zohlednit příznivé tahové účinky <input checked="" type="checkbox"/> Vztáhnout vnitřní síly na přetvořený systém pro: <input checked="" type="checkbox"/> Normálové síly N <input checked="" type="checkbox"/> Smykové síly V_y a V_z <input checked="" type="checkbox"/> Momenty M_y , M_z a M_T Aktivovat součinitele tuhosti: <input checked="" type="checkbox"/> Průřezy (součinitel pro J , I_y , I_z , A , A_y , A_z) <input checked="" type="checkbox"/> Pruty (faktor pro GJ , EI_y , EI_z , EA , GA_y , GA_z)
KZ386	$1.8^{\circ}ZS1 + ZS3 + 0.6^{\circ}ZS8$	Způsob výpočtu <input checked="" type="radio"/> Analýza podle II. řádu (P-Delta) Metoda pro řešení systému nelineárních algebraických rovnic Možnosti <input checked="" type="checkbox"/> Zohlednit příznivé tahové účinky <input checked="" type="checkbox"/> Vztáhnout vnitřní síly na přetvořený systém pro: <input checked="" type="checkbox"/> Normálové síly N <input checked="" type="checkbox"/> Smykové síly V_y a V_z <input checked="" type="checkbox"/> Momenty M_y , M_z a M_T Aktivovat součinitele tuhosti: <input checked="" type="checkbox"/> Průřezy (součinitel pro J , I_y , I_z , A , A_y , A_z)



Projekt: Diplomová práce

Model: Diplomová Práce -KROV

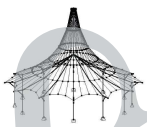
Datum: 17.04.2021

Stropní nosník

Konstrukce Krovu

2.5.2 KOMBINACE ZATÍŽENÍ - PARAMETRY VÝPOČTU

Kombin. zatížení	Označení	Parametry výpočtu
KZ387	1.8°ZS1 + ZS3 + 0.6°ZS9	<input checked="" type="checkbox"/> Pruty (faktor pro GJ, EI _y , EI _z , EA, GA _y , GA _z) <input checked="" type="checkbox"/> Analýza podle II. řádu (P-Delta) <input checked="" type="checkbox"/> Picard <input checked="" type="checkbox"/> Zohlednit příznivé tahové účinky <input checked="" type="checkbox"/> Vztáhnout vnitřní síly na přetvořený systém pro: <input checked="" type="checkbox"/> Normálové síly N <input checked="" type="checkbox"/> Smykové síly V _y a V _z <input checked="" type="checkbox"/> Momenty M _y , M _z a M _T Aktivovat součinitele tuhosti: <input checked="" type="checkbox"/> Průřezy (součinitel pro J, I _y , I _z , A, A _y , A _z) <input checked="" type="checkbox"/> Pruty (faktor pro GJ, EI _y , EI _z , EA, GA _y , GA _z)
KZ388	1.8°ZS1 + ZS3 + 0.6°ZS10	<input checked="" type="checkbox"/> Analýza podle II. řádu (P-Delta) <input checked="" type="checkbox"/> Picard <input checked="" type="checkbox"/> Zohlednit příznivé tahové účinky <input checked="" type="checkbox"/> Vztáhnout vnitřní síly na přetvořený systém pro: <input checked="" type="checkbox"/> Normálové síly N <input checked="" type="checkbox"/> Smykové síly V _y a V _z <input checked="" type="checkbox"/> Momenty M _y , M _z a M _T Aktivovat součinitele tuhosti: <input checked="" type="checkbox"/> Průřezy (součinitel pro J, I _y , I _z , A, A _y , A _z) <input checked="" type="checkbox"/> Pruty (faktor pro GJ, EI _y , EI _z , EA, GA _y , GA _z)
KZ389	1.8°ZS1 + ZS3 + 0.6°ZS11	<input checked="" type="checkbox"/> Analýza podle II. řádu (P-Delta) <input checked="" type="checkbox"/> Picard <input checked="" type="checkbox"/> Zohlednit příznivé tahové účinky <input checked="" type="checkbox"/> Vztáhnout vnitřní síly na přetvořený systém pro: <input checked="" type="checkbox"/> Normálové síly N <input checked="" type="checkbox"/> Smykové síly V _y a V _z <input checked="" type="checkbox"/> Momenty M _y , M _z a M _T Aktivovat součinitele tuhosti: <input checked="" type="checkbox"/> Průřezy (součinitel pro J, I _y , I _z , A, A _y , A _z) <input checked="" type="checkbox"/> Pruty (faktor pro GJ, EI _y , EI _z , EA, GA _y , GA _z)
KZ390	1.8°ZS1 + ZS3 + 0.6°ZS8 + 1.24°ZS12	<input checked="" type="checkbox"/> Analýza podle II. řádu (P-Delta) <input checked="" type="checkbox"/> Picard <input checked="" type="checkbox"/> Zohlednit příznivé tahové účinky <input checked="" type="checkbox"/> Vztáhnout vnitřní síly na přetvořený systém pro: <input checked="" type="checkbox"/> Normálové síly N <input checked="" type="checkbox"/> Smykové síly V _y a V _z <input checked="" type="checkbox"/> Momenty M _y , M _z a M _T Aktivovat součinitele tuhosti: <input checked="" type="checkbox"/> Průřezy (součinitel pro J, I _y , I _z , A, A _y , A _z) <input checked="" type="checkbox"/> Pruty (faktor pro GJ, EI _y , EI _z , EA, GA _y , GA _z)
KZ391	1.8°ZS1 + ZS3 + 0.6°ZS9 + 1.24°ZS12	<input checked="" type="checkbox"/> Analýza podle II. řádu (P-Delta) <input checked="" type="checkbox"/> Picard <input checked="" type="checkbox"/> Zohlednit příznivé tahové účinky <input checked="" type="checkbox"/> Vztáhnout vnitřní síly na přetvořený systém pro: <input checked="" type="checkbox"/> Normálové síly N <input checked="" type="checkbox"/> Smykové síly V _y a V _z <input checked="" type="checkbox"/> Momenty M _y , M _z a M _T Aktivovat součinitele tuhosti: <input checked="" type="checkbox"/> Průřezy (součinitel pro J, I _y , I _z , A, A _y , A _z) <input checked="" type="checkbox"/> Pruty (faktor pro GJ, EI _y , EI _z , EA, GA _y , GA _z)
KZ392	1.8°ZS1 + ZS3 + 0.6°ZS10 + 1.24°ZS12	<input checked="" type="checkbox"/> Analýza podle II. řádu (P-Delta) <input checked="" type="checkbox"/> Picard <input checked="" type="checkbox"/> Zohlednit příznivé tahové účinky <input checked="" type="checkbox"/> Vztáhnout vnitřní síly na přetvořený systém pro: <input checked="" type="checkbox"/> Normálové síly N <input checked="" type="checkbox"/> Smykové síly V _y a V _z <input checked="" type="checkbox"/> Momenty M _y , M _z a M _T Aktivovat součinitele tuhosti: <input checked="" type="checkbox"/> Průřezy (součinitel pro J, I _y , I _z , A, A _y , A _z) <input checked="" type="checkbox"/> Pruty (faktor pro GJ, EI _y , EI _z , EA, GA _y , GA _z)
KZ393	1.8°ZS1 + ZS3 + 0.6°ZS11 + 1.24°ZS12	<input checked="" type="checkbox"/> Analýza podle II. řádu (P-Delta) <input checked="" type="checkbox"/> Picard <input checked="" type="checkbox"/> Zohlednit příznivé tahové účinky <input checked="" type="checkbox"/> Vztáhnout vnitřní síly na přetvořený systém pro: <input checked="" type="checkbox"/> Normálové síly N <input checked="" type="checkbox"/> Smykové síly V _y a V _z <input checked="" type="checkbox"/> Momenty M _y , M _z a M _T Aktivovat součinitele tuhosti: <input checked="" type="checkbox"/> Průřezy (součinitel pro J, I _y , I _z , A, A _y , A _z) <input checked="" type="checkbox"/> Pruty (faktor pro GJ, EI _y , EI _z , EA, GA _y , GA _z)
KZ394	1.8°ZS1 + ZS3 + 1.24°ZS12	<input checked="" type="checkbox"/> Analýza podle II. řádu (P-Delta) <input checked="" type="checkbox"/> Picard <input checked="" type="checkbox"/> Zohlednit příznivé tahové účinky <input checked="" type="checkbox"/> Vztáhnout vnitřní síly na přetvořený systém pro: <input checked="" type="checkbox"/> Normálové síly N <input checked="" type="checkbox"/> Smykové síly V _y a V _z <input checked="" type="checkbox"/> Momenty M _y , M _z a M _T



Projekt: Diplomová práce

Model: Diplomová Práce -KROV

Datum: 17.04.2021

Stropní nosník

Konstrukce Krovu

2.5.2 KOMBINACE ZATÍŽENÍ - PARAMETRY VÝPOČTU

Kombin. zatížení	Označení	Parametry výpočtu
		Aktivovat součinitele tuhosti: <input checked="" type="checkbox"/> Průřezy (součinitel pro J, I_y, I_z, A, A_y, A_z) <input checked="" type="checkbox"/> Pruty (faktor pro $GJ, EI_y, EI_z, EA, GA_y, GA_z$)
KZ395	1.8*ZS1 + ZS4	Způsob výpočtu: <input checked="" type="radio"/> Analýza podle II. řádu (P-Delta) Metoda pro řešení systému: <input checked="" type="radio"/> Picard Možnosti: <input checked="" type="checkbox"/> Zohlednit příznivé tahové účinky <input checked="" type="checkbox"/> Vztáhnout vnitřní síly na přetvořený systém pro: <input checked="" type="checkbox"/> Normálové síly N <input checked="" type="checkbox"/> Smykové síly V_y a V_z <input checked="" type="checkbox"/> Momenty M_y, M_z a M_T
KZ396	1.8*ZS1 + ZS5	Aktivovat součinitele tuhosti: <input checked="" type="checkbox"/> Průřezy (součinitel pro J, I_y, I_z, A, A_y, A_z) <input checked="" type="checkbox"/> Pruty (faktor pro $GJ, EI_y, EI_z, EA, GA_y, GA_z$) Způsob výpočtu: <input checked="" type="radio"/> Analýza podle II. řádu (P-Delta) Metoda pro řešení systému: <input checked="" type="radio"/> Picard Možnosti: <input checked="" type="checkbox"/> Zohlednit příznivé tahové účinky <input checked="" type="checkbox"/> Vztáhnout vnitřní síly na přetvořený systém pro: <input checked="" type="checkbox"/> Normálové síly N <input checked="" type="checkbox"/> Smykové síly V_y a V_z <input checked="" type="checkbox"/> Momenty M_y, M_z a M_T
KZ397	1.8*ZS1 + ZS7	Aktivovat součinitele tuhosti: <input checked="" type="checkbox"/> Průřezy (součinitel pro J, I_y, I_z, A, A_y, A_z) <input checked="" type="checkbox"/> Pruty (faktor pro $GJ, EI_y, EI_z, EA, GA_y, GA_z$) Způsob výpočtu: <input checked="" type="radio"/> Analýza podle II. řádu (P-Delta) Metoda pro řešení systému: <input checked="" type="radio"/> Picard Možnosti: <input checked="" type="checkbox"/> Zohlednit příznivé tahové účinky <input checked="" type="checkbox"/> Vztáhnout vnitřní síly na přetvořený systém pro: <input checked="" type="checkbox"/> Normálové síly N <input checked="" type="checkbox"/> Smykové síly V_y a V_z <input checked="" type="checkbox"/> Momenty M_y, M_z a M_T
KZ398	1.8*ZS1 + 1.8*ZS2 + ZS4	Aktivovat součinitele tuhosti: <input checked="" type="checkbox"/> Průřezy (součinitel pro J, I_y, I_z, A, A_y, A_z) <input checked="" type="checkbox"/> Pruty (faktor pro $GJ, EI_y, EI_z, EA, GA_y, GA_z$) Způsob výpočtu: <input checked="" type="radio"/> Analýza podle II. řádu (P-Delta) Metoda pro řešení systému: <input checked="" type="radio"/> Picard Možnosti: <input checked="" type="checkbox"/> Zohlednit příznivé tahové účinky <input checked="" type="checkbox"/> Vztáhnout vnitřní síly na přetvořený systém pro: <input checked="" type="checkbox"/> Normálové síly N <input checked="" type="checkbox"/> Smykové síly V_y a V_z <input checked="" type="checkbox"/> Momenty M_y, M_z a M_T
KZ399	1.8*ZS1 + 1.8*ZS2 + ZS5	Aktivovat součinitele tuhosti: <input checked="" type="checkbox"/> Průřezy (součinitel pro J, I_y, I_z, A, A_y, A_z) <input checked="" type="checkbox"/> Pruty (faktor pro $GJ, EI_y, EI_z, EA, GA_y, GA_z$) Způsob výpočtu: <input checked="" type="radio"/> Analýza podle II. řádu (P-Delta) Metoda pro řešení systému: <input checked="" type="radio"/> Picard Možnosti: <input checked="" type="checkbox"/> Zohlednit příznivé tahové účinky <input checked="" type="checkbox"/> Vztáhnout vnitřní síly na přetvořený systém pro: <input checked="" type="checkbox"/> Normálové síly N <input checked="" type="checkbox"/> Smykové síly V_y a V_z <input checked="" type="checkbox"/> Momenty M_y, M_z a M_T
KZ400	1.8*ZS1 + 1.8*ZS2 + ZS7	Aktivovat součinitele tuhosti: <input checked="" type="checkbox"/> Průřezy (součinitel pro J, I_y, I_z, A, A_y, A_z) <input checked="" type="checkbox"/> Pruty (faktor pro $GJ, EI_y, EI_z, EA, GA_y, GA_z$) Způsob výpočtu: <input checked="" type="radio"/> Analýza podle II. řádu (P-Delta) Metoda pro řešení systému: <input checked="" type="radio"/> Picard Možnosti: <input checked="" type="checkbox"/> Zohlednit příznivé tahové účinky <input checked="" type="checkbox"/> Vztáhnout vnitřní síly na přetvořený systém pro: <input checked="" type="checkbox"/> Normálové síly N <input checked="" type="checkbox"/> Smykové síly V_y a V_z <input checked="" type="checkbox"/> Momenty M_y, M_z a M_T
KZ401	1.8*ZS1 + 1.8*ZS2 + ZS4 + 0.6*ZS8	Aktivovat součinitele tuhosti: <input checked="" type="checkbox"/> Průřezy (součinitel pro J, I_y, I_z, A, A_y, A_z) <input checked="" type="checkbox"/> Pruty (faktor pro $GJ, EI_y, EI_z, EA, GA_y, GA_z$) Způsob výpočtu: <input checked="" type="radio"/> Analýza podle II. řádu (P-Delta) Metoda pro řešení systému: <input checked="" type="radio"/> Picard Možnosti: <input checked="" type="checkbox"/> Zohlednit příznivé tahové účinky <input checked="" type="checkbox"/> Vztáhnout vnitřní síly na přetvořený systém pro: <input checked="" type="checkbox"/> Normálové síly N <input checked="" type="checkbox"/> Smykové síly V_y a V_z <input checked="" type="checkbox"/> Momenty M_y, M_z a M_T
KZ402	1.8*ZS1 + 1.8*ZS2 + ZS4 + 0.6*ZS9	Aktivovat součinitele tuhosti: <input checked="" type="checkbox"/> Průřezy (součinitel pro J, I_y, I_z, A, A_y, A_z) <input checked="" type="checkbox"/> Pruty (faktor pro $GJ, EI_y, EI_z, EA, GA_y, GA_z$) Způsob výpočtu: <input checked="" type="radio"/> Analýza podle II. řádu (P-Delta) Metoda pro řešení systému: <input checked="" type="radio"/> Picard Možnosti: <input checked="" type="checkbox"/> Zohlednit příznivé tahové účinky <input checked="" type="checkbox"/> Vztáhnout vnitřní síly na přetvořený systém pro: <input checked="" type="checkbox"/> Normálové síly N <input checked="" type="checkbox"/> Smykové síly V_y a V_z <input checked="" type="checkbox"/> Momenty M_y, M_z a M_T



Projekt: Diplomová práce

Model: Diplomová Práce -KROV

Datum: 17.04.2021

Stropní nosník

Konstrukce Krovu

2.5.2 KOMBINACE ZATÍŽENÍ - PARAMETRY VÝPOČTU

Kombin. zatížení	Označení	Parametry výpočtu
KZ403	1.8*ZS1 + 1.8*ZS2 + ZS4 + 0.6*ZS10	Způsob výpočtu : <input checked="" type="checkbox"/> Pruty (faktor pro GJ, EI _y , EI _z , EA, GA _y , GA _z) <input checked="" type="checkbox"/> Analýza podle II. řádu (P-Delta)
		Metoda pro řešení systému nelineárních algebraických rovnic : <input checked="" type="checkbox"/> Picard Možnosti : <input checked="" type="checkbox"/> Zohlednit příznivé tahové účinky <input checked="" type="checkbox"/> Vztáhnout vnitřní síly na přetožený systém pro: <input checked="" type="checkbox"/> Normálové síly N <input checked="" type="checkbox"/> Smykové síly V _y a V _z <input checked="" type="checkbox"/> Momenty M _y , M _z a M _T
KZ404	1.8*ZS1 + 1.8*ZS2 + ZS4 + 0.6*ZS11	Způsob výpočtu : <input checked="" type="checkbox"/> Pruty (faktor pro GJ, EI _y , EI _z , EA, GA _y , GA _z) <input checked="" type="checkbox"/> Analýza podle II. řádu (P-Delta)
		Metoda pro řešení systému nelineárních algebraických rovnic : <input checked="" type="checkbox"/> Picard Možnosti : <input checked="" type="checkbox"/> Zohlednit příznivé tahové účinky <input checked="" type="checkbox"/> Vztáhnout vnitřní síly na přetožený systém pro: <input checked="" type="checkbox"/> Normálové síly N <input checked="" type="checkbox"/> Smykové síly V _y a V _z <input checked="" type="checkbox"/> Momenty M _y , M _z a M _T
KZ405	1.8*ZS1 + 1.8*ZS2 + ZS5 + 0.6*ZS8	Způsob výpočtu : <input checked="" type="checkbox"/> Pruty (faktor pro GJ, EI _y , EI _z , EA, GA _y , GA _z) <input checked="" type="checkbox"/> Analýza podle II. řádu (P-Delta)
		Metoda pro řešení systému nelineárních algebraických rovnic : <input checked="" type="checkbox"/> Picard Možnosti : <input checked="" type="checkbox"/> Zohlednit příznivé tahové účinky <input checked="" type="checkbox"/> Vztáhnout vnitřní síly na přetožený systém pro: <input checked="" type="checkbox"/> Normálové síly N <input checked="" type="checkbox"/> Smykové síly V _y a V _z <input checked="" type="checkbox"/> Momenty M _y , M _z a M _T
KZ406	1.8*ZS1 + 1.8*ZS2 + ZS5 + 0.6*ZS9	Způsob výpočtu : <input checked="" type="checkbox"/> Pruty (faktor pro GJ, EI _y , EI _z , EA, GA _y , GA _z) <input checked="" type="checkbox"/> Analýza podle II. řádu (P-Delta)
		Metoda pro řešení systému nelineárních algebraických rovnic : <input checked="" type="checkbox"/> Picard Možnosti : <input checked="" type="checkbox"/> Zohlednit příznivé tahové účinky <input checked="" type="checkbox"/> Vztáhnout vnitřní síly na přetožený systém pro: <input checked="" type="checkbox"/> Normálové síly N <input checked="" type="checkbox"/> Smykové síly V _y a V _z <input checked="" type="checkbox"/> Momenty M _y , M _z a M _T
KZ407	1.8*ZS1 + 1.8*ZS2 + ZS5 + 0.6*ZS10	Způsob výpočtu : <input checked="" type="checkbox"/> Pruty (faktor pro GJ, EI _y , EI _z , EA, GA _y , GA _z) <input checked="" type="checkbox"/> Analýza podle II. řádu (P-Delta)
		Metoda pro řešení systému nelineárních algebraických rovnic : <input checked="" type="checkbox"/> Picard Možnosti : <input checked="" type="checkbox"/> Zohlednit příznivé tahové účinky <input checked="" type="checkbox"/> Vztáhnout vnitřní síly na přetožený systém pro: <input checked="" type="checkbox"/> Normálové síly N <input checked="" type="checkbox"/> Smykové síly V _y a V _z <input checked="" type="checkbox"/> Momenty M _y , M _z a M _T
KZ408	1.8*ZS1 + 1.8*ZS2 + ZS5 + 0.6*ZS11	Způsob výpočtu : <input checked="" type="checkbox"/> Pruty (faktor pro GJ, EI _y , EI _z , EA, GA _y , GA _z) <input checked="" type="checkbox"/> Analýza podle II. řádu (P-Delta)
		Metoda pro řešení systému nelineárních algebraických rovnic : <input checked="" type="checkbox"/> Picard Možnosti : <input checked="" type="checkbox"/> Zohlednit příznivé tahové účinky <input checked="" type="checkbox"/> Vztáhnout vnitřní síly na přetožený systém pro: <input checked="" type="checkbox"/> Normálové síly N <input checked="" type="checkbox"/> Smykové síly V _y a V _z <input checked="" type="checkbox"/> Momenty M _y , M _z a M _T
KZ409	1.8*ZS1 + 1.8*ZS2 + ZS7 + 0.6*ZS8	Způsob výpočtu : <input checked="" type="checkbox"/> Pruty (faktor pro GJ, EI _y , EI _z , EA, GA _y , GA _z) <input checked="" type="checkbox"/> Analýza podle II. řádu (P-Delta)
		Metoda pro řešení systému nelineárních algebraických rovnic : <input checked="" type="checkbox"/> Picard Možnosti : <input checked="" type="checkbox"/> Zohlednit příznivé tahové účinky <input checked="" type="checkbox"/> Vztáhnout vnitřní síly na přetožený systém pro: <input checked="" type="checkbox"/> Normálové síly N <input checked="" type="checkbox"/> Smykové síly V _y a V _z <input checked="" type="checkbox"/> Momenty M _y , M _z a M _T
KZ410	1.8*ZS1 + 1.8*ZS2 + ZS7 + 0.6*ZS9	Způsob výpočtu : <input checked="" type="checkbox"/> Pruty (faktor pro GJ, EI _y , EI _z , EA, GA _y , GA _z) <input checked="" type="checkbox"/> Analýza podle II. řádu (P-Delta)
		Metoda pro řešení systému nelineárních algebraických rovnic : <input checked="" type="checkbox"/> Picard Možnosti : <input checked="" type="checkbox"/> Zohlednit příznivé tahové účinky <input checked="" type="checkbox"/> Vztáhnout vnitřní síly na přetožený s



Projekt: Diplomová práce

Model: Diplomová Práce -KROV

Datum: 17.04.2021

Stropní nosník

Konstrukce Krovu

2.5.2 KOMBINACE ZATÍŽENÍ - PARAMETRY VÝPOČTU

Kombin. zatížení	Označení	Parametry výpočtu
		systém pro: <input checked="" type="checkbox"/> Normálové síly N <input checked="" type="checkbox"/> Smykové síly V_y a V_z <input checked="" type="checkbox"/> Momenty M_y , M_z a M_T Aktivovat součinitele tuhosti: <input checked="" type="checkbox"/> Průřezy (součinitel pro J , I_y , I_z , A , A_y , A_z) <input checked="" type="checkbox"/> Pruty (faktor pro GJ , EI_y , EI_z , EA , GA_y , GA_z)
KZ411	1.8*ZS1 + 1.8*ZS2 + ZS7 + 0.6*ZS10	Způsob výpočtu <input checked="" type="radio"/> Analýza podle II. řádu (P-Delta) Metoda pro řešení systému nelineárních algebraických rovnic <input checked="" type="radio"/> Picard Možnosti <input checked="" type="checkbox"/> Zohlednit příznivé tahové účinky <input checked="" type="checkbox"/> Vztáhnout vnitřní síly na přetožený systém pro: <input checked="" type="checkbox"/> Normálové síly N <input checked="" type="checkbox"/> Smykové síly V_y a V_z <input checked="" type="checkbox"/> Momenty M_y , M_z a M_T Aktivovat součinitele tuhosti: <input checked="" type="checkbox"/> Průřezy (součinitel pro J , I_y , I_z , A , A_y , A_z) <input checked="" type="checkbox"/> Pruty (faktor pro GJ , EI_y , EI_z , EA , GA_y , GA_z)
KZ412	1.8*ZS1 + 1.8*ZS2 + ZS7 + 0.6*ZS11	Způsob výpočtu <input checked="" type="radio"/> Analýza podle II. řádu (P-Delta) Metoda pro řešení systému nelineárních algebraických rovnic <input checked="" type="radio"/> Picard Možnosti <input checked="" type="checkbox"/> Zohlednit příznivé tahové účinky <input checked="" type="checkbox"/> Vztáhnout vnitřní síly na přetožený systém pro: <input checked="" type="checkbox"/> Normálové síly N <input checked="" type="checkbox"/> Smykové síly V_y a V_z <input checked="" type="checkbox"/> Momenty M_y , M_z a M_T Aktivovat součinitele tuhosti: <input checked="" type="checkbox"/> Průřezy (součinitel pro J , I_y , I_z , A , A_y , A_z) <input checked="" type="checkbox"/> Pruty (faktor pro GJ , EI_y , EI_z , EA , GA_y , GA_z)
KZ413	1.8*ZS1 + 1.8*ZS2 + ZS4 + 0.6*ZS8 + 0.94*ZS12	Způsob výpočtu <input checked="" type="radio"/> Analýza podle II. řádu (P-Delta) Metoda pro řešení systému nelineárních algebraických rovnic <input checked="" type="radio"/> Picard Možnosti <input checked="" type="checkbox"/> Zohlednit příznivé tahové účinky <input checked="" type="checkbox"/> Vztáhnout vnitřní síly na přetožený systém pro: <input checked="" type="checkbox"/> Normálové síly N <input checked="" type="checkbox"/> Smykové síly V_y a V_z <input checked="" type="checkbox"/> Momenty M_y , M_z a M_T Aktivovat součinitele tuhosti: <input checked="" type="checkbox"/> Průřezy (součinitel pro J , I_y , I_z , A , A_y , A_z) <input checked="" type="checkbox"/> Pruty (faktor pro GJ , EI_y , EI_z , EA , GA_y , GA_z)
KZ414	1.8*ZS1 + 1.8*ZS2 + ZS4 + 0.6*ZS9 + 0.94*ZS12	Způsob výpočtu <input checked="" type="radio"/> Analýza podle II. řádu (P-Delta) Metoda pro řešení systému nelineárních algebraických rovnic <input checked="" type="radio"/> Picard Možnosti <input checked="" type="checkbox"/> Zohlednit příznivé tahové účinky <input checked="" type="checkbox"/> Vztáhnout vnitřní síly na přetožený systém pro: <input checked="" type="checkbox"/> Normálové síly N <input checked="" type="checkbox"/> Smykové síly V_y a V_z <input checked="" type="checkbox"/> Momenty M_y , M_z a M_T Aktivovat součinitele tuhosti: <input checked="" type="checkbox"/> Průřezy (součinitel pro J , I_y , I_z , A , A_y , A_z) <input checked="" type="checkbox"/> Pruty (faktor pro GJ , EI_y , EI_z , EA , GA_y , GA_z)
KZ415	1.8*ZS1 + 1.8*ZS2 + ZS4 + 0.6*ZS10 + 0.94*ZS12	Způsob výpočtu <input checked="" type="radio"/> Analýza podle II. řádu (P-Delta) Metoda pro řešení systému nelineárních algebraických rovnic <input checked="" type="radio"/> Picard Možnosti <input checked="" type="checkbox"/> Zohlednit příznivé tahové účinky <input checked="" type="checkbox"/> Vztáhnout vnitřní síly na přetožený systém pro: <input checked="" type="checkbox"/> Normálové síly N <input checked="" type="checkbox"/> Smykové síly V_y a V_z <input checked="" type="checkbox"/> Momenty M_y , M_z a M_T Aktivovat součinitele tuhosti: <input checked="" type="checkbox"/> Průřezy (součinitel pro J , I_y , I_z , A , A_y , A_z) <input checked="" type="checkbox"/> Pruty (faktor pro GJ , EI_y , EI_z , EA , GA_y , GA_z)
KZ416	1.8*ZS1 + 1.8*ZS2 + ZS4 + 0.6*ZS11 + 0.94*ZS12	Způsob výpočtu <input checked="" type="radio"/> Analýza podle II. řádu (P-Delta) Metoda pro řešení systému nelineárních algebraických rovnic <input checked="" type="radio"/> Picard Možnosti <input checked="" type="checkbox"/> Zohlednit příznivé tahové účinky <input checked="" type="checkbox"/> Vztáhnout vnitřní síly na přetožený systém pro: <input checked="" type="checkbox"/> Normálové síly N <input checked="" type="checkbox"/> Smykové síly V_y a V_z <input checked="" type="checkbox"/> Momenty M_y , M_z a M_T Aktivovat součinitele tuhosti: <input checked="" type="checkbox"/> Průřezy (součinitel pro J , I_y , I_z , A , A_y , A_z) <input checked="" type="checkbox"/> Pruty (faktor pro GJ , EI_y , EI_z , EA , GA_y , GA_z)
KZ417	1.8*ZS1 + 1.8*ZS2 + ZS5 + 0.6*ZS8 + 0.94*ZS12	Způsob výpočtu <input checked="" type="radio"/> Analýza podle II. řádu (P-Delta) Metoda pro řešení systému nelineárních algebraických rovnic <input checked="" type="radio"/> Picard Možnosti <input checked="" type="checkbox"/> Zohlednit příznivé tahové účinky <input checked="" type="checkbox"/> Vztáhnout vnitřní síly na přetožený systém pro: <input checked="" type="checkbox"/> Normálové síly N <input checked="" type="checkbox"/> Smykové síly V_y a V_z <input checked="" type="checkbox"/> Momenty M_y , M_z a M_T Aktivovat součinitele tuhosti: <input checked="" type="checkbox"/> Průřezy (součinitel pro J , I_y , I_z , A , A_y , A_z) <input checked="" type="checkbox"/> Pruty (faktor pro GJ , EI_y , EI_z , EA , GA_y , GA_z)
KZ418	1.8*ZS1 + 1.8*ZS2 + ZS5 + 0	Způsob výpočtu <input checked="" type="radio"/> Analýza podle II. řádu (P-Delta)



Projekt: Diplomová práce

Model: Diplomová Práce -KROV

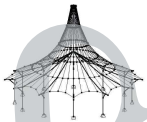
Datum: 17.04.2021

Stropní nosník

Konstrukce Krovu

2.5.2 KOMBINACE ZATÍŽENÍ - PARAMETRY VÝPOČTU

Kombin. zatížení	Označení	Parametry výpočtu
	0.6*ZS9 + 0.94*ZS12	Metoda pro řešení systému nelineárních algebraických rovnic Možnosti : <input type="radio"/> Picard : <input checked="" type="checkbox"/> Zohlednit příznivé tahové účinky : <input checked="" type="checkbox"/> Vztáhnout vnitřní síly na přetvoření systému pro: : <input checked="" type="checkbox"/> Normálové síly N : <input checked="" type="checkbox"/> Smykové síly V_y a V_z : <input checked="" type="checkbox"/> Momenty M_y , M_z a M_T Aktivovat součinitele tuhosti: : <input checked="" type="checkbox"/> Průřezy (součinitel pro J, I_y, I_z, A, A_y, A_z) : <input checked="" type="checkbox"/> Pruty (faktor pro $GJ, EI_y, EI_z, EA, GA_y, GA_z$)
KZ419	1.8*ZS1 + 1.8*ZS2 + ZS5 + 0.6*ZS10 + 0.94*ZS12	Způsob výpočtu : <input type="radio"/> Analýza podle II. řádu (P-Delta) Metoda pro řešení systému nelineárních algebraických rovnic Možnosti : <input type="radio"/> Picard : <input checked="" type="checkbox"/> Zohlednit příznivé tahové účinky : <input checked="" type="checkbox"/> Vztáhnout vnitřní síly na přetvoření systému pro: : <input checked="" type="checkbox"/> Normálové síly N : <input checked="" type="checkbox"/> Smykové síly V_y a V_z : <input checked="" type="checkbox"/> Momenty M_y , M_z a M_T Aktivovat součinitele tuhosti: : <input checked="" type="checkbox"/> Průřezy (součinitel pro J, I_y, I_z, A, A_y, A_z) : <input checked="" type="checkbox"/> Pruty (faktor pro $GJ, EI_y, EI_z, EA, GA_y, GA_z$)
KZ420	1.8*ZS1 + 1.8*ZS2 + ZS5 + 0.6*ZS11 + 0.94*ZS12	Způsob výpočtu : <input type="radio"/> Analýza podle II. řádu (P-Delta) Metoda pro řešení systému nelineárních algebraických rovnic Možnosti : <input type="radio"/> Picard : <input checked="" type="checkbox"/> Zohlednit příznivé tahové účinky : <input checked="" type="checkbox"/> Vztáhnout vnitřní síly na přetvoření systému pro: : <input checked="" type="checkbox"/> Normálové síly N : <input checked="" type="checkbox"/> Smykové síly V_y a V_z : <input checked="" type="checkbox"/> Momenty M_y , M_z a M_T Aktivovat součinitele tuhosti: : <input checked="" type="checkbox"/> Průřezy (součinitel pro J, I_y, I_z, A, A_y, A_z) : <input checked="" type="checkbox"/> Pruty (faktor pro $GJ, EI_y, EI_z, EA, GA_y, GA_z$)
KZ421	1.8*ZS1 + 1.8*ZS2 + ZS7 + 0.6*ZS8 + 0.94*ZS12	Způsob výpočtu : <input type="radio"/> Analýza podle II. řádu (P-Delta) Metoda pro řešení systému nelineárních algebraických rovnic Možnosti : <input type="radio"/> Picard : <input checked="" type="checkbox"/> Zohlednit příznivé tahové účinky : <input checked="" type="checkbox"/> Vztáhnout vnitřní síly na přetvoření systému pro: : <input checked="" type="checkbox"/> Normálové síly N : <input checked="" type="checkbox"/> Smykové síly V_y a V_z : <input checked="" type="checkbox"/> Momenty M_y , M_z a M_T Aktivovat součinitele tuhosti: : <input checked="" type="checkbox"/> Průřezy (součinitel pro J, I_y, I_z, A, A_y, A_z) : <input checked="" type="checkbox"/> Pruty (faktor pro $GJ, EI_y, EI_z, EA, GA_y, GA_z$)
KZ422	1.8*ZS1 + 1.8*ZS2 + ZS7 + 0.6*ZS9 + 0.94*ZS12	Způsob výpočtu : <input type="radio"/> Analýza podle II. řádu (P-Delta) Metoda pro řešení systému nelineárních algebraických rovnic Možnosti : <input type="radio"/> Picard : <input checked="" type="checkbox"/> Zohlednit příznivé tahové účinky : <input checked="" type="checkbox"/> Vztáhnout vnitřní síly na přetvoření systému pro: : <input checked="" type="checkbox"/> Normálové síly N : <input checked="" type="checkbox"/> Smykové síly V_y a V_z : <input checked="" type="checkbox"/> Momenty M_y , M_z a M_T Aktivovat součinitele tuhosti: : <input checked="" type="checkbox"/> Průřezy (součinitel pro J, I_y, I_z, A, A_y, A_z) : <input checked="" type="checkbox"/> Pruty (faktor pro $GJ, EI_y, EI_z, EA, GA_y, GA_z$)
KZ423	1.8*ZS1 + 1.8*ZS2 + ZS7 + 0.6*ZS10 + 0.94*ZS12	Způsob výpočtu : <input type="radio"/> Analýza podle II. řádu (P-Delta) Metoda pro řešení systému nelineárních algebraických rovnic Možnosti : <input type="radio"/> Picard : <input checked="" type="checkbox"/> Zohlednit příznivé tahové účinky : <input checked="" type="checkbox"/> Vztáhnout vnitřní síly na přetvoření systému pro: : <input checked="" type="checkbox"/> Normálové síly N : <input checked="" type="checkbox"/> Smykové síly V_y a V_z : <input checked="" type="checkbox"/> Momenty M_y , M_z a M_T Aktivovat součinitele tuhosti: : <input checked="" type="checkbox"/> Průřezy (součinitel pro J, I_y, I_z, A, A_y, A_z) : <input checked="" type="checkbox"/> Pruty (faktor pro $GJ, EI_y, EI_z, EA, GA_y, GA_z$)
KZ424	1.8*ZS1 + 1.8*ZS2 + ZS7 + 0.6*ZS11 + 0.94*ZS12	Způsob výpočtu : <input type="radio"/> Analýza podle II. řádu (P-Delta) Metoda pro řešení systému nelineárních algebraických rovnic Možnosti : <input type="radio"/> Picard : <input checked="" type="checkbox"/> Zohlednit příznivé tahové účinky : <input checked="" type="checkbox"/> Vztáhnout vnitřní síly na přetvoření systému pro: : <input checked="" type="checkbox"/> Normálové síly N : <input checked="" type="checkbox"/> Smykové síly V_y a V_z : <input checked="" type="checkbox"/> Momenty M_y , M_z a M_T Aktivovat součinitele tuhosti: : <input checked="" type="checkbox"/> Průřezy (součinitel pro J, I_y, I_z, A, A_y, A_z) : <input checked="" type="checkbox"/> Pruty (faktor pro $GJ, EI_y, EI_z, EA, GA_y, GA_z$)
KZ425	1.8*ZS1 + 1.8*ZS2 + ZS4 + 0.94*ZS12	Způsob výpočtu : <input type="radio"/> Analýza podle II. řádu (P-Delta) Metoda pro řešení systému nelineárních algebraických rovnic Možnosti : <input type="radio"/> Picard : <input checked="" type="checkbox"/> Zohlednit příznivé tahové účinky : <input checked="" type="checkbox"/> Vztáhnout vnitřní síly na přetvoření systému pro: : <input checked="" type="checkbox"/> Normálové síly N



Projekt: Diplomová práce

Model: Diplomová Práce -KROV

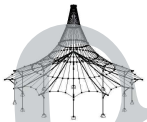
Datum: 17.04.2021

Stropní nosník

Konstrukce Krovu

2.5.2 KOMBINACE ZATÍŽENÍ - PARAMETRY VÝPOČTU

Kombin. zatížení	Označení	Parametry výpočtu
		<input checked="" type="checkbox"/> Smykové síly V_y a V_z <input checked="" type="checkbox"/> Momenty M_y , M_z a M_T Aktivovat součinitele tuhosti: <input checked="" type="checkbox"/> Průřezy (součinitel pro J, I_y, I_z, A, A_y, A_z) <input checked="" type="checkbox"/> Pruty (faktor pro $GJ, EI_y, EI_z, EA, GA_y, GA_z$)
KZ426	1.8°ZS1 + 1.8°ZS2 + ZS5 + 0.94°ZS12	Způsob výpočtu: <input checked="" type="radio"/> Analýza podle II. řádu (P-Delta) Metoda pro řešení systému nelineárních algebraických rovnic: <input checked="" type="radio"/> Picard Možnosti: <input checked="" type="checkbox"/> Zohlednit příznivé tahové účinky <input checked="" type="checkbox"/> Vztáhnout vnitřní síly na přetvořený systém pro: <input checked="" type="checkbox"/> Normálové síly N <input checked="" type="checkbox"/> Smykové síly V_y a V_z <input checked="" type="checkbox"/> Momenty M_y , M_z a M_T Aktivovat součinitele tuhosti: <input checked="" type="checkbox"/> Průřezy (součinitel pro J, I_y, I_z, A, A_y, A_z) <input checked="" type="checkbox"/> Pruty (faktor pro $GJ, EI_y, EI_z, EA, GA_y, GA_z$)
KZ427	1.8°ZS1 + 1.8°ZS2 + ZS7 + 0.94°ZS12	Způsob výpočtu: <input checked="" type="radio"/> Analýza podle II. řádu (P-Delta) Metoda pro řešení systému nelineárních algebraických rovnic: <input checked="" type="radio"/> Picard Možnosti: <input checked="" type="checkbox"/> Zohlednit příznivé tahové účinky <input checked="" type="checkbox"/> Vztáhnout vnitřní síly na přetvořený systém pro: <input checked="" type="checkbox"/> Normálové síly N <input checked="" type="checkbox"/> Smykové síly V_y a V_z <input checked="" type="checkbox"/> Momenty M_y , M_z a M_T Aktivovat součinitele tuhosti: <input checked="" type="checkbox"/> Průřezy (součinitel pro J, I_y, I_z, A, A_y, A_z) <input checked="" type="checkbox"/> Pruty (faktor pro $GJ, EI_y, EI_z, EA, GA_y, GA_z$)
KZ428	1.8°ZS1 + ZS4 + 0.6°ZS8	Způsob výpočtu: <input checked="" type="radio"/> Analýza podle II. řádu (P-Delta) Metoda pro řešení systému nelineárních algebraických rovnic: <input checked="" type="radio"/> Picard Možnosti: <input checked="" type="checkbox"/> Zohlednit příznivé tahové účinky <input checked="" type="checkbox"/> Vztáhnout vnitřní síly na přetvořený systém pro: <input checked="" type="checkbox"/> Normálové síly N <input checked="" type="checkbox"/> Smykové síly V_y a V_z <input checked="" type="checkbox"/> Momenty M_y , M_z a M_T Aktivovat součinitele tuhosti: <input checked="" type="checkbox"/> Průřezy (součinitel pro J, I_y, I_z, A, A_y, A_z) <input checked="" type="checkbox"/> Pruty (faktor pro $GJ, EI_y, EI_z, EA, GA_y, GA_z$)
KZ429	1.8°ZS1 + ZS4 + 0.6°ZS9	Způsob výpočtu: <input checked="" type="radio"/> Analýza podle II. řádu (P-Delta) Metoda pro řešení systému nelineárních algebraických rovnic: <input checked="" type="radio"/> Picard Možnosti: <input checked="" type="checkbox"/> Zohlednit příznivé tahové účinky <input checked="" type="checkbox"/> Vztáhnout vnitřní síly na přetvořený systém pro: <input checked="" type="checkbox"/> Normálové síly N <input checked="" type="checkbox"/> Smykové síly V_y a V_z <input checked="" type="checkbox"/> Momenty M_y , M_z a M_T Aktivovat součinitele tuhosti: <input checked="" type="checkbox"/> Průřezy (součinitel pro J, I_y, I_z, A, A_y, A_z) <input checked="" type="checkbox"/> Pruty (faktor pro $GJ, EI_y, EI_z, EA, GA_y, GA_z$)
KZ430	1.8°ZS1 + ZS4 + 0.6°ZS10	Způsob výpočtu: <input checked="" type="radio"/> Analýza podle II. řádu (P-Delta) Metoda pro řešení systému nelineárních algebraických rovnic: <input checked="" type="radio"/> Picard Možnosti: <input checked="" type="checkbox"/> Zohlednit příznivé tahové účinky <input checked="" type="checkbox"/> Vztáhnout vnitřní síly na přetvořený systém pro: <input checked="" type="checkbox"/> Normálové síly N <input checked="" type="checkbox"/> Smykové síly V_y a V_z <input checked="" type="checkbox"/> Momenty M_y , M_z a M_T Aktivovat součinitele tuhosti: <input checked="" type="checkbox"/> Průřezy (součinitel pro J, I_y, I_z, A, A_y, A_z) <input checked="" type="checkbox"/> Pruty (faktor pro $GJ, EI_y, EI_z, EA, GA_y, GA_z$)
KZ431	1.8°ZS1 + ZS4 + 0.6°ZS11	Způsob výpočtu: <input checked="" type="radio"/> Analýza podle II. řádu (P-Delta) Metoda pro řešení systému nelineárních algebraických rovnic: <input checked="" type="radio"/> Picard Možnosti: <input checked="" type="checkbox"/> Zohlednit příznivé tahové účinky <input checked="" type="checkbox"/> Vztáhnout vnitřní síly na přetvořený systém pro: <input checked="" type="checkbox"/> Normálové síly N <input checked="" type="checkbox"/> Smykové síly V_y a V_z <input checked="" type="checkbox"/> Momenty M_y , M_z a M_T Aktivovat součinitele tuhosti: <input checked="" type="checkbox"/> Průřezy (součinitel pro J, I_y, I_z, A, A_y, A_z) <input checked="" type="checkbox"/> Pruty (faktor pro $GJ, EI_y, EI_z, EA, GA_y, GA_z$)
KZ432	1.8°ZS1 + ZS5 + 0.6°ZS8	Způsob výpočtu: <input checked="" type="radio"/> Analýza podle II. řádu (P-Delta) Metoda pro řešení systému nelineárních algebraických rovnic: <input checked="" type="radio"/> Picard Možnosti: <input checked="" type="checkbox"/> Zohlednit příznivé tahové účinky <input checked="" type="checkbox"/> Vztáhnout vnitřní síly na přetvořený systém pro: <input checked="" type="checkbox"/> Normálové síly N <input checked="" type="checkbox"/> Smykové síly V_y a V_z <input checked="" type="checkbox"/> Momenty M_y , M_z a M_T Aktivovat součinitele tuhosti: <input checked="" type="checkbox"/> Průřezy (součinitel pro J, I_y, I_z, A, A_y, A_z) <input checked="" type="checkbox"/> Pruty (faktor pro $GJ, EI_y, EI_z, EA, GA_y, GA_z$)
KZ433	1.8°ZS1 + ZS5 + 0.6°ZS9	Způsob výpočtu: <input checked="" type="radio"/> Analýza podle II. řádu (P-Delta) Metoda pro řešení systému nelineárních algebraických rovnic: <input checked="" type="radio"/> Picard Možnosti: <input checked="" type="checkbox"/> Zohlednit příznivé tahové účinky <input checked="" type="checkbox"/> Vztáhnout vnitřní síly na přetvořený systém pro: <input checked="" type="checkbox"/> Normálové síly N <input checked="" type="checkbox"/> Smykové síly V_y a V_z



Projekt: Diplomová práce

Model: Diplomová Práce -KROV

Datum: 17.04.2021

Stropní nosník

Konstrukce Krovu

2.5.2 KOMBINACE ZATÍŽENÍ - PARAMETRY VÝPOČTU

Kombin. zatížení	Označení	Parametry výpočtu
		<input checked="" type="checkbox"/> Momenty M_y, M_z a M_T <input checked="" type="checkbox"/> Průřezy (součinitel pro J, I_y, I_z, A, A_y, A_z) <input checked="" type="checkbox"/> Pruty (faktor pro $GJ, EI_y, EI_z, EA, GA_y, GA_z$)
KZ434	1.8*ZS1 + ZS5 + 0.6*ZS10	Způsob výpočtu : <input checked="" type="checkbox"/> Analýza podle II. řádu (P-Delta) Metoda pro řešení systému nelineárních algebraických rovnic : <input checked="" type="checkbox"/> Picard Možnosti : <input checked="" type="checkbox"/> Zohlednit příznivé tahové účinky <input checked="" type="checkbox"/> Vztáhnout vnitřní síly na přetvořený systém pro: <input checked="" type="checkbox"/> Normálové síly N <input checked="" type="checkbox"/> Smykové síly V_y a V_z <input checked="" type="checkbox"/> Momenty M_y, M_z a M_T Aktivovat součinitele tuhosti: : <input checked="" type="checkbox"/> Průřezy (součinitel pro J, I_y, I_z, A, A_y, A_z) <input checked="" type="checkbox"/> Pruty (faktor pro $GJ, EI_y, EI_z, EA, GA_y, GA_z$)
KZ435	1.8*ZS1 + ZS5 + 0.6*ZS11	Způsob výpočtu : <input checked="" type="checkbox"/> Analýza podle II. řádu (P-Delta) Metoda pro řešení systému nelineárních algebraických rovnic : <input checked="" type="checkbox"/> Picard Možnosti : <input checked="" type="checkbox"/> Zohlednit příznivé tahové účinky <input checked="" type="checkbox"/> Vztáhnout vnitřní síly na přetvořený systém pro: <input checked="" type="checkbox"/> Normálové síly N <input checked="" type="checkbox"/> Smykové síly V_y a V_z <input checked="" type="checkbox"/> Momenty M_y, M_z a M_T Aktivovat součinitele tuhosti: : <input checked="" type="checkbox"/> Průřezy (součinitel pro J, I_y, I_z, A, A_y, A_z) <input checked="" type="checkbox"/> Pruty (faktor pro $GJ, EI_y, EI_z, EA, GA_y, GA_z$)
KZ436	1.8*ZS1 + ZS7 + 0.6*ZS8	Způsob výpočtu : <input checked="" type="checkbox"/> Analýza podle II. řádu (P-Delta) Metoda pro řešení systému nelineárních algebraických rovnic : <input checked="" type="checkbox"/> Picard Možnosti : <input checked="" type="checkbox"/> Zohlednit příznivé tahové účinky <input checked="" type="checkbox"/> Vztáhnout vnitřní síly na přetvořený systém pro: <input checked="" type="checkbox"/> Normálové síly N <input checked="" type="checkbox"/> Smykové síly V_y a V_z <input checked="" type="checkbox"/> Momenty M_y, M_z a M_T Aktivovat součinitele tuhosti: : <input checked="" type="checkbox"/> Průřezy (součinitel pro J, I_y, I_z, A, A_y, A_z) <input checked="" type="checkbox"/> Pruty (faktor pro $GJ, EI_y, EI_z, EA, GA_y, GA_z$)
KZ437	1.8*ZS1 + ZS7 + 0.6*ZS9	Způsob výpočtu : <input checked="" type="checkbox"/> Analýza podle II. řádu (P-Delta) Metoda pro řešení systému nelineárních algebraických rovnic : <input checked="" type="checkbox"/> Picard Možnosti : <input checked="" type="checkbox"/> Zohlednit příznivé tahové účinky <input checked="" type="checkbox"/> Vztáhnout vnitřní síly na přetvořený systém pro: <input checked="" type="checkbox"/> Normálové síly N <input checked="" type="checkbox"/> Smykové síly V_y a V_z <input checked="" type="checkbox"/> Momenty M_y, M_z a M_T Aktivovat součinitele tuhosti: : <input checked="" type="checkbox"/> Průřezy (součinitel pro J, I_y, I_z, A, A_y, A_z) <input checked="" type="checkbox"/> Pruty (faktor pro $GJ, EI_y, EI_z, EA, GA_y, GA_z$)
KZ438	1.8*ZS1 + ZS7 + 0.6*ZS10	Způsob výpočtu : <input checked="" type="checkbox"/> Analýza podle II. řádu (P-Delta) Metoda pro řešení systému nelineárních algebraických rovnic : <input checked="" type="checkbox"/> Picard Možnosti : <input checked="" type="checkbox"/> Zohlednit příznivé tahové účinky <input checked="" type="checkbox"/> Vztáhnout vnitřní síly na přetvořený systém pro: <input checked="" type="checkbox"/> Normálové síly N <input checked="" type="checkbox"/> Smykové síly V_y a V_z <input checked="" type="checkbox"/> Momenty M_y, M_z a M_T Aktivovat součinitele tuhosti: : <input checked="" type="checkbox"/> Průřezy (součinitel pro J, I_y, I_z, A, A_y, A_z) <input checked="" type="checkbox"/> Pruty (faktor pro $GJ, EI_y, EI_z, EA, GA_y, GA_z$)
KZ439	1.8*ZS1 + ZS7 + 0.6*ZS11	Způsob výpočtu : <input checked="" type="checkbox"/> Analýza podle II. řádu (P-Delta) Metoda pro řešení systému nelineárních algebraických rovnic : <input checked="" type="checkbox"/> Picard Možnosti : <input checked="" type="checkbox"/> Zohlednit příznivé tahové účinky <input checked="" type="checkbox"/> Vztáhnout vnitřní síly na přetvořený systém pro: <input checked="" type="checkbox"/> Normálové síly N <input checked="" type="checkbox"/> Smykové síly V_y a V_z <input checked="" type="checkbox"/> Momenty M_y, M_z a M_T Aktivovat součinitele tuhosti: : <input checked="" type="checkbox"/> Průřezy (součinitel pro J, I_y, I_z, A, A_y, A_z) <input checked="" type="checkbox"/> Pruty (faktor pro $GJ, EI_y, EI_z, EA, GA_y, GA_z$)
KZ440	1.8*ZS1 + ZS4 + 0.6*ZS8 + 0.94*ZS12	Způsob výpočtu : <input checked="" type="checkbox"/> Analýza podle II. řádu (P-Delta) Metoda pro řešení systému nelineárních algebraických rovnic : <input checked="" type="checkbox"/> Picard Možnosti : <input checked="" type="checkbox"/> Zohlednit příznivé tahové účinky <input checked="" type="checkbox"/> Vztáhnout vnitřní síly na přetvořený systém pro: <input checked="" type="checkbox"/> Normálové síly N <input checked="" type="checkbox"/> Smykové síly V_y a V_z <input checked="" type="checkbox"/> Momenty M_y, M_z a M_T Aktivovat součinitele tuhosti: : <input checked="" type="checkbox"/> Průřezy (součinitel pro J, I_y, I_z, A, A_y, A_z) <input checked="" type="checkbox"/> Pruty (faktor pro $GJ, EI_y, EI_z, EA, GA_y, GA_z$)
KZ441	1.8*ZS1 + ZS4 + 0.6*ZS9 + 0.94*ZS12	Způsob výpočtu : <input checked="" type="checkbox"/> Analýza podle II. řádu (P-Delta) Metoda pro řešení systému nelineárních algebraických rovnic : <input checked="" type="checkbox"/> Picard Možnosti : <input checked="" type="checkbox"/> Zohlednit příznivé tahové účinky <input checked="" type="checkbox"/> Vztáhnout vnitřní síly na přetvořený systém pro: <input checked="" type="checkbox"/> Normálové síly N <input checked="" type="checkbox"/> Smykové síly V_y a V_z <input checked="" type="checkbox"/> Momenty M_y, M_z a M_T



Projekt: Diplomová práce

Model: Diplomová Práce -KROV

Datum: 17.04.2021

Stropní nosník

Konstrukce Krovu

2.5.2 KOMBINACE ZATÍŽENÍ - PARAMETRY VÝPOČTU

Kombin. zatížení	Označení	Parametry výpočtu
KZ442	1.8*ZS1 + ZS4 + 0.6*ZS10 + 0.94*ZS12	Aktivovat součinitele tuhosti: <input checked="" type="checkbox"/> Průřezy (součinitel pro J, I _y , I _z , A, A _y , A _z) <input checked="" type="checkbox"/> Pruty (faktor pro GJ, E _{I_y} , E _{I_z} , EA, GA _y , GA _z)
		Způsob výpočtu: <input checked="" type="radio"/> Analýza podle II. řádu (P-Delta)
KZ443	1.8*ZS1 + ZS4 + 0.6*ZS11 + 0.94*ZS12	Metoda pro řešení systému nelineárních algebraických rovnic: <input checked="" type="radio"/> Picard
		Možnosti: <input checked="" type="checkbox"/> Zohlednit příznivé tahové účinky <input checked="" type="checkbox"/> Vztáhnout vnitřní síly na přetvořený systém pro: <input checked="" type="checkbox"/> Normálové síly N <input checked="" type="checkbox"/> Smykové síly V _y a V _z <input checked="" type="checkbox"/> Momenty M _y , M _z a M _T
KZ444	1.8*ZS1 + ZS5 + 0.6*ZS8 + 0.94*ZS12	Aktivovat součinitele tuhosti: <input checked="" type="checkbox"/> Průřezy (součinitel pro J, I _y , I _z , A, A _y , A _z) <input checked="" type="checkbox"/> Pruty (faktor pro GJ, E _{I_y} , E _{I_z} , EA, GA _y , GA _z)
		Způsob výpočtu: <input checked="" type="radio"/> Analýza podle II. řádu (P-Delta)
KZ445	1.8*ZS1 + ZS5 + 0.6*ZS9 + 0.94*ZS12	Metoda pro řešení systému nelineárních algebraických rovnic: <input checked="" type="radio"/> Picard
		Možnosti: <input checked="" type="checkbox"/> Zohlednit příznivé tahové účinky <input checked="" type="checkbox"/> Vztáhnout vnitřní síly na přetvořený systém pro: <input checked="" type="checkbox"/> Normálové síly N <input checked="" type="checkbox"/> Smykové síly V _y a V _z <input checked="" type="checkbox"/> Momenty M _y , M _z a M _T
KZ446	1.8*ZS1 + ZS5 + 0.6*ZS10 + 0.94*ZS12	Aktivovat součinitele tuhosti: <input checked="" type="checkbox"/> Průřezy (součinitel pro J, I _y , I _z , A, A _y , A _z) <input checked="" type="checkbox"/> Pruty (faktor pro GJ, E _{I_y} , E _{I_z} , EA, GA _y , GA _z)
		Způsob výpočtu: <input checked="" type="radio"/> Analýza podle II. řádu (P-Delta)
KZ447	1.8*ZS1 + ZS5 + 0.6*ZS11 + 0.94*ZS12	Metoda pro řešení systému nelineárních algebraických rovnic: <input checked="" type="radio"/> Picard
		Možnosti: <input checked="" type="checkbox"/> Zohlednit příznivé tahové účinky <input checked="" type="checkbox"/> Vztáhnout vnitřní síly na přetvořený systém pro: <input checked="" type="checkbox"/> Normálové síly N <input checked="" type="checkbox"/> Smykové síly V _y a V _z <input checked="" type="checkbox"/> Momenty M _y , M _z a M _T
KZ448	1.8*ZS1 + ZS7 + 0.6*ZS8 + 0.94*ZS12	Aktivovat součinitele tuhosti: <input checked="" type="checkbox"/> Průřezy (součinitel pro J, I _y , I _z , A, A _y , A _z) <input checked="" type="checkbox"/> Pruty (faktor pro GJ, E _{I_y} , E _{I_z} , EA, GA _y , GA _z)
		Způsob výpočtu: <input checked="" type="radio"/> Analýza podle II. řádu (P-Delta)
KZ449	1.8*ZS1 + ZS7 + 0.6*ZS9 + 0.94*ZS12	Metoda pro řešení systému nelineárních algebraických rovnic: <input checked="" type="radio"/> Picard
		Možnosti: <input checked="" type="checkbox"/> Zohlednit příznivé tahové účinky



Projekt: Diplomová práce

Model: Diplomová Práce -KROV

Datum: 17.04.2021

Stropní nosník

Konstrukce Krovu

2.5.2 KOMBINACE ZATÍŽENÍ - PARAMETRY VÝPOČTU

Kombin. zatížení	Označení	Parametry výpočtu
		<input checked="" type="checkbox"/> Vztáhnout vnitřní síly na přetvořený systém pro: <input checked="" type="checkbox"/> Normálové síly N <input checked="" type="checkbox"/> Smykové síly V_y a V_z <input checked="" type="checkbox"/> Momenty M_y , M_z a M_T Aktivovat součinitele tuhosti: <input checked="" type="checkbox"/> Průřezy (součinitel pro J, I_y, I_z, A, A_y, A_z) <input checked="" type="checkbox"/> Pruty (faktor pro $GJ, EI_y, EI_z, EA, GA_y, GA_z$)
KZ450	1.8*ZS1 + ZS7 + 0.6*ZS10 + 0.94*ZS12	Způsob výpočtu: <input checked="" type="checkbox"/> Analýza podle II. řádu (P-Delta) Metoda pro řešení systému nelineárních algebraických rovnic: <input checked="" type="checkbox"/> Picard Možnosti: <input checked="" type="checkbox"/> Zohlednit příznivé tahové účinky <input checked="" type="checkbox"/> Vztáhnout vnitřní síly na přetvořený systém pro: <input checked="" type="checkbox"/> Normálové síly N <input checked="" type="checkbox"/> Smykové síly V_y a V_z <input checked="" type="checkbox"/> Momenty M_y , M_z a M_T Aktivovat součinitele tuhosti: <input checked="" type="checkbox"/> Průřezy (součinitel pro J, I_y, I_z, A, A_y, A_z) <input checked="" type="checkbox"/> Pruty (faktor pro $GJ, EI_y, EI_z, EA, GA_y, GA_z$)
KZ451	1.8*ZS1 + ZS7 + 0.6*ZS11 + 0.94*ZS12	Způsob výpočtu: <input checked="" type="checkbox"/> Analýza podle II. řádu (P-Delta) Metoda pro řešení systému nelineárních algebraických rovnic: <input checked="" type="checkbox"/> Picard Možnosti: <input checked="" type="checkbox"/> Zohlednit příznivé tahové účinky <input checked="" type="checkbox"/> Vztáhnout vnitřní síly na přetvořený systém pro: <input checked="" type="checkbox"/> Normálové síly N <input checked="" type="checkbox"/> Smykové síly V_y a V_z <input checked="" type="checkbox"/> Momenty M_y , M_z a M_T Aktivovat součinitele tuhosti: <input checked="" type="checkbox"/> Průřezy (součinitel pro J, I_y, I_z, A, A_y, A_z) <input checked="" type="checkbox"/> Pruty (faktor pro $GJ, EI_y, EI_z, EA, GA_y, GA_z$)
KZ452	1.8*ZS1 + ZS4 + 0.94*ZS12	Způsob výpočtu: <input checked="" type="checkbox"/> Analýza podle II. řádu (P-Delta) Metoda pro řešení systému nelineárních algebraických rovnic: <input checked="" type="checkbox"/> Picard Možnosti: <input checked="" type="checkbox"/> Zohlednit příznivé tahové účinky <input checked="" type="checkbox"/> Vztáhnout vnitřní síly na přetvořený systém pro: <input checked="" type="checkbox"/> Normálové síly N <input checked="" type="checkbox"/> Smykové síly V_y a V_z <input checked="" type="checkbox"/> Momenty M_y , M_z a M_T Aktivovat součinitele tuhosti: <input checked="" type="checkbox"/> Průřezy (součinitel pro J, I_y, I_z, A, A_y, A_z) <input checked="" type="checkbox"/> Pruty (faktor pro $GJ, EI_y, EI_z, EA, GA_y, GA_z$)
KZ453	1.8*ZS1 + ZS5 + 0.94*ZS12	Způsob výpočtu: <input checked="" type="checkbox"/> Analýza podle II. řádu (P-Delta) Metoda pro řešení systému nelineárních algebraických rovnic: <input checked="" type="checkbox"/> Picard Možnosti: <input checked="" type="checkbox"/> Zohlednit příznivé tahové účinky <input checked="" type="checkbox"/> Vztáhnout vnitřní síly na přetvořený systém pro: <input checked="" type="checkbox"/> Normálové síly N <input checked="" type="checkbox"/> Smykové síly V_y a V_z <input checked="" type="checkbox"/> Momenty M_y , M_z a M_T Aktivovat součinitele tuhosti: <input checked="" type="checkbox"/> Průřezy (součinitel pro J, I_y, I_z, A, A_y, A_z) <input checked="" type="checkbox"/> Pruty (faktor pro $GJ, EI_y, EI_z, EA, GA_y, GA_z$)
KZ454	1.8*ZS1 + ZS7 + 0.94*ZS12	Způsob výpočtu: <input checked="" type="checkbox"/> Analýza podle II. řádu (P-Delta) Metoda pro řešení systému nelineárních algebraických rovnic: <input checked="" type="checkbox"/> Picard Možnosti: <input checked="" type="checkbox"/> Zohlednit příznivé tahové účinky <input checked="" type="checkbox"/> Vztáhnout vnitřní síly na přetvořený systém pro: <input checked="" type="checkbox"/> Normálové síly N <input checked="" type="checkbox"/> Smykové síly V_y a V_z <input checked="" type="checkbox"/> Momenty M_y , M_z a M_T Aktivovat součinitele tuhosti: <input checked="" type="checkbox"/> Průřezy (součinitel pro J, I_y, I_z, A, A_y, A_z) <input checked="" type="checkbox"/> Pruty (faktor pro $GJ, EI_y, EI_z, EA, GA_y, GA_z$)
KZ455	1.8*ZS1 + ZS8	Způsob výpočtu: <input checked="" type="checkbox"/> Analýza podle II. řádu (P-Delta) Metoda pro řešení systému nelineárních algebraických rovnic: <input checked="" type="checkbox"/> Picard Možnosti: <input checked="" type="checkbox"/> Zohlednit příznivé tahové účinky <input checked="" type="checkbox"/> Vztáhnout vnitřní síly na přetvořený systém pro: <input checked="" type="checkbox"/> Normálové síly N <input checked="" type="checkbox"/> Smykové síly V_y a V_z <input checked="" type="checkbox"/> Momenty M_y , M_z a M_T Aktivovat součinitele tuhosti: <input checked="" type="checkbox"/> Průřezy (součinitel pro J, I_y, I_z, A, A_y, A_z) <input checked="" type="checkbox"/> Pruty (faktor pro $GJ, EI_y, EI_z, EA, GA_y, GA_z$)
KZ456	1.8*ZS1 + ZS9	Způsob výpočtu: <input checked="" type="checkbox"/> Analýza podle II. řádu (P-Delta) Metoda pro řešení systému nelineárních algebraických rovnic: <input checked="" type="checkbox"/> Picard Možnosti: <input checked="" type="checkbox"/> Zohlednit příznivé tahové účinky <input checked="" type="checkbox"/> Vztáhnout vnitřní síly na přetvořený systém pro: <input checked="" type="checkbox"/> Normálové síly N <input checked="" type="checkbox"/> Smykové síly V_y a V_z <input checked="" type="checkbox"/> Momenty M_y , M_z a M_T Aktivovat součinitele tuhosti: <input checked="" type="checkbox"/> Průřezy (součinitel pro J, I_y, I_z, A, A_y, A_z) <input checked="" type="checkbox"/> Pruty (faktor pro $GJ, EI_y, EI_z, EA, GA_y, GA_z$)
KZ457	1.8*ZS1 + ZS10	Způsob výpočtu: <input checked="" type="checkbox"/> Analýza podle II. řádu (P-Delta) Metoda pro řešení systému nelineárních algebraických rovnic: <input checked="" type="checkbox"/> Picard Možnosti: <input checked="" type="checkbox"/> Zohlednit příznivé tahové účinky <input checked="" type="checkbox"/> Vztáhnout vnitřní síly na přetvořený systém pro: <input checked="" type="checkbox"/> Normálové síly N <input checked="" type="checkbox"/> Smykové síly V_y a V_z <input checked="" type="checkbox"/> Momenty M_y , M_z a M_T Aktivovat součinitele tuhosti: <input checked="" type="checkbox"/> Průřezy (součinitel pro J, I_y, I_z, A, A_y, A_z) <input checked="" type="checkbox"/> Pruty (faktor pro $GJ, EI_y, EI_z, EA, GA_y, GA_z$)



Projekt: Diplomová práce

Model: Diplomová Práce -KROV

Datum: 17.04.2021

Stropní nosník

Konstrukce Krovu

2.5.2 KOMBINACE ZATÍŽENÍ - PARAMETRY VÝPOČTU

Kombin. zatížení	Označení	Parametry výpočtu
		<input type="checkbox"/> systém pro: <input checked="" type="checkbox"/> Normálové síly N <input checked="" type="checkbox"/> Smykové síly V_y a V_z <input checked="" type="checkbox"/> Momenty M_y , M_z a M_T Aktivovat součinitele tuhosti: <input checked="" type="checkbox"/> Průřezy (součinitel pro J, I_y, I_z, A, A_y, A_z) <input checked="" type="checkbox"/> Pruty (faktor pro $GJ, EI_y, EI_z, EA, GA_y, GA_z$)
KZ458	1.8*ZS1 + ZS11	Způsob výpočtu <input checked="" type="radio"/> Analýza podle II. řádu (P-Delta) Metoda pro řešení systému <input checked="" type="radio"/> Picard nelineárních algebraických rovnic Možnosti <input checked="" type="checkbox"/> Zohlednit příznivé tahové účinky <input checked="" type="checkbox"/> Vztáhnout vnitřní síly na přetvořený systém pro: <input checked="" type="checkbox"/> Normálové síly N <input checked="" type="checkbox"/> Smykové síly V_y a V_z <input checked="" type="checkbox"/> Momenty M_y , M_z a M_T Aktivovat součinitele tuhosti: <input checked="" type="checkbox"/> Průřezy (součinitel pro J, I_y, I_z, A, A_y, A_z) <input checked="" type="checkbox"/> Pruty (faktor pro $GJ, EI_y, EI_z, EA, GA_y, GA_z$)
KZ459	1.8*ZS1 + 1.8*ZS2 + ZS8	Způsob výpočtu <input checked="" type="radio"/> Analýza podle II. řádu (P-Delta) Metoda pro řešení systému <input checked="" type="radio"/> Picard nelineárních algebraických rovnic Možnosti <input checked="" type="checkbox"/> Zohlednit příznivé tahové účinky <input checked="" type="checkbox"/> Vztáhnout vnitřní síly na přetvořený systém pro: <input checked="" type="checkbox"/> Normálové síly N <input checked="" type="checkbox"/> Smykové síly V_y a V_z <input checked="" type="checkbox"/> Momenty M_y , M_z a M_T Aktivovat součinitele tuhosti: <input checked="" type="checkbox"/> Průřezy (součinitel pro J, I_y, I_z, A, A_y, A_z) <input checked="" type="checkbox"/> Pruty (faktor pro $GJ, EI_y, EI_z, EA, GA_y, GA_z$)
KZ460	1.8*ZS1 + 1.8*ZS2 + ZS9	Způsob výpočtu <input checked="" type="radio"/> Analýza podle II. řádu (P-Delta) Metoda pro řešení systému <input checked="" type="radio"/> Picard nelineárních algebraických rovnic Možnosti <input checked="" type="checkbox"/> Zohlednit příznivé tahové účinky <input checked="" type="checkbox"/> Vztáhnout vnitřní síly na přetvořený systém pro: <input checked="" type="checkbox"/> Normálové síly N <input checked="" type="checkbox"/> Smykové síly V_y a V_z <input checked="" type="checkbox"/> Momenty M_y , M_z a M_T Aktivovat součinitele tuhosti: <input checked="" type="checkbox"/> Průřezy (součinitel pro J, I_y, I_z, A, A_y, A_z) <input checked="" type="checkbox"/> Pruty (faktor pro $GJ, EI_y, EI_z, EA, GA_y, GA_z$)
KZ461	1.8*ZS1 + 1.8*ZS2 + ZS10	Způsob výpočtu <input checked="" type="radio"/> Analýza podle II. řádu (P-Delta) Metoda pro řešení systému <input checked="" type="radio"/> Picard nelineárních algebraických rovnic Možnosti <input checked="" type="checkbox"/> Zohlednit příznivé tahové účinky <input checked="" type="checkbox"/> Vztáhnout vnitřní síly na přetvořený systém pro: <input checked="" type="checkbox"/> Normálové síly N <input checked="" type="checkbox"/> Smykové síly V_y a V_z <input checked="" type="checkbox"/> Momenty M_y , M_z a M_T Aktivovat součinitele tuhosti: <input checked="" type="checkbox"/> Průřezy (součinitel pro J, I_y, I_z, A, A_y, A_z) <input checked="" type="checkbox"/> Pruty (faktor pro $GJ, EI_y, EI_z, EA, GA_y, GA_z$)
KZ462	1.8*ZS1 + 1.8*ZS2 + ZS11	Způsob výpočtu <input checked="" type="radio"/> Analýza podle II. řádu (P-Delta) Metoda pro řešení systému <input checked="" type="radio"/> Picard nelineárních algebraických rovnic Možnosti <input checked="" type="checkbox"/> Zohlednit příznivé tahové účinky <input checked="" type="checkbox"/> Vztáhnout vnitřní síly na přetvořený systém pro: <input checked="" type="checkbox"/> Normálové síly N <input checked="" type="checkbox"/> Smykové síly V_y a V_z <input checked="" type="checkbox"/> Momenty M_y , M_z a M_T Aktivovat součinitele tuhosti: <input checked="" type="checkbox"/> Průřezy (součinitel pro J, I_y, I_z, A, A_y, A_z) <input checked="" type="checkbox"/> Pruty (faktor pro $GJ, EI_y, EI_z, EA, GA_y, GA_z$)
KZ463	1.8*ZS1 + 1.8*ZS2 + 0.5*ZS4 + ZS8	Způsob výpočtu <input checked="" type="radio"/> Analýza podle II. řádu (P-Delta) Metoda pro řešení systému <input checked="" type="radio"/> Picard nelineárních algebraických rovnic Možnosti <input checked="" type="checkbox"/> Zohlednit příznivé tahové účinky <input checked="" type="checkbox"/> Vztáhnout vnitřní síly na přetvořený systém pro: <input checked="" type="checkbox"/> Normálové síly N <input checked="" type="checkbox"/> Smykové síly V_y a V_z <input checked="" type="checkbox"/> Momenty M_y , M_z a M_T Aktivovat součinitele tuhosti: <input checked="" type="checkbox"/> Průřezy (součinitel pro J, I_y, I_z, A, A_y, A_z) <input checked="" type="checkbox"/> Pruty (faktor pro $GJ, EI_y, EI_z, EA, GA_y, GA_z$)
KZ464	1.8*ZS1 + 1.8*ZS2 + 0.5*ZS4 + ZS9	Způsob výpočtu <input checked="" type="radio"/> Analýza podle II. řádu (P-Delta) Metoda pro řešení systému <input checked="" type="radio"/> Picard nelineárních algebraických rovnic Možnosti <input checked="" type="checkbox"/> Zohlednit příznivé tahové účinky <input checked="" type="checkbox"/> Vztáhnout vnitřní síly na přetvořený systém pro: <input checked="" type="checkbox"/> Normálové síly N <input checked="" type="checkbox"/> Smykové síly V_y a V_z <input checked="" type="checkbox"/> Momenty M_y , M_z a M_T Aktivovat součinitele tuhosti: <input checked="" type="checkbox"/> Průřezy (součinitel pro J, I_y, I_z, A, A_y, A_z) <input checked="" type="checkbox"/> Pruty (faktor pro $GJ, EI_y, EI_z, EA, GA_y, GA_z$)
KZ465	1.8*ZS1 + 1.8*ZS2 + 0.5*ZS4 + ZS10	Způsob výpočtu <input checked="" type="radio"/> Analýza podle II. řádu (P-Delta) Metoda pro řešení systému <input checked="" type="radio"/> Picard nelineárních algebraických rovnic Možnosti <input checked="" type="checkbox"/> Zohlednit příznivé tahové účinky <input checked="" type="checkbox"/> Vztáhnout vnitřní síly na přetvořený s



Projekt: Diplomová práce

Model: Diplomová Práce -KROV

Datum: 17.04.2021

Stropní nosník

Konstrukce Krovu

2.5.2 KOMBINACE ZATÍŽENÍ - PARAMETRY VÝPOČTU

Kombin. zatížení	Označení	Parametry výpočtu
		<ul style="list-style-type: none"> ☑ systém pro: ☑ Normálové síly N ☑ Smykové síly V_y a V_z ☑ Momenty M_y, M_z a M_T
		<ul style="list-style-type: none"> ☑ Aktivovat součinitele tuhosti: ☑ Průřezy (součinitel pro J, I_y, I_z, A, A_y, A_z) ☑ Pruty (faktor pro GJ, EI_y, EI_z, EA, GA_y, GA_z)
KZ466	1.8*ZS1 + 1.8*ZS2 + 0.5*ZS4 + ZS11	<ul style="list-style-type: none"> ☑ Způsob výpočtu ☑ Analýza podle II. řádu (P-Delta)
		<ul style="list-style-type: none"> ☑ Metoda pro řešení systému nelineárních algebraických rovnic ☑ Možnosti ☑ Picard ☑ Zohlednit příznivé tahové účinky ☑ Vztáhnout vnitřní síly na přetožený systém pro: ☑ Normálové síly N ☑ Smykové síly V_y a V_z ☑ Momenty M_y, M_z a M_T
		<ul style="list-style-type: none"> ☑ Aktivovat součinitele tuhosti: ☑ Průřezy (součinitel pro J, I_y, I_z, A, A_y, A_z) ☑ Pruty (faktor pro GJ, EI_y, EI_z, EA, GA_y, GA_z)
KZ467	1.8*ZS1 + 1.8*ZS2 + 0.5*ZS5 + ZS8	<ul style="list-style-type: none"> ☑ Způsob výpočtu ☑ Analýza podle II. řádu (P-Delta)
		<ul style="list-style-type: none"> ☑ Metoda pro řešení systému nelineárních algebraických rovnic ☑ Možnosti ☑ Picard ☑ Zohlednit příznivé tahové účinky ☑ Vztáhnout vnitřní síly na přetožený systém pro: ☑ Normálové síly N ☑ Smykové síly V_y a V_z ☑ Momenty M_y, M_z a M_T
		<ul style="list-style-type: none"> ☑ Aktivovat součinitele tuhosti: ☑ Průřezy (součinitel pro J, I_y, I_z, A, A_y, A_z) ☑ Pruty (faktor pro GJ, EI_y, EI_z, EA, GA_y, GA_z)
KZ468	1.8*ZS1 + 1.8*ZS2 + 0.5*ZS5 + ZS9	<ul style="list-style-type: none"> ☑ Způsob výpočtu ☑ Analýza podle II. řádu (P-Delta)
		<ul style="list-style-type: none"> ☑ Metoda pro řešení systému nelineárních algebraických rovnic ☑ Možnosti ☑ Picard ☑ Zohlednit příznivé tahové účinky ☑ Vztáhnout vnitřní síly na přetožený systém pro: ☑ Normálové síly N ☑ Smykové síly V_y a V_z ☑ Momenty M_y, M_z a M_T
		<ul style="list-style-type: none"> ☑ Aktivovat součinitele tuhosti: ☑ Průřezy (součinitel pro J, I_y, I_z, A, A_y, A_z) ☑ Pruty (faktor pro GJ, EI_y, EI_z, EA, GA_y, GA_z)
KZ469	1.8*ZS1 + 1.8*ZS2 + 0.5*ZS5 + ZS10	<ul style="list-style-type: none"> ☑ Způsob výpočtu ☑ Analýza podle II. řádu (P-Delta)
		<ul style="list-style-type: none"> ☑ Metoda pro řešení systému nelineárních algebraických rovnic ☑ Možnosti ☑ Picard ☑ Zohlednit příznivé tahové účinky ☑ Vztáhnout vnitřní síly na přetožený systém pro: ☑ Normálové síly N ☑ Smykové síly V_y a V_z ☑ Momenty M_y, M_z a M_T
		<ul style="list-style-type: none"> ☑ Aktivovat součinitele tuhosti: ☑ Průřezy (součinitel pro J, I_y, I_z, A, A_y, A_z) ☑ Pruty (faktor pro GJ, EI_y, EI_z, EA, GA_y, GA_z)
KZ470	1.8*ZS1 + 1.8*ZS2 + 0.5*ZS5 + ZS11	<ul style="list-style-type: none"> ☑ Způsob výpočtu ☑ Analýza podle II. řádu (P-Delta)
		<ul style="list-style-type: none"> ☑ Metoda pro řešení systému nelineárních algebraických rovnic ☑ Možnosti ☑ Picard ☑ Zohlednit příznivé tahové účinky ☑ Vztáhnout vnitřní síly na přetožený systém pro: ☑ Normálové síly N ☑ Smykové síly V_y a V_z ☑ Momenty M_y, M_z a M_T
		<ul style="list-style-type: none"> ☑ Aktivovat součinitele tuhosti: ☑ Průřezy (součinitel pro J, I_y, I_z, A, A_y, A_z) ☑ Pruty (faktor pro GJ, EI_y, EI_z, EA, GA_y, GA_z)
KZ471	1.8*ZS1 + 1.8*ZS2 + 0.5*ZS7 + ZS8	<ul style="list-style-type: none"> ☑ Způsob výpočtu ☑ Analýza podle II. řádu (P-Delta)
		<ul style="list-style-type: none"> ☑ Metoda pro řešení systému nelineárních algebraických rovnic ☑ Možnosti ☑ Picard ☑ Zohlednit příznivé tahové účinky ☑ Vztáhnout vnitřní síly na přetožený systém pro: ☑ Normálové síly N ☑ Smykové síly V_y a V_z ☑ Momenty M_y, M_z a M_T
		<ul style="list-style-type: none"> ☑ Aktivovat součinitele tuhosti: ☑ Průřezy (součinitel pro J, I_y, I_z, A, A_y, A_z) ☑ Pruty (faktor pro GJ, EI_y, EI_z, EA, GA_y, GA_z)
KZ472	1.8*ZS1 + 1.8*ZS2 + 0.5*ZS7 + ZS9	<ul style="list-style-type: none"> ☑ Způsob výpočtu ☑ Analýza podle II. řádu (P-Delta)
		<ul style="list-style-type: none"> ☑ Metoda pro řešení systému nelineárních algebraických rovnic ☑ Možnosti ☑ Picard ☑ Zohlednit příznivé tahové účinky ☑ Vztáhnout vnitřní síly na přetožený systém pro: ☑ Normálové síly N ☑ Smykové síly V_y a V_z ☑ Momenty M_y, M_z a M_T
		<ul style="list-style-type: none"> ☑ Aktivovat součinitele tuhosti: ☑ Průřezy (součinitel pro J, I_y, I_z, A, A_y, A_z) ☑ Pruty (faktor pro GJ, EI_y, EI_z, EA, GA_y, GA_z)
KZ473	1.8*ZS1 + 1.8*ZS2 + 0.5*ZS7 + Z	<ul style="list-style-type: none"> ☑ Způsob výpočtu ☑ Analýza podle II. řádu (P-Delta)



Projekt: Diplomová práce

Model: Diplomová Práce -KROV

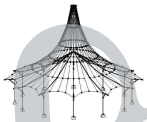
Datum: 17.04.2021

Stropní nosník

Konstrukce Krovu

2.5.2 KOMBINACE ZATÍŽENÍ - PARAMETRY VÝPOČTU

Kombin. zatížení	Označení	Parametry výpočtu
	ZS10	<p>Metoda pro řešení systému nelineárních algebraických rovnic : <input type="radio"/> Picard</p> <p>Možnosti : <input checked="" type="checkbox"/> Zohlednit příznivé tahové účinky <input checked="" type="checkbox"/> Vztáhnout vnitřní síly na přetvoření systému pro: <input checked="" type="checkbox"/> Normálové síly N <input checked="" type="checkbox"/> Smykové síly V_y a V_z <input checked="" type="checkbox"/> Momenty M_y, M_z a M_T</p> <p>Aktivovat součinitele tuhosti: : <input checked="" type="checkbox"/> Průřezy (součinitel pro J, I_y, I_z, A, A_y, A_z) <input checked="" type="checkbox"/> Pruty (faktor pro $GJ, EI_y, EI_z, EA, GA_y, GA_z$)</p>
KZ474	$1.8 \cdot ZS1 + 1.8 \cdot ZS2 + 0.5 \cdot ZS7 + ZS11$	<p>Způsob výpočtu : <input type="radio"/> Analýza podle II. řádu (P-Delta)</p> <p>Metoda pro řešení systému nelineárních algebraických rovnic : <input type="radio"/> Picard</p> <p>Možnosti : <input checked="" type="checkbox"/> Zohlednit příznivé tahové účinky <input checked="" type="checkbox"/> Vztáhnout vnitřní síly na přetvoření systému pro: <input checked="" type="checkbox"/> Normálové síly N <input checked="" type="checkbox"/> Smykové síly V_y a V_z <input checked="" type="checkbox"/> Momenty M_y, M_z a M_T</p> <p>Aktivovat součinitele tuhosti: : <input checked="" type="checkbox"/> Průřezy (součinitel pro J, I_y, I_z, A, A_y, A_z) <input checked="" type="checkbox"/> Pruty (faktor pro $GJ, EI_y, EI_z, EA, GA_y, GA_z$)</p>
KZ475	$1.8 \cdot ZS1 + 1.8 \cdot ZS2 + 0.5 \cdot ZS4 + ZS8 + 0.94 \cdot ZS12$	<p>Způsob výpočtu : <input type="radio"/> Analýza podle II. řádu (P-Delta)</p> <p>Metoda pro řešení systému nelineárních algebraických rovnic : <input type="radio"/> Picard</p> <p>Možnosti : <input checked="" type="checkbox"/> Zohlednit příznivé tahové účinky <input checked="" type="checkbox"/> Vztáhnout vnitřní síly na přetvoření systému pro: <input checked="" type="checkbox"/> Normálové síly N <input checked="" type="checkbox"/> Smykové síly V_y a V_z <input checked="" type="checkbox"/> Momenty M_y, M_z a M_T</p> <p>Aktivovat součinitele tuhosti: : <input checked="" type="checkbox"/> Průřezy (součinitel pro J, I_y, I_z, A, A_y, A_z) <input checked="" type="checkbox"/> Pruty (faktor pro $GJ, EI_y, EI_z, EA, GA_y, GA_z$)</p>
KZ476	$1.8 \cdot ZS1 + 1.8 \cdot ZS2 + 0.5 \cdot ZS4 + ZS9 + 0.94 \cdot ZS12$	<p>Způsob výpočtu : <input type="radio"/> Analýza podle II. řádu (P-Delta)</p> <p>Metoda pro řešení systému nelineárních algebraických rovnic : <input type="radio"/> Picard</p> <p>Možnosti : <input checked="" type="checkbox"/> Zohlednit příznivé tahové účinky <input checked="" type="checkbox"/> Vztáhnout vnitřní síly na přetvoření systému pro: <input checked="" type="checkbox"/> Normálové síly N <input checked="" type="checkbox"/> Smykové síly V_y a V_z <input checked="" type="checkbox"/> Momenty M_y, M_z a M_T</p> <p>Aktivovat součinitele tuhosti: : <input checked="" type="checkbox"/> Průřezy (součinitel pro J, I_y, I_z, A, A_y, A_z) <input checked="" type="checkbox"/> Pruty (faktor pro $GJ, EI_y, EI_z, EA, GA_y, GA_z$)</p>
KZ477	$1.8 \cdot ZS1 + 1.8 \cdot ZS2 + 0.5 \cdot ZS4 + ZS10 + 0.94 \cdot ZS12$	<p>Způsob výpočtu : <input type="radio"/> Analýza podle II. řádu (P-Delta)</p> <p>Metoda pro řešení systému nelineárních algebraických rovnic : <input type="radio"/> Picard</p> <p>Možnosti : <input checked="" type="checkbox"/> Zohlednit příznivé tahové účinky <input checked="" type="checkbox"/> Vztáhnout vnitřní síly na přetvoření systému pro: <input checked="" type="checkbox"/> Normálové síly N <input checked="" type="checkbox"/> Smykové síly V_y a V_z <input checked="" type="checkbox"/> Momenty M_y, M_z a M_T</p> <p>Aktivovat součinitele tuhosti: : <input checked="" type="checkbox"/> Průřezy (součinitel pro J, I_y, I_z, A, A_y, A_z) <input checked="" type="checkbox"/> Pruty (faktor pro $GJ, EI_y, EI_z, EA, GA_y, GA_z$)</p>
KZ478	$1.8 \cdot ZS1 + 1.8 \cdot ZS2 + 0.5 \cdot ZS4 + ZS11 + 0.94 \cdot ZS12$	<p>Způsob výpočtu : <input type="radio"/> Analýza podle II. řádu (P-Delta)</p> <p>Metoda pro řešení systému nelineárních algebraických rovnic : <input type="radio"/> Picard</p> <p>Možnosti : <input checked="" type="checkbox"/> Zohlednit příznivé tahové účinky <input checked="" type="checkbox"/> Vztáhnout vnitřní síly na přetvoření systému pro: <input checked="" type="checkbox"/> Normálové síly N <input checked="" type="checkbox"/> Smykové síly V_y a V_z <input checked="" type="checkbox"/> Momenty M_y, M_z a M_T</p> <p>Aktivovat součinitele tuhosti: : <input checked="" type="checkbox"/> Průřezy (součinitel pro J, I_y, I_z, A, A_y, A_z) <input checked="" type="checkbox"/> Pruty (faktor pro $GJ, EI_y, EI_z, EA, GA_y, GA_z$)</p>
KZ479	$1.8 \cdot ZS1 + 1.8 \cdot ZS2 + 0.5 \cdot ZS5 + ZS8 + 0.94 \cdot ZS12$	<p>Způsob výpočtu : <input type="radio"/> Analýza podle II. řádu (P-Delta)</p> <p>Metoda pro řešení systému nelineárních algebraických rovnic : <input type="radio"/> Picard</p> <p>Možnosti : <input checked="" type="checkbox"/> Zohlednit příznivé tahové účinky <input checked="" type="checkbox"/> Vztáhnout vnitřní síly na přetvoření systému pro: <input checked="" type="checkbox"/> Normálové síly N <input checked="" type="checkbox"/> Smykové síly V_y a V_z <input checked="" type="checkbox"/> Momenty M_y, M_z a M_T</p> <p>Aktivovat součinitele tuhosti: : <input checked="" type="checkbox"/> Průřezy (součinitel pro J, I_y, I_z, A, A_y, A_z) <input checked="" type="checkbox"/> Pruty (faktor pro $GJ, EI_y, EI_z, EA, GA_y, GA_z$)</p>
KZ480	$1.8 \cdot ZS1 + 1.8 \cdot ZS2 + 0.5 \cdot ZS5 + ZS9 + 0.94 \cdot ZS12$	<p>Způsob výpočtu : <input type="radio"/> Analýza podle II. řádu (P-Delta)</p> <p>Metoda pro řešení systému nelineárních algebraických rovnic : <input type="radio"/> Picard</p> <p>Možnosti : <input checked="" type="checkbox"/> Zohlednit příznivé tahové účinky <input checked="" type="checkbox"/> Vztáhnout vnitřní síly na přetvoření systému pro: <input checked="" type="checkbox"/> Normálové síly N</p>



Projekt: Diplomová práce

Model: Diplomová Práce -KROV

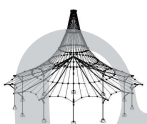
Datum: 17.04.2021

Stropní nosník

Konstrukce Krovu

2.5.2 KOMBINACE ZATÍŽENÍ - PARAMETRY VÝPOČTU

Kombin. zatížení	Označení	Parametry výpočtu
		<input checked="" type="checkbox"/> Smykové síly V_y a V_z <input checked="" type="checkbox"/> Momenty M_y , M_z a M_T
		Aktivovat součinitele tuhosti: <input checked="" type="checkbox"/> Průřezy (součinitel pro J_y , J_z , A , A_y , A_z) <input checked="" type="checkbox"/> Pruty (faktor pro GJ , EI_y , EI_z , EA , GA_y , GA_z)
KZ481	1.8*ZS1 + 1.8*ZS2 + 0.5*ZS5 + ZS10 + 0.94*ZS12	Způsob výpočtu: <input checked="" type="radio"/> Analýza podle II. řádu (P-Delta) Metoda pro řešení systému nelineárních algebraických rovnic: <input checked="" type="radio"/> Picard Možnosti: <input checked="" type="checkbox"/> Zohlednit příznivé tahové účinky <input checked="" type="checkbox"/> Vztáhnout vnitřní síly na přetvoření systému pro: <input checked="" type="checkbox"/> Normálové síly N <input checked="" type="checkbox"/> Smykové síly V_y a V_z <input checked="" type="checkbox"/> Momenty M_y , M_z a M_T
KZ482	1.8*ZS1 + 1.8*ZS2 + 0.5*ZS5 + ZS11 + 0.94*ZS12	Způsob výpočtu: <input checked="" type="radio"/> Analýza podle II. řádu (P-Delta) Metoda pro řešení systému nelineárních algebraických rovnic: <input checked="" type="radio"/> Picard Možnosti: <input checked="" type="checkbox"/> Zohlednit příznivé tahové účinky <input checked="" type="checkbox"/> Vztáhnout vnitřní síly na přetvoření systému pro: <input checked="" type="checkbox"/> Normálové síly N <input checked="" type="checkbox"/> Smykové síly V_y a V_z <input checked="" type="checkbox"/> Momenty M_y , M_z a M_T
KZ483	1.8*ZS1 + 1.8*ZS2 + 0.5*ZS7 + ZS8 + 0.94*ZS12	Způsob výpočtu: <input checked="" type="radio"/> Analýza podle II. řádu (P-Delta) Metoda pro řešení systému nelineárních algebraických rovnic: <input checked="" type="radio"/> Picard Možnosti: <input checked="" type="checkbox"/> Zohlednit příznivé tahové účinky <input checked="" type="checkbox"/> Vztáhnout vnitřní síly na přetvoření systému pro: <input checked="" type="checkbox"/> Normálové síly N <input checked="" type="checkbox"/> Smykové síly V_y a V_z <input checked="" type="checkbox"/> Momenty M_y , M_z a M_T
KZ484	1.8*ZS1 + 1.8*ZS2 + 0.5*ZS7 + ZS9 + 0.94*ZS12	Způsob výpočtu: <input checked="" type="radio"/> Analýza podle II. řádu (P-Delta) Metoda pro řešení systému nelineárních algebraických rovnic: <input checked="" type="radio"/> Picard Možnosti: <input checked="" type="checkbox"/> Zohlednit příznivé tahové účinky <input checked="" type="checkbox"/> Vztáhnout vnitřní síly na přetvoření systému pro: <input checked="" type="checkbox"/> Normálové síly N <input checked="" type="checkbox"/> Smykové síly V_y a V_z <input checked="" type="checkbox"/> Momenty M_y , M_z a M_T
KZ485	1.8*ZS1 + 1.8*ZS2 + 0.5*ZS7 + ZS10 + 0.94*ZS12	Způsob výpočtu: <input checked="" type="radio"/> Analýza podle II. řádu (P-Delta) Metoda pro řešení systému nelineárních algebraických rovnic: <input checked="" type="radio"/> Picard Možnosti: <input checked="" type="checkbox"/> Zohlednit příznivé tahové účinky <input checked="" type="checkbox"/> Vztáhnout vnitřní síly na přetvoření systému pro: <input checked="" type="checkbox"/> Normálové síly N <input checked="" type="checkbox"/> Smykové síly V_y a V_z <input checked="" type="checkbox"/> Momenty M_y , M_z a M_T
KZ486	1.8*ZS1 + 1.8*ZS2 + 0.5*ZS7 + ZS11 + 0.94*ZS12	Způsob výpočtu: <input checked="" type="radio"/> Analýza podle II. řádu (P-Delta) Metoda pro řešení systému nelineárních algebraických rovnic: <input checked="" type="radio"/> Picard Možnosti: <input checked="" type="checkbox"/> Zohlednit příznivé tahové účinky <input checked="" type="checkbox"/> Vztáhnout vnitřní síly na přetvoření systému pro: <input checked="" type="checkbox"/> Normálové síly N <input checked="" type="checkbox"/> Smykové síly V_y a V_z <input checked="" type="checkbox"/> Momenty M_y , M_z a M_T
KZ487	1.8*ZS1 + 1.8*ZS2 + ZS8 + 0.94*ZS12	Způsob výpočtu: <input checked="" type="radio"/> Analýza podle II. řádu (P-Delta) Metoda pro řešení systému nelineárních algebraických rovnic: <input checked="" type="radio"/> Picard Možnosti: <input checked="" type="checkbox"/> Zohlednit příznivé tahové účinky <input checked="" type="checkbox"/> Vztáhnout vnitřní síly na přetvoření systému pro: <input checked="" type="checkbox"/> Normálové síly N <input checked="" type="checkbox"/> Smykové síly V_y a V_z <input checked="" type="checkbox"/> Momenty M_y , M_z a M_T
KZ488	1.8*ZS1 + 1.8*ZS2 + ZS9 + 0.94*ZS12	Způsob výpočtu: <input checked="" type="radio"/> Analýza podle II. řádu (P-Delta) Metoda pro řešení systému n: <input checked="" type="radio"/> Picard



Projekt: Diplomová práce

Model: Diplomová Práce -KROV

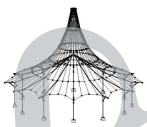
Datum: 17.04.2021

Stropní nosník

Konstrukce Krovu

2.5.2 KOMBINACE ZATÍŽENÍ - PARAMETRY VÝPOČTU

Kombin. zatížení	Označení	Parametry výpočtu
		nelineárních algebraických rovnic Možnosti : <input checked="" type="checkbox"/> Zohlednit příznivé tahové účinky : <input checked="" type="checkbox"/> Vztáhnout vnitřní síly na přetvořený systém pro: <input checked="" type="checkbox"/> Normálové síly N <input checked="" type="checkbox"/> Smykové síly V_y a V_z <input checked="" type="checkbox"/> Momenty M_y , M_z a M_T Aktivovat součinitele tuhosti: : <input checked="" type="checkbox"/> Průřezy (součinitel pro J , I_y , I_z , A , A_y , A_z) : <input checked="" type="checkbox"/> Pruty (faktor pro GJ , EI_y , EI_z , EA , GA_y , GA_z)
KZ489	1.8*ZS1 + 1.8*ZS2 + ZS10 + 0.94*ZS12	Způsob výpočtu : <input checked="" type="radio"/> Analýza podle II. řádu (P-Delta) Metoda pro řešení systému nelineárních algebraických rovnic : <input checked="" type="radio"/> Picard Možnosti : <input checked="" type="checkbox"/> Zohlednit příznivé tahové účinky : <input checked="" type="checkbox"/> Vztáhnout vnitřní síly na přetvořený systém pro: <input checked="" type="checkbox"/> Normálové síly N <input checked="" type="checkbox"/> Smykové síly V_y a V_z <input checked="" type="checkbox"/> Momenty M_y , M_z a M_T Aktivovat součinitele tuhosti: : <input checked="" type="checkbox"/> Průřezy (součinitel pro J , I_y , I_z , A , A_y , A_z) : <input checked="" type="checkbox"/> Pruty (faktor pro GJ , EI_y , EI_z , EA , GA_y , GA_z)
KZ490	1.8*ZS1 + 1.8*ZS2 + ZS11 + 0.94*ZS12	Způsob výpočtu : <input checked="" type="radio"/> Analýza podle II. řádu (P-Delta) Metoda pro řešení systému nelineárních algebraických rovnic : <input checked="" type="radio"/> Picard Možnosti : <input checked="" type="checkbox"/> Zohlednit příznivé tahové účinky : <input checked="" type="checkbox"/> Vztáhnout vnitřní síly na přetvořený systém pro: <input checked="" type="checkbox"/> Normálové síly N <input checked="" type="checkbox"/> Smykové síly V_y a V_z <input checked="" type="checkbox"/> Momenty M_y , M_z a M_T Aktivovat součinitele tuhosti: : <input checked="" type="checkbox"/> Průřezy (součinitel pro J , I_y , I_z , A , A_y , A_z) : <input checked="" type="checkbox"/> Pruty (faktor pro GJ , EI_y , EI_z , EA , GA_y , GA_z)
KZ491	1.8*ZS1 + 0.5*ZS4 + ZS8	Způsob výpočtu : <input checked="" type="radio"/> Analýza podle II. řádu (P-Delta) Metoda pro řešení systému nelineárních algebraických rovnic : <input checked="" type="radio"/> Picard Možnosti : <input checked="" type="checkbox"/> Zohlednit příznivé tahové účinky : <input checked="" type="checkbox"/> Vztáhnout vnitřní síly na přetvořený systém pro: <input checked="" type="checkbox"/> Normálové síly N <input checked="" type="checkbox"/> Smykové síly V_y a V_z <input checked="" type="checkbox"/> Momenty M_y , M_z a M_T Aktivovat součinitele tuhosti: : <input checked="" type="checkbox"/> Průřezy (součinitel pro J , I_y , I_z , A , A_y , A_z) : <input checked="" type="checkbox"/> Pruty (faktor pro GJ , EI_y , EI_z , EA , GA_y , GA_z)
KZ492	1.8*ZS1 + 0.5*ZS4 + ZS9	Způsob výpočtu : <input checked="" type="radio"/> Analýza podle II. řádu (P-Delta) Metoda pro řešení systému nelineárních algebraických rovnic : <input checked="" type="radio"/> Picard Možnosti : <input checked="" type="checkbox"/> Zohlednit příznivé tahové účinky : <input checked="" type="checkbox"/> Vztáhnout vnitřní síly na přetvořený systém pro: <input checked="" type="checkbox"/> Normálové síly N <input checked="" type="checkbox"/> Smykové síly V_y a V_z <input checked="" type="checkbox"/> Momenty M_y , M_z a M_T Aktivovat součinitele tuhosti: : <input checked="" type="checkbox"/> Průřezy (součinitel pro J , I_y , I_z , A , A_y , A_z) : <input checked="" type="checkbox"/> Pruty (faktor pro GJ , EI_y , EI_z , EA , GA_y , GA_z)
KZ493	1.8*ZS1 + 0.5*ZS4 + ZS10	Způsob výpočtu : <input checked="" type="radio"/> Analýza podle II. řádu (P-Delta) Metoda pro řešení systému nelineárních algebraických rovnic : <input checked="" type="radio"/> Picard Možnosti : <input checked="" type="checkbox"/> Zohlednit příznivé tahové účinky : <input checked="" type="checkbox"/> Vztáhnout vnitřní síly na přetvořený systém pro: <input checked="" type="checkbox"/> Normálové síly N <input checked="" type="checkbox"/> Smykové síly V_y a V_z <input checked="" type="checkbox"/> Momenty M_y , M_z a M_T Aktivovat součinitele tuhosti: : <input checked="" type="checkbox"/> Průřezy (součinitel pro J , I_y , I_z , A , A_y , A_z) : <input checked="" type="checkbox"/> Pruty (faktor pro GJ , EI_y , EI_z , EA , GA_y , GA_z)
KZ494	1.8*ZS1 + 0.5*ZS4 + ZS11	Způsob výpočtu : <input checked="" type="radio"/> Analýza podle II. řádu (P-Delta) Metoda pro řešení systému nelineárních algebraických rovnic : <input checked="" type="radio"/> Picard Možnosti : <input checked="" type="checkbox"/> Zohlednit příznivé tahové účinky : <input checked="" type="checkbox"/> Vztáhnout vnitřní síly na přetvořený systém pro: <input checked="" type="checkbox"/> Normálové síly N <input checked="" type="checkbox"/> Smykové síly V_y a V_z <input checked="" type="checkbox"/> Momenty M_y , M_z a M_T Aktivovat součinitele tuhosti: : <input checked="" type="checkbox"/> Průřezy (součinitel pro J , I_y , I_z , A , A_y , A_z) : <input checked="" type="checkbox"/> Pruty (faktor pro GJ , EI_y , EI_z , EA , GA_y , GA_z)
KZ495	1.8*ZS1 + 0.5*ZS5 + ZS8	Způsob výpočtu : <input checked="" type="radio"/> Analýza podle II. řádu (P-Delta) Metoda pro řešení systému nelineárních algebraických rovnic : <input checked="" type="radio"/> Picard Možnosti : <input checked="" type="checkbox"/> Zohlednit příznivé tahové účinky : <input checked="" type="checkbox"/> Vztáhnout vnitřní síly na přetvořený systém pro: <input checked="" type="checkbox"/> Normálové síly N <input checked="" type="checkbox"/> Smykové síly V_y a V_z <input checked="" type="checkbox"/> Momenty M_y , M_z a M_T Aktivovat součinitele tuhosti: : <input checked="" type="checkbox"/> Průřezy (součinitel pro J , I_y , I_z , A , A_y , A_z) : <input checked="" type="checkbox"/> Pruty (faktor pro GJ , EI_y , EI_z , EA , GA_y , GA_z)
KZ496	1.8*ZS1 + 0.5*ZS5 + ZS9	Způsob výpočtu : <input checked="" type="radio"/> Analýza podle II. řádu (P-Delta) Metoda pro řešení systému nelineárních algebraických rovnic : <input checked="" type="radio"/> Picard



Projekt: Diplomová práce

Model: Diplomová Práce -KROV

Datum: 17.04.2021

Stropní nosník

Konstrukce Krovu

2.5.2 KOMBINACE ZATÍŽENÍ - PARAMETRY VÝPOČTU

Kombin. zatížení	Označení	Možnosti	Parametry výpočtu
KZ497	1.8*ZS1 + 0.5*ZS5 + ZS10	Možnosti	<input checked="" type="checkbox"/> Zohlednit příznivé tahové účinky <input checked="" type="checkbox"/> Vztáhnout vnitřní síly na přetvořený systém pro: <input checked="" type="checkbox"/> Normálové síly N <input checked="" type="checkbox"/> Smykové síly V_y a V_z <input checked="" type="checkbox"/> Momenty M_y , M_z a M_T
		Aktivovat součinitele tuhosti:	<input checked="" type="checkbox"/> Průřezy (součinitel pro J , I_y , I_z , A , A_y , A_z) <input checked="" type="checkbox"/> Pruty (faktor pro GJ , EI_y , EI_z , EA , GA_y , GA_z)
KZ498	1.8*ZS1 + 0.5*ZS5 + ZS11	Způsob výpočtu	<input checked="" type="radio"/> Analýza podle II. řádu (P-Delta)
		Metoda pro řešení systému nelineárních algebraických rovnic	<input checked="" type="radio"/> Picard
KZ499	1.8*ZS1 + 0.5*ZS7 + ZS8	Možnosti	<input checked="" type="checkbox"/> Zohlednit příznivé tahové účinky <input checked="" type="checkbox"/> Vztáhnout vnitřní síly na přetvořený systém pro: <input checked="" type="checkbox"/> Normálové síly N <input checked="" type="checkbox"/> Smykové síly V_y a V_z <input checked="" type="checkbox"/> Momenty M_y , M_z a M_T
		Aktivovat součinitele tuhosti:	<input checked="" type="checkbox"/> Průřezy (součinitel pro J , I_y , I_z , A , A_y , A_z) <input checked="" type="checkbox"/> Pruty (faktor pro GJ , EI_y , EI_z , EA , GA_y , GA_z)
KZ500	1.8*ZS1 + 0.5*ZS7 + ZS9	Způsob výpočtu	<input checked="" type="radio"/> Analýza podle II. řádu (P-Delta)
		Metoda pro řešení systému nelineárních algebraických rovnic	<input checked="" type="radio"/> Picard
KZ501	1.8*ZS1 + 0.5*ZS7 + ZS10	Možnosti	<input checked="" type="checkbox"/> Zohlednit příznivé tahové účinky <input checked="" type="checkbox"/> Vztáhnout vnitřní síly na přetvořený systém pro: <input checked="" type="checkbox"/> Normálové síly N <input checked="" type="checkbox"/> Smykové síly V_y a V_z <input checked="" type="checkbox"/> Momenty M_y , M_z a M_T
		Aktivovat součinitele tuhosti:	<input checked="" type="checkbox"/> Průřezy (součinitel pro J , I_y , I_z , A , A_y , A_z) <input checked="" type="checkbox"/> Pruty (faktor pro GJ , EI_y , EI_z , EA , GA_y , GA_z)
KZ502	1.8*ZS1 + 0.5*ZS7 + ZS11	Způsob výpočtu	<input checked="" type="radio"/> Analýza podle II. řádu (P-Delta)
		Metoda pro řešení systému nelineárních algebraických rovnic	<input checked="" type="radio"/> Picard
KZ503	1.8*ZS1 + 0.5*ZS4 + ZS8 + 0.94*ZS12	Možnosti	<input checked="" type="checkbox"/> Zohlednit příznivé tahové účinky <input checked="" type="checkbox"/> Vztáhnout vnitřní síly na přetvořený systém pro: <input checked="" type="checkbox"/> Normálové síly N <input checked="" type="checkbox"/> Smykové síly V_y a V_z <input checked="" type="checkbox"/> Momenty M_y , M_z a M_T
		Aktivovat součinitele tuhosti:	<input checked="" type="checkbox"/> Průřezy (součinitel pro J , I_y , I_z , A , A_y , A_z) <input checked="" type="checkbox"/> Pruty (faktor pro GJ , EI_y , EI_z , EA , GA_y , GA_z)
KZ504	1.8*ZS1 + 0.5*ZS4 + ZS9 + 0.94*ZS12	Způsob výpočtu	<input checked="" type="radio"/> Analýza podle II. řádu (P-Delta)
		Metoda pro řešení systému nelineárních algebraických rovnic	<input checked="" type="radio"/> Picard
		Možnosti	<input checked="" type="checkbox"/> Zohlednit příznivé tahové účinky



Projekt: Diplomová práce

Model: Diplomová Práce -KROV

Datum: 17.04.2021

Stropní nosník

Konstrukce Krovu

2.5.2 KOMBINACE ZATÍŽENÍ - PARAMETRY VÝPOČTU

Kombin. zatížení	Označení	Parametry výpočtu
		<input checked="" type="checkbox"/> Vztáhnout vnitřní síly na přetvořený systém pro: <input checked="" type="checkbox"/> Normálové síly N <input checked="" type="checkbox"/> Smykové síly V_y a V_z <input checked="" type="checkbox"/> Momenty M_y , M_z a M_T Aktivovat součinitele tuhosti: <input checked="" type="checkbox"/> Průřezy (součinitel pro J, I_y, I_z, A, A_y, A_z) <input checked="" type="checkbox"/> Pruty (faktor pro $GJ, EI_y, EI_z, EA, GA_y, GA_z$)
KZ505	1.8*ZS1 + 0.5*ZS4 + ZS10 + 0.94*ZS12	Způsob výpočtu: <input checked="" type="radio"/> Analýza podle II. řádu (P-Delta) Metoda pro řešení systému nelineárních algebraických rovnic: <input checked="" type="radio"/> Picard Možnosti: <input checked="" type="checkbox"/> Zohlednit příznivé tahové účinky <input checked="" type="checkbox"/> Vztáhnout vnitřní síly na přetvořený systém pro: <input checked="" type="checkbox"/> Normálové síly N <input checked="" type="checkbox"/> Smykové síly V_y a V_z <input checked="" type="checkbox"/> Momenty M_y , M_z a M_T Aktivovat součinitele tuhosti: <input checked="" type="checkbox"/> Průřezy (součinitel pro J, I_y, I_z, A, A_y, A_z) <input checked="" type="checkbox"/> Pruty (faktor pro $GJ, EI_y, EI_z, EA, GA_y, GA_z$)
KZ506	1.8*ZS1 + 0.5*ZS4 + ZS11 + 0.94*ZS12	Způsob výpočtu: <input checked="" type="radio"/> Analýza podle II. řádu (P-Delta) Metoda pro řešení systému nelineárních algebraických rovnic: <input checked="" type="radio"/> Picard Možnosti: <input checked="" type="checkbox"/> Zohlednit příznivé tahové účinky <input checked="" type="checkbox"/> Vztáhnout vnitřní síly na přetvořený systém pro: <input checked="" type="checkbox"/> Normálové síly N <input checked="" type="checkbox"/> Smykové síly V_y a V_z <input checked="" type="checkbox"/> Momenty M_y , M_z a M_T Aktivovat součinitele tuhosti: <input checked="" type="checkbox"/> Průřezy (součinitel pro J, I_y, I_z, A, A_y, A_z) <input checked="" type="checkbox"/> Pruty (faktor pro $GJ, EI_y, EI_z, EA, GA_y, GA_z$)
KZ507	1.8*ZS1 + 0.5*ZS5 + ZS8 + 0.94*ZS12	Způsob výpočtu: <input checked="" type="radio"/> Analýza podle II. řádu (P-Delta) Metoda pro řešení systému nelineárních algebraických rovnic: <input checked="" type="radio"/> Picard Možnosti: <input checked="" type="checkbox"/> Zohlednit příznivé tahové účinky <input checked="" type="checkbox"/> Vztáhnout vnitřní síly na přetvořený systém pro: <input checked="" type="checkbox"/> Normálové síly N <input checked="" type="checkbox"/> Smykové síly V_y a V_z <input checked="" type="checkbox"/> Momenty M_y , M_z a M_T Aktivovat součinitele tuhosti: <input checked="" type="checkbox"/> Průřezy (součinitel pro J, I_y, I_z, A, A_y, A_z) <input checked="" type="checkbox"/> Pruty (faktor pro $GJ, EI_y, EI_z, EA, GA_y, GA_z$)
KZ508	1.8*ZS1 + 0.5*ZS5 + ZS9 + 0.94*ZS12	Způsob výpočtu: <input checked="" type="radio"/> Analýza podle II. řádu (P-Delta) Metoda pro řešení systému nelineárních algebraických rovnic: <input checked="" type="radio"/> Picard Možnosti: <input checked="" type="checkbox"/> Zohlednit příznivé tahové účinky <input checked="" type="checkbox"/> Vztáhnout vnitřní síly na přetvořený systém pro: <input checked="" type="checkbox"/> Normálové síly N <input checked="" type="checkbox"/> Smykové síly V_y a V_z <input checked="" type="checkbox"/> Momenty M_y , M_z a M_T Aktivovat součinitele tuhosti: <input checked="" type="checkbox"/> Průřezy (součinitel pro J, I_y, I_z, A, A_y, A_z) <input checked="" type="checkbox"/> Pruty (faktor pro $GJ, EI_y, EI_z, EA, GA_y, GA_z$)
KZ509	1.8*ZS1 + 0.5*ZS5 + ZS10 + 0.94*ZS12	Způsob výpočtu: <input checked="" type="radio"/> Analýza podle II. řádu (P-Delta) Metoda pro řešení systému nelineárních algebraických rovnic: <input checked="" type="radio"/> Picard Možnosti: <input checked="" type="checkbox"/> Zohlednit příznivé tahové účinky <input checked="" type="checkbox"/> Vztáhnout vnitřní síly na přetvořený systém pro: <input checked="" type="checkbox"/> Normálové síly N <input checked="" type="checkbox"/> Smykové síly V_y a V_z <input checked="" type="checkbox"/> Momenty M_y , M_z a M_T Aktivovat součinitele tuhosti: <input checked="" type="checkbox"/> Průřezy (součinitel pro J, I_y, I_z, A, A_y, A_z) <input checked="" type="checkbox"/> Pruty (faktor pro $GJ, EI_y, EI_z, EA, GA_y, GA_z$)
KZ510	1.8*ZS1 + 0.5*ZS5 + ZS11 + 0.94*ZS12	Způsob výpočtu: <input checked="" type="radio"/> Analýza podle II. řádu (P-Delta) Metoda pro řešení systému nelineárních algebraických rovnic: <input checked="" type="radio"/> Picard Možnosti: <input checked="" type="checkbox"/> Zohlednit příznivé tahové účinky <input checked="" type="checkbox"/> Vztáhnout vnitřní síly na přetvořený systém pro: <input checked="" type="checkbox"/> Normálové síly N <input checked="" type="checkbox"/> Smykové síly V_y a V_z <input checked="" type="checkbox"/> Momenty M_y , M_z a M_T Aktivovat součinitele tuhosti: <input checked="" type="checkbox"/> Průřezy (součinitel pro J, I_y, I_z, A, A_y, A_z) <input checked="" type="checkbox"/> Pruty (faktor pro $GJ, EI_y, EI_z, EA, GA_y, GA_z$)
KZ511	1.8*ZS1 + 0.5*ZS7 + ZS8 + 0.94*ZS12	Způsob výpočtu: <input checked="" type="radio"/> Analýza podle II. řádu (P-Delta) Metoda pro řešení systému nelineárních algebraických rovnic: <input checked="" type="radio"/> Picard Možnosti: <input checked="" type="checkbox"/> Zohlednit příznivé tahové účinky <input checked="" type="checkbox"/> Vztáhnout vnitřní síly na přetvořený systém pro: <input checked="" type="checkbox"/> Normálové síly N <input checked="" type="checkbox"/> Smykové síly V_y a V_z <input checked="" type="checkbox"/> Momenty M_y , M_z a M_T Aktivovat součinitele tuhosti: <input checked="" type="checkbox"/> Průřezy (součinitel pro J, I_y, I_z, A, A_y, A_z) <input checked="" type="checkbox"/> Pruty (faktor pro $GJ, EI_y, EI_z, EA, GA_y, GA_z$)



Projekt: Diplomová práce

Model: Diplomová Práce -KROV

Datum: 17.04.2021

Stropní nosník

Konstrukce Krovu

2.5.2 KOMBINACE ZATÍŽENÍ - PARAMETRY VÝPOČTU

Kombin. zatížení	Označení	Parametry výpočtu
KZ512	$1.8 \cdot ZS1 + 0.5 \cdot ZS7 + ZS9 + 0.94 \cdot ZS12$	Způsob výpočtu : <input checked="" type="radio"/> Analýza podle II. řádu (P-Delta) Metoda pro řešení systému nelineárních algebraických rovnic : <input checked="" type="radio"/> Picard Možnosti : <input checked="" type="checkbox"/> Zohlednit příznivé tahové účinky : <input checked="" type="checkbox"/> Vztáhnout vnitřní síly na přetvořený systém pro: : <input checked="" type="checkbox"/> Normálové síly N : <input checked="" type="checkbox"/> Smykové síly V_y a V_z : <input checked="" type="checkbox"/> Momenty M_y , M_z a M_T Aktivovat součinitele tuhosti: : <input checked="" type="checkbox"/> Průřezy (součinitel pro J , I_y , I_z , A , A_y , A_z) : <input checked="" type="checkbox"/> Pruty (faktor pro GJ , EI_y , EI_z , EA , GA_y , GA_z)
KZ513	$1.8 \cdot ZS1 + 0.5 \cdot ZS7 + ZS10 + 0.94 \cdot ZS12$	Způsob výpočtu : <input checked="" type="radio"/> Analýza podle II. řádu (P-Delta) Metoda pro řešení systému nelineárních algebraických rovnic : <input checked="" type="radio"/> Picard Možnosti : <input checked="" type="checkbox"/> Zohlednit příznivé tahové účinky : <input checked="" type="checkbox"/> Vztáhnout vnitřní síly na přetvořený systém pro: : <input checked="" type="checkbox"/> Normálové síly N : <input checked="" type="checkbox"/> Smykové síly V_y a V_z : <input checked="" type="checkbox"/> Momenty M_y , M_z a M_T Aktivovat součinitele tuhosti: : <input checked="" type="checkbox"/> Průřezy (součinitel pro J , I_y , I_z , A , A_y , A_z) : <input checked="" type="checkbox"/> Pruty (faktor pro GJ , EI_y , EI_z , EA , GA_y , GA_z)
KZ514	$1.8 \cdot ZS1 + 0.5 \cdot ZS7 + ZS11 + 0.94 \cdot ZS12$	Způsob výpočtu : <input checked="" type="radio"/> Analýza podle II. řádu (P-Delta) Metoda pro řešení systému nelineárních algebraických rovnic : <input checked="" type="radio"/> Picard Možnosti : <input checked="" type="checkbox"/> Zohlednit příznivé tahové účinky : <input checked="" type="checkbox"/> Vztáhnout vnitřní síly na přetvořený systém pro: : <input checked="" type="checkbox"/> Normálové síly N : <input checked="" type="checkbox"/> Smykové síly V_y a V_z : <input checked="" type="checkbox"/> Momenty M_y , M_z a M_T Aktivovat součinitele tuhosti: : <input checked="" type="checkbox"/> Průřezy (součinitel pro J , I_y , I_z , A , A_y , A_z) : <input checked="" type="checkbox"/> Pruty (faktor pro GJ , EI_y , EI_z , EA , GA_y , GA_z)
KZ515	$1.8 \cdot ZS1 + ZS8 + 0.94 \cdot ZS12$	Způsob výpočtu : <input checked="" type="radio"/> Analýza podle II. řádu (P-Delta) Metoda pro řešení systému nelineárních algebraických rovnic : <input checked="" type="radio"/> Picard Možnosti : <input checked="" type="checkbox"/> Zohlednit příznivé tahové účinky : <input checked="" type="checkbox"/> Vztáhnout vnitřní síly na přetvořený systém pro: : <input checked="" type="checkbox"/> Normálové síly N : <input checked="" type="checkbox"/> Smykové síly V_y a V_z : <input checked="" type="checkbox"/> Momenty M_y , M_z a M_T Aktivovat součinitele tuhosti: : <input checked="" type="checkbox"/> Průřezy (součinitel pro J , I_y , I_z , A , A_y , A_z) : <input checked="" type="checkbox"/> Pruty (faktor pro GJ , EI_y , EI_z , EA , GA_y , GA_z)
KZ516	$1.8 \cdot ZS1 + ZS9 + 0.94 \cdot ZS12$	Způsob výpočtu : <input checked="" type="radio"/> Analýza podle II. řádu (P-Delta) Metoda pro řešení systému nelineárních algebraických rovnic : <input checked="" type="radio"/> Picard Možnosti : <input checked="" type="checkbox"/> Zohlednit příznivé tahové účinky : <input checked="" type="checkbox"/> Vztáhnout vnitřní síly na přetvořený systém pro: : <input checked="" type="checkbox"/> Normálové síly N : <input checked="" type="checkbox"/> Smykové síly V_y a V_z : <input checked="" type="checkbox"/> Momenty M_y , M_z a M_T Aktivovat součinitele tuhosti: : <input checked="" type="checkbox"/> Průřezy (součinitel pro J , I_y , I_z , A , A_y , A_z) : <input checked="" type="checkbox"/> Pruty (faktor pro GJ , EI_y , EI_z , EA , GA_y , GA_z)
KZ517	$1.8 \cdot ZS1 + ZS10 + 0.94 \cdot ZS12$	Způsob výpočtu : <input checked="" type="radio"/> Analýza podle II. řádu (P-Delta) Metoda pro řešení systému nelineárních algebraických rovnic : <input checked="" type="radio"/> Picard Možnosti : <input checked="" type="checkbox"/> Zohlednit příznivé tahové účinky : <input checked="" type="checkbox"/> Vztáhnout vnitřní síly na přetvořený systém pro: : <input checked="" type="checkbox"/> Normálové síly N : <input checked="" type="checkbox"/> Smykové síly V_y a V_z : <input checked="" type="checkbox"/> Momenty M_y , M_z a M_T Aktivovat součinitele tuhosti: : <input checked="" type="checkbox"/> Průřezy (součinitel pro J , I_y , I_z , A , A_y , A_z) : <input checked="" type="checkbox"/> Pruty (faktor pro GJ , EI_y , EI_z , EA , GA_y , GA_z)
KZ518	$1.8 \cdot ZS1 + ZS11 + 0.94 \cdot ZS12$	Způsob výpočtu : <input checked="" type="radio"/> Analýza podle II. řádu (P-Delta) Metoda pro řešení systému nelineárních algebraických rovnic : <input checked="" type="radio"/> Picard Možnosti : <input checked="" type="checkbox"/> Zohlednit příznivé tahové účinky : <input checked="" type="checkbox"/> Vztáhnout vnitřní síly na přetvořený systém pro: : <input checked="" type="checkbox"/> Normálové síly N : <input checked="" type="checkbox"/> Smykové síly V_y a V_z : <input checked="" type="checkbox"/> Momenty M_y , M_z a M_T Aktivovat součinitele tuhosti: : <input checked="" type="checkbox"/> Průřezy (součinitel pro J , I_y , I_z , A , A_y , A_z) : <input checked="" type="checkbox"/> Pruty (faktor pro GJ , EI_y , EI_z , EA , GA_y , GA_z)
KZ519	$1.8 \cdot ZS1 + 1.24 \cdot ZS12$	Způsob výpočtu : <input checked="" type="radio"/> Analýza podle II. řádu (P-Delta) Metoda pro řešení systému nelineárních algebraických rovnic : <input checked="" type="radio"/> Picard Možnosti : <input checked="" type="checkbox"/> Zohlednit příznivé tahové účinky : <input checked="" type="checkbox"/> Vztáhnout vnitřní síly na přetvořený systém pro: : <input checked="" type="checkbox"/> Normálové síly N : <input checked="" type="checkbox"/> Smykové síly V_y a V_z : <input checked="" type="checkbox"/> Momenty M_y , M_z a M_T Aktivovat součinitele tuhosti: : <input checked="" type="checkbox"/> Průřezy (součinitel pro J , I_y , I_z , A , A_y , A_z) : <input checked="" type="checkbox"/> Pruty (faktor pro GJ , EI_y , EI_z , EA , GA_y , GA_z)



Projekt: Diplomová práce

Model: Diplomová Práce -KROV

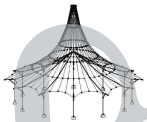
Datum: 17.04.2021

Stropní nosník

Konstrukce Krovu

2.5.2 KOMBINACE ZATÍŽENÍ - PARAMETRY VÝPOČTU

Kombin. zatížení	Označení	Parametry výpočtu
KZ520	1.8*ZS1 + 1.8*ZS2 + 1.24*ZS12	Způsob výpočtu : <input checked="" type="radio"/> Analýza podle II. řádu (P-Delta) Metoda pro řešení systému nelineárních algebraických rovnic : <input checked="" type="radio"/> Picard Možnosti : <input checked="" type="checkbox"/> Zohlednit příznivé tahové účinky <input checked="" type="checkbox"/> Vztáhnout vnitřní síly na přetvoření systému pro: <input checked="" type="checkbox"/> Normálové síly N <input checked="" type="checkbox"/> Smykové síly V_y a V_z <input checked="" type="checkbox"/> Momenty M_y , M_z a M_T Aktivovat součinitele tuhosti: : <input checked="" type="checkbox"/> Průřezy (součinitel pro J, I_y, I_z, A, A_y, A_z) <input checked="" type="checkbox"/> Pruty (faktor pro $GJ, E I_y, E I_z, EA, GA_y, GA_z$)
KZ521	1.8*ZS1 + 1.8*ZS2 + 0.5*ZS4 + 1.24*ZS12	Způsob výpočtu : <input checked="" type="radio"/> Analýza podle II. řádu (P-Delta) Metoda pro řešení systému nelineárních algebraických rovnic : <input checked="" type="radio"/> Picard Možnosti : <input checked="" type="checkbox"/> Zohlednit příznivé tahové účinky <input checked="" type="checkbox"/> Vztáhnout vnitřní síly na přetvoření systému pro: <input checked="" type="checkbox"/> Normálové síly N <input checked="" type="checkbox"/> Smykové síly V_y a V_z <input checked="" type="checkbox"/> Momenty M_y , M_z a M_T Aktivovat součinitele tuhosti: : <input checked="" type="checkbox"/> Průřezy (součinitel pro J, I_y, I_z, A, A_y, A_z) <input checked="" type="checkbox"/> Pruty (faktor pro $GJ, E I_y, E I_z, EA, GA_y, GA_z$)
KZ522	1.8*ZS1 + 1.8*ZS2 + 0.5*ZS5 + 1.24*ZS12	Způsob výpočtu : <input checked="" type="radio"/> Analýza podle II. řádu (P-Delta) Metoda pro řešení systému nelineárních algebraických rovnic : <input checked="" type="radio"/> Picard Možnosti : <input checked="" type="checkbox"/> Zohlednit příznivé tahové účinky <input checked="" type="checkbox"/> Vztáhnout vnitřní síly na přetvoření systému pro: <input checked="" type="checkbox"/> Normálové síly N <input checked="" type="checkbox"/> Smykové síly V_y a V_z <input checked="" type="checkbox"/> Momenty M_y , M_z a M_T Aktivovat součinitele tuhosti: : <input checked="" type="checkbox"/> Průřezy (součinitel pro J, I_y, I_z, A, A_y, A_z) <input checked="" type="checkbox"/> Pruty (faktor pro $GJ, E I_y, E I_z, EA, GA_y, GA_z$)
KZ523	1.8*ZS1 + 1.8*ZS2 + 0.5*ZS7 + 1.24*ZS12	Způsob výpočtu : <input checked="" type="radio"/> Analýza podle II. řádu (P-Delta) Metoda pro řešení systému nelineárních algebraických rovnic : <input checked="" type="radio"/> Picard Možnosti : <input checked="" type="checkbox"/> Zohlednit příznivé tahové účinky <input checked="" type="checkbox"/> Vztáhnout vnitřní síly na přetvoření systému pro: <input checked="" type="checkbox"/> Normálové síly N <input checked="" type="checkbox"/> Smykové síly V_y a V_z <input checked="" type="checkbox"/> Momenty M_y , M_z a M_T Aktivovat součinitele tuhosti: : <input checked="" type="checkbox"/> Průřezy (součinitel pro J, I_y, I_z, A, A_y, A_z) <input checked="" type="checkbox"/> Pruty (faktor pro $GJ, E I_y, E I_z, EA, GA_y, GA_z$)
KZ524	1.8*ZS1 + 1.8*ZS2 + 0.5*ZS4 + 0.6*ZS8 + 1.24*ZS12	Způsob výpočtu : <input checked="" type="radio"/> Analýza podle II. řádu (P-Delta) Metoda pro řešení systému nelineárních algebraických rovnic : <input checked="" type="radio"/> Picard Možnosti : <input checked="" type="checkbox"/> Zohlednit příznivé tahové účinky <input checked="" type="checkbox"/> Vztáhnout vnitřní síly na přetvoření systému pro: <input checked="" type="checkbox"/> Normálové síly N <input checked="" type="checkbox"/> Smykové síly V_y a V_z <input checked="" type="checkbox"/> Momenty M_y , M_z a M_T Aktivovat součinitele tuhosti: : <input checked="" type="checkbox"/> Průřezy (součinitel pro J, I_y, I_z, A, A_y, A_z) <input checked="" type="checkbox"/> Pruty (faktor pro $GJ, E I_y, E I_z, EA, GA_y, GA_z$)
KZ525	1.8*ZS1 + 1.8*ZS2 + 0.5*ZS4 + 0.6*ZS9 + 1.24*ZS12	Způsob výpočtu : <input checked="" type="radio"/> Analýza podle II. řádu (P-Delta) Metoda pro řešení systému nelineárních algebraických rovnic : <input checked="" type="radio"/> Picard Možnosti : <input checked="" type="checkbox"/> Zohlednit příznivé tahové účinky <input checked="" type="checkbox"/> Vztáhnout vnitřní síly na přetvoření systému pro: <input checked="" type="checkbox"/> Normálové síly N <input checked="" type="checkbox"/> Smykové síly V_y a V_z <input checked="" type="checkbox"/> Momenty M_y , M_z a M_T Aktivovat součinitele tuhosti: : <input checked="" type="checkbox"/> Průřezy (součinitel pro J, I_y, I_z, A, A_y, A_z) <input checked="" type="checkbox"/> Pruty (faktor pro $GJ, E I_y, E I_z, EA, GA_y, GA_z$)
KZ526	1.8*ZS1 + 1.8*ZS2 + 0.5*ZS4 + 0.6*ZS10 + 1.24*ZS12	Způsob výpočtu : <input checked="" type="radio"/> Analýza podle II. řádu (P-Delta) Metoda pro řešení systému nelineárních algebraických rovnic : <input checked="" type="radio"/> Picard Možnosti : <input checked="" type="checkbox"/> Zohlednit příznivé tahové účinky <input checked="" type="checkbox"/> Vztáhnout vnitřní síly na přetvoření systému pro: <input checked="" type="checkbox"/> Normálové síly N <input checked="" type="checkbox"/> Smykové síly V_y a V_z <input checked="" type="checkbox"/> Momenty M_y , M_z a M_T Aktivovat součinitele tuhosti: : <input checked="" type="checkbox"/> Průřezy (součinitel pro J, I_y, I_z, A, A_y, A_z) <input checked="" type="checkbox"/> Pruty (faktor pro $GJ, E I_y, E I_z, EA, GA_y, GA_z$)
KZ527	1.8*ZS1 + 1.8*ZS2 + 0.5*ZS4 + 0.6*ZS11 + 1.24*ZS12	Způsob výpočtu : <input checked="" type="radio"/> Analýza podle II. řádu (P-Delta) Metoda pro řešení systému nelineárních algebraických rovnic : <input checked="" type="radio"/> Picard Možnosti : <input checked="" type="checkbox"/> Zohlednit příznivé tahové účinky <input checked="" type="checkbox"/> Vztáhnout vnitřní síly na přetvoření systému pro: <input checked="" type="checkbox"/> Normálové síly N



Projekt: Diplomová práce

Model: Diplomová Práce -KROV

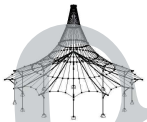
Datum: 17.04.2021

Stropní nosník

Konstrukce Krovu

2.5.2 KOMBINACE ZATÍŽENÍ - PARAMETRY VÝPOČTU

Kombin. zatížení	Označení	Parametry výpočtu
		<input checked="" type="checkbox"/> Smykové síly V_y a V_z <input checked="" type="checkbox"/> Momenty M_y , M_z a M_T
		Aktivovat součinitele tuhosti: <input checked="" type="checkbox"/> Průřezy (součinitel pro J_y , I_z , A , A_y , A_z) <input checked="" type="checkbox"/> Pruty (faktor pro GJ , EI_y , EI_z , EA , GA_y , GA_z)
KZ528	$1.8 \cdot ZS1 + 1.8 \cdot ZS2 + 0.5 \cdot ZS5 + 0.6 \cdot ZS8 + 1.24 \cdot ZS12$	Způsob výpočtu <input checked="" type="checkbox"/> Analýza podle II. řádu (P-Delta) Metoda pro řešení systému nelineárních algebraických rovnic <input checked="" type="checkbox"/> Picard Možnosti <input checked="" type="checkbox"/> Zohlednit příznivé tahové účinky <input checked="" type="checkbox"/> Vztáhnout vnitřní síly na přetvoření systému pro: <input checked="" type="checkbox"/> Normálové síly N <input checked="" type="checkbox"/> Smykové síly V_y a V_z <input checked="" type="checkbox"/> Momenty M_y , M_z a M_T
KZ529	$1.8 \cdot ZS1 + 1.8 \cdot ZS2 + 0.5 \cdot ZS5 + 0.6 \cdot ZS9 + 1.24 \cdot ZS12$	Způsob výpočtu <input checked="" type="checkbox"/> Analýza podle II. řádu (P-Delta) Metoda pro řešení systému nelineárních algebraických rovnic <input checked="" type="checkbox"/> Picard Možnosti <input checked="" type="checkbox"/> Zohlednit příznivé tahové účinky <input checked="" type="checkbox"/> Vztáhnout vnitřní síly na přetvoření systému pro: <input checked="" type="checkbox"/> Normálové síly N <input checked="" type="checkbox"/> Smykové síly V_y a V_z <input checked="" type="checkbox"/> Momenty M_y , M_z a M_T
KZ530	$1.8 \cdot ZS1 + 1.8 \cdot ZS2 + 0.5 \cdot ZS5 + 0.6 \cdot ZS10 + 1.24 \cdot ZS12$	Způsob výpočtu <input checked="" type="checkbox"/> Analýza podle II. řádu (P-Delta) Metoda pro řešení systému nelineárních algebraických rovnic <input checked="" type="checkbox"/> Picard Možnosti <input checked="" type="checkbox"/> Zohlednit příznivé tahové účinky <input checked="" type="checkbox"/> Vztáhnout vnitřní síly na přetvoření systému pro: <input checked="" type="checkbox"/> Normálové síly N <input checked="" type="checkbox"/> Smykové síly V_y a V_z <input checked="" type="checkbox"/> Momenty M_y , M_z a M_T
KZ531	$1.8 \cdot ZS1 + 1.8 \cdot ZS2 + 0.5 \cdot ZS5 + 0.6 \cdot ZS11 + 1.24 \cdot ZS12$	Způsob výpočtu <input checked="" type="checkbox"/> Analýza podle II. řádu (P-Delta) Metoda pro řešení systému nelineárních algebraických rovnic <input checked="" type="checkbox"/> Picard Možnosti <input checked="" type="checkbox"/> Zohlednit příznivé tahové účinky <input checked="" type="checkbox"/> Vztáhnout vnitřní síly na přetvoření systému pro: <input checked="" type="checkbox"/> Normálové síly N <input checked="" type="checkbox"/> Smykové síly V_y a V_z <input checked="" type="checkbox"/> Momenty M_y , M_z a M_T
KZ532	$1.8 \cdot ZS1 + 1.8 \cdot ZS2 + 0.5 \cdot ZS7 + 0.6 \cdot ZS8 + 1.24 \cdot ZS12$	Způsob výpočtu <input checked="" type="checkbox"/> Analýza podle II. řádu (P-Delta) Metoda pro řešení systému nelineárních algebraických rovnic <input checked="" type="checkbox"/> Picard Možnosti <input checked="" type="checkbox"/> Zohlednit příznivé tahové účinky <input checked="" type="checkbox"/> Vztáhnout vnitřní síly na přetvoření systému pro: <input checked="" type="checkbox"/> Normálové síly N <input checked="" type="checkbox"/> Smykové síly V_y a V_z <input checked="" type="checkbox"/> Momenty M_y , M_z a M_T
KZ533	$1.8 \cdot ZS1 + 1.8 \cdot ZS2 + 0.5 \cdot ZS7 + 0.6 \cdot ZS9 + 1.24 \cdot ZS12$	Způsob výpočtu <input checked="" type="checkbox"/> Analýza podle II. řádu (P-Delta) Metoda pro řešení systému nelineárních algebraických rovnic <input checked="" type="checkbox"/> Picard Možnosti <input checked="" type="checkbox"/> Zohlednit příznivé tahové účinky <input checked="" type="checkbox"/> Vztáhnout vnitřní síly na přetvoření systému pro: <input checked="" type="checkbox"/> Normálové síly N <input checked="" type="checkbox"/> Smykové síly V_y a V_z <input checked="" type="checkbox"/> Momenty M_y , M_z a M_T
KZ534	$1.8 \cdot ZS1 + 1.8 \cdot ZS2 + 0.5 \cdot ZS7 + 0.6 \cdot ZS10 + 1.24 \cdot ZS12$	Způsob výpočtu <input checked="" type="checkbox"/> Analýza podle II. řádu (P-Delta) Metoda pro řešení systému nelineárních algebraických rovnic <input checked="" type="checkbox"/> Picard Možnosti <input checked="" type="checkbox"/> Zohlednit příznivé tahové účinky <input checked="" type="checkbox"/> Vztáhnout vnitřní síly na přetvoření systému pro: <input checked="" type="checkbox"/> Normálové síly N <input checked="" type="checkbox"/> Smykové síly V_y a V_z <input checked="" type="checkbox"/> Momenty M_y , M_z a M_T
KZ535	$1.8 \cdot ZS1 + 1.8 \cdot ZS2 + 0.5 \cdot ZS7 + 0.6 \cdot ZS11 + 1.24 \cdot ZS12$	Způsob výpočtu <input checked="" type="checkbox"/> Analýza podle II. řádu (P-Delta) Metoda pro řešení systému n <input checked="" type="checkbox"/> Picard



Projekt: Diplomová práce

Model: Diplomová Práce -KROV

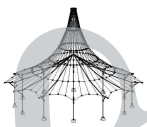
Datum: 17.04.2021

Stropní nosník

Konstrukce Krovu

2.5.2 KOMBINACE ZATÍŽENÍ - PARAMETRY VÝPOČTU

Kombin. zatížení	Označení	Parametry výpočtu
		nelineárních algebraických rovnic Možnosti : <input checked="" type="checkbox"/> Zohlednit příznivé tahové účinky <input checked="" type="checkbox"/> Vztáhnout vnitřní síly na přetvořený systém pro: <input checked="" type="checkbox"/> Normálové síly N <input checked="" type="checkbox"/> Smykové síly V_y a V_z <input checked="" type="checkbox"/> Momenty M_y , M_z a M_T Aktivovat součinitele tuhosti: : <input checked="" type="checkbox"/> Průřezy (součinitel pro J , I_y , I_z , A , A_y , A_z) <input checked="" type="checkbox"/> Pruty (faktor pro GJ , EI_y , EI_z , EA , GA_y , GA_z)
KZ536	$1.8^*ZS1 + 1.8^*ZS2 + 0.6^*ZS8 + 1.24^*ZS12$	Způsob výpočtu : <input checked="" type="radio"/> Analýza podle II. řádu (P-Delta) Metoda pro řešení systému nelineárních algebraických rovnic : <input checked="" type="radio"/> Picard Možnosti : <input checked="" type="checkbox"/> Zohlednit příznivé tahové účinky <input checked="" type="checkbox"/> Vztáhnout vnitřní síly na přetvořený systém pro: <input checked="" type="checkbox"/> Normálové síly N <input checked="" type="checkbox"/> Smykové síly V_y a V_z <input checked="" type="checkbox"/> Momenty M_y , M_z a M_T Aktivovat součinitele tuhosti: : <input checked="" type="checkbox"/> Průřezy (součinitel pro J , I_y , I_z , A , A_y , A_z) <input checked="" type="checkbox"/> Pruty (faktor pro GJ , EI_y , EI_z , EA , GA_y , GA_z)
KZ537	$1.8^*ZS1 + 1.8^*ZS2 + 0.6^*ZS9 + 1.24^*ZS12$	Způsob výpočtu : <input checked="" type="radio"/> Analýza podle II. řádu (P-Delta) Metoda pro řešení systému nelineárních algebraických rovnic : <input checked="" type="radio"/> Picard Možnosti : <input checked="" type="checkbox"/> Zohlednit příznivé tahové účinky <input checked="" type="checkbox"/> Vztáhnout vnitřní síly na přetvořený systém pro: <input checked="" type="checkbox"/> Normálové síly N <input checked="" type="checkbox"/> Smykové síly V_y a V_z <input checked="" type="checkbox"/> Momenty M_y , M_z a M_T Aktivovat součinitele tuhosti: : <input checked="" type="checkbox"/> Průřezy (součinitel pro J , I_y , I_z , A , A_y , A_z) <input checked="" type="checkbox"/> Pruty (faktor pro GJ , EI_y , EI_z , EA , GA_y , GA_z)
KZ538	$1.8^*ZS1 + 1.8^*ZS2 + 0.6^*ZS10 + 1.24^*ZS12$	Způsob výpočtu : <input checked="" type="radio"/> Analýza podle II. řádu (P-Delta) Metoda pro řešení systému nelineárních algebraických rovnic : <input checked="" type="radio"/> Picard Možnosti : <input checked="" type="checkbox"/> Zohlednit příznivé tahové účinky <input checked="" type="checkbox"/> Vztáhnout vnitřní síly na přetvořený systém pro: <input checked="" type="checkbox"/> Normálové síly N <input checked="" type="checkbox"/> Smykové síly V_y a V_z <input checked="" type="checkbox"/> Momenty M_y , M_z a M_T Aktivovat součinitele tuhosti: : <input checked="" type="checkbox"/> Průřezy (součinitel pro J , I_y , I_z , A , A_y , A_z) <input checked="" type="checkbox"/> Pruty (faktor pro GJ , EI_y , EI_z , EA , GA_y , GA_z)
KZ539	$1.8^*ZS1 + 1.8^*ZS2 + 0.6^*ZS11 + 1.24^*ZS12$	Způsob výpočtu : <input checked="" type="radio"/> Analýza podle II. řádu (P-Delta) Metoda pro řešení systému nelineárních algebraických rovnic : <input checked="" type="radio"/> Picard Možnosti : <input checked="" type="checkbox"/> Zohlednit příznivé tahové účinky <input checked="" type="checkbox"/> Vztáhnout vnitřní síly na přetvořený systém pro: <input checked="" type="checkbox"/> Normálové síly N <input checked="" type="checkbox"/> Smykové síly V_y a V_z <input checked="" type="checkbox"/> Momenty M_y , M_z a M_T Aktivovat součinitele tuhosti: : <input checked="" type="checkbox"/> Průřezy (součinitel pro J , I_y , I_z , A , A_y , A_z) <input checked="" type="checkbox"/> Pruty (faktor pro GJ , EI_y , EI_z , EA , GA_y , GA_z)
KZ540	$1.8^*ZS1 + 0.5^*ZS4 + 1.24^*ZS12$	Způsob výpočtu : <input checked="" type="radio"/> Analýza podle II. řádu (P-Delta) Metoda pro řešení systému nelineárních algebraických rovnic : <input checked="" type="radio"/> Picard Možnosti : <input checked="" type="checkbox"/> Zohlednit příznivé tahové účinky <input checked="" type="checkbox"/> Vztáhnout vnitřní síly na přetvořený systém pro: <input checked="" type="checkbox"/> Normálové síly N <input checked="" type="checkbox"/> Smykové síly V_y a V_z <input checked="" type="checkbox"/> Momenty M_y , M_z a M_T Aktivovat součinitele tuhosti: : <input checked="" type="checkbox"/> Průřezy (součinitel pro J , I_y , I_z , A , A_y , A_z) <input checked="" type="checkbox"/> Pruty (faktor pro GJ , EI_y , EI_z , EA , GA_y , GA_z)
KZ541	$1.8^*ZS1 + 0.5^*ZS5 + 1.24^*ZS12$	Způsob výpočtu : <input checked="" type="radio"/> Analýza podle II. řádu (P-Delta) Metoda pro řešení systému nelineárních algebraických rovnic : <input checked="" type="radio"/> Picard Možnosti : <input checked="" type="checkbox"/> Zohlednit příznivé tahové účinky <input checked="" type="checkbox"/> Vztáhnout vnitřní síly na přetvořený systém pro: <input checked="" type="checkbox"/> Normálové síly N <input checked="" type="checkbox"/> Smykové síly V_y a V_z <input checked="" type="checkbox"/> Momenty M_y , M_z a M_T Aktivovat součinitele tuhosti: : <input checked="" type="checkbox"/> Průřezy (součinitel pro J , I_y , I_z , A , A_y , A_z) <input checked="" type="checkbox"/> Pruty (faktor pro GJ , EI_y , EI_z , EA , GA_y , GA_z)
KZ542	$1.8^*ZS1 + 0.5^*ZS7 + 1.24^*ZS12$	Způsob výpočtu : <input checked="" type="radio"/> Analýza podle II. řádu (P-Delta) Metoda pro řešení systému nelineárních algebraických rovnic : <input checked="" type="radio"/> Picard Možnosti : <input checked="" type="checkbox"/> Zohlednit příznivé tahové účinky <input checked="" type="checkbox"/> Vztáhnout vnitřní síly na přetvořený systém pro: <input checked="" type="checkbox"/> Normálové síly N <input checked="" type="checkbox"/> Smykové síly V_y a V_z <input checked="" type="checkbox"/> Momenty M_y , M_z a M_T Aktivovat součinitele tuhosti: : <input checked="" type="checkbox"/> Průřezy (součinitel pro J , I_y , I_z , A , A_y , A_z) <input checked="" type="checkbox"/> Pruty (faktor pro GJ , EI_y , EI_z , EA , GA_y , GA_z)
KZ543	$1.8^*ZS1 + 0.5^*ZS4 + 0.6^*ZS8 + 1$	Způsob výpočtu : <input checked="" type="radio"/> Analýza podle II. řádu (P-Delta)



Projekt: Diplomová práce

Model: Diplomová Práce -KROV

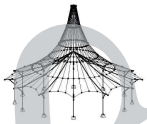
Datum: 17.04.2021

Stropní nosník

Konstrukce Krovu

2.5.2 KOMBINACE ZATÍŽENÍ - PARAMETRY VÝPOČTU

Kombin. zatížení	Označení	Parametry výpočtu
	1.24*ZS12	Metoda pro řešení systému nelineárních algebraických rovnic Možnosti : <input type="radio"/> Picard <input checked="" type="checkbox"/> Zohlednit příznivé tahové účinky <input checked="" type="checkbox"/> Vztáhnout vnitřní síly na přetvoření systém pro: <input checked="" type="checkbox"/> Normálové síly N <input checked="" type="checkbox"/> Smykové síly V_y a V_z <input checked="" type="checkbox"/> Momenty M_y , M_z a M_T Aktivovat součinitele tuhosti: <input checked="" type="checkbox"/> Průřezy (součinitel pro J, I_y, I_z, A, A_y, A_z) <input checked="" type="checkbox"/> Pruty (faktor pro $GJ, EI_y, EI_z, EA, GA_y, GA_z$)
KZ544	1.8*ZS1 + 0.5*ZS4 + 0.6*ZS9 + 1.24*ZS12	Způsob výpočtu : <input type="radio"/> Analýza podle II. řádu (P-Delta) Metoda pro řešení systému nelineárních algebraických rovnic Možnosti : <input type="radio"/> Picard <input checked="" type="checkbox"/> Zohlednit příznivé tahové účinky <input checked="" type="checkbox"/> Vztáhnout vnitřní síly na přetvoření systém pro: <input checked="" type="checkbox"/> Normálové síly N <input checked="" type="checkbox"/> Smykové síly V_y a V_z <input checked="" type="checkbox"/> Momenty M_y , M_z a M_T Aktivovat součinitele tuhosti: <input checked="" type="checkbox"/> Průřezy (součinitel pro J, I_y, I_z, A, A_y, A_z) <input checked="" type="checkbox"/> Pruty (faktor pro $GJ, EI_y, EI_z, EA, GA_y, GA_z$)
KZ545	1.8*ZS1 + 0.5*ZS4 + 0.6*ZS10 + 1.24*ZS12	Způsob výpočtu : <input type="radio"/> Analýza podle II. řádu (P-Delta) Metoda pro řešení systému nelineárních algebraických rovnic Možnosti : <input type="radio"/> Picard <input checked="" type="checkbox"/> Zohlednit příznivé tahové účinky <input checked="" type="checkbox"/> Vztáhnout vnitřní síly na přetvoření systém pro: <input checked="" type="checkbox"/> Normálové síly N <input checked="" type="checkbox"/> Smykové síly V_y a V_z <input checked="" type="checkbox"/> Momenty M_y , M_z a M_T Aktivovat součinitele tuhosti: <input checked="" type="checkbox"/> Průřezy (součinitel pro J, I_y, I_z, A, A_y, A_z) <input checked="" type="checkbox"/> Pruty (faktor pro $GJ, EI_y, EI_z, EA, GA_y, GA_z$)
KZ546	1.8*ZS1 + 0.5*ZS4 + 0.6*ZS11 + 1.24*ZS12	Způsob výpočtu : <input type="radio"/> Analýza podle II. řádu (P-Delta) Metoda pro řešení systému nelineárních algebraických rovnic Možnosti : <input type="radio"/> Picard <input checked="" type="checkbox"/> Zohlednit příznivé tahové účinky <input checked="" type="checkbox"/> Vztáhnout vnitřní síly na přetvoření systém pro: <input checked="" type="checkbox"/> Normálové síly N <input checked="" type="checkbox"/> Smykové síly V_y a V_z <input checked="" type="checkbox"/> Momenty M_y , M_z a M_T Aktivovat součinitele tuhosti: <input checked="" type="checkbox"/> Průřezy (součinitel pro J, I_y, I_z, A, A_y, A_z) <input checked="" type="checkbox"/> Pruty (faktor pro $GJ, EI_y, EI_z, EA, GA_y, GA_z$)
KZ547	1.8*ZS1 + 0.5*ZS5 + 0.6*ZS8 + 1.24*ZS12	Způsob výpočtu : <input type="radio"/> Analýza podle II. řádu (P-Delta) Metoda pro řešení systému nelineárních algebraických rovnic Možnosti : <input type="radio"/> Picard <input checked="" type="checkbox"/> Zohlednit příznivé tahové účinky <input checked="" type="checkbox"/> Vztáhnout vnitřní síly na přetvoření systém pro: <input checked="" type="checkbox"/> Normálové síly N <input checked="" type="checkbox"/> Smykové síly V_y a V_z <input checked="" type="checkbox"/> Momenty M_y , M_z a M_T Aktivovat součinitele tuhosti: <input checked="" type="checkbox"/> Průřezy (součinitel pro J, I_y, I_z, A, A_y, A_z) <input checked="" type="checkbox"/> Pruty (faktor pro $GJ, EI_y, EI_z, EA, GA_y, GA_z$)
KZ548	1.8*ZS1 + 0.5*ZS5 + 0.6*ZS9 + 1.24*ZS12	Způsob výpočtu : <input type="radio"/> Analýza podle II. řádu (P-Delta) Metoda pro řešení systému nelineárních algebraických rovnic Možnosti : <input type="radio"/> Picard <input checked="" type="checkbox"/> Zohlednit příznivé tahové účinky <input checked="" type="checkbox"/> Vztáhnout vnitřní síly na přetvoření systém pro: <input checked="" type="checkbox"/> Normálové síly N <input checked="" type="checkbox"/> Smykové síly V_y a V_z <input checked="" type="checkbox"/> Momenty M_y , M_z a M_T Aktivovat součinitele tuhosti: <input checked="" type="checkbox"/> Průřezy (součinitel pro J, I_y, I_z, A, A_y, A_z) <input checked="" type="checkbox"/> Pruty (faktor pro $GJ, EI_y, EI_z, EA, GA_y, GA_z$)
KZ549	1.8*ZS1 + 0.5*ZS5 + 0.6*ZS10 + 1.24*ZS12	Způsob výpočtu : <input type="radio"/> Analýza podle II. řádu (P-Delta) Metoda pro řešení systému nelineárních algebraických rovnic Možnosti : <input type="radio"/> Picard <input checked="" type="checkbox"/> Zohlednit příznivé tahové účinky <input checked="" type="checkbox"/> Vztáhnout vnitřní síly na přetvoření systém pro: <input checked="" type="checkbox"/> Normálové síly N <input checked="" type="checkbox"/> Smykové síly V_y a V_z <input checked="" type="checkbox"/> Momenty M_y , M_z a M_T Aktivovat součinitele tuhosti: <input checked="" type="checkbox"/> Průřezy (součinitel pro J, I_y, I_z, A, A_y, A_z) <input checked="" type="checkbox"/> Pruty (faktor pro $GJ, EI_y, EI_z, EA, GA_y, GA_z$)
KZ550	1.8*ZS1 + 0.5*ZS5 + 0.6*ZS11 + 1.24*ZS12	Způsob výpočtu : <input type="radio"/> Analýza podle II. řádu (P-Delta) Metoda pro řešení systému nelineárních algebraických rovnic Možnosti : <input type="radio"/> Picard <input checked="" type="checkbox"/> Zohlednit příznivé tahové účinky <input checked="" type="checkbox"/> Vztáhnout vnitřní síly na přetvoření systém pro: <input checked="" type="checkbox"/> Normálové síly N



Projekt: Diplomová práce

Model: Diplomová Práce -KROV

Datum: 17.04.2021

Stropní nosník

Konstrukce Krovu

2.5.2 KOMBINACE ZATÍŽENÍ - PARAMETRY VÝPOČTU

Kombin. zatížení	Označení	Parametry výpočtu
		<input checked="" type="checkbox"/> Smykové síly V_y a V_z <input checked="" type="checkbox"/> Momenty M_y , M_z a M_T
		Aktivovat součinitele tuhosti: <input checked="" type="checkbox"/> Průřezy (součinitel pro J_y , I_z , A , A_y , A_z) <input checked="" type="checkbox"/> Pruty (faktor pro GJ , EI_y , EI_z , EA , GA_y , GA_z)
KZ551	1.8*ZS1 + 0.5*ZS7 + 0.6*ZS8 + 1.24*ZS12	Způsob výpočtu: <input checked="" type="radio"/> Analýza podle II. řádu (P-Delta) Metoda pro řešení systému nelineárních algebraických rovnic: <input checked="" type="radio"/> Picard Možnosti: <input checked="" type="checkbox"/> Zohlednit příznivé tahové účinky <input checked="" type="checkbox"/> Vztáhnout vnitřní síly na přetvoření systému pro: <input checked="" type="checkbox"/> Normálové síly N <input checked="" type="checkbox"/> Smykové síly V_y a V_z <input checked="" type="checkbox"/> Momenty M_y , M_z a M_T
KZ552	1.8*ZS1 + 0.5*ZS7 + 0.6*ZS9 + 1.24*ZS12	Způsob výpočtu: <input checked="" type="radio"/> Analýza podle II. řádu (P-Delta) Metoda pro řešení systému nelineárních algebraických rovnic: <input checked="" type="radio"/> Picard Možnosti: <input checked="" type="checkbox"/> Zohlednit příznivé tahové účinky <input checked="" type="checkbox"/> Vztáhnout vnitřní síly na přetvoření systému pro: <input checked="" type="checkbox"/> Normálové síly N <input checked="" type="checkbox"/> Smykové síly V_y a V_z <input checked="" type="checkbox"/> Momenty M_y , M_z a M_T
KZ553	1.8*ZS1 + 0.5*ZS7 + 0.6*ZS10 + 1.24*ZS12	Způsob výpočtu: <input checked="" type="radio"/> Analýza podle II. řádu (P-Delta) Metoda pro řešení systému nelineárních algebraických rovnic: <input checked="" type="radio"/> Picard Možnosti: <input checked="" type="checkbox"/> Zohlednit příznivé tahové účinky <input checked="" type="checkbox"/> Vztáhnout vnitřní síly na přetvoření systému pro: <input checked="" type="checkbox"/> Normálové síly N <input checked="" type="checkbox"/> Smykové síly V_y a V_z <input checked="" type="checkbox"/> Momenty M_y , M_z a M_T
KZ554	1.8*ZS1 + 0.5*ZS7 + 0.6*ZS11 + 1.24*ZS12	Způsob výpočtu: <input checked="" type="radio"/> Analýza podle II. řádu (P-Delta) Metoda pro řešení systému nelineárních algebraických rovnic: <input checked="" type="radio"/> Picard Možnosti: <input checked="" type="checkbox"/> Zohlednit příznivé tahové účinky <input checked="" type="checkbox"/> Vztáhnout vnitřní síly na přetvoření systému pro: <input checked="" type="checkbox"/> Normálové síly N <input checked="" type="checkbox"/> Smykové síly V_y a V_z <input checked="" type="checkbox"/> Momenty M_y , M_z a M_T
KZ555	1.8*ZS1 + 0.6*ZS8 + 1.24*ZS12	Způsob výpočtu: <input checked="" type="radio"/> Analýza podle II. řádu (P-Delta) Metoda pro řešení systému nelineárních algebraických rovnic: <input checked="" type="radio"/> Picard Možnosti: <input checked="" type="checkbox"/> Zohlednit příznivé tahové účinky <input checked="" type="checkbox"/> Vztáhnout vnitřní síly na přetvoření systému pro: <input checked="" type="checkbox"/> Normálové síly N <input checked="" type="checkbox"/> Smykové síly V_y a V_z <input checked="" type="checkbox"/> Momenty M_y , M_z a M_T
KZ556	1.8*ZS1 + 0.6*ZS9 + 1.24*ZS12	Způsob výpočtu: <input checked="" type="radio"/> Analýza podle II. řádu (P-Delta) Metoda pro řešení systému nelineárních algebraických rovnic: <input checked="" type="radio"/> Picard Možnosti: <input checked="" type="checkbox"/> Zohlednit příznivé tahové účinky <input checked="" type="checkbox"/> Vztáhnout vnitřní síly na přetvoření systému pro: <input checked="" type="checkbox"/> Normálové síly N <input checked="" type="checkbox"/> Smykové síly V_y a V_z <input checked="" type="checkbox"/> Momenty M_y , M_z a M_T
KZ557	1.8*ZS1 + 0.6*ZS10 + 1.24*ZS12	Způsob výpočtu: <input checked="" type="radio"/> Analýza podle II. řádu (P-Delta) Metoda pro řešení systému nelineárních algebraických rovnic: <input checked="" type="radio"/> Picard Možnosti: <input checked="" type="checkbox"/> Zohlednit příznivé tahové účinky <input checked="" type="checkbox"/> Vztáhnout vnitřní síly na přetvoření systému pro: <input checked="" type="checkbox"/> Normálové síly N <input checked="" type="checkbox"/> Smykové síly V_y a V_z <input checked="" type="checkbox"/> Momenty M_y , M_z a M_T
KZ558	1.8*ZS1 + 0.6*ZS11 + 1.24*ZS12	Způsob výpočtu: <input checked="" type="radio"/> Analýza podle II. řádu (P-Delta) Metoda pro řešení systému nelineárních algebraických rovnic: <input checked="" type="radio"/> Picard Možnosti: <input checked="" type="checkbox"/> Zohlednit příznivé tahové účinky <input checked="" type="checkbox"/> Vztáhnout vnitřní síly na přetvoření systému pro:



Projekt: Diplomová práce

Model: Diplomová Práce -KROV

Datum: 17.04.2021

Stropní nosník

Konstrukce Krovu

2.5.2 KOMBINACE ZATÍŽENÍ - PARAMETRY VÝPOČTU

Kombin. zatížení	Označení	Parametry výpočtu
		<input checked="" type="checkbox"/> Normálové síly N <input checked="" type="checkbox"/> Smykové síly V_y a V_z <input checked="" type="checkbox"/> Momenty M_y , M_z a M_T Aktivovat součinitele tuhosti: <ul style="list-style-type: none"> <input checked="" type="checkbox"/> Průřezy (součinitel pro J_y, J_z, A, A_y, A_z) <input checked="" type="checkbox"/> Pruty (faktor pro GJ, EI_y, EI_z, EA, GA_y, GA_z)

2.7 KOMBINACE VÝSLEDKŮ

Kombin. výsledků	Označení	Zatěžování
KV1	MSÚ (STR/GEO) - trvalá/dočasná - rovn. 6.10	KZ1/s nebo do KZ186
KV2	MSP - charakteristická / málo častá	KZ187/s nebo do KZ372
KV3	MSP - kvazistálá	KZ373/s nebo do KZ558

RF-TIMBER Pro
PŘ1**1.1.1 ZÁKLADNÍ ÚDAJE**

Pruty k posouzení: Sady prutů k posouzení:		Všechny 7-9
Posouzení podle normy:		ČSN EN 1995-1-1/NA:2007-09
Posouzení mezního stavu únosnosti Kombinace výsledků k posouzení:	KV1	MSÚ (STR/GEO) - trvalá/dočasná - rovn. 6.10
Posouzení mezního stavu použitelnosti Kombinace výsledků k posouzení:	KV2 KV3	MSP - charakteristická / málo častá MSP - kvazistálá

1.1.4 POUŽITÉ NORMY

č.	Standard	Standard Description
[1]	ČSN EN 1995-1-1/NP:2007-09	Část 1-1: Obecné - Obecná pravidla a směrnice pro budovy
[2]	ČSN EN 1995-1-2/NP:2007-09	Část 1-2: Obecné - Posuzování požární odolnosti staveb
[3]	ČSN EN 14080:2013-08	Dřevěné konstrukce- Lepené lamelové dřevo a rostlé dřevo - Požadavky
[4]	ČSN EN 338:2010-05	Konstrukční dřevo

1.2 MATERIÁLY

Mat. č.	Označení	Kategorie součinitele	Komentář
2	Lepené lamelové dřevo GL28h CSN EN 14080	Lepené lamelové dřevo	
3	Topolové a jehličnaté dřevo C24 CSN EN 338-16	Rostlé dřevo	

1.3.1 PRŮŘEZY

T-obdélník 200/600 T-obdélník 80/240



T-obdélník 160/360 T-2B 240/80/60

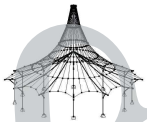


Průř. č.	Mat. č.	Průřez Označení [mm]	Max. návrhové využití	Komentář
1	2	T-obdélník 200/600	0.56	
2	3	T-obdélník 80/240	0.92	
4	2	T-obdélník 160/360	0.08	
5	3	T-2B 240/80/60	0.02	
6	3	T-obdélník 160/200	0.26	
Průřez v RFEM a RF-TIMBER Pro není identický.				
7	2	T-obdélník 100/240	0.84	
8	3	T-obdélník 100/240	0.74	

T-obdélník 160/200 T-obdélník 100/240 T-obdélník 100/240

**1.4 TŘÍDA TRVÁNÍ ZATÍŽENÍ A TŘÍDA PROVOZU**

ZS/KZ/ KV	Označení ZS resp. KZ/KV	Typ ZS	Třída trvání zatížení
ZS1	Vlastní tíha	Stálé	Stálé
ZS2	Stálé zatížení - Krytina+Podhled	Stálé/užitné	Stálé
ZS3	Užitné zatížení - střechy	Užitná zatížení - kategorie H: střechy nepřístupné s výjimkou běžné údržby a oprav	Krátkodobá
ZS4	Zatížení sněhem 1/1	Sníh ($H \leq 1000$ m n.m.)	Krátkodobá
ZS5	Zatížení sněhem 1/2	Sníh ($H \leq 1000$ m n.m.)	Krátkodobá
ZS7	Zatížení sněhem 2/1	Sníh ($H \leq 1000$ m n.m.)	Krátkodobá
ZS8	Vítr - TLAK	Vítr	Krátkodobá
ZS9	Vítr - SÁNÍ	Vítr	Krátkodobá
ZS10	Vítr - SÁNÍ/TLAK	Vítr	Krátkodobá
ZS11	Vítr - TLAK/SÁNÍ	Vítr	Krátkodobá
ZS12	Užitné zatížení - Kleštiny	Užitná zatížení - kategorie A: obytné p	Střednědobá



Projekt: Diplomová práce

Model: Diplomová Práce -KROV

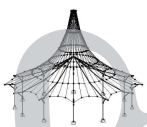
Datum: 17.04.2021

Stropní nosník

Konstrukce Krovu

1.4 TŘÍDA TRVÁNÍ ZATÍŽENÍ A TŘÍDA PROVOZU

ZS/KZ/ KV	Označení ZS resp. KZ/KV	Typ ZS	Třída trvání zatížení
		plochy a plochy pro domácí činnosti	
KZ1	1.35*ZS1	-	Stálé
KZ2	1.35*ZS1 + 1.35*ZS2	-	Stálé
KZ3	1.35*ZS1 + 1.5*ZS3	-	Krátkodobá
KZ4	1.35*ZS1 + 1.35*ZS2 + 1.5*ZS3	-	Krátkodobá
KZ5	1.35*ZS1 + 1.35*ZS2 + 1.5*ZS3 + 0.9*ZS8	-	Krátkodobá
KZ6	1.35*ZS1 + 1.35*ZS2 + 1.5*ZS3 + 0.9*ZS9	-	Krátkodobá
KZ7	1.35*ZS1 + 1.35*ZS2 + 1.5*ZS3 + 0.9*ZS10	-	Krátkodobá
KZ8	1.35*ZS1 + 1.35*ZS2 + 1.5*ZS3 + 0.9*ZS11	-	Krátkodobá
KZ9	1.35*ZS1 + 1.35*ZS2 + 1.5*ZS3 + 0.9*ZS8 + 1.5*ZS12	-	Krátkodobá
KZ10	1.35*ZS1 + 1.35*ZS2 + 1.5*ZS3 + 0.9*ZS9 + 1.5*ZS12	-	Krátkodobá
KZ11	1.35*ZS1 + 1.35*ZS2 + 1.5*ZS3 + 0.9*ZS10 + 1.5*ZS12	-	Krátkodobá
KZ12	1.35*ZS1 + 1.35*ZS2 + 1.5*ZS3 + 0.9*ZS11 + 1.5*ZS12	-	Krátkodobá
KZ13	1.35*ZS1 + 1.35*ZS2 + 1.5*ZS3 + 1.5*ZS12	-	Krátkodobá
KZ14	1.35*ZS1 + 1.5*ZS3 + 0.9*ZS8	-	Krátkodobá
KZ15	1.35*ZS1 + 1.5*ZS3 + 0.9*ZS9	-	Krátkodobá
KZ16	1.35*ZS1 + 1.5*ZS3 + 0.9*ZS10	-	Krátkodobá
KZ17	1.35*ZS1 + 1.5*ZS3 + 0.9*ZS11	-	Krátkodobá
KZ18	1.35*ZS1 + 1.5*ZS3 + 0.9*ZS8 + 1.5*ZS12	-	Krátkodobá
KZ19	1.35*ZS1 + 1.5*ZS3 + 0.9*ZS9 + 1.5*ZS12	-	Krátkodobá
KZ20	1.35*ZS1 + 1.5*ZS3 + 0.9*ZS10 + 1.5*ZS12	-	Krátkodobá
KZ21	1.35*ZS1 + 1.5*ZS3 + 0.9*ZS11 + 1.5*ZS12	-	Krátkodobá
KZ22	1.35*ZS1 + 1.5*ZS3 + 1.5*ZS12	-	Krátkodobá
KZ23	1.35*ZS1 + 1.5*ZS4	-	Krátkodobá
KZ24	1.35*ZS1 + 1.5*ZS5	-	Krátkodobá
KZ25	1.35*ZS1 + 1.5*ZS7	-	Krátkodobá
KZ26	1.35*ZS1 + 1.35*ZS2 + 1.5*ZS4	-	Krátkodobá
KZ27	1.35*ZS1 + 1.35*ZS2 + 1.5*ZS5	-	Krátkodobá
KZ28	1.35*ZS1 + 1.35*ZS2 + 1.5*ZS7	-	Krátkodobá
KZ29	1.35*ZS1 + 1.35*ZS2 + 1.5*ZS4 + 0.9*ZS8	-	Krátkodobá
KZ30	1.35*ZS1 + 1.35*ZS2 + 1.5*ZS4 + 0.9*ZS9	-	Krátkodobá
KZ31	1.35*ZS1 + 1.35*ZS2 + 1.5*ZS4 + 0.9*ZS10	-	Krátkodobá
KZ32	1.35*ZS1 + 1.35*ZS2 + 1.5*ZS4 + 0.9*ZS11	-	Krátkodobá
KZ33	1.35*ZS1 + 1.35*ZS2 + 1.5*ZS5 + 0.9*ZS8	-	Krátkodobá
KZ34	1.35*ZS1 + 1.35*ZS2 + 1.5*ZS5 + 0.9*ZS9	-	Krátkodobá
KZ35	1.35*ZS1 + 1.35*ZS2 + 1.5*ZS5 + 0.9*ZS10	-	Krátkodobá
KZ36	1.35*ZS1 + 1.35*ZS2 + 1.5*ZS5 + 0.9*ZS11	-	Krátkodobá
KZ37	1.35*ZS1 + 1.35*ZS2 + 1.5*ZS7 + 0.9*ZS8	-	Krátkodobá
KZ38	1.35*ZS1 + 1.35*ZS2 + 1.5*ZS7 + 0.9*ZS9	-	Krátkodobá
KZ39	1.35*ZS1 + 1.35*ZS2 + 1.5*ZS7 + 0.9*ZS10	-	Krátkodobá
KZ40	1.35*ZS1 + 1.35*ZS2 + 1.5*ZS7 + 0.9*ZS11	-	Krátkodobá
KZ41	1.35*ZS1 + 1.35*ZS2 + 1.5*ZS4 + 0.9*ZS8 + 1.05*ZS12	-	Krátkodobá
KZ42	1.35*ZS1 + 1.35*ZS2 + 1.5*ZS4 + 0.9*ZS9 + 1.05*ZS12	-	Krátkodobá
KZ43	1.35*ZS1 + 1.35*ZS2 + 1.5*ZS4 + 0.9*ZS10 + 1.05*ZS12	-	Krátkodobá
KZ44	1.35*ZS1 + 1.35*ZS2 + 1.5*ZS4 + 0.9*ZS11 + 1.05*ZS12	-	Krátkodobá
KZ45	1.35*ZS1 + 1.35*ZS2 + 1.5*ZS5 + 0.9*ZS8 + 1.05*ZS12	-	Krátkodobá
KZ46	1.35*ZS1 + 1.35*ZS2 + 1.5*ZS5 + 0.9*ZS9 + 1.05*ZS12	-	Krátkodobá
KZ47	1.35*ZS1 + 1.35*ZS2 + 1.5*ZS5 + 0.9*ZS10 + 1.05*ZS12	-	Krátkodobá
KZ48	1.35*ZS1 + 1.35*ZS2 + 1.5*ZS5 + 0.9*ZS11 + 1.05*ZS12	-	Krátkodobá
KZ49	1.35*ZS1 + 1.35*ZS2 + 1.5*ZS7 + 0.9*ZS8 + 1.05*ZS12	-	Krátkodobá
KZ50	1.35*ZS1 + 1.35*ZS2 + 1.5*ZS7 + 0.9*ZS9 + 1.05*ZS12	-	Krátkodobá
KZ51	1.35*ZS1 + 1.35*ZS2 + 1.5*ZS7 + 0.9*ZS10 + 1.05*ZS12	-	Krátkodobá
KZ52	1.35*ZS1 + 1.35*ZS2 + 1	-	Krátkodobá



Projekt: Diplomová práce

Model: Diplomová Práce -KROV

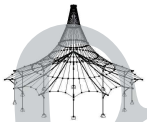
Datum: 17.04.2021

Stropní nosník

Konstrukce Krovu

1.4 TŘÍDA TRVÁNÍ ZATÍŽENÍ A TŘÍDA PROVOZU

ZS/KZ/ KV	Označení ZS resp. KZ/KV	Typ ZS	Třída trvání zatížení
KZ53	1.5*ZS7 + 0.9*ZS11 + 1.05*ZS12 1.35*ZS1 + 1.35*ZS2 + 1.5*ZS4 + 1.05*ZS12	-	Krátkodobá
KZ54	1.35*ZS1 + 1.35*ZS2 + 1.5*ZS5 + 1.05*ZS12	-	Krátkodobá
KZ55	1.35*ZS1 + 1.35*ZS2 + 1.5*ZS7 + 1.05*ZS12	-	Krátkodobá
KZ56	1.35*ZS1 + 1.5*ZS4 + 0.9*ZS8	-	Krátkodobá
KZ57	1.35*ZS1 + 1.5*ZS4 + 0.9*ZS9	-	Krátkodobá
KZ58	1.35*ZS1 + 1.5*ZS4 + 0.9*ZS10	-	Krátkodobá
KZ59	1.35*ZS1 + 1.5*ZS4 + 0.9*ZS11	-	Krátkodobá
KZ60	1.35*ZS1 + 1.5*ZS5 + 0.9*ZS8	-	Krátkodobá
KZ61	1.35*ZS1 + 1.5*ZS5 + 0.9*ZS9	-	Krátkodobá
KZ62	1.35*ZS1 + 1.5*ZS5 + 0.9*ZS10	-	Krátkodobá
KZ63	1.35*ZS1 + 1.5*ZS5 + 0.9*ZS11	-	Krátkodobá
KZ64	1.35*ZS1 + 1.5*ZS7 + 0.9*ZS8	-	Krátkodobá
KZ65	1.35*ZS1 + 1.5*ZS7 + 0.9*ZS9	-	Krátkodobá
KZ66	1.35*ZS1 + 1.5*ZS7 + 0.9*ZS10	-	Krátkodobá
KZ67	1.35*ZS1 + 1.5*ZS7 + 0.9*ZS11	-	Krátkodobá
KZ68	1.35*ZS1 + 1.5*ZS4 + 0.9*ZS8 + 1.05*ZS12	-	Krátkodobá
KZ69	1.35*ZS1 + 1.5*ZS4 + 0.9*ZS9 + 1.05*ZS12	-	Krátkodobá
KZ70	1.35*ZS1 + 1.5*ZS4 + 0.9*ZS10 + 1.05*ZS12	-	Krátkodobá
KZ71	1.35*ZS1 + 1.5*ZS4 + 0.9*ZS11 + 1.05*ZS12	-	Krátkodobá
KZ72	1.35*ZS1 + 1.5*ZS5 + 0.9*ZS8 + 1.05*ZS12	-	Krátkodobá
KZ73	1.35*ZS1 + 1.5*ZS5 + 0.9*ZS9 + 1.05*ZS12	-	Krátkodobá
KZ74	1.35*ZS1 + 1.5*ZS5 + 0.9*ZS10 + 1.05*ZS12	-	Krátkodobá
KZ75	1.35*ZS1 + 1.5*ZS5 + 0.9*ZS11 + 1.05*ZS12	-	Krátkodobá
KZ76	1.35*ZS1 + 1.5*ZS7 + 0.9*ZS8 + 1.05*ZS12	-	Krátkodobá
KZ77	1.35*ZS1 + 1.5*ZS7 + 0.9*ZS9 + 1.05*ZS12	-	Krátkodobá
KZ78	1.35*ZS1 + 1.5*ZS7 + 0.9*ZS10 + 1.05*ZS12	-	Krátkodobá
KZ79	1.35*ZS1 + 1.5*ZS7 + 0.9*ZS11 + 1.05*ZS12	-	Krátkodobá
KZ80	1.35*ZS1 + 1.5*ZS4 + 1.05*ZS12	-	Krátkodobá
KZ81	1.35*ZS1 + 1.5*ZS5 + 1.05*ZS12	-	Krátkodobá
KZ82	1.35*ZS1 + 1.5*ZS7 + 1.05*ZS12	-	Krátkodobá
KZ83	1.35*ZS1 + 1.5*ZS8	-	Krátkodobá
KZ84	1.35*ZS1 + 1.5*ZS9	-	Krátkodobá
KZ85	1.35*ZS1 + 1.5*ZS10	-	Krátkodobá
KZ86	1.35*ZS1 + 1.5*ZS11	-	Krátkodobá
KZ87	1.35*ZS1 + 1.35*ZS2 + 1.5*ZS8	-	Krátkodobá
KZ88	1.35*ZS1 + 1.35*ZS2 + 1.5*ZS9	-	Krátkodobá
KZ89	1.35*ZS1 + 1.35*ZS2 + 1.5*ZS10	-	Krátkodobá
KZ90	1.35*ZS1 + 1.35*ZS2 + 1.5*ZS11	-	Krátkodobá
KZ91	1.35*ZS1 + 1.35*ZS2 + 0.75*ZS4 + 1.5*ZS8	-	Krátkodobá
KZ92	1.35*ZS1 + 1.35*ZS2 + 0.75*ZS4 + 1.5*ZS9	-	Krátkodobá
KZ93	1.35*ZS1 + 1.35*ZS2 + 0.75*ZS4 + 1.5*ZS10	-	Krátkodobá
KZ94	1.35*ZS1 + 1.35*ZS2 + 0.75*ZS4 + 1.5*ZS11	-	Krátkodobá
KZ95	1.35*ZS1 + 1.35*ZS2 + 0.75*ZS5 + 1.5*ZS8	-	Krátkodobá
KZ96	1.35*ZS1 + 1.35*ZS2 + 0.75*ZS5 + 1.5*ZS9	-	Krátkodobá
KZ97	1.35*ZS1 + 1.35*ZS2 + 0.75*ZS5 + 1.5*ZS10	-	Krátkodobá
KZ98	1.35*ZS1 + 1.35*ZS2 + 0.75*ZS5 + 1.5*ZS11	-	Krátkodobá
KZ99	1.35*ZS1 + 1.35*ZS2 + 0.75*ZS7 + 1.5*ZS8	-	Krátkodobá
KZ100	1.35*ZS1 + 1.35*ZS2 + 0.75*ZS7 + 1.5*ZS9	-	Krátkodobá
KZ101	1.35*ZS1 + 1.35*ZS2 + 0.75*ZS7 + 1.5*ZS10	-	Krátkodobá
KZ102	1.35*ZS1 + 1.35*ZS2 + 0.75*ZS7 + 1.5*ZS11	-	Krátkodobá
KZ103	1.35*ZS1 + 1.35*ZS2 + 0.75*ZS4 + 1.5*ZS8 + 1.05*ZS12	-	Krátkodobá
KZ104	1.35*ZS1 + 1.35*ZS2 + 0.75*ZS4 + 1.5*ZS9 + 1.05*ZS12	-	Krátkodobá
KZ105	1.35*ZS1 + 1.35*ZS2 + 0.75*ZS4 + 1.5*ZS10 + 1.05*ZS12	-	Krátkodobá
KZ106	1.35*ZS1 + 1.35*ZS2 + 0	-	Krátkodobá



Projekt: Diplomová práce

Model: Diplomová Práce -KROV

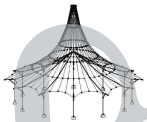
Datum: 17.04.2021

Stropní nosník

Konstrukce Krovu

1.4 TŘÍDA TRVÁNÍ ZATÍŽENÍ A TŘÍDA PROVOZU

ZS/KZ/ KV	Označení ZS resp. KZ/KV	Typ ZS	Třída trvání zatížení
KZ107	0.75*ZS4 + 1.5*ZS11 + 1.05*ZS12 1.35*ZS1 + 1.35*ZS2 + 0.75*ZS5 + 1.5*ZS8 + 1.05*ZS12	-	Krátkodobá
KZ108	1.35*ZS1 + 1.35*ZS2 + 0.75*ZS5 + 1.5*ZS9 + 1.05*ZS12	-	Krátkodobá
KZ109	1.35*ZS1 + 1.35*ZS2 + 0.75*ZS5 + 1.5*ZS10 + 1.05*ZS12	-	Krátkodobá
KZ110	1.35*ZS1 + 1.35*ZS2 + 0.75*ZS5 + 1.5*ZS11 + 1.05*ZS12	-	Krátkodobá
KZ111	1.35*ZS1 + 1.35*ZS2 + 0.75*ZS7 + 1.5*ZS8 + 1.05*ZS12	-	Krátkodobá
KZ112	1.35*ZS1 + 1.35*ZS2 + 0.75*ZS7 + 1.5*ZS9 + 1.05*ZS12	-	Krátkodobá
KZ113	1.35*ZS1 + 1.35*ZS2 + 0.75*ZS7 + 1.5*ZS10 + 1.05*ZS12	-	Krátkodobá
KZ114	1.35*ZS1 + 1.35*ZS2 + 0.75*ZS7 + 1.5*ZS11 + 1.05*ZS12	-	Krátkodobá
KZ115	1.35*ZS1 + 1.35*ZS2 + 1.5*ZS8 + 1.05*ZS12	-	Krátkodobá
KZ116	1.35*ZS1 + 1.35*ZS2 + 1.5*ZS9 + 1.05*ZS12	-	Krátkodobá
KZ117	1.35*ZS1 + 1.35*ZS2 + 1.5*ZS10 + 1.05*ZS12	-	Krátkodobá
KZ118	1.35*ZS1 + 1.35*ZS2 + 1.5*ZS11 + 1.05*ZS12	-	Krátkodobá
KZ119	1.35*ZS1 + 0.75*ZS4 + 1.5*ZS8	-	Krátkodobá
KZ120	1.35*ZS1 + 0.75*ZS4 + 1.5*ZS9	-	Krátkodobá
KZ121	1.35*ZS1 + 0.75*ZS4 + 1.5*ZS10	-	Krátkodobá
KZ122	1.35*ZS1 + 0.75*ZS4 + 1.5*ZS11	-	Krátkodobá
KZ123	1.35*ZS1 + 0.75*ZS5 + 1.5*ZS8	-	Krátkodobá
KZ124	1.35*ZS1 + 0.75*ZS5 + 1.5*ZS9	-	Krátkodobá
KZ125	1.35*ZS1 + 0.75*ZS5 + 1.5*ZS10	-	Krátkodobá
KZ126	1.35*ZS1 + 0.75*ZS5 + 1.5*ZS11	-	Krátkodobá
KZ127	1.35*ZS1 + 0.75*ZS7 + 1.5*ZS8	-	Krátkodobá
KZ128	1.35*ZS1 + 0.75*ZS7 + 1.5*ZS9	-	Krátkodobá
KZ129	1.35*ZS1 + 0.75*ZS7 + 1.5*ZS10	-	Krátkodobá
KZ130	1.35*ZS1 + 0.75*ZS7 + 1.5*ZS11	-	Krátkodobá
KZ131	1.35*ZS1 + 0.75*ZS4 + 1.5*ZS8 + 1.05*ZS12	-	Krátkodobá
KZ132	1.35*ZS1 + 0.75*ZS4 + 1.5*ZS9 + 1.05*ZS12	-	Krátkodobá
KZ133	1.35*ZS1 + 0.75*ZS4 + 1.5*ZS10 + 1.05*ZS12	-	Krátkodobá
KZ134	1.35*ZS1 + 0.75*ZS4 + 1.5*ZS11 + 1.05*ZS12	-	Krátkodobá
KZ135	1.35*ZS1 + 0.75*ZS5 + 1.5*ZS8 + 1.05*ZS12	-	Krátkodobá
KZ136	1.35*ZS1 + 0.75*ZS5 + 1.5*ZS9 + 1.05*ZS12	-	Krátkodobá
KZ137	1.35*ZS1 + 0.75*ZS5 + 1.5*ZS10 + 1.05*ZS12	-	Krátkodobá
KZ138	1.35*ZS1 + 0.75*ZS5 + 1.5*ZS11 + 1.05*ZS12	-	Krátkodobá
KZ139	1.35*ZS1 + 0.75*ZS7 + 1.5*ZS8 + 1.05*ZS12	-	Krátkodobá
KZ140	1.35*ZS1 + 0.75*ZS7 + 1.5*ZS9 + 1.05*ZS12	-	Krátkodobá
KZ141	1.35*ZS1 + 0.75*ZS7 + 1.5*ZS10 + 1.05*ZS12	-	Krátkodobá
KZ142	1.35*ZS1 + 0.75*ZS7 + 1.5*ZS11 + 1.05*ZS12	-	Krátkodobá
KZ143	1.35*ZS1 + 1.5*ZS8 + 1.05*ZS12	-	Krátkodobá
KZ144	1.35*ZS1 + 1.5*ZS9 + 1.05*ZS12	-	Krátkodobá
KZ145	1.35*ZS1 + 1.5*ZS10 + 1.05*ZS12	-	Krátkodobá
KZ146	1.35*ZS1 + 1.5*ZS11 + 1.05*ZS12	-	Krátkodobá
KZ147	1.35*ZS1 + 1.5*ZS12	-	Střednědobá
KZ148	1.35*ZS1 + 1.35*ZS2 + 1.5*ZS12	-	Střednědobá
KZ149	1.35*ZS1 + 1.35*ZS2 + 0.75*ZS4 + 1.5*ZS12	-	Krátkodobá
KZ150	1.35*ZS1 + 1.35*ZS2 + 0.75*ZS5 + 1.5*ZS12	-	Krátkodobá
KZ151	1.35*ZS1 + 1.35*ZS2 + 0.75*ZS7 + 1.5*ZS12	-	Krátkodobá
KZ152	1.35*ZS1 + 1.35*ZS2 + 0	-	Krátkodobá



Projekt: Diplomová práce

Model: Diplomová Práce -KROV

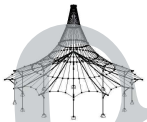
Datum: 17.04.2021

Stropní nosník

Konstrukce Krovu

1.4 TŘÍDA TRVÁNÍ ZATÍŽENÍ A TŘÍDA PROVOZU

ZS/KZ/ KV	Označení ZS resp. KZ/KV	Typ ZS	Třída trvání zatížení
KZ153	0.75*ZS4 + 0.9*ZS8 + 1.5*ZS12 1.35*ZS1 + 1.35*ZS2 + 0.75*ZS4 + 0.9*ZS9 + 1.5*ZS12	-	Krátkodobá
KZ154	1.35*ZS1 + 1.35*ZS2 + 0.75*ZS4 + 0.9*ZS10 + 1.5*ZS12	-	Krátkodobá
KZ155	1.35*ZS1 + 1.35*ZS2 + 0.75*ZS4 + 0.9*ZS11 + 1.5*ZS12	-	Krátkodobá
KZ156	1.35*ZS1 + 1.35*ZS2 + 0.75*ZS5 + 0.9*ZS8 + 1.5*ZS12	-	Krátkodobá
KZ157	1.35*ZS1 + 1.35*ZS2 + 0.75*ZS5 + 0.9*ZS9 + 1.5*ZS12	-	Krátkodobá
KZ158	1.35*ZS1 + 1.35*ZS2 + 0.75*ZS5 + 0.9*ZS10 + 1.5*ZS12	-	Krátkodobá
KZ159	1.35*ZS1 + 1.35*ZS2 + 0.75*ZS5 + 0.9*ZS11 + 1.5*ZS12	-	Krátkodobá
KZ160	1.35*ZS1 + 1.35*ZS2 + 0.75*ZS7 + 0.9*ZS8 + 1.5*ZS12	-	Krátkodobá
KZ161	1.35*ZS1 + 1.35*ZS2 + 0.75*ZS7 + 0.9*ZS9 + 1.5*ZS12	-	Krátkodobá
KZ162	1.35*ZS1 + 1.35*ZS2 + 0.75*ZS7 + 0.9*ZS10 + 1.5*ZS12	-	Krátkodobá
KZ163	1.35*ZS1 + 1.35*ZS2 + 0.75*ZS7 + 0.9*ZS11 + 1.5*ZS12	-	Krátkodobá
KZ164	1.35*ZS1 + 1.35*ZS2 + 0.9*ZS8 + 1.5*ZS12	-	Krátkodobá
KZ165	1.35*ZS1 + 1.35*ZS2 + 0.9*ZS9 + 1.5*ZS12	-	Krátkodobá
KZ166	1.35*ZS1 + 1.35*ZS2 + 0.9*ZS10 + 1.5*ZS12	-	Krátkodobá
KZ167	1.35*ZS1 + 1.35*ZS2 + 0.9*ZS11 + 1.5*ZS12	-	Krátkodobá
KZ168	1.35*ZS1 + 0.75*ZS4 + 1.5*ZS12	-	Krátkodobá
KZ169	1.35*ZS1 + 0.75*ZS5 + 1.5*ZS12	-	Krátkodobá
KZ170	1.35*ZS1 + 0.75*ZS7 + 1.5*ZS12	-	Krátkodobá
KZ171	1.35*ZS1 + 0.75*ZS4 + 0.9*ZS8 + 1.5*ZS12	-	Krátkodobá
KZ172	1.35*ZS1 + 0.75*ZS4 + 0.9*ZS9 + 1.5*ZS12	-	Krátkodobá
KZ173	1.35*ZS1 + 0.75*ZS4 + 0.9*ZS10 + 1.5*ZS12	-	Krátkodobá
KZ174	1.35*ZS1 + 0.75*ZS4 + 0.9*ZS11 + 1.5*ZS12	-	Krátkodobá
KZ175	1.35*ZS1 + 0.75*ZS5 + 0.9*ZS8 + 1.5*ZS12	-	Krátkodobá
KZ176	1.35*ZS1 + 0.75*ZS5 + 0.9*ZS9 + 1.5*ZS12	-	Krátkodobá
KZ177	1.35*ZS1 + 0.75*ZS5 + 0.9*ZS10 + 1.5*ZS12	-	Krátkodobá
KZ178	1.35*ZS1 + 0.75*ZS5 + 0.9*ZS11 + 1.5*ZS12	-	Krátkodobá
KZ179	1.35*ZS1 + 0.75*ZS7 + 0.9*ZS8 + 1.5*ZS12	-	Krátkodobá
KZ180	1.35*ZS1 + 0.75*ZS7 + 0.9*ZS9 + 1.5*ZS12	-	Krátkodobá
KZ181	1.35*ZS1 + 0.75*ZS7 + 0.9*ZS10 + 1.5*ZS12	-	Krátkodobá
KZ182	1.35*ZS1 + 0.75*ZS7 + 0.9*ZS11 + 1.5*ZS12	-	Krátkodobá
KZ183	1.35*ZS1 + 0.9*ZS8 + 1.5*ZS12	-	Krátkodobá
KZ184	1.35*ZS1 + 0.9*ZS9 + 1.5*ZS12	-	Krátkodobá
KZ185	1.35*ZS1 + 0.9*ZS10 + 1.5*ZS12	-	Krátkodobá
KZ186	1.35*ZS1 + 0.9*ZS11 + 1.5*ZS12	-	Krátkodobá
KZ187	ZS1	-	Stálé
KZ188	ZS1 + ZS2	-	Stálé
KZ189	ZS1 + ZS3	-	Krátkodobá
KZ190	ZS1 + ZS2 + ZS3	-	Krátkodobá
KZ191	ZS1 + ZS2 + ZS3 + 0.6*ZS8	-	Krátkodobá
KZ192	ZS1 + ZS2 + ZS3 + 0.6*ZS9	-	Krátkodobá
KZ193	ZS1 + ZS2 + ZS3 + 0.6*ZS10	-	Krátkodobá
KZ194	ZS1 + ZS2 + ZS3 + 0.6*ZS11	-	Krátkodobá
KZ195	ZS1 + ZS2 + ZS3 + 0.6*ZS8 + ZS12	-	Krátkodobá
KZ196	ZS1 + ZS2 + ZS3 + 0.6*ZS9 + ZS12	-	Krátkodobá
KZ197	ZS1 + ZS2 + ZS3 + 0.6*ZS10 + ZS12	-	Krátkodobá
KZ198	ZS1 + ZS2 + ZS3 + 0.6*ZS11 + ZS12	-	Krátkodobá
KZ199	ZS1 + ZS2 + ZS3 + ZS12	-	Krátkodobá
KZ200	ZS1 + ZS3 + 0.6*ZS8	-	Krátkodobá
KZ201	ZS1 + ZS3 + 0.6*ZS9	-	Krátkodobá
KZ202	ZS1 + ZS3 + 0.6*ZS10	-	Krátkodobá
KZ203	ZS1 + ZS3 + 0.6*ZS11	-	Krátkodobá



Projekt: Diplomová práce

Model: Diplomová Práce -KROV

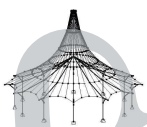
Datum: 17.04.2021

Stropní nosník

Konstrukce Krovu

1.4 TŘÍDA TRVÁNÍ ZATÍŽENÍ A TŘÍDA PROVOZU

ZS/KZ/ KV	Označení ZS resp. KZ/KV	Typ ZS	Třída trvání zatížení
KZ204	ZS1 + ZS3 + 0.6*ZS8 + ZS12	-	Krátkodobá
KZ205	ZS1 + ZS3 + 0.6*ZS9 + ZS12	-	Krátkodobá
KZ206	ZS1 + ZS3 + 0.6*ZS10 + ZS12	-	Krátkodobá
KZ207	ZS1 + ZS3 + 0.6*ZS11 + ZS12	-	Krátkodobá
KZ208	ZS1 + ZS3 + ZS12	-	Krátkodobá
KZ209	ZS1 + ZS4	-	Krátkodobá
KZ210	ZS1 + ZS5	-	Krátkodobá
KZ211	ZS1 + ZS7	-	Krátkodobá
KZ212	ZS1 + ZS2 + ZS4	-	Krátkodobá
KZ213	ZS1 + ZS2 + ZS5	-	Krátkodobá
KZ214	ZS1 + ZS2 + ZS7	-	Krátkodobá
KZ215	ZS1 + ZS2 + ZS4 + 0.6*ZS8	-	Krátkodobá
KZ216	ZS1 + ZS2 + ZS4 + 0.6*ZS9	-	Krátkodobá
KZ217	ZS1 + ZS2 + ZS4 + 0.6*ZS10	-	Krátkodobá
KZ218	ZS1 + ZS2 + ZS4 + 0.6*ZS11	-	Krátkodobá
KZ219	ZS1 + ZS2 + ZS5 + 0.6*ZS8	-	Krátkodobá
KZ220	ZS1 + ZS2 + ZS5 + 0.6*ZS9	-	Krátkodobá
KZ221	ZS1 + ZS2 + ZS5 + 0.6*ZS10	-	Krátkodobá
KZ222	ZS1 + ZS2 + ZS5 + 0.6*ZS11	-	Krátkodobá
KZ223	ZS1 + ZS2 + ZS7 + 0.6*ZS8	-	Krátkodobá
KZ224	ZS1 + ZS2 + ZS7 + 0.6*ZS9	-	Krátkodobá
KZ225	ZS1 + ZS2 + ZS7 + 0.6*ZS10	-	Krátkodobá
KZ226	ZS1 + ZS2 + ZS7 + 0.6*ZS11	-	Krátkodobá
KZ227	ZS1 + ZS2 + ZS4 + 0.6*ZS8 + 0.7*ZS12	-	Krátkodobá
KZ228	ZS1 + ZS2 + ZS4 + 0.6*ZS9 + 0.7*ZS12	-	Krátkodobá
KZ229	ZS1 + ZS2 + ZS4 + 0.6*ZS10 + 0.7*ZS12	-	Krátkodobá
KZ230	ZS1 + ZS2 + ZS4 + 0.6*ZS11 + 0.7*ZS12	-	Krátkodobá
KZ231	ZS1 + ZS2 + ZS5 + 0.6*ZS8 + 0.7*ZS12	-	Krátkodobá
KZ232	ZS1 + ZS2 + ZS5 + 0.6*ZS9 + 0.7*ZS12	-	Krátkodobá
KZ233	ZS1 + ZS2 + ZS5 + 0.6*ZS10 + 0.7*ZS12	-	Krátkodobá
KZ234	ZS1 + ZS2 + ZS5 + 0.6*ZS11 + 0.7*ZS12	-	Krátkodobá
KZ235	ZS1 + ZS2 + ZS7 + 0.6*ZS8 + 0.7*ZS12	-	Krátkodobá
KZ236	ZS1 + ZS2 + ZS7 + 0.6*ZS9 + 0.7*ZS12	-	Krátkodobá
KZ237	ZS1 + ZS2 + ZS7 + 0.6*ZS10 + 0.7*ZS12	-	Krátkodobá
KZ238	ZS1 + ZS2 + ZS7 + 0.6*ZS11 + 0.7*ZS12	-	Krátkodobá
KZ239	ZS1 + ZS2 + ZS4 + 0.7*ZS12	-	Krátkodobá
KZ240	ZS1 + ZS2 + ZS5 + 0.7*ZS12	-	Krátkodobá
KZ241	ZS1 + ZS2 + ZS7 + 0.7*ZS12	-	Krátkodobá
KZ242	ZS1 + ZS4 + 0.6*ZS8	-	Krátkodobá
KZ243	ZS1 + ZS4 + 0.6*ZS9	-	Krátkodobá
KZ244	ZS1 + ZS4 + 0.6*ZS10	-	Krátkodobá
KZ245	ZS1 + ZS4 + 0.6*ZS11	-	Krátkodobá
KZ246	ZS1 + ZS5 + 0.6*ZS8	-	Krátkodobá
KZ247	ZS1 + ZS5 + 0.6*ZS9	-	Krátkodobá
KZ248	ZS1 + ZS5 + 0.6*ZS10	-	Krátkodobá
KZ249	ZS1 + ZS5 + 0.6*ZS11	-	Krátkodobá
KZ250	ZS1 + ZS7 + 0.6*ZS8	-	Krátkodobá
KZ251	ZS1 + ZS7 + 0.6*ZS9	-	Krátkodobá
KZ252	ZS1 + ZS7 + 0.6*ZS10	-	Krátkodobá
KZ253	ZS1 + ZS7 + 0.6*ZS11	-	Krátkodobá
KZ254	ZS1 + ZS4 + 0.6*ZS8 + 0.7*ZS12	-	Krátkodobá
KZ255	ZS1 + ZS4 + 0.6*ZS9 + 0.7*ZS12	-	Krátkodobá
KZ256	ZS1 + ZS4 + 0.6*ZS10 + 0.7*ZS12	-	Krátkodobá
KZ257	ZS1 + ZS4 + 0.6*ZS11 + 0.7*ZS12	-	Krátkodobá
KZ258	ZS1 + ZS5 + 0.6*ZS8 + 0.7*ZS12	-	Krátkodobá
KZ259	ZS1 + ZS5 + 0.6*ZS9 + 0.7*ZS12	-	Krátkodobá
KZ260	ZS1 + ZS5 + 0.6*ZS10 + 0.7*ZS12	-	Krátkodobá
KZ261	ZS1 + ZS5 + 0.6*ZS11 + 0.7*ZS12	-	Krátkodobá
KZ262	ZS1 + ZS7 + 0.6*ZS8 + 0.7*ZS12	-	Krátkodobá
KZ263	ZS1 + ZS7 + 0.6*ZS9 + 0.7*ZS12	-	Krátkodobá
KZ264	ZS1 + ZS7 + 0.6*ZS10 + 0.7*ZS12	-	Krátkodobá
KZ265	ZS1 + ZS7 + 0.6*ZS11 + 0.7*ZS12	-	Krátkodobá
KZ266	ZS1 + ZS4 + 0.7*ZS12	-	Krátkodobá
KZ267	ZS1 + ZS5 + 0.7*ZS12	-	Krátkodobá
KZ268	ZS1 + ZS7 + 0.7*ZS12	-	Krátkodobá
KZ269	ZS1 + ZS8	-	Krátkodobá
KZ270	ZS1 + ZS9	-	Krátkodobá
KZ271	ZS1 + ZS10	-	Krátkodobá
KZ272	ZS1 + ZS11	-	Krátkodobá
KZ273	ZS1 + ZS2 + ZS8	-	Krátkodobá



Projekt: Diplomová práce

Model: Diplomová Práce -KROV

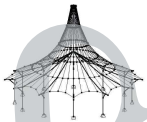
Datum: 17.04.2021

Stropní nosník

Konstrukce Krovu

1.4 TŘÍDA TRVÁNÍ ZATÍŽENÍ A TŘÍDA PROVOZU

ZS/KZ/ KV	Označení ZS resp. KZ/KV	Typ ZS	Třída trvání zatížení
KZ274	ZS1 + ZS2 + ZS9	-	Krátkodobá
KZ275	ZS1 + ZS2 + ZS10	-	Krátkodobá
KZ276	ZS1 + ZS2 + ZS11	-	Krátkodobá
KZ277	ZS1 + ZS2 + 0.5*ZS4 + ZS8	-	Krátkodobá
KZ278	ZS1 + ZS2 + 0.5*ZS4 + ZS9	-	Krátkodobá
KZ279	ZS1 + ZS2 + 0.5*ZS4 + ZS10	-	Krátkodobá
KZ280	ZS1 + ZS2 + 0.5*ZS4 + ZS11	-	Krátkodobá
KZ281	ZS1 + ZS2 + 0.5*ZS5 + ZS8	-	Krátkodobá
KZ282	ZS1 + ZS2 + 0.5*ZS5 + ZS9	-	Krátkodobá
KZ283	ZS1 + ZS2 + 0.5*ZS5 + ZS10	-	Krátkodobá
KZ284	ZS1 + ZS2 + 0.5*ZS5 + ZS11	-	Krátkodobá
KZ285	ZS1 + ZS2 + 0.5*ZS7 + ZS8	-	Krátkodobá
KZ286	ZS1 + ZS2 + 0.5*ZS7 + ZS9	-	Krátkodobá
KZ287	ZS1 + ZS2 + 0.5*ZS7 + ZS10	-	Krátkodobá
KZ288	ZS1 + ZS2 + 0.5*ZS7 + ZS11	-	Krátkodobá
KZ289	ZS1 + ZS2 + 0.5*ZS4 + ZS8 + 0.7*ZS12	-	Krátkodobá
KZ290	ZS1 + ZS2 + 0.5*ZS4 + ZS9 + 0.7*ZS12	-	Krátkodobá
KZ291	ZS1 + ZS2 + 0.5*ZS4 + ZS10 + 0.7*ZS12	-	Krátkodobá
KZ292	ZS1 + ZS2 + 0.5*ZS4 + ZS11 + 0.7*ZS12	-	Krátkodobá
KZ293	ZS1 + ZS2 + 0.5*ZS5 + ZS8 + 0.7*ZS12	-	Krátkodobá
KZ294	ZS1 + ZS2 + 0.5*ZS5 + ZS9 + 0.7*ZS12	-	Krátkodobá
KZ295	ZS1 + ZS2 + 0.5*ZS5 + ZS10 + 0.7*ZS12	-	Krátkodobá
KZ296	ZS1 + ZS2 + 0.5*ZS5 + ZS11 + 0.7*ZS12	-	Krátkodobá
KZ297	ZS1 + ZS2 + 0.5*ZS7 + ZS8 + 0.7*ZS12	-	Krátkodobá
KZ298	ZS1 + ZS2 + 0.5*ZS7 + ZS9 + 0.7*ZS12	-	Krátkodobá
KZ299	ZS1 + ZS2 + 0.5*ZS7 + ZS10 + 0.7*ZS12	-	Krátkodobá
KZ300	ZS1 + ZS2 + 0.5*ZS7 + ZS11 + 0.7*ZS12	-	Krátkodobá
KZ301	ZS1 + ZS2 + ZS8 + 0.7*ZS12	-	Krátkodobá
KZ302	ZS1 + ZS2 + ZS9 + 0.7*ZS12	-	Krátkodobá
KZ303	ZS1 + ZS2 + ZS10 + 0.7*ZS12	-	Krátkodobá
KZ304	ZS1 + ZS2 + ZS11 + 0.7*ZS12	-	Krátkodobá
KZ305	ZS1 + 0.5*ZS4 + ZS8	-	Krátkodobá
KZ306	ZS1 + 0.5*ZS4 + ZS9	-	Krátkodobá
KZ307	ZS1 + 0.5*ZS4 + ZS10	-	Krátkodobá
KZ308	ZS1 + 0.5*ZS4 + ZS11	-	Krátkodobá
KZ309	ZS1 + 0.5*ZS5 + ZS8	-	Krátkodobá
KZ310	ZS1 + 0.5*ZS5 + ZS9	-	Krátkodobá
KZ311	ZS1 + 0.5*ZS5 + ZS10	-	Krátkodobá
KZ312	ZS1 + 0.5*ZS5 + ZS11	-	Krátkodobá
KZ313	ZS1 + 0.5*ZS7 + ZS8	-	Krátkodobá
KZ314	ZS1 + 0.5*ZS7 + ZS9	-	Krátkodobá
KZ315	ZS1 + 0.5*ZS7 + ZS10	-	Krátkodobá
KZ316	ZS1 + 0.5*ZS7 + ZS11	-	Krátkodobá
KZ317	ZS1 + 0.5*ZS4 + ZS8 + 0.7*ZS12	-	Krátkodobá
KZ318	ZS1 + 0.5*ZS4 + ZS9 + 0.7*ZS12	-	Krátkodobá
KZ319	ZS1 + 0.5*ZS4 + ZS10 + 0.7*ZS12	-	Krátkodobá
KZ320	ZS1 + 0.5*ZS4 + ZS11 + 0.7*ZS12	-	Krátkodobá
KZ321	ZS1 + 0.5*ZS5 + ZS8 + 0.7*ZS12	-	Krátkodobá
KZ322	ZS1 + 0.5*ZS5 + ZS9 + 0.7*ZS12	-	Krátkodobá
KZ323	ZS1 + 0.5*ZS5 + ZS10 + 0.7*ZS12	-	Krátkodobá
KZ324	ZS1 + 0.5*ZS5 + ZS11 + 0.7*ZS12	-	Krátkodobá
KZ325	ZS1 + 0.5*ZS7 + ZS8 + 0.7*ZS12	-	Krátkodobá
KZ326	ZS1 + 0.5*ZS7 + ZS9 + 0.7*ZS12	-	Krátkodobá
KZ327	ZS1 + 0.5*ZS7 + ZS10 + 0.7*ZS12	-	Krátkodobá
KZ328	ZS1 + 0.5*ZS7 + ZS11 + 0.7*ZS12	-	Krátkodobá
KZ329	ZS1 + ZS8 + 0.7*ZS12	-	Krátkodobá
KZ330	ZS1 + ZS9 + 0.7*ZS12	-	Krátkodobá
KZ331	ZS1 + ZS10 + 0.7*ZS12	-	Krátkodobá
KZ332	ZS1 + ZS11 + 0.7*ZS12	-	Krátkodobá
KZ333	ZS1 + ZS12	-	Střednědobá
KZ334	ZS1 + ZS2 + ZS12	-	Střednědobá
KZ335	ZS1 + ZS2 + 0.5*ZS4 + ZS12	-	Krátkodobá
KZ336	ZS1 + ZS2 + 0.5*ZS5 + ZS12	-	Krátkodobá
KZ337	ZS1 + ZS2 + 0.5*ZS7 + ZS12	-	Krátkodobá
KZ338	ZS1 + ZS2 + 0.5*ZS4 + 0.6*ZS8 + ZS12	-	Krátkodobá
KZ339	ZS1 + ZS2 + 0.5*ZS4 + 0.6*ZS9 + ZS12	-	Krátkodobá
KZ340	ZS1 + ZS2 + 0.5*ZS4 + 0.6*ZS10 + ZS12	-	Krátkodobá



Projekt: Diplomová práce

Model: Diplomová Práce -KROV

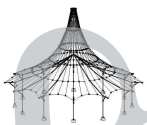
Datum: 17.04.2021

Stropní nosník

Konstrukce Krovu

1.4 TŘÍDA TRVÁNÍ ZATÍŽENÍ A TŘÍDA PROVOZU

ZS/KZ/ KV	Označení ZS resp. KZ/KV	Typ ZS	Třída trvání zatížení
KZ341	ZS1 + ZS2 + 0.5*ZS4 + 0.6*ZS11 + ZS12	-	Krátkodobá
KZ342	ZS1 + ZS2 + 0.5*ZS5 + 0.6*ZS8 + ZS12	-	Krátkodobá
KZ343	ZS1 + ZS2 + 0.5*ZS5 + 0.6*ZS9 + ZS12	-	Krátkodobá
KZ344	ZS1 + ZS2 + 0.5*ZS5 + 0.6*ZS10 + ZS12	-	Krátkodobá
KZ345	ZS1 + ZS2 + 0.5*ZS5 + 0.6*ZS11 + ZS12	-	Krátkodobá
KZ346	ZS1 + ZS2 + 0.5*ZS7 + 0.6*ZS8 + ZS12	-	Krátkodobá
KZ347	ZS1 + ZS2 + 0.5*ZS7 + 0.6*ZS9 + ZS12	-	Krátkodobá
KZ348	ZS1 + ZS2 + 0.5*ZS7 + 0.6*ZS10 + ZS12	-	Krátkodobá
KZ349	ZS1 + ZS2 + 0.5*ZS7 + 0.6*ZS11 + ZS12	-	Krátkodobá
KZ350	ZS1 + ZS2 + 0.6*ZS8 + ZS12	-	Krátkodobá
KZ351	ZS1 + ZS2 + 0.6*ZS9 + ZS12	-	Krátkodobá
KZ352	ZS1 + ZS2 + 0.6*ZS10 + ZS12	-	Krátkodobá
KZ353	ZS1 + ZS2 + 0.6*ZS11 + ZS12	-	Krátkodobá
KZ354	ZS1 + 0.5*ZS4 + ZS12	-	Krátkodobá
KZ355	ZS1 + 0.5*ZS5 + ZS12	-	Krátkodobá
KZ356	ZS1 + 0.5*ZS7 + ZS12	-	Krátkodobá
KZ357	ZS1 + 0.5*ZS4 + 0.6*ZS8 + ZS12	-	Krátkodobá
KZ358	ZS1 + 0.5*ZS4 + 0.6*ZS9 + ZS12	-	Krátkodobá
KZ359	ZS1 + 0.5*ZS4 + 0.6*ZS10 + ZS12	-	Krátkodobá
KZ360	ZS1 + 0.5*ZS4 + 0.6*ZS11 + ZS12	-	Krátkodobá
KZ361	ZS1 + 0.5*ZS5 + 0.6*ZS8 + ZS12	-	Krátkodobá
KZ362	ZS1 + 0.5*ZS5 + 0.6*ZS9 + ZS12	-	Krátkodobá
KZ363	ZS1 + 0.5*ZS5 + 0.6*ZS10 + ZS12	-	Krátkodobá
KZ364	ZS1 + 0.5*ZS5 + 0.6*ZS11 + ZS12	-	Krátkodobá
KZ365	ZS1 + 0.5*ZS7 + 0.6*ZS8 + ZS12	-	Krátkodobá
KZ366	ZS1 + 0.5*ZS7 + 0.6*ZS9 + ZS12	-	Krátkodobá
KZ367	ZS1 + 0.5*ZS7 + 0.6*ZS10 + ZS12	-	Krátkodobá
KZ368	ZS1 + 0.5*ZS7 + 0.6*ZS11 + ZS12	-	Krátkodobá
KZ369	ZS1 + 0.6*ZS8 + ZS12	-	Krátkodobá
KZ370	ZS1 + 0.6*ZS9 + ZS12	-	Krátkodobá
KZ371	ZS1 + 0.6*ZS10 + ZS12	-	Krátkodobá
KZ372	ZS1 + 0.6*ZS11 + ZS12	-	Krátkodobá
KZ373	1.8*ZS1	-	Stálé
KZ374	1.8*ZS1 + 1.8*ZS2	-	Stálé
KZ375	1.8*ZS1 + ZS3	-	Krátkodobá
KZ376	1.8*ZS1 + 1.8*ZS2 + ZS3	-	Krátkodobá
KZ377	1.8*ZS1 + 1.8*ZS2 + ZS3 + 0.6*ZS8	-	Krátkodobá
KZ378	1.8*ZS1 + 1.8*ZS2 + ZS3 + 0.6*ZS9	-	Krátkodobá
KZ379	1.8*ZS1 + 1.8*ZS2 + ZS3 + 0.6*ZS10	-	Krátkodobá
KZ380	1.8*ZS1 + 1.8*ZS2 + ZS3 + 0.6*ZS11	-	Krátkodobá
KZ381	1.8*ZS1 + 1.8*ZS2 + ZS3 + 0.6*ZS8 + 1.24*ZS12	-	Krátkodobá
KZ382	1.8*ZS1 + 1.8*ZS2 + ZS3 + 0.6*ZS9 + 1.24*ZS12	-	Krátkodobá
KZ383	1.8*ZS1 + 1.8*ZS2 + ZS3 + 0.6*ZS10 + 1.24*ZS12	-	Krátkodobá
KZ384	1.8*ZS1 + 1.8*ZS2 + ZS3 + 0.6*ZS11 + 1.24*ZS12	-	Krátkodobá
KZ385	1.8*ZS1 + 1.8*ZS2 + ZS3 + 1.24*ZS12	-	Krátkodobá
KZ386	1.8*ZS1 + ZS3 + 0.6*ZS8	-	Krátkodobá
KZ387	1.8*ZS1 + ZS3 + 0.6*ZS9	-	Krátkodobá
KZ388	1.8*ZS1 + ZS3 + 0.6*ZS10	-	Krátkodobá
KZ389	1.8*ZS1 + ZS3 + 0.6*ZS11	-	Krátkodobá
KZ390	1.8*ZS1 + ZS3 + 0.6*ZS8 + 1.24*ZS12	-	Krátkodobá
KZ391	1.8*ZS1 + ZS3 + 0.6*ZS9 + 1.24*ZS12	-	Krátkodobá
KZ392	1.8*ZS1 + ZS3 + 0.6*ZS10 + 1.24*ZS12	-	Krátkodobá
KZ393	1.8*ZS1 + ZS3 + 0.6*ZS11 + 1.24*ZS12	-	Krátkodobá
KZ394	1.8*ZS1 + ZS3 + 1.24*ZS12	-	Krátkodobá
KZ395	1.8*ZS1 + ZS4	-	Krátkodobá
KZ396	1.8*ZS1 + ZS5	-	Krátkodobá
KZ397	1.8*ZS1 + ZS7	-	Krátkodobá
KZ398	1.8*ZS1 + 1.8*ZS2 + ZS4	-	Krátkodobá
KZ399	1.8*ZS1 + 1.8*ZS2 + ZS5	-	Krátkodobá
KZ400	1.8*ZS1 + 1.8*ZS2 + ZS7	-	Krátkodobá



Projekt: Diplomová práce

Model: Diplomová Práce -KROV

Datum: 17.04.2021

Stropní nosník

Konstrukce Krovu

1.4 TŘÍDA TRVÁNÍ ZATÍŽENÍ A TŘÍDA PROVOZU

ZS/KZ/ KV	Označení ZS resp. KZ/KV	Typ ZS	Třída trvání zatížení
KZ401	1.8*ZS1 + 1.8*ZS2 + ZS4 + 0.6*ZS8	-	Krátkodobá
KZ402	1.8*ZS1 + 1.8*ZS2 + ZS4 + 0.6*ZS9	-	Krátkodobá
KZ403	1.8*ZS1 + 1.8*ZS2 + ZS4 + 0.6*ZS10	-	Krátkodobá
KZ404	1.8*ZS1 + 1.8*ZS2 + ZS4 + 0.6*ZS11	-	Krátkodobá
KZ405	1.8*ZS1 + 1.8*ZS2 + ZS5 + 0.6*ZS8	-	Krátkodobá
KZ406	1.8*ZS1 + 1.8*ZS2 + ZS5 + 0.6*ZS9	-	Krátkodobá
KZ407	1.8*ZS1 + 1.8*ZS2 + ZS5 + 0.6*ZS10	-	Krátkodobá
KZ408	1.8*ZS1 + 1.8*ZS2 + ZS5 + 0.6*ZS11	-	Krátkodobá
KZ409	1.8*ZS1 + 1.8*ZS2 + ZS7 + 0.6*ZS8	-	Krátkodobá
KZ410	1.8*ZS1 + 1.8*ZS2 + ZS7 + 0.6*ZS9	-	Krátkodobá
KZ411	1.8*ZS1 + 1.8*ZS2 + ZS7 + 0.6*ZS10	-	Krátkodobá
KZ412	1.8*ZS1 + 1.8*ZS2 + ZS7 + 0.6*ZS11	-	Krátkodobá
KZ413	1.8*ZS1 + 1.8*ZS2 + ZS4 + 0.6*ZS8 + 0.94*ZS12	-	Krátkodobá
KZ414	1.8*ZS1 + 1.8*ZS2 + ZS4 + 0.6*ZS9 + 0.94*ZS12	-	Krátkodobá
KZ415	1.8*ZS1 + 1.8*ZS2 + ZS4 + 0.6*ZS10 + 0.94*ZS12	-	Krátkodobá
KZ416	1.8*ZS1 + 1.8*ZS2 + ZS4 + 0.6*ZS11 + 0.94*ZS12	-	Krátkodobá
KZ417	1.8*ZS1 + 1.8*ZS2 + ZS5 + 0.6*ZS8 + 0.94*ZS12	-	Krátkodobá
KZ418	1.8*ZS1 + 1.8*ZS2 + ZS5 + 0.6*ZS9 + 0.94*ZS12	-	Krátkodobá
KZ419	1.8*ZS1 + 1.8*ZS2 + ZS5 + 0.6*ZS10 + 0.94*ZS12	-	Krátkodobá
KZ420	1.8*ZS1 + 1.8*ZS2 + ZS5 + 0.6*ZS11 + 0.94*ZS12	-	Krátkodobá
KZ421	1.8*ZS1 + 1.8*ZS2 + ZS7 + 0.6*ZS8 + 0.94*ZS12	-	Krátkodobá
KZ422	1.8*ZS1 + 1.8*ZS2 + ZS7 + 0.6*ZS9 + 0.94*ZS12	-	Krátkodobá
KZ423	1.8*ZS1 + 1.8*ZS2 + ZS7 + 0.6*ZS10 + 0.94*ZS12	-	Krátkodobá
KZ424	1.8*ZS1 + 1.8*ZS2 + ZS7 + 0.6*ZS11 + 0.94*ZS12	-	Krátkodobá
KZ425	1.8*ZS1 + 1.8*ZS2 + ZS4 + 0.94*ZS12	-	Krátkodobá
KZ426	1.8*ZS1 + 1.8*ZS2 + ZS5 + 0.94*ZS12	-	Krátkodobá
KZ427	1.8*ZS1 + 1.8*ZS2 + ZS7 + 0.94*ZS12	-	Krátkodobá
KZ428	1.8*ZS1 + ZS4 + 0.6*ZS8	-	Krátkodobá
KZ429	1.8*ZS1 + ZS4 + 0.6*ZS9	-	Krátkodobá
KZ430	1.8*ZS1 + ZS4 + 0.6*ZS10	-	Krátkodobá
KZ431	1.8*ZS1 + ZS4 + 0.6*ZS11	-	Krátkodobá
KZ432	1.8*ZS1 + ZS5 + 0.6*ZS8	-	Krátkodobá
KZ433	1.8*ZS1 + ZS5 + 0.6*ZS9	-	Krátkodobá
KZ434	1.8*ZS1 + ZS5 + 0.6*ZS10	-	Krátkodobá
KZ435	1.8*ZS1 + ZS5 + 0.6*ZS11	-	Krátkodobá
KZ436	1.8*ZS1 + ZS7 + 0.6*ZS8	-	Krátkodobá
KZ437	1.8*ZS1 + ZS7 + 0.6*ZS9	-	Krátkodobá
KZ438	1.8*ZS1 + ZS7 + 0.6*ZS10	-	Krátkodobá
KZ439	1.8*ZS1 + ZS7 + 0.6*ZS11	-	Krátkodobá
KZ440	1.8*ZS1 + ZS4 + 0.6*ZS8 + 0.94*ZS12	-	Krátkodobá
KZ441	1.8*ZS1 + ZS4 + 0.6*ZS9 + 0.94*ZS12	-	Krátkodobá
KZ442	1.8*ZS1 + ZS4 + 0.6*ZS10 + 0.94*ZS12	-	Krátkodobá
KZ443	1.8*ZS1 + ZS4 + 0.6*ZS11 + 0.94*ZS12	-	Krátkodobá
KZ444	1.8*ZS1 + ZS5 + 0.6*ZS8 + 0.94*ZS12	-	Krátkodobá
KZ445	1.8*ZS1 + ZS5 + 0.6*ZS9 + 0.94*ZS12	-	Krátkodobá
KZ446	1.8*ZS1 + ZS5 + 0.6*ZS10 + 0.94*ZS12	-	Krátkodobá
KZ447	1.8*ZS1 + ZS5 + 0.6*ZS11 + 0.94*ZS12	-	Krátkodobá
KZ448	1.8*ZS1 + ZS7 + 0.6*ZS8 + 0.94*ZS12	-	Krátkodobá
KZ449	1.8*ZS1 + ZS7 + 0.6*ZS9 + 0.94*ZS12	-	Krátkodobá
KZ450	1.8*ZS1 + ZS7 + 0.6*ZS10 + 0.94*ZS12	-	Krátkodobá
KZ451	1.8*ZS1 + ZS7 + 0.6*ZS11 + 0.94*ZS12	-	Krátkodobá
KZ452	1.8*ZS1 + ZS4 + 0.94*ZS12	-	Krátkodobá
KZ453	1.8*ZS1 + ZS5 + 0.94*ZS12	-	Krátkodobá
KZ454	1.8*ZS1 + ZS7 + 0.94*ZS12	-	Krátkodobá
KZ455	1.8*ZS1 + ZS8	-	Krátkodobá



Projekt: Diplomová práce

Model: Diplomová Práce -KROV

Datum: 17.04.2021

Stropní nosník

Konstrukce Krovu

1.4 TŘÍDA TRVÁNÍ ZATÍŽENÍ A TŘÍDA PROVOZU

ZS/KZ/ KV	Označení ZS resp. KZ/KV	Typ ZS	Třída trvání zatížení
KZ456	1.8*ZS1 + ZS9	-	Krátkodobá
KZ457	1.8*ZS1 + ZS10	-	Krátkodobá
KZ458	1.8*ZS1 + ZS11	-	Krátkodobá
KZ459	1.8*ZS1 + 1.8*ZS2 + ZS8	-	Krátkodobá
KZ460	1.8*ZS1 + 1.8*ZS2 + ZS9	-	Krátkodobá
KZ461	1.8*ZS1 + 1.8*ZS2 + ZS10	-	Krátkodobá
KZ462	1.8*ZS1 + 1.8*ZS2 + ZS11	-	Krátkodobá
KZ463	1.8*ZS1 + 1.8*ZS2 + 0.5*ZS4 + ZS8	-	Krátkodobá
KZ464	1.8*ZS1 + 1.8*ZS2 + 0.5*ZS4 + ZS9	-	Krátkodobá
KZ465	1.8*ZS1 + 1.8*ZS2 + 0.5*ZS4 + ZS10	-	Krátkodobá
KZ466	1.8*ZS1 + 1.8*ZS2 + 0.5*ZS4 + ZS11	-	Krátkodobá
KZ467	1.8*ZS1 + 1.8*ZS2 + 0.5*ZS5 + ZS8	-	Krátkodobá
KZ468	1.8*ZS1 + 1.8*ZS2 + 0.5*ZS5 + ZS9	-	Krátkodobá
KZ469	1.8*ZS1 + 1.8*ZS2 + 0.5*ZS5 + ZS10	-	Krátkodobá
KZ470	1.8*ZS1 + 1.8*ZS2 + 0.5*ZS5 + ZS11	-	Krátkodobá
KZ471	1.8*ZS1 + 1.8*ZS2 + 0.5*ZS7 + ZS8	-	Krátkodobá
KZ472	1.8*ZS1 + 1.8*ZS2 + 0.5*ZS7 + ZS9	-	Krátkodobá
KZ473	1.8*ZS1 + 1.8*ZS2 + 0.5*ZS7 + ZS10	-	Krátkodobá
KZ474	1.8*ZS1 + 1.8*ZS2 + 0.5*ZS7 + ZS11	-	Krátkodobá
KZ475	1.8*ZS1 + 1.8*ZS2 + 0.5*ZS4 + ZS8 + 0.94*ZS12	-	Krátkodobá
KZ476	1.8*ZS1 + 1.8*ZS2 + 0.5*ZS4 + ZS9 + 0.94*ZS12	-	Krátkodobá
KZ477	1.8*ZS1 + 1.8*ZS2 + 0.5*ZS4 + ZS10 + 0.94*ZS12	-	Krátkodobá
KZ478	1.8*ZS1 + 1.8*ZS2 + 0.5*ZS4 + ZS11 + 0.94*ZS12	-	Krátkodobá
KZ479	1.8*ZS1 + 1.8*ZS2 + 0.5*ZS5 + ZS8 + 0.94*ZS12	-	Krátkodobá
KZ480	1.8*ZS1 + 1.8*ZS2 + 0.5*ZS5 + ZS9 + 0.94*ZS12	-	Krátkodobá
KZ481	1.8*ZS1 + 1.8*ZS2 + 0.5*ZS5 + ZS10 + 0.94*ZS12	-	Krátkodobá
KZ482	1.8*ZS1 + 1.8*ZS2 + 0.5*ZS5 + ZS11 + 0.94*ZS12	-	Krátkodobá
KZ483	1.8*ZS1 + 1.8*ZS2 + 0.5*ZS7 + ZS8 + 0.94*ZS12	-	Krátkodobá
KZ484	1.8*ZS1 + 1.8*ZS2 + 0.5*ZS7 + ZS9 + 0.94*ZS12	-	Krátkodobá
KZ485	1.8*ZS1 + 1.8*ZS2 + 0.5*ZS7 + ZS10 + 0.94*ZS12	-	Krátkodobá
KZ486	1.8*ZS1 + 1.8*ZS2 + 0.5*ZS7 + ZS11 + 0.94*ZS12	-	Krátkodobá
KZ487	1.8*ZS1 + 1.8*ZS2 + ZS8 + 0.94*ZS12	-	Krátkodobá
KZ488	1.8*ZS1 + 1.8*ZS2 + ZS9 + 0.94*ZS12	-	Krátkodobá
KZ489	1.8*ZS1 + 1.8*ZS2 + ZS10 + 0.94*ZS12	-	Krátkodobá
KZ490	1.8*ZS1 + 1.8*ZS2 + ZS11 + 0.94*ZS12	-	Krátkodobá
KZ491	1.8*ZS1 + 0.5*ZS4 + ZS8	-	Krátkodobá
KZ492	1.8*ZS1 + 0.5*ZS4 + ZS9	-	Krátkodobá
KZ493	1.8*ZS1 + 0.5*ZS4 + ZS10	-	Krátkodobá
KZ494	1.8*ZS1 + 0.5*ZS4 + ZS11	-	Krátkodobá
KZ495	1.8*ZS1 + 0.5*ZS5 + ZS8	-	Krátkodobá
KZ496	1.8*ZS1 + 0.5*ZS5 + ZS9	-	Krátkodobá
KZ497	1.8*ZS1 + 0.5*ZS5 + ZS10	-	Krátkodobá
KZ498	1.8*ZS1 + 0.5*ZS5 + ZS11	-	Krátkodobá
KZ499	1.8*ZS1 + 0.5*ZS7 + ZS8	-	Krátkodobá
KZ500	1.8*ZS1 + 0.5*ZS7 + ZS9	-	Krátkodobá
KZ501	1.8*ZS1 + 0.5*ZS7 + ZS10	-	Krátkodobá
KZ502	1.8*ZS1 + 0.5*ZS7 + ZS11	-	Krátkodobá
KZ503	1.8*ZS1 + 0.5*ZS4 + ZS8 + 0.94*ZS12	-	Krátkodobá
KZ504	1.8*ZS1 + 0.5*ZS4 + ZS9 + 0.94*ZS12	-	Krátkodobá
KZ505	1.8*ZS1 + 0.5*ZS4 + ZS10 + 0.94*ZS12	-	Krátkodobá
KZ506	1.8*ZS1 + 0.5*ZS4 + ZS11 + 0.94*ZS12	-	Krátkodobá
KZ507	1.8*ZS1 + 0.5*ZS5 + ZS8 + 0.94*ZS12	-	Krátkodobá
KZ508	1.8*ZS1 + 0.5*ZS5 + ZS9 + 0.94*ZS12	-	Krátkodobá
KZ509	1.8*ZS1 + 0.5*ZS5 + ZS10 + 0.94*ZS12	-	Krátkodobá
KZ510	1.8*ZS1 + 0.5*ZS5 + ZS11 + 0.94*ZS12	-	Krátkodobá
KZ511	1.8*ZS1 + 0.5*ZS7 + ZS8 + 0.94*ZS12	-	Krátkodobá
KZ512	1.8*ZS1 + 0.5*ZS7 + ZS9 + 0	-	Krátkodobá



Projekt: Diplomová práce

Model: Diplomová Práce -KROV

Datum: 17.04.2021

Stropní nosník

Konstrukce Krovu

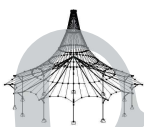
1.4 TŘÍDA TRVÁNÍ ZATÍŽENÍ A TŘÍDA PROVOZU

ZS/KZ/ KV	Označení ZS resp. KZ/KV	Typ ZS	Třída trvání zatížení
KZ513	0.94*ZS12 1.8*ZS1 + 0.5*ZS7 + ZS10 + 0.94*ZS12	-	Krátkodobá
KZ514	1.8*ZS1 + 0.5*ZS7 + ZS11 + 0.94*ZS12	-	Krátkodobá
KZ515	1.8*ZS1 + ZS8 + 0.94*ZS12	-	Krátkodobá
KZ516	1.8*ZS1 + ZS9 + 0.94*ZS12	-	Krátkodobá
KZ517	1.8*ZS1 + ZS10 + 0.94*ZS12	-	Krátkodobá
KZ518	1.8*ZS1 + ZS11 + 0.94*ZS12	-	Krátkodobá
KZ519	1.8*ZS1 + 1.24*ZS12	-	Střednědobá
KZ520	1.8*ZS1 + 1.8*ZS2 + 1.24*ZS12	-	Střednědobá
KZ521	1.8*ZS1 + 1.8*ZS2 + 0.5*ZS4 + 1.24*ZS12	-	Krátkodobá
KZ522	1.8*ZS1 + 1.8*ZS2 + 0.5*ZS5 + 1.24*ZS12	-	Krátkodobá
KZ523	1.8*ZS1 + 1.8*ZS2 + 0.5*ZS7 + 1.24*ZS12	-	Krátkodobá
KZ524	1.8*ZS1 + 1.8*ZS2 + 0.5*ZS4 + 0.6*ZS8 + 1.24*ZS12	-	Krátkodobá
KZ525	1.8*ZS1 + 1.8*ZS2 + 0.5*ZS4 + 0.6*ZS9 + 1.24*ZS12	-	Krátkodobá
KZ526	1.8*ZS1 + 1.8*ZS2 + 0.5*ZS4 + 0.6*ZS10 + 1.24*ZS12	-	Krátkodobá
KZ527	1.8*ZS1 + 1.8*ZS2 + 0.5*ZS4 + 0.6*ZS11 + 1.24*ZS12	-	Krátkodobá
KZ528	1.8*ZS1 + 1.8*ZS2 + 0.5*ZS5 + 0.6*ZS8 + 1.24*ZS12	-	Krátkodobá
KZ529	1.8*ZS1 + 1.8*ZS2 + 0.5*ZS5 + 0.6*ZS9 + 1.24*ZS12	-	Krátkodobá
KZ530	1.8*ZS1 + 1.8*ZS2 + 0.5*ZS5 + 0.6*ZS10 + 1.24*ZS12	-	Krátkodobá
KZ531	1.8*ZS1 + 1.8*ZS2 + 0.5*ZS5 + 0.6*ZS11 + 1.24*ZS12	-	Krátkodobá
KZ532	1.8*ZS1 + 1.8*ZS2 + 0.5*ZS7 + 0.6*ZS8 + 1.24*ZS12	-	Krátkodobá
KZ533	1.8*ZS1 + 1.8*ZS2 + 0.5*ZS7 + 0.6*ZS9 + 1.24*ZS12	-	Krátkodobá
KZ534	1.8*ZS1 + 1.8*ZS2 + 0.5*ZS7 + 0.6*ZS10 + 1.24*ZS12	-	Krátkodobá
KZ535	1.8*ZS1 + 1.8*ZS2 + 0.5*ZS7 + 0.6*ZS11 + 1.24*ZS12	-	Krátkodobá
KZ536	1.8*ZS1 + 1.8*ZS2 + 0.6*ZS8 + 1.24*ZS12	-	Krátkodobá
KZ537	1.8*ZS1 + 1.8*ZS2 + 0.6*ZS9 + 1.24*ZS12	-	Krátkodobá
KZ538	1.8*ZS1 + 1.8*ZS2 + 0.6*ZS10 + 1.24*ZS12	-	Krátkodobá
KZ539	1.8*ZS1 + 1.8*ZS2 + 0.6*ZS11 + 1.24*ZS12	-	Krátkodobá
KZ540	1.8*ZS1 + 0.5*ZS4 + 1.24*ZS12	-	Krátkodobá
KZ541	1.8*ZS1 + 0.5*ZS5 + 1.24*ZS12	-	Krátkodobá
KZ542	1.8*ZS1 + 0.5*ZS7 + 1.24*ZS12	-	Krátkodobá
KZ543	1.8*ZS1 + 0.5*ZS4 + 0.6*ZS8 + 1.24*ZS12	-	Krátkodobá
KZ544	1.8*ZS1 + 0.5*ZS4 + 0.6*ZS9 + 1.24*ZS12	-	Krátkodobá
KZ545	1.8*ZS1 + 0.5*ZS4 + 0.6*ZS10 + 1.24*ZS12	-	Krátkodobá
KZ546	1.8*ZS1 + 0.5*ZS4 + 0.6*ZS11 + 1.24*ZS12	-	Krátkodobá
KZ547	1.8*ZS1 + 0.5*ZS5 + 0.6*ZS8 + 1.24*ZS12	-	Krátkodobá
KZ548	1.8*ZS1 + 0.5*ZS5 + 0.6*ZS9 + 1.24*ZS12	-	Krátkodobá
KZ549	1.8*ZS1 + 0.5*ZS5 + 0.6*ZS10 + 1.24*ZS12	-	Krátkodobá
KZ550	1.8*ZS1 + 0.5*ZS5 + 0.6*ZS11 + 1.24*ZS12	-	Krátkodobá
KZ551	1.8*ZS1 + 0.5*ZS7 + 0.6*ZS8 + 1.24*ZS12	-	Krátkodobá
KZ552	1.8*ZS1 + 0.5*ZS7 + 0.6*ZS9 + 1.24*ZS12	-	Krátkodobá
KZ553	1.8*ZS1 + 0.5*ZS7 + 0.6*ZS10 + 1.24*ZS12	-	Krátkodobá
KZ554	1.8*ZS1 + 0.5*ZS7 + 0.6*ZS11 + 1.24*ZS12	-	Krátkodobá
KZ555	1.8*ZS1 + 0.6*ZS8 + 1.24*ZS12	-	Krátkodobá
KZ556	1.8*ZS1 + 0.6*ZS9 + 1.24*ZS12	-	Krátkodobá
KZ557	1.8*ZS1 + 0.6*ZS10 + 1.24*ZS12	-	Krátkodobá
KZ558	1.8*ZS1 + 0.6*ZS11 + 1.24*ZS12	-	Krátkodobá

Třída provozu TP

Třída provozu 1:

Stejná pro všechny pruty/sady
prutů



Projekt: Diplomová práce

Model: Diplomová Práce -KROV

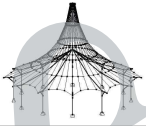
Datum: 17.04.2021

Stropní nosník

Konstrukce Krovu

2.2 POSOUZENÍ PO PRŮŘEZÍCH

Průř. č.	Prut č.	Místo x [m]	ZS/KZ/KV	Posouzení	Posouzení č.	Označení
1	T-obdélník 200/600 58	0.000	KZ12	0.56 ≤ 1	163)	Únosnost průřezu - Dvouosý ohyb a tah podle 6.2.3
2	T-obdélník 80/240 235	2.091	KZ9	0.92 ≤ 1	333)	Prut s dvouosým ohybem a tlakem podle 6.3.2 - vzpěr okolo obou os
4	T-obdélník 160/360 205	0.803	KZ148	0.08 ≤ 1	111)	Únosnost průřezu - Smyk od posouvající síly Vz podle 6.1.7
5	T-2B 240/80/60 287	0.000	KZ148	0.02 ≤ 1	3101)	Únosnost průřezu - Tah podél vláken podle 6.1.2
6	T-obdélník 160/200 371	0.706	KZ143	0.26 ≤ 1	112)	Únosnost průřezu - Smyk od posouvající síly Vy podle 6.1.7
7	T-obdélník 100/240 375 375	1.284 1.284	KZ103 KZ103	0.84 ≤ 1 0.84 ≤ 1	151) 311)	Únosnost průřezu - Jednoosý ohyb podle 6.1.6 Ohýbaný prut bez tlakové síly podle 6.3.3 - ohyb okolo osy y
8	T-obdélník 100/240 93	3.940	KZ9	0.74 ≤ 1	333)	Prut s dvouosým ohybem a tlakem podle 6.3.2 - vzpěr okolo obou os



Projekt: Diplomová práce
Stropní nosník

Model: Diplomová Práce

Datum: 19.04.2021

Statický výpočet

PROJEKT

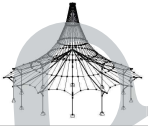
Diplomová práce
Spolecensky dum s hasickou zbrojnicí
Statiky vypocet stropu

INVESTOR

Ceska zemedelska univerzita
Fakulta lesnicka a drevarska
Drevarske Inzenyrstvi

ZHOTOVITEL

Jaroslav Prusa



Projekt: Diplomová práce

Model: Diplomová Práce

Datum: 19.04.2021

Stropní nosník

ZÁKLADNÍ ÚDAJE O MODELU

Obecné	Název modelu	: Diplomová Práce
	Název projektu	: Diplomová práce
	Označení projektu	: Stropní nosník
	Typ modelu	: 2D-XZ (ux/uz/ϕy)
	Kladný směr globální osy Z	: Nahoru
	Klasifikace zatěžovacích stavů a kombinací	: Podle normy: EN 1990 + EN 1995 (dřevo) Národní příloha: ČSN - Česká Republika
	<input checked="" type="checkbox"/> Automaticky vytvořit kombinace	: <input checked="" type="checkbox"/> Kombinace zatížení
	Možnosti	
	<input type="checkbox"/> RF-FORM-FINDING - Hledání počátečních rovnovážných tvarů membránových a lanových konstrukcí	
	<input type="checkbox"/> RF-CUTTING-PATTERN	
<input type="checkbox"/> Analýza potrubí		
<input type="checkbox"/> Použití pravidlo CQC		
<input type="checkbox"/> Umožnit CAD/BIM model		
Tíhové zrychlení	g	: 10.00 m/s ²

2.1 ZATĚŽOVACÍ STAVY

Zatěž. stav	Označení zatěž. stavu	Kategorie účinků	Vlastní tíha - Součinitel ve směru			EN 1990 + 1995 ČSN Doba trvání zatížení	
			Aktivní	X	Y		Z
ZS1	Stálé zatížení	Stálé	<input checked="" type="checkbox"/>	0.000		-1.000	Stálé
ZS2	Užitné zatížení	Užitná zatížení - kategorie C: shromažďovací plochy	<input checked="" type="checkbox"/>	0.000		0.000	Střednědobá

2.1.1 ZATĚŽOVACÍ STAVY - PARAMETRY VÝPOČTU

Zatěž. stav	Označení zatěž. stavu	Parametry výpočtu	
ZS1	Stálé zatížení	Způsob výpočtu	: <input checked="" type="radio"/> Teorie I. řádu (geometricky lineární výpočet)
		Metoda pro řešení systému nelineárních algebraických rovnic	: <input checked="" type="radio"/> Newton-Raphson
		Aktivovat součinitele tuhosti:	: <input checked="" type="checkbox"/> Průřezy (součinitel pro J, I _y , I _z , A, A _y , A _z) : <input checked="" type="checkbox"/> Pruty (faktor pro GJ, E _{I_y} , E _{I_z} , EA, GA _y , GA _z)
ZS2	Užitné zatížení	Způsob výpočtu	: <input checked="" type="radio"/> Teorie I. řádu (geometricky lineární výpočet)
		Metoda pro řešení systému nelineárních algebraických rovnic	: <input checked="" type="radio"/> Newton-Raphson
		Aktivovat součinitele tuhosti:	: <input checked="" type="checkbox"/> Průřezy (součinitel pro J, I _y , I _z , A, A _y , A _z) : <input checked="" type="checkbox"/> Pruty (faktor pro GJ, E _{I_y} , E _{I_z} , EA, GA _y , GA _z)

2.5 KOMBINACE ZATÍŽENÍ

Kombin. zatížení	Kombinace zatížení		č.	Součinitel	Zatěžovací stav	
	NS	Označení			Zatěžovací stav	Zatěžovací stav
KZ1	STR	1.35*ZS1	1	1.35	ZS1	Stálé zatížení
KZ2	STR	1.35*ZS1 + 1.5*ZS2	1	1.35	ZS1	Stálé zatížení
			2	1.50	ZS2	Užitné zatížení
KZ3	S Ch	ZS1	1	1.00	ZS1	Stálé zatížení
KZ4	S Ch	ZS1 + ZS2	1	1.00	ZS1	Stálé zatížení
			2	1.00	ZS2	Užitné zatížení
KZ5	S Qp	1.8*ZS1	1	1.80	ZS1	Stálé zatížení
KZ6	S Qp	1.8*ZS1 + 1.48*ZS2	1	1.80	ZS1	Stálé zatížení
			2	1.48	ZS2	Užitné zatížení

2.5.2 KOMBINACE ZATÍŽENÍ - PARAMETRY VÝPOČTU

Kombin. zatížení	Označení	Parametry výpočtu	
KZ1	1.35*ZS1	Způsob výpočtu	: <input checked="" type="radio"/> Analýza podle II. řádu (P-Delta)
		Metoda pro řešení systému nelineárních algebraických rovnic	: <input checked="" type="radio"/> Picard
		Možnosti	: <input checked="" type="checkbox"/> Zohlednit příznivé tahové účinky : <input checked="" type="checkbox"/> Vztáhnout vnitřní síly na přetvořený systém pro: : <input checked="" type="checkbox"/> Normálové síly N : <input checked="" type="checkbox"/> Smykové síly V _y a V _z : <input checked="" type="checkbox"/> Momenty M _y , M _z a M _T
		Aktivovat součinitele tuhosti:	: <input checked="" type="checkbox"/> Materiály (díleč souč. spolehlivosti γ _M) : <input checked="" type="checkbox"/> Průřezy (součinitel pro J, I _y , I _z , A, A _y , A _z) : <input checked="" type="checkbox"/> Pruty (faktor pro GJ, E _{I_y} , E _{I_z} , EA, GA _y , GA _z)
KZ2	1.35*ZS1 + 1.5*ZS2	Způsob výpočtu	: <input checked="" type="radio"/> Analýza podle II. řádu (P-Delta)
		Metoda pro řešení systému nelineárních algebraických rovnic	: <input checked="" type="radio"/> Picard
		Možnosti	: <input checked="" type="checkbox"/> Zohlednit příznivé tahové účinky : <input checked="" type="checkbox"/> Vztáhnout vnitřní síly na přetvořený systém pro: : <input checked="" type="checkbox"/> Normálové síly N : <input checked="" type="checkbox"/> Smykové síly V _y a V _z : <input checked="" type="checkbox"/> Momenty M _y , M _z a M _T



Projekt: Diplomová práce
Stropní nosník

Model: Diplomová Práce

Datum: 19.04.2021

2.5.2 KOMBINACE ZATÍŽENÍ - PARAMETRY VÝPOČTU

Kombin. zatížení	Označení	Parametry výpočtu
KZ3	ZS1	Aktivovat součinitele tuhosti: <ul style="list-style-type: none"> <input checked="" type="checkbox"/> Materiály (díleč souč. spolehlivosti γ_M) <input checked="" type="checkbox"/> Průřezy (součinitel pro J, I_y, I_z, A, A_y, A_z) <input checked="" type="checkbox"/> Pruty (faktor pro $GJ, EI_y, EI_z, EA, GA_y, GA_z$)
		Způsob výpočtu: <input checked="" type="checkbox"/> Analýza podle II. řádu (P-Delta) Metoda pro řešení systému nelineárních algebraických rovnic: <input checked="" type="checkbox"/> Picard Možnosti: <ul style="list-style-type: none"> <input checked="" type="checkbox"/> Zohlednit příznivé tahové účinky <input checked="" type="checkbox"/> Vztáhnout vnitřní síly na přetožený systém pro: <ul style="list-style-type: none"> <input checked="" type="checkbox"/> Normálové síly N <input checked="" type="checkbox"/> Smykové síly V_y a V_z <input checked="" type="checkbox"/> Momenty M_y, M_z a M_T
KZ4	ZS1 + ZS2	Aktivovat součinitele tuhosti: <ul style="list-style-type: none"> <input checked="" type="checkbox"/> Průřezy (součinitel pro J, I_y, I_z, A, A_y, A_z) <input checked="" type="checkbox"/> Pruty (faktor pro $GJ, EI_y, EI_z, EA, GA_y, GA_z$)
		Způsob výpočtu: <input checked="" type="checkbox"/> Analýza podle II. řádu (P-Delta) Metoda pro řešení systému nelineárních algebraických rovnic: <input checked="" type="checkbox"/> Picard Možnosti: <ul style="list-style-type: none"> <input checked="" type="checkbox"/> Zohlednit příznivé tahové účinky <input checked="" type="checkbox"/> Vztáhnout vnitřní síly na přetožený systém pro: <ul style="list-style-type: none"> <input checked="" type="checkbox"/> Normálové síly N <input checked="" type="checkbox"/> Smykové síly V_y a V_z <input checked="" type="checkbox"/> Momenty M_y, M_z a M_T
KZ5	1.8*ZS1	Aktivovat součinitele tuhosti: <ul style="list-style-type: none"> <input checked="" type="checkbox"/> Průřezy (součinitel pro J, I_y, I_z, A, A_y, A_z) <input checked="" type="checkbox"/> Pruty (faktor pro $GJ, EI_y, EI_z, EA, GA_y, GA_z$)
		Způsob výpočtu: <input checked="" type="checkbox"/> Analýza podle II. řádu (P-Delta) Metoda pro řešení systému nelineárních algebraických rovnic: <input checked="" type="checkbox"/> Picard Možnosti: <ul style="list-style-type: none"> <input checked="" type="checkbox"/> Zohlednit příznivé tahové účinky <input checked="" type="checkbox"/> Vztáhnout vnitřní síly na přetožený systém pro: <ul style="list-style-type: none"> <input checked="" type="checkbox"/> Normálové síly N <input checked="" type="checkbox"/> Smykové síly V_y a V_z <input checked="" type="checkbox"/> Momenty M_y, M_z a M_T
KZ6	1.8*ZS1 + 1.48*ZS2	Aktivovat součinitele tuhosti: <ul style="list-style-type: none"> <input checked="" type="checkbox"/> Průřezy (součinitel pro J, I_y, I_z, A, A_y, A_z) <input checked="" type="checkbox"/> Pruty (faktor pro $GJ, EI_y, EI_z, EA, GA_y, GA_z$)
		Způsob výpočtu: <input checked="" type="checkbox"/> Analýza podle II. řádu (P-Delta) Metoda pro řešení systému nelineárních algebraických rovnic: <input checked="" type="checkbox"/> Picard Možnosti: <ul style="list-style-type: none"> <input checked="" type="checkbox"/> Zohlednit příznivé tahové účinky <input checked="" type="checkbox"/> Vztáhnout vnitřní síly na přetožený systém pro: <ul style="list-style-type: none"> <input checked="" type="checkbox"/> Normálové síly N <input checked="" type="checkbox"/> Smykové síly V_y a V_z <input checked="" type="checkbox"/> Momenty M_y, M_z a M_T

2.7 KOMBINACE VÝSLEDKŮ

Kombin. výsledků	Označení	Zatěžování
KV1	MSÚ (STR/GEO) - trvalá/dočasná - rovn. 6.10	KZ1/s nebo KZ2/s
KV2	MSP - charakteristická / málo častá	KZ3/s nebo KZ4/s
KV3	MSP - kvazistálá	KZ5/s nebo KZ6/s

3.1 ZATÍŽENÍ NA UZEL - PO KOMPONENTECH - SOUŘADNÝ SYSTÉM

ZS1: Stálé zatížení

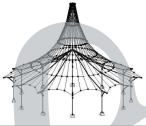
ZS1
Stálé zatížení

č.	Na uzlech č.	Souřadný systém	Síla [kN]		Moment M_y / M_z [kNm]
			P_x / P_u	P_z / P_w	
1	7-16	0 Globální XYZ	0.000	-20.970	0.000
2	19-28	0 Globální XYZ	0.000	-26.158	0.000
3	34-45	0 Globální XYZ	0.000	-13.684	0.000

3.2 ZATÍŽENÍ NA PRUT

ZS1: Stálé zatížení

č.	Vztážno na Pruty	Na prutech č.	Zatížení typ	Zatížení průběh	Zatížení směr	Vztázná délka	Parametry zatížení		
							Symbol	Hodnota	Jednotka
1	Pruty	2,3,26	Síla	Konstant.	z	Skutečná d.	p	0.857	kN/m



Projekt: Diplomová práce
Stropní nosník

Model: Diplomová Práce

Datum: 19.04.2021

3.2/1 ZATÍŽENÍ NA PRUTY - EXCENTRICITA ZATÍŽENÍ

ZS1: Stálé zatížení

č.	Vztaženo na	Na prutech č.	Absolutní odsazení		Absolutní odsazení		Relativní odsazení		Relativní odsazení	
			Zač. prutu	Zač. prutu	Kon. prutu	Kon. prutu	Zač. prutu	Zač. prutu	Kon. prutu	Kon. prutu
			e_y [mm]	e_z [mm]	e_y [mm]	e_z [mm]	Osa y	Osa z	Osa y	Osa z
1	Pruty	2,3,26	0.0	0.0	0.0	0.0	Střed	Střed	Střed	Střed

ZS2
Užitné zatížení

3.2 ZATÍŽENÍ NA PRUT

ZS2: Užitné zatížení

č.	Vztaženo na	Na prutech č.	Zatížení typ	Zatížení průběh	Zatížení směr	Vztažná délka	Parametry zatížení		
							Symbol	Hodnota	Jednotka
1	Pruty	2	Síla	Konstant.	z	Skutečná d.	p	3.125	kN/m
2	Pruty	3	Síla	Konstant.	z	Skutečná d.	p	3.125	kN/m
3	Pruty	26	Síla	Konstant.	z	Skutečná d.	p	0.938	kN/m

3.2/1 ZATÍŽENÍ NA PRUTY - EXCENTRICITA ZATÍŽENÍ

ZS2: Užitné zatížení

č.	Vztaženo na	Na prutech č.	Absolutní odsazení		Absolutní odsazení		Relativní odsazení		Relativní odsazení	
			Zač. prutu	Zač. prutu	Kon. prutu	Kon. prutu	Zač. prutu	Zač. prutu	Kon. prutu	Kon. prutu
			e_y [mm]	e_z [mm]	e_y [mm]	e_z [mm]	Osa y	Osa z	Osa y	Osa z
1	Pruty	2	0.0	0.0	0.0	0.0	Střed	Střed	Střed	Střed
2	Pruty	3	0.0	0.0	0.0	0.0	Střed	Střed	Střed	Střed
3	Pruty	26	0.0	0.0	0.0	0.0	Střed	Střed	Střed	Střed

Projekt: Diplomová práce
Stropní nosník

Model: Diplomová Práce

Datum: 19.04.2021

4.0 VÝSLEDKY - SOUHRN

Označení	Hodnota	Jedno	Komentář
Zatěžovací stav ZS1 - Stálé zatížení			
Součet zatížení ve směru X	0.000	kN	
Součet reakcí v X	0.000	kN	
Součet zatížení ve směru Z	-665.928	kN	
Součet reakcí v Z	-665.928	kN	Odchylka 0.00%
Výslednice reakcí okolo X	0.000	kNm	V těžišti modelu (X:7.198, Y:0.000, Z:-3.482 m)
Výslednice reakcí okolo Y	-678.455	kNm	V těžišti modelu
Výslednice reakcí okolo Z	0.000	kNm	V těžišti modelu
Max. posun ve směru X	0.0	mm	
Max. posun ve směru Z	-15.0	mm	Prut č. 20, x: 0.312 m
Max. posun vektorový	15.0	mm	Prut č. 20, x: 0.312 m
Max. pootočení okolo Y	0.0053	rad	Prut č. 15, x: 0.000 m
Maximální přetvoření prutu	0.00000	-	Prut č. 0, x: 0.000 m
Způsob výpočtu	I. řád		Teorie I. řádu (geometricky lineární výpočet)
Redukce tuhosti			Průřezy, Pruty, Plochy
Počet přírůstků zatížení	1		
Počet iterací	1		
Maximální hodnota prvku matice tuhosti na diagonále	8.625E+09		
Minimální hodnota prvku matice tuhosti na diagonále	1.E+03		
Determinant matice tuhosti	2.460E+931		
Nekonečná norma	1.725E+10		
Zatěžovací stav ZS2 - Užité zatížení			
Součet zatížení ve směru X	0.000	kN	
Součet reakcí v X	0.000	kN	
Součet zatížení ve směru Z	-24.859	kN	
Součet reakcí v Z	-24.859	kN	Odchylka 0.00%
Výslednice reakcí okolo X	0.000	kNm	V těžišti modelu (X:7.198, Y:0.000, Z:-3.482 m)
Výslednice reakcí okolo Y	-91.637	kNm	V těžišti modelu
Výslednice reakcí okolo Z	0.000	kNm	V těžišti modelu
Max. posun ve směru X	0.0	mm	
Max. posun ve směru Z	-9.7	mm	Prut č. 2, x: 2.060 m
Max. posun vektorový	9.7	mm	Prut č. 2, x: 2.060 m
Max. pootočení okolo Y	-0.0072	rad	Prut č. 2, x: 4.120 m
Maximální přetvoření prutu	0.00000	-	Prut č. 0, x: 0.000 m
Způsob výpočtu	I. řád		Teorie I. řádu (geometricky lineární výpočet)
Redukce tuhosti			Průřezy, Pruty, Plochy
Počet přírůstků zatížení	1		
Počet iterací	1		
Maximální hodnota prvku matice tuhosti na diagonále	8.625E+09		
Minimální hodnota prvku matice tuhosti na diagonále	1.E+03		
Determinant matice tuhosti	2.460E+931		
Nekonečná norma	1.725E+10		
Kombinace zatížení KZ1 - 1.35*ZS1			
Součet zatížení ve směru X	0.000	kN	
Součet reakcí v X	0.000	kN	
Součet zatížení ve směru Z	-899.002	kN	
Součet reakcí v Z	-899.002	kN	Odchylka 0.00%
Výslednice reakcí okolo X	0.0000	kNm	V těžišti modelu (X:7.1975, Y:0.0000, Z:-3.4825 m)
Výslednice reakcí okolo Y	-915.9140	kNm	V těžišti modelu
Výslednice reakcí okolo Z	0.0000	kNm	V těžišti modelu
Max. posun ve směru X	0.0	mm	
Max. posun ve směru Z	-24.4	mm	Prut č. 20, x: 0.312 m
Max. posun vektorový	24.4	mm	Prut č. 20, x: 0.312 m
Max. pootočení okolo Y	0.0087	rad	Prut č. 15, x: 0.000 m
Maximální přetvoření prutu	0.00000	-	Prut č. 0, x: 0.000 m
Způsob výpočtu	II. řád		Teorie II. řádu (nelineární výpočet podle Timoshenka)
Vnitřní síly vztažené na deformovaný systém pro...	<input checked="" type="checkbox"/>		N, V _y , V _z , M _y , M _z , M _T
Redukce tuhosti			Materiály, Průřezy, Pruty, Plochy
Zohlednit příznivé působení tahových sil	<input checked="" type="checkbox"/>		
Zpětné dělení výsledků součinitelem KZ	<input type="checkbox"/>		
Počet přírůstků zatížení	1		
Počet iterací	2		
Maximální hodnota prvku matice tuhosti na diagonále	7.188E+09		
Minimální hodnota prvku matice tuhosti na diagonále	1.E+03		
Determinant matice tuhosti	4.274E+922		
Nekonečná norma	1.438E+10		
Kombinace zatížení KZ2 - 1.35*ZS1 + 1.5*ZS2			
Součet zatížení ve směru X	0.000	kN	
Součet reakcí v X	0.000	kN	
Součet zatížení ve směru Z	-936.291	kN	
Součet reakcí v Z	-936.291	kN	Odchylka 0.00%
Výslednice reakcí okolo X	0.0000	kNm	V těžišti modelu (X:7.1975, Y:0.0000, Z:-3.4825 m)
Výslednice reakcí okolo Y	-1.05E+03	kNm	V těžišti modelu
Výslednice reakcí okolo Z	0.0000	kNm	V těžišti modelu
Max. posun ve směru X	0.0	mm	
Max. posun ve směru Z	-24.4	mm	Prut č. 20, x: 0.312 m
Max. posun vektorový	24.4	mm	Prut č. 20, x: 0.312 m
Max. pootočení okolo Y	-0.0179	rad	Prut č. 2, x: 4.120 m
Maximální přetvoření prutu	0.00000	-	Prut č. 0, x: 0.000 m
Způsob výpočtu	II. řád		Teorie II. řádu (nelineární výpočet podle Timoshenka)
Vnitřní síly vztažené na deformovaný systém pro...	<input checked="" type="checkbox"/>		N, V _y , V _z , M _y , M _z , M _T
Redukce tuhosti			Materiály, Průřezy, Pruty, Plochy
Zohlednit příznivé působení tahových sil	<input checked="" type="checkbox"/>		



Projekt: Diplomová práce

Model: Diplomová Práce

Datum: 19.04.2021

Stropní nosník

4.0 VÝSLEDKY - SOUHRN

Označení	Hodnota	Jedno	Komentář
Zpětné dělení výsledků součinitelem KZ		<input type="checkbox"/>	
Počet přírůstků zatížení	1		
Počet iterací	2		
Maximální hodnota prvku matice tuhosti na diagonále	7.188E+09		
Minimální hodnota prvku matice tuhosti na diagonále	1.E+03		
Determinant matice tuhosti	4.274E+922		
Nekonečná norma	1.438E+10		
Kombinace zatížení KZ3 - ZS1			
Součet zatížení ve směru X	0.000	kN	
Součet reakcí v X	0.000	kN	
Součet zatížení ve směru Z	-665.928	kN	
Součet reakcí v Z	-665.928	kN	Odchylka 0.00%
Výslednice reakcí okolo X	0.0000	kNm	V těžišti modelu (X:7.1975, Y:0.0000, Z:-3.4825 m)
Výslednice reakcí okolo Y	-678.4550	kNm	V těžišti modelu
Výslednice reakcí okolo Z	0.0000	kNm	V těžišti modelu
Max. posun ve směru X	0.0	mm	
Max. posun ve směru Z	-15.0	mm	Prut č. 20, x: 0.312 m
Max. posun vektorový	15.0	mm	Prut č. 20, x: 0.312 m
Max. pootočení okolo Y	0.0053	rad	Prut č. 15, x: 0.000 m
Maximální přetvoření prutu	0.00000	-	Prut č. 0, x: 0.000 m
Způsob výpočtu	II. řád		Teorie II. řádu (nelineární výpočet podle Timoshenka)
Vnitřní síly vztažené na deformovaný systém pro...	<input checked="" type="checkbox"/>		N, V _y , V _z , M _y , M _z , M _T
Redukce tuhosti			Průřezy, Pruty, Plochy
Zohlednit příznivé působení tahových sil	<input checked="" type="checkbox"/>		
Zpětné dělení výsledků součinitelem KZ	<input type="checkbox"/>		
Počet přírůstků zatížení	1		
Počet iterací	2		
Maximální hodnota prvku matice tuhosti na diagonále	8.625E+09		
Minimální hodnota prvku matice tuhosti na diagonále	1.E+03		
Determinant matice tuhosti	2.460E+931		
Nekonečná norma	1.725E+10		
Kombinace zatížení KZ4 - ZS1 + ZS2			
Součet zatížení ve směru X	0.000	kN	
Součet reakcí v X	0.000	kN	
Součet zatížení ve směru Z	-690.787	kN	
Součet reakcí v Z	-690.787	kN	Odchylka 0.00%
Výslednice reakcí okolo X	0.0000	kNm	V těžišti modelu (X:7.1975, Y:0.0000, Z:-3.4825 m)
Výslednice reakcí okolo Y	-770.0910	kNm	V těžišti modelu
Výslednice reakcí okolo Z	0.0000	kNm	V těžišti modelu
Max. posun ve směru X	0.0	mm	
Max. posun ve směru Z	-15.0	mm	Prut č. 20, x: 0.312 m
Max. posun vektorový	15.0	mm	Prut č. 20, x: 0.312 m
Max. pootočení okolo Y	-0.0094	rad	Prut č. 2, x: 4.120 m
Maximální přetvoření prutu	0.00000	-	Prut č. 0, x: 0.000 m
Způsob výpočtu	II. řád		Teorie II. řádu (nelineární výpočet podle Timoshenka)
Vnitřní síly vztažené na deformovaný systém pro...	<input checked="" type="checkbox"/>		N, V _y , V _z , M _y , M _z , M _T
Redukce tuhosti			Průřezy, Pruty, Plochy
Zohlednit příznivé působení tahových sil	<input checked="" type="checkbox"/>		
Zpětné dělení výsledků součinitelem KZ	<input type="checkbox"/>		
Počet přírůstků zatížení	1		
Počet iterací	2		
Maximální hodnota prvku matice tuhosti na diagonále	8.625E+09		
Minimální hodnota prvku matice tuhosti na diagonále	1.E+03		
Determinant matice tuhosti	2.460E+931		
Nekonečná norma	1.725E+10		
Kombinace zatížení KZ5 - 1.8*ZS1			
Součet zatížení ve směru X	0.000	kN	
Součet reakcí v X	0.000	kN	
Součet zatížení ve směru Z	-1198.670	kN	
Součet reakcí v Z	-1198.670	kN	Odchylka 0.00%
Výslednice reakcí okolo X	0.0000	kNm	V těžišti modelu (X:7.1975, Y:0.0000, Z:-3.4825 m)
Výslednice reakcí okolo Y	-1.22E+03	kNm	V těžišti modelu
Výslednice reakcí okolo Z	0.0000	kNm	V těžišti modelu
Max. posun ve směru X	0.0	mm	
Max. posun ve směru Z	-27.1	mm	Prut č. 20, x: 0.312 m
Max. posun vektorový	27.1	mm	Prut č. 20, x: 0.312 m
Max. pootočení okolo Y	0.0096	rad	Prut č. 15, x: 0.000 m
Maximální přetvoření prutu	0.00000	-	Prut č. 0, x: 0.000 m
Způsob výpočtu	II. řád		Teorie II. řádu (nelineární výpočet podle Timoshenka)
Vnitřní síly vztažené na deformovaný systém pro...	<input checked="" type="checkbox"/>		N, V _y , V _z , M _y , M _z , M _T
Redukce tuhosti			Průřezy, Pruty, Plochy
Zohlednit příznivé působení tahových sil	<input checked="" type="checkbox"/>		
Zpětné dělení výsledků součinitelem KZ	<input type="checkbox"/>		
Počet přírůstků zatížení	1		
Počet iterací	2		
Maximální hodnota prvku matice tuhosti na diagonále	8.625E+09		
Minimální hodnota prvku matice tuhosti na diagonále	1.E+03		
Determinant matice tuhosti	2.460E+931		
Nekonečná norma	1.725E+10		



■ 4.0 VÝSLEDKY - SOUHRN

Označení	Hodnota	Jedno	Komentář
Kombinace zatížení KZ6 - 1.8*ZS1 + 1.48*ZS2			
Součet zatížení ve směru X	0.000	kN	
Součet reakcí v X	0.000	kN	
Součet zatížení ve směru Z	-1235.460	kN	
Součet reakcí v Z	-1235.460	kN	Odchylka 0.00%
Výslednice reakcí okolo X	0.0000	kNm	V těžišti modelu (X:7.1975, Y:0.0000, Z:-3.4825 m)
Výslednice reakcí okolo Y	-1.36E+03	kNm	V těžišti modelu
Výslednice reakcí okolo Z	0.0000	kNm	V těžišti modelu
Max. posun ve směru X	0.0	mm	
Max. posun ve směru Z	-27.1	mm	Prut č. 20, x: 0.312 m
Max. posun vektorový	27.1	mm	Prut č. 20, x: 0.312 m
Max. pootočení okolo Y	-0.0146	rad	Prut č. 2, x: 4.120 m
Maximální přetožení prutu	0.00000	-	Prut č. 0, x: 0.000 m
Způsob výpočtu	II. řád		Teorie II. řádu (nelineární výpočet podle Timoshenka)
Vnitřní síly vztažené na deformovaný systém pro...	<input checked="" type="checkbox"/>		N, V _y , V _z , M _y , M _z , M _T
Redukce tuhosti			Průřezy, Pruty, Plochy
Zohlednit příznivé působení tahových sil	<input checked="" type="checkbox"/>		
Zpětné dělení výsledků součinitelem KZ	<input type="checkbox"/>		
Počet přírůstků zatížení	1		
Počet iterací	2		
Maximální hodnota prvku matice tuhosti na diagonále	8.625E+09		
Minimální hodnota prvku matice tuhosti na diagonále	1.E+03		
Determinant matice tuhosti	2.460E+931		
Nekonečná norma	1.725E+10		
Celkem			
Max. posun ve směru X	0.0		
Max. posun ve směru Z	-27.1	mm	KZ5, Prut č. 20, x: 0.312 m
Max. posun vektorový	27.1	mm	KZ5, Prut č. 20, x: 0.312 m
Max. pootočení okolo Y	-0.0179	rad	KZ2, Prut č. 2, x: 4.120 m
Ostatní nastavení:			
Počet konečných prvků 1D	38		
Počet konečných prvků 2D	0		
Počet konečných prvků 3D	0		
Počet uzlů sítě KP	44		
Počet rovnic	132		
Vnitřní síly vztažené na deformovaný systém pro...			
Maximální počet iterací	100		
Počet dělení prutu pro průběhy výsledků	10		
Dělení prutů typu lano, prutů s náběhem a na podloží	10		
Počet dělení prutů pro hledání maximálních hodnot	10		
Rozdělení sítě KP pro grafické výsledky	3		
Procentuální počet iterací Picardovy metody v kombinaci s metodou Newton-Raphsonovou	5	%	
Možnosti:			
Aktivovat smykovou tuhost prutů (Ay, Az)	<input checked="" type="checkbox"/>		
Aktivovat dělení prutů pro analýzu velkých deformací nebo poskritickou analýzu	<input checked="" type="checkbox"/>		
Aktivovat zadané změny tuhosti	<input checked="" type="checkbox"/>		
Kontrola kritických sil prutů	<input checked="" type="checkbox"/>		
Nesymetrický přímý řešič, pokud vyžadováno nelineárním modelem	<input type="checkbox"/>		
Metoda pro systém rovnic	Přímá		
Ohybová teorie desek	Mindlinova		
Verze řešiče	64-bit		
Přesnost a tolerance:			
Změnit standardní nastavení	<input type="checkbox"/>		

■ 4.1 UZLY - PODPOROVÉ SÍLY

Uzel č.	ZS/KZ	Podporové síly [kN]		Podporové momenty	
		P _X	P _Z	M _Y [kNm]	
1	ZS1	0.000	-1.172	0.000	Stálé zatížení Užitné zatížení
	ZS2	0.000	-3.906	0.000	
	KZ1	0.000	-1.582	0.000	
	KZ2	0.000	-7.442	0.000	
	KZ3	0.000	-1.172	0.000	
	KZ4	0.000	-5.078	0.000	
	KZ5	0.000	-2.110	0.000	
2	ZS1	0.000	-1.172	0.000	Stálé zatížení Užitné zatížení
	ZS2	0.000	-3.906	0.000	
	KZ1	0.000	-1.582	0.000	
	KZ2	0.000	-7.442	0.000	
	KZ3	0.000	-1.172	0.000	
	KZ4	0.000	-5.078	0.000	
	KZ5	0.000	-2.110	0.000	
3	ZS1	0.000	-1.973	0.000	Stálé zatížení Užitné zatížení
	ZS2	0.000	-6.438	0.000	
	KZ1	0.000	-2.664	0.000	
	KZ2	0.000	-12.320	0.000	
	KZ3	0.000	-1.172	0.000	



Projekt: Diplomová práce

Model: Diplomová Práce

Datum: 19.04.2021

Stropní nosník

4.1 UZLY - PODPOROVÉ SÍLY

Uzel č.	ZS/KZ	Podporové síly [kN]		Podporové momenty	
		P _x	P _z	M _y [kNm]	
3	KZ3	0.000	-1.973	0.000	
	KZ4	0.000	-8.411	0.000	
	KZ5	0.000	-3.552	0.000	
	KZ6	0.000	-13.079	0.000	
4	ZS1	0.000	-1.973	0.000	Stálé zatížení
	ZS2	0.000	-6.438	0.000	
	KZ1	0.000	-2.664	0.000	Užitné zatížení
	KZ2	0.000	-12.320	0.000	
	KZ3	0.000	-1.973	0.000	
	KZ4	0.000	-8.411	0.000	
	KZ5	0.000	-3.552	0.000	
KZ6	0.000	-13.079	0.000		
5	ZS1	0.000	-108.019	0.000	Stálé zatížení
	ZS2	0.000	0.000	0.000	
	KZ1	0.000	-145.826	0.000	Užitné zatížení
	KZ2	0.000	-145.826	0.000	
	KZ3	0.000	-108.019	0.000	
	KZ4	0.000	-108.019	0.000	
	KZ5	0.000	-194.435	0.000	
KZ6	0.000	-194.435	0.000		
6	ZS1	0.000	-108.019	0.000	Stálé zatížení
	ZS2	0.000	0.000	0.000	
	KZ1	0.000	-145.826	0.000	Užitné zatížení
	KZ2	0.000	-145.826	0.000	
	KZ3	0.000	-108.019	0.000	
	KZ4	0.000	-108.019	0.000	
	KZ5	0.000	-194.435	0.000	
KZ6	0.000	-194.435	0.000		
17	ZS1	0.000	-133.959	0.000	Stálé zatížení
	ZS2	0.000	0.000	0.000	
	KZ1	0.000	-180.845	0.000	Užitné zatížení
	KZ2	0.000	-180.845	0.000	
	KZ3	0.000	-133.959	0.000	
	KZ4	0.000	-133.959	0.000	
	KZ5	0.000	-241.127	0.000	
KZ6	0.000	-241.127	0.000		
18	ZS1	0.000	-133.959	0.000	Stálé zatížení
	ZS2	0.000	0.000	0.000	
	KZ1	0.000	-180.845	0.000	Užitné zatížení
	KZ2	0.000	-180.845	0.000	
	KZ3	0.000	-133.959	0.000	
	KZ4	0.000	-133.959	0.000	
	KZ5	0.000	-241.127	0.000	
KZ6	0.000	-241.127	0.000		
30	ZS1	0.000	-2.086	0.000	Stálé zatížení
	ZS2	0.000	-2.086	0.000	
	KZ1	0.000	-2.816	0.000	Užitné zatížení
	KZ2	0.000	-5.945	0.000	
	KZ3	0.000	-2.086	0.000	
	KZ4	0.000	-4.172	0.000	
	KZ5	0.000	-3.755	0.000	
KZ6	0.000	-6.842	0.000		
31	ZS1	0.000	-2.086	0.000	Stálé zatížení
	ZS2	0.000	-2.086	0.000	
	KZ1	0.000	-2.816	0.000	Užitné zatížení
	KZ2	0.000	-5.945	0.000	
	KZ3	0.000	-2.086	0.000	
	KZ4	0.000	-4.172	0.000	
	KZ5	0.000	-3.755	0.000	
KZ6	0.000	-6.842	0.000		
32	ZS1	0.000	-85.754	0.000	Stálé zatížení
	ZS2	0.000	0.000	0.000	
	KZ1	0.000	-115.768	0.000	Užitné zatížení
	KZ2	0.000	-115.768	0.000	
	KZ3	0.000	-85.754	0.000	
	KZ4	0.000	-85.754	0.000	
	KZ5	0.000	-154.357	0.000	
KZ6	0.000	-154.357	0.000		
33	ZS1	0.000	-85.754	0.000	Stálé zatížení
	ZS2	0.000	0.000	0.000	
	KZ1	0.000	-115.768	0.000	Užitné zatížení
	KZ2	0.000	-115.768	0.000	
	KZ3	0.000	-85.754	0.000	
	KZ4	0.000	-85.754	0.000	
	KZ5	0.000	-154.357	0.000	
KZ6	0.000	-154.357	0.000		
Σ podp.	ZS1	0.000	-665.928		
Σ zatíž.	ZS1	0.000	-665.928		
Σ podp.	ZS2	0.000	-24.859		
Σ zatíž.	ZS2	0.000	-24.859		
Σ podp.	KZ1	0.000	-899.002		
Σ podp.	KZ1	0.000	-899.002		
Σ podp.	KZ2	0.000	-936.291		
Σ podp.	KZ2	0.000	-936.291		
Σ podp.	KZ3	0.000	-665.928		
Σ podp.	KZ3	0.000	-665.928		
Σ podp.	KZ4	0.000	-690.787		
Σ podp.	KZ4	0.000	-690.787		
Σ podp.	KZ5	0.000	-1198.670		
Σ podp.	KZ5	0.000	-1198.670		
Σ podp.	KZ6	0.000	-1235.460		
Σ podp.	KZ6	0.000	-1235.460		



■ 4.12 PRŮŘEZY - VNITŘNÍ SÍLY

Prut č.	ZS/KZ	Uzel č.	Místo x [m]	Síly [kN]		Momenty M _y [kNm]
				N	V _z	
Průřez č. 1: T-obléčník 100/240						
2	ZS1	3	0.000	0.000	1.973	0.000
		4	4.120	0.000	-1.973	0.000
	ZS2	3	0.000	0.000	6.438	0.000
		4	4.120	0.000	-6.438	0.000
	KZ1	3	0.000	0.010	2.664	0.000
		4	4.120	0.010	-2.664	0.000
	KZ2	3	0.000	0.220	12.318	0.000
		4	4.120	0.220	-12.318	0.000
	KZ3	3	0.000	0.004	1.973	0.000
		4	4.120	0.004	-1.973	0.000
	KZ4	3	0.000	0.079	8.410	0.000
		4	4.120	0.079	-8.410	0.000
KZ5	3	0.000	0.014	3.551	0.000	
	4	4.120	0.014	-3.551	0.000	
KZ6	3	0.000	0.191	13.078	0.000	
	4	4.120	0.191	-13.078	0.000	
Průřez č. 2: T-obléčník 80/240						
3	ZS1	1	0.000	0.000	1.172	0.000
		2	2.500	0.000	-1.172	0.000
	ZS2	1	0.000	0.000	3.906	0.000
		2	2.500	0.000	-3.906	0.000
	KZ1	1	0.000	0.002	1.582	0.000
		2	2.500	0.002	-1.582	0.000
	KZ2	1	0.000	0.037	7.442	0.000
		2	2.500	0.037	-7.442	0.000
	KZ3	1	0.000	0.001	1.172	0.000
		2	2.500	0.001	-1.172	0.000
	KZ4	1	0.000	0.013	5.078	0.000
		2	2.500	0.013	-5.078	0.000
KZ5	1	0.000	0.002	2.110	0.000	
	2	2.500	0.002	-2.110	0.000	
KZ6	1	0.000	0.032	7.891	0.000	
	2	2.500	0.032	-7.891	0.000	
26	ZS1	30	0.000	0.000	2.086	0.000
		31	4.450	0.000	-2.086	0.000
	ZS2	30	0.000	0.000	2.086	0.000
		31	4.450	0.000	-2.086	0.000
	KZ1	30	0.000	0.017	2.816	0.000
		31	4.450	0.017	-2.816	0.000
	KZ2	30	0.000	0.075	5.945	0.000
		31	4.450	0.075	-5.945	0.000
	KZ3	30	0.000	0.007	2.086	0.000
		31	4.450	0.007	-2.086	0.000
	KZ4	30	0.000	0.028	4.172	0.000
		31	4.450	0.028	-4.172	0.000
KZ5	30	0.000	0.023	3.755	0.000	
	31	4.450	0.023	-3.755	0.000	
KZ6	30	0.000	0.076	6.842	0.000	
	31	4.450	0.076	-6.842	0.000	
Průřez č. 3: T-obléčník 240/700						
4	ZS1	6	0.000	0.000	108.019	0.000
		7	0.624	0.000	107.443	67.185
	ZS2	6	0.000	0.000	0.000	0.000
		7	0.624	0.000	0.000	0.000
	KZ1	6	0.000	1.018	145.823	0.000
		7	0.624	0.966	145.045	90.700
	KZ2	6	0.000	1.018	145.823	0.000
		7	0.624	0.966	145.045	90.700
	KZ3	6	0.000	0.465	108.018	0.000
		7	0.624	0.442	107.442	67.185
	KZ4	6	0.000	0.465	108.018	0.000
		7	0.624	0.442	107.442	67.185
KZ5	6	0.000	1.508	194.429	0.000	
	7	0.624	1.431	193.392	120.933	
KZ6	6	0.000	1.508	194.429	0.000	
	7	0.624	1.431	193.392	120.933	
5	ZS1	7	0.000	0.000	86.473	67.185
		8	0.624	0.000	85.897	120.933
	ZS2	7	0.000	0.000	0.000	0.000
		8	0.624	0.000	0.000	0.000
	KZ1	7	0.000	0.778	116.736	90.700
		8	0.624	0.669	115.959	163.260
	KZ2	7	0.000	0.778	116.736	90.700
		8	0.624	0.669	115.959	163.260
	KZ3	7	0.000	0.356	86.472	67.185
		8	0.624	0.306	85.896	120.933
	KZ4	7	0.000	0.356	86.472	67.185
		8	0.624	0.306	85.896	120.933
KZ5	7	0.000	1.152	155.647	120.933	
	8	0.624	0.992	154.611	217.680	
KZ6	7	0.000	1.152	155.647	120.933	
	8	0.624	0.992	154.611	217.680	
6	ZS1	8	0.000	0.000	64.927	120.933
		9	0.624	0.000	64.351	161.244
	ZS2	8	0.000	0.000	0.000	0.000
		9	0.624	0.000	0.000	0.000
	KZ1	8	0.000	0.506	87.650	163.260
		9	0.624	0.386	86.872	217.680
	KZ2	8	0.000	0.506	87.650	163.260
		9	0.624	0.386	86.872	217.680
KZ3	8	0.000	0.231	64.926	120.933	
	9	0.624	0.176	64.350	161.244	
KZ4	8	0.000	0.231	64.926	120.933	
	9	0.624	0.176	64.350	161.244	



Projekt: Diplomová práce

Model: Diplomová Práce

Datum: 19.04.2021

Stropní nosník

4.12 PRŮŘEZY - VNITŘNÍ SÍLY

Prut č.	ZS/KZ	Uzel č.	Místo x [m]	Síly [kN]		Momenty	
				N	V _z	M _y [kNm]	
6	KZ4	9	0.624	0.176	64.350	161.244	
	KZ5	8	0.000	0.750	116.866	217.680	
		9	0.624	0.572	115.830	290.240	
	KZ6	8	0.000	0.750	116.866	217.680	
		9	0.624	0.572	115.830	290.240	
	7	ZS1	9	0.000	0.000	43.381	161.244
10			0.624	0.000	42.804	188.118	
ZS2		9	0.000	0.000	0.000	0.000	
		10	0.624	0.000	0.000	0.000	
KZ1		9	0.000	0.260	58.563	217.680	
		10	0.624	0.161	57.786	253.960	
KZ2		9	0.000	0.260	58.563	217.680	
		10	0.624	0.161	57.786	253.960	
KZ3		9	0.000	0.119	43.380	161.244	
		10	0.624	0.074	42.804	188.118	
KZ4		9	0.000	0.119	43.380	161.244	
		10	0.624	0.074	42.804	188.118	
KZ5		9	0.000	0.385	78.084	290.240	
		10	0.624	0.239	77.047	338.613	
KZ6		9	0.000	0.385	78.084	290.240	
		10	0.624	0.239	77.047	338.613	
8		ZS1	10	0.000	0.000	21.834	188.118
			11	0.624	0.000	21.258	201.555
	ZS2	10	0.000	0.000	0.000	0.000	
		11	0.624	0.000	0.000	0.000	
	KZ1	10	0.000	0.082	29.476	253.960	
		11	0.624	0.027	28.698	272.100	
	KZ2	10	0.000	0.082	29.476	253.960	
		11	0.624	0.027	28.698	272.100	
	KZ3	10	0.000	0.038	21.834	188.118	
		11	0.624	0.012	21.258	201.555	
	KZ4	10	0.000	0.038	21.834	188.118	
		11	0.624	0.012	21.258	201.555	
	KZ5	10	0.000	0.122	39.302	338.613	
		11	0.624	0.040	38.265	362.800	
	KZ6	10	0.000	0.122	39.302	338.613	
		11	0.624	0.040	38.265	362.800	
	9	ZS1	11	0.000	0.000	0.288	201.555
			12	0.624	0.000	-0.288	201.555
ZS2		11	0.000	0.000	0.000	0.000	
		12	0.624	0.000	0.000	0.000	
KZ1		11	0.000	0.000	0.389	272.100	
		12	0.624	0.000	-0.389	272.100	
KZ2		11	0.000	0.000	0.389	272.100	
		12	0.624	0.000	-0.389	272.100	
KZ3		11	0.000	0.000	0.288	201.555	
		12	0.624	0.000	-0.288	201.555	
KZ4		11	0.000	0.000	0.288	201.555	
		12	0.624	0.000	-0.288	201.555	
KZ5		11	0.000	0.001	0.519	362.800	
		12	0.624	0.001	-0.519	362.800	
KZ6		11	0.000	0.001	0.519	362.800	
		12	0.624	0.001	-0.519	362.800	
10		ZS1	12	0.000	0.000	-21.258	201.555
			13	0.624	0.000	-21.834	188.118
	ZS2	12	0.000	0.000	0.000	0.000	
		13	0.624	0.000	0.000	0.000	
	KZ1	12	0.000	0.027	-28.698	272.100	
		13	0.624	0.082	-29.476	253.960	
	KZ2	12	0.000	0.027	-28.698	272.100	
		13	0.624	0.082	-29.476	253.960	
	KZ3	12	0.000	0.012	-21.258	201.555	
		13	0.624	0.038	-21.834	188.118	
	KZ4	12	0.000	0.012	-21.258	201.555	
		13	0.624	0.038	-21.834	188.118	
	KZ5	12	0.000	0.040	-38.265	362.800	
		13	0.624	0.122	-39.302	338.613	
	KZ6	12	0.000	0.040	-38.265	362.800	
		13	0.624	0.122	-39.302	338.613	
	11	ZS1	13	0.000	0.000	-42.804	188.118
			14	0.624	0.000	-43.381	161.244
ZS2		13	0.000	0.000	0.000	0.000	
		14	0.624	0.000	0.000	0.000	
KZ1		13	0.000	0.161	-57.786	253.960	
		14	0.624	0.260	-58.563	217.680	
KZ2		13	0.000	0.161	-57.786	253.960	
		14	0.624	0.260	-58.563	217.680	
KZ3		13	0.000	0.074	-42.804	188.118	
		14	0.624	0.119	-43.380	161.244	
KZ4		13	0.000	0.074	-42.804	188.118	
		14	0.624	0.119	-43.380	161.244	
KZ5		13	0.000	0.239	-77.047	338.613	
		14	0.624	0.385	-78.084	290.240	
KZ6		13	0.000	0.239	-77.047	338.613	
		14	0.624	0.385	-78.084	290.240	
12		ZS1	14	0.000	0.000	-64.351	161.244
			15	0.624	0.000	-64.927	120.933
	ZS2	14	0.000	0.000	0.000	0.000	
		15	0.624	0.000	0.000	0.000	
	KZ1	14	0.000	0.386	-86.872	217.680	
		15	0.624	0.506	-87.650	163.260	
	KZ2	14	0.000	0.386	-86.872	217.680	
		15	0.624	0.506	-87.650	163.260	
	KZ3	14	0.000	0.176	-64.350	161.244	



Projekt: Diplomová práce

Model: Diplomová Práce

Datum: 19.04.2021

Stropní nosník

■ 4.12 PRŮŘEZY - VNITŘNÍ SÍLY

Prut č.	ZS/KZ	Uzel č.	Místo x [m]	Síly [kN]		Momenty	
				N	V _z	M _y [kNm]	
12	KZ3	15	0.624	0.231	-64.926	120.933	
		14	0.000	0.176	-64.350	161.244	
	KZ4	15	0.624	0.231	-64.926	120.933	
		14	0.000	0.572	-115.830	290.240	
	KZ5	15	0.624	0.750	-116.866	217.680	
		14	0.000	0.572	-115.830	290.240	
13	KZ6	15	0.624	0.750	-116.866	217.680	
		15	0.000	0.000	-85.897	120.933	
	ZS1	16	0.624	0.000	-86.473	67.185	
		15	0.000	0.000	0.000	0.000	
	ZS2	16	0.624	0.000	0.000	0.000	
		15	0.000	0.669	-115.959	163.260	
	KZ1	16	0.624	0.778	-116.736	90.700	
		15	0.000	0.669	-115.959	163.260	
	KZ2	16	0.624	0.778	-116.736	90.700	
		15	0.000	0.306	-85.896	120.933	
	14	KZ3	16	0.624	0.356	-86.472	67.185
			15	0.000	0.306	-85.896	120.933
KZ4		16	0.624	0.356	-86.472	67.185	
		15	0.000	0.992	-154.611	217.680	
KZ5		16	0.624	1.152	-155.647	120.933	
		15	0.000	0.992	-154.611	217.680	
KZ6		16	0.624	1.152	-155.647	120.933	
		16	0.000	0.000	-107.443	67.185	
ZS1		5	0.624	0.000	-108.019	0.000	
		16	0.000	0.000	0.000	0.000	
ZS2		5	0.624	0.000	0.000	0.000	
		16	0.000	0.966	-145.045	90.700	
KZ1	5	0.624	1.018	-145.823	0.000		
	16	0.000	0.966	-145.045	90.700		
KZ2	5	0.624	1.018	-145.823	0.000		
	16	0.000	0.442	-107.442	67.185		
KZ3	5	0.624	0.465	-108.018	0.000		
	16	0.000	0.442	-107.442	67.185		
KZ4	5	0.624	0.465	-108.018	0.000		
	16	0.000	1.431	-193.392	120.933		
KZ5	5	0.624	1.508	-194.429	0.000		
	16	0.000	1.431	-193.392	120.933		
KZ6	5	0.624	1.508	-194.429	0.000		
	18	0.000	0.000	133.959	0.000		
15	ZS1	19	0.624	0.000	133.383	83.362	
		18	0.000	0.000	0.000	0.000	
	ZS2	19	0.624	0.000	0.000	0.000	
		18	0.000	1.566	180.838	0.000	
	KZ1	19	0.624	1.488	180.061	112.539	
		18	0.000	1.566	180.838	0.000	
	KZ2	19	0.624	1.488	180.061	112.539	
		18	0.000	0.716	133.957	0.000	
	KZ3	19	0.624	0.680	133.381	83.362	
		18	0.000	0.716	133.957	0.000	
	KZ4	19	0.624	0.680	133.381	83.362	
		18	0.000	2.320	241.116	0.000	
KZ5	19	0.624	2.205	240.079	150.052		
	18	0.000	2.320	241.116	0.000		
KZ6	19	0.624	2.205	240.079	150.052		
	19	0.000	0.000	107.225	83.362		
16	ZS1	20	0.624	0.000	106.649	150.052	
		19	0.000	0.000	0.000	0.000	
	ZS2	20	0.624	0.000	0.000	0.000	
		19	0.000	1.196	144.749	112.539	
	KZ1	20	0.624	1.031	143.972	202.570	
		19	0.000	1.196	144.749	112.539	
	KZ2	20	0.624	1.031	143.972	202.570	
		19	0.000	0.547	107.224	83.362	
	KZ3	20	0.624	0.472	106.648	150.052	
		19	0.000	0.547	107.224	83.362	
	KZ4	20	0.624	0.472	106.648	150.052	
		19	0.000	1.772	192.997	150.052	
KZ5	20	0.624	1.528	191.962	270.094		
	19	0.000	1.772	192.997	150.052		
KZ6	20	0.624	1.528	191.962	270.094		
	20	0.000	0.000	80.491	150.052		
17	ZS1	21	0.624	0.000	79.915	200.069	
		20	0.000	0.000	0.000	0.000	
	ZS2	21	0.624	0.000	0.000	0.000	
		20	0.000	0.778	108.660	202.570	
	KZ1	21	0.624	0.594	107.883	270.094	
		20	0.000	0.778	108.660	202.570	
	KZ2	21	0.624	0.594	107.883	270.094	
		20	0.000	0.356	80.490	150.052	
	KZ3	21	0.624	0.272	79.914	200.069	
		20	0.000	0.356	80.490	150.052	
	KZ4	21	0.624	0.272	79.914	200.069	
		20	0.000	1.153	144.879	270.094	
KZ5	21	0.624	0.881	143.844	360.125		
	20	0.000	1.153	144.879	270.094		
KZ6	21	0.624	0.881	143.844	360.125		
	21	0.000	0.000	53.757	200.069		
18	ZS1	22	0.624	0.000	53.180	233.414	
		21	0.000	0.000	0.000	0.000	
	ZS2	22	0.624	0.000	0.000	0.000	
		21	0.000	0.400	72.570	270.094	
	KZ1	22	0.624	0.249	71.793	315.109	
		21	0.000	0.400	72.570	270.094	
	KZ2	22	0.624	0.249	71.793	315.109	
		21	0.000	0.400	72.570	270.094	



■ 4.12 PRŮŘEZY - VNITŘNÍ SÍLY

Prut č.	ZS/KZ	Uzel č.	Místo x [m]	Síly [kN]		Momenty	
				N	V _z	M _y [kNm]	
18	KZ2	22	0.624	0.249	71.793	315.109	
	KZ3	21	0.000	0.183	53.756	200.069	
		22	0.624	0.114	53.180	233.414	
	KZ4	21	0.000	0.183	53.756	200.069	
		22	0.624	0.114	53.180	233.414	
	KZ5	21	0.000	0.592	96.760	360.125	
19	KZ6	22	0.624	0.368	95.724	420.146	
		21	0.000	0.592	96.760	360.125	
	ZS1	22	0.624	0.368	95.724	420.146	
		23	0.000	0.000	27.022	233.414	
	ZS2	22	0.000	0.000	0.000	0.000	
		23	0.624	0.000	26.446	250.087	
20	KZ1	22	0.000	0.126	36.480	315.109	
		23	0.624	0.042	35.702	337.617	
	KZ2	22	0.000	0.126	36.480	315.109	
		23	0.624	0.042	35.702	337.617	
	KZ3	22	0.000	0.058	27.022	233.414	
		23	0.624	0.019	26.446	250.087	
	KZ4	22	0.000	0.058	27.022	233.414	
		23	0.624	0.019	26.446	250.087	
	KZ5	22	0.000	0.187	48.640	420.146	
		23	0.624	0.062	47.603	450.156	
	KZ6	22	0.000	0.187	48.640	420.146	
		23	0.624	0.062	47.603	450.156	
	ZS1	23	0.000	0.000	0.288	250.087	
		24	0.624	0.000	-0.288	250.087	
	ZS2	23	0.000	0.000	0.000	0.000	
		24	0.624	0.000	0.000	0.000	
	21	KZ1	23	0.000	0.000	0.389	337.617
			24	0.624	0.000	-0.389	337.617
KZ2		23	0.000	0.000	0.389	337.617	
		24	0.624	0.000	-0.389	337.617	
KZ3		23	0.000	0.000	0.288	250.087	
		24	0.624	0.000	-0.288	250.087	
KZ4		23	0.000	0.000	0.288	250.087	
		24	0.624	0.000	-0.288	250.087	
KZ5		23	0.000	0.001	0.519	450.156	
		24	0.624	0.001	-0.519	450.156	
KZ6		23	0.000	0.001	0.519	450.156	
		24	0.624	0.001	-0.519	450.156	
ZS1		24	0.000	0.000	-26.446	250.087	
		25	0.624	0.000	-27.022	233.414	
ZS2		24	0.000	0.000	0.000	0.000	
		25	0.624	0.000	0.000	0.000	
22		KZ1	24	0.000	0.042	-35.702	337.617
			25	0.624	0.126	-36.480	315.109
	KZ2	24	0.000	0.042	-35.702	337.617	
		25	0.624	0.126	-36.480	315.109	
	KZ3	24	0.000	0.019	-26.446	250.087	
		25	0.624	0.058	-27.022	233.414	
	KZ4	24	0.000	0.019	-26.446	250.087	
		25	0.624	0.058	-27.022	233.414	
	KZ5	24	0.000	0.062	-47.603	450.156	
		25	0.624	0.187	-48.640	420.146	
	KZ6	24	0.000	0.062	-47.603	450.156	
		25	0.624	0.187	-48.640	420.146	
	ZS1	25	0.000	0.000	-53.180	233.414	
		26	0.624	0.000	-53.757	200.069	
	ZS2	25	0.000	0.000	0.000	0.000	
		26	0.624	0.000	0.000	0.000	
	23	KZ1	25	0.000	0.249	-71.793	315.109
			26	0.624	0.400	-72.570	270.094
KZ2		25	0.000	0.249	-71.793	315.109	
		26	0.624	0.400	-72.570	270.094	
KZ3		25	0.000	0.114	-53.180	233.414	
		26	0.624	0.183	-53.756	200.069	
KZ4		25	0.000	0.114	-53.180	233.414	
		26	0.624	0.183	-53.756	200.069	
KZ5		25	0.000	0.368	-95.724	420.146	
		26	0.624	0.592	-96.760	360.125	
KZ6		25	0.000	0.368	-95.724	420.146	
		26	0.624	0.592	-96.760	360.125	
ZS1		26	0.000	0.000	-79.915	200.069	
		27	0.624	0.000	-80.491	150.052	
ZS2		26	0.000	0.000	0.000	0.000	
		27	0.624	0.000	0.000	0.000	
24		KZ1	26	0.000	0.594	-107.883	270.094
			27	0.624	0.778	-108.660	202.570
	KZ2	26	0.000	0.594	-107.883	270.094	
		27	0.624	0.778	-108.660	202.570	
	KZ3	26	0.000	0.272	-79.914	200.069	
		27	0.624	0.356	-80.490	150.052	
	KZ4	26	0.000	0.272	-79.914	200.069	
		27	0.624	0.356	-80.490	150.052	
	KZ5	26	0.000	0.881	-143.844	360.125	
		27	0.624	1.153	-144.879	270.094	
	KZ6	26	0.000	0.881	-143.844	360.125	
		27	0.624	1.153	-144.879	270.094	
	ZS1	27	0.000	0.000	-106.649	150.052	
		28	0.624	0.000	-107.225	83.362	
	ZS2	27	0.000	0.000	0.000	0.000	
		28	0.624	0.000	0.000	0.000	
	KZ1	27	0.000	1.031	-143.972	202.570	



Projekt: Diplomová práce
Stropní nosník

Model: Diplomová Práce

Datum: 19.04.2021

4.12 PRŮŘEZY - VNITŘNÍ SÍLY

Prut č.	ZS/KZ	Uzel č.	Místo x [m]	Síly [kN]		Momenty	
				N	V _z	M _y [kNm]	
24	KZ1	28	0.624	1.196	-144.749	112.539	
		27	0.000	1.031	-143.972	202.570	
	KZ2	28	0.624	1.196	-144.749	112.539	
		27	0.000	0.472	-106.648	150.052	
	KZ3	28	0.624	0.547	-107.224	83.362	
		27	0.000	0.472	-106.648	150.052	
	KZ4	28	0.624	0.547	-107.224	83.362	
		27	0.000	1.528	-191.962	270.094	
	KZ5	28	0.624	1.772	-192.997	150.052	
		27	0.000	1.528	-191.962	270.094	
	KZ6	28	0.624	1.772	-192.997	150.052	
		27	0.000	0.000	-133.383	83.362	
	25	ZS1	17	0.624	0.000	-133.959	0.000
			28	0.000	0.000	0.000	0.000
		ZS2	17	0.624	0.000	0.000	0.000
			28	0.000	1.488	-180.061	112.539
		KZ1	17	0.624	1.566	-180.838	0.000
			28	0.000	1.488	-180.061	112.539
KZ2		17	0.624	1.566	-180.838	0.000	
		28	0.000	0.680	-133.381	83.362	
KZ3		17	0.624	0.716	-133.957	0.000	
		28	0.000	0.680	-133.381	83.362	
KZ4		17	0.624	0.716	-133.957	0.000	
		28	0.000	2.205	-240.079	150.052	
KZ5		17	0.624	2.320	-241.116	0.000	
		28	0.000	2.205	-240.079	150.052	
KZ6		17	0.624	2.320	-241.116	0.000	
		27	0.000	0.000	85.754	0.000	
27		ZS1	34	0.608	0.000	85.192	51.941
			32	0.000	0.000	0.000	0.000
	ZS2	34	0.608	0.000	0.000	0.000	
		32	0.000	0.839	115.765	0.000	
	KZ1	34	0.608	0.806	115.007	70.121	
		32	0.000	0.839	115.765	0.000	
	KZ2	34	0.608	0.806	115.007	70.121	
		32	0.000	0.384	85.753	0.000	
	KZ3	34	0.608	0.369	85.192	51.941	
		32	0.000	0.384	85.753	0.000	
	KZ4	34	0.608	0.369	85.192	51.941	
		32	0.000	1.243	154.352	0.000	
	KZ5	34	0.608	1.194	153.342	93.494	
		32	0.000	1.243	154.352	0.000	
	KZ6	34	0.608	1.194	153.342	93.494	
		28	0.000	0.000	71.508	51.941	
	28	ZS1	35	0.608	0.000	70.947	95.226
			34	0.000	0.000	0.000	0.000
ZS2		35	0.608	0.000	0.000	0.000	
		34	0.000	0.677	96.534	70.121	
KZ1		35	0.608	0.606	95.776	128.555	
		34	0.000	0.677	96.534	70.121	
KZ2		35	0.608	0.606	95.776	128.555	
		34	0.000	0.309	71.508	51.941	
KZ3		35	0.608	0.277	70.946	95.226	
		34	0.000	0.309	71.508	51.941	
KZ4		35	0.608	0.277	70.946	95.226	
		34	0.000	1.002	128.711	93.494	
KZ5		35	0.608	0.899	127.701	171.406	
		34	0.000	1.002	128.711	93.494	
KZ6		35	0.608	0.899	127.701	171.406	
		29	0.000	0.000	57.263	95.226	
29		ZS1	36	0.608	0.000	56.701	129.853
			35	0.000	0.000	0.000	0.000
	ZS2	36	0.608	0.000	0.000	0.000	
		35	0.000	0.490	77.303	128.555	
	KZ1	36	0.608	0.405	76.546	175.302	
		35	0.000	0.490	77.303	128.555	
	KZ2	36	0.608	0.405	76.546	175.302	
		35	0.000	0.224	57.262	95.226	
	KZ3	36	0.608	0.185	56.701	129.853	
		35	0.000	0.224	57.262	95.226	
	KZ4	36	0.608	0.185	56.701	129.853	
		35	0.000	0.725	103.071	171.406	
	KZ5	36	0.608	0.601	102.061	233.736	
		35	0.000	0.725	103.071	171.406	
	KZ6	36	0.608	0.601	102.061	233.736	
		30	0.000	0.000	43.017	129.853	
	30	ZS1	37	0.608	0.000	42.456	155.824
			36	0.000	0.000	0.000	0.000
ZS2		37	0.608	0.000	0.000	0.000	
		36	0.000	0.308	58.073	175.302	
KZ1		37	0.608	0.228	57.315	210.362	
		36	0.000	0.308	58.073	175.302	
KZ2		37	0.608	0.228	57.315	210.362	
		36	0.000	0.141	43.017	129.853	
KZ3		37	0.608	0.104	42.456	155.824	
		36	0.000	0.141	43.017	129.853	
KZ4		37	0.608	0.104	42.456	155.824	
		36	0.000	0.456	77.430	233.736	
KZ5		37	0.608	0.338	76.420	280.483	
		36	0.000	0.456	77.430	233.736	
KZ6		37	0.608	0.338	76.420	280.483	
		31	0.000	0.000	28.772	155.824	
ZS1		38	0.608	0.000	28.210	173.138	
		37	0.000	0.000	0.000	0.000	
ZS2	38	0.608	0.000	0.000	0.000		
	37	0.000	0.000	0.000	0.000		



■ 4.12 PRŮŘEZY - VNITŘNÍ SÍLY

Prut č.	ZS/KZ	Uzel č.	Místo x [m]	Síly [kN]		Momenty	
				N	V _z	M _y [kNm]	
31	ZS2	38	0.608	0.000	0.000	0.000	
	KZ1	37	0.000	0.155	38.842	210.362	
		38	0.608	0.094	38.084	233.736	
	KZ2	37	0.000	0.155	38.842	210.362	
		38	0.608	0.094	38.084	233.736	
	KZ3	37	0.000	0.071	28.772	155.824	
		38	0.608	0.043	28.210	173.138	
	KZ4	37	0.000	0.071	28.772	155.824	
		38	0.608	0.043	28.210	173.138	
	KZ5	37	0.000	0.229	51.789	280.483	
		38	0.608	0.139	50.778	311.648	
	KZ6	37	0.000	0.229	51.789	280.483	
		38	0.608	0.139	50.778	311.648	
	32	ZS1	38	0.000	0.000	14.526	173.138
		ZS2	39	0.608	0.000	13.965	181.795
			38	0.000	0.000	0.000	0.000
		KZ1	39	0.608	0.000	0.000	0.000
			38	0.000	0.048	19.610	233.736
KZ2		39	0.608	0.016	18.852	245.423	
		38	0.000	0.048	19.610	233.736	
KZ3		39	0.608	0.016	18.852	245.423	
		38	0.000	0.022	14.526	173.138	
KZ4		39	0.608	0.007	13.965	181.795	
		38	0.000	0.022	14.526	173.138	
KZ5		39	0.608	0.007	13.965	181.795	
		38	0.000	0.072	26.147	311.648	
KZ6		39	0.608	0.023	25.137	327.230	
		38	0.000	0.072	26.147	311.648	
33		ZS1	39	0.000	0.000	0.281	181.795
		ZS2	40	0.608	0.000	-0.281	181.795
			39	0.000	0.000	0.000	0.000
	KZ1	40	0.608	0.000	0.000	0.000	
		39	0.000	0.000	0.379	245.423	
	KZ2	40	0.608	0.000	-0.379	245.423	
		39	0.000	0.000	0.379	245.423	
	KZ3	40	0.608	0.000	-0.379	245.423	
		39	0.000	0.000	0.281	181.795	
	KZ4	40	0.608	0.000	-0.281	181.795	
		39	0.000	0.000	0.281	181.795	
	KZ5	40	0.608	0.000	-0.281	181.795	
		39	0.000	0.000	0.505	327.230	
	KZ6	40	0.608	0.000	-0.505	327.230	
		39	0.000	0.000	0.505	327.230	
	34	ZS1	40	0.000	0.000	-13.965	181.795
		ZS2	41	0.608	0.000	-14.526	173.138
			40	0.000	0.000	0.000	0.000
KZ1		41	0.608	0.000	0.000	0.000	
		40	0.000	0.016	-18.852	245.423	
KZ2		41	0.608	0.048	-19.610	233.736	
		40	0.000	0.016	-18.852	245.423	
KZ3		41	0.608	0.048	-19.610	233.736	
		40	0.000	0.007	-13.965	181.795	
KZ4		41	0.608	0.022	-14.526	173.138	
		40	0.000	0.007	-13.965	181.795	
KZ5		41	0.608	0.022	-14.526	173.138	
		40	0.000	0.023	-25.137	327.230	
KZ6		41	0.608	0.072	-26.147	311.648	
		40	0.000	0.023	-25.137	327.230	
35		ZS1	41	0.000	0.000	-28.210	173.138
		ZS2	42	0.608	0.000	-28.772	155.824
			41	0.000	0.000	0.000	0.000
	KZ1	42	0.608	0.000	0.000	0.000	
		41	0.000	0.094	-38.084	233.736	
	KZ2	42	0.608	0.155	-38.842	210.362	
		41	0.000	0.094	-38.084	233.736	
	KZ3	42	0.608	0.155	-38.842	210.362	
		41	0.000	0.043	-28.210	173.138	
	KZ4	42	0.608	0.071	-28.772	155.824	
		41	0.000	0.043	-28.210	173.138	
	KZ5	42	0.608	0.071	-28.772	155.824	
		41	0.000	0.139	-50.778	311.648	
	KZ6	42	0.608	0.229	-51.789	280.483	
		41	0.000	0.139	-50.778	311.648	
	36	ZS1	42	0.000	0.000	-51.789	280.483
		ZS2	43	0.608	0.000	-42.456	155.824
			42	0.000	0.000	-43.017	129.853
KZ1		43	0.608	0.000	0.000	0.000	
		42	0.000	0.228	-57.315	210.362	
KZ2		43	0.608	0.308	-58.073	175.302	
		42	0.000	0.228	-57.315	210.362	
KZ3		43	0.608	0.308	-58.073	175.302	
		42	0.000	0.104	-42.456	155.824	
KZ4		43	0.608	0.141	-43.017	129.853	
		42	0.000	0.104	-42.456	155.824	
KZ5		43	0.608	0.141	-43.017	129.853	
		42	0.000	0.338	-76.420	280.483	
KZ6		43	0.608	0.456	-77.430	233.736	
		42	0.000	0.338	-76.420	280.483	
ZS1		43	0.608	0.456	-77.430	233.736	
		43	0.608	0.000	-56.701	129.853	



Projekt: Diplomová práce

Model: Diplomová Práce

Datum: 19.04.2021

Stropní nosník

4.12 PRŮŘEZY - VNITŘNÍ SÍLY

Prut č.	ZS/KZ	Uzel č.	Místo x [m]	Síly [kN]		Momenty M _y [kNm]	
				N	V _z		
37	ZS1	44	0.608	0.000	-57.263	95.226	
		43	0.000	0.000	0.000	0.000	
	ZS2	44	0.608	0.000	0.000	0.000	
		43	0.000	0.405	-76.546	175.302	
	KZ1	44	0.608	0.490	-77.303	128.555	
		43	0.000	0.405	-76.546	175.302	
	KZ2	44	0.608	0.490	-77.303	128.555	
		43	0.000	0.185	-56.701	129.853	
	KZ3	44	0.608	0.224	-57.262	95.226	
		43	0.000	0.185	-56.701	129.853	
	KZ4	44	0.608	0.224	-57.262	95.226	
		43	0.000	0.601	-102.061	233.736	
	KZ5	44	0.608	0.725	-103.071	171.406	
		43	0.000	0.601	-102.061	233.736	
	38	ZS1	44	0.000	0.000	-70.947	95.226
			45	0.608	0.000	-71.508	51.941
		ZS2	44	0.000	0.000	0.000	0.000
			45	0.608	0.000	0.000	0.000
KZ1		44	0.000	0.606	-95.776	128.555	
		45	0.608	0.677	-96.534	70.121	
KZ2		44	0.000	0.606	-95.776	128.555	
		45	0.608	0.677	-96.534	70.121	
KZ3		44	0.000	0.277	-70.946	95.226	
		45	0.608	0.309	-71.508	51.941	
KZ4		44	0.000	0.277	-70.946	95.226	
		45	0.608	0.309	-71.508	51.941	
KZ5		44	0.000	0.899	-127.701	171.406	
		45	0.608	1.002	-128.711	93.494	
KZ6		44	0.000	0.899	-127.701	171.406	
		45	0.608	1.002	-128.711	93.494	
39		ZS1	45	0.000	0.000	-85.192	51.941
			33	0.608	0.000	-85.754	0.000
	ZS2	45	0.000	0.000	0.000	0.000	
		33	0.608	0.000	0.000	0.000	
	KZ1	45	0.000	0.806	-115.007	70.121	
		33	0.608	0.839	-115.765	0.000	
	KZ2	45	0.000	0.806	-115.007	70.121	
		33	0.608	0.839	-115.765	0.000	
	KZ3	45	0.000	0.369	-85.192	51.941	
		33	0.608	0.384	-85.753	0.000	
	KZ4	45	0.000	0.369	-85.192	51.941	
		33	0.608	0.384	-85.753	0.000	
	KZ5	45	0.000	1.194	-153.342	93.494	
		33	0.608	1.243	-154.352	0.000	
	KZ6	45	0.000	1.194	-153.342	93.494	
		33	0.608	1.243	-154.352	0.000	

4.1 UZLY - PODPOROVÉ SÍLY

Kombinace výsledků

Uzel č.	KV	Max	Podporové síly [kN]		Podporové momenty M _y [kNm]	
			P _x	P _z		
1	KV1	Max	0.000	-1.582	0.000	MSÚ (STR/GEO) - trvalá/dočasná - rovn. 6.10
		Min	0.000	-7.442	0.000	MSÚ (STR/GEO) - trvalá/dočasná - rovn. 6.10
	KV2	Max	0.000	-1.172	0.000	MSP - charakteristická / málo častá
		Min	0.000	-5.078	0.000	MSP - charakteristická / málo častá
	KV3	Max	0.000	-2.110	0.000	MSP - kvazistálá
		Min	0.000	-7.891	0.000	MSP - kvazistálá
2	KV1	Max	0.000	-1.582	0.000	MSÚ (STR/GEO) - trvalá/dočasná - rovn. 6.10
		Min	0.000	-7.442	0.000	MSÚ (STR/GEO) - trvalá/dočasná - rovn. 6.10
	KV2	Max	0.000	-1.172	0.000	MSP - charakteristická / málo častá
		Min	0.000	-5.078	0.000	MSP - charakteristická / málo častá
	KV3	Max	0.000	-2.110	0.000	MSP - kvazistálá
		Min	0.000	-7.891	0.000	MSP - kvazistálá
3	KV1	Max	0.000	-2.664	0.000	MSÚ (STR/GEO) - trvalá/dočasná - rovn. 6.10
		Min	0.000	-12.320	0.000	MSÚ (STR/GEO) - trvalá/dočasná - rovn. 6.10
	KV2	Max	0.000	-1.973	0.000	MSP - charakteristická / málo častá
		Min	0.000	-8.411	0.000	MSP - charakteristická / málo častá
	KV3	Max	0.000	-3.552	0.000	MSP - kvazistálá
		Min	0.000	-13.079	0.000	MSP - kvazistálá
4	KV1	Max	0.000	-2.664	0.000	MSÚ (STR/GEO) - trvalá/dočasná - rovn. 6.10
		Min	0.000	-12.320	0.000	MSÚ (STR/GEO) - trvalá/dočasná - rovn. 6.10
	KV2	Max	0.000	-1.973	0.000	MSP - charakteristická / málo častá
		Min	0.000	-8.411	0.000	MSP - charakteristická / málo častá
	KV3	Max	0.000	-3.552	0.000	MSP - kvazistálá
		Min	0.000	-13.079	0.000	MSP - kvazistálá
5	KV1	Max	0.000	-145.826	0.000	MSÚ (STR/GEO) - trvalá/dočasná - rovn. 6.10
		Min	0.000	-145.826	0.000	MSÚ (STR/GEO) - trvalá/dočasná - rovn. 6.10
	KV2	Max	0.000	-108.019	0.000	MSP - charakteristická / málo častá
		Min	0.000	-108.019	0.000	MSP - charakteristická / málo častá
	KV3	Max	0.000	-194.435	0.000	MSP - kvazistálá
		Min	0.000	-194.435	0.000	MSP - kvazistálá
6	KV1	Max	0.000	-145.826	0.000	MSÚ (STR/GEO) - trvalá/dočasná - rovn. 6.10
		Min	0.000	-145.826	0.000	MSÚ (STR/GEO) - trvalá/dočasná - rovn. 6.10
	KV2	Max	0.000	-108.019	0.000	MSP - charakteristická / málo častá
		Min	0.000	-108.019	0.000	MSP - charakteristická / málo častá
	KV3	Max	0.000	-194.435	0.000	MSP - kvazistálá
		Min	0.000	-194.435	0.000	MSP - kvazistálá
17	KV1	Max	0.000	-180.845	0.000	MSÚ (STR/GEO) - trvalá/dočasná - rovn. 6.10
		Min	0.000	-180.845	0.000	MSÚ (STR/GEO) - trvalá/dočasná - rovn. 6.10
KV2	Max	0.000	-133.959	0.000	MSP - charakteristická / málo častá	
	Min	0.000	-133.959	0.000	MSP - charakteristická / málo častá	



Projekt: Diplomová práce

Model: Diplomová Práce

Datum: 19.04.2021

Stropní nosník

4.1 UZLY - PODPOROVÉ SÍLY

Kombinace výsledků

Uzel č.	KV		Podporové síly [kN]		Podporové momenty	
			P _x	P _z	M _y [kNm]	
17	KV3	Min	0.000	-133.959	0.000	MSP - charakteristická / málo častá
		Max	0.000	-241.127	0.000	MSP - kvazistálá
		Min	0.000	-241.127	0.000	MSP - kvazistálá
18	KV1	Max	0.000	-180.845	0.000	MSÚ (STR/GEO) - trvalá/dočasná - rovn. 6.10
		Min	0.000	-180.845	0.000	MSÚ (STR/GEO) - trvalá/dočasná - rovn. 6.10
	KV2	Max	0.000	-133.959	0.000	MSP - charakteristická / málo častá
		Min	0.000	-133.959	0.000	MSP - charakteristická / málo častá
	KV3	Max	0.000	-241.127	0.000	MSP - kvazistálá
		Min	0.000	-241.127	0.000	MSP - kvazistálá
30	KV1	Max	0.000	-2.816	0.000	MSÚ (STR/GEO) - trvalá/dočasná - rovn. 6.10
		Min	0.000	-5.945	0.000	MSÚ (STR/GEO) - trvalá/dočasná - rovn. 6.10
	KV2	Max	0.000	-2.086	0.000	MSP - charakteristická / málo častá
		Min	0.000	-4.172	0.000	MSP - charakteristická / málo častá
	KV3	Max	0.000	-3.755	0.000	MSP - kvazistálá
		Min	0.000	-6.842	0.000	MSP - kvazistálá
31	KV1	Max	0.000	-2.816	0.000	MSÚ (STR/GEO) - trvalá/dočasná - rovn. 6.10
		Min	0.000	-5.945	0.000	MSÚ (STR/GEO) - trvalá/dočasná - rovn. 6.10
	KV2	Max	0.000	-2.086	0.000	MSP - charakteristická / málo častá
		Min	0.000	-4.172	0.000	MSP - charakteristická / málo častá
	KV3	Max	0.000	-3.755	0.000	MSP - kvazistálá
		Min	0.000	-6.842	0.000	MSP - kvazistálá
32	KV1	Max	0.000	-115.768	0.000	MSÚ (STR/GEO) - trvalá/dočasná - rovn. 6.10
		Min	0.000	-115.768	0.000	MSÚ (STR/GEO) - trvalá/dočasná - rovn. 6.10
	KV2	Max	0.000	-85.754	0.000	MSP - charakteristická / málo častá
		Min	0.000	-85.754	0.000	MSP - charakteristická / málo častá
	KV3	Max	0.000	-154.357	0.000	MSP - kvazistálá
		Min	0.000	-154.357	0.000	MSP - kvazistálá
33	KV1	Max	0.000	-115.768	0.000	MSÚ (STR/GEO) - trvalá/dočasná - rovn. 6.10
		Min	0.000	-115.768	0.000	MSÚ (STR/GEO) - trvalá/dočasná - rovn. 6.10
	KV2	Max	0.000	-85.754	0.000	MSP - charakteristická / málo častá
		Min	0.000	-85.754	0.000	MSP - charakteristická / málo častá
	KV3	Max	0.000	-154.357	0.000	MSP - kvazistálá
		Min	0.000	-154.357	0.000	MSP - kvazistálá

4.12 PRŮŘEZY - VNITŘNÍ SÍLY

Kombinace výsledků

Prut č.	KV	Uzel č.	Místo x [m]	Síly [kN]			Momenty M _y [kNm]	Příslušející zat. stavy	
				N	V _z				
2	KV1	3	0.000	Max N	▽	0.220	12.318	0.000	KZ 2
				Min N	▽	0.010	2.664	0.000	KZ 1
				Max V _z	▽	0.220	12.318	0.000	KZ 2
				Min V _z	▽	0.010	2.664	0.000	KZ 1
				Max M _y	▽	0.010	2.664	0.000	KZ 1
				Min M _y	▽	0.010	2.664	0.000	KZ 1
		4	4.120	Max N	▽	0.220	-12.318	0.000	KZ 2
				Min N	▽	0.010	-2.664	0.000	KZ 1
				Max V _z	▽	0.010	-2.664	0.000	KZ 1
				Min V _z	▽	0.220	-12.318	0.000	KZ 2
				Max M _y	▽	0.010	-2.664	0.000	KZ 1
				Min M _y	▽	0.010	-2.664	0.000	KZ 1
	KV2	3	0.000	Max N	▽	0.079	8.410	0.000	KZ 4
				Min N	▽	0.004	1.973	0.000	KZ 3
				Max V _z	▽	0.079	8.410	0.000	KZ 4
				Min V _z	▽	0.004	1.973	0.000	KZ 3
				Max M _y	▽	0.004	1.973	0.000	KZ 3
				Min M _y	▽	0.004	1.973	0.000	KZ 3
		4	4.120	Max N	▽	0.079	-8.410	0.000	KZ 4
				Min N	▽	0.004	-1.973	0.000	KZ 3
				Max V _z	▽	0.004	-1.973	0.000	KZ 3
				Min V _z	▽	0.079	-8.410	0.000	KZ 4
				Max M _y	▽	0.004	-1.973	0.000	KZ 3
				Min M _y	▽	0.004	-1.973	0.000	KZ 3
KV3	3	0.000	Max N	▽	0.191	13.078	0.000	KZ 6	
			Min N	▽	0.014	3.551	0.000	KZ 5	
			Max V _z	▽	0.191	13.078	0.000	KZ 6	
			Min V _z	▽	0.014	3.551	0.000	KZ 5	
			Max M _y	▽	0.014	3.551	0.000	KZ 5	
			Min M _y	▽	0.014	3.551	0.000	KZ 5	
	4	4.120	Max N	▽	0.191	-13.078	0.000	KZ 6	
			Min N	▽	0.014	-3.551	0.000	KZ 5	
			Max V _z	▽	0.014	-3.551	0.000	KZ 5	
			Min V _z	▽	0.191	-13.078	0.000	KZ 6	
			Max M _y	▽	0.014	-3.551	0.000	KZ 5	
			Min M _y	▽	0.014	-3.551	0.000	KZ 5	
3	KV1	1	0.000	Max N	▽	0.037	7.442	0.000	KZ 2
				Min N	▽	0.002	1.582	0.000	KZ 1
				Max V _z	▽	0.037	7.442	0.000	KZ 2
				Min V _z	▽	0.002	1.582	0.000	KZ 1
				Max M _y	▽	0.002	1.582	0.000	KZ 1
				Min M _y	▽	0.002	1.582	0.000	KZ 1
		2	2.500	Max N	▽	0.037	-7.442	0.000	KZ 2
				Min N	▽	0.002	-1.582	0.000	KZ 1
				Max V _z	▽	0.002	-1.582	0.000	KZ 1
				Min V _z	▽	0.037	-7.442	0.000	KZ 2
				Max M _y	▽	0.002	-1.582	0.000	KZ 1
				Min M _y	▽	0.002	-1.582	0.000	KZ 1



4.12 PRŮŘEZY - VNITŘNÍ SÍLY

Kombinace výsledků

Prut č.	KV	Uzel č.	Místo x [m]	Síly [kN]			Momenty M _y [kNm]	Příslušející zat. stavy			
				N	V _z						
3	KV2	1	0.000	Max N	0.013	5.078	0.000	KZ 4			
				Min N	0.001	1.172	0.000	KZ 3			
				Max V _z	0.013	5.078	0.000	KZ 4			
		2	2.500	Min V _z	0.001	1.172	0.000	KZ 3			
				Max M _y	0.001	1.172	0.000	KZ 3			
				Min M _y	0.001	1.172	0.000	KZ 3			
	KV3		1	0.000	Max N	0.013	-5.078	0.000	KZ 4		
					Min N	0.001	-1.172	0.000	KZ 3		
					Max V _z	0.001	-1.172	0.000	KZ 3		
		2	2.500	Min V _z	0.013	-5.078	0.000	KZ 4			
				Max M _y	0.001	-1.172	0.000	KZ 3			
				Min M _y	0.001	-1.172	0.000	KZ 3			
	26		KV1	30	0.000	Max N	0.032	7.891	0.000	KZ 6	
						Min N	0.002	2.110	0.000	KZ 5	
						Max V _z	0.032	7.891	0.000	KZ 6	
		31		4.450	Min V _z	0.002	2.110	0.000	KZ 5		
					Max M _y	0.002	2.110	0.000	KZ 5		
					Min M _y	0.002	2.110	0.000	KZ 5		
			KV2	30	0.000	Max N	0.032	-7.891	0.000	KZ 6	
						Min N	0.002	-2.110	0.000	KZ 5	
						Max V _z	0.002	-2.110	0.000	KZ 5	
		31		4.450	Min V _z	0.032	-7.891	0.000	KZ 6		
					Max M _y	0.002	-2.110	0.000	KZ 5		
					Min M _y	0.002	-2.110	0.000	KZ 5		
KV3	30		0.000	Max N	0.075	5.945	0.000	KZ 2			
				Min N	0.017	2.816	0.000	KZ 1			
				Max V _z	0.075	5.945	0.000	KZ 2			
		31	4.450	Min V _z	0.017	2.816	0.000	KZ 1			
				Max M _y	0.017	2.816	0.000	KZ 1			
				Min M _y	0.017	2.816	0.000	KZ 1			
	KV2		30	0.000	Max N	0.075	-5.945	0.000	KZ 2		
					Min N	0.017	-2.816	0.000	KZ 1		
					Max V _z	0.017	-2.816	0.000	KZ 1		
		31	4.450	Min V _z	0.075	-5.945	0.000	KZ 2			
				Max M _y	0.017	-2.816	0.000	KZ 1			
				Min M _y	0.017	-2.816	0.000	KZ 1			
KV3	30		0.000	Max N	0.028	4.172	0.000	KZ 4			
				Min N	0.007	2.086	0.000	KZ 3			
				Max V _z	0.028	4.172	0.000	KZ 4			
		31	4.450	Min V _z	0.007	2.086	0.000	KZ 3			
				Max M _y	0.007	2.086	0.000	KZ 3			
				Min M _y	0.007	2.086	0.000	KZ 3			
	KV2		30	0.000	Max N	0.028	-4.172	0.000	KZ 4		
					Min N	0.007	-2.086	0.000	KZ 3		
					Max V _z	0.007	-2.086	0.000	KZ 3		
		31	4.450	Min V _z	0.028	-4.172	0.000	KZ 4			
				Max M _y	0.007	-2.086	0.000	KZ 3			
				Min M _y	0.007	-2.086	0.000	KZ 3			
4	KV1		6	0.000	Max N	0.076	6.842	0.000	KZ 6		
					Min N	0.023	3.755	0.000	KZ 5		
					Max V _z	0.076	6.842	0.000	KZ 6		
		31			4.450	Min V _z	0.023	3.755	0.000	KZ 5	
						Max M _y	0.023	3.755	0.000	KZ 5	
						Min M _y	0.023	3.755	0.000	KZ 5	
			KV2	6	0.000	Max N	0.076	-6.842	0.000	KZ 6	
						Min N	0.023	-3.755	0.000	KZ 5	
						Max V _z	0.023	-3.755	0.000	KZ 5	
		31				4.450	Min V _z	0.076	-6.842	0.000	KZ 6
							Max M _y	0.023	-3.755	0.000	KZ 5
							Min M _y	0.023	-3.755	0.000	KZ 5
	KV3			6	0.000	Max N	0.023	3.755	0.000	KZ 5	
						Min N	0.023	3.755	0.000	KZ 5	
						Max V _z	0.023	3.755	0.000	KZ 5	
		7				0.624	Min V _z	0.023	3.755	0.000	KZ 5
							Max M _y	0.023	3.755	0.000	KZ 5
							Min M _y	0.023	3.755	0.000	KZ 5
			KV2	6	0.000	Max N	0.465	108.018	0.000	KZ 3	
						Min N	0.465	108.018	0.000	KZ 3	
						Max V _z	0.465	108.018	0.000	KZ 3	
		7				0.624	Min V _z	0.465	108.018	0.000	KZ 3
							Max M _y	0.465	108.018	0.000	KZ 3
							Min M _y	0.465	108.018	0.000	KZ 3
KV3	6			0.000	Max N	0.442	107.442	67.185	KZ 3		
					Min N	0.442	107.442	67.185	KZ 3		
					Max V _z	0.442	107.442	67.185	KZ 3		
	7	0.624		Min V _z	0.442	107.442	67.185	KZ 3			
				Max M _y	0.442	107.442	67.185	KZ 3			
				Min M _y	0.442	107.442	67.185	KZ 3			
KV3		6	0.000	Max N	1.508	194.429	0.000	KZ 5			
				Min N	1.508	194.429	0.000	KZ 5			
				Max V _z	1.508	194.429	0.000	KZ 5			



■ 4.12 PRŮŘEZY - VNITŘNÍ SÍLY

Kombinace výsledků

Prut č.	KV	Uzel č.	Místo x [m]	Síly [kN]		Momenty M _y [kNm]	Příslušející zat. stavy		
				N	V _z				
4	KV3	7	0.624	Min V _z	1.508	194.429	0.000	KZ 5	
				Max M _y	1.508	194.429	0.000	KZ 5	
				Min M _y	1.508	194.429	0.000	KZ 5	
				Max N	1.431	193.392	120.933	KZ 5	
				Min N	1.431	193.392	120.933	KZ 5	
				Max V _z	1.431	193.392	120.933	KZ 5	
	5	KV1	7	0.000	Min V _z	1.431	193.392	120.933	KZ 5
					Max M _y	1.431	193.392	120.933	KZ 5
					Min M _y	1.431	193.392	120.933	KZ 5
					Max N	0.778	116.736	90.700	KZ 1
					Min N	0.778	116.736	90.700	KZ 1
					Max V _z	0.778	116.736	90.700	KZ 1
5	KV1	8	0.624	Min V _z	0.778	116.736	90.700	KZ 1	
				Max M _y	0.778	116.736	90.700	KZ 1	
				Min M _y	0.778	116.736	90.700	KZ 1	
				Max N	0.669	115.959	163.260	KZ 1	
				Min N	0.669	115.959	163.260	KZ 1	
				Max V _z	0.669	115.959	163.260	KZ 1	
		KV2	7	0.000	Min V _z	0.669	115.959	163.260	KZ 1
					Max M _y	0.669	115.959	163.260	KZ 1
					Min M _y	0.669	115.959	163.260	KZ 1
					Max N	0.356	86.472	67.185	KZ 3
					Min N	0.356	86.472	67.185	KZ 3
					Max V _z	0.356	86.472	67.185	KZ 3
	6	KV3	7	0.000	Min V _z	0.356	86.472	67.185	KZ 3
					Max M _y	0.356	86.472	67.185	KZ 3
					Min M _y	0.356	86.472	67.185	KZ 3
					Max N	0.306	85.896	120.933	KZ 3
					Min N	0.306	85.896	120.933	KZ 3
					Max V _z	0.306	85.896	120.933	KZ 3
		KV3	8	0.624	Min V _z	0.306	85.896	120.933	KZ 3
					Max M _y	0.306	85.896	120.933	KZ 3
					Min M _y	0.306	85.896	120.933	KZ 3
					Max N	1.152	155.647	120.933	KZ 5
					Min N	1.152	155.647	120.933	KZ 5
					Max V _z	1.152	155.647	120.933	KZ 5
6	KV1	8	0.000	Min V _z	1.152	155.647	120.933	KZ 5	
				Max M _y	1.152	155.647	120.933	KZ 5	
				Min M _y	1.152	155.647	120.933	KZ 5	
				Max N	0.992	154.611	217.680	KZ 5	
				Min N	0.992	154.611	217.680	KZ 5	
				Max V _z	0.992	154.611	217.680	KZ 5	
		KV2	9	0.624	Min V _z	0.992	154.611	217.680	KZ 5
					Max M _y	0.992	154.611	217.680	KZ 5
					Min M _y	0.992	154.611	217.680	KZ 5
					Max N	0.506	87.650	163.260	KZ 1
					Min N	0.506	87.650	163.260	KZ 1
					Max V _z	0.506	87.650	163.260	KZ 1
	7	KV2	8	0.000	Min V _z	0.506	87.650	163.260	KZ 1
					Max M _y	0.506	87.650	163.260	KZ 1
					Min M _y	0.506	87.650	163.260	KZ 1
					Max N	0.386	86.872	217.680	KZ 1
					Min N	0.386	86.872	217.680	KZ 1
					Max V _z	0.386	86.872	217.680	KZ 1
		KV3	9	0.624	Min V _z	0.386	86.872	217.680	KZ 1
					Max M _y	0.386	86.872	217.680	KZ 1
					Min M _y	0.386	86.872	217.680	KZ 1
					Max N	0.231	64.926	120.933	KZ 3
					Min N	0.231	64.926	120.933	KZ 3
					Max V _z	0.231	64.926	120.933	KZ 3
7	KV1	8	0.000	Min V _z	0.231	64.926	120.933	KZ 3	
				Max M _y	0.231	64.926	120.933	KZ 3	
				Min M _y	0.231	64.926	120.933	KZ 3	
				Max N	0.176	64.350	161.244	KZ 3	
				Min N	0.176	64.350	161.244	KZ 3	
				Max V _z	0.176	64.350	161.244	KZ 3	
		KV3	9	0.624	Min V _z	0.176	64.350	161.244	KZ 3
					Max M _y	0.176	64.350	161.244	KZ 3
					Min M _y	0.176	64.350	161.244	KZ 3
					Max N	0.750	116.866	217.680	KZ 5
					Min N	0.750	116.866	217.680	KZ 5
					Max V _z	0.750	116.866	217.680	KZ 5
	8	KV1	9	0.000	Min V _z	0.750	116.866	217.680	KZ 5
					Max M _y	0.750	116.866	217.680	KZ 5
					Min M _y	0.750	116.866	217.680	KZ 5
					Max N	0.572	115.830	290.240	KZ 5
					Min N	0.572	115.830	290.240	KZ 5
					Max V _z	0.572	115.830	290.240	KZ 5
		KV1	10	0.624	Min V _z	0.572	115.830	290.240	KZ 5
					Max M _y	0.572	115.830	290.240	KZ 5
					Min M _y	0.572	115.830	290.240	KZ 5
					Max N	0.260	58.563	217.680	KZ 1
					Min N	0.260	58.563	217.680	KZ 1
					Max V _z	0.260	58.563	217.680	KZ 1



■ 4.12 PRŮŘEZY - VNITŘNÍ SÍLY

Kombinace výsledků

Prut č.	KV	Uzel č.	Místo x [m]	Síly [kN]			Momenty M _y [kNm]	Příslušející zat. stavy	
				N	V _z				
7	KV1			Min N	0.161	57.786	253.960	KZ 1	
				Max V _z	0.161	57.786	253.960	KZ 1	
				Min V _z	0.161	57.786	253.960	KZ 1	
				Max M _y	0.161	57.786	253.960	KZ 1	
				Min M _y	0.161	57.786	253.960	KZ 1	
				Max N	0.119	43.380	161.244	KZ 3	
	KV2	9	0.000	Min N	0.119	43.380	161.244	KZ 3	
				Max V _z	0.119	43.380	161.244	KZ 3	
				Min V _z	0.119	43.380	161.244	KZ 3	
		10	0.624	Max M _y	0.119	43.380	161.244	KZ 3	
				Min M _y	0.119	43.380	161.244	KZ 3	
				Max N	0.074	42.804	188.118	KZ 3	
	KV3	9	0.000	Min N	0.074	42.804	188.118	KZ 3	
				Max V _z	0.074	42.804	188.118	KZ 3	
				Min V _z	0.074	42.804	188.118	KZ 3	
		10	0.624	Max M _y	0.074	42.804	188.118	KZ 3	
				Min M _y	0.074	42.804	188.118	KZ 3	
				Max N	0.385	78.084	290.240	KZ 5	
	8	KV1	10	0.000	Min N	0.385	78.084	290.240	KZ 5
					Max V _z	0.385	78.084	290.240	KZ 5
					Min V _z	0.385	78.084	290.240	KZ 5
			11	0.624	Max M _y	0.385	78.084	290.240	KZ 5
					Min M _y	0.385	78.084	290.240	KZ 5
					Max N	0.239	77.047	338.613	KZ 5
KV2		10	0.000	Min N	0.239	77.047	338.613	KZ 5	
				Max V _z	0.239	77.047	338.613	KZ 5	
				Min V _z	0.239	77.047	338.613	KZ 5	
		11	0.624	Max M _y	0.239	77.047	338.613	KZ 5	
				Min M _y	0.239	77.047	338.613	KZ 5	
				Max N	0.082	29.476	253.960	KZ 1	
9	KV1	11	0.000	Min N	0.082	29.476	253.960	KZ 1	
				Max V _z	0.082	29.476	253.960	KZ 1	
				Min V _z	0.082	29.476	253.960	KZ 1	
		12	0.624	Max M _y	0.082	29.476	253.960	KZ 1	
				Min M _y	0.082	29.476	253.960	KZ 1	
				Max N	0.027	28.698	272.100	KZ 1	
	KV2	10	0.000	Min N	0.027	28.698	272.100	KZ 1	
				Max V _z	0.027	28.698	272.100	KZ 1	
				Min V _z	0.027	28.698	272.100	KZ 1	
		11	0.624	Max M _y	0.027	28.698	272.100	KZ 1	
				Min M _y	0.027	28.698	272.100	KZ 1	
				Max N	0.038	21.834	188.118	KZ 3	
8	KV3	10	0.000	Min N	0.038	21.834	188.118	KZ 3	
				Max V _z	0.038	21.834	188.118	KZ 3	
				Min V _z	0.038	21.834	188.118	KZ 3	
		11	0.624	Max M _y	0.038	21.834	188.118	KZ 3	
				Min M _y	0.038	21.834	188.118	KZ 3	
				Max N	0.012	21.258	201.555	KZ 3	
	KV1	11	0.000	Min N	0.012	21.258	201.555	KZ 3	
				Max V _z	0.012	21.258	201.555	KZ 3	
				Min V _z	0.012	21.258	201.555	KZ 3	
		12	0.624	Max M _y	0.012	21.258	201.555	KZ 3	
				Min M _y	0.012	21.258	201.555	KZ 3	
				Max N	0.122	39.302	338.613	KZ 5	
9	KV2	11	0.000	Min N	0.122	39.302	338.613	KZ 5	
				Max V _z	0.122	39.302	338.613	KZ 5	
				Min V _z	0.122	39.302	338.613	KZ 5	
		12	0.624	Max M _y	0.122	39.302	338.613	KZ 5	
				Min M _y	0.122	39.302	338.613	KZ 5	
				Max N	0.040	38.265	362.800	KZ 5	
	KV1	11	0.000	Min N	0.040	38.265	362.800	KZ 5	
				Max V _z	0.040	38.265	362.800	KZ 5	
				Min V _z	0.040	38.265	362.800	KZ 5	
		12	0.624	Max M _y	0.040	38.265	362.800	KZ 5	
				Min M _y	0.040	38.265	362.800	KZ 5	
				Max N	0.000	0.389	272.100	KZ 1	
9	KV2	11	0.000	Min N	0.000	0.389	272.100	KZ 1	
				Max V _z	0.000	0.389	272.100	KZ 1	
				Min V _z	0.000	0.389	272.100	KZ 1	
		12	0.624	Max M _y	0.000	0.389	272.100	KZ 1	
				Min M _y	0.000	0.389	272.100	KZ 1	
				Max N	0.000	-0.389	272.100	KZ 1	
	KV1	11	0.000	Min N	0.000	-0.389	272.100	KZ 1	
				Max V _z	0.000	-0.389	272.100	KZ 1	
				Min V _z	0.000	-0.389	272.100	KZ 1	
		12	0.624	Max M _y	0.000	-0.389	272.100	KZ 1	
				Min M _y	0.000	-0.389	272.100	KZ 1	
				Max N	0.000	0.288	201.555	KZ 3	
KV2	11	0.000	Min N	0.000	0.288	201.555	KZ 3		
			Max V _z	0.000	0.288	201.555	KZ 3		
			Min V _z	0.000	0.288	201.555	KZ 3		
	12	0.624	Max M _y	0.000	0.288	201.555	KZ 3		
			Min M _y	0.000	0.288	201.555	KZ 3		
			Max N	0.000	-0.288	201.555	KZ 3		
KV1	11	0.000	Min N	0.000	-0.288	201.555	KZ 3		
			Max V _z	0.000	-0.288	201.555	KZ 3		
			Min V _z	0.000	-0.288	201.555	KZ 3		
	12	0.624	Max M _y	0.000	-0.288	201.555	KZ 3		
			Min M _y	0.000	-0.288	201.555	KZ 3		
			Max N	0.000	-0.288	201.555	KZ 3		



■ 4.12 PRŮŘEZY - VNITŘNÍ SÍLY

Kombinace výsledků

Prut č.	KV	Uzel č.	Místo x [m]	Síly [kN]			Momenty M _y [kNm]	Příslušející zat. stavy	
				N	V _z				
9	KV2	11	0.000	Min M _y	0.000	-0.288	201.555	KZ 3	
				Max N	0.001	0.519	362.800	KZ 5	
	Min N			0.001	0.519	362.800	KZ 5		
	Max V _z			0.001	0.519	362.800	KZ 5		
	Min V _z			0.001	0.519	362.800	KZ 5		
	Max M _y			0.001	0.519	362.800	KZ 5		
	KV3	12	0.624	Max N	0.001	-0.519	362.800	KZ 5	
				Min N	0.001	-0.519	362.800	KZ 5	
				Max V _z	0.001	-0.519	362.800	KZ 5	
				Min V _z	0.001	-0.519	362.800	KZ 5	
				Max M _y	0.001	-0.519	362.800	KZ 5	
				Min M _y	0.001	-0.519	362.800	KZ 5	
10	KV1	12	0.000	Max N	0.027	-28.698	272.100	KZ 1	
				Min N	0.027	-28.698	272.100	KZ 1	
				Max V _z	0.027	-28.698	272.100	KZ 1	
				Min V _z	0.027	-28.698	272.100	KZ 1	
				Max M _y	0.027	-28.698	272.100	KZ 1	
				Min M _y	0.027	-28.698	272.100	KZ 1	
		KV2	13	0.624	Max N	0.082	-29.476	253.960	KZ 1
					Min N	0.082	-29.476	253.960	KZ 1
					Max V _z	0.082	-29.476	253.960	KZ 1
					Min V _z	0.082	-29.476	253.960	KZ 1
					Max M _y	0.082	-29.476	253.960	KZ 1
					Min M _y	0.082	-29.476	253.960	KZ 1
	KV3	12	0.000	Max N	0.040	-38.265	362.800	KZ 5	
				Min N	0.040	-38.265	362.800	KZ 5	
				Max V _z	0.040	-38.265	362.800	KZ 5	
				Min V _z	0.040	-38.265	362.800	KZ 5	
				Max M _y	0.040	-38.265	362.800	KZ 5	
				Min M _y	0.040	-38.265	362.800	KZ 5	
	11	KV1	13	0.000	Max N	0.122	-39.302	338.613	KZ 5
					Min N	0.122	-39.302	338.613	KZ 5
					Max V _z	0.122	-39.302	338.613	KZ 5
					Min V _z	0.122	-39.302	338.613	KZ 5
					Max M _y	0.122	-39.302	338.613	KZ 5
					Min M _y	0.122	-39.302	338.613	KZ 5
KV2			14	0.624	Max N	0.260	-58.563	217.680	KZ 1
					Min N	0.260	-58.563	217.680	KZ 1
					Max V _z	0.260	-58.563	217.680	KZ 1
					Min V _z	0.260	-58.563	217.680	KZ 1
					Max M _y	0.260	-58.563	217.680	KZ 1
					Min M _y	0.260	-58.563	217.680	KZ 1
KV3		13	0.000	Max N	0.239	-77.047	338.613	KZ 5	
				Min N	0.239	-77.047	338.613	KZ 5	
				Max V _z	0.239	-77.047	338.613	KZ 5	
				Min V _z	0.239	-77.047	338.613	KZ 5	
				Max M _y	0.239	-77.047	338.613	KZ 5	
				Min M _y	0.239	-77.047	338.613	KZ 5	
12		KV1	14	0.000	Max N	0.386	-86.872	217.680	KZ 1
					Min N	0.386	-86.872	217.680	KZ 1
					Max V _z	0.386	-86.872	217.680	KZ 1
					Min V _z	0.386	-86.872	217.680	KZ 1
					Max M _y	0.386	-86.872	217.680	KZ 1
					Min M _y	0.386	-86.872	217.680	KZ 1



■ 4.12 PRŮŘEZY - VNITŘNÍ SÍLY

Kombinace výsledků

Prut č.	KV	Uzel č.	Místo x [m]	Síly [kN]			Momenty M _y [kNm]	Příslušející zat. stavy	
				N	V _z				
12	KV1	15	0.624	Min V _z	0.386	-86.872	217.680	KZ 1	
				Max M _y	0.386	-86.872	217.680	KZ 1	
				Min M _y	0.386	-86.872	217.680	KZ 1	
				Max N	0.506	-87.650	163.260	KZ 1	
				Min N	0.506	-87.650	163.260	KZ 1	
				Max V _z	0.506	-87.650	163.260	KZ 1	
		KV2	14	0.000	Min V _z	0.506	-87.650	163.260	KZ 1
					Max M _y	0.506	-87.650	163.260	KZ 1
					Min M _y	0.506	-87.650	163.260	KZ 1
			15	0.624	Max N	0.176	-64.350	161.244	KZ 3
					Min N	0.176	-64.350	161.244	KZ 3
					Max V _z	0.176	-64.350	161.244	KZ 3
	KV3	14	0.000	Min V _z	0.176	-64.350	161.244	KZ 3	
				Max M _y	0.176	-64.350	161.244	KZ 3	
				Min M _y	0.176	-64.350	161.244	KZ 3	
				Max N	0.231	-64.926	120.933	KZ 3	
				Min N	0.231	-64.926	120.933	KZ 3	
				Max V _z	0.231	-64.926	120.933	KZ 3	
		15	0.624	Min V _z	0.231	-64.926	120.933	KZ 3	
				Max M _y	0.231	-64.926	120.933	KZ 3	
				Min M _y	0.231	-64.926	120.933	KZ 3	
				Max N	0.572	-115.830	290.240	KZ 5	
				Min N	0.572	-115.830	290.240	KZ 5	
				Max V _z	0.572	-115.830	290.240	KZ 5	
13	KV1	15	0.000	Min V _z	0.572	-115.830	290.240	KZ 5	
				Max M _y	0.572	-115.830	290.240	KZ 5	
				Min M _y	0.572	-115.830	290.240	KZ 5	
				Max N	0.750	-116.866	217.680	KZ 5	
				Min N	0.750	-116.866	217.680	KZ 5	
				Max V _z	0.750	-116.866	217.680	KZ 5	
		16	0.624	Min V _z	0.750	-116.866	217.680	KZ 5	
				Max M _y	0.750	-116.866	217.680	KZ 5	
				Min M _y	0.750	-116.866	217.680	KZ 5	
				Max N	0.669	-115.959	163.260	KZ 1	
				Min N	0.669	-115.959	163.260	KZ 1	
				Max V _z	0.669	-115.959	163.260	KZ 1	
	KV2	15	0.000	Min V _z	0.669	-115.959	163.260	KZ 1	
				Max M _y	0.669	-115.959	163.260	KZ 1	
				Min M _y	0.669	-115.959	163.260	KZ 1	
				Max N	0.778	-116.736	90.700	KZ 1	
				Min N	0.778	-116.736	90.700	KZ 1	
				Max V _z	0.778	-116.736	90.700	KZ 1	
		16	0.624	Min V _z	0.778	-116.736	90.700	KZ 1	
				Max M _y	0.778	-116.736	90.700	KZ 1	
				Min M _y	0.778	-116.736	90.700	KZ 1	
				Max N	0.306	-85.896	120.933	KZ 3	
				Min N	0.306	-85.896	120.933	KZ 3	
				Max V _z	0.306	-85.896	120.933	KZ 3	
KV3	15	0.000	Min V _z	0.306	-85.896	120.933	KZ 3		
			Max M _y	0.306	-85.896	120.933	KZ 3		
			Min M _y	0.306	-85.896	120.933	KZ 3		
			Max N	0.356	-86.472	67.185	KZ 3		
			Min N	0.356	-86.472	67.185	KZ 3		
			Max V _z	0.356	-86.472	67.185	KZ 3		
	16	0.624	Min V _z	0.356	-86.472	67.185	KZ 3		
			Max M _y	0.356	-86.472	67.185	KZ 3		
			Min M _y	0.356	-86.472	67.185	KZ 3		
			Max N	0.992	-154.611	217.680	KZ 5		
			Min N	0.992	-154.611	217.680	KZ 5		
			Max V _z	0.992	-154.611	217.680	KZ 5		
14	KV1	16	0.000	Min V _z	0.992	-154.611	217.680	KZ 5	
				Max M _y	0.992	-154.611	217.680	KZ 5	
				Min M _y	0.992	-154.611	217.680	KZ 5	
				Max N	1.152	-155.647	120.933	KZ 5	
				Min N	1.152	-155.647	120.933	KZ 5	
				Max V _z	1.152	-155.647	120.933	KZ 5	
		5	0.624	Min V _z	1.152	-155.647	120.933	KZ 5	
				Max M _y	1.152	-155.647	120.933	KZ 5	
				Min M _y	1.152	-155.647	120.933	KZ 5	
				Max N	0.966	-145.045	90.700	KZ 1	
				Min N	0.966	-145.045	90.700	KZ 1	
				Max V _z	0.966	-145.045	90.700	KZ 1	
	KV2	16	0.000	Min V _z	0.966	-145.045	90.700	KZ 1	
				Max M _y	0.966	-145.045	90.700	KZ 1	
				Min M _y	0.966	-145.045	90.700	KZ 1	
				Max N	1.018	-145.823	0.000	KZ 1	
				Min N	1.018	-145.823	0.000	KZ 1	
				Max V _z	1.018	-145.823	0.000	KZ 1	
		5	0.624	Min V _z	1.018	-145.823	0.000	KZ 1	
				Max M _y	1.018	-145.823	0.000	KZ 1	
				Min M _y	1.018	-145.823	0.000	KZ 1	
				Max N	0.442	-107.442	67.185	KZ 3	
				Min N	0.442	-107.442	67.185	KZ 3	
				Max V _z	0.442	-107.442	67.185	KZ 3	
5	0.624	Min V _z	0.442	-107.442	67.185	KZ 3			
		Max M _y	0.442	-107.442	67.185	KZ 3			
		Min M _y	0.442	-107.442	67.185	KZ 3			
		Max N	0.465	-108.018	0.000	KZ 3			
		Min N	0.465	-108.018	0.000	KZ 3			
		Max V _z	0.465	-108.018	0.000	KZ 3			



■ 4.12 PRŮŘEZY - VNITŘNÍ SÍLY

Kombinace výsledků

Prut č.	KV	Uzel č.	Místo x [m]	Síly [kN]			Momenty M _y [kNm]	Příslušející zat. stavy
				N	V _z			
14	KV2			Min N	0.465	-108.018	0.000	KZ 3
				Max V _z	0.465	-108.018	0.000	KZ 3
				Min V _z	0.465	-108.018	0.000	KZ 3
				Max M _y	0.465	-108.018	0.000	KZ 3
				Min M _y	0.465	-108.018	0.000	KZ 3
				Max N	1.431	-193.392	120.933	KZ 5
	KV3	16	0.000	Min N	1.431	-193.392	120.933	KZ 5
				Max V _z	1.431	-193.392	120.933	KZ 5
				Min V _z	1.431	-193.392	120.933	KZ 5
				Max M _y	1.431	-193.392	120.933	KZ 5
				Min M _y	1.431	-193.392	120.933	KZ 5
				Max N	1.508	-194.429	0.000	KZ 5
15	KV1	18	0.000	Min N	1.508	-194.429	0.000	KZ 5
				Max V _z	1.508	-194.429	0.000	KZ 5
				Min V _z	1.508	-194.429	0.000	KZ 5
				Max M _y	1.508	-194.429	0.000	KZ 5
				Min M _y	1.508	-194.429	0.000	KZ 5
				Max N	1.566	180.838	0.000	KZ 5
	KV2	18	0.000	Min N	1.566	180.838	0.000	KZ 1
				Max V _z	1.566	180.838	0.000	KZ 1
				Min V _z	1.566	180.838	0.000	KZ 1
				Max M _y	1.566	180.838	0.000	KZ 1
				Min M _y	1.566	180.838	0.000	KZ 1
				Max N	1.488	180.061	112.539	KZ 1
16	KV1	19	0.000	Min N	1.488	180.061	112.539	KZ 1
				Max V _z	1.488	180.061	112.539	KZ 1
				Min V _z	1.488	180.061	112.539	KZ 1
				Max M _y	1.488	180.061	112.539	KZ 1
				Min M _y	1.488	180.061	112.539	KZ 1
				Max N	0.680	133.381	83.362	KZ 3
	KV2	19	0.624	Min N	0.680	133.381	83.362	KZ 3
				Max V _z	0.680	133.381	83.362	KZ 3
				Min V _z	0.680	133.381	83.362	KZ 3
				Max M _y	0.680	133.381	83.362	KZ 3
				Min M _y	0.680	133.381	83.362	KZ 3
				Max N	2.320	241.116	0.000	KZ 3
KV3	18	0.000	Min N	2.320	241.116	0.000	KZ 3	
			Max V _z	2.320	241.116	0.000	KZ 3	
			Min V _z	2.320	241.116	0.000	KZ 3	
			Max M _y	2.320	241.116	0.000	KZ 3	
			Min M _y	2.320	241.116	0.000	KZ 3	
			Max N	2.205	240.079	150.052	KZ 5	
16	KV1	19	0.000	Min N	2.205	240.079	150.052	KZ 5
				Max V _z	2.205	240.079	150.052	KZ 5
				Min V _z	2.205	240.079	150.052	KZ 5
				Max M _y	2.205	240.079	150.052	KZ 5
				Min M _y	2.205	240.079	150.052	KZ 5
				Max N	1.196	144.749	112.539	KZ 5
	KV2	19	0.000	Min N	1.196	144.749	112.539	KZ 1
				Max V _z	1.196	144.749	112.539	KZ 1
				Min V _z	1.196	144.749	112.539	KZ 1
				Max M _y	1.196	144.749	112.539	KZ 1
				Min M _y	1.196	144.749	112.539	KZ 1
				Max N	1.031	143.972	202.570	KZ 1
16	KV1	20	0.624	Min N	1.031	143.972	202.570	KZ 1
				Max V _z	1.031	143.972	202.570	KZ 1
				Min V _z	1.031	143.972	202.570	KZ 1
				Max M _y	1.031	143.972	202.570	KZ 1
				Min M _y	1.031	143.972	202.570	KZ 1
				Max N	0.547	107.224	83.362	KZ 1
	KV2	19	0.000	Min N	0.547	107.224	83.362	KZ 3
				Max V _z	0.547	107.224	83.362	KZ 3
				Min V _z	0.547	107.224	83.362	KZ 3
				Max M _y	0.547	107.224	83.362	KZ 3
				Min M _y	0.547	107.224	83.362	KZ 3
				Max N	0.472	106.648	150.052	KZ 3
16	KV1	20	0.624	Min N	0.472	106.648	150.052	KZ 3
				Max V _z	0.472	106.648	150.052	KZ 3
				Min V _z	0.472	106.648	150.052	KZ 3
				Max M _y	0.472	106.648	150.052	KZ 3
				Min M _y	0.472	106.648	150.052	KZ 3
				Max N	1.772	192.997	150.052	KZ 3
	KV3	19	0.000	Min N	1.772	192.997	150.052	KZ 5
				Max V _z	1.772	192.997	150.052	KZ 5
				Min V _z	1.772	192.997	150.052	KZ 5
				Max M _y	1.772	192.997	150.052	KZ 5
				Min M _y	1.772	192.997	150.052	KZ 5
				Max N	1.528	191.962	270.094	KZ 5
KV3	20	0.624	Min N	1.528	191.962	270.094	KZ 5	
			Max V _z	1.528	191.962	270.094	KZ 5	
			Min V _z	1.528	191.962	270.094	KZ 5	
			Max M _y	1.528	191.962	270.094	KZ 5	
			Min M _y	1.528	191.962	270.094	KZ 5	
			Max N	1.528	191.962	270.094	KZ 5	



■ 4.12 PRŮŘEZY - VNITŘNÍ SÍLY

Kombinace výsledků

Prut č.	KV	Uzel č.	Místo x [m]	Síly [kN]			Momenty M _y [kNm]	Příslušející zat. stavy
				N	V _z			
16	KV3	20	0.000	Min M _y	1.528	191.962	270.094	KZ 5
	Max N			0.778	108.660	202.570	KZ 1	
17	KV1	20	0.000	Min N	0.778	108.660	202.570	KZ 1
				Max V _z	0.778	108.660	202.570	KZ 1
				Min V _z	0.778	108.660	202.570	KZ 1
				Max M _y	0.778	108.660	202.570	KZ 1
				Min M _y	0.778	108.660	202.570	KZ 1
				Max N	0.594	107.883	270.094	KZ 1
	21	0.624	Min N	0.594	107.883	270.094	KZ 1	
			Max V _z	0.594	107.883	270.094	KZ 1	
			Min V _z	0.594	107.883	270.094	KZ 1	
			Max M _y	0.594	107.883	270.094	KZ 1	
			Min M _y	0.594	107.883	270.094	KZ 1	
			Max N	0.356	80.490	150.052	KZ 3	
	KV2	20	0.000	Min N	0.356	80.490	150.052	KZ 3
				Max V _z	0.356	80.490	150.052	KZ 3
				Min V _z	0.356	80.490	150.052	KZ 3
				Max M _y	0.356	80.490	150.052	KZ 3
				Min M _y	0.356	80.490	150.052	KZ 3
				Max N	0.272	79.914	200.069	KZ 3
21	0.624	Min N	0.272	79.914	200.069	KZ 3		
		Max V _z	0.272	79.914	200.069	KZ 3		
		Min V _z	0.272	79.914	200.069	KZ 3		
		Max M _y	0.272	79.914	200.069	KZ 3		
		Min M _y	0.272	79.914	200.069	KZ 3		
		Max N	1.153	144.879	270.094	KZ 5		
KV3	20	0.000	Min N	1.153	144.879	270.094	KZ 5	
			Max V _z	1.153	144.879	270.094	KZ 5	
			Min V _z	1.153	144.879	270.094	KZ 5	
			Max M _y	1.153	144.879	270.094	KZ 5	
			Min M _y	1.153	144.879	270.094	KZ 5	
			Max N	0.881	143.844	360.125	KZ 5	
21	0.624	Min N	0.881	143.844	360.125	KZ 5		
		Max V _z	0.881	143.844	360.125	KZ 5		
		Min V _z	0.881	143.844	360.125	KZ 5		
		Max M _y	0.881	143.844	360.125	KZ 5		
		Min M _y	0.881	143.844	360.125	KZ 5		
		Max N	0.400	72.570	270.094	KZ 1		
18	KV1	21	0.000	Min N	0.400	72.570	270.094	KZ 1
				Max V _z	0.400	72.570	270.094	KZ 1
				Min V _z	0.400	72.570	270.094	KZ 1
				Max M _y	0.400	72.570	270.094	KZ 1
				Min M _y	0.400	72.570	270.094	KZ 1
				Max N	0.249	71.793	315.109	KZ 1
	22	0.624	Min N	0.249	71.793	315.109	KZ 1	
			Max V _z	0.249	71.793	315.109	KZ 1	
			Min V _z	0.249	71.793	315.109	KZ 1	
			Max M _y	0.249	71.793	315.109	KZ 1	
			Min M _y	0.249	71.793	315.109	KZ 1	
			Max N	0.183	53.756	200.069	KZ 3	
	KV2	21	0.000	Min N	0.183	53.756	200.069	KZ 3
				Max V _z	0.183	53.756	200.069	KZ 3
				Min V _z	0.183	53.756	200.069	KZ 3
				Max M _y	0.183	53.756	200.069	KZ 3
				Min M _y	0.183	53.756	200.069	KZ 3
				Max N	0.114	53.180	233.414	KZ 3
22	0.624	Min N	0.114	53.180	233.414	KZ 3		
		Max V _z	0.114	53.180	233.414	KZ 3		
		Min V _z	0.114	53.180	233.414	KZ 3		
		Max M _y	0.114	53.180	233.414	KZ 3		
		Min M _y	0.114	53.180	233.414	KZ 3		
		Max N	0.592	96.760	360.125	KZ 5		
KV3	21	0.000	Min N	0.592	96.760	360.125	KZ 5	
			Max V _z	0.592	96.760	360.125	KZ 5	
			Min V _z	0.592	96.760	360.125	KZ 5	
			Max M _y	0.592	96.760	360.125	KZ 5	
			Min M _y	0.592	96.760	360.125	KZ 5	
			Max N	0.368	95.724	420.146	KZ 5	
22	0.624	Min N	0.368	95.724	420.146	KZ 5		
		Max V _z	0.368	95.724	420.146	KZ 5		
		Min V _z	0.368	95.724	420.146	KZ 5		
		Max M _y	0.368	95.724	420.146	KZ 5		
		Min M _y	0.368	95.724	420.146	KZ 5		
		Max N	0.126	36.480	315.109	KZ 1		
19	KV1	22	0.000	Min N	0.126	36.480	315.109	KZ 1
				Max V _z	0.126	36.480	315.109	KZ 1
				Min V _z	0.126	36.480	315.109	KZ 1
				Max M _y	0.126	36.480	315.109	KZ 1
				Min M _y	0.126	36.480	315.109	KZ 1
				Max N	0.042	35.702	337.617	KZ 1
	23	0.624	Min N	0.042	35.702	337.617	KZ 1	
			Max V _z	0.042	35.702	337.617	KZ 1	
			Min V _z	0.042	35.702	337.617	KZ 1	
			Max M _y	0.042	35.702	337.617	KZ 1	
			Min M _y	0.042	35.702	337.617	KZ 1	
			Max N	0.058	27.022	233.414	KZ 3	
	KV2	22	0.000	Min N	0.058	27.022	233.414	KZ 3
				Max V _z	0.058	27.022	233.414	KZ 3
				Min V _z	0.058	27.022	233.414	KZ 3



■ 4.12 PRŮŘEZY - VNITŘNÍ SÍLY

Kombinace výsledků

Prut č.	KV	Uzel č.	Místo x [m]	Síly [kN]		Momenty		Příslušející zat. stavy
				N	V _z	M _y [kNm]		
19	KV2	23	0.624	Min V _z	0.058	27.022	233.414	KZ 3
				Max M _y	0.058	27.022	233.414	KZ 3
				Min M _y	0.058	27.022	233.414	KZ 3
				Max N	0.019	26.446	250.087	KZ 3
				Min N	0.019	26.446	250.087	KZ 3
				Max V _z	0.019	26.446	250.087	KZ 3
	KV3	22	0.000	Min V _z	0.019	26.446	250.087	KZ 3
				Max M _y	0.019	26.446	250.087	KZ 3
				Min M _y	0.019	26.446	250.087	KZ 3
				Max N	0.187	48.640	420.146	KZ 5
				Min N	0.187	48.640	420.146	KZ 5
				Max V _z	0.187	48.640	420.146	KZ 5
20	KV1	23	0.000	Min V _z	0.187	48.640	420.146	KZ 5
				Max M _y	0.187	48.640	420.146	KZ 5
				Min M _y	0.187	48.640	420.146	KZ 5
				Max N	0.062	47.603	450.156	KZ 5
				Min N	0.062	47.603	450.156	KZ 5
				Max V _z	0.062	47.603	450.156	KZ 5
	KV2	23	0.000	Min V _z	0.062	47.603	450.156	KZ 5
				Max M _y	0.062	47.603	450.156	KZ 5
				Min M _y	0.062	47.603	450.156	KZ 5
				Max N	0.000	0.389	337.617	KZ 1
				Min N	0.000	0.389	337.617	KZ 1
				Max V _z	0.000	0.389	337.617	KZ 1
21	KV1	24	0.000	Min V _z	0.000	0.389	337.617	KZ 1
				Max M _y	0.000	0.389	337.617	KZ 1
				Min M _y	0.000	0.389	337.617	KZ 1
				Max N	0.000	-0.389	337.617	KZ 1
				Min N	0.000	-0.389	337.617	KZ 1
				Max V _z	0.000	-0.389	337.617	KZ 1
	KV2	23	0.000	Min V _z	0.000	-0.389	337.617	KZ 1
				Max M _y	0.000	-0.389	337.617	KZ 1
				Min M _y	0.000	-0.389	337.617	KZ 1
				Max N	0.000	0.288	250.087	KZ 3
				Min N	0.000	0.288	250.087	KZ 3
				Max V _z	0.000	0.288	250.087	KZ 3
21	KV3	23	0.000	Min V _z	0.000	0.288	250.087	KZ 3
				Max M _y	0.000	0.288	250.087	KZ 3
				Min M _y	0.000	0.288	250.087	KZ 3
				Max N	0.001	0.519	450.156	KZ 5
				Min N	0.001	0.519	450.156	KZ 5
				Max V _z	0.001	0.519	450.156	KZ 5
	KV1	24	0.000	Min V _z	0.001	0.519	450.156	KZ 5
				Max M _y	0.001	0.519	450.156	KZ 5
				Min M _y	0.001	0.519	450.156	KZ 5
				Max N	0.001	-0.519	450.156	KZ 5
				Min N	0.001	-0.519	450.156	KZ 5
				Max V _z	0.001	-0.519	450.156	KZ 5
21	KV2	24	0.000	Min V _z	0.001	-0.519	450.156	KZ 5
				Max M _y	0.001	-0.519	450.156	KZ 5
				Min M _y	0.001	-0.519	450.156	KZ 5
				Max N	0.042	-35.702	337.617	KZ 1
				Min N	0.042	-35.702	337.617	KZ 1
				Max V _z	0.042	-35.702	337.617	KZ 1
	KV3	24	0.000	Min V _z	0.042	-35.702	337.617	KZ 1
				Max M _y	0.042	-35.702	337.617	KZ 1
				Min M _y	0.042	-35.702	337.617	KZ 1
				Max N	0.126	-36.480	315.109	KZ 1
				Min N	0.126	-36.480	315.109	KZ 1
				Max V _z	0.126	-36.480	315.109	KZ 1
21	KV1	25	0.624	Min V _z	0.126	-36.480	315.109	KZ 1
				Max M _y	0.126	-36.480	315.109	KZ 1
				Min M _y	0.126	-36.480	315.109	KZ 1
				Max N	0.019	-26.446	250.087	KZ 3
				Min N	0.019	-26.446	250.087	KZ 3
				Max V _z	0.019	-26.446	250.087	KZ 3
	KV2	24	0.000	Min V _z	0.019	-26.446	250.087	KZ 3
				Max M _y	0.019	-26.446	250.087	KZ 3
				Min M _y	0.019	-26.446	250.087	KZ 3
				Max N	0.058	-27.022	233.414	KZ 3
				Min N	0.058	-27.022	233.414	KZ 3
				Max V _z	0.058	-27.022	233.414	KZ 3
21	KV3	24	0.000	Min V _z	0.058	-27.022	233.414	KZ 3
				Max M _y	0.058	-27.022	233.414	KZ 3
				Min M _y	0.058	-27.022	233.414	KZ 3
				Max N	0.062	-47.603	450.156	KZ 5
				Min N	0.062	-47.603	450.156	KZ 5
				Max V _z	0.062	-47.603	450.156	KZ 5
	KV1	25	0.624	Min V _z	0.062	-47.603	450.156	KZ 5
				Max M _y	0.062	-47.603	450.156	KZ 5
				Min M _y	0.062	-47.603	450.156	KZ 5
				Max N	0.187	-48.640	420.146	KZ 5
				Min N	0.187	-48.640	420.146	KZ 5
				Max V _z	0.187	-48.640	420.146	KZ 5



4.12 PRŮŘEZY - VNITŘNÍ SÍLY

Kombinace výsledků

Prut č.	KV	Uzel č.	Místo x [m]	Síly [kN]			Momenty M _y [kNm]	Příslušející zat. stavy	
				N	V _z				
21	KV3			Min N	0.187	-48.640	420.146	KZ 5	
				Max V _z	0.187	-48.640	420.146	KZ 5	
				Min V _z	0.187	-48.640	420.146	KZ 5	
				Max M _y	0.187	-48.640	420.146	KZ 5	
				Min M _y	0.187	-48.640	420.146	KZ 5	
				Max N	0.187	-48.640	420.146	KZ 5	
	22	KV1	25	0.000	Min N	0.249	-71.793	315.109	KZ 1
					Max V _z	0.249	-71.793	315.109	KZ 1
					Min V _z	0.249	-71.793	315.109	KZ 1
			26	0.624	Max M _y	0.249	-71.793	315.109	KZ 1
					Min M _y	0.249	-71.793	315.109	KZ 1
					Max N	0.400	-72.570	270.094	KZ 1
23	KV2	25	0.000	Min N	0.400	-72.570	270.094	KZ 1	
				Max V _z	0.400	-72.570	270.094	KZ 1	
				Min V _z	0.400	-72.570	270.094	KZ 1	
		26	0.624	Max M _y	0.400	-72.570	270.094	KZ 1	
				Min M _y	0.400	-72.570	270.094	KZ 1	
				Max N	0.114	-53.180	233.414	KZ 3	
	KV3	25	0.000	Min N	0.114	-53.180	233.414	KZ 3	
				Max V _z	0.114	-53.180	233.414	KZ 3	
				Min V _z	0.114	-53.180	233.414	KZ 3	
		26	0.624	Max M _y	0.114	-53.180	233.414	KZ 3	
				Min M _y	0.114	-53.180	233.414	KZ 3	
				Max N	0.183	-53.756	200.069	KZ 3	
24	KV1	25	0.000	Min N	0.183	-53.756	200.069	KZ 3	
				Max V _z	0.183	-53.756	200.069	KZ 3	
				Min V _z	0.183	-53.756	200.069	KZ 3	
		26	0.624	Max M _y	0.183	-53.756	200.069	KZ 3	
				Min M _y	0.183	-53.756	200.069	KZ 3	
				Max N	0.368	-95.724	420.146	KZ 5	
	KV2	25	0.000	Min N	0.368	-95.724	420.146	KZ 5	
				Max V _z	0.368	-95.724	420.146	KZ 5	
				Min V _z	0.368	-95.724	420.146	KZ 5	
		26	0.624	Max M _y	0.368	-95.724	420.146	KZ 5	
				Min M _y	0.368	-95.724	420.146	KZ 5	
				Max N	0.592	-96.760	360.125	KZ 5	
25	KV3	25	0.000	Min N	0.592	-96.760	360.125	KZ 5	
				Max V _z	0.592	-96.760	360.125	KZ 5	
				Min V _z	0.592	-96.760	360.125	KZ 5	
		26	0.624	Max M _y	0.592	-96.760	360.125	KZ 5	
				Min M _y	0.592	-96.760	360.125	KZ 5	
				Max N	0.594	-107.883	270.094	KZ 1	
	KV1	26	0.000	Min N	0.594	-107.883	270.094	KZ 1	
				Max V _z	0.594	-107.883	270.094	KZ 1	
				Min V _z	0.594	-107.883	270.094	KZ 1	
		27	0.624	Max M _y	0.594	-107.883	270.094	KZ 1	
				Min M _y	0.594	-107.883	270.094	KZ 1	
				Max N	0.778	-108.660	202.570	KZ 1	
26	KV2	26	0.000	Min N	0.778	-108.660	202.570	KZ 1	
				Max V _z	0.778	-108.660	202.570	KZ 1	
				Min V _z	0.778	-108.660	202.570	KZ 1	
		27	0.624	Max M _y	0.778	-108.660	202.570	KZ 1	
				Min M _y	0.778	-108.660	202.570	KZ 1	
				Max N	0.272	-79.914	200.069	KZ 3	
	KV3	26	0.000	Min N	0.272	-79.914	200.069	KZ 3	
				Max V _z	0.272	-79.914	200.069	KZ 3	
				Min V _z	0.272	-79.914	200.069	KZ 3	
		27	0.624	Max M _y	0.272	-79.914	200.069	KZ 3	
				Min M _y	0.272	-79.914	200.069	KZ 3	
				Max N	0.356	-80.490	150.052	KZ 3	
27	KV1	26	0.000	Min N	0.356	-80.490	150.052	KZ 3	
				Max V _z	0.356	-80.490	150.052	KZ 3	
				Min V _z	0.356	-80.490	150.052	KZ 3	
		27	0.624	Max M _y	0.356	-80.490	150.052	KZ 3	
				Min M _y	0.356	-80.490	150.052	KZ 3	
				Max N	0.881	-143.844	360.125	KZ 5	
	KV2	26	0.000	Min N	0.881	-143.844	360.125	KZ 5	
				Max V _z	0.881	-143.844	360.125	KZ 5	
				Min V _z	0.881	-143.844	360.125	KZ 5	
		27	0.624	Max M _y	0.881	-143.844	360.125	KZ 5	
				Min M _y	0.881	-143.844	360.125	KZ 5	
				Max N	1.153	-144.879	270.094	KZ 5	
28	KV3	26	0.000	Min N	1.153	-144.879	270.094	KZ 5	
				Max V _z	1.153	-144.879	270.094	KZ 5	
				Min V _z	1.153	-144.879	270.094	KZ 5	
		27	0.624	Max M _y	1.153	-144.879	270.094	KZ 5	
				Min M _y	1.153	-144.879	270.094	KZ 5	
				Max N	1.031	-143.972	202.570	KZ 1	
	KV1	27	0.000	Min N	1.031	-143.972	202.570	KZ 1	
				Max V _z	1.031	-143.972	202.570	KZ 1	
				Min V _z	1.031	-143.972	202.570	KZ 1	
		28	0.624	Max M _y	1.031	-143.972	202.570	KZ 1	
				Min M _y	1.031	-143.972	202.570	KZ 1	
				Max N	1.196	-144.749	112.539	KZ 1	
KV2	27	0.000	Min N	1.196	-144.749	112.539	KZ 1		
			Max V _z	1.196	-144.749	112.539	KZ 1		
			Min V _z	1.196	-144.749	112.539	KZ 1		
	28	0.624	Max M _y	1.196	-144.749	112.539	KZ 1		
			Min M _y	1.196	-144.749	112.539	KZ 1		
			Max N	1.196	-144.749	112.539	KZ 1		



■ 4.12 PRŮŘEZY - VNITŘNÍ SÍLY

Kombinace výsledků

Prut č.	KV	Uzel č.	Místo x [m]	Síly [kN]			Momenty M _y [kNm]	Příslušející zat. stavy
				N	V _z			
24	KV1	27	0.000	Min M _y	1.196	-144.749	112.539	KZ 1
				Max N	0.472	-106.648	150.052	KZ 3
				Min N	0.472	-106.648	150.052	KZ 3
				Max V _z	0.472	-106.648	150.052	KZ 3
				Min V _z	0.472	-106.648	150.052	KZ 3
				Max M _y	0.472	-106.648	150.052	KZ 3
	KV2	28	0.624	Min M _y	0.472	-106.648	150.052	KZ 3
				Max N	0.547	-107.224	83.362	KZ 3
				Min N	0.547	-107.224	83.362	KZ 3
				Max V _z	0.547	-107.224	83.362	KZ 3
				Min V _z	0.547	-107.224	83.362	KZ 3
				Max M _y	0.547	-107.224	83.362	KZ 3
	KV3	27	0.000	Max N	1.528	-191.962	270.094	KZ 5
				Min N	1.528	-191.962	270.094	KZ 5
				Max V _z	1.528	-191.962	270.094	KZ 5
				Min V _z	1.528	-191.962	270.094	KZ 5
				Max M _y	1.528	-191.962	270.094	KZ 5
				Min M _y	1.528	-191.962	270.094	KZ 5
		28	0.624	Max N	1.772	-192.997	150.052	KZ 5
				Min N	1.772	-192.997	150.052	KZ 5
				Max V _z	1.772	-192.997	150.052	KZ 5
				Min V _z	1.772	-192.997	150.052	KZ 5
				Max M _y	1.772	-192.997	150.052	KZ 5
				Min M _y	1.772	-192.997	150.052	KZ 5
25	KV1	28	0.000	Max N	1.488	-180.061	112.539	KZ 1
				Min N	1.488	-180.061	112.539	KZ 1
				Max V _z	1.488	-180.061	112.539	KZ 1
				Min V _z	1.488	-180.061	112.539	KZ 1
				Max M _y	1.488	-180.061	112.539	KZ 1
				Min M _y	1.488	-180.061	112.539	KZ 1
		17	0.624	Max N	1.566	-180.838	0.000	KZ 1
				Min N	1.566	-180.838	0.000	KZ 1
				Max V _z	1.566	-180.838	0.000	KZ 1
				Min V _z	1.566	-180.838	0.000	KZ 1
				Max M _y	1.566	-180.838	0.000	KZ 1
				Min M _y	1.566	-180.838	0.000	KZ 1
	KV2	28	0.000	Max N	0.680	-133.381	83.362	KZ 3
				Min N	0.680	-133.381	83.362	KZ 3
				Max V _z	0.680	-133.381	83.362	KZ 3
				Min V _z	0.680	-133.381	83.362	KZ 3
				Max M _y	0.680	-133.381	83.362	KZ 3
				Min M _y	0.680	-133.381	83.362	KZ 3
	KV3	28	0.000	Max N	0.716	-133.957	0.000	KZ 3
				Min N	0.716	-133.957	0.000	KZ 3
				Max V _z	0.716	-133.957	0.000	KZ 3
				Min V _z	0.716	-133.957	0.000	KZ 3
				Max M _y	0.716	-133.957	0.000	KZ 3
				Min M _y	0.716	-133.957	0.000	KZ 3
17		0.624	Max N	2.205	-240.079	150.052	KZ 5	
			Min N	2.205	-240.079	150.052	KZ 5	
			Max V _z	2.205	-240.079	150.052	KZ 5	
			Min V _z	2.205	-240.079	150.052	KZ 5	
			Max M _y	2.205	-240.079	150.052	KZ 5	
			Min M _y	2.205	-240.079	150.052	KZ 5	
27	KV1	32	0.000	Max N	0.839	115.765	0.000	KZ 1
				Min N	0.839	115.765	0.000	KZ 1
				Max V _z	0.839	115.765	0.000	KZ 1
				Min V _z	0.839	115.765	0.000	KZ 1
				Max M _y	0.839	115.765	0.000	KZ 1
				Min M _y	0.839	115.765	0.000	KZ 1
		34	0.608	Max N	0.806	115.007	70.121	KZ 1
				Min N	0.806	115.007	70.121	KZ 1
				Max V _z	0.806	115.007	70.121	KZ 1
				Min V _z	0.806	115.007	70.121	KZ 1
				Max M _y	0.806	115.007	70.121	KZ 1
				Min M _y	0.806	115.007	70.121	KZ 1
	KV2	32	0.000	Max N	0.384	85.753	0.000	KZ 3
				Min N	0.384	85.753	0.000	KZ 3
				Max V _z	0.384	85.753	0.000	KZ 3
				Min V _z	0.384	85.753	0.000	KZ 3
				Max M _y	0.384	85.753	0.000	KZ 3
				Min M _y	0.384	85.753	0.000	KZ 3
	34	0.608	Max N	0.369	85.192	51.941	KZ 3	
			Min N	0.369	85.192	51.941	KZ 3	
			Max V _z	0.369	85.192	51.941	KZ 3	
			Min V _z	0.369	85.192	51.941	KZ 3	
			Max M _y	0.369	85.192	51.941	KZ 3	
			Min M _y	0.369	85.192	51.941	KZ 3	
KV3	32	0.000	Max N	1.243	154.352	0.000	KZ 5	
			Min N	1.243	154.352	0.000	KZ 5	
			Max V _z	1.243	154.352	0.000	KZ 5	



■ 4.12 PRŮŘEZY - VNITŘNÍ SÍLY

Kombinace výsledků

Prut č.	KV	Uzel č.	Místo x [m]	Síly [kN]			Momenty M _y [kNm]	Příslušející zat. stavy
				N	V _z			
27	KV3	34	0.608	Min V _z	1.243	154.352	0.000	KZ 5
				Max M _y	1.243	154.352	0.000	KZ 5
				Min M _y	1.243	154.352	0.000	KZ 5
				Max N	1.194	153.342	93.494	KZ 5
				Min N	1.194	153.342	93.494	KZ 5
				Max V _z	1.194	153.342	93.494	KZ 5
	KV1	34	0.000	Min V _z	1.194	153.342	93.494	KZ 5
				Max M _y	1.194	153.342	93.494	KZ 5
				Min M _y	1.194	153.342	93.494	KZ 5
				Max N	0.677	96.534	70.121	KZ 1
				Min N	0.677	96.534	70.121	KZ 1
				Max V _z	0.677	96.534	70.121	KZ 1
28	KV1	34	0.000	Min V _z	0.677	96.534	70.121	KZ 1
				Max M _y	0.677	96.534	70.121	KZ 1
				Min M _y	0.677	96.534	70.121	KZ 1
				Max N	0.606	95.776	128.555	KZ 1
				Min N	0.606	95.776	128.555	KZ 1
				Max V _z	0.606	95.776	128.555	KZ 1
	KV2	34	0.000	Min V _z	0.606	95.776	128.555	KZ 1
				Max M _y	0.606	95.776	128.555	KZ 1
				Min M _y	0.606	95.776	128.555	KZ 1
				Max N	0.309	71.508	51.941	KZ 3
				Min N	0.309	71.508	51.941	KZ 3
				Max V _z	0.309	71.508	51.941	KZ 3
29	KV2	34	0.000	Min V _z	0.309	71.508	51.941	KZ 3
				Max M _y	0.309	71.508	51.941	KZ 3
				Min M _y	0.309	71.508	51.941	KZ 3
				Max N	0.277	70.946	95.226	KZ 3
				Min N	0.277	70.946	95.226	KZ 3
				Max V _z	0.277	70.946	95.226	KZ 3
	KV3	34	0.000	Min V _z	0.277	70.946	95.226	KZ 3
				Max M _y	0.277	70.946	95.226	KZ 3
				Min M _y	0.277	70.946	95.226	KZ 3
				Max N	1.002	128.711	93.494	KZ 5
				Min N	1.002	128.711	93.494	KZ 5
				Max V _z	1.002	128.711	93.494	KZ 5
30	KV3	34	0.000	Min V _z	1.002	128.711	93.494	KZ 5
				Max M _y	1.002	128.711	93.494	KZ 5
				Min M _y	1.002	128.711	93.494	KZ 5
				Max N	0.899	127.701	171.406	KZ 5
				Min N	0.899	127.701	171.406	KZ 5
				Max V _z	0.899	127.701	171.406	KZ 5
	KV1	34	0.608	Min V _z	0.899	127.701	171.406	KZ 5
				Max M _y	0.899	127.701	171.406	KZ 5
				Min M _y	0.899	127.701	171.406	KZ 5
				Max N	0.490	77.303	128.555	KZ 1
				Min N	0.490	77.303	128.555	KZ 1
				Max V _z	0.490	77.303	128.555	KZ 1
31	KV1	35	0.000	Min V _z	0.490	77.303	128.555	KZ 1
				Max M _y	0.490	77.303	128.555	KZ 1
				Min M _y	0.490	77.303	128.555	KZ 1
				Max N	0.405	76.546	175.302	KZ 1
				Min N	0.405	76.546	175.302	KZ 1
				Max V _z	0.405	76.546	175.302	KZ 1
	KV2	35	0.000	Min V _z	0.405	76.546	175.302	KZ 1
				Max M _y	0.405	76.546	175.302	KZ 1
				Min M _y	0.405	76.546	175.302	KZ 1
				Max N	0.224	57.262	95.226	KZ 3
				Min N	0.224	57.262	95.226	KZ 3
				Max V _z	0.224	57.262	95.226	KZ 3
32	KV2	35	0.000	Min V _z	0.224	57.262	95.226	KZ 3
				Max M _y	0.224	57.262	95.226	KZ 3
				Min M _y	0.224	57.262	95.226	KZ 3
				Max N	0.185	56.701	129.853	KZ 3
				Min N	0.185	56.701	129.853	KZ 3
				Max V _z	0.185	56.701	129.853	KZ 3
	KV3	35	0.000	Min V _z	0.185	56.701	129.853	KZ 3
				Max M _y	0.185	56.701	129.853	KZ 3
				Min M _y	0.185	56.701	129.853	KZ 3
				Max N	0.725	103.071	171.406	KZ 5
				Min N	0.725	103.071	171.406	KZ 5
				Max V _z	0.725	103.071	171.406	KZ 5
33	KV3	35	0.000	Min V _z	0.725	103.071	171.406	KZ 5
				Max M _y	0.725	103.071	171.406	KZ 5
				Min M _y	0.725	103.071	171.406	KZ 5
				Max N	0.601	102.061	233.736	KZ 5
				Min N	0.601	102.061	233.736	KZ 5
				Max V _z	0.601	102.061	233.736	KZ 5
	KV1	36	0.000	Min V _z	0.601	102.061	233.736	KZ 5
				Max M _y	0.601	102.061	233.736	KZ 5
				Min M _y	0.601	102.061	233.736	KZ 5
				Max N	0.308	58.073	175.302	KZ 1
				Min N	0.308	58.073	175.302	KZ 1
				Max V _z	0.308	58.073	175.302	KZ 1
KV1	36	0.000	Min V _z	0.308	58.073	175.302	KZ 1	
			Max M _y	0.308	58.073	175.302	KZ 1	
			Min M _y	0.308	58.073	175.302	KZ 1	
			Max N	0.228	57.315	210.362	KZ 1	
			Min N	0.228	57.315	210.362	KZ 1	
			Max V _z	0.228	57.315	210.362	KZ 1	



■ 4.12 PRŮŘEZY - VNITŘNÍ SÍLY

Kombinace výsledků

Prut č.	KV	Uzel č.	Místo x [m]	Síly [kN]		Momenty M _y [kNm]	Příslušející zat. stavy		
				N	V _z				
30	KV1			Min N	0.228	57.315	210.362	KZ 1	
				Max V _z	0.228	57.315	210.362	KZ 1	
				Min V _z	0.228	57.315	210.362	KZ 1	
				Max M _y	0.228	57.315	210.362	KZ 1	
				Min M _y	0.228	57.315	210.362	KZ 1	
				Max N	0.141	43.017	129.853	KZ 3	
	KV2	36	0.000	Min N	0.141	43.017	129.853	KZ 3	
				Max V _z	0.141	43.017	129.853	KZ 3	
				Min V _z	0.141	43.017	129.853	KZ 3	
		37	0.608	Max M _y	0.141	43.017	129.853	KZ 3	
				Min M _y	0.141	43.017	129.853	KZ 3	
				Max N	0.104	42.456	155.824	KZ 3	
	KV3	36	0.000	Min N	0.104	42.456	155.824	KZ 3	
				Max V _z	0.104	42.456	155.824	KZ 3	
				Min V _z	0.104	42.456	155.824	KZ 3	
		37	0.608	Max M _y	0.104	42.456	155.824	KZ 3	
				Min M _y	0.104	42.456	155.824	KZ 3	
				Max N	0.456	77.430	233.736	KZ 5	
	31	KV1	37	0.000	Min N	0.456	77.430	233.736	KZ 5
					Max V _z	0.456	77.430	233.736	KZ 5
					Min V _z	0.456	77.430	233.736	KZ 5
					Max M _y	0.456	77.430	233.736	KZ 5
					Min M _y	0.456	77.430	233.736	KZ 5
					Max N	0.338	76.420	280.483	KZ 5
38			0.608	Min N	0.338	76.420	280.483	KZ 5	
				Max V _z	0.338	76.420	280.483	KZ 5	
				Min V _z	0.338	76.420	280.483	KZ 5	
				Max M _y	0.338	76.420	280.483	KZ 5	
				Min M _y	0.338	76.420	280.483	KZ 5	
				Max N	0.155	38.842	210.362	KZ 1	
KV2		37	0.000	Min N	0.155	38.842	210.362	KZ 1	
				Max V _z	0.155	38.842	210.362	KZ 1	
				Min V _z	0.155	38.842	210.362	KZ 1	
				Max M _y	0.155	38.842	210.362	KZ 1	
				Min M _y	0.155	38.842	210.362	KZ 1	
				Max N	0.094	38.084	233.736	KZ 1	
		38	0.608	Min N	0.094	38.084	233.736	KZ 1	
				Max V _z	0.094	38.084	233.736	KZ 1	
				Min V _z	0.094	38.084	233.736	KZ 1	
				Max M _y	0.094	38.084	233.736	KZ 1	
				Min M _y	0.094	38.084	233.736	KZ 1	
				Max N	0.071	28.772	155.824	KZ 3	
KV3	37	0.000	Min N	0.071	28.772	155.824	KZ 3		
			Max V _z	0.071	28.772	155.824	KZ 3		
			Min V _z	0.071	28.772	155.824	KZ 3		
			Max M _y	0.071	28.772	155.824	KZ 3		
			Min M _y	0.071	28.772	155.824	KZ 3		
			Max N	0.043	28.210	173.138	KZ 3		
	38	0.608	Min N	0.043	28.210	173.138	KZ 3		
			Max V _z	0.043	28.210	173.138	KZ 3		
			Min V _z	0.043	28.210	173.138	KZ 3		
			Max M _y	0.043	28.210	173.138	KZ 3		
			Min M _y	0.043	28.210	173.138	KZ 3		
			Max N	0.229	51.789	280.483	KZ 5		
32	KV1	38	0.000	Min N	0.229	51.789	280.483	KZ 5	
				Max V _z	0.229	51.789	280.483	KZ 5	
				Min V _z	0.229	51.789	280.483	KZ 5	
				Max M _y	0.229	51.789	280.483	KZ 5	
				Min M _y	0.229	51.789	280.483	KZ 5	
				Max N	0.139	50.778	311.648	KZ 5	
		39	0.608	Min N	0.139	50.778	311.648	KZ 5	
				Max V _z	0.139	50.778	311.648	KZ 5	
				Min V _z	0.139	50.778	311.648	KZ 5	
				Max M _y	0.139	50.778	311.648	KZ 5	
				Min M _y	0.139	50.778	311.648	KZ 5	
				Max N	0.048	19.610	233.736	KZ 1	
	KV2	38	0.000	Min N	0.048	19.610	233.736	KZ 1	
				Max V _z	0.048	19.610	233.736	KZ 1	
				Min V _z	0.048	19.610	233.736	KZ 1	
				Max M _y	0.048	19.610	233.736	KZ 1	
				Min M _y	0.048	19.610	233.736	KZ 1	
				Max N	0.016	18.852	245.423	KZ 1	
		39	0.608	Min N	0.016	18.852	245.423	KZ 1	
				Max V _z	0.016	18.852	245.423	KZ 1	
				Min V _z	0.016	18.852	245.423	KZ 1	
				Max M _y	0.016	18.852	245.423	KZ 1	
				Min M _y	0.016	18.852	245.423	KZ 1	
				Max N	0.022	14.526	173.138	KZ 3	
KV3	38	0.000	Min N	0.022	14.526	173.138	KZ 3		
			Max V _z	0.022	14.526	173.138	KZ 3		
			Min V _z	0.022	14.526	173.138	KZ 3		
			Max M _y	0.022	14.526	173.138	KZ 3		
			Min M _y	0.022	14.526	173.138	KZ 3		
			Max N	0.007	13.965	181.795	KZ 3		
	39	0.608	Min N	0.007	13.965	181.795	KZ 3		
			Max V _z	0.007	13.965	181.795	KZ 3		
			Min V _z	0.007	13.965	181.795	KZ 3		
			Max M _y	0.007	13.965	181.795	KZ 3		
			Min M _y	0.007	13.965	181.795	KZ 3		
			Max N	0.007	13.965	181.795	KZ 3		



■ 4.12 PRŮŘEZY - VNITŘNÍ SÍLY

Kombinace výsledků

Prut č.	KV	Uzel č.	Místo x [m]	Síly [kN]			Momenty M _y [kNm]	Příslušející zat. stavy
				N	V _z			
32	KV2	38	0.000	Min M _y	0.007	13.965	181.795	KZ 3
				Max N	0.072	26.147	311.648	KZ 5
	KV3	39	0.608	Min N	0.072	26.147	311.648	KZ 5
				Max V _z	0.072	26.147	311.648	KZ 5
				Min V _z	0.072	26.147	311.648	KZ 5
				Max M _y	0.072	26.147	311.648	KZ 5
				Min M _y	0.072	26.147	311.648	KZ 5
				Max N	0.023	25.137	327.230	KZ 5
				Min N	0.023	25.137	327.230	KZ 5
				Max V _z	0.023	25.137	327.230	KZ 5
				Min V _z	0.023	25.137	327.230	KZ 5
				Max M _y	0.023	25.137	327.230	KZ 5
				Min M _y	0.023	25.137	327.230	KZ 5
				33	KV1	39	0.000	Max N
Min N	0.000	0.379	245.423					KZ 1
Max V _z	0.000	0.379	245.423					KZ 1
Min V _z	0.000	0.379	245.423					KZ 1
Max M _y	0.000	0.379	245.423					KZ 1
Min M _y	0.000	0.379	245.423					KZ 1
Max N	0.000	-0.379	245.423					KZ 1
40	0.608	Min N	0.000			-0.379	245.423	KZ 1
		Max V _z	0.000			-0.379	245.423	KZ 1
		Min V _z	0.000			-0.379	245.423	KZ 1
		Max M _y	0.000			-0.379	245.423	KZ 1
		Min M _y	0.000			-0.379	245.423	KZ 1
		Max N	0.000			0.281	181.795	KZ 3
		Min N	0.000			0.281	181.795	KZ 3
KV2	39	0.000	Max V _z		0.000	0.281	181.795	KZ 3
			Min V _z		0.000	0.281	181.795	KZ 3
			Max M _y		0.000	0.281	181.795	KZ 3
			Min M _y		0.000	0.281	181.795	KZ 3
			Max N		0.000	-0.281	181.795	KZ 3
			Min N		0.000	-0.281	181.795	KZ 3
			Max V _z		0.000	-0.281	181.795	KZ 3
	40	0.608	Min V _z		0.000	-0.281	181.795	KZ 3
			Max M _y		0.000	-0.281	181.795	KZ 3
			Min M _y		0.000	-0.281	181.795	KZ 3
			Max N		0.000	0.505	327.230	KZ 5
			Min N		0.000	0.505	327.230	KZ 5
			Max V _z		0.000	0.505	327.230	KZ 5
			Min V _z		0.000	0.505	327.230	KZ 5
KV3	39	0.000	Max M _y	0.000	0.505	327.230	KZ 5	
			Min M _y	0.000	0.505	327.230	KZ 5	
			Max N	0.000	-0.505	327.230	KZ 5	
			Min N	0.000	-0.505	327.230	KZ 5	
			Max V _z	0.000	-0.505	327.230	KZ 5	
			Min V _z	0.000	-0.505	327.230	KZ 5	
			Max M _y	0.000	-0.505	327.230	KZ 5	
	40	0.608	Min M _y	0.000	-0.505	327.230	KZ 5	
			Max N	0.016	-18.852	245.423	KZ 1	
			Min N	0.016	-18.852	245.423	KZ 1	
			Max V _z	0.016	-18.852	245.423	KZ 1	
			Min V _z	0.016	-18.852	245.423	KZ 1	
			Max M _y	0.016	-18.852	245.423	KZ 1	
			Min M _y	0.016	-18.852	245.423	KZ 1	
KV2	40	0.000	Max N	0.048	-19.610	233.736	KZ 1	
			Min N	0.048	-19.610	233.736	KZ 1	
			Max V _z	0.048	-19.610	233.736	KZ 1	
			Min V _z	0.048	-19.610	233.736	KZ 1	
			Max M _y	0.048	-19.610	233.736	KZ 1	
			Min M _y	0.048	-19.610	233.736	KZ 1	
			Max N	0.007	-13.965	181.795	KZ 3	
	41	0.608	Min N	0.007	-13.965	181.795	KZ 3	
			Max V _z	0.007	-13.965	181.795	KZ 3	
			Min V _z	0.007	-13.965	181.795	KZ 3	
			Max M _y	0.007	-13.965	181.795	KZ 3	
			Min M _y	0.007	-13.965	181.795	KZ 3	
			Max N	0.022	-14.526	173.138	KZ 3	
			Min N	0.022	-14.526	173.138	KZ 3	
KV3	40	0.000	Max V _z	0.022	-14.526	173.138	KZ 3	
			Min V _z	0.022	-14.526	173.138	KZ 3	
			Max M _y	0.022	-14.526	173.138	KZ 3	
			Min M _y	0.022	-14.526	173.138	KZ 3	
			Max N	0.023	-25.137	327.230	KZ 5	
			Min N	0.023	-25.137	327.230	KZ 5	
			Max V _z	0.023	-25.137	327.230	KZ 5	
	41	0.608	Min V _z	0.023	-25.137	327.230	KZ 5	
			Max M _y	0.023	-25.137	327.230	KZ 5	
			Min M _y	0.023	-25.137	327.230	KZ 5	
			Max N	0.072	-26.147	311.648	KZ 5	
			Min N	0.072	-26.147	311.648	KZ 5	
			Max V _z	0.072	-26.147	311.648	KZ 5	
			Min V _z	0.072	-26.147	311.648	KZ 5	
35	KV1	41	0.000	Max M _y	0.072	-26.147	311.648	KZ 5
				Min M _y	0.072	-26.147	311.648	KZ 5
				Max N	0.094	-38.084	233.736	KZ 1
				Min N	0.094	-38.084	233.736	KZ 1
				Max V _z	0.094	-38.084	233.736	KZ 1
				Min V _z	0.094	-38.084	233.736	KZ 1



■ 4.12 PRŮŘEZY - VNITŘNÍ SÍLY

Kombinace výsledků

Prut č.	KV	Uzel č.	Místo x [m]	Síly [kN]			Momenty M _y [kNm]	Příslušející zat. stavy	
				N	V _z				
35	KV1	42	0.608	Min V _z	0.094	-38.084	233.736	KZ 1	
				Max M _y	0.094	-38.084	233.736	KZ 1	
				Min M _y	0.094	-38.084	233.736	KZ 1	
				Max N	0.155	-38.842	210.362	KZ 1	
				Min N	0.155	-38.842	210.362	KZ 1	
				Max V _z	0.155	-38.842	210.362	KZ 1	
		KV2	41	0.000	Min V _z	0.155	-38.842	210.362	KZ 1
					Max M _y	0.155	-38.842	210.362	KZ 1
					Min M _y	0.155	-38.842	210.362	KZ 1
					Max N	0.043	-28.210	173.138	KZ 3
					Min N	0.043	-28.210	173.138	KZ 3
					Max V _z	0.043	-28.210	173.138	KZ 3
	KV3	42	0.608	Min V _z	0.043	-28.210	173.138	KZ 3	
				Max M _y	0.043	-28.210	173.138	KZ 3	
				Min M _y	0.043	-28.210	173.138	KZ 3	
				Max N	0.071	-28.772	155.824	KZ 3	
				Min N	0.071	-28.772	155.824	KZ 3	
				Max V _z	0.071	-28.772	155.824	KZ 3	
		KV3	41	0.000	Min V _z	0.071	-28.772	155.824	KZ 3
					Max M _y	0.071	-28.772	155.824	KZ 3
					Min M _y	0.071	-28.772	155.824	KZ 3
					Max N	0.139	-50.778	311.648	KZ 5
					Min N	0.139	-50.778	311.648	KZ 5
					Max V _z	0.139	-50.778	311.648	KZ 5
36	KV1	42	0.000	Min V _z	0.139	-50.778	311.648	KZ 5	
				Max M _y	0.139	-50.778	311.648	KZ 5	
				Min M _y	0.139	-50.778	311.648	KZ 5	
				Max N	0.229	-51.789	280.483	KZ 5	
				Min N	0.229	-51.789	280.483	KZ 5	
				Max V _z	0.229	-51.789	280.483	KZ 5	
		KV2	43	0.608	Min V _z	0.229	-51.789	280.483	KZ 5
					Max M _y	0.229	-51.789	280.483	KZ 5
					Min M _y	0.229	-51.789	280.483	KZ 5
					Max N	0.228	-57.315	210.362	KZ 1
					Min N	0.228	-57.315	210.362	KZ 1
					Max V _z	0.228	-57.315	210.362	KZ 1
	KV3	42	0.000	Min V _z	0.228	-57.315	210.362	KZ 1	
				Max M _y	0.228	-57.315	210.362	KZ 1	
				Min M _y	0.228	-57.315	210.362	KZ 1	
				Max N	0.308	-58.073	175.302	KZ 1	
				Min N	0.308	-58.073	175.302	KZ 1	
				Max V _z	0.308	-58.073	175.302	KZ 1	
		KV3	43	0.608	Min V _z	0.308	-58.073	175.302	KZ 1
					Max M _y	0.308	-58.073	175.302	KZ 1
					Min M _y	0.308	-58.073	175.302	KZ 1
					Max N	0.104	-42.456	155.824	KZ 3
					Min N	0.104	-42.456	155.824	KZ 3
					Max V _z	0.104	-42.456	155.824	KZ 3
37	KV1	43	0.000	Min V _z	0.104	-42.456	155.824	KZ 3	
				Max M _y	0.104	-42.456	155.824	KZ 3	
				Min M _y	0.104	-42.456	155.824	KZ 3	
				Max N	0.141	-43.017	129.853	KZ 3	
				Min N	0.141	-43.017	129.853	KZ 3	
				Max V _z	0.141	-43.017	129.853	KZ 3	
		KV2	44	0.608	Min V _z	0.141	-43.017	129.853	KZ 3
					Max M _y	0.141	-43.017	129.853	KZ 3
					Min M _y	0.141	-43.017	129.853	KZ 3
					Max N	0.338	-76.420	280.483	KZ 5
					Min N	0.338	-76.420	280.483	KZ 5
					Max V _z	0.338	-76.420	280.483	KZ 5
	KV3	43	0.000	Min V _z	0.338	-76.420	280.483	KZ 5	
				Max M _y	0.338	-76.420	280.483	KZ 5	
				Min M _y	0.338	-76.420	280.483	KZ 5	
				Max N	0.456	-77.430	233.736	KZ 5	
				Min N	0.456	-77.430	233.736	KZ 5	
				Max V _z	0.456	-77.430	233.736	KZ 5	
		KV2	44	0.608	Min V _z	0.456	-77.430	233.736	KZ 5
					Max M _y	0.456	-77.430	233.736	KZ 5
					Min M _y	0.456	-77.430	233.736	KZ 5
					Max N	0.405	-76.546	175.302	KZ 1
					Min N	0.405	-76.546	175.302	KZ 1
					Max V _z	0.405	-76.546	175.302	KZ 1
KV2	43	0.000	Min V _z	0.405	-76.546	175.302	KZ 1		
			Max M _y	0.405	-76.546	175.302	KZ 1		
			Min M _y	0.405	-76.546	175.302	KZ 1		
			Max N	0.490	-77.303	128.555	KZ 1		
			Min N	0.490	-77.303	128.555	KZ 1		
			Max V _z	0.490	-77.303	128.555	KZ 1		
	KV2	44	0.608	Min V _z	0.490	-77.303	128.555	KZ 1	
				Max M _y	0.490	-77.303	128.555	KZ 1	
				Min M _y	0.490	-77.303	128.555	KZ 1	
				Max N	0.185	-56.701	129.853	KZ 3	
				Min N	0.185	-56.701	129.853	KZ 3	
				Max V _z	0.185	-56.701	129.853	KZ 3	
KV2	44	0.608	Min V _z	0.185	-56.701	129.853	KZ 3		
			Max M _y	0.185	-56.701	129.853	KZ 3		
			Min M _y	0.185	-56.701	129.853	KZ 3		
			Max N	0.224	-57.262	95.226	KZ 3		
			Min N	0.224	-57.262	95.226	KZ 3		
			Max V _z	0.224	-57.262	95.226	KZ 3		



■ 4.12 PRŮŘEZY - VNITŘNÍ SÍLY

Kombinace výsledků

Prut č.	KV	Uzel č.	Místo x [m]	Síly [kN]			Momenty M _y [kNm]	Příslušející zat. stavy
				N	V _z			
37	KV2			Min N	0.224	-57.262	95.226	KZ 3
				Max V _z	0.224	-57.262	95.226	KZ 3
				Min V _z	0.224	-57.262	95.226	KZ 3
				Max M _y	0.224	-57.262	95.226	KZ 3
				Min M _y	0.224	-57.262	95.226	KZ 3
				Max N	0.601	-102.061	233.736	KZ 5
	KV3	43	0.000	Min N	0.601	-102.061	233.736	KZ 5
				Max V _z	0.601	-102.061	233.736	KZ 5
				Min V _z	0.601	-102.061	233.736	KZ 5
		44	0.608	Max M _y	0.601	-102.061	233.736	KZ 5
				Min M _y	0.601	-102.061	233.736	KZ 5
				Max N	0.725	-103.071	171.406	KZ 5
38	KV1	44	0.000	Min N	0.725	-103.071	171.406	KZ 5
				Max V _z	0.725	-103.071	171.406	KZ 5
				Min V _z	0.725	-103.071	171.406	KZ 5
		45	0.608	Max M _y	0.725	-103.071	171.406	KZ 5
				Min M _y	0.725	-103.071	171.406	KZ 5
				Max N	0.606	-95.776	128.555	KZ 1
	KV2	44	0.000	Min N	0.606	-95.776	128.555	KZ 1
				Max V _z	0.606	-95.776	128.555	KZ 1
				Min V _z	0.606	-95.776	128.555	KZ 1
		45	0.608	Max M _y	0.606	-95.776	128.555	KZ 1
				Min M _y	0.606	-95.776	128.555	KZ 1
				Max N	0.677	-96.534	70.121	KZ 1
39	KV3	44	0.000	Min N	0.677	-96.534	70.121	KZ 1
				Max V _z	0.677	-96.534	70.121	KZ 1
				Min V _z	0.677	-96.534	70.121	KZ 1
		45	0.608	Max M _y	0.677	-96.534	70.121	KZ 1
				Min M _y	0.677	-96.534	70.121	KZ 1
				Max N	0.277	-70.946	95.226	KZ 3
	KV1	44	0.000	Min N	0.277	-70.946	95.226	KZ 3
				Max V _z	0.277	-70.946	95.226	KZ 3
				Min V _z	0.277	-70.946	95.226	KZ 3
		45	0.608	Max M _y	0.277	-70.946	95.226	KZ 3
				Min M _y	0.277	-70.946	95.226	KZ 3
				Max N	0.309	-71.508	51.941	KZ 3
KV2	44	0.000	Min N	0.309	-71.508	51.941	KZ 3	
			Max V _z	0.309	-71.508	51.941	KZ 3	
			Min V _z	0.309	-71.508	51.941	KZ 3	
	45	0.608	Max M _y	0.309	-71.508	51.941	KZ 3	
			Min M _y	0.309	-71.508	51.941	KZ 3	
			Max N	0.899	-127.701	171.406	KZ 5	
39	KV3	44	0.000	Min N	0.899	-127.701	171.406	KZ 5
				Max V _z	0.899	-127.701	171.406	KZ 5
				Min V _z	0.899	-127.701	171.406	KZ 5
		45	0.608	Max M _y	0.899	-127.701	171.406	KZ 5
				Min M _y	0.899	-127.701	171.406	KZ 5
				Max N	1.002	-128.711	93.494	KZ 5
	KV1	45	0.000	Min N	1.002	-128.711	93.494	KZ 5
				Max V _z	1.002	-128.711	93.494	KZ 5
				Min V _z	1.002	-128.711	93.494	KZ 5
		33	0.608	Max M _y	1.002	-128.711	93.494	KZ 5
				Min M _y	1.002	-128.711	93.494	KZ 5
				Max N	0.806	-115.007	70.121	KZ 1
KV2	45	0.000	Min N	0.806	-115.007	70.121	KZ 1	
			Max V _z	0.806	-115.007	70.121	KZ 1	
			Min V _z	0.806	-115.007	70.121	KZ 1	
	33	0.608	Max M _y	0.806	-115.007	70.121	KZ 1	
			Min M _y	0.806	-115.007	70.121	KZ 1	
			Max N	0.839	-115.765	0.000	KZ 1	
39	KV3	45	0.000	Min N	0.839	-115.765	0.000	KZ 1
				Max V _z	0.839	-115.765	0.000	KZ 1
				Min V _z	0.839	-115.765	0.000	KZ 1
		33	0.608	Max M _y	0.839	-115.765	0.000	KZ 1
				Min M _y	0.839	-115.765	0.000	KZ 1
				Max N	0.369	-85.192	51.941	KZ 3
	KV1	45	0.000	Min N	0.369	-85.192	51.941	KZ 3
				Max V _z	0.369	-85.192	51.941	KZ 3
				Min V _z	0.369	-85.192	51.941	KZ 3
		33	0.608	Max M _y	0.369	-85.192	51.941	KZ 3
				Min M _y	0.369	-85.192	51.941	KZ 3
				Max N	0.384	-85.753	0.000	KZ 3
KV2	45	0.000	Min N	0.384	-85.753	0.000	KZ 3	
			Max V _z	0.384	-85.753	0.000	KZ 3	
			Min V _z	0.384	-85.753	0.000	KZ 3	
	33	0.608	Max M _y	0.384	-85.753	0.000	KZ 3	
			Min M _y	0.384	-85.753	0.000	KZ 3	
			Max N	1.194	-153.342	93.494	KZ 5	
39	KV3	45	0.000	Min N	1.194	-153.342	93.494	KZ 5
				Max V _z	1.194	-153.342	93.494	KZ 5
				Min V _z	1.194	-153.342	93.494	KZ 5
		33	0.608	Max M _y	1.194	-153.342	93.494	KZ 5
				Min M _y	1.194	-153.342	93.494	KZ 5
				Max N	1.243	-154.352	0.000	KZ 5
	KV1	45	0.000	Min N	1.243	-154.352	0.000	KZ 5
				Max V _z	1.243	-154.352	0.000	KZ 5
				Min V _z	1.243	-154.352	0.000	KZ 5
		33	0.608	Max M _y	1.243	-154.352	0.000	KZ 5
				Min M _y	1.243	-154.352	0.000	KZ 5
				Max N	1.243	-154.352	0.000	KZ 5

Projekt: Diplomová práce

Model: Diplomová Práce

Datum: 19.04.2021

Stropní nosník

4.12 PRŮŘEZY - VNITŘNÍ SÍLY

Kombinace výsledků

Prut č.	KV	Uzel č.	Místo x [m]	Síly [kN]			Momenty M _y [kNm]	Příslušející zat. stavy
				Min M _y	N	V _z		
39	KV3			Min M _y	1.243	-154.352	0.000	KZ 5

RF-TIMBER Pro
PR1

1.1.1 ZÁKLADNÍ ÚDAJE

Pruty k posouzení:	Všechny
Sady prutů k posouzení:	1,2
Posouzení podle normy:	ČSN EN 1995-1-1/NA:2007-09
Posouzení mezního stavu únosnosti	
Kombinace zatížení k posouzení:	KZ1 1.35*ZS1 KZ2 1.35*ZS1 + 1.5*ZS2
Kombinace výsledků k posouzení:	KV1 MSÚ (STR/GEO) - trvalá/dočasná - rovn. 6.10
Posouzení mezního stavu použitelnosti	
Kombinace zatížení k posouzení:	KZ3 ZS1 KZ4 ZS1 + ZS2 KZ5 1.8*ZS1 KZ6 1.8*ZS1 + 1.48*ZS2
Kombinace výsledků k posouzení:	KV2 MSP - charakteristická / málo častá KV3 MSP - kvazistálá

1.2 MATERIÁLY

Mat. č.	Označení	Kategorie součinitele	Komentář
1	Topolové a jehličnaté dřevo C24 CSN EN 338-16	Rostlé dřevo	
2	STEICOLVL-RS, deskové namáhání, rovnoběžné DIN EN Z-9.1-842	LVL	

T-obdélník 100/240 T-obdélník 80/240



1.3.1 PRŮŘEZY

Průř. č.	Mat. č.	Průřez Označení [mm]	Max. návrhové využití	Komentář
1	1	T-obdélník 100/240	0.88	
2	1	T-obdélník 80/240	0.62	
3	2	T-obdélník 240/700	1.01	

T-obdélník 240/700



1.4 TŘÍDA TRVÁNÍ ZATÍŽENÍ A TŘÍDA PROVOZU

ZS/KZ/ KV	Označení ZS resp. KZ/KV	Typ ZS	Třída trvání zatížení
ZS1	Stálé zatížení	Stálé	Stálé
ZS2	Užitné zatížení	Užitná zatížení - kategorie C: shromažďovací plochy	Střednědobá
KZ1	1.35*ZS1	-	Stálé
KZ2	1.35*ZS1 + 1.5*ZS2	-	Střednědobá
KZ3	ZS1	-	Stálé
KZ4	ZS1 + ZS2	-	Střednědobá
KZ5	1.8*ZS1	-	Stálé
KZ6	1.8*ZS1 + 1.48*ZS2	-	Střednědobá

Třída provozu TP

Třída provozu 1: Stejná pro všechny pruty/sady
prutů

1.5 VZPĚRNÉ DÉLKY - PRUTY

Prut č.	Vzpěr možný	Vzpěr okolo osy y			Vzpěr okolo osy z			Klopení		
		Možné	k _{cr,y}	L _{cr,y} [m]	Možné	k _{cr,z}	L _{cr,z} [m]	Možné	Definovat L _{Kr} / M _{cr}	L _{cr} [m] / M _{cr} [kNm]
2	<input checked="" type="checkbox"/>	<input checked="" type="checkbox"/>	1.000	4.120	<input checked="" type="checkbox"/>	1.000	4.120	<input checked="" type="checkbox"/>	Jako délka prutu	4.120
3	<input checked="" type="checkbox"/>	<input checked="" type="checkbox"/>	1.000	2.500	<input checked="" type="checkbox"/>	1.000	2.500	<input checked="" type="checkbox"/>	Jako délka prutu	2.500
4	<input checked="" type="checkbox"/>	<input checked="" type="checkbox"/>	1.000	0.624	<input checked="" type="checkbox"/>	1.000	0.624	<input checked="" type="checkbox"/>	Jako délka prutu	0.624
5	<input checked="" type="checkbox"/>	<input checked="" type="checkbox"/>	1.000	0.624	<input checked="" type="checkbox"/>	1.000	0.624	<input checked="" type="checkbox"/>	Jako délka prutu	0.624
6	<input checked="" type="checkbox"/>	<input checked="" type="checkbox"/>	1.000	0.624	<input checked="" type="checkbox"/>	1.000	0.624	<input checked="" type="checkbox"/>	Jako délka prutu	0.624
7	<input checked="" type="checkbox"/>	<input checked="" type="checkbox"/>	1.000	0.624	<input checked="" type="checkbox"/>	1.000	0.624	<input checked="" type="checkbox"/>	Jako délka prutu	0.624
8	<input checked="" type="checkbox"/>	<input checked="" type="checkbox"/>	1.000	0.624	<input checked="" type="checkbox"/>	1.000	0.624	<input checked="" type="checkbox"/>	Jako délka prutu	0.624
9	<input checked="" type="checkbox"/>	<input checked="" type="checkbox"/>	1.000	0.624	<input checked="" type="checkbox"/>	1.000	0.624	<input checked="" type="checkbox"/>	Jako délka prutu	0.624
10	<input checked="" type="checkbox"/>	<input checked="" type="checkbox"/>	1.000	0.624	<input checked="" type="checkbox"/>	1.000	0.624	<input checked="" type="checkbox"/>	Jako délka prutu	0.624
11	<input checked="" type="checkbox"/>	<input checked="" type="checkbox"/>	1.000	0.624	<input checked="" type="checkbox"/>	1.000	0.624	<input checked="" type="checkbox"/>	Jako délka prutu	0.624
12	<input checked="" type="checkbox"/>	<input checked="" type="checkbox"/>	1.000	0.624	<input checked="" type="checkbox"/>	1.000	0.624	<input checked="" type="checkbox"/>	Jako délka prutu	0.624
13	<input checked="" type="checkbox"/>	<input checked="" type="checkbox"/>	1.000	0.624	<input checked="" type="checkbox"/>	1.000	0.624	<input checked="" type="checkbox"/>	Jako délka prutu	0.624
14	<input checked="" type="checkbox"/>	<input checked="" type="checkbox"/>	1.000	0.624	<input checked="" type="checkbox"/>	1.000	0.624	<input checked="" type="checkbox"/>	Jako délka prutu	0.624
15	<input checked="" type="checkbox"/>	<input checked="" type="checkbox"/>	1.000	0.624	<input checked="" type="checkbox"/>	1.000	0.624	<input checked="" type="checkbox"/>	Jako délka prutu	0.624
16	<input checked="" type="checkbox"/>	<input checked="" type="checkbox"/>	1.000	0.624	<input checked="" type="checkbox"/>	1.000	0.624	<input checked="" type="checkbox"/>	Jako délka prutu	0.624
17	<input checked="" type="checkbox"/>	<input checked="" type="checkbox"/>	1.000	0.624	<input checked="" type="checkbox"/>	1.000	0.624	<input checked="" type="checkbox"/>	Jako délka prutu	0.624
18	<input checked="" type="checkbox"/>	<input checked="" type="checkbox"/>	1.000	0.624	<input checked="" type="checkbox"/>	1.000	0.624	<input checked="" type="checkbox"/>	Jako délka prutu	0.624



Projekt: Diplomová práce

Model: Diplomová Práce

Datum: 19.04.2021

Stropní nosník

1.5 VZPĚRNÉ DÉLKY - PRUTY

Prut č.	Vzpěr možný	Vzpěr okolo osy y			Vzpěr okolo osy z			Klopení		
		Možné	$k_{cr,y}$	$L_{cr,y}$ [m]	Možné	$k_{cr,z}$	$L_{cr,z}$ [m]	Možné	Definovat L_{kr} / M_{cr}	L_{cr} [m] / M_{cr} [kNm]
19	<input checked="" type="checkbox"/>	<input checked="" type="checkbox"/>	1.000	0.624	<input checked="" type="checkbox"/>	1.000	0.624	<input checked="" type="checkbox"/>	Jako délka prutu	0.624
20	<input checked="" type="checkbox"/>	<input checked="" type="checkbox"/>	1.000	0.624	<input checked="" type="checkbox"/>	1.000	0.624	<input checked="" type="checkbox"/>	Jako délka prutu	0.624
21	<input checked="" type="checkbox"/>	<input checked="" type="checkbox"/>	1.000	0.624	<input checked="" type="checkbox"/>	1.000	0.624	<input checked="" type="checkbox"/>	Jako délka prutu	0.624
22	<input checked="" type="checkbox"/>	<input checked="" type="checkbox"/>	1.000	0.624	<input checked="" type="checkbox"/>	1.000	0.624	<input checked="" type="checkbox"/>	Jako délka prutu	0.624
23	<input checked="" type="checkbox"/>	<input checked="" type="checkbox"/>	1.000	0.624	<input checked="" type="checkbox"/>	1.000	0.624	<input checked="" type="checkbox"/>	Jako délka prutu	0.624
24	<input checked="" type="checkbox"/>	<input checked="" type="checkbox"/>	1.000	0.624	<input checked="" type="checkbox"/>	1.000	0.624	<input checked="" type="checkbox"/>	Jako délka prutu	0.624
25	<input checked="" type="checkbox"/>	<input checked="" type="checkbox"/>	1.000	0.624	<input checked="" type="checkbox"/>	1.000	0.624	<input checked="" type="checkbox"/>	Jako délka prutu	0.624
26	<input checked="" type="checkbox"/>	<input checked="" type="checkbox"/>	1.000	4.450	<input checked="" type="checkbox"/>	1.000	4.450	<input checked="" type="checkbox"/>	Jako délka prutu	4.450
27	<input checked="" type="checkbox"/>	<input checked="" type="checkbox"/>	1.000	0.608	<input checked="" type="checkbox"/>	1.000	0.608	<input checked="" type="checkbox"/>	Jako délka prutu	0.608
28	<input checked="" type="checkbox"/>	<input checked="" type="checkbox"/>	1.000	0.608	<input checked="" type="checkbox"/>	1.000	0.608	<input checked="" type="checkbox"/>	Jako délka prutu	0.608
29	<input checked="" type="checkbox"/>	<input checked="" type="checkbox"/>	1.000	0.608	<input checked="" type="checkbox"/>	1.000	0.608	<input checked="" type="checkbox"/>	Jako délka prutu	0.608
30	<input checked="" type="checkbox"/>	<input checked="" type="checkbox"/>	1.000	0.608	<input checked="" type="checkbox"/>	1.000	0.608	<input checked="" type="checkbox"/>	Jako délka prutu	0.608
31	<input checked="" type="checkbox"/>	<input checked="" type="checkbox"/>	1.000	0.608	<input checked="" type="checkbox"/>	1.000	0.608	<input checked="" type="checkbox"/>	Jako délka prutu	0.608
32	<input checked="" type="checkbox"/>	<input checked="" type="checkbox"/>	1.000	0.608	<input checked="" type="checkbox"/>	1.000	0.608	<input checked="" type="checkbox"/>	Jako délka prutu	0.608
33	<input checked="" type="checkbox"/>	<input checked="" type="checkbox"/>	1.000	0.608	<input checked="" type="checkbox"/>	1.000	0.608	<input checked="" type="checkbox"/>	Jako délka prutu	0.608
34	<input checked="" type="checkbox"/>	<input checked="" type="checkbox"/>	1.000	0.608	<input checked="" type="checkbox"/>	1.000	0.608	<input checked="" type="checkbox"/>	Jako délka prutu	0.608
35	<input checked="" type="checkbox"/>	<input checked="" type="checkbox"/>	1.000	0.608	<input checked="" type="checkbox"/>	1.000	0.608	<input checked="" type="checkbox"/>	Jako délka prutu	0.608
36	<input checked="" type="checkbox"/>	<input checked="" type="checkbox"/>	1.000	0.608	<input checked="" type="checkbox"/>	1.000	0.608	<input checked="" type="checkbox"/>	Jako délka prutu	0.608
37	<input checked="" type="checkbox"/>	<input checked="" type="checkbox"/>	1.000	0.608	<input checked="" type="checkbox"/>	1.000	0.608	<input checked="" type="checkbox"/>	Jako délka prutu	0.608
38	<input checked="" type="checkbox"/>	<input checked="" type="checkbox"/>	1.000	0.608	<input checked="" type="checkbox"/>	1.000	0.608	<input checked="" type="checkbox"/>	Jako délka prutu	0.608
39	<input checked="" type="checkbox"/>	<input checked="" type="checkbox"/>	1.000	0.608	<input checked="" type="checkbox"/>	1.000	0.608	<input checked="" type="checkbox"/>	Jako délka prutu	0.608

1.6 VZPĚRNÉ DÉLKY - SADY PRUTŮ

Sada č.	Vzpěr možný	Vzpěr okolo osy y			Vzpěr okolo osy z			Klopení		
		Možné	$k_{cr,y}$	$L_{cr,y}$ [m]	Možné	$k_{cr,z}$	$L_{cr,z}$ [m]	Možné	Definovat L_{kr} / M_{cr}	L_{cr} [m] / M_{cr} [kNm]
1	<input checked="" type="checkbox"/>	<input checked="" type="checkbox"/>	1.000	6.860	<input checked="" type="checkbox"/>	1.000	6.860	<input checked="" type="checkbox"/>	Jako délka prutu	6.860
2	<input checked="" type="checkbox"/>	<input checked="" type="checkbox"/>	1.000	6.860	<input checked="" type="checkbox"/>	1.000	6.860	<input checked="" type="checkbox"/>	Jako délka prutu	6.860

1.9 POUŽITELNOST

č.	Vztaheno na	Pruty/Sady č.	Vztažná délka		Směr	Nadvýšení		Typ nosniku
			Ručně	L [m]		$w_{c,y}$ [mm]	$w_{c,z}$ [mm]	
1	Sada prutů	1	<input checked="" type="checkbox"/>	6.860	y; z	0.0	0.0	Nosník
2	Sada prutů	2	<input checked="" type="checkbox"/>	6.860	y; z	0.0	0.0	Nosník

2.2 POSOUZENÍ PO PRŮŘEZÍCH

Průř. č.	Prut č.	Místo x [m]	ZS/KZ/ KV	Posouzení	Posouzení č.	Označení
1	T-obdélník 100/240					
	2	0.000	KZ2	0.47 ≤ 1	111)	Únosnost průřezu - Smyk od posouvající síly Vz podle 6.1.7 Únosnost průřezu - Jednoosý ohyb podle 6.1.6 Ohýbaný prut bez tlakové síly podle 6.3.3 - ohyb okolo osy y
	2	1.831	KZ2	0.88 ≤ 1	151)	
2	1.831	KZ2	0.88 ≤ 1	311)		
2	T-obdélník 80/240					
	3	0.000	KZ2	0.35 ≤ 1	111)	Únosnost průřezu - Smyk od posouvající síly Vz podle 6.1.7 Únosnost průřezu - Jednoosý ohyb podle 6.1.6 Ohýbaný prut bez tlakové síly podle 6.3.3 - ohyb okolo osy y
	26	2.225	KZ2	0.58 ≤ 1	151)	
26	2.225	KZ2	0.62 ≤ 1	311)		
3	T-obdélník 240/700					
	15	0.000	KZ1	1.01 > 1	111)	Únosnost průřezu - Smyk od posouvající síly Vz podle 6.1.7 Únosnost průřezu - Jednoosý ohyb podle 6.1.6 Ohýbaný prut bez tlakové síly podle 6.3.3 - ohyb okolo osy y Použitelnost - Zanedbatelné deformace Použitelnost - Charakteristická návrhová situace podle 7.2 - vnitřní pole, směr z Použitelnost - Kvazistálá návrhová situace podle 7.2 - vnitřní pole, směr z
	19	0.624	KZ1	0.66 ≤ 1	151)	
	19	0.624	KZ1	0.68 ≤ 1	311)	
	4	0.000	KZ3	0.00 ≤ 1	400)	
	19	0.624	KZ3	0.65 ≤ 1	401)	
19	0.624	KZ5	0.98 ≤ 1	402)		

2.3 POSOUZENÍ PO SADÁCH PRUTŮ

Sada č.	Prut č.	Místo x [m]	ZS/KZ/ KV	Posouzení	Posouzení č.	Označení
1	Průvlak (prut č. 4-14)					
	4	0.000	KZ1	0.81 ≤ 1	111)	Únosnost průřezu - Smyk od posouvající síly Vz podle 6.1.7 Únosnost průřezu - Jednoosý ohyb podle 6.1.6 Ohýbaný prut bez tlakové síly podle 6.3.3 - ohyb okolo osy y Použitelnost - Zanedbatelné deformace Použitelnost - Charakteristická návrhová situace podle 7.2 - vnitřní pole, směr z Použitelnost - Kvazistálá návrhová situace podle 7.2 - vnitřní pole, směr z
	8	0.624	KZ1	0.53 ≤ 1	151)	
	8	0.624	KZ1	0.55 ≤ 1	311)	
	4	0.000	KZ3	0.00 ≤ 1	400)	
	8	0.624	KZ3	0.53 ≤ 1	401)	
8	0.624	KZ5	0.79 ≤ 1	402)		
2	Průvlak (prut č. 15-25)					
	15	0.000	KZ1	1.01 > 1	111)	Únosnost průřezu - Smyk od posouvající síly Vz podle 6.1.7



Projekt: Diplomová práce

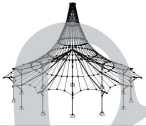
Model: Diplomová Práce

Datum: 19.04.2021

Stropní nosník

2.3 POSOUZENÍ PO SADÁCH PRUTŮ

Sada č.	Prut č.	Místo x [m]	ZS/KZ/ KV	Posouzení		Posouzení č.	Označení
	19	0.624	KZ1	0.66	≤ 1	151)	Únosnost průřezu - Jednoosý ohyb podle 6.1.6
	19	0.624	KZ1	0.68	≤ 1	311)	Ohybaný prut bez tlakové síly podle 6.3.3 - ohyb okolo osy y
	15	0.000	KZ3	0.00	≤ 1	400)	Použitelnost - Zanedbatelné deformace
	19	0.624	KZ3	0.65	≤ 1	401)	Použitelnost - Charakteristická návrhová situace podle 7.2 - vnitřní pole, směr z
	19	0.624	KZ5	0.98	≤ 1	402)	Použitelnost - Kvazistálá návrhová situace podle 7.2 - vnitřní pole, směr z



Projekt: Diplomová práce

Model: Diplomová práce

Datum: 20.04.2021

Překlad nad garážovými vraty

Překlad nad garážovými vraty

Statický výpočet

PROJEKT

**Společný dům s hasičskou zbrojnicí
Statický výpočet překladu**

INVESTOR

**Česká zemědělská univerzita
Fakulta lesnická a dřevařská
Dřevařské inženýrství**

ZHOTOVITEL

Jaroslav Průša



Projekt: Diplomová práce

Model: Diplomová práce

Datum: 20.04.2021

Překlad nad garážovými vraty

Překlad nad garážovými vraty

ZÁKLADNÍ ÚDAJE O MODELU

Obecné	Název modelu	: Diplomová práce
	Označení modelu	: Překlad nad garážovými vraty
Možnosti	Název projektu	: Diplomová práce
	Označení projektu	: Překlad nad garážovými vraty
	Typ modelu	: 2D-XZ (ux/uz/ϕy)
	Kladný směr globální osy Z	: Nahoru
	Klasifikace zatěžovacích stavů a kombinací	: Podle normy: EN 1990 + EN 1995 (dřevo)
		: Národní příloha: ČSN - Česká Republika
	<input checked="" type="checkbox"/> Automaticky vytvořit kombinace	: <input checked="" type="checkbox"/> Kombinace zatížení
	<input type="checkbox"/> RF-FORM-FINDING - Hledání počátečních rovnovážných tvarů membránových a lanových konstrukcí	
	<input type="checkbox"/> RF-CUTTING-PATTERN	
	<input type="checkbox"/> Analýza potrubí	
<input type="checkbox"/> Použít pravidlo CQC		
<input type="checkbox"/> Umožnit CAD/BIM model		
Tíhové zrychlení	g	: 10.00 m/s ²

2.1 ZATĚŽOVACÍ STAVY

Zatěž. stav	Označení zatěž. stavu	Kategorie účinků	Vlastní tíha - Součinitel ve směru			EN 1990 + 1995 ČSN Doba trvání zatížení	
			Aktivní	X	Y		Z
ZS1	Stálé zatížení	Stálé	<input checked="" type="checkbox"/>	0.000		-1.000	Stálé
ZS2	Reakce od krovu	Vítr	<input type="checkbox"/>				Krátkodobá

2.1.1 ZATĚŽOVACÍ STAVY - PARAMETRY VÝPOČTU

Zatěž. stav	Označení zatěž. stavu	Parametry výpočtu	
		Způsob výpočtu	Metoda pro řešení systému nelineárních algebraických rovnic
ZS1	Stálé zatížení	Způsob výpočtu : <input type="radio"/> Teorie I. řádu (geometricky lineární výpočet) : <input type="radio"/> Newton-Raphson Metoda pro řešení systému nelineárních algebraických rovnic : <input type="radio"/> Průřezy (součinitel pro J, I _y , I _z , A, A _y , A _z) Aktivovat součinitele tuhosti: : <input checked="" type="checkbox"/> Pruty (faktor pro G _J , E _{I_y} , E _{I_z} , EA, GA _y , GA _z)	<input checked="" type="checkbox"/> Průřezy (součinitel pro J, I _y , I _z , A, A _y , A _z) <input checked="" type="checkbox"/> Pruty (faktor pro G _J , E _{I_y} , E _{I_z} , EA, GA _y , GA _z)
ZS2	Reakce od krovu	Způsob výpočtu : <input type="radio"/> Teorie I. řádu (geometricky lineární výpočet) : <input type="radio"/> Newton-Raphson Metoda pro řešení systému nelineárních algebraických rovnic : <input type="radio"/> Průřezy (součinitel pro J, I _y , I _z , A, A _y , A _z) Aktivovat součinitele tuhosti: : <input checked="" type="checkbox"/> Pruty (faktor pro G _J , E _{I_y} , E _{I_z} , EA, GA _y , GA _z)	<input checked="" type="checkbox"/> Průřezy (součinitel pro J, I _y , I _z , A, A _y , A _z) <input checked="" type="checkbox"/> Pruty (faktor pro G _J , E _{I_y} , E _{I_z} , EA, GA _y , GA _z)

2.2 ÚČINKY

Účinek	Označení účinku	EN 1990 + 1995 ČSN Kategorie účinků		Působící	Působící zatěžovací stavy
		Stálé	Vítr		
Ú1	Stálé	Stálé			ZS1 Stálé zatížení
Ú2	Vítr		Vítr		ZS2 Reakce od krovu

2.3 KOMBINAČNÍ PRAVIDLA

Kombin. pravidlo	Označení	EN 1990 + 1995 ČSN Návrhová situace	Nastavení	
			Číslování generovaných kombinací	Výsledné kombinace
KP1	MSÚ	MSÚ (STR/GEO) - stálá / přechodná - rovn. 6.10	Číslování generovaných kombinací : První číslo generované: 1 - Kombinace zatížení 1 - Výsledné kombinace Výsledné kombinace : <input checked="" type="checkbox"/> Dodatečně vytvořit kombinace výsledků Bud/Nebo (obálky výsledků) <input checked="" type="checkbox"/> Dodatečně vytvořit kombinaci výsledků Bud/Nebo pro každé kombinační pravidlo	Generované kombinace zatížení : Analýza podle II. řádu (P-Delta) Způsob výpočtu : Analýza podle II. řádu (P-Delta) Způsob výpočtu :
KP2	MSP	MSP - charakteristická	Číslování generovaných kombinací : <input type="checkbox"/> Příznivé stálé účinky První číslo generované: 1 - Kombinace zatížení 1 - Výsledné kombinace Výsledné kombinace : <input checked="" type="checkbox"/> Dodatečně vytvořit kombinace výsledků Bud/Nebo (obálky výsledků) <input checked="" type="checkbox"/> Dodatečně vytvořit kombinaci výsledků Bud/Nebo pro každé kombinační pravidlo	Generované kombinace zatížení : Analýza podle II. řádu (P-Delta) Způsob výpočtu : Zohlednit : <input type="checkbox"/> Příznivé stálé účinky
KP3	MSP	MSP - kvazistálá	Číslování generovaných kombinací : První číslo generované: 1 - Kombinace zatížení 1 - Výsledné kombinace Výsledné kombinace : <input checked="" type="checkbox"/> Dodatečně vytvořit kombinace výsledků Bud/Nebo (obálky výsledků) <input checked="" type="checkbox"/> Dodatečně vytvořit kombinaci výsledků Bud/Nebo pro každé kombinační pravidlo	Generované kombinace zatížení : Analýza podle II. řádu (P-Delta) Způsob výpočtu : Zohlednit : <input type="checkbox"/> Příznivé stálé účinky



Projekt: Diplomová práce

Model: Diplomová práce

Datum: 20.04.2021

Překlad nad garážovými vraty

Překlad nad garážovými vraty

2.3 KOMBINAČNÍ PRAVIDLA

Kombin. pravidlo	Označení	EN 1990 + 1995 ČSN Návrhová situace	Nastavení
			Číslování generovaných kombinací Výsledné kombinace Generované kombinace zatížení Způsob výpočtu
			První číslo generované: 1 - Kombinace zatížení 1 - Výsledné kombinace <input checked="" type="checkbox"/> Dodatečně vytvořit kombinace výsledků Bud/Nebo (obálky výsledků) <input checked="" type="checkbox"/> Dodatečně vytvořit kombinaci výsledků Bud/Nebo pro každé kombinační pravidlo : Analýza podle II. řádu (P-Delta)

2.4 KOMBINACE ÚČINKŮ

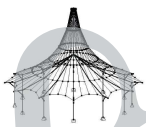
Kombin. účinků	Kombinace účinků Označení	EN 1990 + 1995 ČSN Návrhová situace	č.	Součinitel	Účinek
KÚ1	1.35G	MSÚ (STR/GEO) - stálá / přechodná - rovn. 6.10	1	1.35	Ú1 Stálé
KÚ2	1.35G + 1.50Qw	MSÚ (STR/GEO) - stálá / přechodná - rovn. 6.10	1	1.35	Ú1 Stálé
KÚ3	1.00G	MSP - charakteristická	1	1.00	Ú2 Vítr
KÚ4	1.00G + 1.00Qw	MSP - charakteristická	1	1.00	Ú1 Stálé
			2	1.00	Ú2 Vítr
KÚ5	1.80G	MSP - kvazistálá	1	1.80	Ú1 Stálé
KÚ6	1.80G + 1.00Qw	MSP - kvazistálá	1	1.80	Ú1 Stálé
			2	1.00	Ú2 Vítr

2.5 KOMBINACE ZATÍŽENÍ

Kombin. zatížení	NS	Kombinace zatížení Označení	č.	Součinitel	Zatěžovací stav
KZ1	STR	1.35*ZS1	1	1.35	ZS1 Stálé zatížení
KZ2	STR	1.35*ZS1 + 1.5*ZS2	1	1.35	ZS1 Stálé zatížení
			2	1.50	ZS2 Reakce od krovu
KZ3	S Ch	ZS1	1	1.00	ZS1 Stálé zatížení
KZ4	S Ch	ZS1 + ZS2	1	1.00	ZS1 Stálé zatížení
			2	1.00	ZS2 Reakce od krovu
KZ5	S Qp	1.8*ZS1	1	1.80	ZS1 Stálé zatížení
KZ6	S Qp	1.8*ZS1 + ZS2	1	1.80	ZS1 Stálé zatížení
			2	1.00	ZS2 Reakce od krovu

2.5.2 KOMBINACE ZATÍŽENÍ - PARAMETRY VÝPOČTU

Kombin. zatížení	Označení	Parametry výpočtu
KZ1	1.35*ZS1	Způsob výpočtu : <input checked="" type="radio"/> Analýza podle II. řádu (P-Delta) Metoda pro řešení systému : <input checked="" type="radio"/> Picard nelineárních algebraických rovnic Možnosti : <input checked="" type="checkbox"/> Zohlednit příznivé tahové účinky : <input checked="" type="checkbox"/> Vztáhnout vnitřní síly na přetožený systém pro: <input checked="" type="checkbox"/> Normálové síly N <input checked="" type="checkbox"/> Smykové síly V_y a V_z <input checked="" type="checkbox"/> Momenty M_y , M_z a M_T Aktivovat součinitele tuhosti: : <input checked="" type="checkbox"/> Materiály (dílčí souč. spolehlivosti γ_M) : <input checked="" type="checkbox"/> Průřezy (součinitel pro J , I_y , I_z , A , A_y , A_z) : <input checked="" type="checkbox"/> Pruty (faktor pro GJ , EI_y , EI_z , EA , GA_y , GA_z)
KZ2	1.35*ZS1 + 1.5*ZS2	Způsob výpočtu : <input checked="" type="radio"/> Analýza podle II. řádu (P-Delta) Metoda pro řešení systému : <input checked="" type="radio"/> Picard nelineárních algebraických rovnic Možnosti : <input checked="" type="checkbox"/> Zohlednit příznivé tahové účinky : <input checked="" type="checkbox"/> Vztáhnout vnitřní síly na přetožený systém pro: <input checked="" type="checkbox"/> Normálové síly N <input checked="" type="checkbox"/> Smykové síly V_y a V_z <input checked="" type="checkbox"/> Momenty M_y , M_z a M_T Aktivovat součinitele tuhosti: : <input checked="" type="checkbox"/> Materiály (dílčí souč. spolehlivosti γ_M) : <input checked="" type="checkbox"/> Průřezy (součinitel pro J , I_y , I_z , A , A_y , A_z) : <input checked="" type="checkbox"/> Pruty (faktor pro GJ , EI_y , EI_z , EA , GA_y , GA_z)
KZ3	ZS1	Způsob výpočtu : <input checked="" type="radio"/> Analýza podle II. řádu (P-Delta) Metoda pro řešení systému : <input checked="" type="radio"/> Picard nelineárních algebraických rovnic Možnosti : <input checked="" type="checkbox"/> Zohlednit příznivé tahové účinky : <input checked="" type="checkbox"/> Vztáhnout vnitřní síly na přetožený systém pro: <input checked="" type="checkbox"/> Normálové síly N <input checked="" type="checkbox"/> Smykové síly V_y a V_z <input checked="" type="checkbox"/> Momenty M_y , M_z a M_T Aktivovat součinitele tuhosti: : <input checked="" type="checkbox"/> Materiály (dílčí souč. spolehlivosti γ_M) : <input checked="" type="checkbox"/> Průřezy (součinitel pro J , I_y , I_z , A , A_y , A_z) : <input checked="" type="checkbox"/> Pruty (faktor pro GJ , EI_y , EI_z , EA , GA_y , GA_z)
KZ4	ZS1 + ZS2	Způsob výpočtu : <input checked="" type="radio"/> Analýza podle II. řádu (P-Delta) Metoda pro řešení systému : <input checked="" type="radio"/> Picard nelineárních algebraických rovnic Možnosti : <input checked="" type="checkbox"/> Zohlednit příznivé tahové účinky



Projekt: Diplomová práce Model: Diplomová práce
Překlad nad garážovými vraty Překlad nad garážovými vraty

Datum: 20.04.2021

2.5.2 KOMBINACE ZATÍŽENÍ - PARAMETRY VÝPOČTU

Kombin. zatížení	Označení	Parametry výpočtu
		<input checked="" type="checkbox"/> Vztáhnout vnitřní síly na přetvořený systém pro: <input checked="" type="checkbox"/> Normálové síly N <input checked="" type="checkbox"/> Smykové síly V_y a V_z <input checked="" type="checkbox"/> Momenty M_y , M_z a M_T Aktivovat součinitele tuhosti: <input checked="" type="checkbox"/> Průřezy (součinitel pro J , I_y , I_z , A , A_y , A_z) <input checked="" type="checkbox"/> Pruty (faktor pro GJ, EI_y , EI_z , EA, GA_y , GA_z)
KZ5	1.8*ZS1	Způsob výpočtu: <input checked="" type="checkbox"/> Analýza podle II. řádu (P-Delta) Metoda pro řešení systému nelineárních algebraických rovnic: <input checked="" type="checkbox"/> Picard Možnosti: <input checked="" type="checkbox"/> Zohlednit příznivé tahové účinky <input checked="" type="checkbox"/> Vztáhnout vnitřní síly na přetvořený systém pro: <input checked="" type="checkbox"/> Normálové síly N <input checked="" type="checkbox"/> Smykové síly V_y a V_z <input checked="" type="checkbox"/> Momenty M_y , M_z a M_T Aktivovat součinitele tuhosti: <input checked="" type="checkbox"/> Průřezy (součinitel pro J , I_y , I_z , A , A_y , A_z) <input checked="" type="checkbox"/> Pruty (faktor pro GJ, EI_y , EI_z , EA, GA_y , GA_z)
KZ6	1.8*ZS1 + ZS2	Způsob výpočtu: <input checked="" type="checkbox"/> Analýza podle II. řádu (P-Delta) Metoda pro řešení systému nelineárních algebraických rovnic: <input checked="" type="checkbox"/> Picard Možnosti: <input checked="" type="checkbox"/> Zohlednit příznivé tahové účinky <input checked="" type="checkbox"/> Vztáhnout vnitřní síly na přetvořený systém pro: <input checked="" type="checkbox"/> Normálové síly N <input checked="" type="checkbox"/> Smykové síly V_y a V_z <input checked="" type="checkbox"/> Momenty M_y , M_z a M_T Aktivovat součinitele tuhosti: <input checked="" type="checkbox"/> Průřezy (součinitel pro J , I_y , I_z , A , A_y , A_z) <input checked="" type="checkbox"/> Pruty (faktor pro GJ, EI_y , EI_z , EA, GA_y , GA_z)

2.7 KOMBINACE VÝSLEDKŮ

Kombin. výsledků	Označení	Zatěžování
KV1	MSÚ (STR/GEO) - trvalá/dočasná - rovn. 6.10	KZ1/s nebo KZ2/s
KV2	MSP - charakteristická / málo častá	KZ3/s nebo KZ4/s
KV3	MSP - kvazistálá	KZ5/s nebo KZ6/s

ZS1

Stálé zatížení

3.2 ZATÍŽENÍ NA PRUT

ZS1: Stálé zatížení

č.	Vztaženo na	Na prutech č.	Zatížení typ	Zatížení průběh	Zatížení směr	Vztažná délka	Parametry zatížení		
							Symbol	Hodnota	Jednotka
1	Pruty	1-9	Síla	Konstant.	z	Skutečná d.	p	0.664	kN/m

3.2/1 ZATÍŽENÍ NA PRUTY - EXCENTRICITA ZATÍŽENÍ

ZS1: Stálé zatížení

č.	Vztaženo na	Na prutech č.	Absolutní odsazení		Absolutní odsazení		Relativní odsazení		Relativní odsazení	
			Zač. prutu	Zač. prutu	Kon. prutu	Kon. prutu	Zač. prutu	Zač. prutu	Kon. prutu	Kon. prutu
			e_y [mm]	e_z [mm]	e_y [mm]	e_z [mm]	Osa y	Osa z	Osa y	Osa z
1	Pruty	1-9	0.0	0.0	0.0	0.0	Střed	Střed	Střed	Střed

3.1 ZATÍŽENÍ NA UZEL - PO KOMPONENTECH - SOUŘADNÝ SYSTÉM

ZS2: Reakce od krovu

ZS2

Reakce od krovu

č.	Na uzlech č.	Souřadný systém	Síla [kN]		Moment M_y / M_z [kNm]
			P_x / P_u	P_z / P_w	
1	4	0 Globální XYZ	0.000	-5.200	0.000
2	10-13	0 Globální XYZ	0.000	-3.270	0.000



Projekt: Diplomová práce

Model: Diplomová práce

Datum: 20.04.2021

Překlad nad garážovými vraty

Překlad nad garážovými vraty

4.0 VÝSLEDKY - SOUHRN

Označení	Hodnota	Jedno	Komentář
Zatěžovací stav ZS1 - Stálé zatížení			
Součet zatížení ve směru X	0.000	kN	
Součet reakcí v X	0.000	kN	
Součet zatížení ve směru Z	-5.934	kN	
Součet reakcí v Z	-5.934	kN	Odchylka 0.00%
Výslednice reakcí okolo X	0.000	kNm	V těžišti modelu (X:1.530, Y:0.000, Z:-5.493 m)
Výslednice reakcí okolo Y	-0.274	kNm	V těžišti modelu
Výslednice reakcí okolo Z	0.000	kNm	V těžišti modelu
Max. posun ve směru X	0.0	mm	
Max. posun ve směru Z	-1.0	mm	Prut č. 5, x: 0.000 m
Max. posun vektorový	1.0	mm	Prut č. 5, x: 0.000 m
Max. pootočení okolo Y	0.0010	rad	Prut č. 3, x: 0.000 m
Maximální přetvoření prutu	0.00000	-	Prut č. 0, x: 0.000 m
Způsob výpočtu	I. řád		Teorie I. řádu (geometricky lineární výpočet)
Redukce tuhosti			Průřezy, Pruty, Plochy
Počet přírůstků zatížení	1		
Počet iterací	1		
Maximální hodnota prvku matice tuhosti na diagonále	1.304E+09		
Minimální hodnota prvku matice tuhosti na diagonále	1.E+04		
Determinant matice tuhosti	3.166E+184		
Nekonečná norma	2.607E+09		
Zatěžovací stav ZS2 - Reakce od krovu			
Součet zatížení ve směru X	0.000	kN	
Součet reakcí v X	0.000	kN	
Součet zatížení ve směru Z	-18.280	kN	
Součet reakcí v Z	-18.280	kN	Odchylka 0.00%
Výslednice reakcí okolo X	0.000	kNm	V těžišti modelu (X:1.530, Y:0.000, Z:-5.493 m)
Výslednice reakcí okolo Y	-4.112	kNm	V těžišti modelu
Výslednice reakcí okolo Z	0.000	kNm	V těžišti modelu
Max. posun ve směru X	0.0	mm	
Max. posun ve směru Z	-3.6	mm	Prut č. 5, x: 0.000 m
Max. posun vektorový	3.6	mm	Prut č. 5, x: 0.000 m
Max. pootočení okolo Y	0.0033	rad	Prut č. 4, x: 0.000 m
Maximální přetvoření prutu	0.00000	-	Prut č. 0, x: 0.000 m
Způsob výpočtu	I. řád		Teorie I. řádu (geometricky lineární výpočet)
Redukce tuhosti			Průřezy, Pruty, Plochy
Počet přírůstků zatížení	1		
Počet iterací	1		
Maximální hodnota prvku matice tuhosti na diagonále	1.304E+09		
Minimální hodnota prvku matice tuhosti na diagonále	1.E+04		
Determinant matice tuhosti	3.166E+184		
Nekonečná norma	2.607E+09		
Kombinace zatížení KZ1 - 1.35*ZS1			
Součet zatížení ve směru X	0.000	kN	
Součet reakcí v X	0.000	kN	
Součet zatížení ve směru Z	-8.011	kN	
Součet reakcí v Z	-8.011	kN	Odchylka 0.00%
Výslednice reakcí okolo X	0.0000	kNm	V těžišti modelu (X:1.5299, Y:0.0000, Z:-5.4930 m)
Výslednice reakcí okolo Y	-0.3693	kNm	V těžišti modelu
Výslednice reakcí okolo Z	0.0000	kNm	V těžišti modelu
Max. posun ve směru X	0.0	mm	
Max. posun ve směru Z	-1.8	mm	Prut č. 5, x: 0.000 m
Max. posun vektorový	1.8	mm	Prut č. 5, x: 0.000 m
Max. pootočení okolo Y	0.0017	rad	Prut č. 3, x: 0.000 m
Maximální přetvoření prutu	0.00000	-	Prut č. 0, x: 0.000 m
Způsob výpočtu	II. řád		Teorie II. řádu (nelineární výpočet podle Timoshenka)
Vnitřní síly vztahované na deformovaný systém pro...	<input checked="" type="checkbox"/>		N, V _y , V _z , M _y , M _z , M _T
Redukce tuhosti			Materiály, Průřezy, Pruty, Plochy
Zohlednit příznivé působení tahových sil	<input checked="" type="checkbox"/>		
Zpětné dělení výsledků součinitelem KZ	<input type="checkbox"/>		
Počet přírůstků zatížení	1		
Počet iterací	2		
Maximální hodnota prvku matice tuhosti na diagonále	1.003E+09		
Minimální hodnota prvku matice tuhosti na diagonále	1.E+02		
Determinant matice tuhosti	5.833E+175		
Nekonečná norma	2.006E+09		
Kombinace zatížení KZ2 - 1.35*ZS1 + 1.5*ZS2			
Součet zatížení ve směru X	0.000	kN	
Součet reakcí v X	0.000	kN	
Součet zatížení ve směru Z	-35.431	kN	
Součet reakcí v Z	-35.431	kN	Odchylka -0.00%
Výslednice reakcí okolo X	0.0000	kNm	V těžišti modelu (X:1.5299, Y:0.0000, Z:-5.4930 m)
Výslednice reakcí okolo Y	-6.5375	kNm	V těžišti modelu
Výslednice reakcí okolo Z	0.0000	kNm	V těžišti modelu
Max. posun ve směru X	0.0	mm	
Max. posun ve směru Z	-8.8	mm	Prut č. 5, x: 0.000 m
Max. posun vektorový	8.8	mm	Prut č. 5, x: 0.000 m
Max. pootočení okolo Y	0.0081	rad	Prut č. 4, x: 0.000 m
Maximální přetvoření prutu	0.00000	-	Prut č. 0, x: 0.000 m
Způsob výpočtu	II. řád		Teorie II. řádu (nelineární výpočet podle Timoshenka)
Vnitřní síly vztahované na deformovaný systém pro...	<input checked="" type="checkbox"/>		N, V _y , V _z , M _y , M _z , M _T
Redukce tuhosti			Materiály, Průřezy, Pruty, Plochy
Zohlednit příznivé působení tahových sil	<input checked="" type="checkbox"/>		



Projekt: Diplomová práce

Model: Diplomová práce

Datum: 20.04.2021

Překlad nad garážovými vraty

Překlad nad garážovými vraty

4.0 VÝSLEDKY - SOUHRN

Označení	Hodnota	Jedno	Komentář
Zpětné dělení výsledků součinitelem KZ		<input type="checkbox"/>	
Počet přírůstků zatížení	1		
Počet iterací	2		
Maximální hodnota prvku matice tuhosti na diagonále	1.003E+09		
Minimální hodnota prvku matice tuhosti na diagonále	1.E+02		
Determinant matice tuhosti	5.833E+175		
Nekonečná norma	2.006E+09		
Kombinace zatížení KZ3 - ZS1			
Součet zatížení ve směru X	0.000	kN	
Součet reakcí v X	0.000	kN	
Součet zatížení ve směru Z	-5.934	kN	
Součet reakcí v Z	-5.934	kN	Odchylka 0.00%
Výslednice reakcí okolo X	0.0000	kNm	V těžišti modelu (X:1.5299, Y:0.0000, Z:-5.4930 m)
Výslednice reakcí okolo Y	-0.2735	kNm	V těžišti modelu
Výslednice reakcí okolo Z	0.0000	kNm	V těžišti modelu
Max. posun ve směru X	0.0	mm	
Max. posun ve směru Z	-1.0	mm	Prut č. 5, x: 0.000 m
Max. posun vektorový	1.0	mm	Prut č. 5, x: 0.000 m
Max. pootočení okolo Y	0.0010	rad	Prut č. 3, x: 0.000 m
Maximální přetvoření prutu	0.00000	-	Prut č. 0, x: 0.000 m
Způsob výpočtu	II. řád		Teorie II. řádu (nelineární výpočet podle Timoshenka)
Vnitřní síly vztažené na deformovaný systém pro...	<input checked="" type="checkbox"/>		N, V _y , V _z , M _y , M _z , M _T
Redukce tuhosti			Průřezy, Pruty, Plochy
Zohlednit příznivé působení tahových sil	<input checked="" type="checkbox"/>		
Zpětné dělení výsledků součinitelem KZ	<input type="checkbox"/>		
Počet přírůstků zatížení	1		
Počet iterací	2		
Maximální hodnota prvku matice tuhosti na diagonále	1.304E+09		
Minimální hodnota prvku matice tuhosti na diagonále	1.E+02		
Determinant matice tuhosti	3.166E+178		
Nekonečná norma	2.607E+09		
Kombinace zatížení KZ4 - ZS1 + ZS2			
Součet zatížení ve směru X	0.000	kN	
Součet reakcí v X	0.000	kN	
Součet zatížení ve směru Z	-24.214	kN	
Součet reakcí v Z	-24.214	kN	Odchylka 0.00%
Výslednice reakcí okolo X	0.0000	kNm	V těžišti modelu (X:1.5299, Y:0.0000, Z:-5.4930 m)
Výslednice reakcí okolo Y	-4.3857	kNm	V těžišti modelu
Výslednice reakcí okolo Z	0.0000	kNm	V těžišti modelu
Max. posun ve směru X	0.0	mm	
Max. posun ve směru Z	-4.6	mm	Prut č. 5, x: 0.000 m
Max. posun vektorový	4.6	mm	Prut č. 5, x: 0.000 m
Max. pootočení okolo Y	0.0042	rad	Prut č. 4, x: 0.000 m
Maximální přetvoření prutu	0.00000	-	Prut č. 0, x: 0.000 m
Způsob výpočtu	II. řád		Teorie II. řádu (nelineární výpočet podle Timoshenka)
Vnitřní síly vztažené na deformovaný systém pro...	<input checked="" type="checkbox"/>		N, V _y , V _z , M _y , M _z , M _T
Redukce tuhosti			Průřezy, Pruty, Plochy
Zohlednit příznivé působení tahových sil	<input checked="" type="checkbox"/>		
Zpětné dělení výsledků součinitelem KZ	<input type="checkbox"/>		
Počet přírůstků zatížení	1		
Počet iterací	2		
Maximální hodnota prvku matice tuhosti na diagonále	1.304E+09		
Minimální hodnota prvku matice tuhosti na diagonále	1.E+02		
Determinant matice tuhosti	3.166E+178		
Nekonečná norma	2.607E+09		
Kombinace zatížení KZ5 - 1.8*ZS1			
Součet zatížení ve směru X	0.000	kN	
Součet reakcí v X	0.000	kN	
Součet zatížení ve směru Z	-10.682	kN	
Součet reakcí v Z	-10.682	kN	Odchylka 0.00%
Výslednice reakcí okolo X	0.0000	kNm	V těžišti modelu (X:1.5299, Y:0.0000, Z:-5.4930 m)
Výslednice reakcí okolo Y	-0.4924	kNm	V těžišti modelu
Výslednice reakcí okolo Z	0.0000	kNm	V těžišti modelu
Max. posun ve směru X	0.0	mm	
Max. posun ve směru Z	-1.9	mm	Prut č. 5, x: 0.000 m
Max. posun vektorový	1.9	mm	Prut č. 5, x: 0.000 m
Max. pootočení okolo Y	0.0018	rad	Prut č. 3, x: 0.000 m
Maximální přetvoření prutu	0.00000	-	Prut č. 0, x: 0.000 m
Způsob výpočtu	II. řád		Teorie II. řádu (nelineární výpočet podle Timoshenka)
Vnitřní síly vztažené na deformovaný systém pro...	<input checked="" type="checkbox"/>		N, V _y , V _z , M _y , M _z , M _T
Redukce tuhosti			Průřezy, Pruty, Plochy
Zohlednit příznivé působení tahových sil	<input checked="" type="checkbox"/>		
Zpětné dělení výsledků součinitelem KZ	<input type="checkbox"/>		
Počet přírůstků zatížení	1		
Počet iterací	2		
Maximální hodnota prvku matice tuhosti na diagonále	1.304E+09		
Minimální hodnota prvku matice tuhosti na diagonále	1.E+02		
Determinant matice tuhosti	3.166E+178		
Nekonečná norma	2.607E+09		



Projekt: Diplomová práce

Model: Diplomová práce

Datum: 20.04.2021

Překlad nad garážovými vraty

Překlad nad garážovými vraty

4.0 VÝSLEDKY - SOUHRN

Označení	Hodnota	Jedno	Komentář
Kombinace zatížení KZ6 - 1.8*ZS1 + ZS2			
Součet zatížení ve směru X	0.000	kN	
Součet reakcí v X	0.000	kN	
Součet zatížení ve směru Z	-28.962	kN	
Součet reakcí v Z	-28.962	kN	Odchylka 0.00%
Výslednice reakcí okolo X	0.0000	kNm	V těžišti modelu (X:1.5299, Y:0.0000, Z:-5.4930 m)
Výslednice reakcí okolo Y	-4.6045	kNm	V těžišti modelu
Výslednice reakcí okolo Z	0.0000	kNm	V těžišti modelu
Max. posun ve směru X	0.0	mm	
Max. posun ve směru Z	-5.5	mm	Prut č. 5, x: 0.000 m
Max. posun vektorový	5.5	mm	Prut č. 5, x: 0.000 m
Max. pootočení okolo Y	0.0050	rad	Prut č. 4, x: 0.000 m
Maximální přetožení prutu	0.00000	-	Prut č. 0, x: 0.000 m
Způsob výpočtu	II. řád		Teorie II. řádu (nelineární výpočet podle Timoshenka)
Vnitřní síly vztažené na deformovaný systém pro...	<input checked="" type="checkbox"/>		N, V _y , V _z , M _y , M _z , M _T
Redukce tuhosti			Průřezy, Pruty, Plochy
Zohlednit příznivé působení tahových sil	<input checked="" type="checkbox"/>		
Zpětné dělení výsledků součinitelem KZ	<input type="checkbox"/>		
Počet přírůstků zatížení	1		
Počet iterací	2		
Maximální hodnota prvku matice tuhosti na diagonále	1.304E+09		
Minimální hodnota prvku matice tuhosti na diagonále	1.E+02		
Determinant matice tuhosti	3.166E+178		
Nekonečná norma	2.607E+09		
Celkem			
Max. posun ve směru X	0.0	mm	KZ2, Prut č. 5, x: 0.000 m
Max. posun ve směru Z	-8.8	mm	KZ2, Prut č. 5, x: 0.000 m
Max. posun vektorový	8.8	mm	KZ2, Prut č. 5, x: 0.000 m
Max. pootočení okolo Y	0.0081	rad	KZ2, Prut č. 4, x: 0.000 m
Ostatní nastavení:			
Počet konečných prvků 1D	9		
Počet konečných prvků 2D	0		
Počet konečných prvků 3D	0		
Počet uzlů sítě KP	12		
Počet rovnic	36		
Vnitřní síly vztažené na deformovaný systém pro...			
Maximální počet iterací	100		
Počet dělení prutu pro průběhy výsledků	10		
Dělení prutů typu lano, prutů s náběhem a na podloží	10		
Počet dělení prutů pro hledání maximálních hodnot	10		
Rozdělení sítě KP pro grafické výsledky	3		
Procentuální počet iterací Picardovy metody v kombinaci s metodou Newton-Raphsonovou	5	%	
Možnosti:			
Aktivovat smykovou tuhost prutů (Ay, Az)	<input checked="" type="checkbox"/>		
Aktivovat dělení prutů pro analýzu velkých deformací nebo poskritickou analýzu	<input checked="" type="checkbox"/>		
Aktivovat zadané změny tuhosti	<input checked="" type="checkbox"/>		
Kontrola kritických sil prutů	<input checked="" type="checkbox"/>		
Nesymetrický přímý řešič, pokud vyžadováno nelineárním modelem	<input type="checkbox"/>		
Metoda pro systém rovnic	Přímá		
Ohybová teorie desek	Mindlinova		
Verze řešiče	64-bit		
Přesnost a tolerance:			
Změnit standardní nastavení	<input type="checkbox"/>		

4.1 UZLY - PODPOROVÉ SÍLY

Uzel č.	ZS/KZ	Podporové síly [kN]		Podporové momenty	
		P _x	P _z	M _y [kNm]	
2	ZS1	0.000	-0.372	0.000	Stálé zatížení Reakce od krovu
	ZS2	0.000	-2.600	0.000	
	KZ1	0.000	-0.503	0.000	
	KZ2	0.000	-4.403	0.000	
	KZ3	0.000	-0.372	0.000	
	KZ4	0.000	-2.972	0.000	
3	ZS1	0.000	-0.372	0.000	Stálé zatížení Reakce od krovu
	ZS2	0.000	-2.600	0.000	
	KZ1	0.000	-0.503	0.000	
	KZ2	0.000	-4.403	0.000	
	KZ3	0.000	-0.372	0.000	
	KZ4	0.000	-2.972	0.000	
5	ZS1	0.000	-1.297	0.000	Stálé zatížení Reakce od krovu
	ZS2	0.000	-3.270	0.000	
	KZ1	0.000	-1.751	0.000	
	KZ2	0.000	-6.656	0.000	



Projekt: Diplomová práce

Model: Diplomová práce

Datum: 20.04.2021

Překlad nad garážovými vraty

Překlad nad garážovými vraty

4.1 UZLY - PODPOROVÉ SÍLY

Uzel č.	ZS/KZ	Podporové síly [kN]		Podporové momenty		
		P _x	P _z	M _y [kNm]		
5	KZ3	0.000	-1.297	0.000		
	KZ4	0.000	-4.567	0.000		
	KZ5	0.000	-2.335	0.000		
	KZ6	0.000	-5.605	0.000		
6	ZS1	0.000	-1.297	0.000	Stálé zatížení Reakce od krovu	
	ZS2	0.000	-3.270	0.000		
	KZ1	0.000	-1.751	0.000		
	KZ2	0.000	-6.656	0.000		
	KZ3	0.000	-1.297	0.000		
	KZ4	0.000	-4.567	0.000		
	KZ5	0.000	-2.335	0.000		
	KZ6	0.000	-5.605	0.000		
7	ZS1	0.000	-1.297	0.000	Stálé zatížení Reakce od krovu	
	ZS2	0.000	-3.270	0.000		
	KZ1	0.000	-1.751	0.000		
	KZ2	0.000	-6.656	0.000		
	KZ3	0.000	-1.297	0.000		
	KZ4	0.000	-4.567	0.000		
	KZ5	0.000	-2.335	0.000		
	KZ6	0.000	-5.605	0.000		
8	ZS1	0.000	-1.297	0.000	Stálé zatížení Reakce od krovu	
	ZS2	0.000	-3.270	0.000		
	KZ1	0.000	-1.751	0.000		
	KZ2	0.000	-6.656	0.000		
	KZ3	0.000	-1.297	0.000		
	KZ4	0.000	-4.567	0.000		
	KZ5	0.000	-2.335	0.000		
	KZ6	0.000	-5.605	0.000		
	Σ podp.	ZS1	0.000	-5.934		
	Σ zatiž.	ZS1	0.000	-5.934		
	Σ podp.	ZS2	0.000	-18.280		
	Σ zatiž.	ZS2	0.000	-18.280		
	Σ podp.	KZ1	0.000	-8.011		
	Σ podp.	KZ1	0.000	-8.011		
	Σ podp.	KZ2	0.000	-35.431		
	Σ podp.	KZ2	0.000	-35.431		
Σ podp.	KZ3	0.000	-5.934			
Σ podp.	KZ3	0.000	-5.934			
Σ podp.	KZ4	0.000	-24.214			
Σ podp.	KZ4	0.000	-24.214			
Σ podp.	KZ5	0.000	-10.682			
Σ podp.	KZ5	0.000	-10.682			
Σ podp.	KZ6	0.000	-28.962			
Σ podp.	KZ6	0.000	-28.962			

4.12 PRŮŘEZY - VNITŘNÍ SÍLY

Prut č.	ZS/KZ	Uzel č.	Místo x [m]	Síly [kN]		Momenty
				N	V _z	M _y [kNm]
Průřez č. 1: T-obdélník 160/120						
1	ZS1	2	0.000	0.000	0.372	0.000
		4	0.500	0.000	0.000	0.093
	ZS2	2	0.000	0.000	2.600	0.000
		4	0.500	0.000	2.600	1.300
	KZ1	2	0.000	0.000	0.503	0.000
		4	0.500	0.000	0.000	0.126
	KZ2	2	0.000	0.012	4.403	0.000
		4	0.500	0.000	3.900	2.076
	KZ3	2	0.000	0.000	0.372	0.000
		4	0.500	0.000	0.000	0.093
	KZ4	2	0.000	0.004	2.972	0.000
		4	0.500	0.000	2.600	1.393
KZ5	2	0.000	0.000	0.670	0.000	
	4	0.500	0.000	0.000	0.168	
KZ6	2	0.000	0.005	3.270	0.000	
	4	0.500	0.000	2.600	1.468	
2	ZS1	4	0.000	0.000	0.000	0.093
		3	0.500	0.000	-0.372	0.000
	ZS2	4	0.000	0.000	-2.600	1.300
		3	0.500	0.000	-2.600	0.000
	KZ1	4	0.000	0.000	0.000	0.126
		3	0.500	0.000	-0.503	0.000
	KZ2	4	0.000	0.000	-3.900	2.076
		3	0.500	0.012	-4.403	0.000
	KZ3	4	0.000	0.000	0.000	0.093
		3	0.500	0.000	-0.372	0.000
	KZ4	4	0.000	0.000	-2.600	1.393
		3	0.500	0.004	-2.972	0.000
KZ5	4	0.000	0.000	0.000	0.168	
	3	0.500	0.000	-0.670	0.000	
KZ6	4	0.000	0.000	-2.600	1.468	
	3	0.500	0.005	-3.270	0.000	
Průřez č. 2: T-obdélník 160/200						
3	ZS1	5	0.000	0.000	1.297	0.000
		12	0.900	0.000	0.579	0.844
	ZS2	5	0.000	0.000	3.270	0.000
		12	0.900	0.000	3.270	2.943
	KZ1	5	0.000	0.003	1.751	0.000
		12	0.900	0.001	0.781	1.140
KZ2	5	0.000	0.050	6.656	0.000	
	12	0.900	0.026	5.686	5.554	



Projekt: Diplomová práce

Model: Diplomová práce

Datum: 20.04.2021

Překlad nad garážovými vraty

Překlad nad garážovými vraty

4.12 PRŮŘEZY - VNITŘNÍ SÍLY

Prut č.	ZS/KZ	Uzel č.	Místo x [m]	Síly [kN]		Momenty	
				N	V _z	M _y [kNm]	
3	KZ3	5	0.000	0.001	1.297	0.000	
		12	0.900	0.000	0.579	0.844	
	KZ4	5	0.000	0.018	4.567	0.000	
		12	0.900	0.009	3.849	3.787	
	KZ5	5	0.000	0.004	2.335	0.000	
		12	0.900	0.001	1.042	1.520	
4	KZ6	5	0.000	0.026	5.605	0.000	
		12	0.900	0.013	4.312	4.463	
	ZS1	7	0.000	0.000	1.297	0.000	
		10	1.085	0.000	0.431	0.938	
	ZS2	7	0.000	0.000	3.270	0.000	
		10	1.085	0.000	3.270	3.548	
5	KZ1	7	0.000	0.003	1.751	0.000	
		10	1.085	0.000	0.582	1.266	
	KZ2	7	0.000	0.054	6.656	0.000	
		10	1.085	0.022	5.487	6.588	
	KZ3	7	0.000	0.001	1.297	0.000	
		10	1.085	0.000	0.431	0.938	
	KZ4	7	0.000	0.019	4.567	0.000	
		10	1.085	0.008	3.701	4.486	
	KZ5	7	0.000	0.004	2.335	0.000	
		10	1.085	0.001	0.776	1.688	
	KZ6	7	0.000	0.028	5.605	0.000	
		10	1.085	0.010	4.046	5.236	
	ZS1	9	0.000	0.000	0.000	1.054	
		11	0.540	0.000	-0.431	0.938	
	ZS2	9	0.000	0.000	0.000	3.548	
		11	0.540	0.000	0.000	3.548	
	6	KZ1	9	0.000	0.000	0.000	1.423
			11	0.540	0.000	-0.582	1.266
KZ2		9	0.000	0.000	0.000	6.745	
		11	0.540	0.002	-0.582	6.588	
KZ3		9	0.000	0.000	0.000	1.054	
		11	0.540	0.000	-0.431	0.938	
KZ4		9	0.000	0.000	0.000	4.602	
		11	0.540	0.001	-0.431	4.486	
KZ5		9	0.000	0.000	0.000	1.897	
		11	0.540	0.001	-0.776	1.688	
KZ6		9	0.000	0.000	0.000	5.445	
		11	0.540	0.002	-0.776	5.236	
ZS1		10	0.000	0.000	0.431	0.938	
		9	0.540	0.000	0.000	1.054	
ZS2		10	0.000	0.000	0.000	3.548	
		9	0.540	0.000	0.000	3.548	
7		KZ1	10	0.000	0.000	0.582	1.266
			9	0.540	0.000	0.000	1.423
	KZ2	10	0.000	0.002	0.582	6.588	
		9	0.540	0.000	0.000	6.745	
	KZ3	10	0.000	0.000	0.431	0.938	
		9	0.540	0.000	0.000	1.054	
	KZ4	10	0.000	0.001	0.431	4.486	
		9	0.540	0.000	0.000	4.602	
	KZ5	10	0.000	0.001	0.776	1.688	
		9	0.540	0.000	0.000	1.897	
	KZ6	10	0.000	0.002	0.776	5.236	
		9	0.540	0.000	0.000	5.445	
	ZS1	11	0.000	0.000	-0.431	0.938	
		8	1.085	0.000	-1.297	0.000	
	ZS2	11	0.000	0.000	-3.270	3.548	
		8	1.085	0.000	-3.270	0.000	
	8	KZ1	11	0.000	0.000	-0.582	1.266
			8	1.085	0.003	-1.751	0.000
KZ2		11	0.000	0.022	-5.487	6.588	
		8	1.085	0.054	-6.656	0.000	
KZ3		11	0.000	0.000	-0.431	0.938	
		8	1.085	0.001	-1.297	0.000	
KZ4		11	0.000	0.008	-3.701	4.486	
		8	1.085	0.019	-4.567	0.000	
KZ5		11	0.000	0.001	-0.776	1.688	
		8	1.085	0.004	-2.335	0.000	
KZ6		11	0.000	0.010	-4.046	5.236	
		8	1.085	0.028	-5.605	0.000	
ZS1		12	0.000	0.000	0.579	0.844	
		13	1.450	0.000	-0.579	0.844	
ZS2		12	0.000	0.000	0.000	2.943	
		13	1.450	0.000	0.000	2.943	
9		KZ1	12	0.000	0.001	0.781	1.140
			13	1.450	0.001	-0.781	1.140
	KZ2	12	0.000	0.004	0.781	5.554	
		13	1.450	0.004	-0.781	5.554	
	KZ3	12	0.000	0.000	0.579	0.844	
		13	1.450	0.000	-0.579	0.844	
	KZ4	12	0.000	0.001	0.579	3.787	
		13	1.450	0.001	-0.579	3.787	
	KZ5	12	0.000	0.001	1.042	1.520	
		13	1.450	0.001	-1.042	1.520	
	KZ6	12	0.000	0.003	1.042	4.463	
		13	1.450	0.003	-1.042	4.463	
	ZS1	13	0.000	0.000	-0.579	0.844	
		6	0.900	0.000	-1.297	0.000	
	ZS2	13	0.000	0.000	-3.270	2.943	
		6	0.900	0.000	-3.270	0.000	
	KZ1	13	0.000	0.001	-0.781	1.140	
		6	0.900	0.003	-1.751	0.000	



Projekt: Diplomová práce

Model: Diplomová práce

Datum: 20.04.2021

Překlad nad garážovými vraty

Překlad nad garážovými vraty

4.12 PRŮŘEZY - VNITŘNÍ SÍLY

Prut č.	ZS/KZ	Uzel č.	Místo x [m]	Síly [kN]		Momenty
				N	V _z	M _y [kNm]
9	KZ2	13	0.000	0.026	-5.686	5.554
		6	0.900	0.050	-6.656	0.000
	KZ3	13	0.000	0.000	-0.579	0.844
		6	0.900	0.001	-1.297	0.000
	KZ4	13	0.000	0.009	-3.849	3.787
		6	0.900	0.018	-4.567	0.000
	KZ5	13	0.000	0.001	-1.042	1.520
		6	0.900	0.004	-2.335	0.000
	KZ6	13	0.000	0.013	-4.312	4.463
		6	0.900	0.026	-5.605	0.000

4.1 UZLY - PODPOROVÉ SÍLY

Kombinace výsledků

Uzel č.	KV		Podporové síly [kN]		Podporové momenty	
			P _x	P _z	M _y [kNm]	
2	KV1	Max	0.000	-0.503	0.000	MSÚ (STR/GEO) - trvalá/dočasná - rovn. 6.10
		Min	0.000	-4.403	0.000	MSÚ (STR/GEO) - trvalá/dočasná - rovn. 6.10
	KV2	Max	0.000	-0.372	0.000	MSP - charakteristická / málo častá
		Min	0.000	-2.972	0.000	MSP - charakteristická / málo častá
	KV3	Max	0.000	-0.670	0.000	MSP - kvazistálá
		Min	0.000	-3.270	0.000	MSP - kvazistálá
3	KV1	Max	0.000	-0.503	0.000	MSÚ (STR/GEO) - trvalá/dočasná - rovn. 6.10
		Min	0.000	-4.403	0.000	MSÚ (STR/GEO) - trvalá/dočasná - rovn. 6.10
	KV2	Max	0.000	-0.372	0.000	MSP - charakteristická / málo častá
		Min	0.000	-2.972	0.000	MSP - charakteristická / málo častá
	KV3	Max	0.000	-0.670	0.000	MSP - kvazistálá
		Min	0.000	-3.270	0.000	MSP - kvazistálá
5	KV1	Max	0.000	-1.751	0.000	MSÚ (STR/GEO) - trvalá/dočasná - rovn. 6.10
		Min	0.000	-6.656	0.000	MSÚ (STR/GEO) - trvalá/dočasná - rovn. 6.10
	KV2	Max	0.000	-1.297	0.000	MSP - charakteristická / málo častá
		Min	0.000	-4.567	0.000	MSP - charakteristická / málo častá
	KV3	Max	0.000	-2.335	0.000	MSP - kvazistálá
		Min	0.000	-5.605	0.000	MSP - kvazistálá
6	KV1	Max	0.000	-1.751	0.000	MSÚ (STR/GEO) - trvalá/dočasná - rovn. 6.10
		Min	0.000	-6.656	0.000	MSÚ (STR/GEO) - trvalá/dočasná - rovn. 6.10
	KV2	Max	0.000	-1.297	0.000	MSP - charakteristická / málo častá
		Min	0.000	-4.567	0.000	MSP - charakteristická / málo častá
	KV3	Max	0.000	-2.335	0.000	MSP - kvazistálá
		Min	0.000	-5.605	0.000	MSP - kvazistálá
7	KV1	Max	0.000	-1.751	0.000	MSÚ (STR/GEO) - trvalá/dočasná - rovn. 6.10
		Min	0.000	-6.656	0.000	MSÚ (STR/GEO) - trvalá/dočasná - rovn. 6.10
	KV2	Max	0.000	-1.297	0.000	MSP - charakteristická / málo častá
		Min	0.000	-4.567	0.000	MSP - charakteristická / málo častá
	KV3	Max	0.000	-2.335	0.000	MSP - kvazistálá
		Min	0.000	-5.605	0.000	MSP - kvazistálá
8	KV1	Max	0.000	-1.751	0.000	MSÚ (STR/GEO) - trvalá/dočasná - rovn. 6.10
		Min	0.000	-6.656	0.000	MSÚ (STR/GEO) - trvalá/dočasná - rovn. 6.10
	KV2	Max	0.000	-1.297	0.000	MSP - charakteristická / málo častá
		Min	0.000	-4.567	0.000	MSP - charakteristická / málo častá
	KV3	Max	0.000	-2.335	0.000	MSP - kvazistálá
		Min	0.000	-5.605	0.000	MSP - kvazistálá

4.12 PRŮŘEZY - VNITŘNÍ SÍLY

Kombinace výsledků

Prut č.	KV	Uzel č.	Místo x [m]	Síly [kN]		Momenty	Příslušející zat. stavy	
				N	V _z	M _y [kNm]		
Průřez č. 1: T-obdélník 160/120								
1	KV1	2	0.000	Max N	0.012	4.403	0.000	KZ 2
				Min N	0.000	0.503	0.000	KZ 1
				Max V _z	0.012	4.403	0.000	KZ 2
				Min V _z	0.000	0.503	0.000	KZ 1
				Max M _y	0.000	0.503	0.000	KZ 1
				Min M _y	0.000	0.503	0.000	KZ 1
		4	0.500	Max N	0.000	0.000	0.126	KZ 1
				Min N	0.000	0.000	0.126	KZ 1
				Max V _z	0.000	3.900	2.076	KZ 2
				Min V _z	0.000	0.000	0.126	KZ 1
				Max M _y	0.000	3.900	2.076	KZ 2
				Min M _y	0.000	0.000	0.126	KZ 1
	KV2	2	0.000	Max N	0.004	2.972	0.000	KZ 4
				Min N	0.000	0.372	0.000	KZ 3
				Max V _z	0.004	2.972	0.000	KZ 4
				Min V _z	0.000	0.372	0.000	KZ 3
				Max M _y	0.000	0.372	0.000	KZ 3
				Min M _y	0.000	0.372	0.000	KZ 3
	4	0.500	Max N	0.000	0.000	0.093	KZ 3	
			Min N	0.000	0.000	0.093	KZ 3	
			Max V _z	0.000	2.600	1.393	KZ 4	
			Min V _z	0.000	0.000	0.093	KZ 3	
			Max M _y	0.000	2.600	1.393	KZ 4	
			Min M _y	0.000	0.000	0.093	KZ 3	
KV3	2	0.000	Max N	0.005	3.270	0.000	KZ 6	
			Min N	0.000	0.670	0.000	KZ 5	
			Max V _z	0.005	3.270	0.000	KZ 6	
			Min V _z	0.000	0.670	0.000	KZ 5	
			Max M _y	0.000	0.670	0.000	KZ 5	
			Min M _y	0.000	0.670	0.000	KZ 5	



Projekt: Diplomová práce

Model: Diplomová práce

Datum: 20.04.2021

Překlad nad garážovými vraty

Překlad nad garážovými vraty

■ 4.12 PRŮŘEZY - VNITŘNÍ SÍLY

Kombinace výsledků

Prut č.	KV	Uzel č.	Místo x [m]	Síly [kN]			Momenty		Příslušející zat. stavy
				N	V _z	M _y [kNm]			
1	KV3	4	0.500	Max N	0.000	0.000	0.168	KZ 5	
				Min N	0.000	0.000	0.168	KZ 5	
				Max V _z	0.000	2.600	1.468	KZ 6	
				Min V _z	0.000	0.000	0.168	KZ 5	
				Max M _y	0.000	2.600	1.468	KZ 6	
				Min M _y	0.000	0.000	0.168	KZ 5	
	2	KV1	4	0.000	Max N	0.000	0.000	0.126	KZ 1
					Min N	0.000	0.000	0.126	KZ 1
					Max V _z	0.000	0.000	0.126	KZ 1
					Min V _z	0.000	-3.900	2.076	KZ 2
					Max M _y	0.000	-3.900	2.076	KZ 2
					Min M _y	0.000	0.000	0.126	KZ 1
			3	0.500	Max N	0.012	-4.403	0.000	KZ 2
					Min N	0.000	-0.503	0.000	KZ 1
					Max V _z	0.000	-0.503	0.000	KZ 1
					Min V _z	0.012	-4.403	0.000	KZ 2
					Max M _y	0.000	-0.503	0.000	KZ 1
					Min M _y	0.000	-0.503	0.000	KZ 1
		KV2	4	0.000	Max N	0.000	0.000	0.093	KZ 3
					Min N	0.000	0.000	0.093	KZ 3
					Max V _z	0.000	0.000	0.093	KZ 3
					Min V _z	0.000	-2.600	1.393	KZ 4
					Max M _y	0.000	-2.600	1.393	KZ 4
					Min M _y	0.000	0.000	0.093	KZ 3
	3	0.500	Max N	0.004	-2.972	0.000	KZ 4		
			Min N	0.000	-0.372	0.000	KZ 3		
			Max V _z	0.000	-0.372	0.000	KZ 3		
			Min V _z	0.004	-2.972	0.000	KZ 4		
			Max M _y	0.000	-0.372	0.000	KZ 3		
			Min M _y	0.000	-0.372	0.000	KZ 3		
KV3	4	0.000	Max N	0.000	0.000	0.168	KZ 5		
			Min N	0.000	0.000	0.168	KZ 5		
			Max V _z	0.000	0.000	0.168	KZ 5		
			Min V _z	0.000	-2.600	1.468	KZ 6		
			Max M _y	0.000	-2.600	1.468	KZ 6		
			Min M _y	0.000	0.000	0.168	KZ 5		
		3	0.500	Max N	0.005	-3.270	0.000	KZ 6	
				Min N	0.000	-0.670	0.000	KZ 5	
				Max V _z	0.000	-0.670	0.000	KZ 5	
				Min V _z	0.005	-3.270	0.000	KZ 6	
				Max M _y	0.000	-0.670	0.000	KZ 5	
				Min M _y	0.000	-0.670	0.000	KZ 5	
3	Průřez č. 2: T-obdélník 160/200								
	KV1	5	0.000	Max N	0.050	6.656	0.000	KZ 2	
				Min N	0.003	1.751	0.000	KZ 1	
				Max V _z	0.050	6.656	0.000	KZ 2	
				Min V _z	0.003	1.751	0.000	KZ 1	
				Max M _y	0.003	1.751	0.000	KZ 1	
				Min M _y	0.003	1.751	0.000	KZ 1	
		12	0.900	Max N	0.026	5.686	5.554	KZ 2	
				Min N	0.001	0.781	1.140	KZ 1	
				Max V _z	0.026	5.686	5.554	KZ 2	
				Min V _z	0.001	0.781	1.140	KZ 1	
				Max M _y	0.026	5.686	5.554	KZ 2	
				Min M _y	0.001	0.781	1.140	KZ 1	
	KV2	5	0.000	Max N	0.018	4.567	0.000	KZ 4	
				Min N	0.001	1.297	0.000	KZ 3	
				Max V _z	0.018	4.567	0.000	KZ 4	
				Min V _z	0.001	1.297	0.000	KZ 3	
				Max M _y	0.001	1.297	0.000	KZ 3	
				Min M _y	0.001	1.297	0.000	KZ 3	
		12	0.900	Max N	0.009	3.849	3.787	KZ 4	
				Min N	0.000	0.579	0.844	KZ 3	
				Max V _z	0.009	3.849	3.787	KZ 4	
				Min V _z	0.000	0.579	0.844	KZ 3	
				Max M _y	0.009	3.849	3.787	KZ 4	
				Min M _y	0.000	0.579	0.844	KZ 3	
	KV3	5	0.000	Max N	0.026	5.605	0.000	KZ 6	
				Min N	0.004	2.335	0.000	KZ 5	
				Max V _z	0.026	5.605	0.000	KZ 6	
				Min V _z	0.004	2.335	0.000	KZ 5	
				Max M _y	0.004	2.335	0.000	KZ 5	
				Min M _y	0.004	2.335	0.000	KZ 5	
		12	0.900	Max N	0.013	4.312	4.463	KZ 6	
				Min N	0.001	1.042	1.520	KZ 5	
				Max V _z	0.013	4.312	4.463	KZ 6	
				Min V _z	0.001	1.042	1.520	KZ 5	
				Max M _y	0.013	4.312	4.463	KZ 6	
Min M _y				0.001	1.042	1.520	KZ 5		
4	KV1	7	0.000	Max N	0.054	6.656	0.000	KZ 2	
				Min N	0.003	1.751	0.000	KZ 1	
				Max V _z	0.054	6.656	0.000	KZ 2	
				Min V _z	0.003	1.751	0.000	KZ 1	
				Max M _y	0.003	1.751	0.000	KZ 1	
				Min M _y	0.003	1.751	0.000	KZ 1	
	10	1.085	Max N	0.022	5.487	6.588	KZ 2		
			Min N	0.000	0.582	1.266	KZ 1		
			Max V _z	0.022	5.487	6.588	KZ 2		



Projekt: Diplomová práce

Model: Diplomová práce

Datum: 20.04.2021

Překlad nad garážovými vraty

Překlad nad garážovými vraty

■ 4.12 PRŮŘEZY - VNITŘNÍ SÍLY

Kombinace výsledků

Prut č.	KV	Uzel č.	Místo x [m]	Síly [kN]		Momenty		Příslušející zat. stavy	
				N	V _z	M _y [kNm]			
4	KV1			Min V _z	0.000	0.582	1.266	KZ 1	
				Max M _y	0.022	5.487	6.588	KZ 2	
				Min M _y	0.000	0.582	1.266	KZ 1	
				Max N	0.019	4.567	0.000	KZ 4	
				Min N	0.001	1.297	0.000	KZ 3	
				Max V _z	0.019	4.567	0.000	KZ 4	
	KV2	7	0.000	Min V _z	0.001	1.297	0.000	KZ 3	
				Max M _y	0.001	1.297	0.000	KZ 3	
				Min M _y	0.001	1.297	0.000	KZ 3	
		10	1.085	Max N	0.008	3.701	4.486	KZ 4	
				Min N	0.000	0.431	0.938	KZ 3	
				Max V _z	0.008	3.701	4.486	KZ 4	
	KV3	7	0.000	Min V _z	0.000	0.431	0.938	KZ 3	
				Max M _y	0.008	3.701	4.486	KZ 4	
				Min M _y	0.000	0.431	0.938	KZ 3	
		10	1.085	Max N	0.028	5.605	0.000	KZ 6	
				Min N	0.004	2.335	0.000	KZ 5	
				Max V _z	0.028	5.605	0.000	KZ 6	
	5	KV1	9	0.000	Min V _z	0.004	2.335	0.000	KZ 5
					Max M _y	0.004	2.335	0.000	KZ 5
					Min M _y	0.004	2.335	0.000	KZ 5
					Max N	0.010	4.046	5.236	KZ 6
					Min N	0.001	0.776	1.688	KZ 5
					Max V _z	0.010	4.046	5.236	KZ 6
KV2		11	0.540	Min V _z	0.001	0.776	1.688	KZ 5	
				Max M _y	0.010	4.046	5.236	KZ 6	
				Min M _y	0.001	0.776	1.688	KZ 5	
		9	0.000	Max N	0.000	0.000	1.423	KZ 1	
				Min N	0.000	0.000	1.423	KZ 1	
				Max V _z	0.000	0.000	1.423	KZ 1	
KV3		9	0.000	Min V _z	0.000	0.000	1.423	KZ 1	
				Max M _y	0.000	0.000	6.745	KZ 2	
				Min M _y	0.000	0.000	1.423	KZ 1	
		11	0.540	Max N	0.002	-0.582	6.588	KZ 2	
				Min N	0.000	-0.582	1.266	KZ 1	
				Max V _z	0.002	-0.582	6.588	KZ 2	
6		KV1	10	0.000	Min V _z	0.000	-0.582	1.266	KZ 1
					Max M _y	0.002	-0.582	6.588	KZ 2
					Min M _y	0.000	-0.582	1.266	KZ 1
					Max N	0.000	0.000	1.054	KZ 3
					Min N	0.000	0.000	1.054	KZ 3
					Max V _z	0.000	0.000	1.054	KZ 3
	KV2	11	0.540	Min V _z	0.000	0.000	1.054	KZ 3	
				Max M _y	0.000	0.000	4.602	KZ 4	
				Min M _y	0.000	0.000	1.054	KZ 3	
		9	0.000	Max N	0.001	-0.431	4.486	KZ 4	
				Min N	0.000	-0.431	0.938	KZ 3	
				Max V _z	0.001	-0.431	4.486	KZ 4	
	KV3	9	0.000	Min V _z	0.000	-0.431	0.938	KZ 3	
				Max M _y	0.001	-0.431	4.486	KZ 4	
				Min M _y	0.000	-0.431	0.938	KZ 3	
		11	0.540	Max N	0.000	0.000	1.897	KZ 5	
				Min N	0.000	0.000	1.897	KZ 5	
				Max V _z	0.000	0.000	1.897	KZ 5	
	7	KV1	10	0.000	Min V _z	0.000	0.000	5.445	KZ 6
					Max M _y	0.000	0.000	1.897	KZ 5
					Min M _y	0.000	0.000	1.897	KZ 5
					Max N	0.002	-0.776	5.236	KZ 6
					Min N	0.001	-0.776	1.688	KZ 5
					Max V _z	0.002	-0.776	5.236	KZ 6
KV2		10	0.000	Min V _z	0.001	-0.776	1.688	KZ 5	
				Max M _y	0.001	-0.776	5.236	KZ 6	
				Min M _y	0.001	-0.776	1.688	KZ 5	
		9	0.540	Max N	0.000	0.000	1.423	KZ 1	
				Min N	0.000	0.000	1.423	KZ 1	
				Max V _z	0.000	0.000	1.423	KZ 1	
KV3		10	0.000	Min V _z	0.000	0.000	1.423	KZ 1	
				Max M _y	0.000	0.000	6.745	KZ 2	
				Min M _y	0.000	0.000	1.423	KZ 1	
		9	0.540	Max N	0.001	0.431	4.486	KZ 4	
				Min N	0.000	0.431	0.938	KZ 3	
				Max V _z	0.001	0.431	4.486	KZ 4	



Projekt: Diplomová práce

Model: Diplomová práce

Datum: 20.04.2021

Překlad nad garážovými vraty

Překlad nad garážovými vraty

■ 4.12 PRŮŘEZY - VNITŘNÍ SÍLY

Kombinace výsledků

Prut č.	KV	Uzel č.	Místo x [m]	Síly [kN]			Momenty M _y [kNm]	Příslušející zat. stavy	
				N	V _z				
6	KV3	9	0.540	Min N	0.001	0.776	1.688	KZ 5	
				Max V _z	0.001	0.776	1.688	KZ 5	
				Min V _z	0.002	0.776	5.236	KZ 6	
				Max M _y	0.002	0.776	5.236	KZ 6	
				Min M _y	0.001	0.776	1.688	KZ 5	
				Max N	0.000	0.000	1.897	KZ 5	
	KV1	11	0.000	Min N	0.000	0.000	1.897	KZ 5	
				Max V _z	0.000	0.000	1.897	KZ 5	
				Min V _z	0.000	0.000	1.897	KZ 5	
				Max M _y	0.000	0.000	5.445	KZ 6	
				Min M _y	0.000	0.000	1.897	KZ 5	
				Max N	0.022	-5.487	6.588	KZ 2	
7	KV1	8	1.085	Min N	0.000	-0.582	1.266	KZ 1	
				Max V _z	0.000	-0.582	1.266	KZ 1	
				Min V _z	0.022	-5.487	6.588	KZ 2	
				Max M _y	0.022	-5.487	6.588	KZ 2	
				Min M _y	0.000	-0.582	1.266	KZ 1	
				Max N	0.054	-6.656	0.000	KZ 2	
		KV2	11	0.000	Min N	0.003	-1.751	0.000	KZ 1
					Max V _z	0.003	-1.751	0.000	KZ 1
					Min V _z	0.054	-6.656	0.000	KZ 2
					Max M _y	0.003	-1.751	0.000	KZ 1
					Min M _y	0.003	-1.751	0.000	KZ 1
					Max N	0.008	-3.701	4.486	KZ 4
	KV3	8	1.085	Min N	0.000	-0.431	0.938	KZ 3	
				Max V _z	0.000	-0.431	0.938	KZ 3	
				Min V _z	0.008	-3.701	4.486	KZ 4	
				Max M _y	0.008	-3.701	4.486	KZ 4	
				Min M _y	0.000	-0.431	0.938	KZ 3	
				Max N	0.019	-4.567	0.000	KZ 4	
		KV3	11	0.000	Min N	0.001	-1.297	0.000	KZ 3
					Max V _z	0.001	-1.297	0.000	KZ 3
					Min V _z	0.019	-4.567	0.000	KZ 4
					Max M _y	0.001	-1.297	0.000	KZ 3
					Min M _y	0.001	-1.297	0.000	KZ 3
					Max N	0.010	-4.046	5.236	KZ 6
8	KV1	13	1.450	Min N	0.001	-0.776	1.688	KZ 5	
				Max V _z	0.001	-0.776	1.688	KZ 5	
				Min V _z	0.010	-4.046	5.236	KZ 6	
				Max M _y	0.010	-4.046	5.236	KZ 6	
				Min M _y	0.001	-0.776	1.688	KZ 5	
				Max N	0.028	-5.605	0.000	KZ 6	
		KV2	12	0.000	Min N	0.004	-2.335	0.000	KZ 5
					Max V _z	0.004	-2.335	0.000	KZ 5
					Min V _z	0.028	-5.605	0.000	KZ 6
					Max M _y	0.004	-2.335	0.000	KZ 5
					Min M _y	0.004	-2.335	0.000	KZ 5
					Max N	0.004	-0.781	5.554	KZ 2
	KV3	12	0.000	Min N	0.001	0.781	1.140	KZ 1	
				Max V _z	0.001	0.781	1.140	KZ 1	
				Min V _z	0.004	0.781	5.554	KZ 2	
				Max M _y	0.004	0.781	5.554	KZ 2	
				Min M _y	0.001	0.781	1.140	KZ 1	
				Max N	0.004	-0.781	5.554	KZ 2	
		KV2	13	1.450	Min N	0.001	-0.781	1.140	KZ 1
					Max V _z	0.004	-0.781	5.554	KZ 2
					Min V _z	0.001	-0.781	1.140	KZ 1
					Max M _y	0.004	-0.781	5.554	KZ 2
					Min M _y	0.001	-0.781	1.140	KZ 1
					Max N	0.001	0.579	3.787	KZ 4
KV3	12	0.000	Min N	0.000	0.579	0.844	KZ 3		
			Max V _z	0.000	0.579	0.844	KZ 3		
			Min V _z	0.001	0.579	3.787	KZ 4		
			Max M _y	0.001	0.579	3.787	KZ 4		
			Min M _y	0.000	0.579	0.844	KZ 3		
			Max N	0.001	-0.579	3.787	KZ 4		
	KV3	13	1.450	Min N	0.000	-0.579	0.844	KZ 3	
				Max V _z	0.001	-0.579	3.787	KZ 4	
				Min V _z	0.000	-0.579	0.844	KZ 3	
				Max M _y	0.001	-0.579	3.787	KZ 4	
				Min M _y	0.000	-0.579	0.844	KZ 3	
				Max N	0.003	1.042	4.463	KZ 6	
9	KV1	13	0.000	Min N	0.001	1.042	1.520	KZ 5	
				Max V _z	0.001	1.042	1.520	KZ 5	
				Min V _z	0.003	1.042	4.463	KZ 6	
				Max M _y	0.003	1.042	4.463	KZ 6	
				Min M _y	0.001	1.042	1.520	KZ 5	
				Max N	0.003	-1.042	4.463	KZ 6	
		KV1	13	0.000	Min N	0.001	-1.042	1.520	KZ 5
					Max V _z	0.001	-1.042	1.520	KZ 5
					Min V _z	0.001	-1.042	1.520	KZ 5
					Max M _y	0.003	-1.042	4.463	KZ 6
					Min M _y	0.001	-1.042	1.520	KZ 5
					Max N	0.026	-5.686	5.554	KZ 2
	KV1	13	0.000	Min N	0.001	-0.781	1.140	KZ 1	
				Max V _z	0.001	-0.781	1.140	KZ 1	
				Min V _z	0.001	-0.781	1.140	KZ 1	
				Max M _y	0.026	-5.686	5.554	KZ 2	
				Min M _y	0.001	-0.781	1.140	KZ 1	
				Max N	0.026	-5.686	5.554	KZ 2	

Projekt: Diplomová práce

Model: Diplomová práce

Datum: 20.04.2021

Překlad nad garážovými vraty

Překlad nad garážovými vraty

4.12 PRŮŘEZY - VNITŘNÍ SÍLY

Kombinace výsledků

Prut č.	KV	Uzel č.	Místo x [m]	Síly [kN]			Momenty M _y [kNm]	Příslušející zat. stavy
				N	V _z			
9	KV1	6	0.900	Min M _y	0.001	-0.781	1.140	KZ 1
				Max N	0.050	-6.656	0.000	KZ 2
				Min N	0.003	-1.751	0.000	KZ 1
				Max V _z	0.003	-1.751	0.000	KZ 1
				Min V _z	0.050	-6.656	0.000	KZ 2
				Max M _y	0.003	-1.751	0.000	KZ 1
	KV2	13	0.000	Min M _y	0.003	-1.751	0.000	KZ 1
				Max N	0.009	-3.849	3.787	KZ 4
				Min N	0.000	-0.579	0.844	KZ 3
				Max V _z	0.000	-0.579	0.844	KZ 3
				Min V _z	0.009	-3.849	3.787	KZ 4
				Max M _y	0.009	-3.849	3.787	KZ 4
	KV3	13	0.000	Min M _y	0.000	-0.579	0.844	KZ 3
				Max N	0.018	-4.567	0.000	KZ 4
				Min N	0.001	-1.297	0.000	KZ 3
				Max V _z	0.001	-1.297	0.000	KZ 3
				Min V _z	0.018	-4.567	0.000	KZ 4
				Max M _y	0.001	-1.297	0.000	KZ 3
	KV3	6	0.900	Min M _y	0.001	-1.297	0.000	KZ 3
				Max N	0.013	-4.312	4.463	KZ 6
				Min N	0.001	-1.042	1.520	KZ 5
				Max V _z	0.001	-1.042	1.520	KZ 5
				Min V _z	0.013	-4.312	4.463	KZ 6
				Max M _y	0.013	-4.312	4.463	KZ 6
6		0.900	Min M _y	0.001	-1.042	1.520	KZ 5	
			Max N	0.026	-5.605	0.000	KZ 6	
			Min N	0.004	-2.335	0.000	KZ 5	
			Max V _z	0.004	-2.335	0.000	KZ 5	
			Min V _z	0.026	-5.605	0.000	KZ 6	
			Max M _y	0.004	-2.335	0.000	KZ 5	

RF-TIMBER Pro
PŘ1

1.1.1 ZÁKLADNÍ ÚDAJE

Pruty k posouzení:	Všechny
Sady prutů k posouzení:	1-3
Posouzení podle normy:	ČSN EN 1995-1-1/NA:2007-09
Posouzení mezního stavu únosnosti	
Kombinace zatížení k posouzení:	KZ1 1.35*ZS1 KZ2 1.35*ZS1 + 1.5*ZS2
Kombinace výsledků k posouzení:	KV1 MSÚ (STR/GEO) - trvalá/dočasná - rovn. 6.10
Posouzení mezního stavu použitelnosti	
Kombinace zatížení k posouzení:	KZ3 ZS1 KZ4 ZS1 + ZS2 KZ5 1.8*ZS1 KZ6 1.8*ZS1 + ZS2
Kombinace výsledků k posouzení:	KV2 MSP - charakteristická / málo častá KV3 MSP - kvazistála

1.2 MATERIÁLY

Mat. č.	Označení	Kategorie součinitele	Komentář
1	Topolové a jehličnaté dřevo C24 CSN EN 338-16	Rostlé dřevo	

1.3.1 PRŮŘEZY

T-obdélník 160/120 T-obdélník 160/200



Průř. č.	Mat. č.	Průřez Označení [mm]	Max. návrhové využití	Komentář
1	1	T-obdélník 160/120	0.33	
2	1	T-obdélník 160/200	0.43	

1.4 TŘÍDA TRVÁNÍ ZATÍŽENÍ A TŘÍDA PROVOZU

ZS/KZ/ KV	Označení ZS resp. KZ/KV	Typ ZS	Třída trvání zatížení
ZS1	Stálé zatížení	Stálé	Stálé
ZS2	Reakce od krovu	Vítr	Krátkodobá
KZ1	1.35*ZS1	-	Stálé
KZ2	1.35*ZS1 + 1.5*ZS2	-	Krátkodobá
KZ3	ZS1	-	Stálé
KZ4	ZS1 + ZS2	-	Krátkodobá
KZ5	1.8*ZS1	-	Stálé
KZ6	1.8*ZS1 + ZS2	-	Krátkodobá

Třída provozu TP

Třída provozu 1: Stejná pro všechny pruty/sady
prutů



Projekt: Diplomová práce

Model: Diplomová práce

Datum: 20.04.2021

Překlad nad garážovými vraty

Překlad nad garážovými vraty

1.5 VZPĚRNÉ DÉLKY - PRUTY

Prut č.	Vzpěr možný	Vzpěr okolo osy y			Vzpěr okolo osy z			Klopení		
		Možné	$k_{cr,y}$	$L_{cr,y}$ [m]	Možné	$k_{cr,z}$	$L_{cr,z}$ [m]	Možné	Definovat L_{kr} / M_{cr}	L_{cr} [m] / M_{cr} [kNm]
1	<input checked="" type="checkbox"/>	<input checked="" type="checkbox"/>	1.000	0.500	<input checked="" type="checkbox"/>	1.000	0.500	<input checked="" type="checkbox"/>	Jako délka prutu	0.500
2	<input checked="" type="checkbox"/>	<input checked="" type="checkbox"/>	1.000	0.500	<input checked="" type="checkbox"/>	1.000	0.500	<input checked="" type="checkbox"/>	Jako délka prutu	0.500
3	<input checked="" type="checkbox"/>	<input checked="" type="checkbox"/>	1.000	0.900	<input checked="" type="checkbox"/>	1.000	0.900	<input checked="" type="checkbox"/>	Jako délka prutu	0.900
4	<input checked="" type="checkbox"/>	<input checked="" type="checkbox"/>	1.000	1.085	<input checked="" type="checkbox"/>	1.000	1.085	<input checked="" type="checkbox"/>	Jako délka prutu	1.085
5	<input checked="" type="checkbox"/>	<input checked="" type="checkbox"/>	1.000	0.540	<input checked="" type="checkbox"/>	1.000	0.540	<input checked="" type="checkbox"/>	Jako délka prutu	0.540
6	<input checked="" type="checkbox"/>	<input checked="" type="checkbox"/>	1.000	0.540	<input checked="" type="checkbox"/>	1.000	0.540	<input checked="" type="checkbox"/>	Jako délka prutu	0.540
7	<input checked="" type="checkbox"/>	<input checked="" type="checkbox"/>	1.000	1.085	<input checked="" type="checkbox"/>	1.000	1.085	<input checked="" type="checkbox"/>	Jako délka prutu	1.085
8	<input checked="" type="checkbox"/>	<input checked="" type="checkbox"/>	1.000	1.450	<input checked="" type="checkbox"/>	1.000	1.450	<input checked="" type="checkbox"/>	Jako délka prutu	1.450
9	<input checked="" type="checkbox"/>	<input checked="" type="checkbox"/>	1.000	0.900	<input checked="" type="checkbox"/>	1.000	0.900	<input checked="" type="checkbox"/>	Jako délka prutu	0.900

1.6 VZPĚRNÉ DÉLKY - SADY PRUTŮ

Sada č.	Vzpěr možný	Vzpěr okolo osy y			Vzpěr okolo osy z			Klopení		
		Možné	$k_{cr,y}$	$L_{cr,y}$ [m]	Možné	$k_{cr,z}$	$L_{cr,z}$ [m]	Možné	Definovat L_{kr} / M_{cr}	L_{cr} [m] / M_{cr} [kNm]
1	<input checked="" type="checkbox"/>	<input checked="" type="checkbox"/>	1.000	3.250	<input checked="" type="checkbox"/>	1.000	3.250	<input checked="" type="checkbox"/>	Jako délka prutu	3.250
2	<input checked="" type="checkbox"/>	<input checked="" type="checkbox"/>	1.000	3.250	<input checked="" type="checkbox"/>	1.000	3.250	<input checked="" type="checkbox"/>	Jako délka prutu	3.250
3	<input checked="" type="checkbox"/>	<input checked="" type="checkbox"/>	1.000	1.000	<input checked="" type="checkbox"/>	1.000	1.000	<input checked="" type="checkbox"/>	Jako délka prutu	1.000

1.9 POUŽITELNOST

č.	Vztážno na	Pruty/Sady č.	Vztažná délka		Směr	Nadvýšení		Typ nosniku
			Ručně	L [m]		$w_{c,y}$ [mm]	$w_{c,z}$ [mm]	
1	Sada prutů	3	<input type="checkbox"/>	1.000	y; z	0.0	0.0	Nosník
2	Sada prutů	1	<input type="checkbox"/>	3.250	y; z	0.0	0.0	Nosník
3	Sada prutů	2	<input type="checkbox"/>	3.250	y; z	0.0	0.0	Nosník

2.2 POSOUZENÍ PO PRŮŘEZECH

Průř. č.	Prut č.	Místo x [m]	ZS/KZ/ KV	Posouzení	Posouzení č.	Označení
1	T-obdélník 160/120					
	1	0.000	KZ2	0.19 ≤ 1	111)	Únosnost průřezu - Smyk od posouvající síly Vz podle 6.1.7
	1	0.500	KZ2	0.33 ≤ 1	151)	Únosnost průřezu - Jednoosý ohyb podle 6.1.6
	1	0.000	KZ3	0.00 ≤ 1	400)	Použitelnost - Zanedbatelné deformace
	1	0.500	KZ4	0.18 ≤ 1	401)	Použitelnost - Charakteristická návrhová situace podle 7.2 - vnitřní pole, směr z
2	T-obdélník 160/200					
	3	0.000	KZ2	0.17 ≤ 1	111)	Únosnost průřezu - Smyk od posouvající síly Vz podle 6.1.7
	5	0.000	KZ2	0.38 ≤ 1	151)	Únosnost průřezu - Jednoosý ohyb podle 6.1.6
	5	0.000	KZ2	0.38 ≤ 1	311)	Ohybaný prut bez tlakové síly podle 6.3.3 - ohyb okolo osy y
	3	0.000	KZ3	0.00 ≤ 1	400)	Použitelnost - Zanedbatelné deformace
	5	0.000	KZ4	0.43 ≤ 1	401)	Použitelnost - Charakteristická návrhová situace podle 7.2 - vnitřní pole, směr z
	5	0.000	KZ6	0.42 ≤ 1	402)	Použitelnost - Kvazistálá návrhová situace podle 7.2 - vnitřní pole, směr z

2.3 POSOUZENÍ PO SADÁCH PRUTŮ

Sada č.	Prut č.	Místo x [m]	ZS/KZ/ KV	Posouzení	Posouzení č.	Označení
1	Překlad garaz 1 (prut č. 3,8,9)					
	3	0.000	KZ2	0.17 ≤ 1	111)	Únosnost průřezu - Smyk od posouvající síly Vz podle 6.1.7
	8	0.725	KZ2	0.33 ≤ 1	151)	Únosnost průřezu - Jednoosý ohyb podle 6.1.6
	8	0.725	KZ2	0.33 ≤ 1	311)	Ohybaný prut bez tlakové síly podle 6.3.3 - ohyb okolo osy y
	3	0.000	KZ3	0.00 ≤ 1	400)	Použitelnost - Zanedbatelné deformace
	8	0.725	KZ4	0.39 ≤ 1	401)	Použitelnost - Charakteristická návrhová situace podle 7.2 - vnitřní pole, směr z
2	preklad garaz 2 (prut č. 4-7)					
	4	0.000	KZ2	0.17 ≤ 1	111)	Únosnost průřezu - Smyk od posouvající síly Vz podle 6.1.7
	5	0.000	KZ2	0.38 ≤ 1	151)	Únosnost průřezu - Jednoosý ohyb podle 6.1.6
	5	0.000	KZ2	0.38 ≤ 1	311)	Ohybaný prut bez tlakové síly podle 6.3.3 - ohyb okolo osy y
	4	0.000	KZ3	0.00 ≤ 1	400)	Použitelnost - Zanedbatelné deformace
3	Překlad Okno (prut č. 1,2)					
	1	0.000	KZ2	0.19 ≤ 1	111)	Únosnost průřezu - Smyk od posouvající síly Vz podle 6.1.7
	1	0.500	KZ2	0.33 ≤ 1	151)	Únosnost průřezu - Jednoosý ohyb podle 6.1.6
	1	0.000	KZ3	0.00 ≤ 1	400)	Použitelnost - Zanedbatelné deformace



Projekt: Diplomová práce

Model: Diplomová práce

Datum: 20.04.2021

Překlad nad garážovými vraty

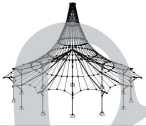
Překlad nad garážovými vraty

2.3 POSOUZENÍ PO SADÁCH PRUTŮ

Sada č.	Prut č.	Místo x [m]	ZS/KZ/ KV	Posouzení	Posouzení č.	Označení
	1	0.500	KZ4	0.18 ≤ 1	401)	Použitelnost - Charakteristická návrhová situace podle 7.2 - vnitřní pole, směr z
	1	0.500	KZ6	0.16 ≤ 1	402)	Použitelnost - Kvazistálá návrhová situace podle 7.2 - vnitřní pole, směr z

2.4 POSOUZENÍ PO PRUTECH

Prut č.	Místo x [m]	ZS/KZ/ KV	Posouzení	Posouzení č.	Označení
1	Průřez č. 1 - T-obdélník 160/120				
	0.000	KZ2	0.19 ≤ 1	111)	Únosnost průřezu - Smyk od posouvající síly Vz podle 6.1.7
	0.500	KZ2	0.33 ≤ 1	151)	Únosnost průřezu - Jednoosý ohyb podle 6.1.6
	0.000	KZ3	0.00 ≤ 1	400)	Použitelnost - Zanedbatelné deformace
	0.500	KZ4	0.18 ≤ 1	401)	Použitelnost - Charakteristická návrhová situace podle 7.2 - vnitřní pole, směr z
2	0.500	KZ6	0.16 ≤ 1	402)	Použitelnost - Kvazistálá návrhová situace podle 7.2 - vnitřní pole, směr z
	Průřez č. 1 - T-obdélník 160/120				
	0.500	KZ2	0.19 ≤ 1	111)	Únosnost průřezu - Smyk od posouvající síly Vz podle 6.1.7
	0.000	KZ2	0.33 ≤ 1	151)	Únosnost průřezu - Jednoosý ohyb podle 6.1.6
	0.500	KZ3	0.00 ≤ 1	400)	Použitelnost - Zanedbatelné deformace
3	0.000	KZ4	0.18 ≤ 1	401)	Použitelnost - Charakteristická návrhová situace podle 7.2 - vnitřní pole, směr z
	Průřez č. 2 - T-obdélník 160/200				
	0.000	KZ2	0.17 ≤ 1	111)	Únosnost průřezu - Smyk od posouvající síly Vz podle 6.1.7
	0.900	KZ2	0.31 ≤ 1	151)	Únosnost průřezu - Jednoosý ohyb podle 6.1.6
	0.900	KZ2	0.31 ≤ 1	311)	Ohybaný prut bez tlakové síly podle 6.3.3 - ohyb okolo osy y
4	0.000	KZ3	0.00 ≤ 1	400)	Použitelnost - Zanedbatelné deformace
	0.000	KZ4	0.30 ≤ 1	401)	Použitelnost - Charakteristická návrhová situace podle 7.2 - vnitřní pole, směr z
	0.900	KZ6	0.30 ≤ 1	402)	Použitelnost - Kvazistálá návrhová situace podle 7.2 - vnitřní pole, směr z
	Průřez č. 2 - T-obdélník 160/200				
	0.000	KZ2	0.17 ≤ 1	111)	Únosnost průřezu - Smyk od posouvající síly Vz podle 6.1.7
5	1.085	KZ2	0.37 ≤ 1	151)	Únosnost průřezu - Jednoosý ohyb podle 6.1.6
	1.085	KZ2	0.37 ≤ 1	311)	Ohybaný prut bez tlakové síly podle 6.3.3 - ohyb okolo osy y
	0.000	KZ3	0.00 ≤ 1	400)	Použitelnost - Zanedbatelné deformace
	1.085	KZ4	0.37 ≤ 1	401)	Použitelnost - Charakteristická návrhová situace podle 7.2 - vnitřní pole, směr z
	1.085	KZ6	0.37 ≤ 1	402)	Použitelnost - Kvazistálá návrhová situace podle 7.2 - vnitřní pole, směr z
6	Průřez č. 2 - T-obdélník 160/200				
	0.540	KZ1	0.02 ≤ 1	111)	Únosnost průřezu - Smyk od posouvající síly Vz podle 6.1.7
	0.000	KZ2	0.38 ≤ 1	151)	Únosnost průřezu - Jednoosý ohyb podle 6.1.6
	0.000	KZ2	0.38 ≤ 1	311)	Ohybaný prut bez tlakové síly podle 6.3.3 - ohyb okolo osy y
	0.000	KZ4	0.43 ≤ 1	401)	Použitelnost - Charakteristická návrhová situace podle 7.2 - vnitřní pole, směr z
7	0.000	KZ6	0.42 ≤ 1	402)	Použitelnost - Kvazistálá návrhová situace podle 7.2 - vnitřní pole, směr z
	Průřez č. 2 - T-obdélník 160/200				
	1.085	KZ2	0.17 ≤ 1	111)	Únosnost průřezu - Smyk od posouvající síly Vz podle 6.1.7
	0.000	KZ2	0.37 ≤ 1	151)	Únosnost průřezu - Jednoosý ohyb podle 6.1.6
	0.000	KZ2	0.37 ≤ 1	311)	Ohybaný prut bez tlakové síly podle 6.3.3 - ohyb okolo osy y
8	1.085	KZ3	0.00 ≤ 1	400)	Použitelnost - Zanedbatelné deformace
	0.000	KZ4	0.37 ≤ 1	401)	Použitelnost - Charakteristická návrhová situace podle 7.2 - vnitřní pole, směr z
	0.000	KZ6	0.37 ≤ 1	402)	Použitelnost - Kvazistálá návrhová situace podle 7.2 - vnitřní pole, směr z
	Průřez č. 2 - T-obdélník 160/200				
	0.000	KZ1	0.03 ≤ 1	111)	Únosnost průřezu - Smyk od posouvající síly Vz podle 6.1.7
9	0.725	KZ2	0.33 ≤ 1	151)	Únosnost průřezu - Jednoosý ohyb podle 6.1.6
	0.725	KZ2	0.33 ≤ 1	311)	Ohybaný prut bez tlakové síly podle 6.3.3 - ohyb okolo osy y
	0.725	KZ4	0.39 ≤ 1	401)	Použitelnost - Charakteristická návrhová situace podle 7.2 - vnitřní pole, směr z
	0.725	KZ6	0.39 ≤ 1	402)	Použitelnost - Kvazistálá návrhová situace podle 7.2 - vnitřní pole, směr z
	Průřez č. 2 - T-obdélník 160/200				
9	0.900	KZ2	0.17 ≤ 1	111)	Únosnost průřezu - Smyk od posouvající síly Vz podle 6.1.7
	0.000	KZ2	0.31 ≤ 1	151)	Únosnost průřezu - Jednoosý ohyb podle 6.1.6
	0.000	KZ2	0.31 ≤ 1	311)	Ohybaný prut bez tlakové síly podle 6.3.3 - ohyb okolo osy y
	0.900	KZ3	0.00 ≤ 1	400)	Použitelnost - Zanedbatelné deformace
	0.000	KZ4	0.30 ≤ 1	401)	Použitelnost - Charakteristická návrhová situace podle 7.2 - vnitřní pole, směr z
0.000	KZ6	0.30 ≤ 1	402)	Použitelnost - Kvazistálá návrhová situace podle 7.2 - vnitřní p	



Projekt: Diplomová práce

Model: Diplomová práce

Datum: 20.04.2021

Překlad nad garážovými vraty

Překlad nad garážovými vraty

2.4 POSOUZENÍ PO PRUTECH

Prut č.	Místo x [m]	ZS/KZ/KV	Posouzení	Posouzení č.	Označení
					pole, směr z